

Základy počítačové grafiky

NPGR 003

© 1995-2020 Josef Pelikán
CGG MFF UK Praha

pepca@cgg.mff.cuni.cz

<https://cgg.mff.cuni.cz/~pepca/>

Vector graphics



© 2014, Saylerman

Vector graphics

Interactive editing

- splines[†], free-form drawing

Colors*

Vector image format*

- SVG, PDF, EPS, DXF, AI

Transparency*

Vectorization tool

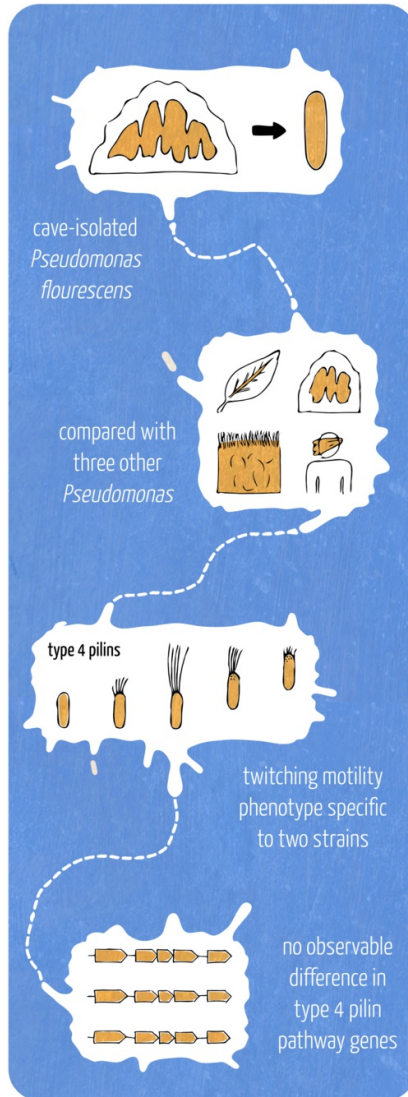


* ... in this course

† ... in other courses



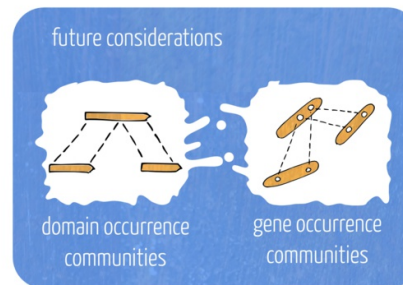
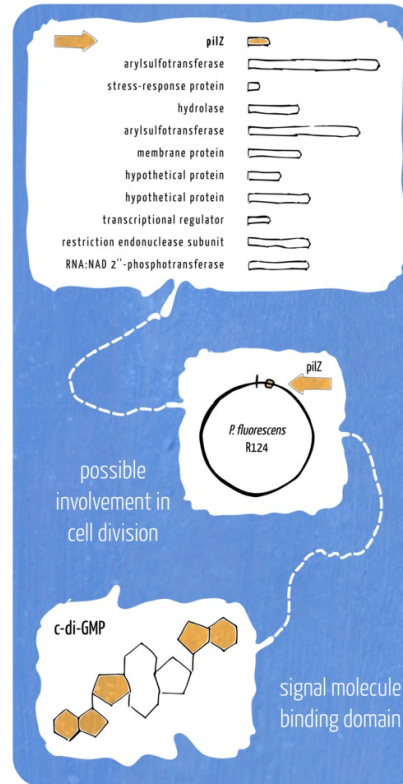
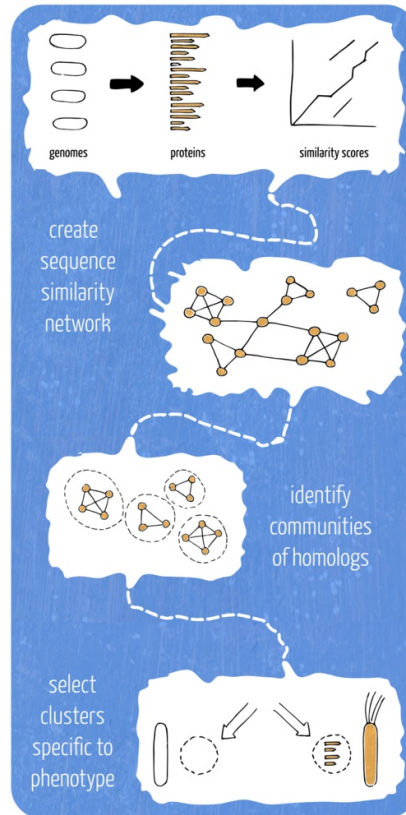
Poster, billboard



predicting genotype from phenotype

Michael D. Barton, Hazel A. Barton
University of Akron

www.michaelbarton.me.uk



© 2012, Michael Barton

Poster, billboard



© 1939, Charles Vershuuren



© DaveForYou

Digitized poster

Digital photography

Color balance[†]

Raster image*

– PNG, TIFF, JPEG

Image rotation[†]

Poster print:

Color conversion*

– RGB to CMYK

Digital halftoning*

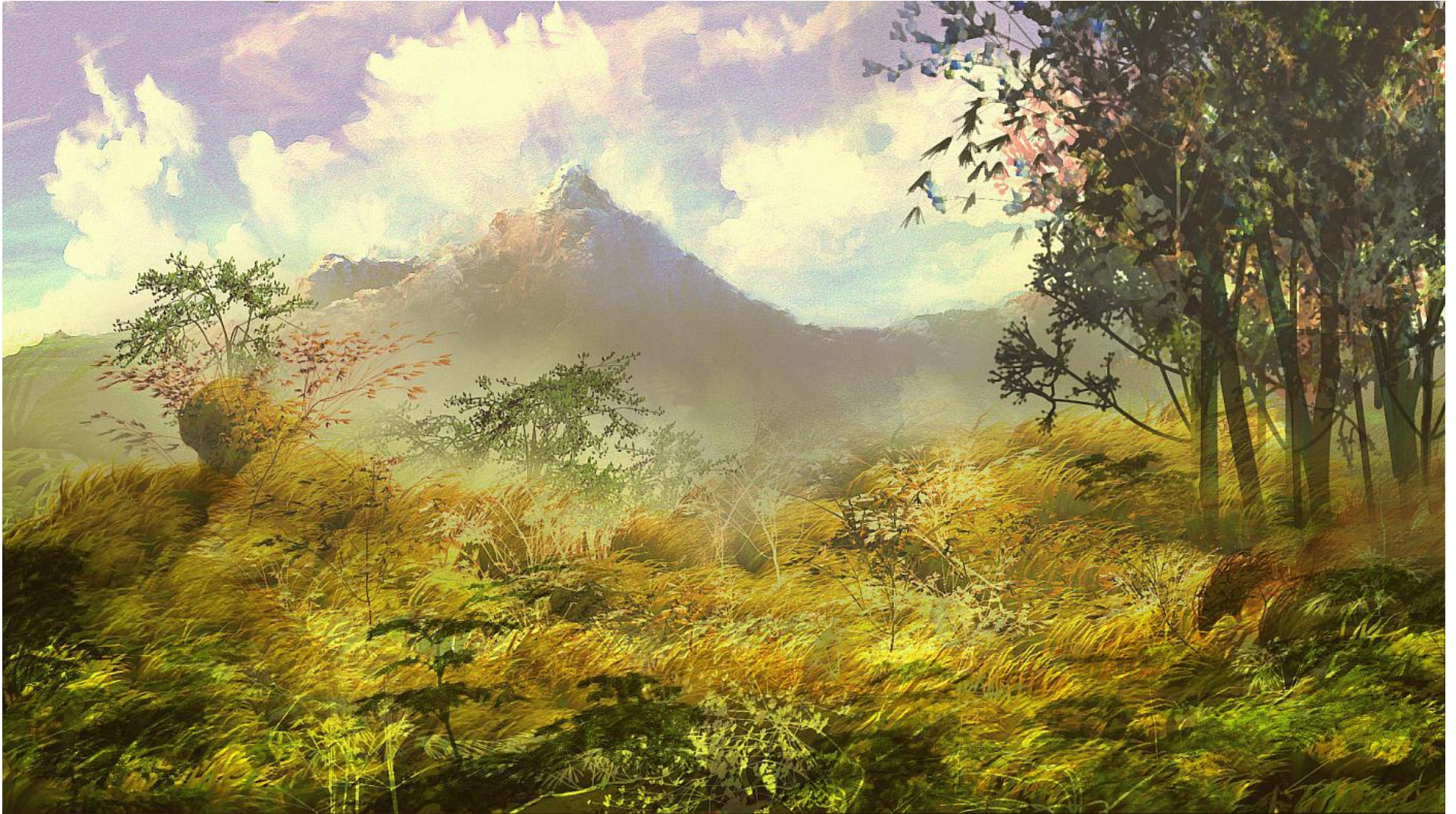


Digital painting, 2D effects



© Corel Painter, Hahin

Digital painting tools



© Dan Ritchie (PD Particles)

Digital painting

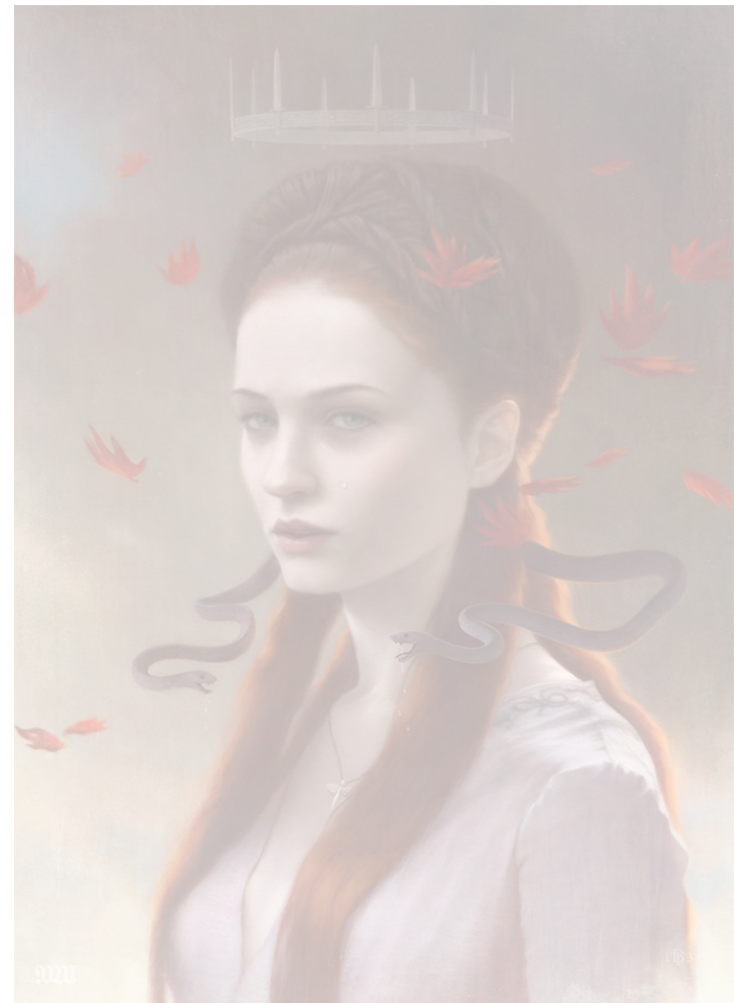
Interactive editing

- pens, brushes, special tools
- „undo“
- touchpad, touchpen, digitizer

Colors*

Transparency*

Painterly effects*



Digital photography



© 2016, DP Review

Digital photography

Autofocus

- edge-detection†

Colors*

- white balance

Raster image format*

- JPEG, RAW

Denoise†

HDR*

- super-bracketing



Digital effect – Photoshop, GiMP



© 2015, IT Roshni

Digital effect

Interactive editing

- pens, brushes, tools
- „undo“

Colors*

Raster image format*

- JPEG, PNG, TIFF

Special effect filters*†

- image enhancement, edge operators, histogram operation...
- color transforms (rebalance...)



HDR photography



© 2015, Andrea Baldwin

HDR photography



© 2013, Jimmy McIntyre

HDR photography



© Conor MacNeill (TheFella)

HDR photography

HDR acquisition*

- multiple exposure
- „super-bracketing“

Colors*

HDR image format*

- HDR, EXR, PFM

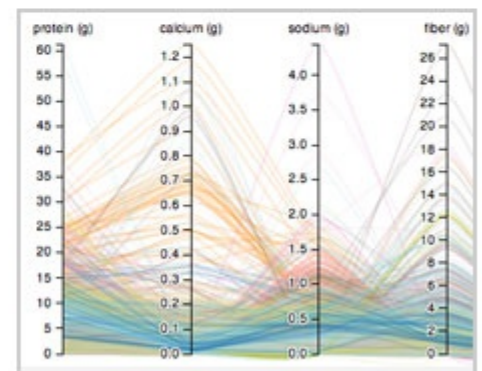
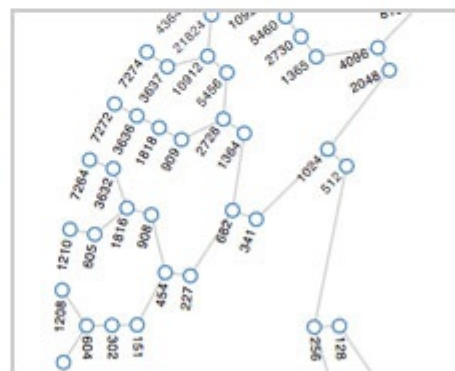
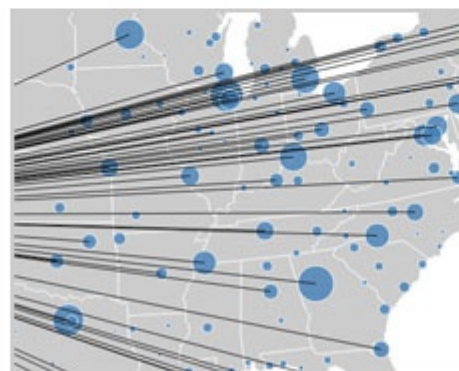
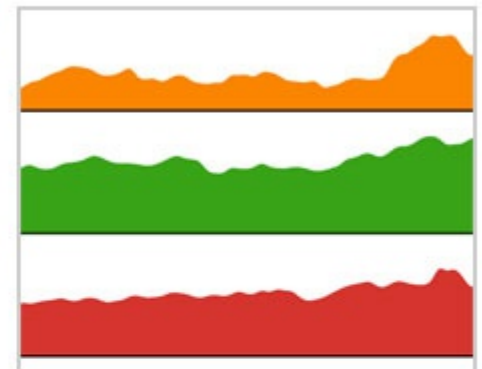
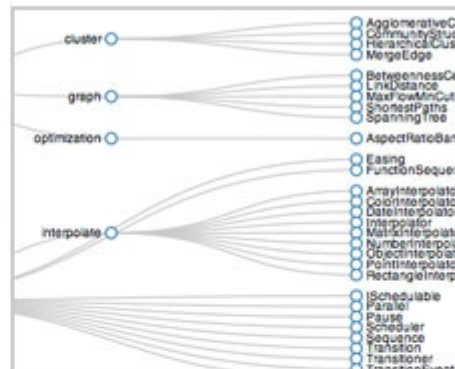
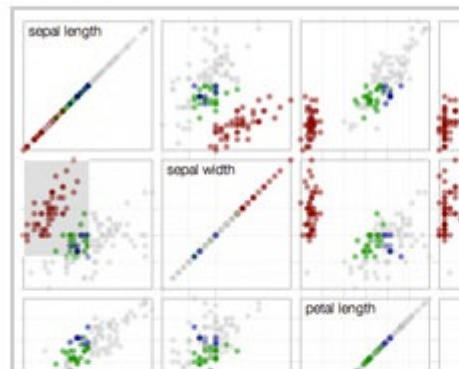
Tone-mapping*





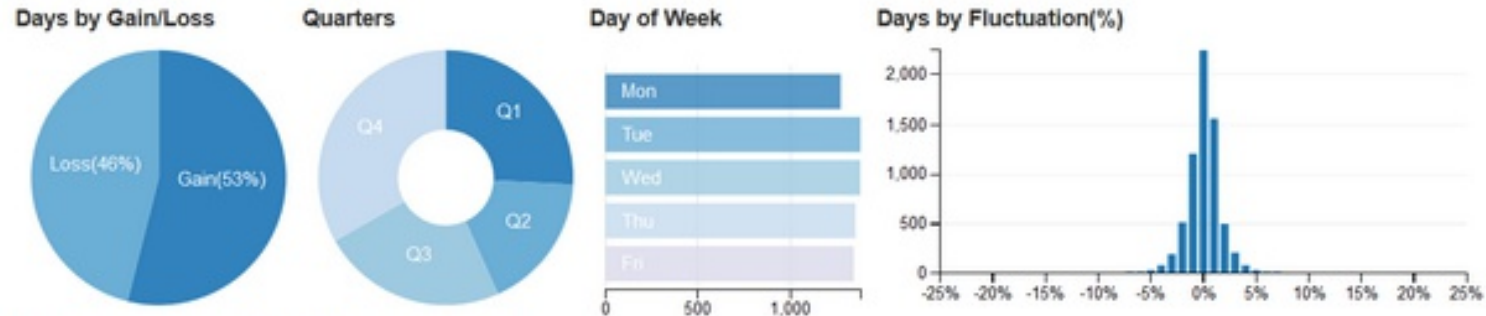
Web design, data visualization

Data-Driven Documents

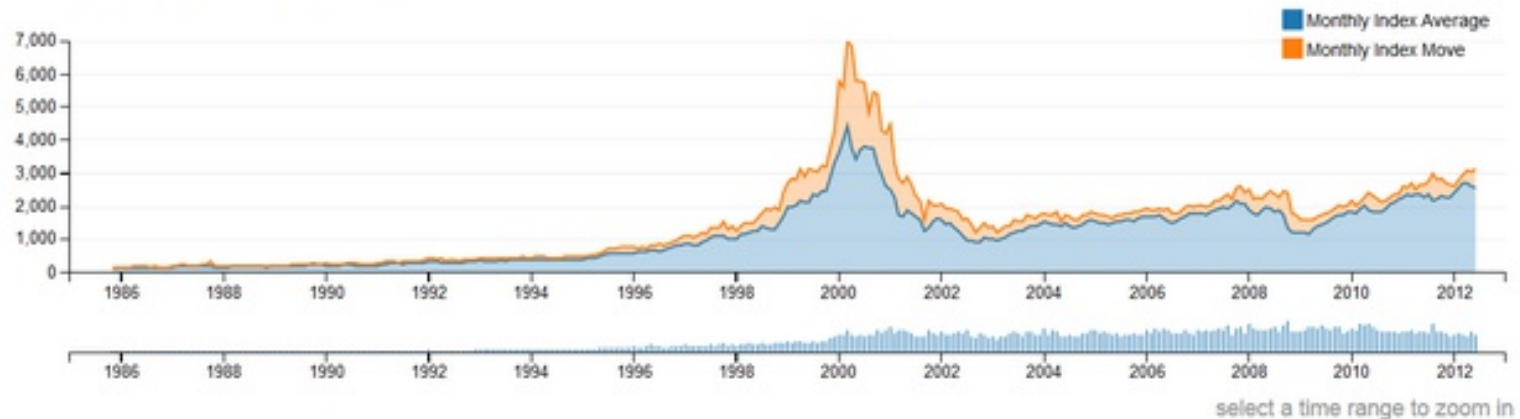




Web design, data visualization



Monthly Index Abs Move & Volume/500,000 Chart



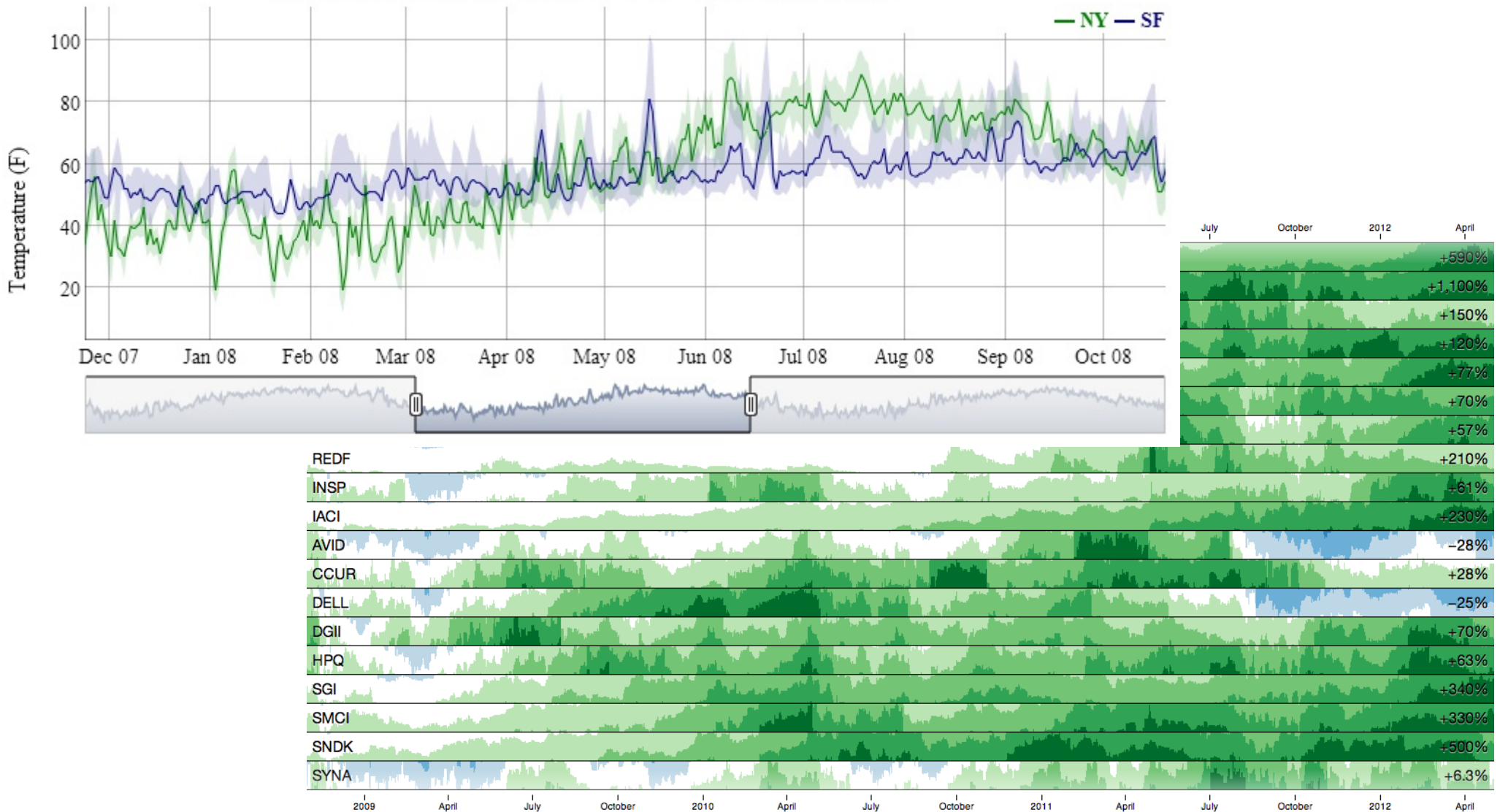
6,724 selected out of 6,724 records | [Reset All](#)

Date	Open	Close	Change	Volume
2012/06				
06/18/2012	2570.98	2592.52	21.54	15407330
06/19/2012	2606.43	2620.83	14.40	17714840



Interactive data on web

Daily Temperatures in New York vs. San Francisco



Modern web

HTML5[†], CSS3[†]

- JavaScript
- templates, WordPress

Interactivity[†]

Data-Driven Documents[†]

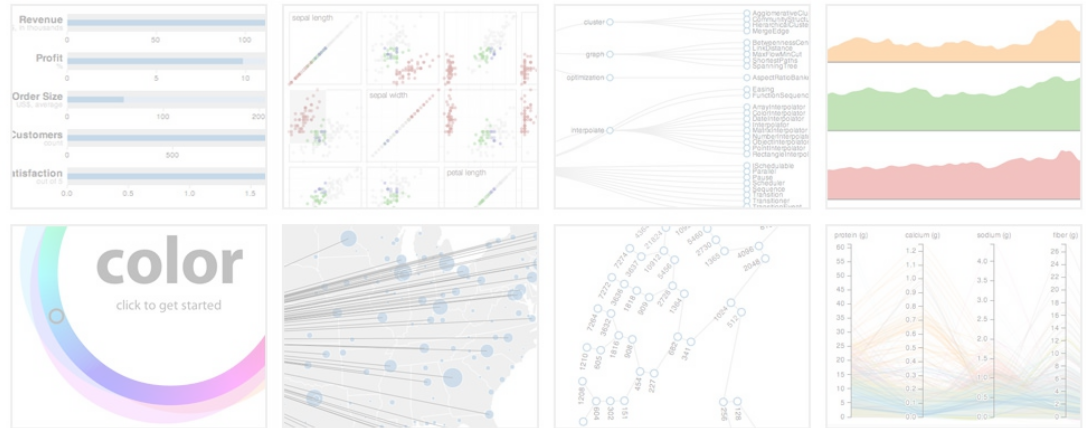
- d3.js library

WebGL for 3D[†]

- interactivity

Video, 360-degree video

Data-Driven Documents





License-plate recognition

Oct 19 / 17:23:16

Camera 1

Step 1/1

License plate

Source: Recognizer 1
Plate: P003YO97
Quality: 75
Speed: 2.0 kmph
Date: 19-06-2007 17:23:15
View report

Pass #8631

Protocol	Search	Local Lists
B671PM40	05:23 PM	Recognizer 1: outgoing
P003YO97	05:23 PM	Recognizer 1: outgoing
Pass #8631		
C84EH930	05:23 PM	Recognizer 1: outgoing
Q3248T97	05:23 PM	Recognizer 1: outgoing
M4420X97	05:23 PM	Recognizer 1: outgoing
T698TY97	05:23 PM	Recognizer 1: incoming
Q2820R97	05:22 PM	Recognizer 1: outgoing
S300C337	05:22 PM	Recognizer 1: outgoing
Pass #1321		
X7174	05:22 PM	Recognizer 1: incoming
B670V937	05:22 PM	Recognizer 1: outgoing
F789BA97	05:22 PM	Recognizer 1: outgoing
C007KR97	05:22 PM	Recognizer 1: outgoing
Department		
Q974PP99	05:22 PM	Recognizer 1: outgoing
Q974PP99	05:22 PM	Recognizer 1: outgoing
T846PR90	05:22 PM	Recognizer 1: outgoing
P885T097	05:22 PM	Recognizer 1: outgoing
Pass #1323		
F349TR97	05:22 PM	Recognizer 1: outgoing
E428MT97	05:22 PM	Recognizer 1: outgoing
Q065599	05:22 PM	Recognizer 1: outgoing
R197MF99	05:22 PM	Recognizer 1: outgoing
C203TA77	05:22 PM	Recognizer 1: outgoing
Hi jacked		
F343BD90	05:21 PM	Recognizer 1: outgoing
Hi jacked		
E228AB99	05:21 PM	Recognizer 1: outgoing
Department		
H516YA97	05:21 PM	Recognizer 1: outgoing
Department		
Q03AE90	05:21 PM	Recognizer 1: outgoing

© Smart Security Camera, Inc.

License-plate recognition

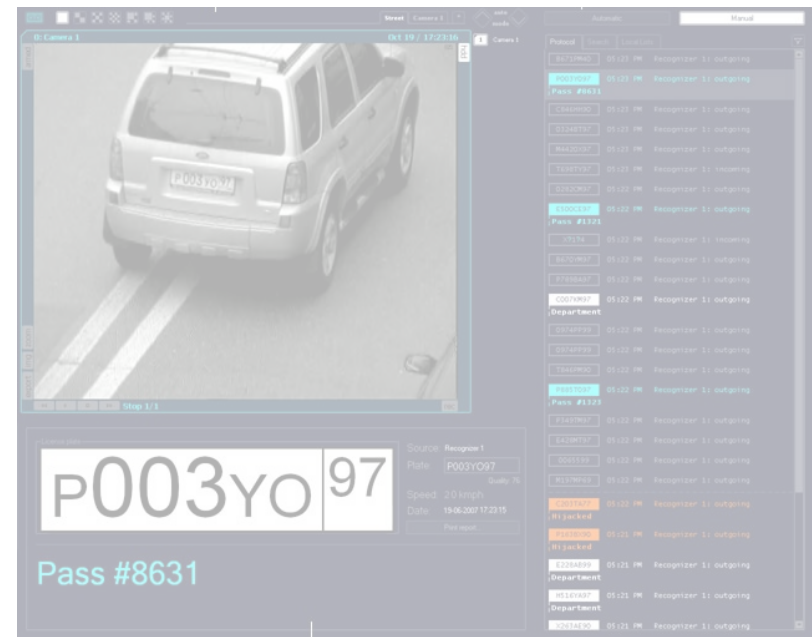
Real-time image acquisition

Plate segmentation[†]

Image warping[†]

Glyph recognition[†]

Speed measurement...?



Sport live on TV



Sport live on TV

Vector graphics*

- real-time!

Transparency*

Real-time video signal composition

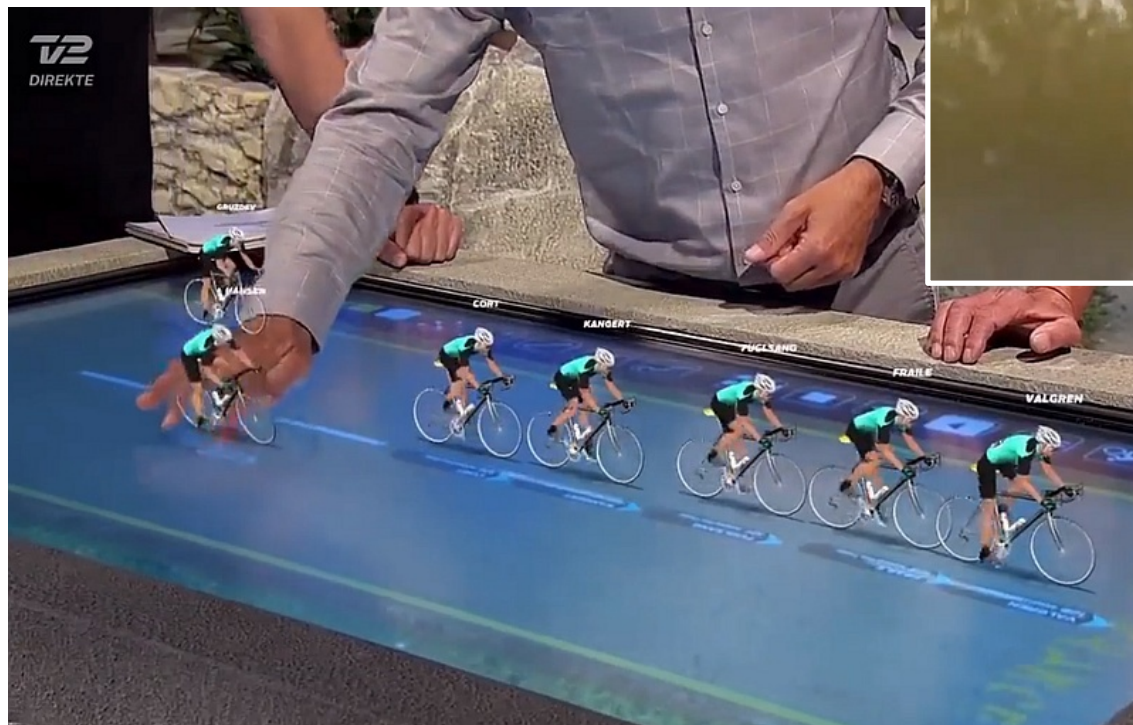
- real-time video compression†



„Next-generation“ sport TV



Augmented reality broadcasting



© The Weather Channel

© TV 2

„Next-gen“ sport TV

3D computer vision[†]

- camera calibration
- object recognition, segmentation

3D „extra“ model*

- augmented reality

Real-time interaction?

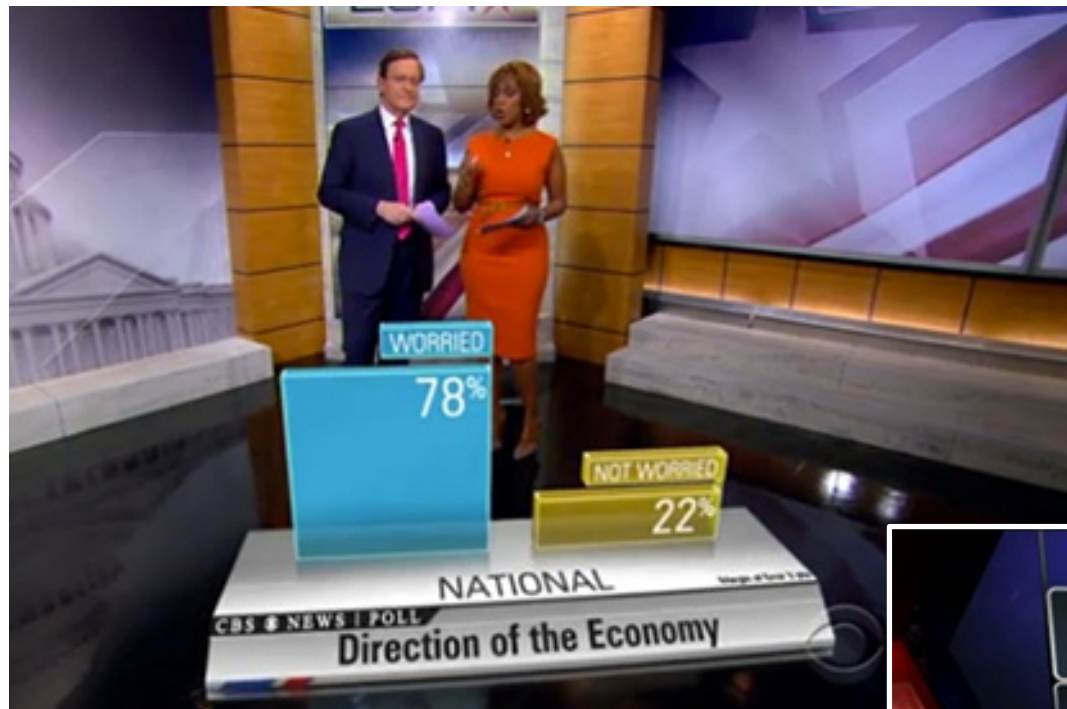
- reporter in a studio...

Real-time video composition

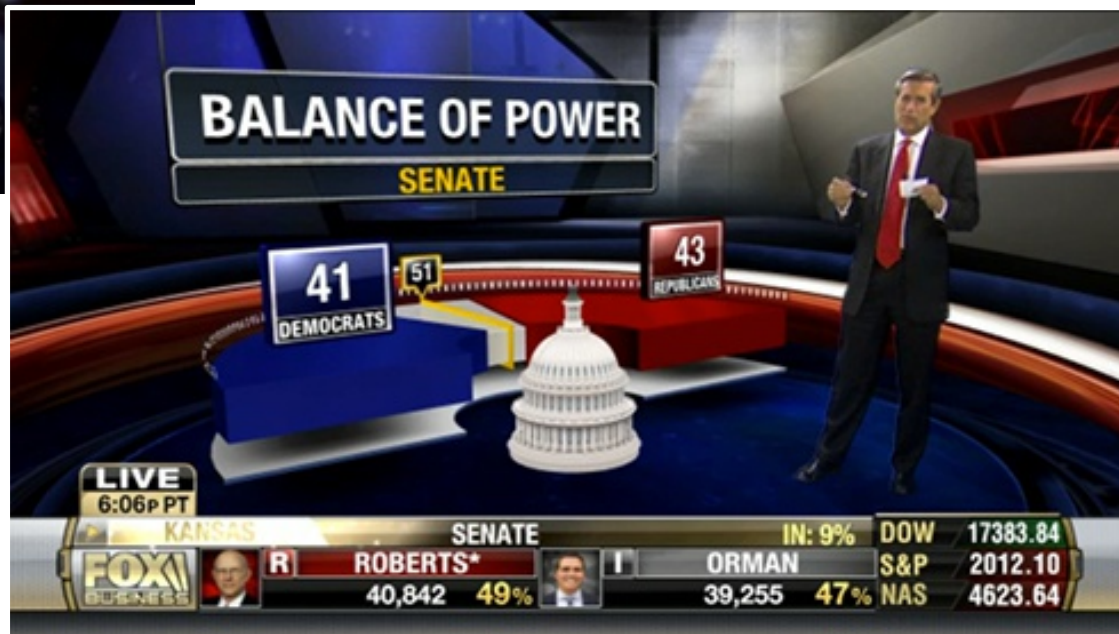
- layers, transparency*
- video compression[†]



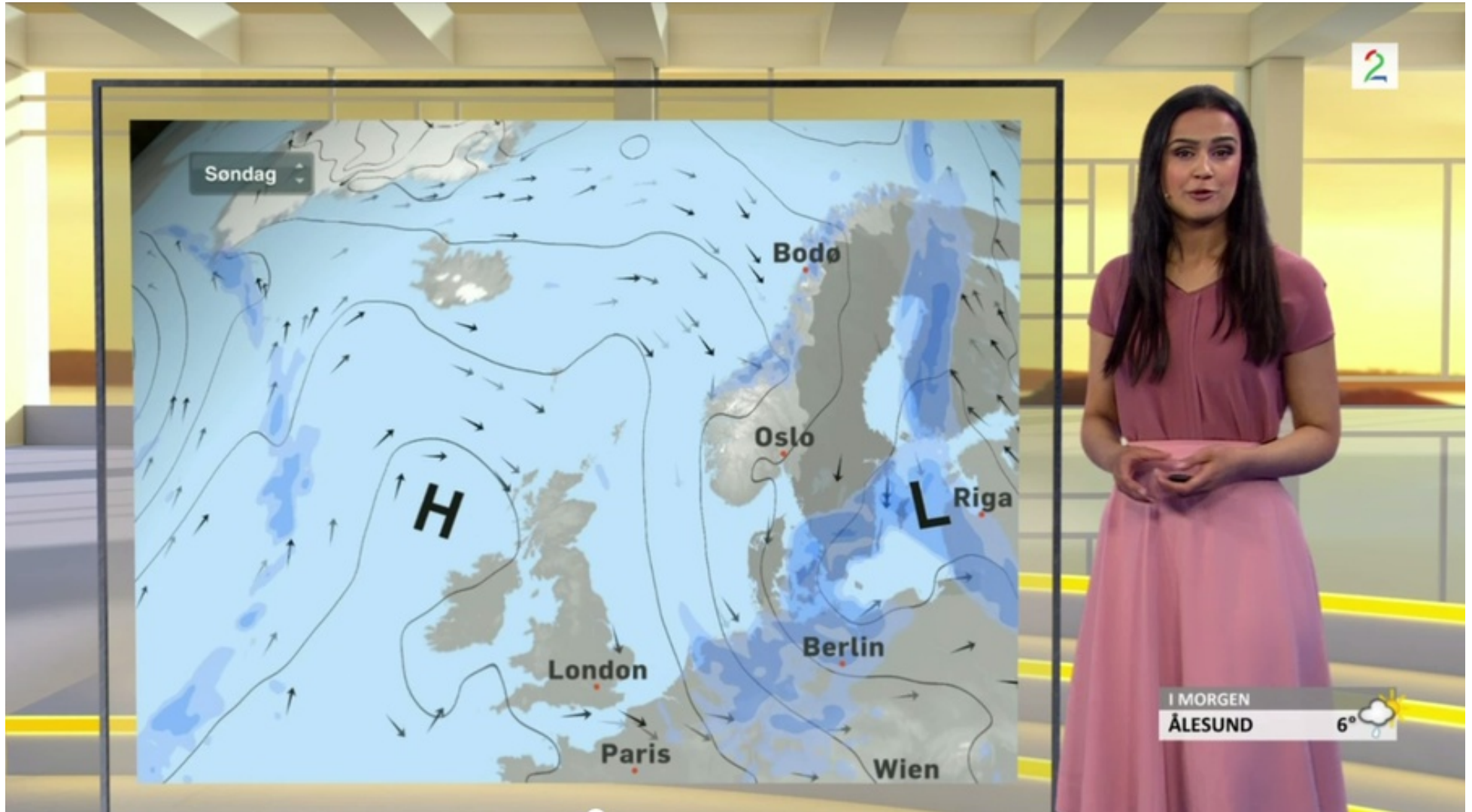
Virtual TV studio



© CBS, FOX TV



Virtual TV studio



© TV 2

Green screen („virtual studio“)



© 2009, vr3 virtual production oHG

Virtual TV studio

„Green-screen“

- keying in hardware

3D virtual model*

- can be dynamic (animations, additional video channels...)

Real-time video composition

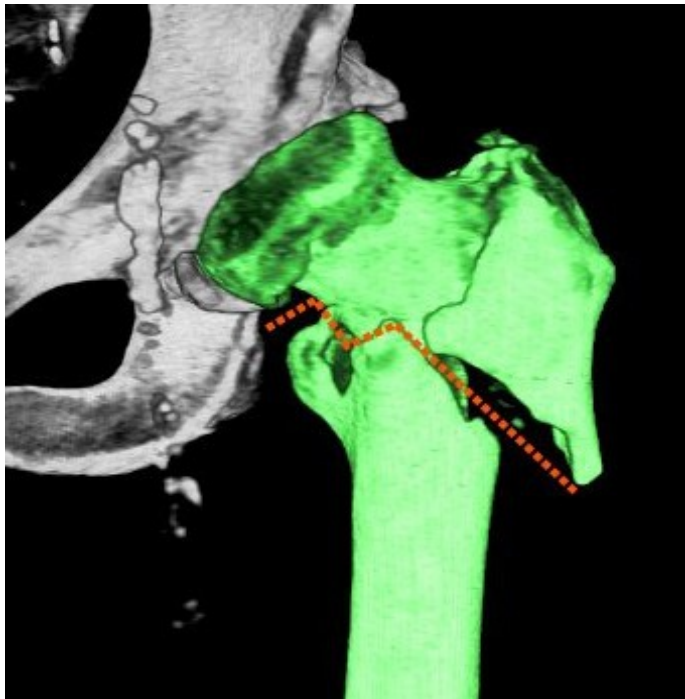
- layers, transparency*

Video compression†

- all in real-time



Medical data



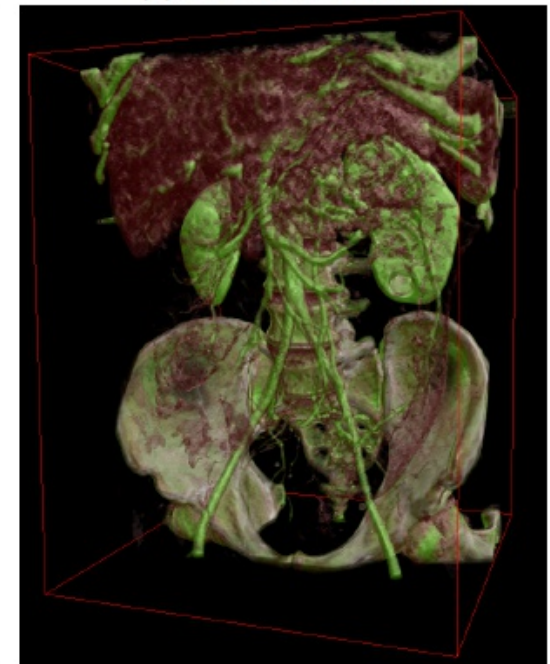
(a) Maximum intensity projection



(b) Density integration



(c) Isosurfaces



(d) 1D transfer function

© 2016, Jan Horáček, Jan Kolomazník

Medical data

Volume data acquisition†

- Computer Tomography
- Magnetic Resonance Imaging...

Data enhancement†

- de-noise, contrast (CUDA†, GPU†)

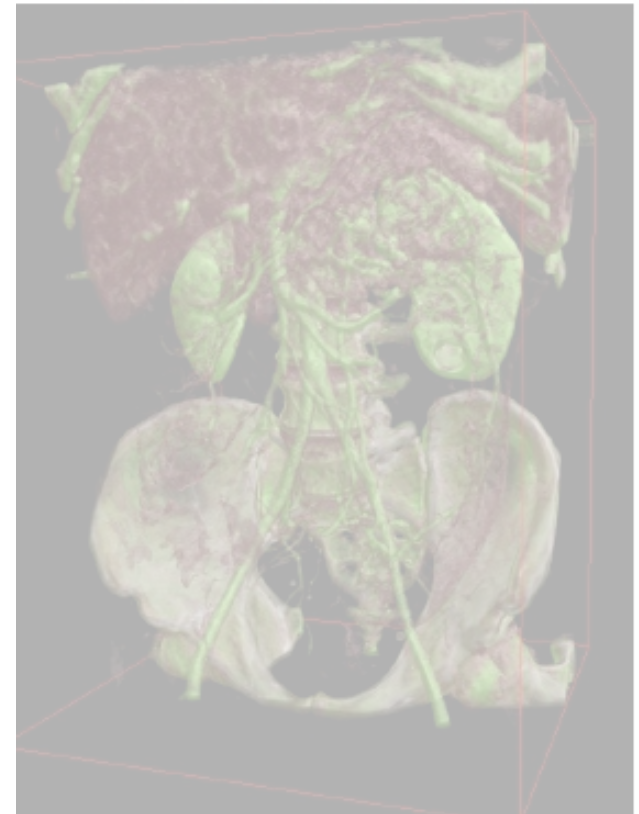
Segmentation†

- organs, vessels, bowels (CUDA†, GPU†)

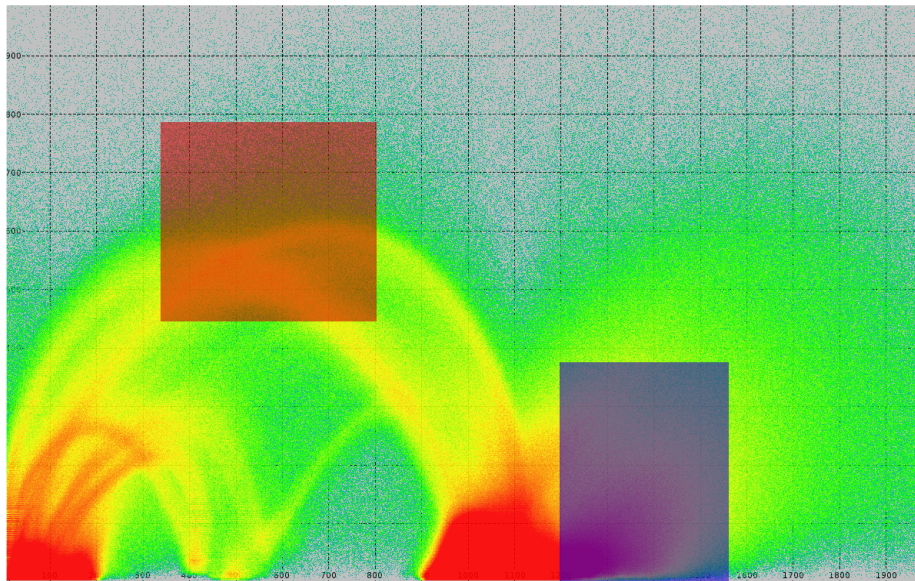
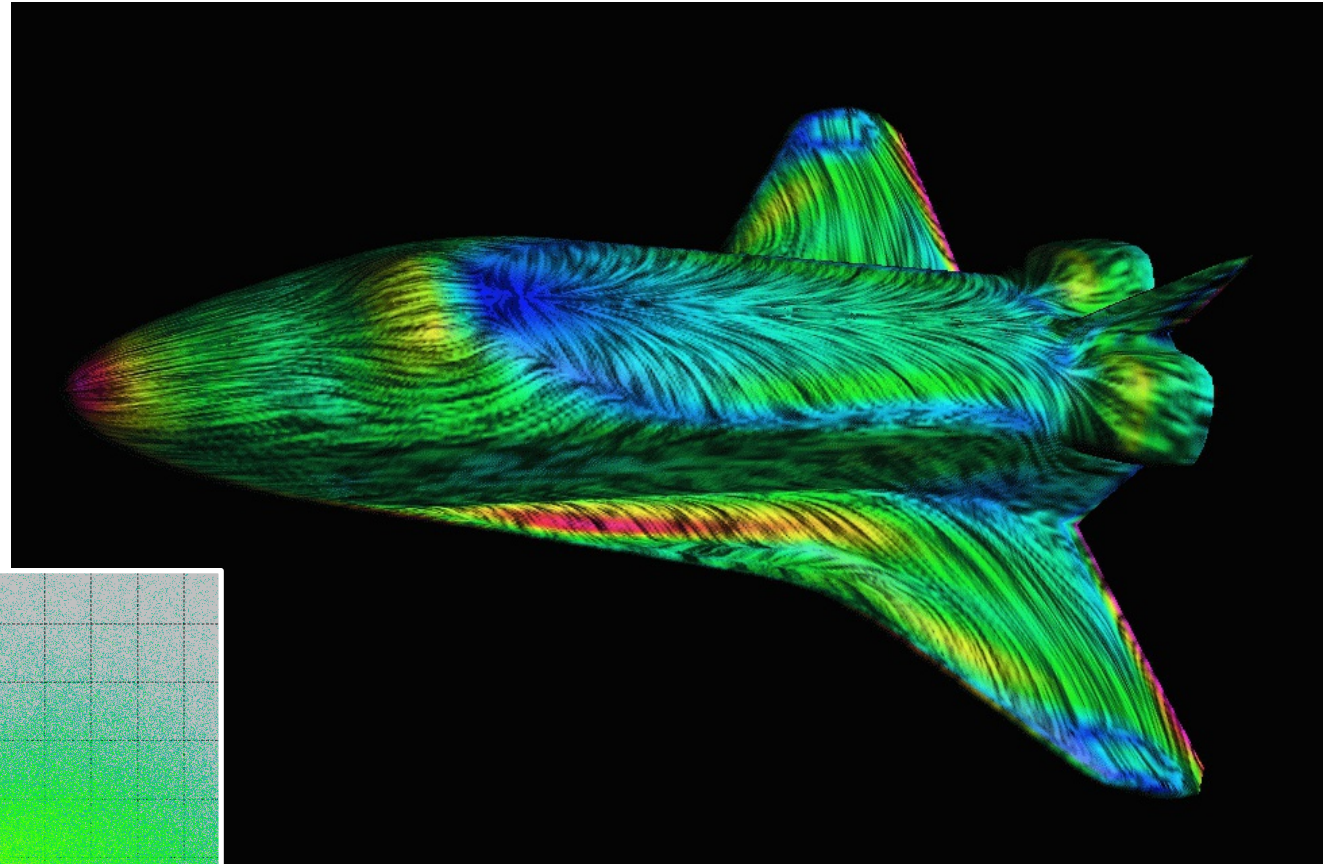
Real-time volume rendering†

- ray-casting on GPU

Measurements...



Scientific visualization



Scientific visualization

Data acquisition[†]

- numeric simulation
- measurements...

Visualization primitives[†]

- streamlines, arrows...

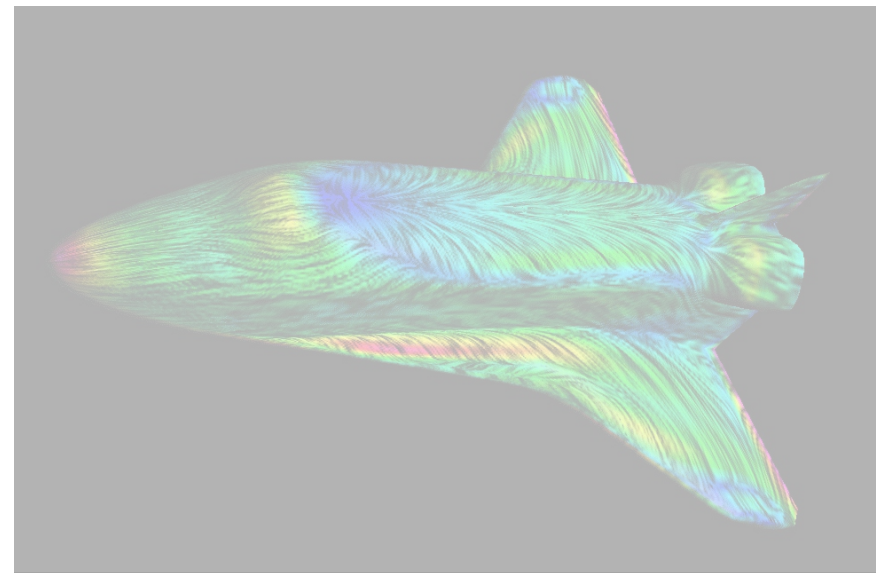
Real-time rendering[†]

- vanilla 3D or full volume rendering (CUDA[†], GPU[†])

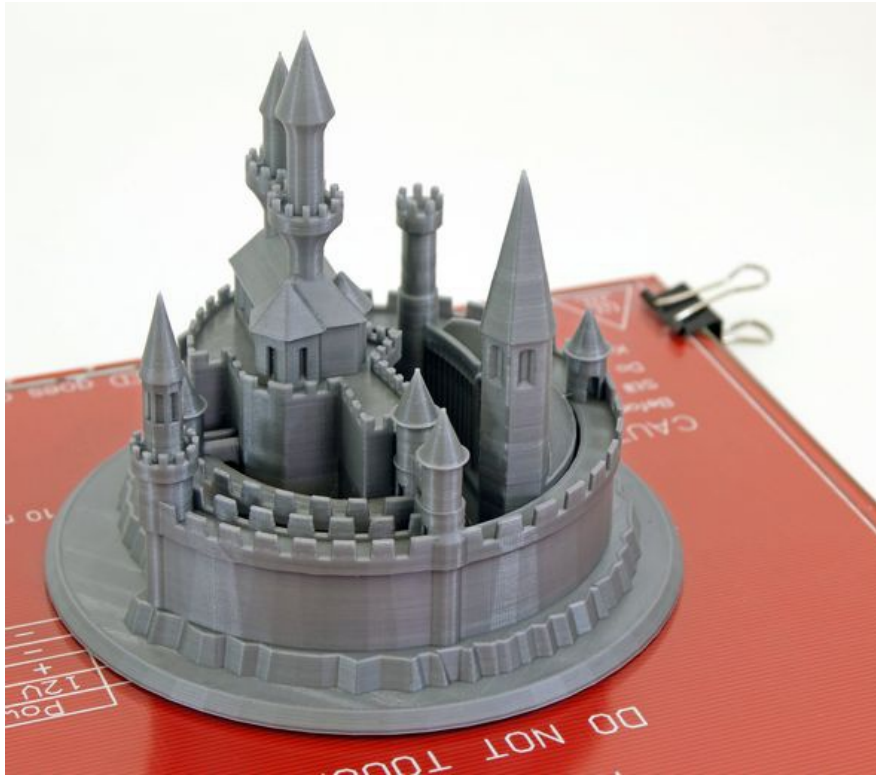
Interaction[†]

- „steering“

Measurements...



3D printing



© 2016, Prusa Research



3D printing

3D model editor†

- CSG, triangle-mesh...

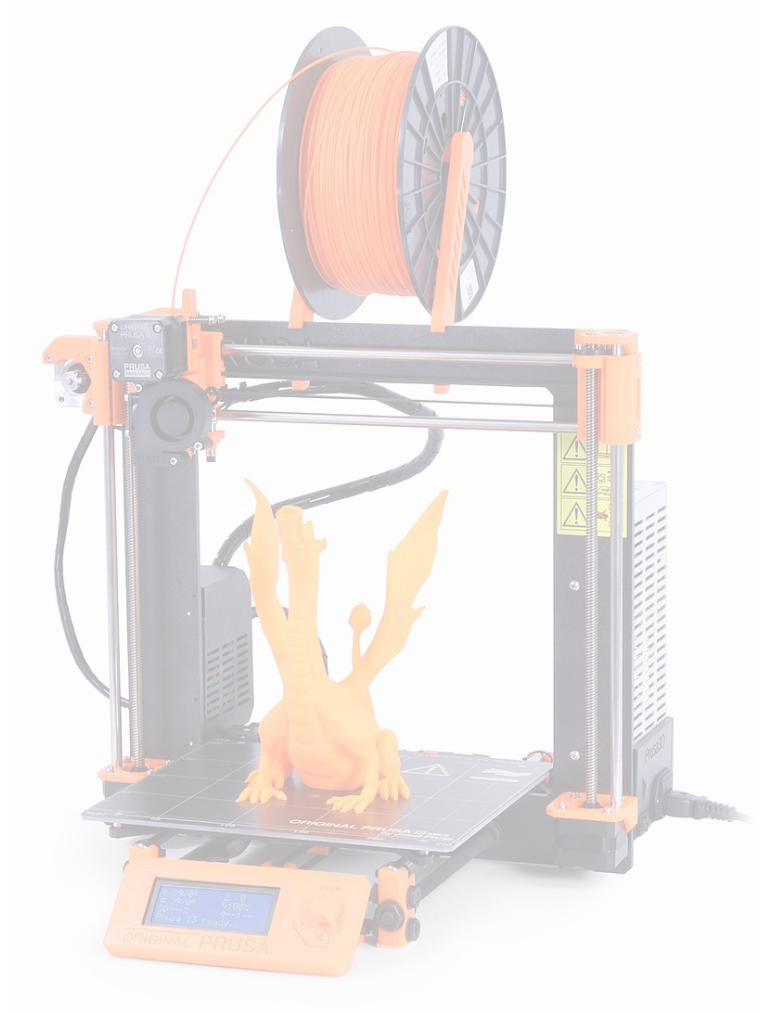
„Rendering“, rasterization

- similar to 2D rasterization*

Geometric optimization

- stiffness simulation?

Appearance modeling





Realistic rendering – Corona



© Bertrand Benoit, Pavel Stavila



created by Pavel Stavila
pavelstavila@live.com

Realistic rendering

3D scene model*

3D editing†

- 3DS Max, Blender, Rhinoceros

Materials*†

- surface appearance, textures†

Lighting†

- primary light sources + global illumination (GI) simulation†

HDR results*



Computer animation



© 1995, Pixar Animation Studios

Computer animation



© 2007, DreamWorks Animation SKG

Computer animation



© 2007, DreamWorks
Animation SKG



Computer animation



© 2015, Pixar Animation Studios,
Walt Disney Pictures

Computer animation

3D scene model*

3D/animation editing†

realistic rendering*†

- off-line (CUDA†, GPU†)
- materials, textures, appearance models
- lighting with GI

video-compression†

- off-line



CGI in film – Elysium



© 2013, TriStar Pictures

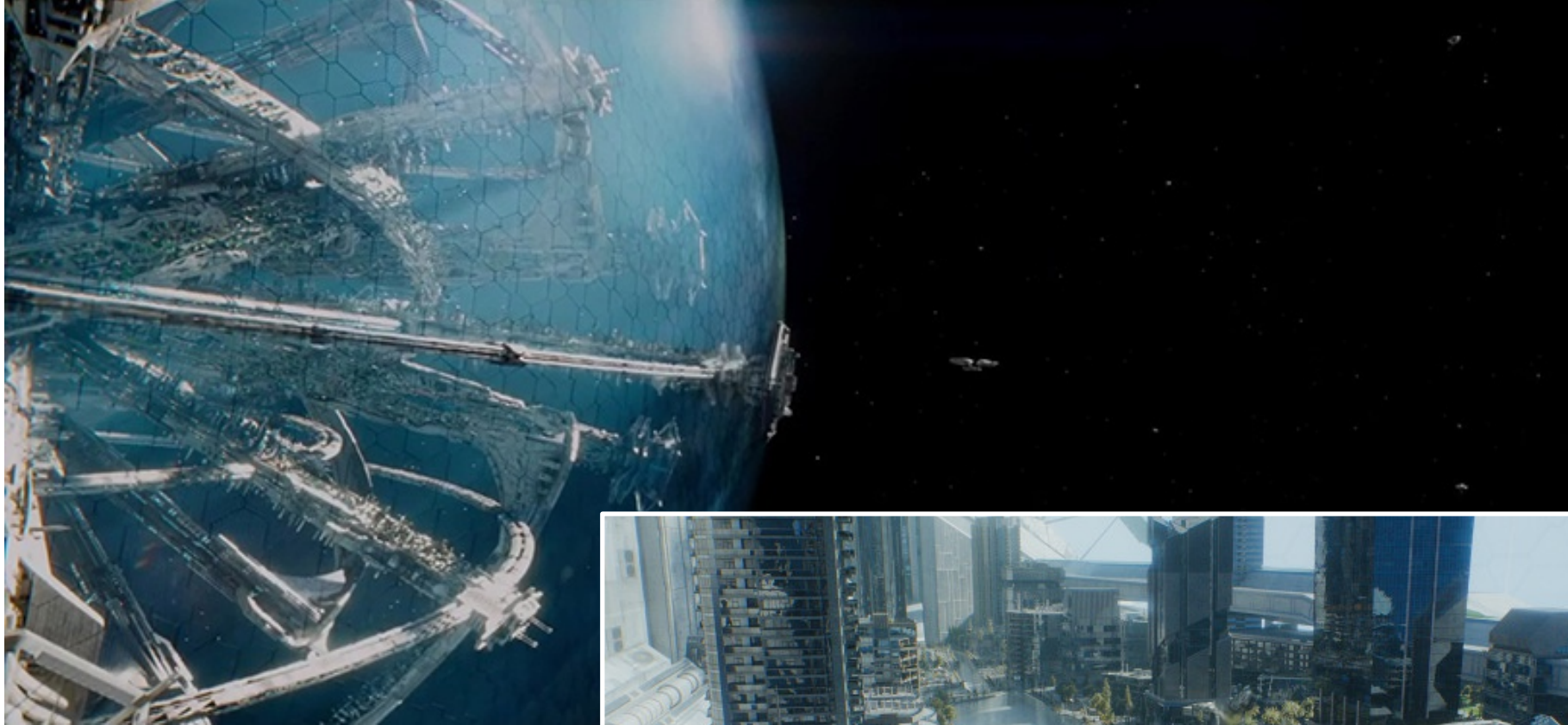
CGI in film – Star Trek into Darkness



© 2013, IL&M, Paramount Pictures



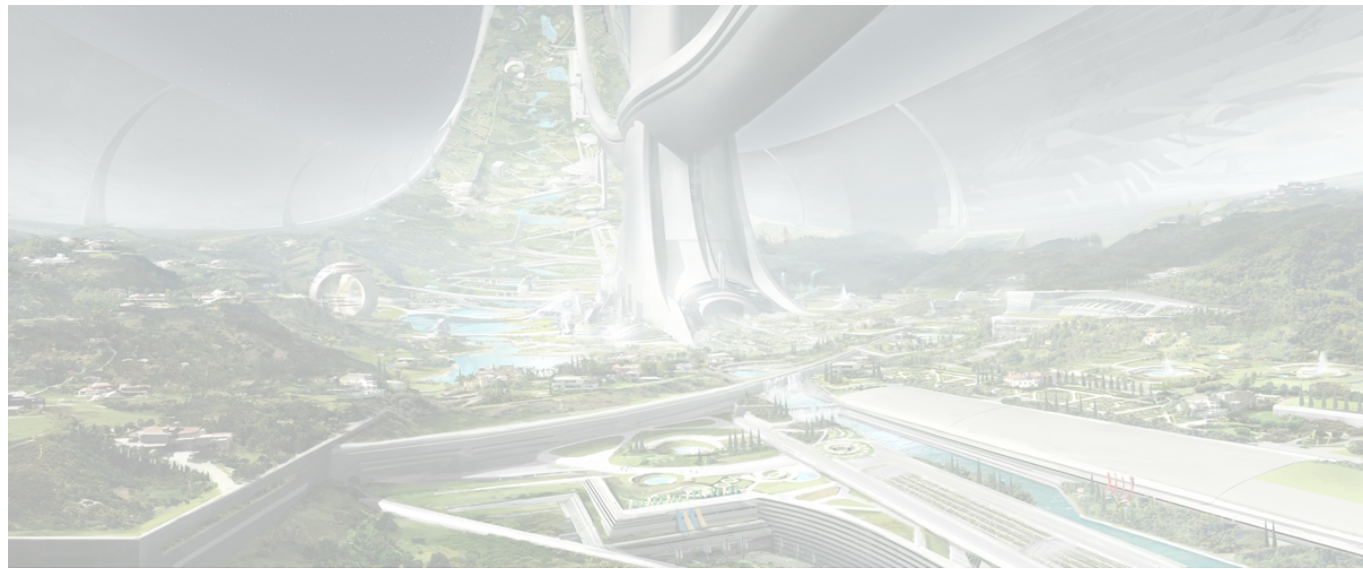
CGI in film – Star Trek Beyond



© 2016, Double Negative,
Paramount Pictures



CGI in film



3D scene model*

3D/animation editing†

Photo-realistic rendering*†

- off-line (CUDA†, GPU†)
- materials, textures, appearance + global illumination

Video-compression†

- off-line

VFX – The Perfect Storm



The Perfect Storm



Numeric ocean-water model!

- including realistic rendering of water

3D/animation editing†

Video composition and compression†

- off-line

VFX – The Perfect Storm



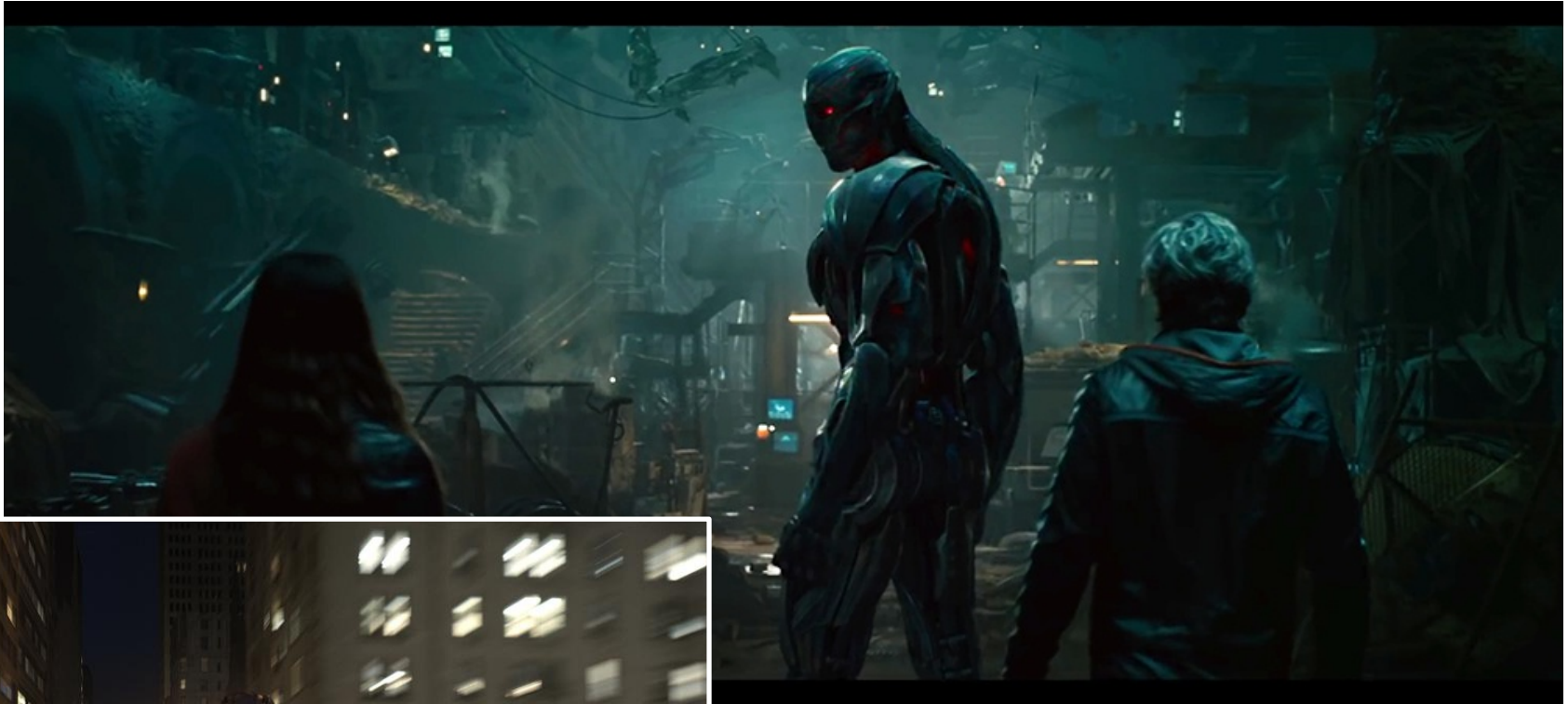
© 2000, IL&M

VFX – Marvel



© Marvel Studios, Paramount Pictures, IL&M...

VFX – Marvel



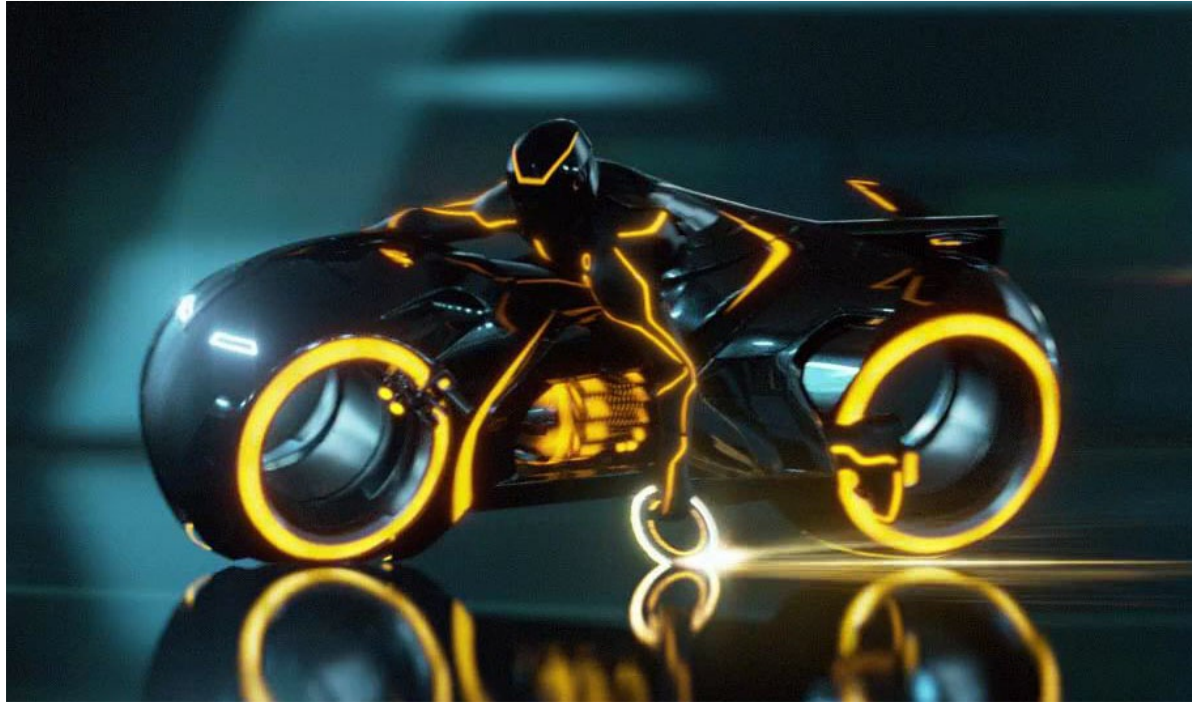
© Marvel Studios, IL&M...

VFX – Tron Legacy



© 2010, Disney Enterprises, Inc.

VFX – Tron Legacy



© 2010, Disney Enterprises, Inc.

"TRON: Legacy" © Disney Enterprises, Inc. All Rights Reserved.

VFX – Tron Legacy (color scheme)



© 2010, Disney Enterprises, Inc.

VFX – Tron Legacy

Motion capture!

- incl. green-screen keying

3D scene model*

3D/animation editing†

Photo-realistic rendering*†

- off-line (CUDA†, GPU†)
- materials, textures, appearance + global illumination

Video-compression†

- off-line

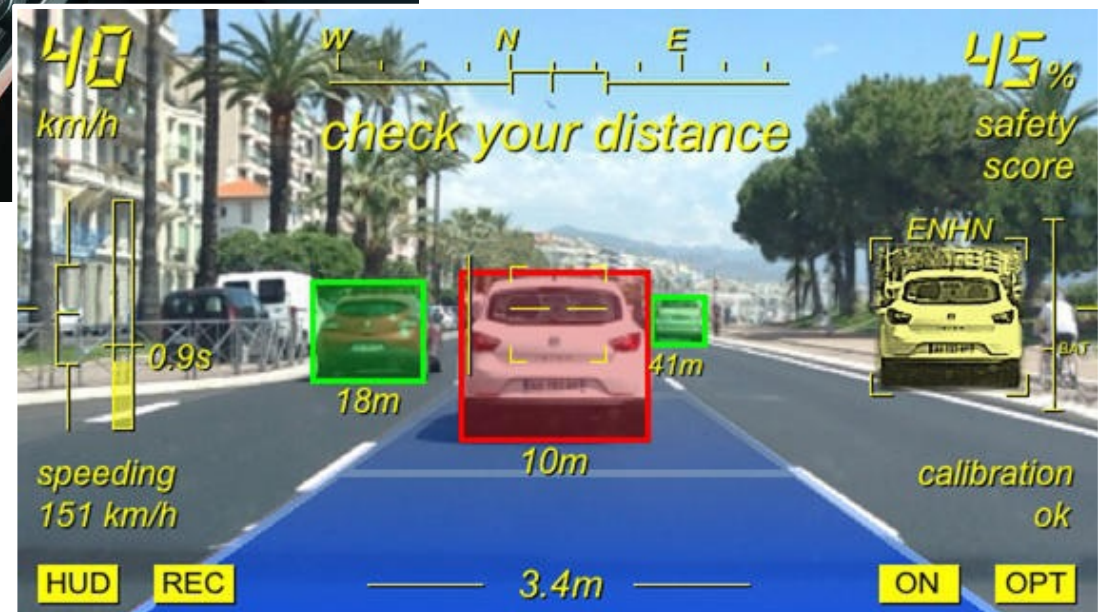


Self-driving car



© Tesla Motors ?

Self-driving car



© Volvo

Self-driving car

Real-time camera data

Camera calibration†

- as accurate 3D context as possible

3D computer vision†

- robust!
- real-time! (no lags)

Prediction, planning

- artificial intelligence

Actual steering



Videogame – DayZ (Arma II mod)



© 2013-2016 Bohemia Interactive

Videogame – Kingdom Come: Deliverance



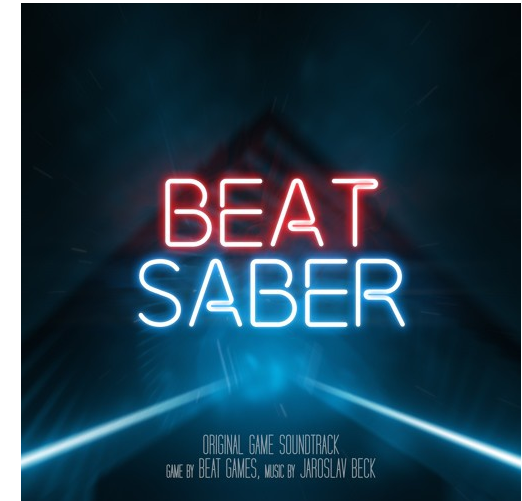
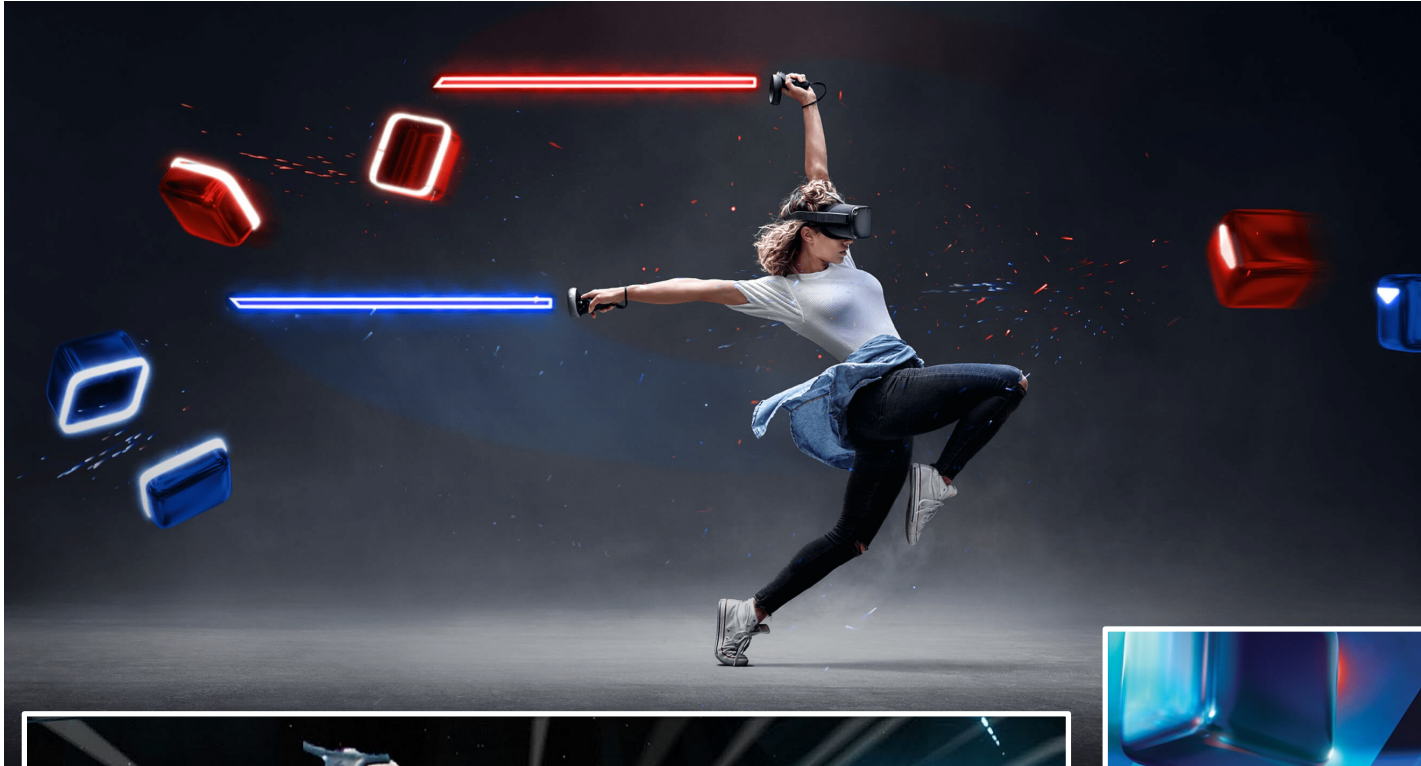
© 2016-2017 Warhorse Studios

Videogame – Overwatch



© 2016, Blizzard Entertainment

Videogame – Beat Saber



© Oculus, Beat Games



Videogames

3D editing, tools

Game logic[†]

- interaction among virtual objects

User interaction[†]

Real-time rendering^{†*}

- constant FPS, textures, LoD, GPU shaders[†]
- scene virtualization (potentially infinite scene)...

Agents, AI players[†]

Multiplayer

- LAN layer, lag compensation...



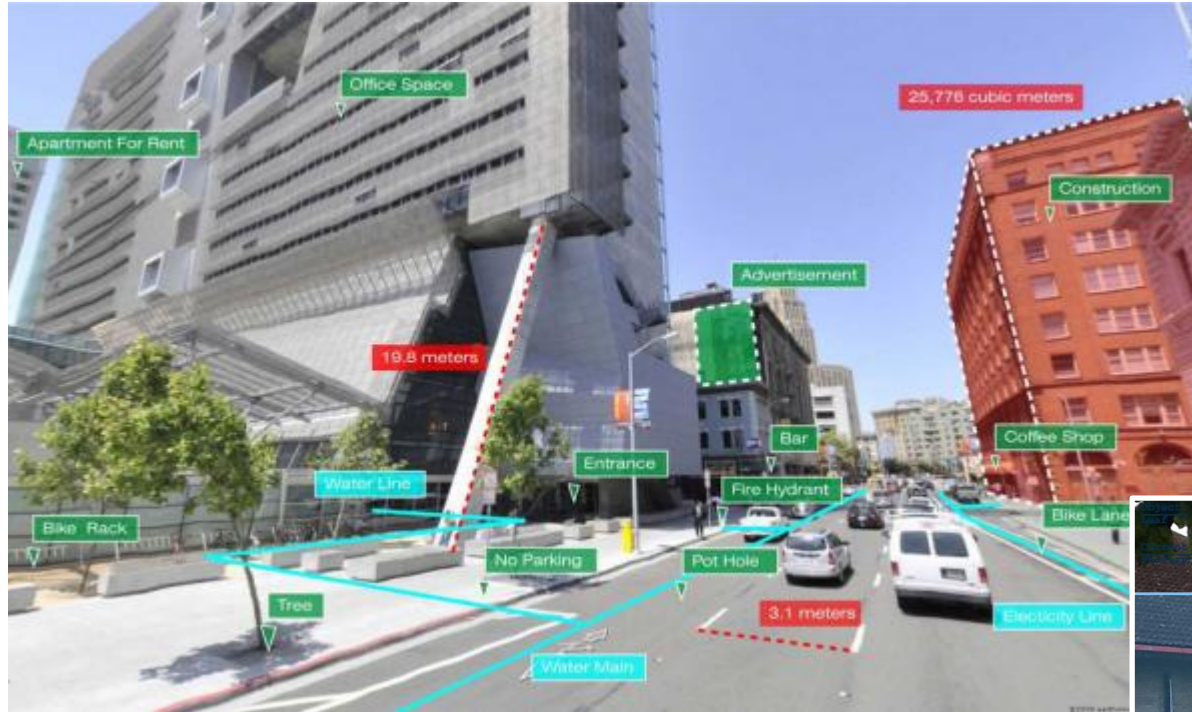
Virtual reality – „Cave“



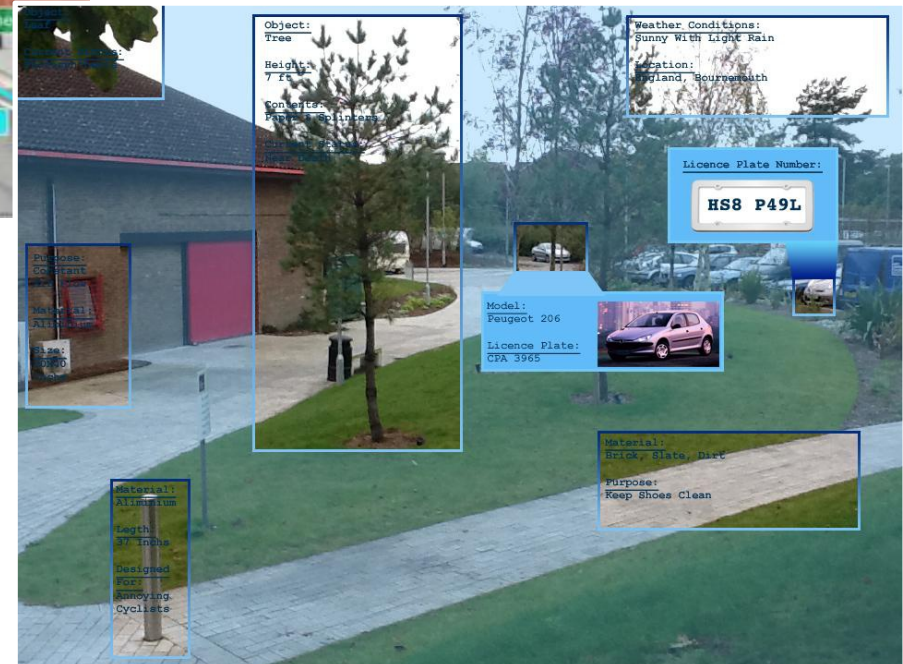
© 2011, Land Rover



Augmented reality – „Smart glasses“



© Google, Stormy's Media Mountain



Augmented reality – „Smart glasses“



© 2016, Epson (Moverio BT 300)

Augmented reality – military



© 2016, ARA

Augmented reality – phone



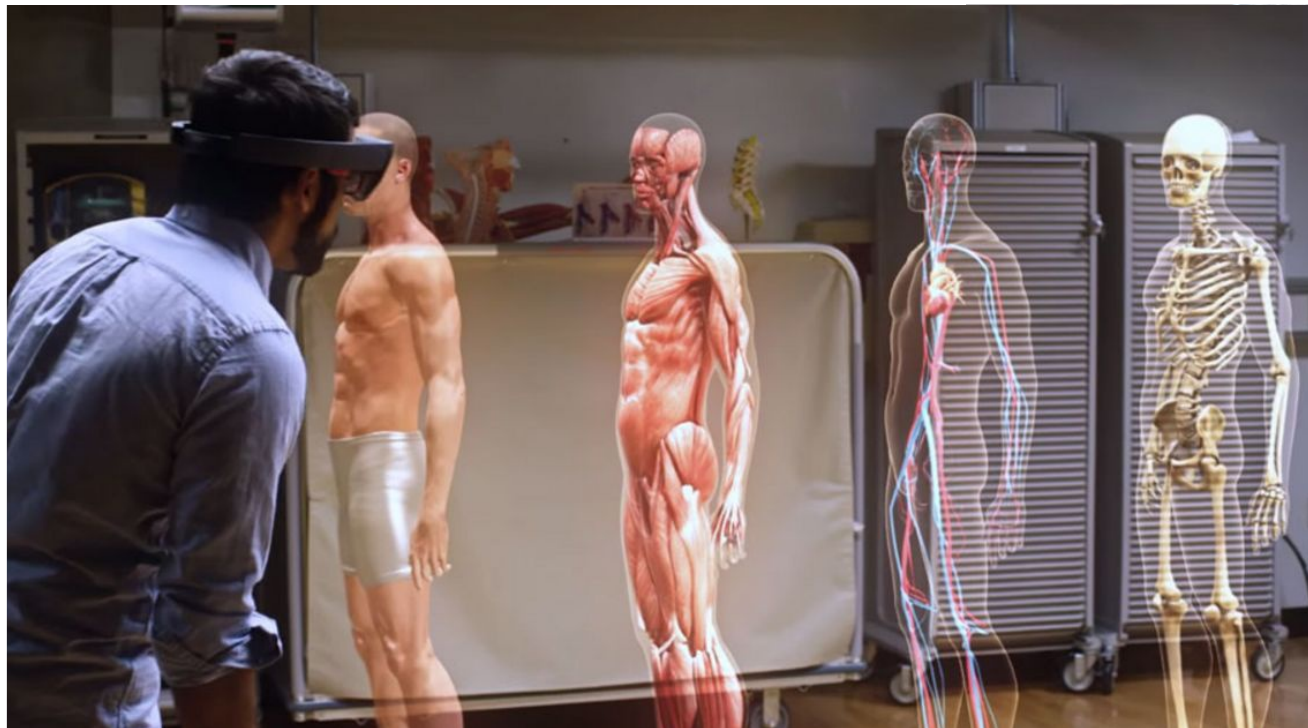
© 2012, JP

Augmented reality – tablet



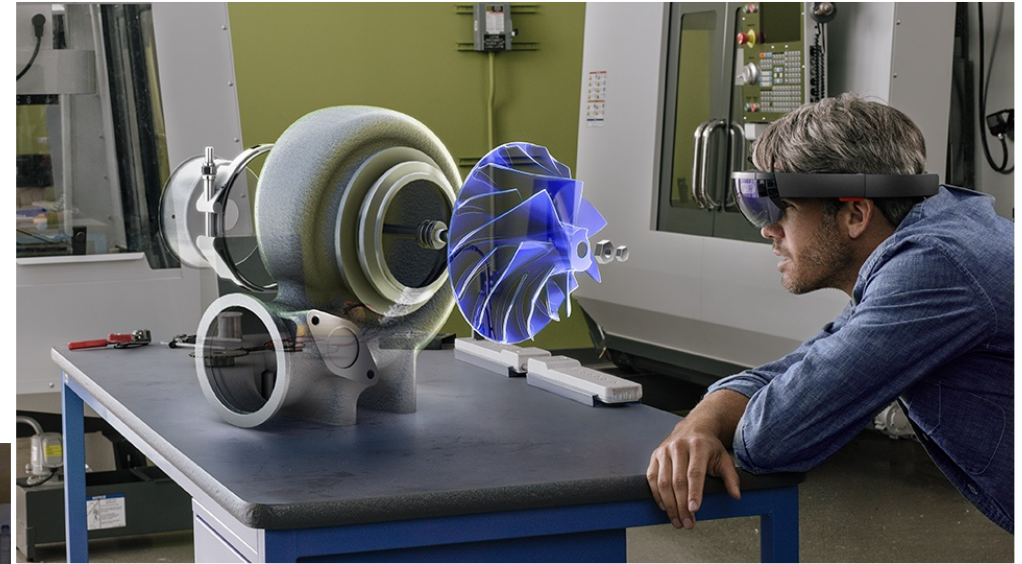
© RE'FLEKT GmbH

Augmented reality – HoloLens



© 2016 Microsoft

Augmented reality – HoloLens



© 2016 Microsoft

Augmented reality



Virtual 3D scene*

3D position†

- computer vision („inside-out tracking“ ...)
- accelerometers, gyroscopes, magnetometers

Real-time rendering*†

- GPU, shaders†
- no lags can be tolerated!

Interactivity†

- computer vision† (hand gestures), discrete controllers...



Základy počítačové grafiky

NPGR 003

Zimní semestr 2/2 Z, Zk



Obsah a forma

Základy 2D i 3D grafiky

- navazují na ni
 - » Fotorealistická grafika (NPGR004) v LS
 - » Realtime grafika na GPU (NPGR019) v LS

2/2 Z, Zk

- přednáška i cvičení jednou týdně
- cvičení – ukázky a úlohy v C#
- komplexní hodnocení písemné zkoušky dohromady s výsledky zápočtových úloh



Stručný plán přednášky 2D

Rastrová a vektorová grafika (2)

- rastrový obraz, průhlednost, HDR grafika, operace s rastrovými obrázky, vektorový formát SVG

Barvy, jejich vnímání a zobrazování (2)

- barevné vidění, barevné prostory (RGB, CMYK, HSV), zobrazování barev, pŕltónování a rozptylování

Kódování rastrových obrázků (1)

- kódování, grafické formáty (JPEG+JFIF, GIF, PNG...)

Rastrové kreslení (1)

- kreslení úseček, křivek, vyplňování, ořezávání...



Stručný plán přednášky 3D

Matematika pro 3D grafiku (1)

- lineární transformace, homogenní souřadnice, projekce

Reprezentace 3D scén (1)

- výčtové, objemové a povrchové reprezentace, hierarchie

Úvod do OpenGL (1+lab)

Základy animace (1)

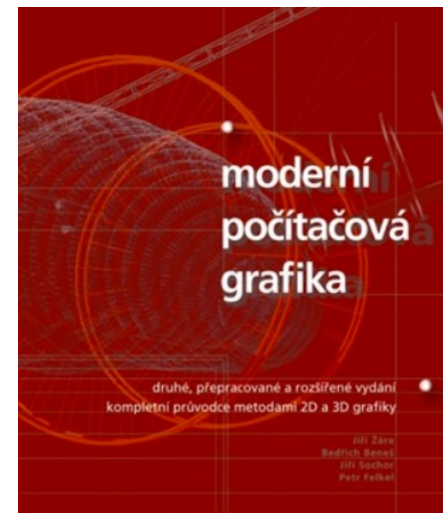
- rotace, trajektorie, interpolační křivky

Zobrazování 3D scén, stínování, viditelnost (2)

- příklady algoritmů na viditelnost, základy stínování a renderingu, vrhání a sledování paprsku (ray-tracing)

Literatura (CZ)

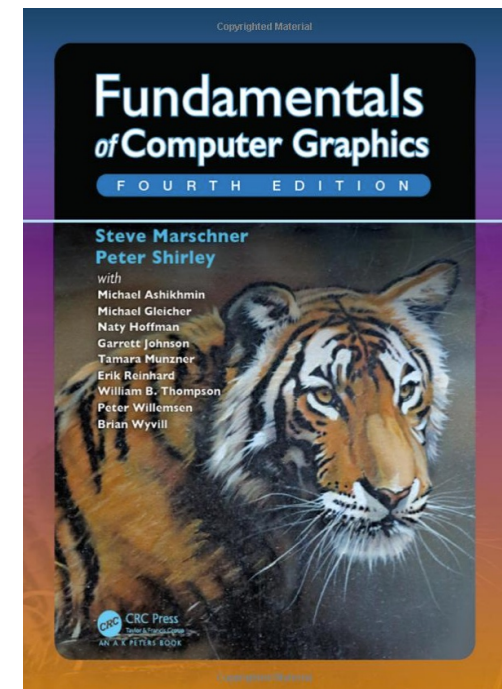
Jiří Žára, Bedřich Beneš, Jiří Sochor, Petr Felkel:
***Moderní počítačová grafika*, 2. vydání,**
Computer Press, 2005, ISBN: 80-251-0454-0



Literatura (US)

S. Marschner, P. Shirley: *Fundamentals of Computer Graphics*, 4rd edition, A K Peters / CRC Press, 2015

J. Foley, A. van Dam, S. Feiner, J. Hughes: *Computer Graphics, Principles and Practice*, 2nd edition in C, Addison-Wesley, 1995





Předpoklady

Základní kurs programování

- algoritmy, datové struktury

Základy programování v jazyku C#

- nejsou potřeba detaily jazyka ani knihovny
- na cvičeních budete mít připraveny šablony pro vaši práci

Základní kurs matematické analýzy a lineární algebry

Užitečné adresy



Aktuální informace na WWW

- <https://cgg.mff.cuni.cz/prednasky.cz.php>
- <https://cgg.mff.cuni.cz/~pepca/>

Podpora pro cvičení

- <https://cgg.mff.cuni.cz/~pepca/grcis/>
- <svn://cgg.mff.cuni.cz/grcis/trunk/>

Facebook CGG

- <https://www.facebook.com/CGGMFF>



Další vhodné grafické předměty (ZS)

Seminář z počítačové grafiky a vidění: 0/2, NPGR005

Introduction to Colour Science: 2/0, NPGR025 (Alexander Wilkie)

Geometrické modelování: 2/2, NPGR021 (Zbyněk Šír)

Digitální zpracování obrazu: 3/0, NPGR002 (Jan Flusser, ÚTIA AV ČR)

3D počítačové vidění: 2/2, NPGR001 (Václav Hlaváč, CIIRC)

Strojové učení v počítačovém vidění: 2/2, NPGR035 (Elena Šikudová)

Animovaná a grafická tvorba: 1/1, NPGR039 (Ondřej Javora, FF UK)

Doporučení pro nadšence



HiVisComp

Konference HiVisComp

- každoročně v zimě (s lyžováním), setkávají se tam počítačovní grafici a fanoušci příbuzných oborů z ČR, Slovenska, Německa, Rakouska...
- <https://www.hiviscomp.cz/>

Studentská konference CESC G

- prezentují se studentské příspěvky a projekty
- Slovensko, Rakousko, ČR, Německo, Francie...
- <https://www.cescg.org/>

CESC G

Barevné vidění

© 1995-2019 Josef Pelikán
CGG MFF UK Praha

pepca@cgg.mff.cuni.cz
<http://cgg.mff.cuni.cz/~pepca/>

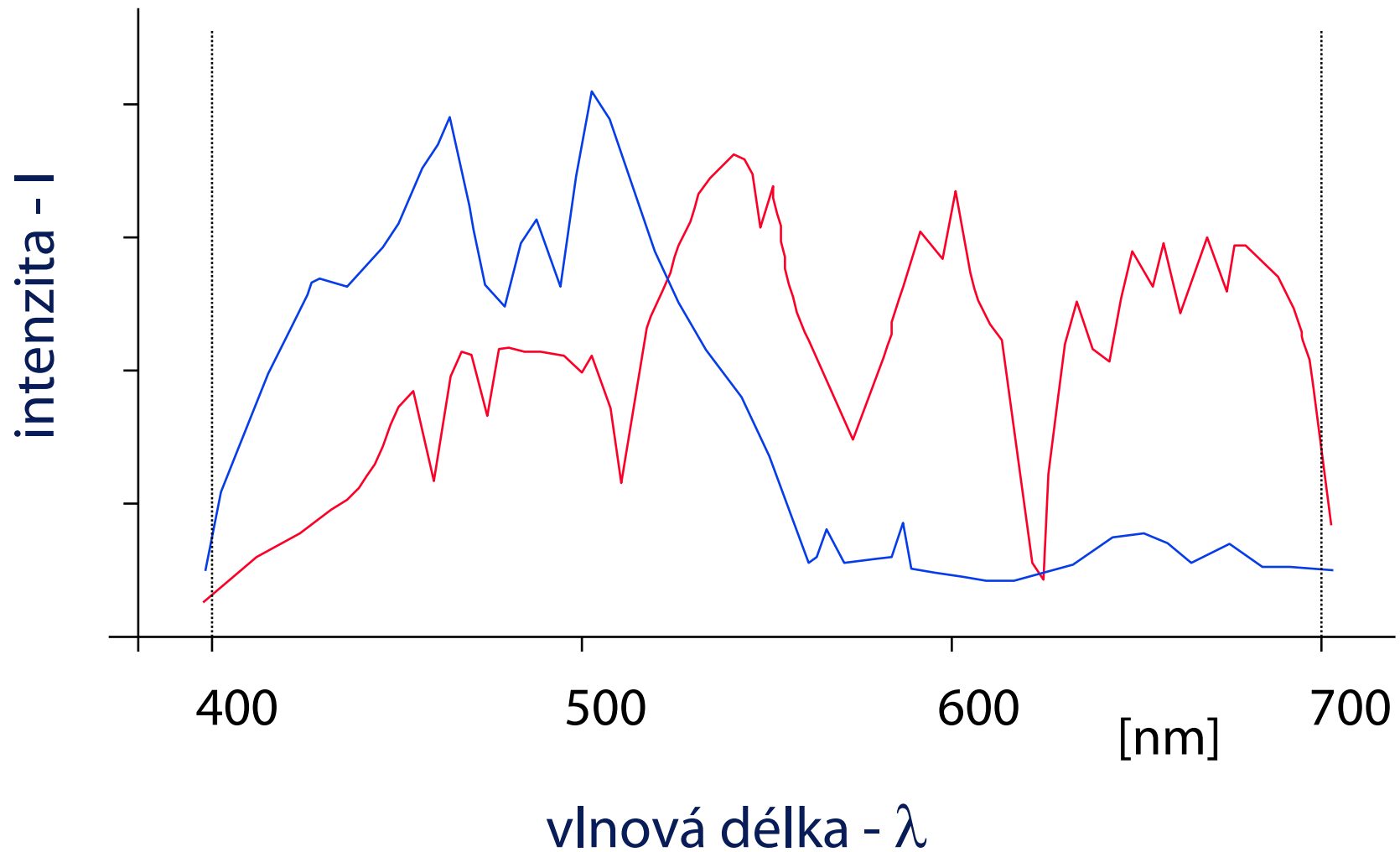


Špatnota bludy tvořitelská:

Newton stvořil blud, že Sluno vysílá ze sebe jemné částičky proti Huyghensovým ukám, že světlo jsou chvěje tenýra zrakovým čivem pojaté ...

Jakub Hron: „Skutky lidské, čili Jeden tisíc špatnot žijby a konby lidské“, 1907

Viditelné světlo, spektrum





Barevný vjem

Prostor všech spekter má **nekonečnou dimenzi**

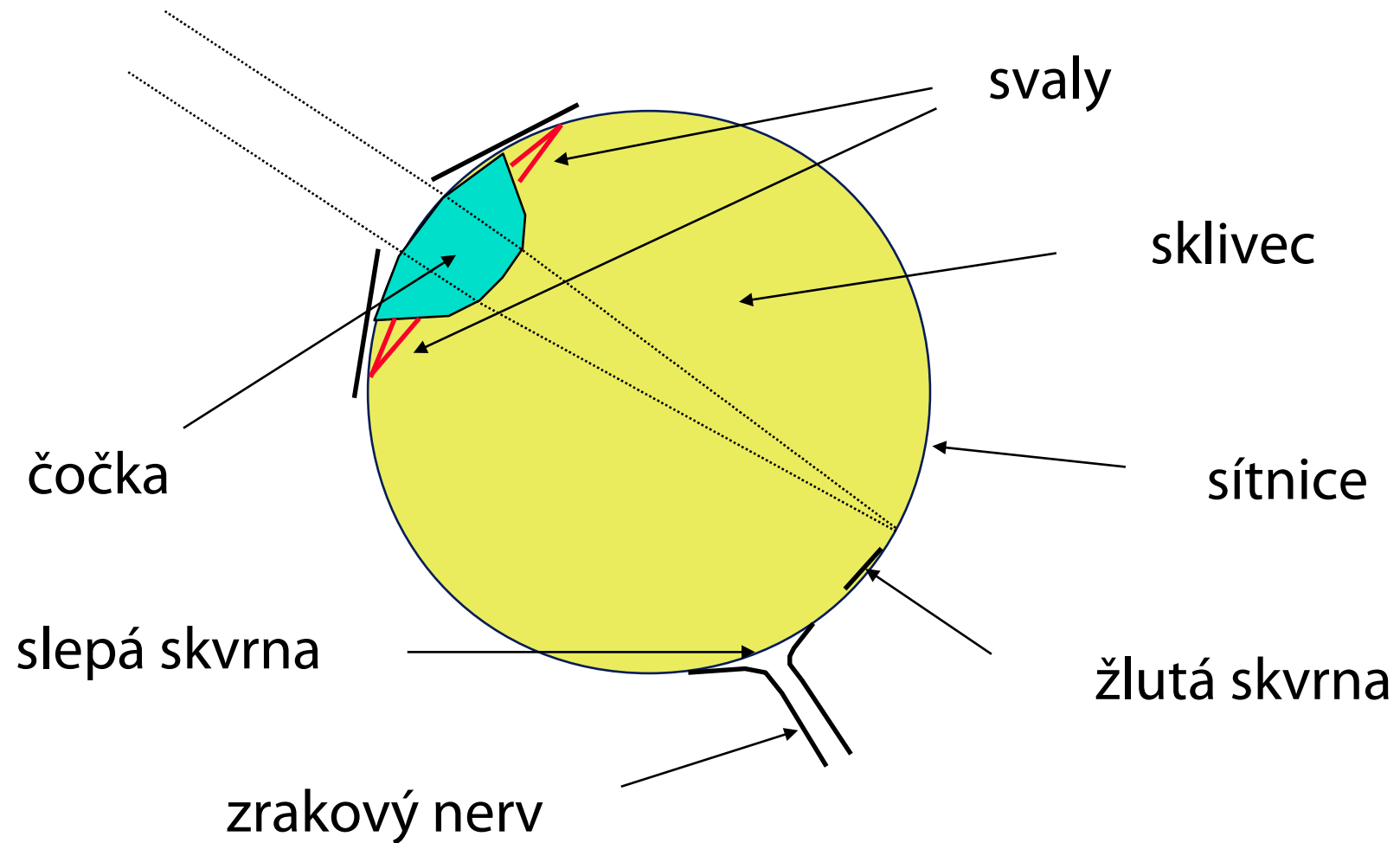
- systém lidského vidění je však nedokáže všechny rozeznat („metamers“)

Grassmanovy zákony (1854) – lidské oko vnímá:

- **dominantní vlnovou délku** (odstín, „hue“)
- **čistotu barvy** (sytost, „saturation“)
- **intenzitu** (jas, „brightness“)

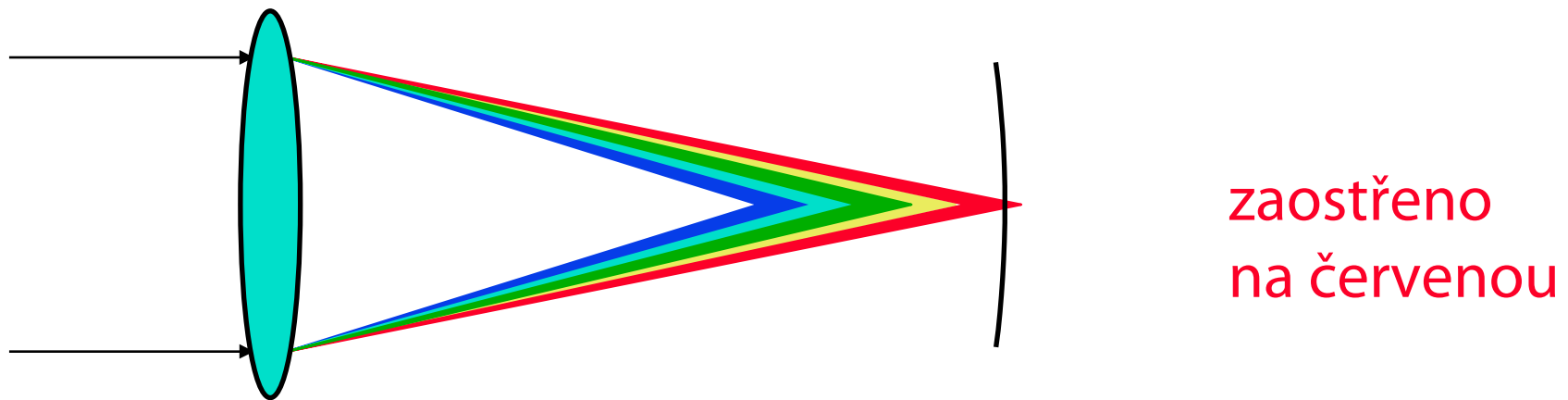
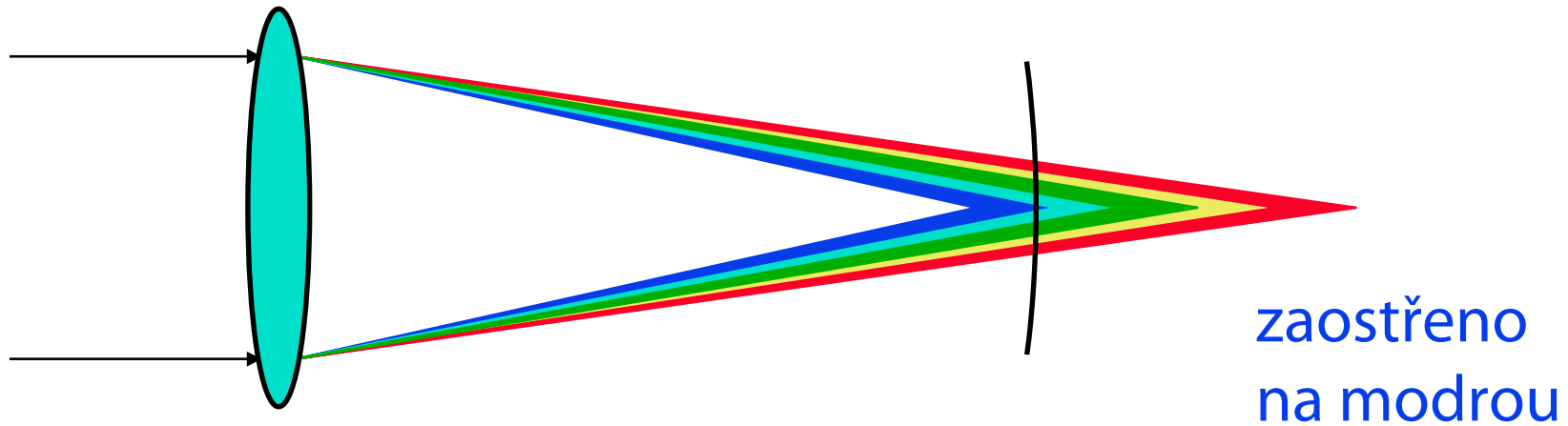
Barvy lze aditivně skládat ($A = B, C = D \Rightarrow A + C = B + D$)

Lidské oko

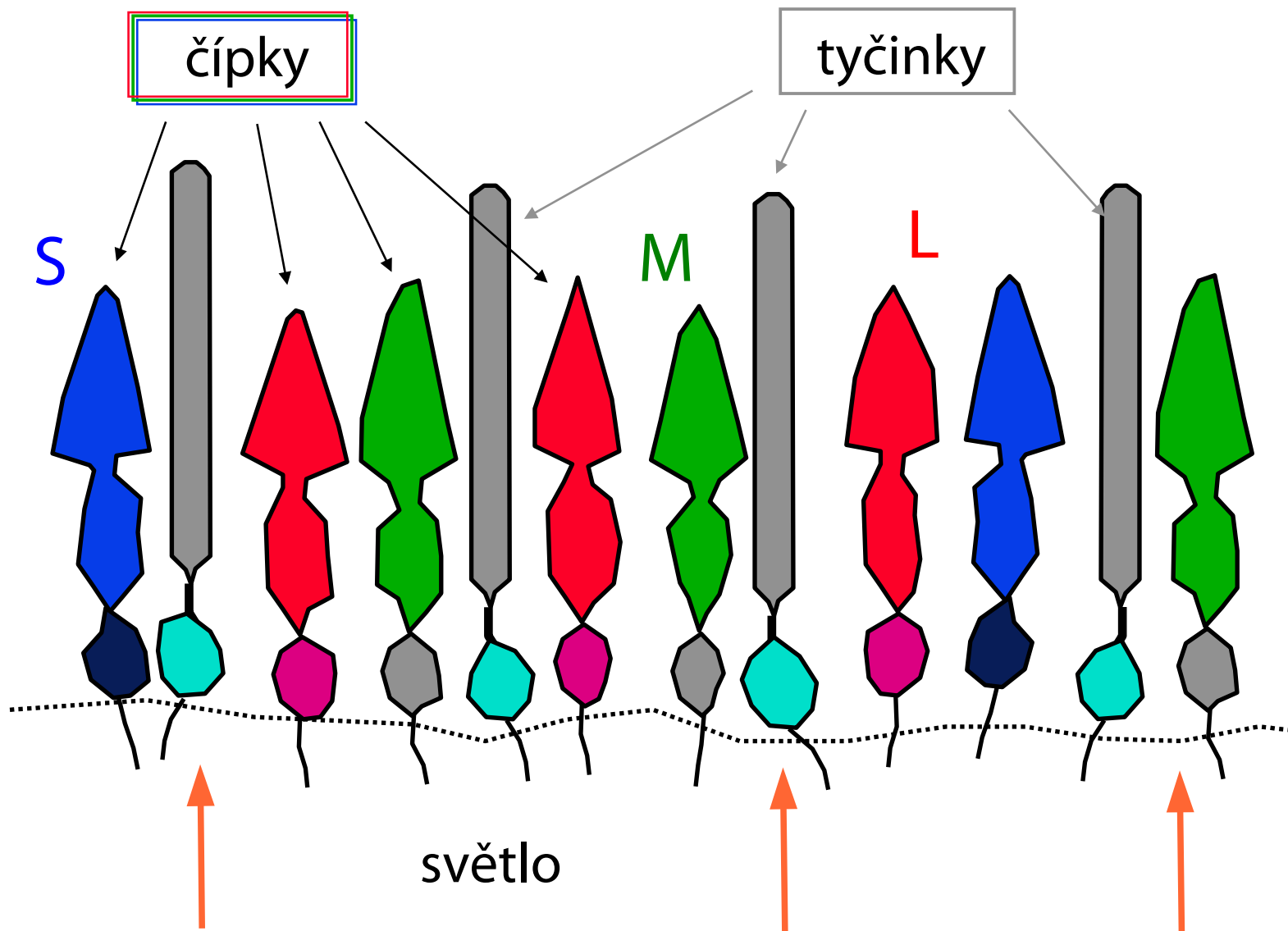




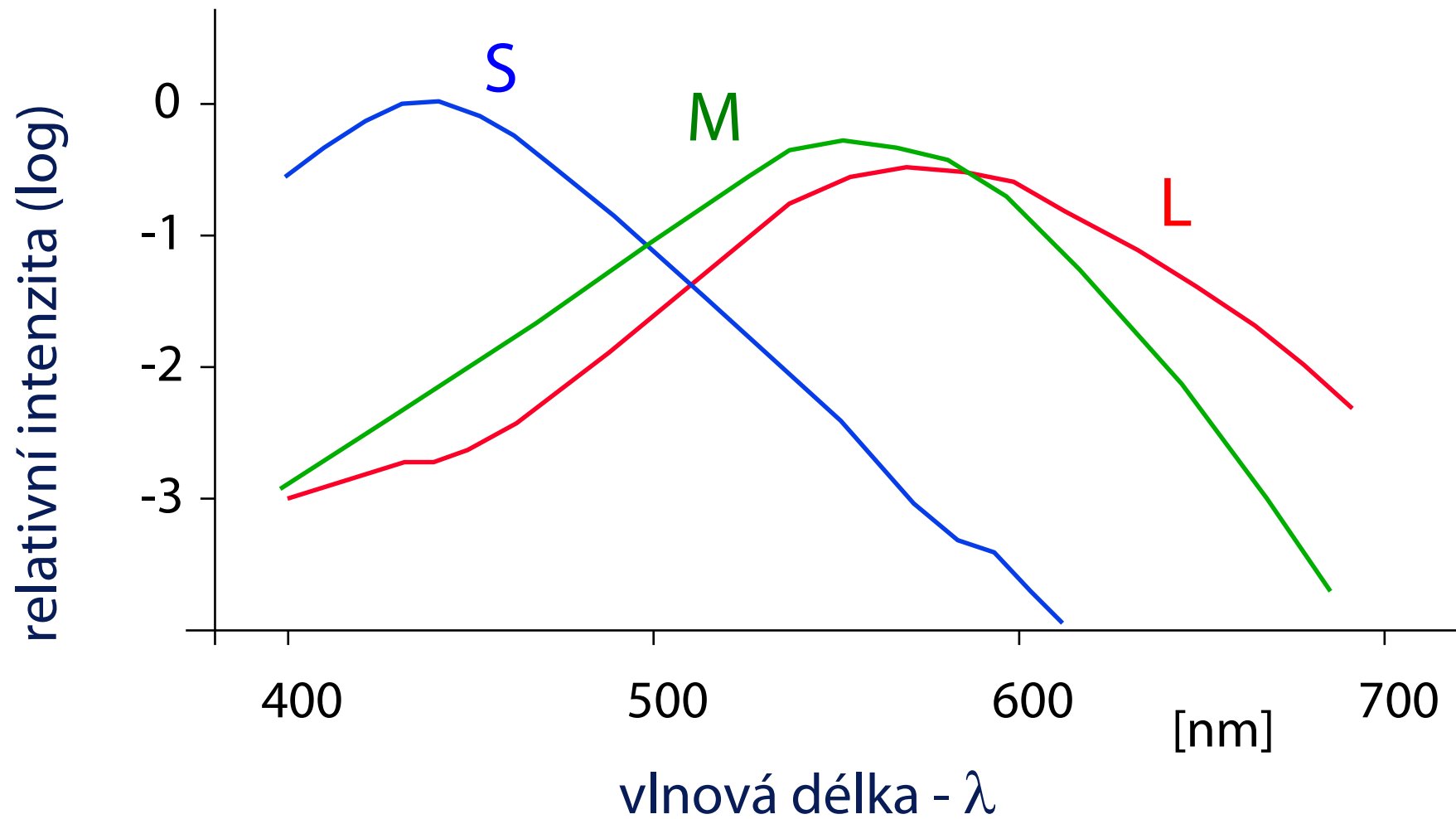
Barevná aberace



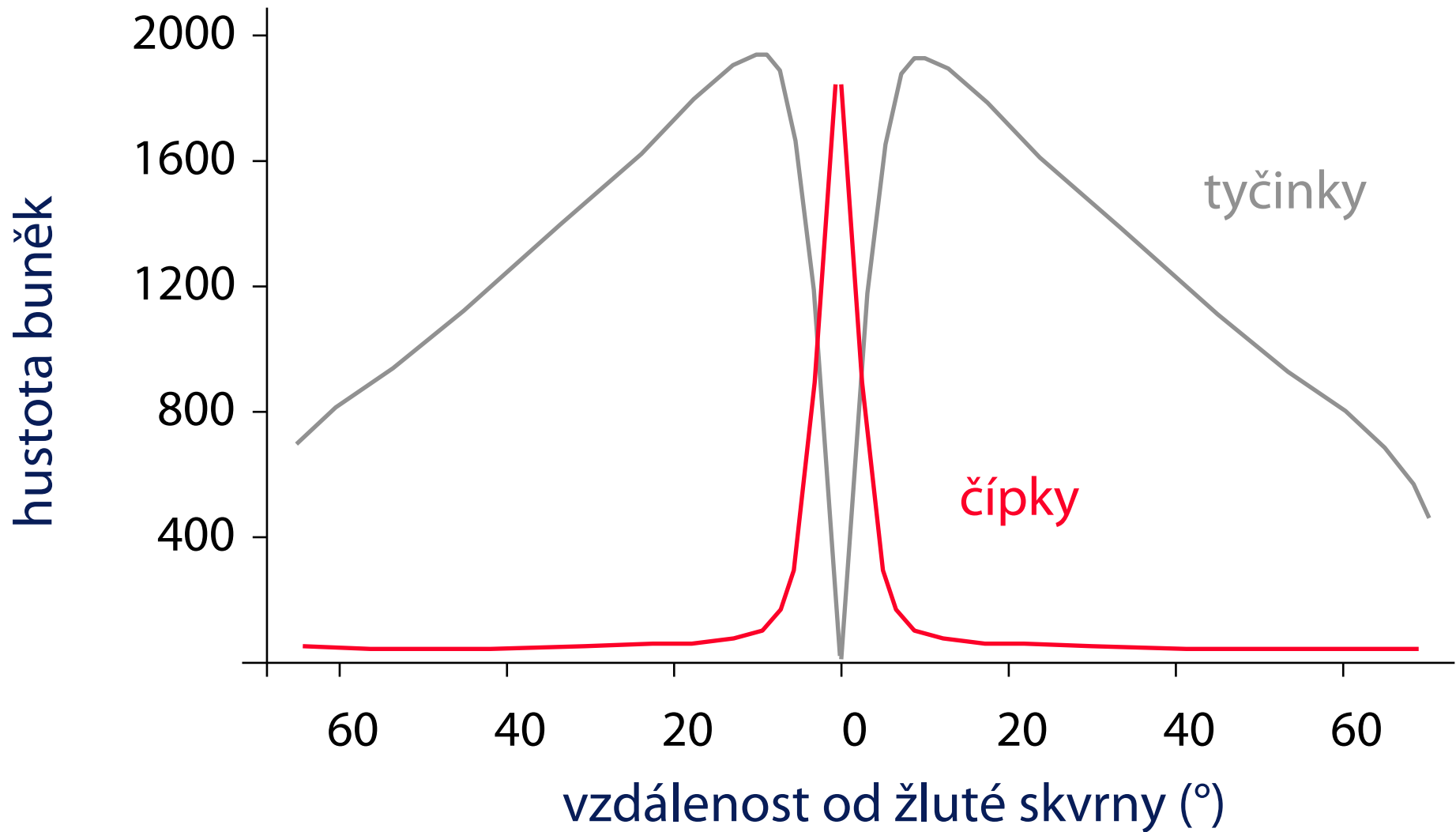
Sítnice



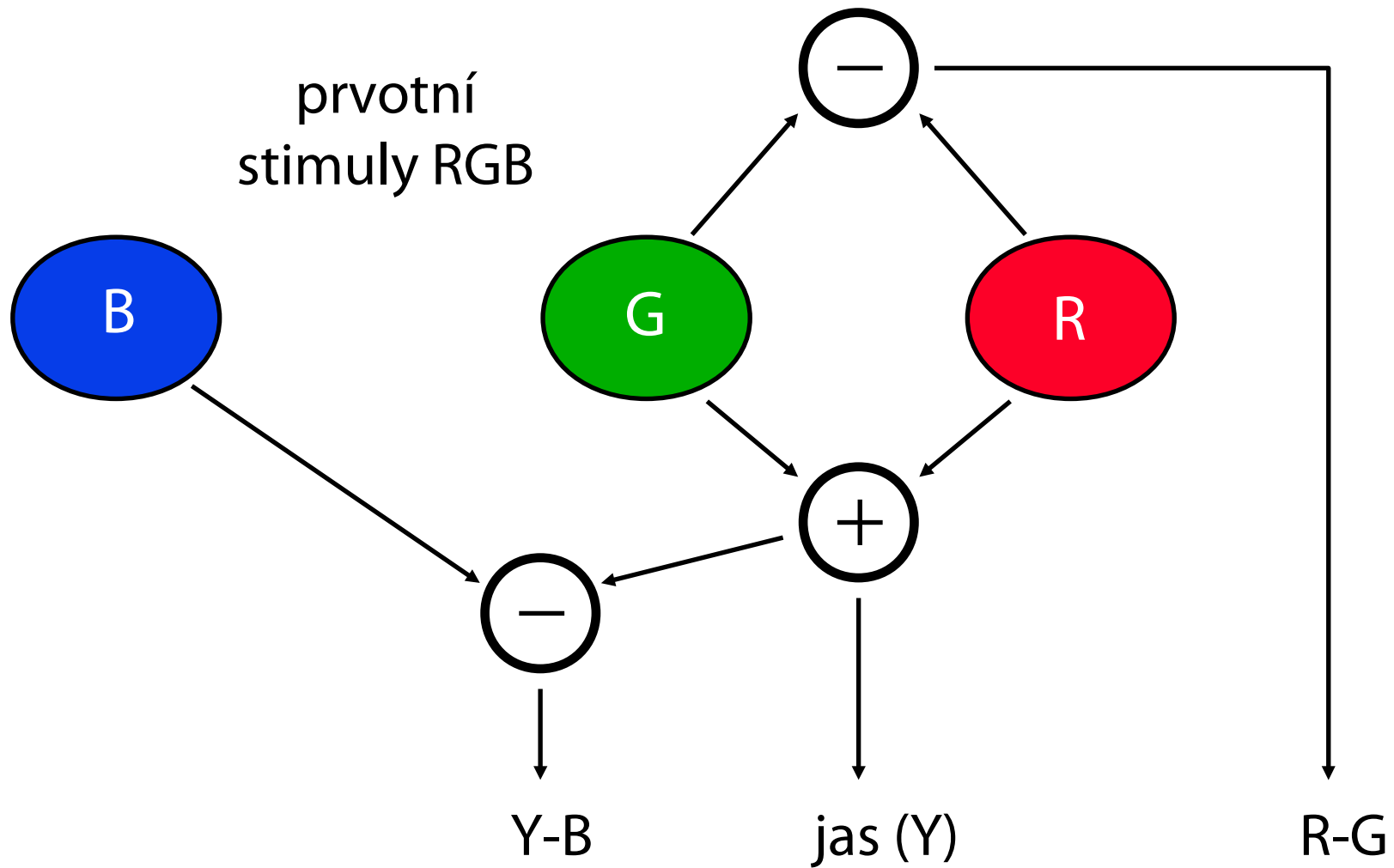
Tři fotopigmenty



Rozložení fotoreceptorů



Předzpracování barev





Vlastnosti systému vidění I

Různá citlivost na **červenou** (0.3), **zelenou** (0.6) a **modrou** (0.1) barvu

- navíc střed žluté skvrny téměř neobsahuje „modré“ čípky

Zaostřuje se podle **jasové složky** ($Y = R + G$)

- nelze dobře zaostřit na rozdíly v modré složce

Integrační schopnost sítnice

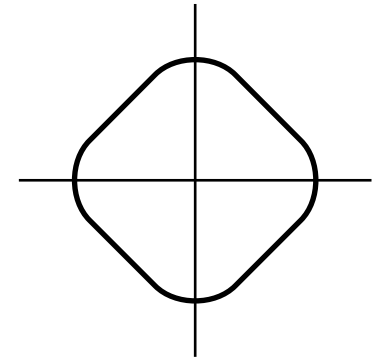
- vnímáme samostatné tečky a zároveň jejich hustotu
- umožňuje použít rozptylovací metody (dithering)



Vlastnosti systému vidění II

Větší rozlišovací schopnost ve svislém a vodorovném směru

- v šikmých směrech asi o 30% menší



Přeostrňování na barvy vzdálené ve spektru

Setrvačnost („afterimage“)

- [chemické] vyčerpání některých receptorů

Očekávání („expectation“)

- psycho-fyziologická vlastnost



Vlastnosti systému vidění III

Vliv okolí („surround“)

- vjem barvy závisí na okolních barvách/intenzitách
- hnědá barva „neexistuje“

Čočka a sklivec se zbarvují stále více do žluta

- ve stáří klesá schopnost vidět krátké vlnové délky

Vady barevného vidění

- splynutí „červeného“ a „zeleného“ pigmentu (nebo absence jednoho z nich) – nejčastější vada
- chybí „modrý“ pigment
- chybějí čípky vůbec („monochromats“)



Doporučení

Používat barvy střízlivě

- maximálně 4-6 různých barev, odstínů může být víc

Nekreslit modrou barvou malé objekty a tenké čáry

- málo „modrého“ pigmentu ve středu žluté skvrny

Na pozadí nepoužívat červenou a zelenou

- modrá i žlutá vyhovují

Nekreslit vedle sebe syté barvy daleko ve spektru

Používat barvy logicky a konzistentně



Literatura

G. Murch: *Human Factors of Color Displays*, in Advances in Computer Graphics II, Springer, 1986, 1-27

D. Pritchard: *U.S. Color Television Fundamentals - A Review*, IEEE Transactions on Consumer Electronics, vol. CE-23, #4, 467-478

J. Foley, A. van Dam, S. Feiner, J. Hughes: *Computer Graphics, Principles and Practice*, 574-579

Rastrová a vektorová grafika

© 1995-2019 Josef Pelikán
CGG MFF UK Praha

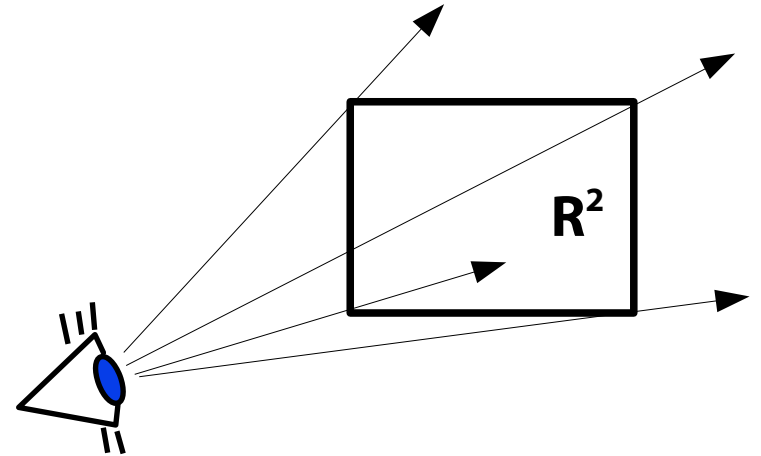
pepca@cgg.mff.cuni.cz
<http://cgg.mff.cuni.cz/~pepca/>



Obrazová funkce

„Okno“ do reálného spojitého světa

- zobrazení $\mathbb{R}^2 \rightarrow$ „barva“
- nekonečně zvětšovatelný obraz

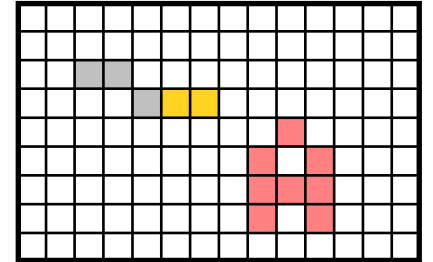


Diskretizace obrazu

- vzorkování roviny v pravidelné mřížce
- matice pixelů
- praxe: snímací sensor fotoaparátu, kamery
- druhá diskretizace – hodnoty pixelů (viz později)



Rastrový vs. vektorový přístup



Rastrový výstup

- jsou přímo ovládány (adresovány) jednotlivé **pixely**
- data jsou závislá na rozlišení (nelze jednoduše škálovat)

Vektorový výstup

- zobrazují se přímo složitější **objekty** (čáry, křivky, písmo, plošné útvary)
- data nejsou závislá na rozlišení (lze je škálovat až v zobrazovacím zařízení)





Grafický výstup

Podle technologie výstupu

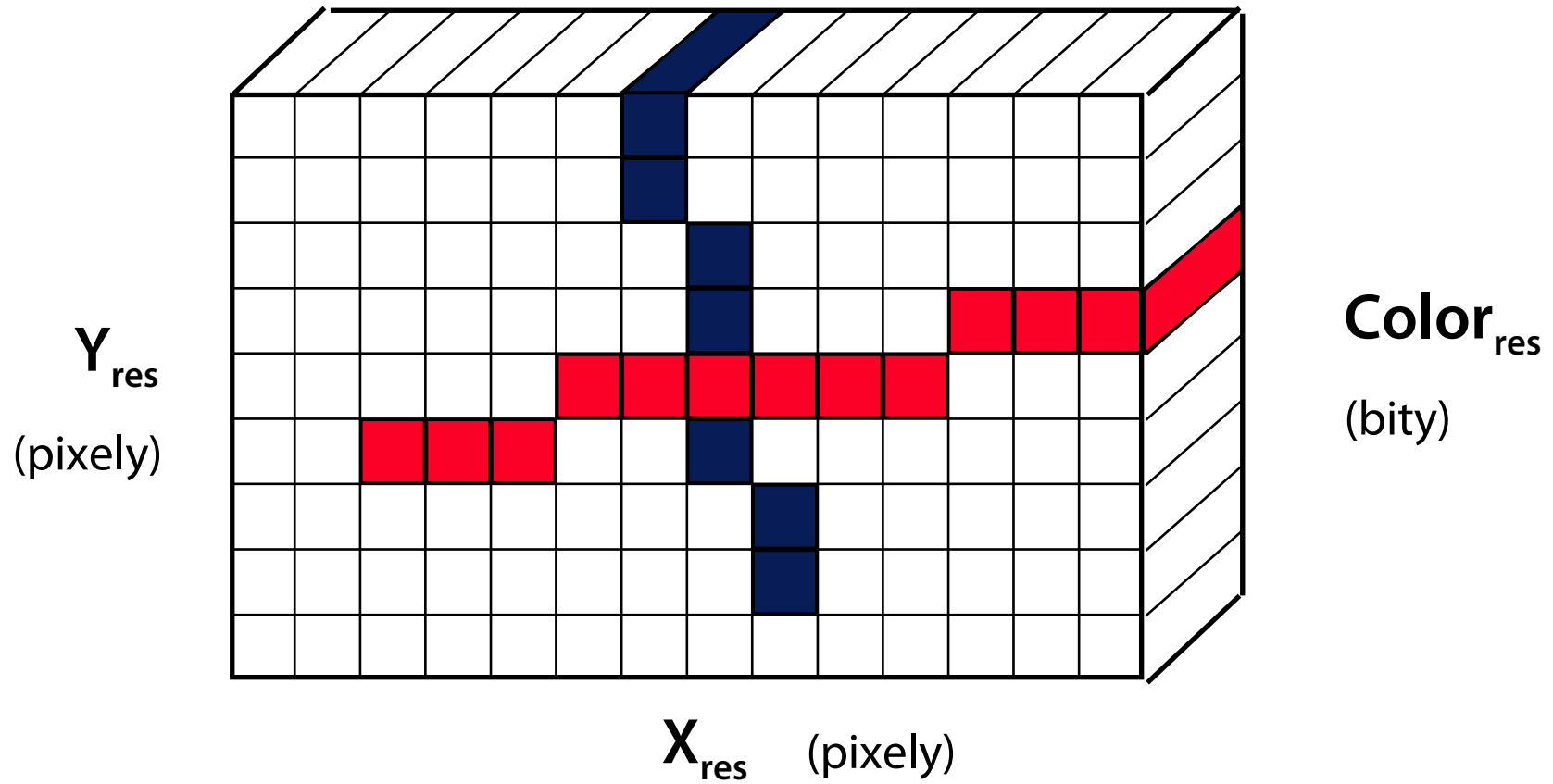
- vektorový výstup (staré displeje, stolní plotter, starší osvitové jednotky?)
- rastrový výstup (displeje, tiskárny, plottery)

Podle komunikace

- vektorové zařízení (video-karty = GPU, SVG standard /W3C/, Adobe PDF, PostScript®)
- rastrové zařízení (běžné video-adaptéry, tiskárny v grafickém režimu)



Rastrový obraz



Např: **720×1280×8 bitů**, **1920×1200×24 bitů**,
3840×2160×24 bitů



Formát pixelu

Celočíselné hodnoty

- starší, klasický přístup
- obyčejně [8 bit (s paletou)], **3×8 bit** nebo **4×8 bit**

Plovoucí desetinná čárka

- HDR grafika („High Dynamic Range“)
- obyčejně **3× float** (96bit) nebo **3× half** (48bit)
- bez problémů se ztrátou přesnosti



Vektorové kreslení

Sada **vektorových příkazů** pro kreslení jednotlivých grafických primitiv

- čára („moveto“, „lineto“), křivka („curveto“)
- základní tvary („rect“, „circle“, „polygon“ ...)

Definice **barev a vzorků pro vyplnění**

- základní přístupy: „fill“, „stroke“

Vykreslení **textu**

- všechny běžné typografické atributy (font, velikost, mezery, „kernings“ ...)

Vektorový formát SVG



W3C standard

- všechny běžné současné WWW prohlížeče (HTML5)
- podpora pro animace
- uživatelský souřadný systém, 2D transformace, ořezávání ...

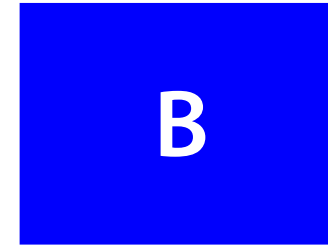
Založen na XML syntaxi



```
<svg xmlns="http://www.w3.org/2000/svg" viewBox="0 0 100 100">
  <path d="M30,1h40l29,29v40l-29,29h-40l-29-29v-40z" stroke="#000" fill="none"/>
  <path d="M31,3h38l28,28v38l-28,28h-38l-28-28v-38z" fill="#a23"/>
  <text x="50" y="68" font-size="48" fill="#FFF" text-anchor="middle"><![CDATA[410]]>
</text>
</svg>
```



Barevný systém RGB



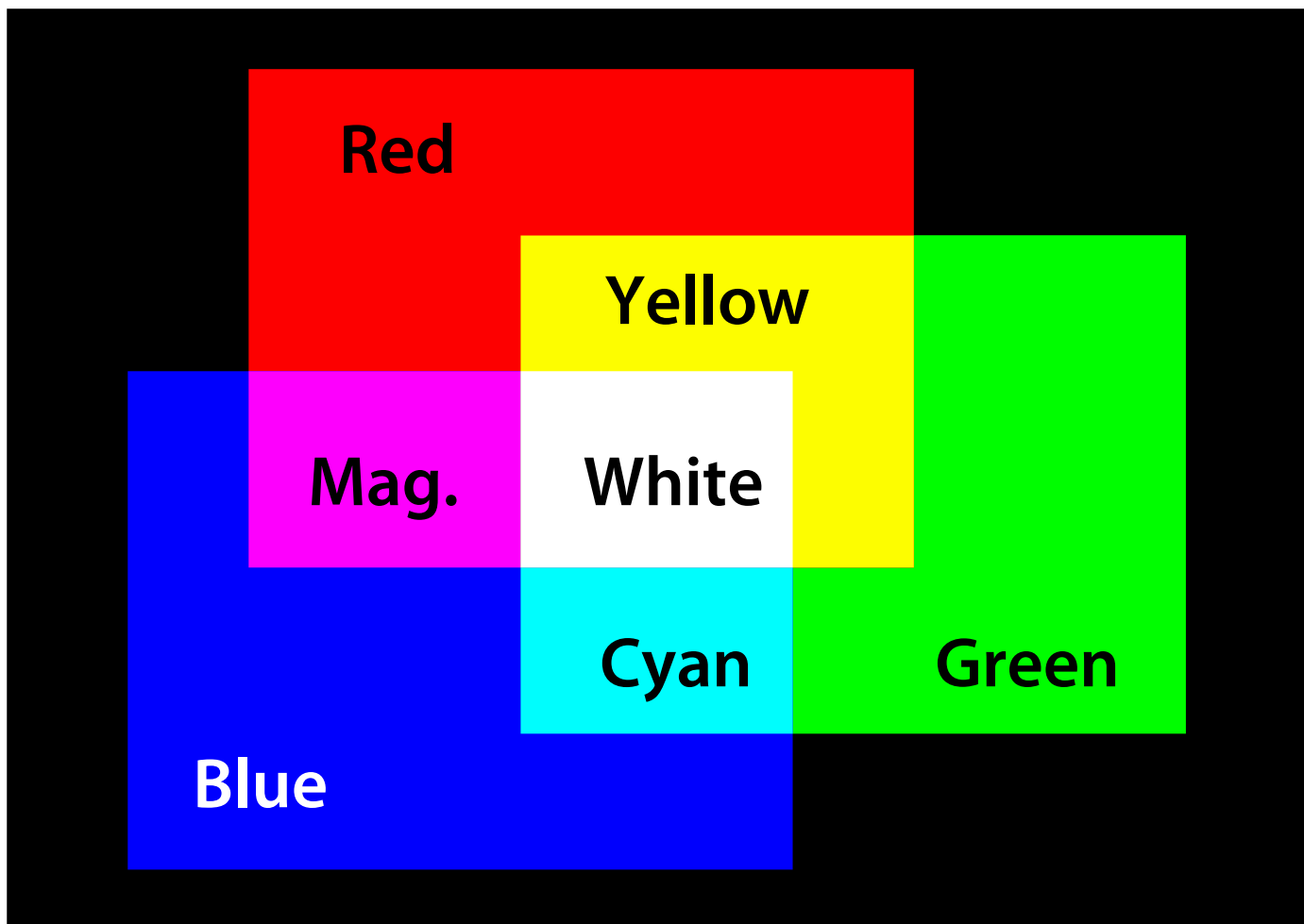
Základní **barevné složky**: červená, zelená, modrá

- vychází z aktivního zobrazování (staré CRT monitory)
- lidský zrakový systém vnímá podobně

Aditivní skládání barev

- černé pozadí (nulová barva, vypnutý displej)
- např. bílou dostaneme složením maxim všech tří složek

Aditivní skládání barev





Literatura

Další informace:

J. Foley, A. van Dam, S. Feiner, J. Hughes: *Computer Graphics, Principles and Practice*, 8-15, 145-199

Jiří Žára a kol.: *Počítačová grafika, principy a algoritmy*, 29-49

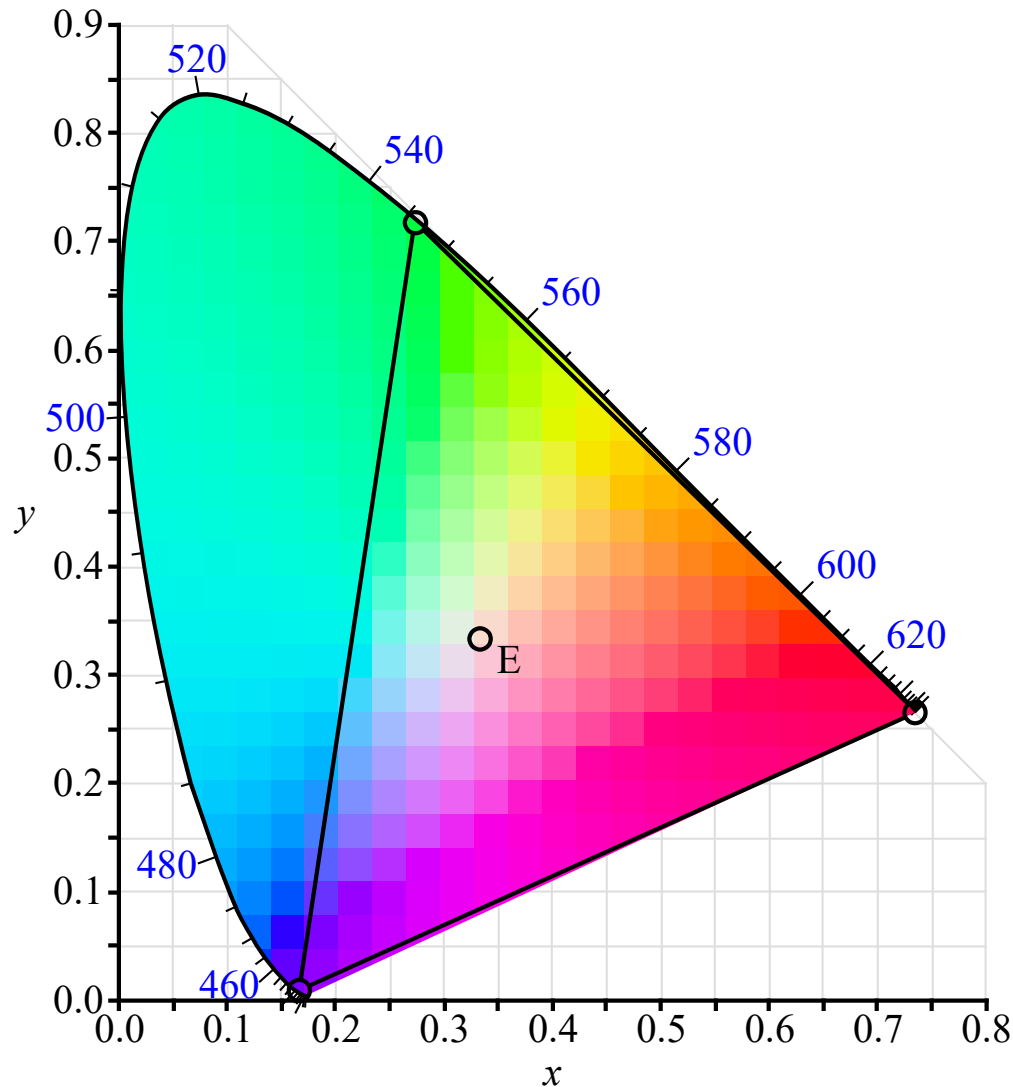
<https://www.w3.org/Graphics/SVG/>

Barevné systémy

© 1995-2019 Josef Pelikán
CGG MFF UK Praha

pepca@cgg.mff.cuni.cz
<http://cgg.mff.cuni.cz/~pepca/>

Viditelné barvy



CIE RGB primitiva:

700 nm

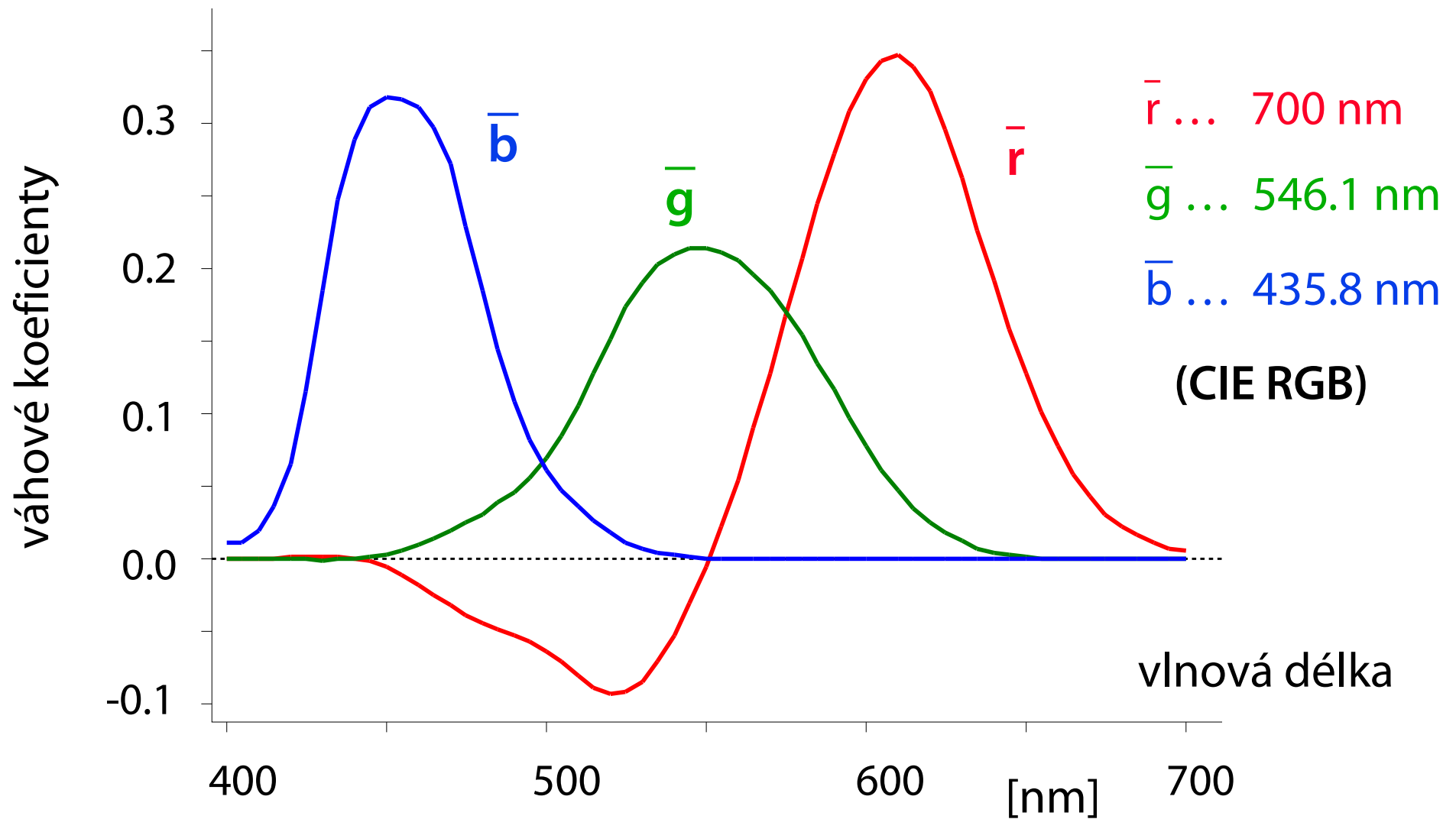
546.1 nm

435.8 nm

© BenRG, Wiki



Rozklad spektrálních barev





Virtuální barevná primitiva X,Y,Z

Commision Internationale de l'Éclairge (CIE) v roce 1931 definovala tři virtuální barvy X, Y, Z, jejichž konvexní kombinací již vytvoříme libovolnou viditelnou barvu

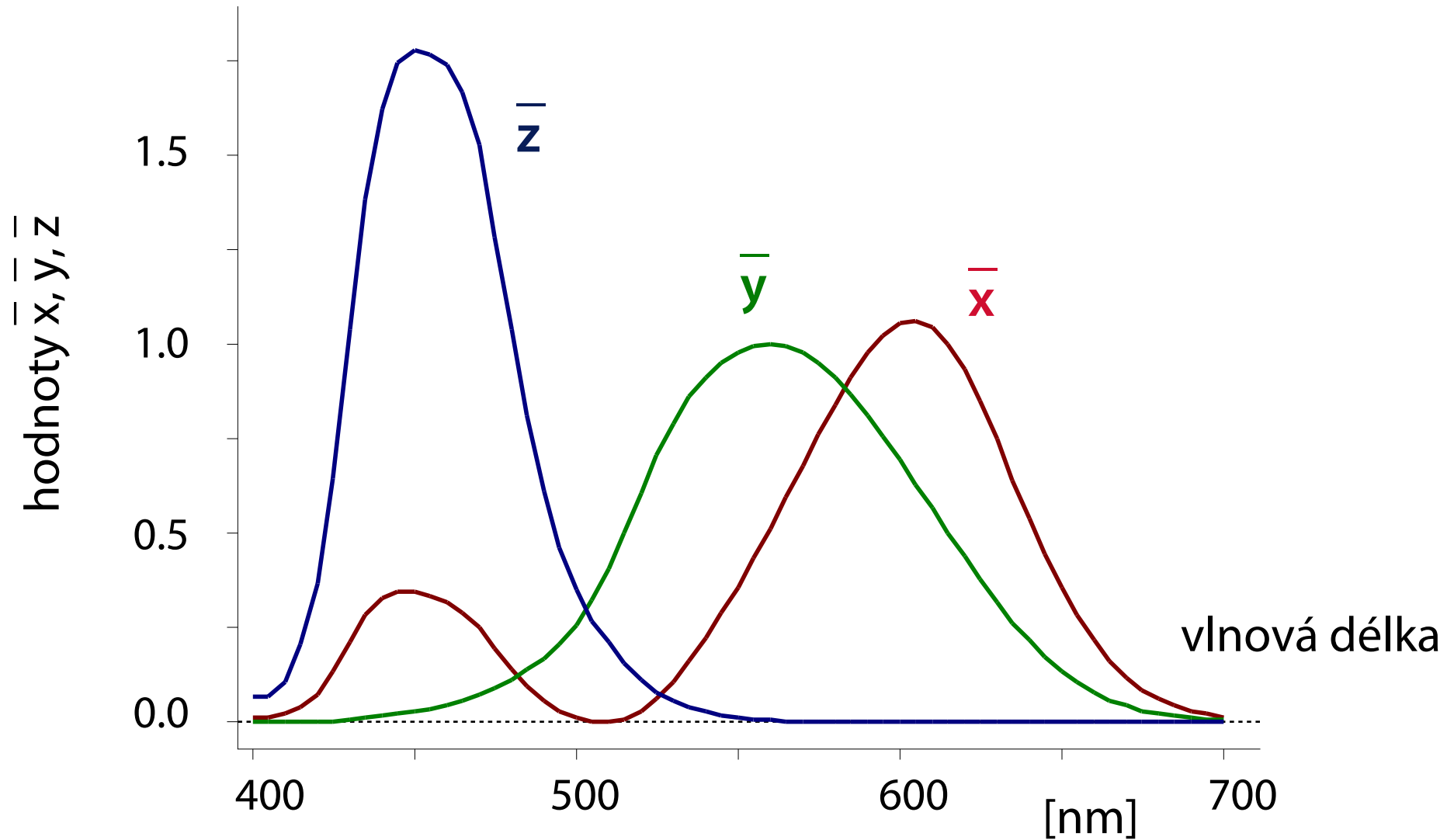
- \bar{X} , \bar{Y} , \bar{Z} jsou definovány pomocí svých spektrálních charakteristik \bar{x} , \bar{y} , \bar{z} (tabelovaných po 1nm)
- Y ... jas
- Z ~ modrý stimulus („S“ čípky)
- X ... pozitivita

Závislost mezi složkami R,G,B a X,Y,Z je **lineární**

- převodní matice 3×3



Srovnávací funkce CIE





Barevný prostor CIE-xyY

Normalizované barevné složky x , y , z

- $x = X/(X+Y+Z)$, $y = Y/(X+Y+Z)$, $z = Z/(X+Y+Z)$
- x , y , z nesou informace o odstínu a sytosti (barva) i jasu, složka Y byla navržena jako měřítko jasu

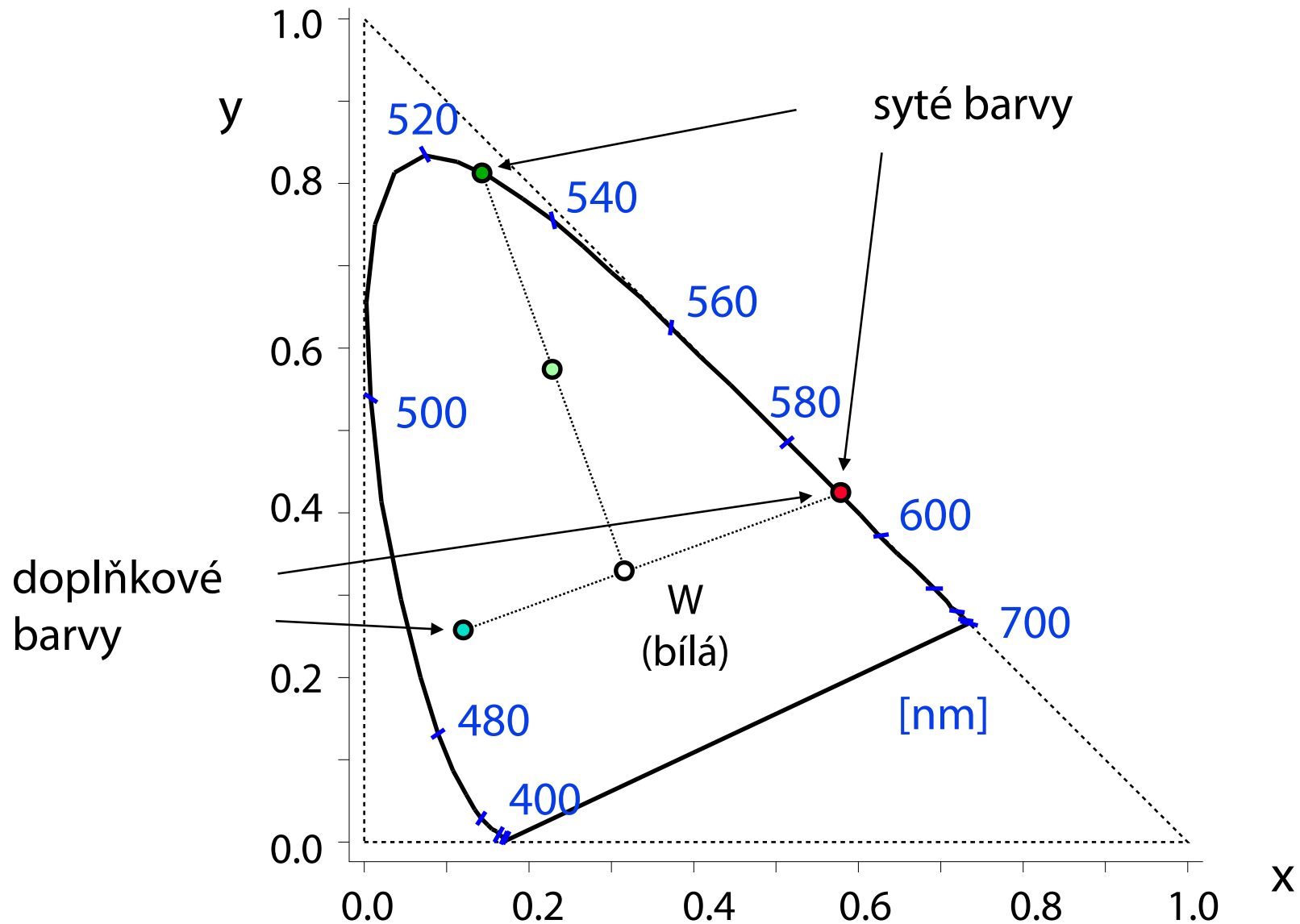
Barevný diagram CIE-xyY nepoužívá složku z

- je závislá na předchozích dvou ($z = 1 - x - y$)

System **CIE-xyY** nezohledňuje **subjektivní citlivost** na barevné rozdíly (k tomu slouží CIE-uv)



Barevný diagram CIE-xy





Barevná primitiva RGB

Odpovídají poloze **tří typů barevných luminoforů**

$$R = [0.628, 0.346]$$

$$G = [0.268, 0.588]$$

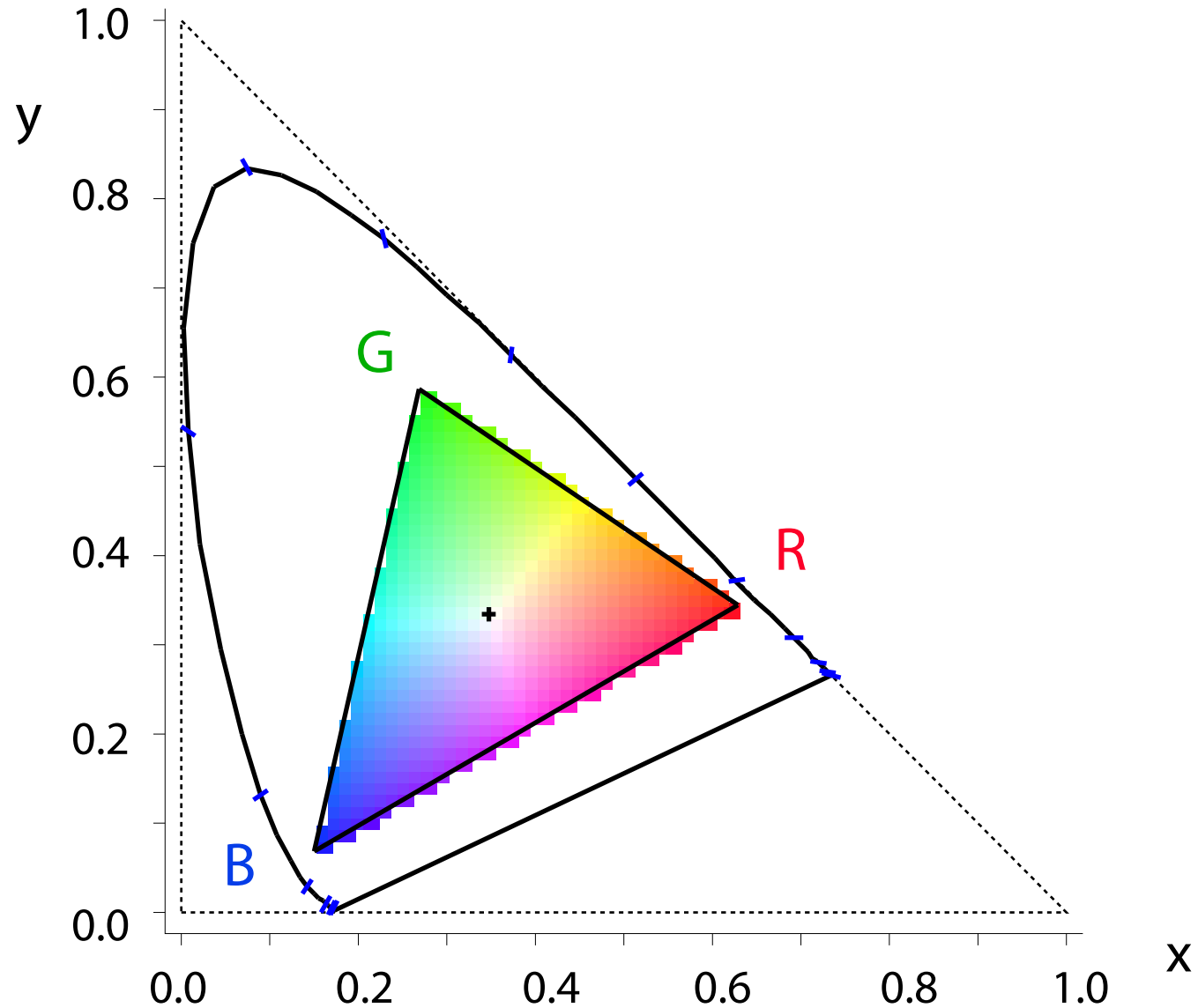
$$B = [0.150, 0.070]$$

– bílá (Planck) $W(D_{6500}) = [0.313, 0.329]$

Izoenergetická bílá W má souřadnice $[1/3, 1/3]$

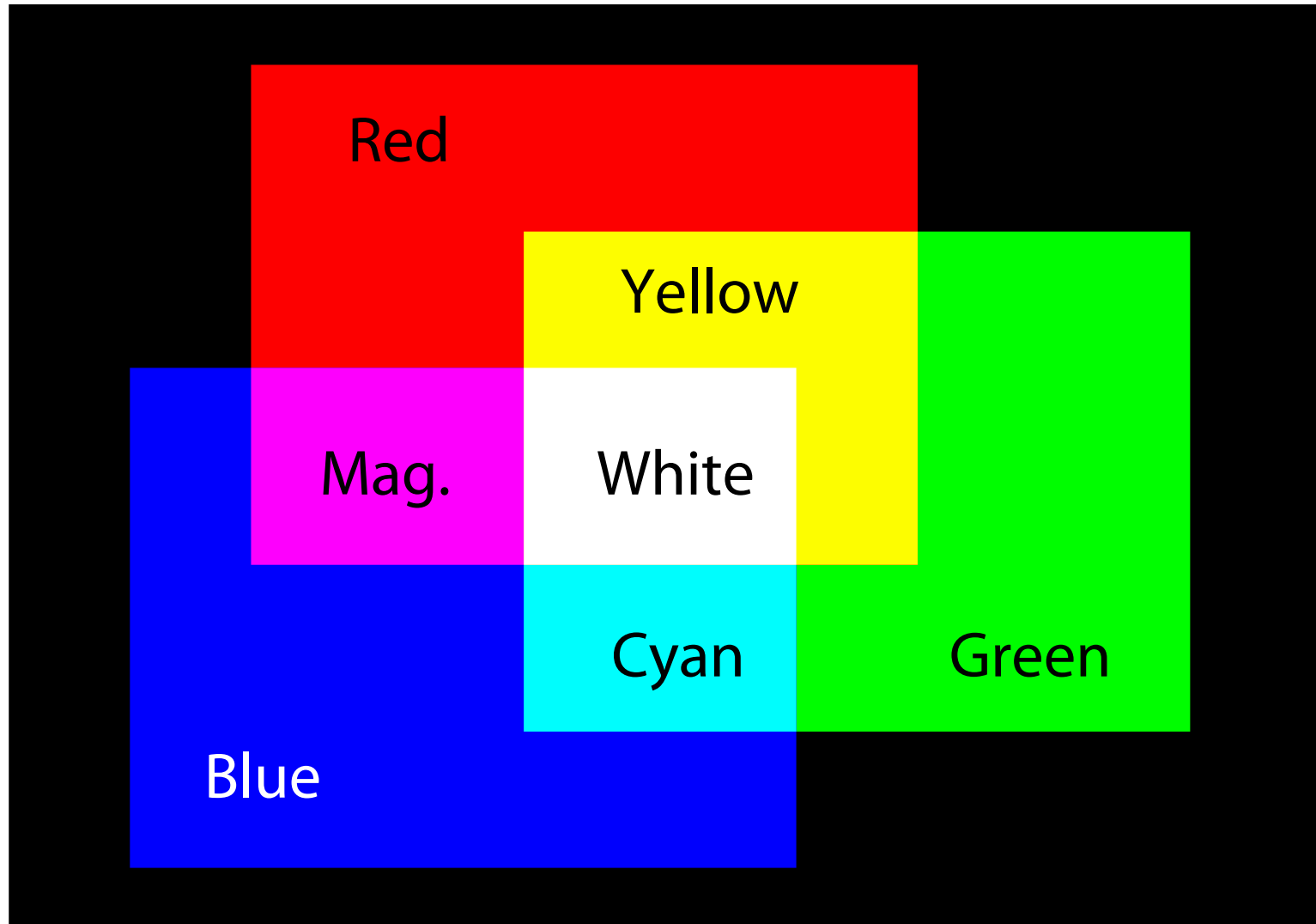
Bílá R podle televizní NTSC normy $[0.31, 0.316]$

Gamut konkrétního monitoru v CIE-xy





Aditivní skládání barev (RGB)





Barevný systém CMY(K)

Používá se při **tisku** a ve fotografii

- tam, kde barevný dojem vzniká **pohlcením** některých složek bílého světla

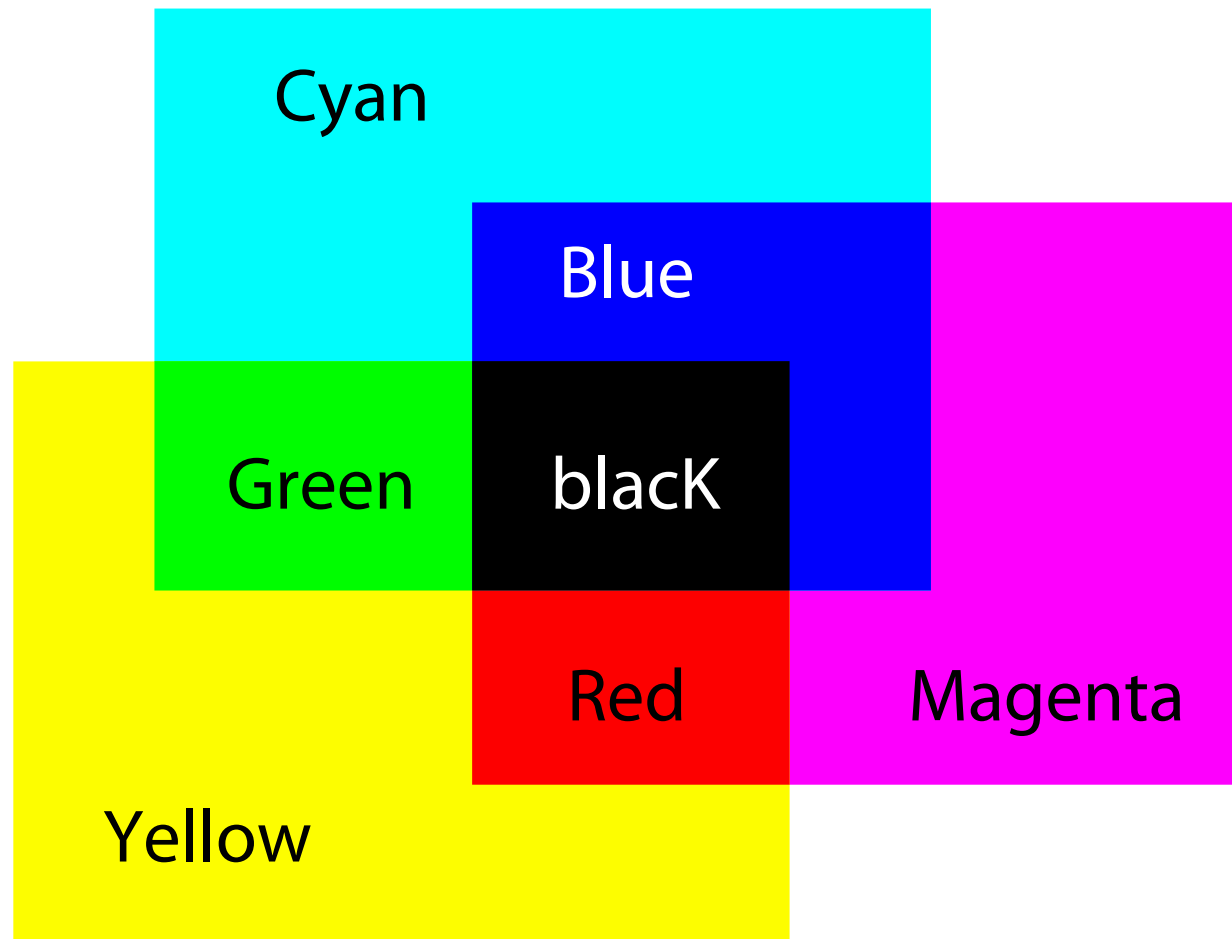
Barvy se skládají **subtraktivně**

Základní barevná primitiva **C** (cyan), **M** (magenta), **Y** (yellow) odpovídají tiskařským barvám

- **C, M, Y** jsou doplňkové k **R, G, B**



Subtraktivní skládání barev (CMY)





Barevný systém CMY(K)

Převody mezi CMY a RGB

$$- C = 1 - R, M = 1 - G, Y = 1 - B$$

Ke třem složkám **C**, **M**, **Y** se ještě často přidává černá **K**:

- černá barva složená z C, M a Y není dostatečně kvalitní
- černý inkoust (toner) je mnohem levnější než barevný

$$K' \approx \min(C, M, Y)$$

$$C' \approx C - K, M' \approx M - K, Y' \approx Y - K$$



Barevný systém YIQ

Používá se při **barevném televizním vysílání**

- zaveden komisí **NTSC** v roce 1953
- kompatibilita s černobílými TV přijímači

$$\begin{bmatrix} Y \\ I \\ Q \end{bmatrix} = \begin{bmatrix} 0.299 & 0.587 & 0.114 \\ 0.596 & -0.275 & -0.321 \\ 0.212 & -0.528 & 0.311 \end{bmatrix} \cdot \begin{bmatrix} R \\ G \\ B \end{bmatrix}$$

Barevné rozdílové složky (**I**, **Q**) jsou pro lidské oko méně důležité

- menší rozlišení nebo užší přenosové pásmo



Barevný systém HSV

Orientovaný na **uživatele**

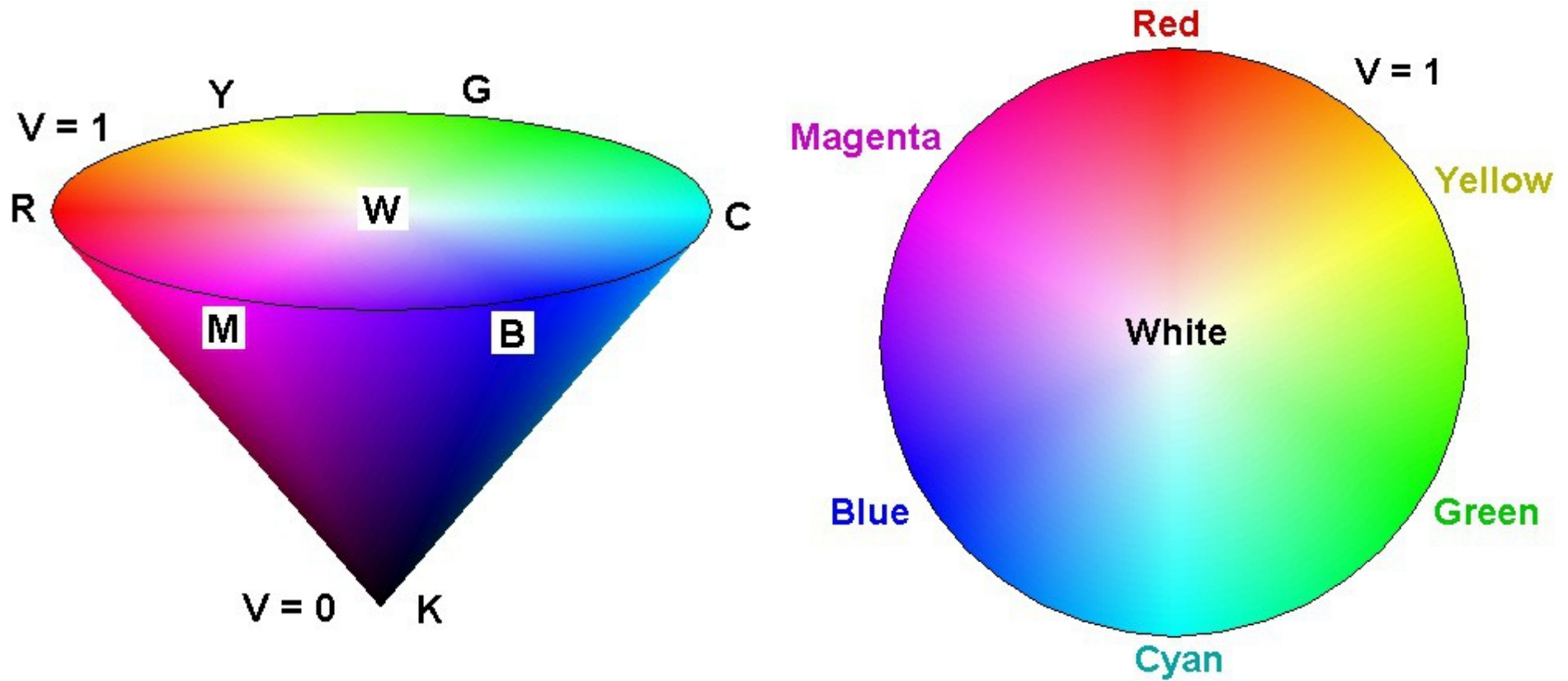
- intuitivní veličiny: **barevný odstín** („hue“), **sylost** („saturation“) a **jas** („value“)

Význam jednotlivých složek

- **H**: základní spektrální barva (dominantní vlnová délka) – rozsah **0° až 360°**
- **S**: sylost, čistota barvy (poměr čisté barvy a bílé) – rozsah **0** (bílá) až **1** (spektrální barva)
- **V**: jas, intenzita – rozsah **0** (černá) až **1**



Barevný kruh





Převod RGB → HSV

```
procedure RGB2HSV ( R,G,B : real; var H,S,V : real );
var min, max, delta : real;
begin
  min := minimum(R,G,B); max := maximum(R,G,B);
  V := max; delta := max - min;
  if max <> 0.0 then S := delta/max
    else S := 0.0;
  if delta <> 0.0 then
    begin
      { chromatický případ }
      if R = max then H := (G - B)/delta else
      if G = max then H := 2 + (B - R)/delta
        else H := 4 + (R - G)/delta;
      H := H * 60.0; { převod na stupně }
      if H < 0.0 then H := H + 360.0;
    end;
end;
```




Převod HSV → RGB

```
procedure HSV2RGB ( H,S,V : real; var R,G,B : real );
var i, f, p, q, t: real;
begin
  if s = 0.0 then
    begin                                     { achromatický případ }
      R := V; G := V; B := V;
    end
  else
    begin                                     { chromatický případ }
      if H = 360.0 then H := 0.0;
      H := H/60.0;           { 0 <= H < 6 }
      i := trunc(H);       { číslo výseče: 0 <= i <= 5 }
      f := H-i;           { 0 <= f < 1 }
      p := V * (1.0 - S);
      q := V * (1.0 - S*f);
      t := V * (1.0 - S*(1.0 - f));

      ...
    end
  end
end;
```



Převod HSV → RGB

...

```
case i of                                { šest výsečí: }
  0: (R,G,B) := (V,t,p);
  1: (R,G,B) := (q,V,p);
  2: (R,G,B) := (p,V,t);
  3: (R,G,B) := (p,q,V);
  4: (R,G,B) := (t,p,V);
  5: (R,G,B) := (V,p,q);
end;
end;                                       { chromatický případ }
end;
```



Další barevné systémy

HLS („hue“, „lightness“, „saturation“)

- podobný jako **HSV**, dvojitý kužel

Firemní systémy

- např. **TekHVC** (Tektronix)

Vzorníky a katalogy barev

- **PANTONE**[®] (Pantone Inc.)
- **Munsellův systém** (tiskařství) - klasifikace barev „odstín jas/sytost“ (např. žlutá barva „5Y 7/4“)
- **Ostwaldův systém** (1931)



Literatura

G. Murch: *Human Factors of Color Displays*, in Advances in Computer Graphics II, Springer, 1986, 1-27

J. Foley, A. van Dam, S. Feiner, J. Hughes: *Computer Graphics, Principles and Practice*, 579-599

V. Skala: *Algoritmy počítačové grafiky III*, skriptum ZČU, 1992, 23-65



Literatura

Další informace:

Jiří Žára a kol.: *Počítačová grafika, principy a algoritmy*, 316-328

Přednáška A. Wilkie: *Introduction to Colour Science* (NPGR025)

Gamma a nelinearita grafického výstupu

© 2011-2019 Josef Pelikán
CGG MFF UK Praha

pepca@cgg.mff.cuni.cz
<http://cgg.mff.cuni.cz/~pepca/>



Vnímání jasových úrovní

Šedý odstín má jediný atribut

- **intenzita** (fyzika, vyzařovaná energie, hustota fotonů)
- **jas** (subjektivní vjem člověka, „brightness“)

Vztah mezi intenzitou a jasnem **není lineární**

- člověk vnímá intenzity **relativně** (zdravé oko rozezná ~1% rozdílu)
- pro rovnoměrně odstupňované jasové odstíny je třeba mít **logaritmickou stupnici** intenzit



Pravidelné jasové stupně

Minimální zobrazitelná intenzita

- záleží na výstupním zařízení (dynamika)
- $I_0 = 10^{-4}$ až 10^{-2}

Ostatní stupně intenzity

- $I_j = I_0 \cdot r^j$ ($r \approx 1.018$ pro kontrast 100:1 a 256 odstínů)
- měly by tvořit pravidelné stupně jasu (vnímaného člověkem)



CRT monitor

Intenzita vyzařovaného světla **nezávisí lineárně** na hodnotě napětí přiváděného do monitoru

– nelinearitu zavádí katodové dělo

$$I = K (V + \varepsilon)^\gamma$$

- » **V** – napětí přiváděné do CRT (hodnota pixelu)
- » **K** – proměnná – ovládací prvek kontrast („picture“)
- » **ε** – proměnná – ovládací prvek „jas“ („black level“)
- » **γ** – **konstanta** – gamma exponent (2.35 až 2.55)





Praktické důsledky nelinearity

Nelinearita CRT monitoru je **přibližně inverzní** k funkci vnímání našeho zraku

- je tedy dobře, že má výstup takový průběh!
- měli bychom toho využívat

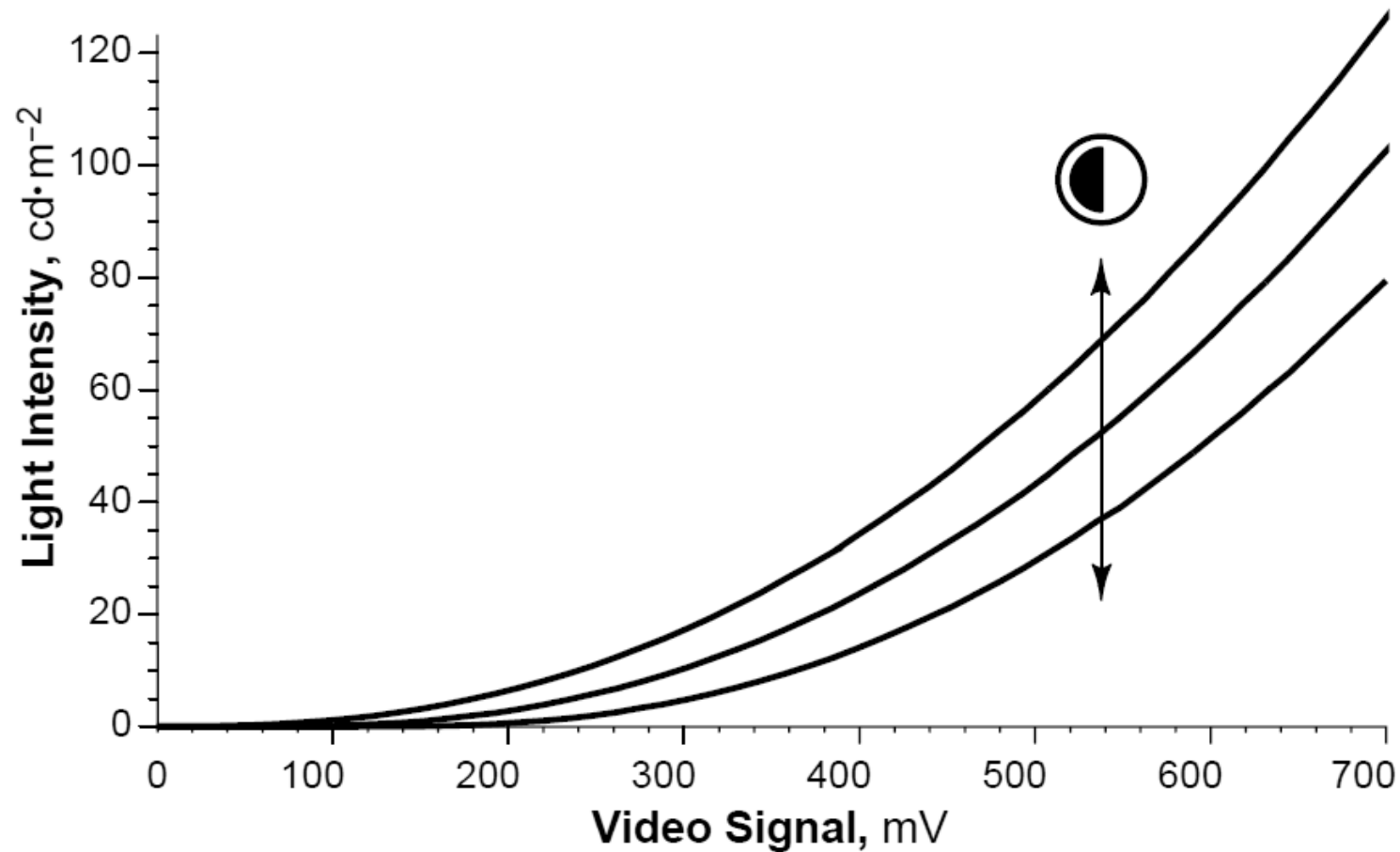
Korekce „gamma“ se provádějí

- pro efektivní využití omezeného rozsahu pixelu ($0 \div 255$)
- pro zobrazení na zařízeních s jinou charakteristikou než CRT (např. tisk)
- pozor na skryté konverzní funkce (SGI, Macintosh..)!



Monitor – kontrast („picture“)

Multiplikativní konstanta K

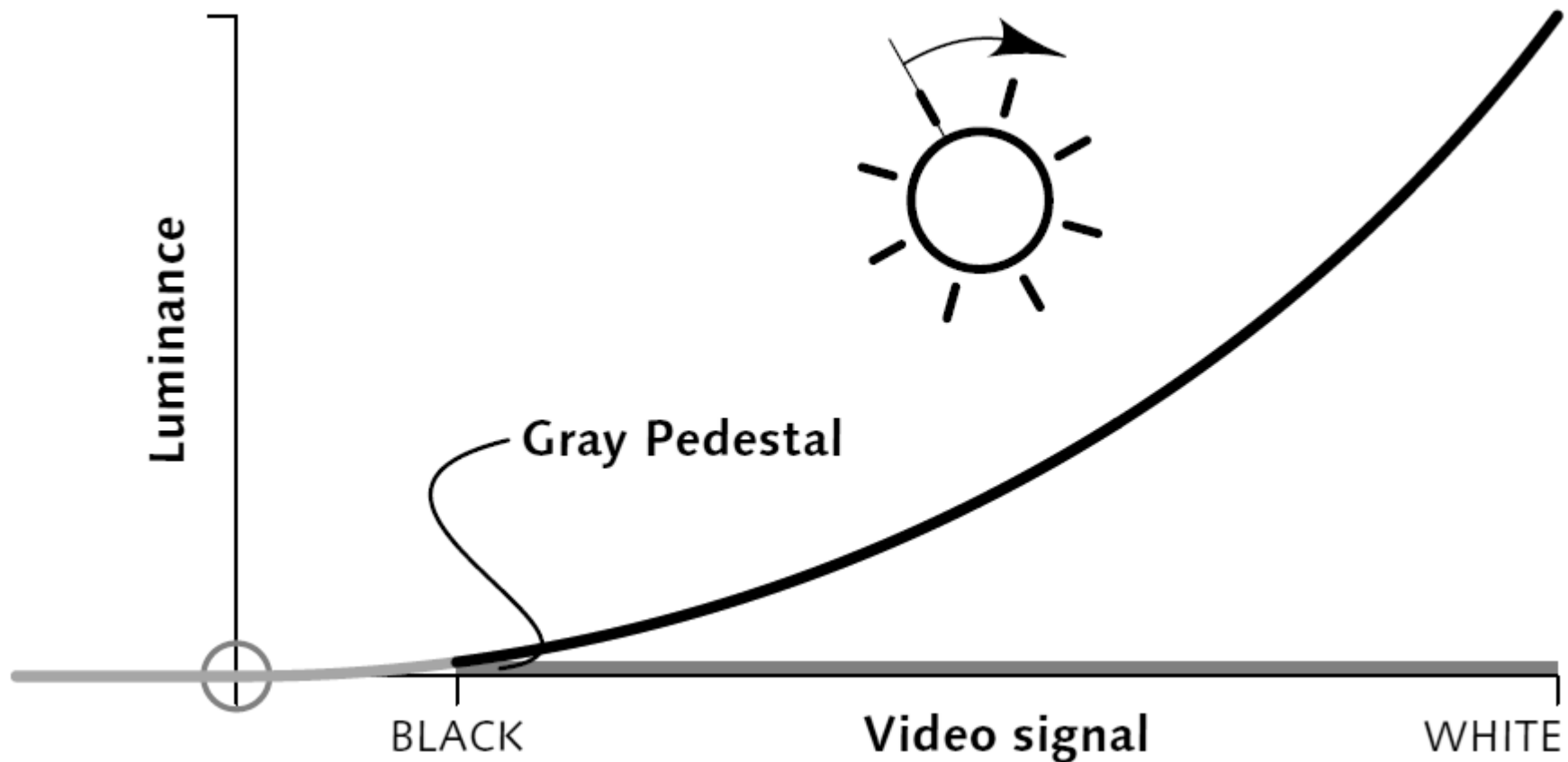


© Ch. Poynton



Monitor – jas („black level“)

Posunutí vstupního argumentu ϵ

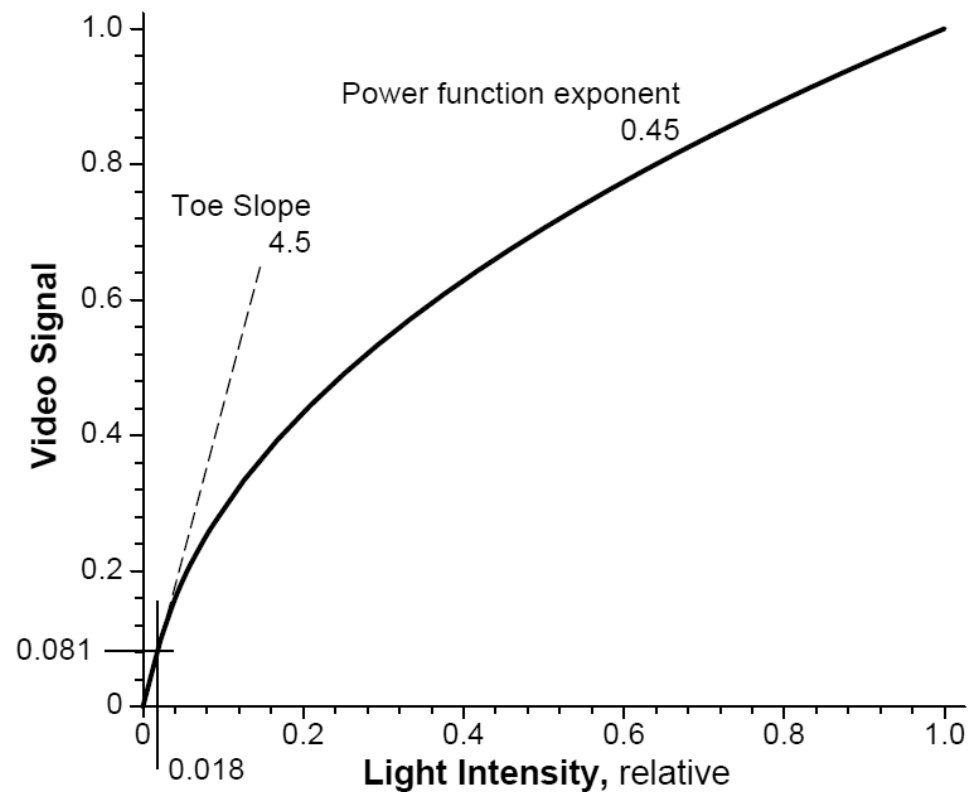


© Ch. Poynton



Vstupní „Gamma korekce“

Transformace intenzity před uložením do RAM
~ inverzní k nelinearitě CRT monitoru

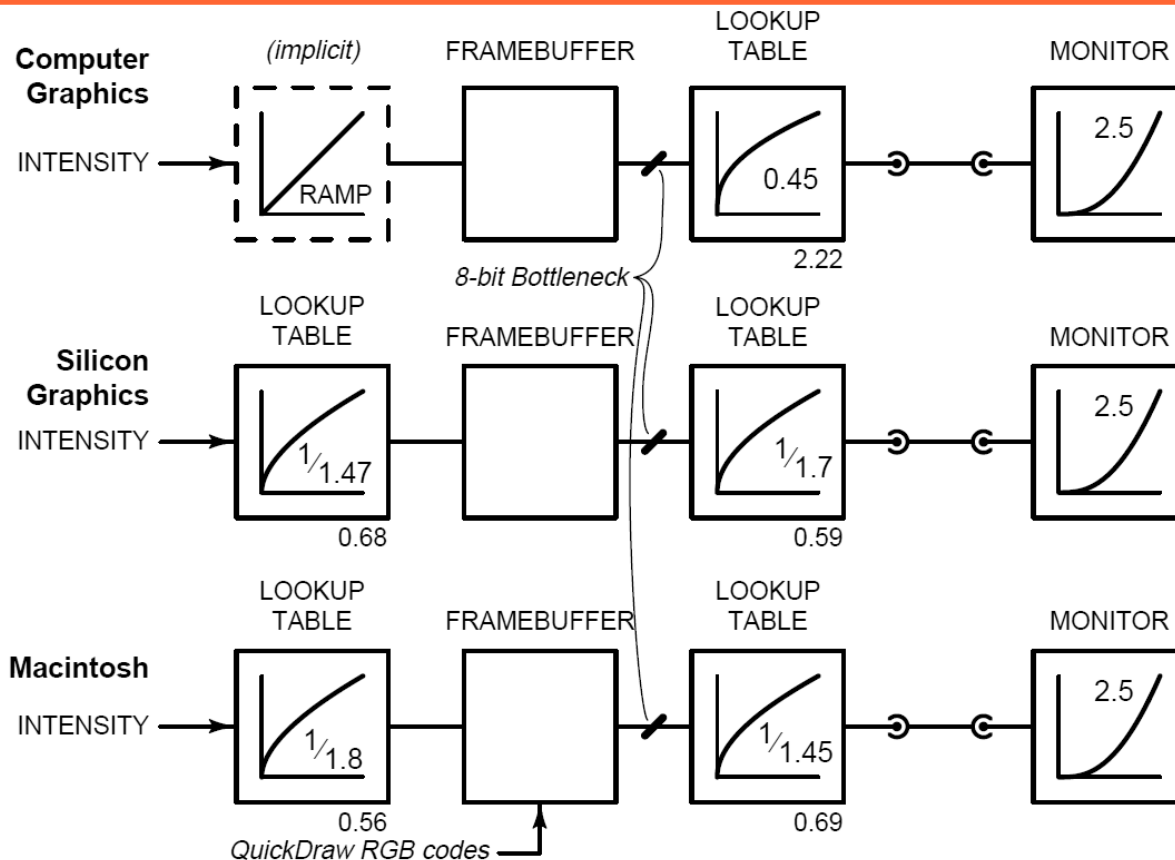
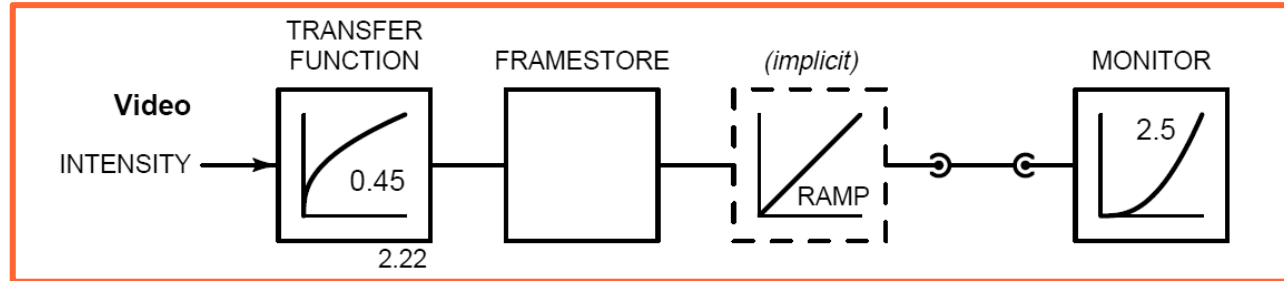


© Ch. Poynton



Zpracování video-signálu

optimální



© Ch. Poynton

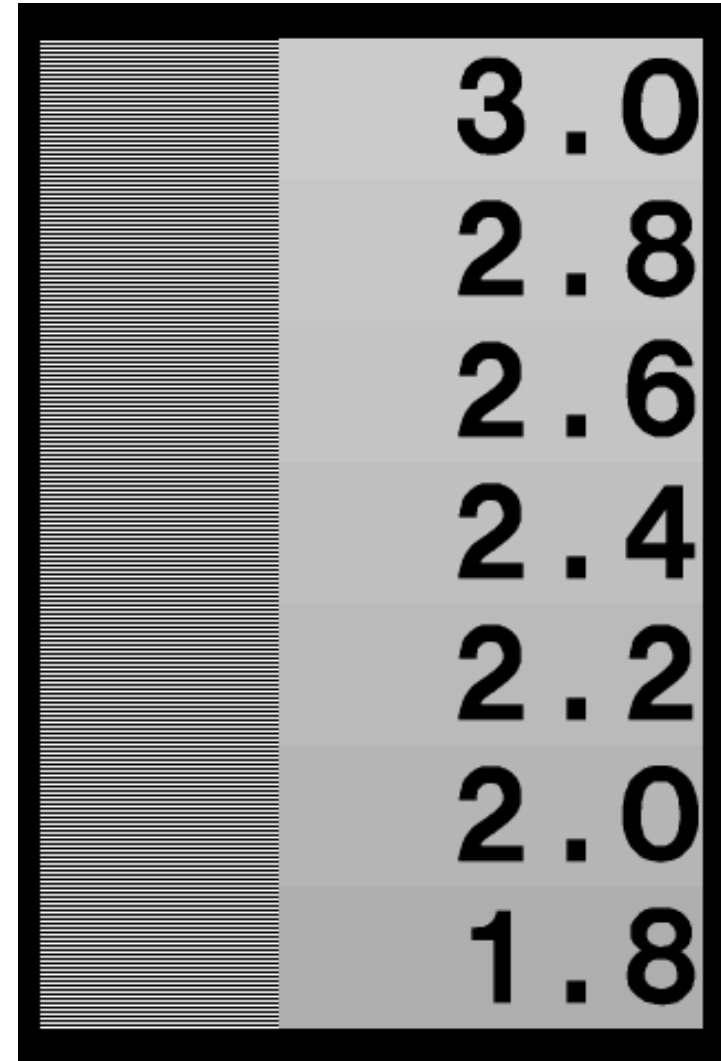


Testovací obrázky

Vedle sebe zobrazují $\frac{1}{2}$ odstín získaný půltóno-vacím rastrem a běžné šedé odstíny

– hledáme shodu

Můžeme odečíst exponent aktuálního zobrazení





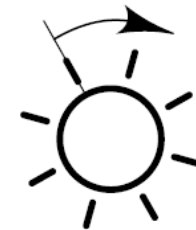
Ladění monitoru – postup

1. **kontrast** na minimum



2. zobrazit absolutně černý obrázek

3. **jas** doladit tak, aby černá vůbec nesvítila (těsně)
– jasovým prvkem už později nehýbat !



4. **kontrast** nastavit zpět na úroveň vhodnou pro světelné podmínky okolí





Další informace:

**Ch. Poynton: *The rehabilitation of gamma*,
www.poynton.com, 2004**

Ch. Poynton: *FAQ about gamma*, www.poynton.com, 1998

Rastrový obraz, grafické formáty

© 1995-2019 Josef Pelikán
CGG MFF UK Praha

pepca@cgg.mff.cuni.cz
<http://cgg.mff.cuni.cz/~pepca/>



Snímání rastrového obrazu

Digitální fotoaparát / kamera

- plošný snímač (CCD, CMOS)
- barvy → nejčastěji Bayerova maska
- náročné vyčítání dat
- syrová data (RAW) se přímo v přístroji zpracují
 - » specializovaný digitální obrazový procesor (DIGIC ...)

Scanner (filmový, stolní, kopírka)

- obvykle **lineární snímač** (1D)
- jednodušší vyčítání, ale nutnost mechanického pohybu



Plošný snímač obrazu

Rozměry a rozlišení

- větší fyzické rozměry → méně šumu (fyzika)
... i optika bývá kvalitnější
- větší rozlišení (více Mpix) → více šumu

Citlivost snímače (ISO)

- pouze nastavuje **zesílení** při ADC konverzi
- větší citlivost (zesílení) → více šumu

Snímání barev

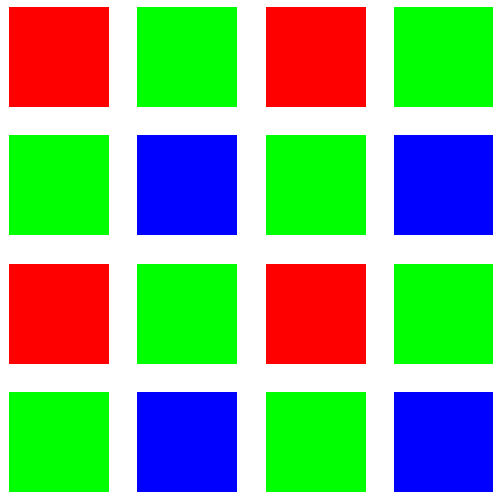
- Bayerova maska, přímé uložení do RAW



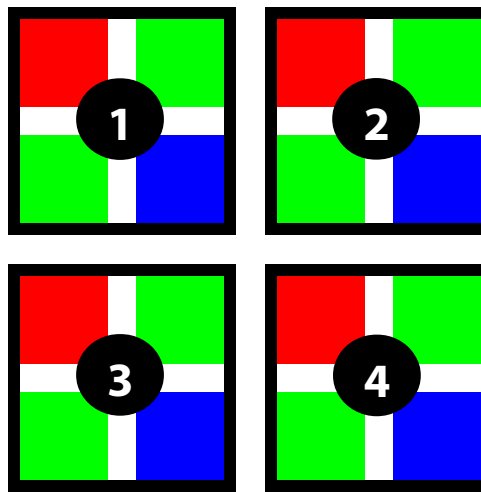
Bayerova maska

Barevné filtry pro RGB

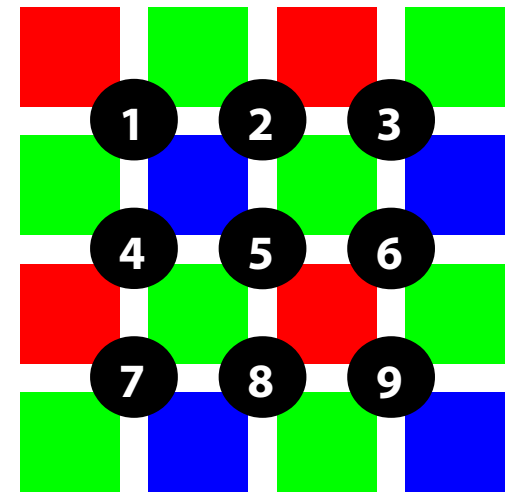
- jednotlivé složky se snímají odděleně (vedle sebe)
- menší efektivita snímače, ale jednoduchá výroba



maska senzoru



přepočítání na pixely



efektivnější
přepočítání



Barevné formáty pixelu

Barevná paleta (8 bitů)

- globální tabulka barev (paleta, „colormap“)
- pixel obsahuje **index barvy** v paletě

Černobílé / šedé pixely (1 bit / 8-16 bitů)

- 1-bitová „bitmask“ (např. při faxovém přenosu)
- odstíny šedé, korigované na „gamma“ koeficient

Plná barva, „true-color“ (24-48 bitů)

- nejběžnější uložení barev (RGB), korekce na „gamma“

„Hi-color“ (15-16 bitů)

- „ořizená“ plná barva, 5-5-5 nebo 5-6-5 bitů (RGB)



Rastrové

- obdélníková **matice pixelů** („bitmapa“)
- MS-Windows Bitmap (BMP), Portable Network Graphics (PNG), CompuServe GIF, Interchange File Format (IFF), JFIF (JPG), PBM/PGM/PPM/PFM, Macintosh (PICT), Targa (TGA), Tagged Image File Format (TIFF) ...

Vektorové

- **posloupnost objektů nebo příkazů** (škálování)
- CorelDraw![™] (CDR), Scalable Vector Graphics (SVG), AutoCAD[™] (DXF), Adobe Illustrator[™] (AI), Adobe PDF[™], PostScript[™], Windows Metafile (WMF) ...



Rastrové grafické formáty

Formát uložení barev

- barevná paleta, šedá škála, „true-color“, kanál „ α “

Komprese

- **bezeztrátová** / **ztrátová**
- **RLE**: TGA, BMP; **LZ***: PNG, GIF, TIFF; **JPEG**: JFIF, TIFF

Rozklad obrázku

- prokládané/progresivní režimy (PNG, GIF, TGA, JFIF ...)

Negrafické info – metadata (popisky, copyright, datum ...)

- všechny moderní formáty (TIFF, PNG, GIF, JFIF ...)



PBM / PGM / PPM

Velmi jednoduchý **rastrový formát**

Jednoduchá textová hlavička + txt nebo bin data

- bez komprese
- pixelové formáty: B/W (P1/4), gray (P2/5), RGB (P3/6)

Příklad šedého obrázku 16×8

```
P2
16 8 255
0 0 0 0 0 0 0 0 0 0 0 0 0 0 0 0
0 0 0 0 0 0 0 90 90 0 0 0 0 0 0 0
0 0 0 0 0 0 90 128 128 90 0 0 0 0 0 0
0 0 0 0 0 90 180 255 255 180 90 0 0 0 0 0
0 0 0 0 90 180 255 255 255 255 180 90 0 0 0 0
0 0 0 90 180 255 255 255 255 255 255 180 90 0 0 0
0 0 90 180 255 255 255 255 255 255 255 255 180 90 0 0
0 90 180 255 255 255 255 255 255 255 255 255 255 180 90 0
```



Targa formát (Truevision Inc.)

Jednoduchý rastrový formát

Původně HW orientovaný

- video-adaptéry Targa (Targa 16, Targa 24, ..)

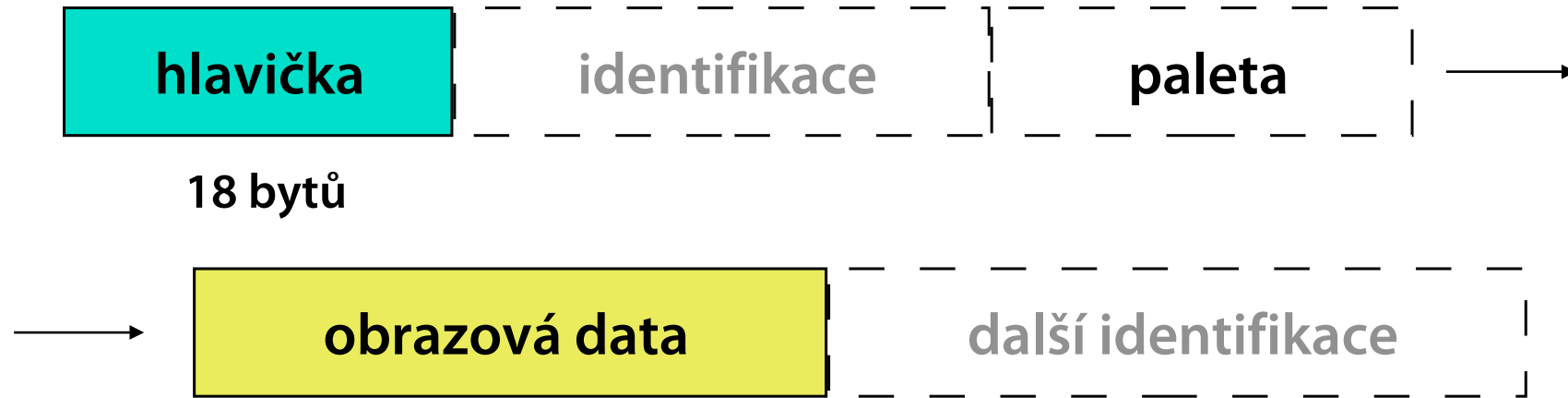
Několik různých **barevných formátů**

- RGB, RGB α , šedé obrázky, obrázky s paletou, atributové bity
- různé metody **kompres**e (RLE komprese je pixelově orientovaná)

Různé typy **prokládání** (přenos po síti)



Struktura TGA souboru



Hlavička souboru

- barevný formát (paleta, RGB, $RGB\alpha$, šedý obrázek)
- délka identifikace (ASCII text, maximálně 256 znaků)
- typ komprese: bez, RLE, Huffman, delta-modulace
- velikost obrázku: [X_0, Y_0], šířka, výška
- orientace (shora, zdola), typ prokládání (1, 2, 4 fáze)



Formáty pixelu v TGA

Paleta, šedý obrázek



8 nebo 16 bitů

RGB 16



atribut

16 bitů

RGB 24



24 bitů

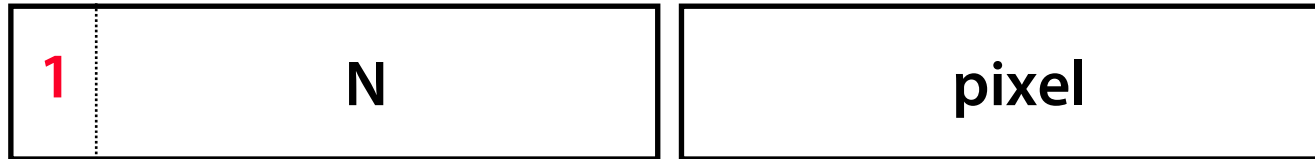
RGB 32



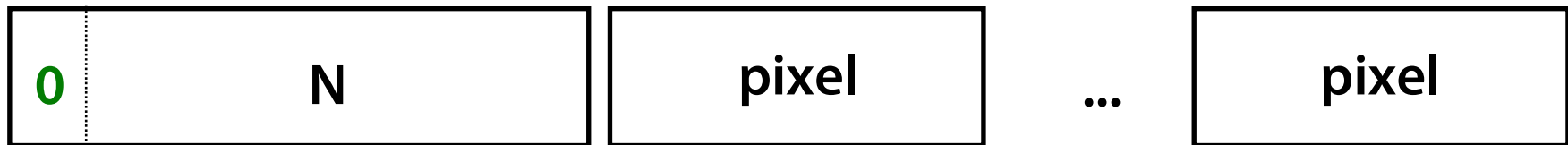
32 bitů



RLE komprese v TGA



$N+1 \times$ opakuj 'pixel'



kopírovací paket

$N+1$ pixelů

Maximální délka paketu je 128 pixelů

- prodloužení je v nejhorším případě 0.8 % délky souboru



GIF formát (CompuServe Inc.)

Graphics Interchange Format (verze 87a, 89a)

- rastrový formát relativně nezávislý na HW
- pouze obrázky s paletou (max. 256 barev)

LZW komprese s dynamickou délkou kódu

- patenty UniSys Inc. (licenční poplatky do 2003-2004)

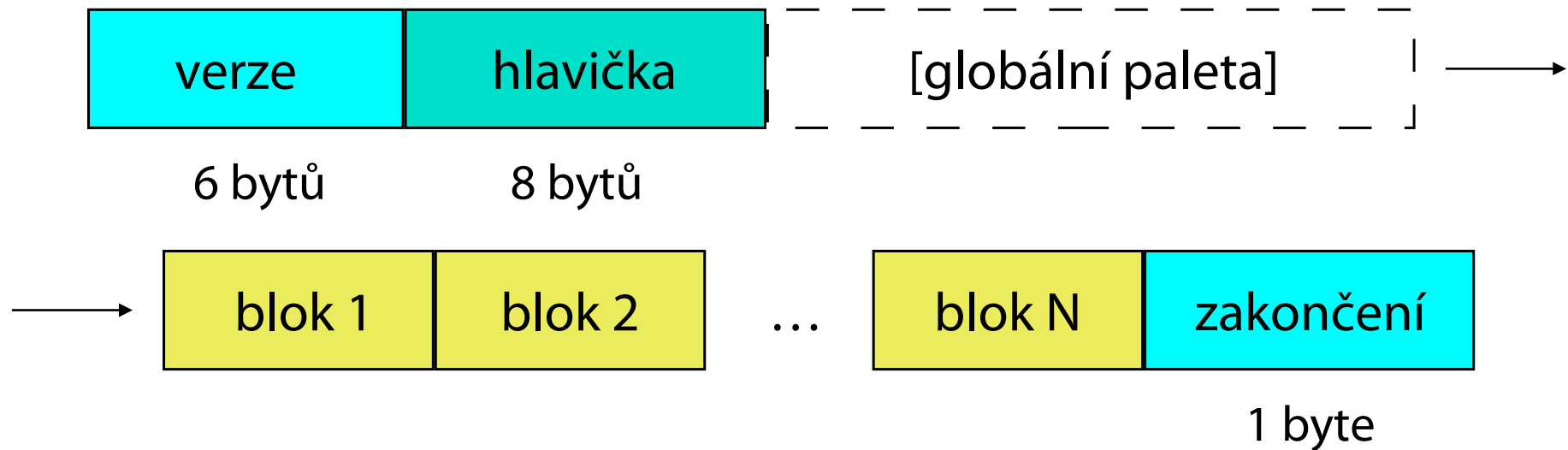
Volitelné 4-fázové **prokládání** (pro přenos po síti)

Další rozšíření

- více obrázků v jednom souboru (**animace**)
- aplikační neobrazové informace (**metadata**)
- definice „průsvitné barvy“, interakce uživatele, výpis textu ...



Struktura GIF souboru



Verze: 'GIF87a' nebo 'GIF89a'

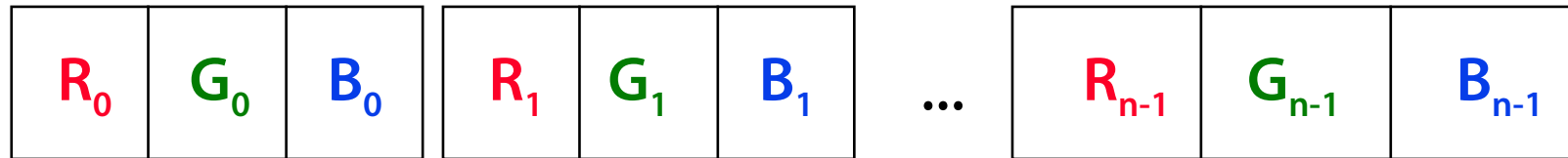
Globální hlavička

- výška a šířka virtuální obrazovky, počet bitů na pixel, barva pozadí, „pixel aspect ratio“ (4/1 až 1/4)
- globální paleta: délka, třídění (významné barvy na začátku)?



Struktura GIF souboru

Paleta



($n \times 3$) byty

Bloky

- obrazová nebo jiná data (poznámky, aplikační data, řídicí bloky)
- **jednotný vnější formát**
 - » jiná verze dekodéru může neznámé bloky přeskakovat



Obrazový blok

Geometrie obrázku

- $[X_0, Y_0]$, šířka, výška

Nepovinná lokální paleta

- počet barev, třídění (podle důležitosti)

Volba – prokládání

- 8 fází kreslení obrázku

Obrazová data

- počáteční délka LZW kódu
- vlastní kódovaná data



Prokládání

0	I
1	IV
2	III
3	IV
4	II
5	IV
6	III
7	IV
8	I

I fáze: řádky $8i$

II fáze: řádky $4 + 8i$

III fáze: řádky $2 + 4i$

IV fáze: řádky $1 + 2i$



Rozšiřující bloky (verze 89a)

Blok řízení grafiky

- uvolnění grafiky (nechat/smazat/obnovit)
- interakce uživatele, prodleva (pro animace)
- definice transparentní barvy

Blok komentáře

- jakýkoli text – pro uživatele

Blok textu

- výpis textu na obrazovku (neproporcionální font)

Aplikačně závislý blok

- libovolná binární data (např. FractInt)



LZW komprese (Lempel-Ziv-Welch)

Slovníková kompresní metoda (1984)

- vychází z LZ78 (Lempel-Ziv, 1978)
- slovník obsahuje přiřazení „fráze → kód“
- fráze = posloupnost pixelů („znaků abecedy“)
- kód = n -bitové číslo ($3 \leq n \leq 12$)

V průběhu kódování se mění

- **slovník**
 - » adaptivní přizpůsobení kódovaným datům
- **délka kódového slova „n“**
 - » zvětšuje se po jedné až do 12



Schema kódovacího algoritmu

1. inicializace
 - do slovníku všechny jednopixelové (jednoznakové) fráze
 - $Act := []$ (prázdná posloupnost)
2. přečti další pixel ze vstupu do K
3. je fráze „ $Act + K$ “ ve slovníku?
 - Ano: $Act := Act + K$
 - Ne: zapiš na výstup kód fráze Act
 - přidej $Act + K$ do slovníku
 - $Act := K$
4. dokud neskončí vstup, opakuj kroky 2. a 3.
5. zapiš na výstup kód fráze Act



Práce se slovníkem

Inicializace slovníku

- kódy $0 \div 2^p - 1$... jednopixelové (jednoznakové) fráze
- kód 2^p ... „reset“ (inicializace přeplněného slovníku)
- kód $2^p + 1$... ukončovací znak (EOF)
- první volný kód fráze ... $2^p + 2$
- počáteční délka kódového slova $n = p + 1$ bitů

Pokud má přidaná fráze kód 2^p , **zvětším n o 1**

- maximální hodnota n je 12 (4094 frází)
- při přeplnění zakonzervuji slovník (méně často) nebo pošlu „reset“ kód (reinicializace slovníku)

PNG formát (Portable Network Graphics)



Konsorcium W3C (1995)

Rastrový formát navržený pro WWW

Několik formátů pixelu

- paleta, gray, **true-color**, **spojitá průhlednost**
- 8 ÷ 16 bitů na kanál

Informace pro kompenzaci HW odchylek

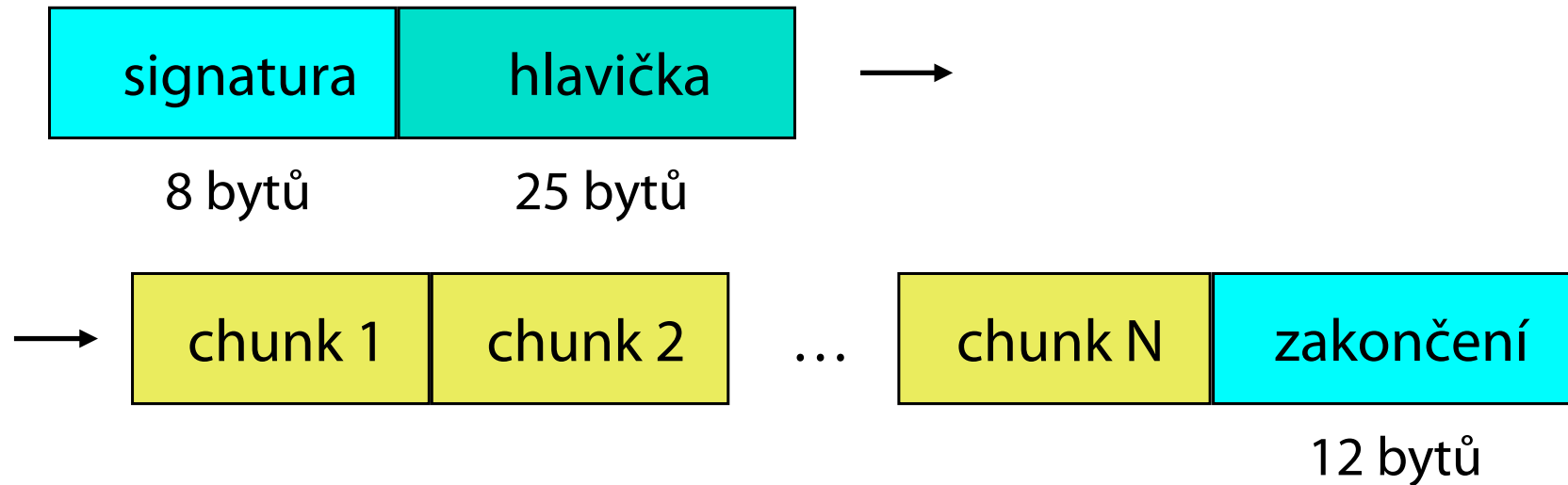
- gamma, gamut, bílý bod

Komprese DEFLATE (bez patentů!) založená na LZ77

Vylepšené volitelné prokládání v 7 fázích



Struktura PNG souboru

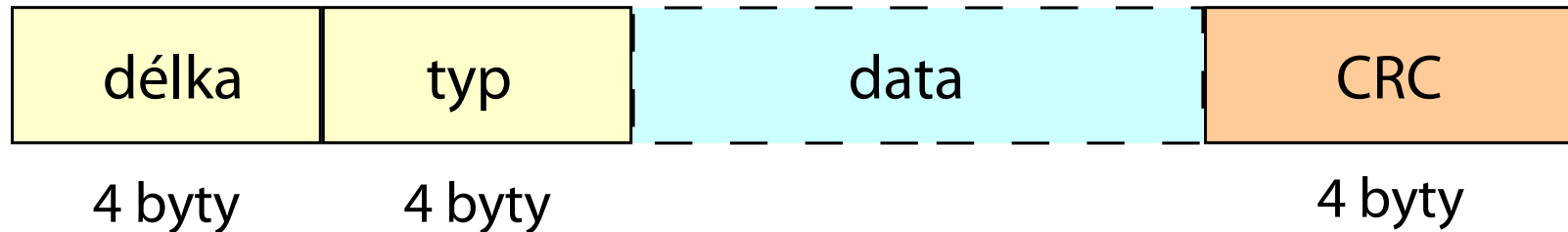


Hlavička

- výška a šířka obrázku, bitová hloubka
- barevný formát (paleta, gray, true-color, průhlednost)
- komprese, predikce, prokládání



PNG chunk



Obrazová nebo jiná data

- paleta, průhlednost, HW kompenzace, dodatečné textové informace ...

Jednotný vnější formát

- neznámé chunky může dekodér přeskakovat



LZ77 komprese (Lempel-Ziv)

Bezeztrátová slovníková kompresní metoda

- s posuvným oknem (typicky desítky KB)
- data v okně bývají zpracována do vhodné datové struktury pro velmi rychlé vyhledávání
- nesymetrický algoritmus (dekódování je rychlejší)

Kóduje se sekvence dat

- fráze = posloupnost znaků (pixelů)

Kódem je trojice [**offset, délka, znak**]

- offset = relativní poloha začátku fráze (v okně)
- délka = délka fráze v pixelech
- znak = pixel, který následuje za frází



DEFLATE komprese v PNG

Dvě fáze

- LZ77 po řádkách
- Huffmanovo kódování
 - » offset
 - » délka, znak

Volitelná predikce

- standard definuje pět predikčních filtrů
- mohou se přepínat dynamicky na začátku každé řádky
 - » prostor pro optimalizaci (adaptace na charakter obrázku)



Prokládání v PNG

7-fázové, v první fázi se přenesou 1/64 pixelů

1	6	4	6	2	6	4	6
7	7	7	7	7	7	7	7
5	6	5	6	5	6	5	6
7	7	7	7	7	7	7	7
3	6	4	6	3	6	4	6
7	7	7	7	7	7	7	7
5	6	5	6	5	6	5	6
7	7	7	7	7	7	7	7



Kompresa JPEG

Joint Photographic Experts Group (1990)

Rastrová komprese se ztrátou dat

Vhodná pro **spojité obrázky** (fotografie, rendering)

Nevhodná pro písmo, diskrétní grafiku, screenshots

- zřetelné artefakty, menší kompresní poměr než LZ*

Volitelná kvalita výsledku (0-100, ovlivní kompresní poměr)

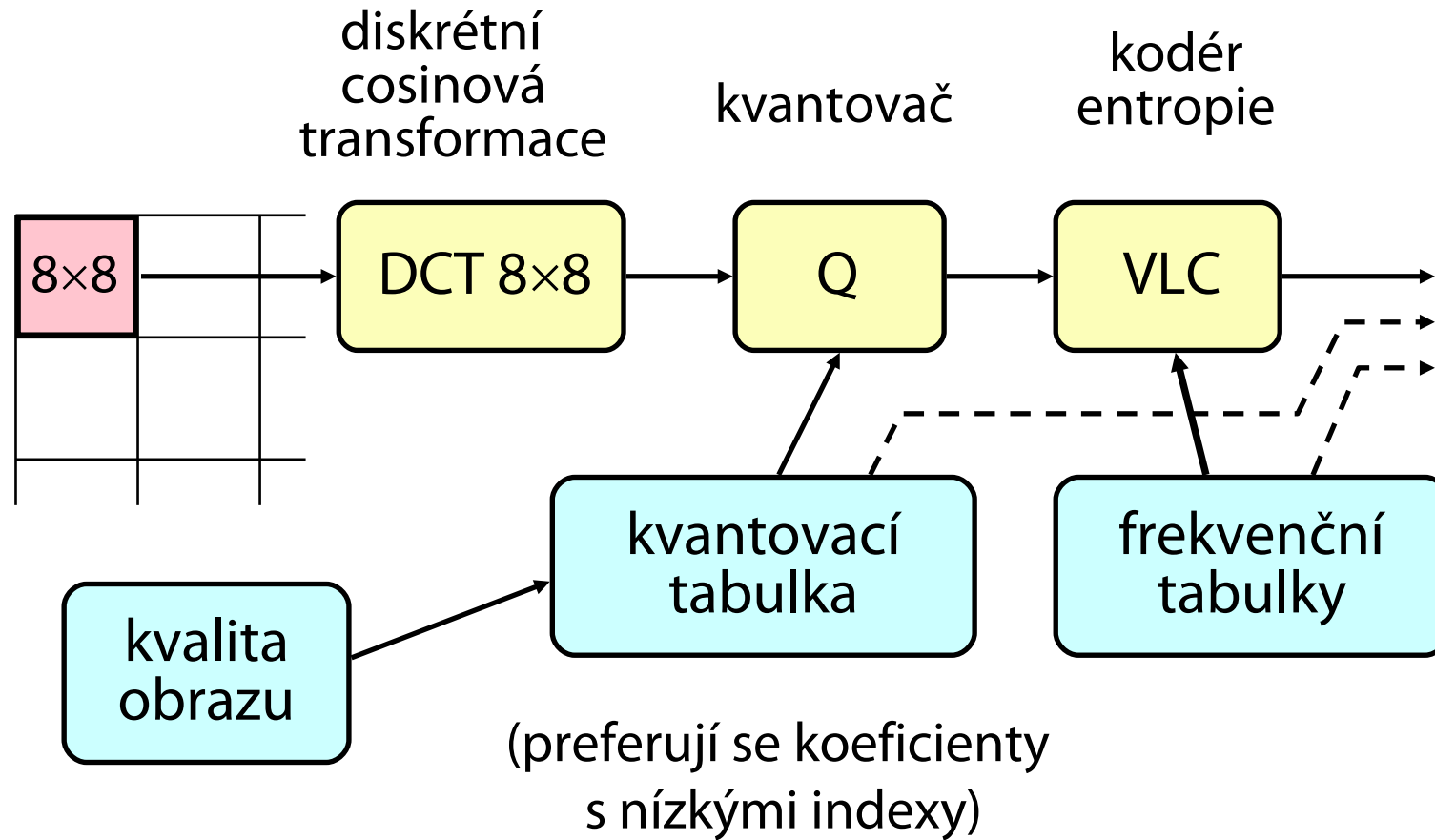
Další volby: progresivní režim, hierarchické kódování

Standardní formát souboru: JFIF (přípona JPEG, JPG)

- JPEG File Interchange Format



Ztrátová komprese JPEG





Barvy v JPEG

Podle doporučení CCIR 601

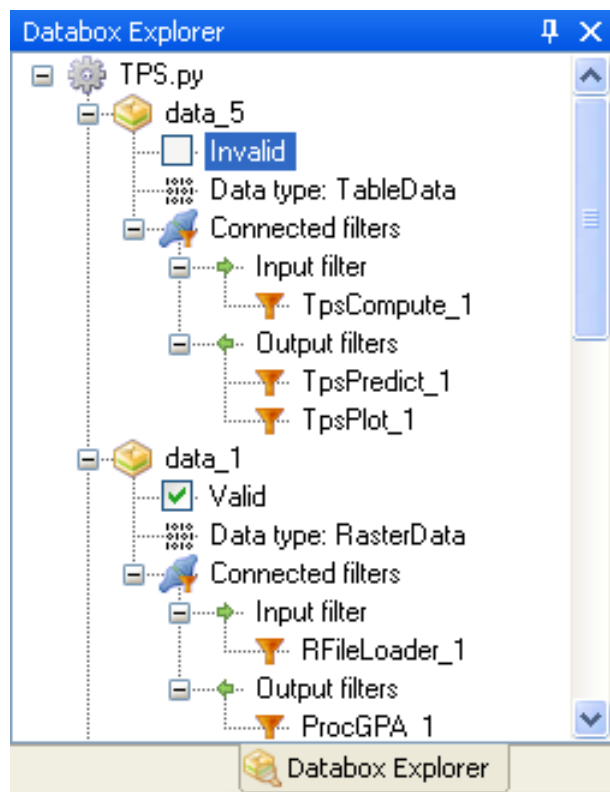
- používá se i ve video-technice

8 bitů na každou složku (existuje i 12-bitová varianta)

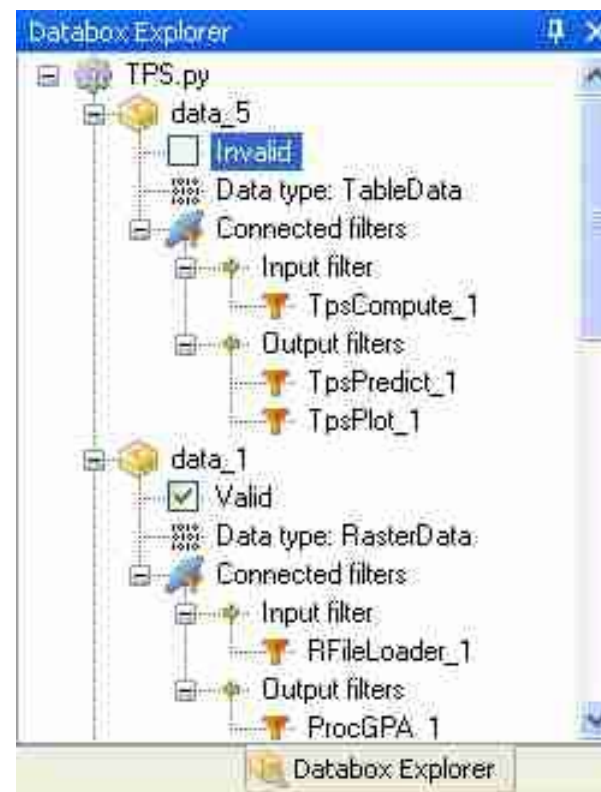
- Y ... jasová složka (odstín šedi)
- C_b a C_r ... barevné rozdílové složky (reprezentují převážně B a R)

Y =	0.299 R	<u>+ 0.587 G</u>	+ 0.114 B	
C_b =	-0.1687 R	- 0.3313 G	<u>+ 0.5 B</u>	+ 128
C_r =	<u>0.5 R</u>	- 0.4187 G	- 0.0813 B	+ 128

Artefakty JPEG komprese



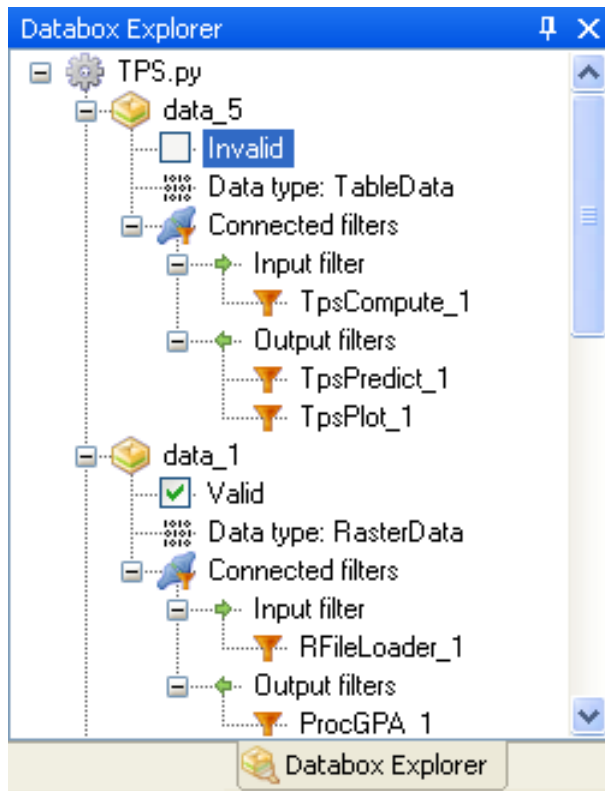
PNG (bezeztrátově)
12.3 KB



JPEG (kvalita 20%)
8.4 KB



Efektivita komprese – screenshot



PNG (8 bit)

5.8 KB

JPEG (24 bit, q=20%)

8.4 KB

GIF (8 bit)

8.7 KB

PNG (24 bit)

12.3 KB

JPEG (24 bit, q=60%)

15.6 KB

JPEG (24 bit, q=90%)

26.5 KB

JPEG (24 bit, q=100%)

45.0 KB

PPM (24 bit)

242.0 KB



Efektivita komprese: fotografie

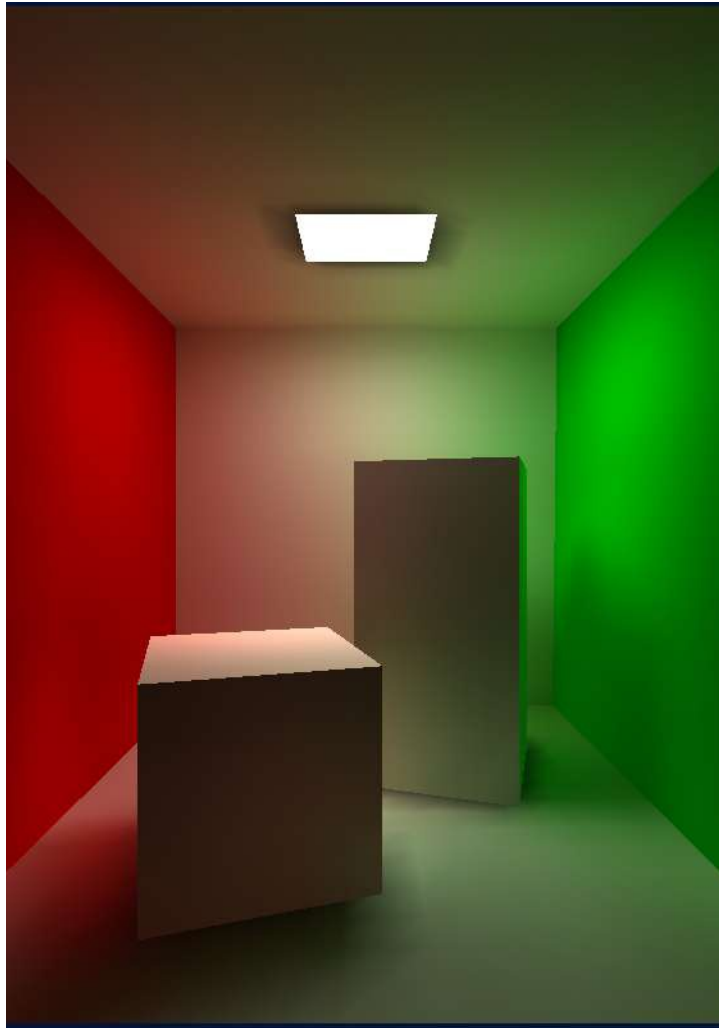


JPEG (24 bit, q=20%)	16 KB
JPEG (24 bit, q=60%)	37 KB
JPEG (24 bit, q=90%)	87 KB
PNG (8 bit)	158 KB
GIF (8 bit)	191 KB
JPEG (24 bit, q=100%)	245 KB
PNG (24 bit)	488 KB
PPM (24 bit)	1052 KB





Efektivita komprese: rendering



JPEG (24 bit, q=20%)	9 KB
JPEG (24 bit, q=60%)	17 KB
PNG (8 bit)	26 KB
JPEG (24 bit, q=90%)	39 KB
GIF (8 bit)	59 KB
JPEG (24 bit, q=100%)	136 KB
PNG (24 bit)	140 KB
PPM (24 bit)	1876 KB





Další informace

Kay D. C., Levine J. R.: *Graphics file formats*, MGWH, 1994

Wikipedia: *Image_file_formats*

Vektorový formát SVG

© 2015-2019 Josef Pelikán
CGG MFF UK Praha

pepca@cgg.mff.cuni.cz
<https://cgg.mff.cuni.cz/~pepca/>



Zobrazování grafiky v HTML5

SVG

- Scalable Vector Graphics
- také pod patronátem W3C

Grafické objekty (primitiva)

- rect, circle, line, ..
- snadno přístupné parametry formou XML atributů

```
<circle cx="250" cy="25" r="25"/>
```

Možnost použití CSS pro definici vzhledu (stylu)

```
<circle cx="25" cy="25" r="22" class="pumpkin"/>
```



Standardy – HTML5

HTML5

- mnoho zdrojů pro studium

Minimální platný HTML5 dokument

```
<!DOCTYPE html><title/>x
```

Stručný HTML dokument

```
<!DOCTYPE html>
<html>
  <head>
    <meta charset="utf-8">
    <title>Simple valid HTML5 page</title>
  </head>
  <body>
    <p>Paragraph..</p>
  </body>
</html>
```

Standardy – SVG



Scalable Vector Graphics

- W3C standard, založen na XML
- <http://www.w3.org/Graphics/SVG/>

Stručná HTML5 stránka se SVG grafikou

```
<!DOCTYPE html>
<meta charset="utf-8">
<title>SVG hello</title>
<svg width="800" height="400">
  <text y="12">
    Hello, world!
  </text>
</svg>
```




Standardy – CSS

Cascading Style Sheets

- W3C standard (CSS 2.2)
- <http://dev.w3.org/csswg/css2/>
- nepřidává obsah, pouze definuje styly zobrazení

Stručná HTML5 stránka s CSS stylem

```
<!DOCTYPE html>
<meta charset="utf-8">
<title>CSS hello</title>
<style>
body { background: steelblue; }
</style>
<body>
Hello, world!
</body>
```



SVG tvary

Rectangle <rect>

Circle <circle>, **ellipse** <ellipse>

Line <line>, **polygon** <polygon>, **polyline** <polyline>

Text <text>

Path

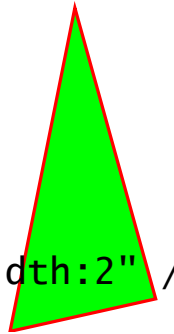
- komplikovanější popis tvaru
- vlastní jednoduchý jazyk
- lomené čáry, splines ...
- vyplnění uzavřené cesty a/nebo obkreslení čarou

SVG samples



```
<svg xmlns="http://www.w3.org/2000/svg" viewBox="0 0 100 100">  
  <path d="M30,1h40l29,29v40l-29,29h-40l-29-29v-40z" stroke="#000" fill="none"/>  
  <path d="M31,3h38l28,28v38l-28,28h-38l-28-28v-38z" fill="#a23"/>  
  <text x="50" y="68" font-size="48" fill="#FFF" text-anchor="middle"><![CDATA[410]]>  
</text>  
</svg>
```

```
<svg xmlns="http://www.w3.org/2000/svg" height="210" width="500">  
  <polygon points="200,10 250,190 160,210" style="fill:lime;stroke:red;stroke-width:2" />  
</svg>
```



```
<svg xmlns="http://www.w3.org/2000/svg" height="150" width="500">  
  <ellipse cx="240" cy="100" rx="220" ry="30" style="fill:purple" />  
  <ellipse cx="220" cy="70" rx="190" ry="20" style="fill:lime" />  
  <ellipse cx="210" cy="45" rx="170" ry="15" style="fill:yellow" />  
</svg>
```



Rendering model

SVG grafika se kreslí **odzadu-dopředu**

- postupné vykreslování přes sebe
- „malířův algoritmus“

Možnost **poloprůhledné kresby** (alpha-channel)

- attribute **opacity** ('opacity="0.5"')

Vyplňování („fill“) a/nebo **obkreslení („stroke“)**

- style="fill:<color>"
- style="stroke:<color>;stroke-width:<number>"
- ...



SVG shapes I

<rect>

- x, y, width, height, rx, ry

<circle>

- cx, cy, r

<ellipse>

- cx, cy, rx, ry

<line>

- x1, y1, x2, y2



SVG shapes II

<polygon>

- points="100,100 50,100 55,80 ..."

<polyline>

- points

<path>

- d="M 10 10 L 100 100" (MoveTo, LineTo – absolute)
- d="M 10 10 l 90 90" (LineTo – relative)
- d="M 10 10 l 90 90 l -40 10 l -10 -70 z" (ClosePath)

Relative positioning: **lower case letters**



SVG path details

All path elements

- **M** (moveto 'x y'), **L** (lineto 'x y'), **H** (horizontal lineto 'x'), **V** (vertical lineto 'y')
- **C** (curveto 'x1 y1 x2 y2 x y'), **S** (smooth curveto 'x2 y2 x y')
- **Q** (quadratic Bèzier curve 'x1 y1 x y'), **T** (smooth quadratic Bèzier curveto 'x y')
- **A** (elliptical arc 'rx ry x-rot large? sweep? x y'), **Z** (closepath)

Simplifications

- white-space can be omitted, ',' can be used instead of ''
- command letter can be omitted if equal to previous one

`d="M30,1h40l29,29v40l-29,29h-40l-29-29v-40z"`



Grouping <g>

Common attributes

- style, fill, stroke ...

Coordinate transformations

- `<g transform="translate(50,0)"> ... </g>`
- `scale(s)`, `scale(sx,sy)`
- `rotate(angle)`, `rotate(angle,x,y)` [all angles in **degrees**]
- `skewX(angle)` ... "x += y*tan(angle)"
- `skewY(angle)`
- `matrix(a,b,c,d,e,f)`
- `transform="scale(1.5),rotate(45),translate(10,0)"`

$$\begin{bmatrix} a & c & e \\ b & d & f \\ 0 & 0 & 1 \end{bmatrix}$$



Links <use>

Shared components, shapes

- define once, use multiple times..

'id' attribute = label

- `<g id="tree" ...> ... </g>`
- `<path id="arrow" d="M0,0l-30-10 ..." ...>`

<use> element = reference

- `<use xlink:href="#tree" transform="translate(20,0)"/>`
- `<use xlink:html="#arrow" opacity="0.8"/>`



Clipping

<clipPath> element

„clip-path“ attribute

... not yet



Text <text>

„font-family“

„font-style“

- normal, italic, oblique

„font-variant“

- normal, small-caps

„font-weight“

- normal, bold, bolder, lighter, 100, 200, 300, 400, 500, 600, 700, 800, 900

```
<text x="50" y="68" font-family="Verdana" font-size="48"
  fill="#FFF" text-anchor="middle">The answer is 42</text>
```



Animation

<animate>

- animation of an attribute value during defined time-interval

<set>

- sets an attribute value at a specific time

Specific subclasses: **<animateTransform>**, **<animateColor>**

Repetitions, animation curves ...

```
<rect x="20" y="10" width="120" height="40" fill="#501080">  
  <animate attributeName="width" from="120" to="40" begin="0s" dur="8s" fill="freeze"/>  
  <animate attributeName="height" from="40" to="82" begin="6s" dur="7s" fill="freeze"/>  
</rect>
```



Resources

SVG homepage

- <https://www.w3.org/Graphics/SVG/>

SVG 2 recommendation

- <https://www.w3.org/TR/SVG/>

David Duce et al.: *SVG Tutorial*

- <https://www.w3.org/2002/Talks/www2002-svgtut-ih/hwtut.pdf>

W3schools: *SVG tutorial*

- https://www.w3schools.com/graphics/svg_intro.asp

Local example page

- <https://cgg.mff.cuni.cz/~pepca/lectures/examples/SVG/>

HDR obraz (High Dynamic Range)

© 2010-2019 Josef Pelikán
CGG MFF UK Praha

pepca@cgg.mff.cuni.cz
<https://cgg.mff.cuni.cz/~pepca/>

Velká dynamika obrazu



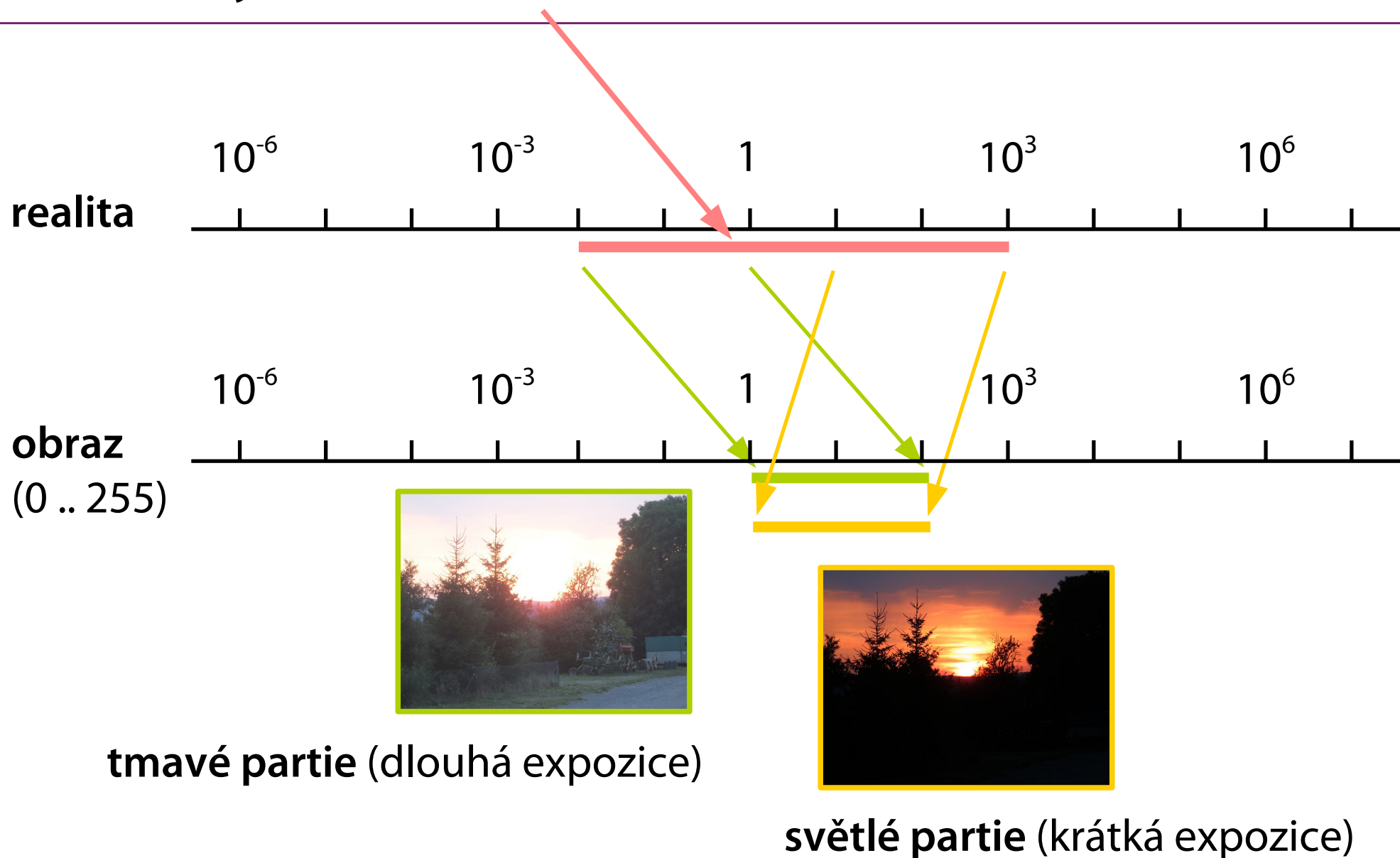
světlé partie
(krátká expozice)



tmavé partie
(dlouhá expozice)



Velká dynamika obrazu





HDR grafika

High Dynamic Range

- velký dynamický rozsah
- pixely – čísla v **plovoucí desetinné čárce**
- např. **float[3]** pro RGB (96bpp)

Pořizování HDR dat

- výpočet (rendering)
- fotografování (vícenásobná expozice)

Zobrazování na LDR zařízení

- převod do normální škály („tone-mapping“)



Formát pixelu RGBE (Radiance)

Formát souboru .hdr (Radiance)

- úsporné uložení (jen 4 byty na pixel)
- individuální mantisa [RGB], společný exponent [E]

Mantisa [RGB]

- typ **float**, normalizován mezi $\frac{1}{2}$ a 1 (maximální složka)

Exponent [E]

- binární exponent v doplňkovém kódu (8-bitové číslo)

Příklad: [0.3, 0.02, 0.1]

$$= [\underline{0.6}, 0.04, 0.2] \cdot 2^{-1} \rightarrow [153, 10, 51, 127]$$



Další HDR formáty

OpenEXR (.exr)

- Industrial Light & Magic (G. Lucas 1975, Star Wars etc.)
- zcela otevřený, knihovny jsou open-source
- různé typy komprese (ZIP, wavelets), používá často typ **half** (fp16)
- uživatelsky rošiřitelný formát pixelu

Portable Float Map (PFM)

- analogický PPM / PGM / PBM
- pixely jsou tři čísla typu **float**
- bez komprese

```
PF
1024 768
1
<binary data>
```



Fotografování HDR

Vícenásobná expozice

- statická scéna
- konstantní clona, proměnlivý čas
- sekvence např. od **1/1000s** do **2s**
- vestavěný „bracketing“ (–2 EV, 0, +2 EV)
- „super-bracketing“ (5-7 rychlých expozic za sebou, ≥ EOS 80D i víc)

Zpracování sekvence obrázků do jednoho HDR

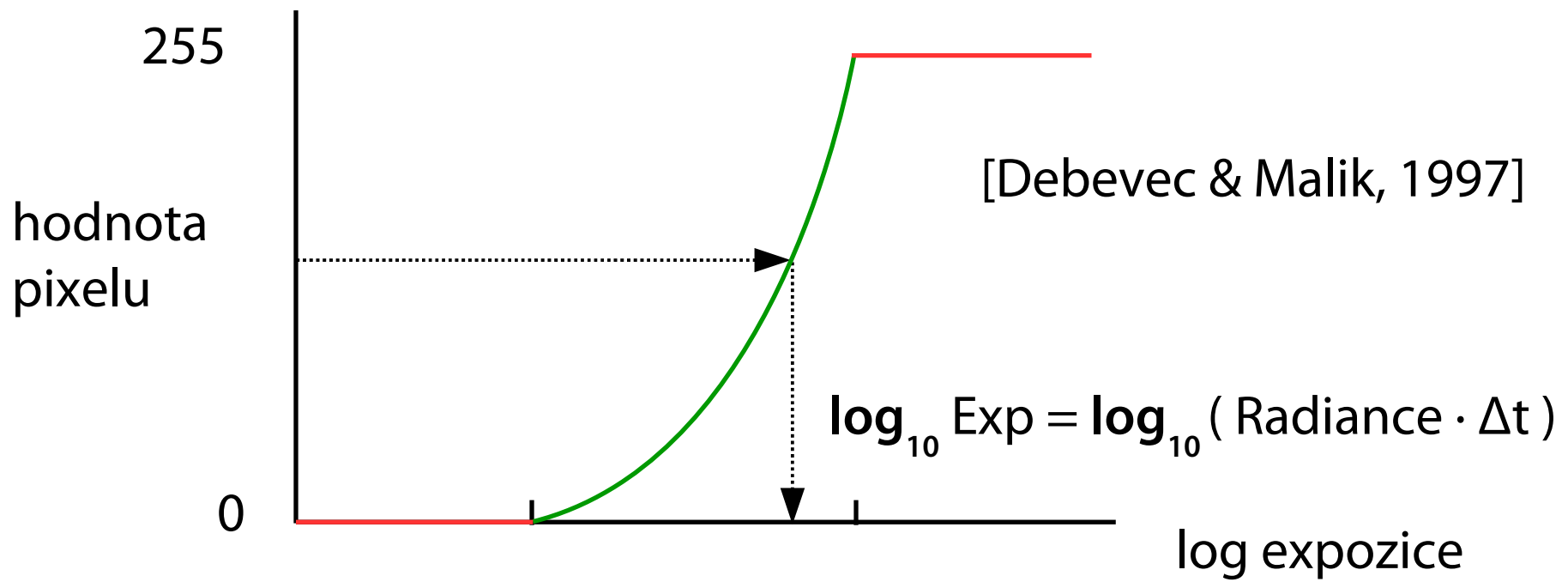
- běžné programy na zpracování foto (PhotoShop, GiMP ...)
- Picturenaut (<http://www.hdrlabs.com/picturenaut>)
- užitečné funkce: registrace snímků, auto-kalibrace



Křivka citlivosti senzoru (CCD)

Kvalitativně známá funkce

- konkrétní konstanty je třeba nastavit (kalibrace)
- „auto-kalibrace“ při skládání (předpoklad stejné předlohy)

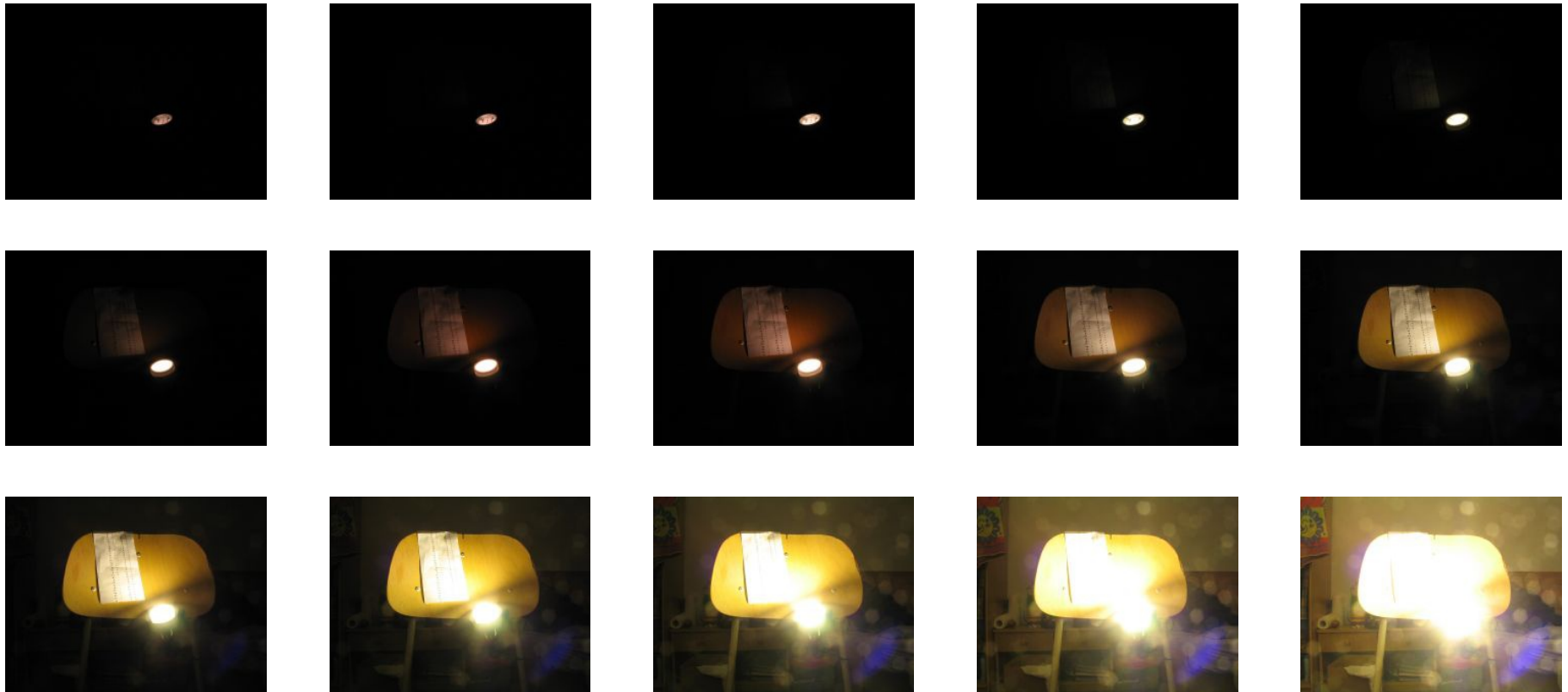




Příklad pořízení HDR

15 snímků mezi 1/2000s a 8s (rozestup 1 EV)

Sestavení ... HDR Shop





Reprodukce HDR

Jednoduché oříznutí dynamiky

- přetečení → přezáření (bílá nebo nějaké „glare“ efekty)

„Tone mapping“

- obecně: transformace **celé** originální škály do LDR
- globální vs. lokální zobrazení
- lokální zachování kontrastu, apod.



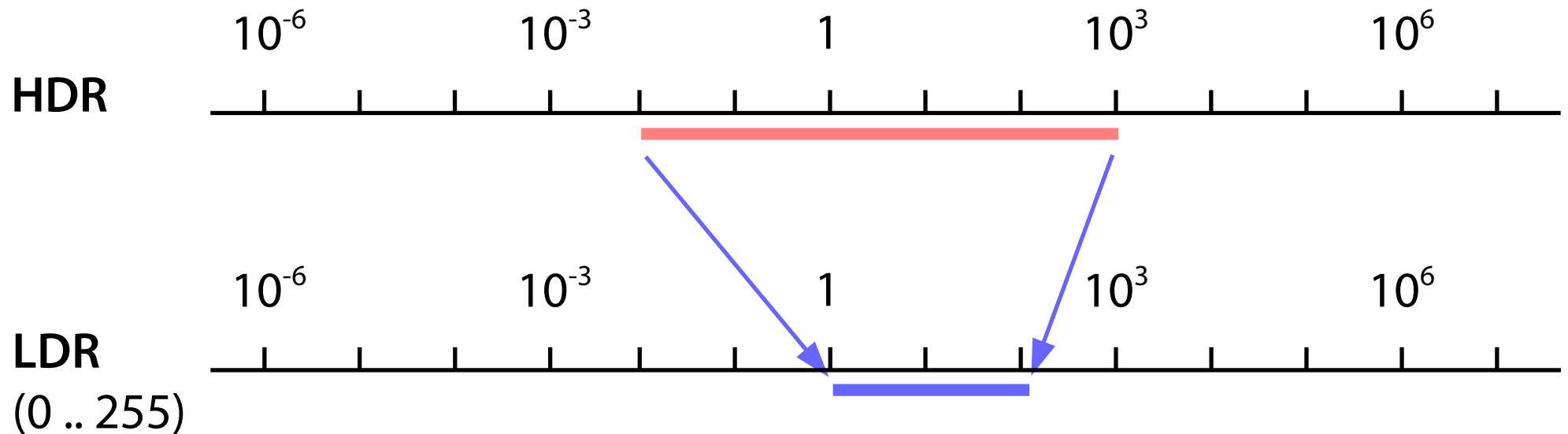
„Tone mapping“



Transformace HDR rozsahu do LDR

- zachování kresby (kontrastu) v tmavých i světlých partiích

Globální vs. lokální zobrazení

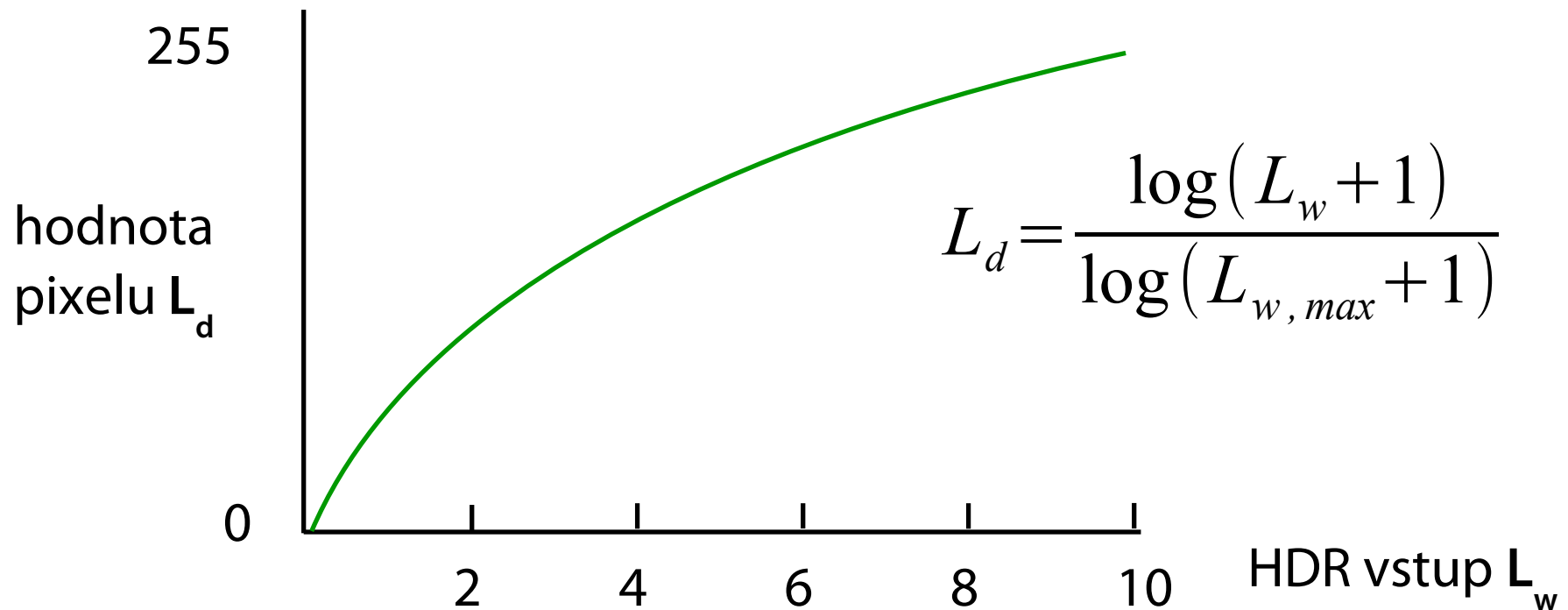




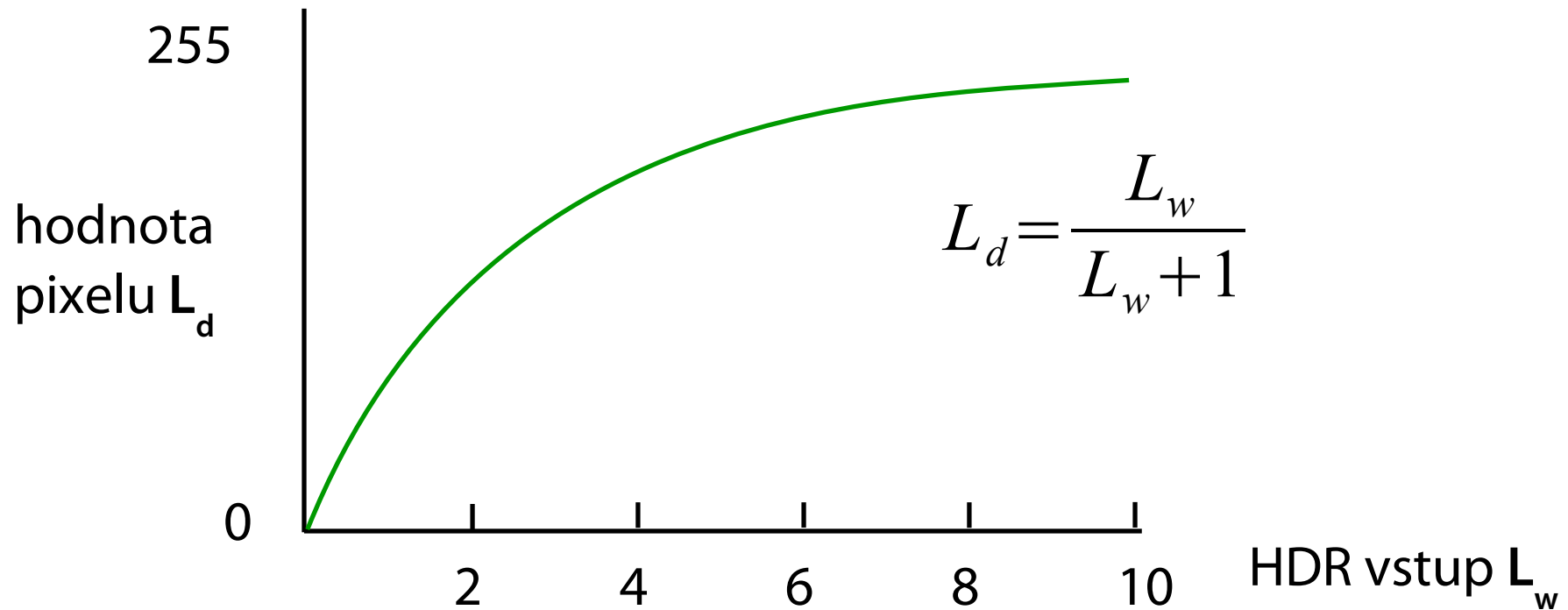
Globální operátory (Reinhard)

Logaritmický, sigmoida ...

- implementace tabulkou, GPU shaderem



Sigmoida





Gamma komprese

Již existující mechanismus

- nevýhoda: útlum barev

$$L_d = L_w^\gamma$$

Gamma komprese intenzity

- barevná informace zůstává
- intenzita se komprimuje jako výše



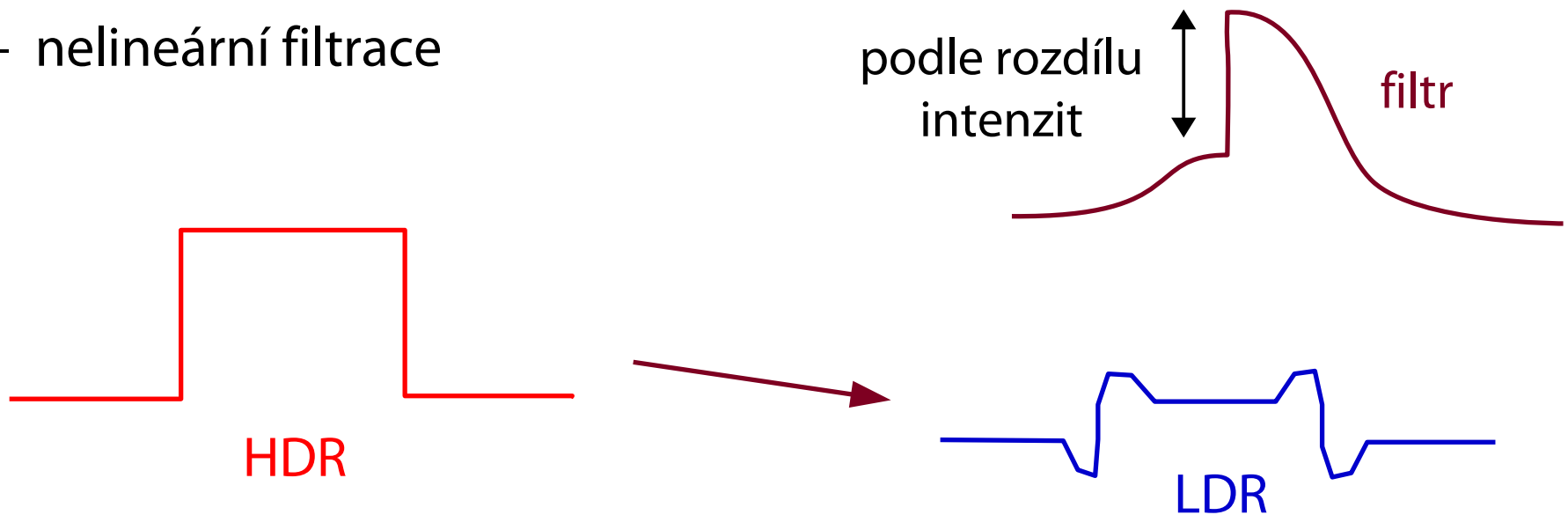
Lokální operátory

Lokálně zachovávají kontrast

- detekce hran
- lokální analýza jasu (průměr jasu, lokální histogram ...)

Bilateral filtering (1998+)

- nelineární filtrace





Fotografie

- lepší reprodukce přirozené dynamiky scény
- citlivý „tone mapping“, výsledek nepůsobí nepřirozeně
- HDR panoramata (slunce v záběru, obloha vs. terén)

CGI (počítačem generovaná grafika)

- dobře použitelná data pro „**environment mapping**“ (světelná mapa okolí)
- všechny interní výpočty a mezivýsledky jsou „HDR“
- realisticky vypadající lesklé odrazy, rozmazání pohybem ...

Příklady – „tone mapping“



LDR



Tone-mapped HDR

Příklady – „tone mapping“



Příklady – „tone mapping“



Lokální „tone mapping“



Příklad s odrazem světla



Environment-map (360/180° latitude/longitude mapping)

Příklad s odrazem světla





Environment map („cube-map“)





Reference

Další informace:

Erik Reinhard: *Tone Reproduction* (slides, Bristol)

<http://www.pauldebevec.com/>

<https://cgg.mff.cuni.cz/~pepca/hdr/>

<http://www.hdrlabs.com/>

<https://www.openexr.com/>

<http://www.mpi-inf.mpg.de/resources/hdr/>

<http://www.hdrshop.com/>

Kompozice rastrových obrázků

© 1997-2019 Josef Pelikán
CGG MFF UK Praha

pepca@cgg.mff.cuni.cz
<https://cgg.mff.cuni.cz/~pepca/>



Kompozice obrázků

Montáž několika reálných obrázků

- vkládání objektů do jiného pozadí ...

Prolínání obrázků, „fade-in“, „fade-out“

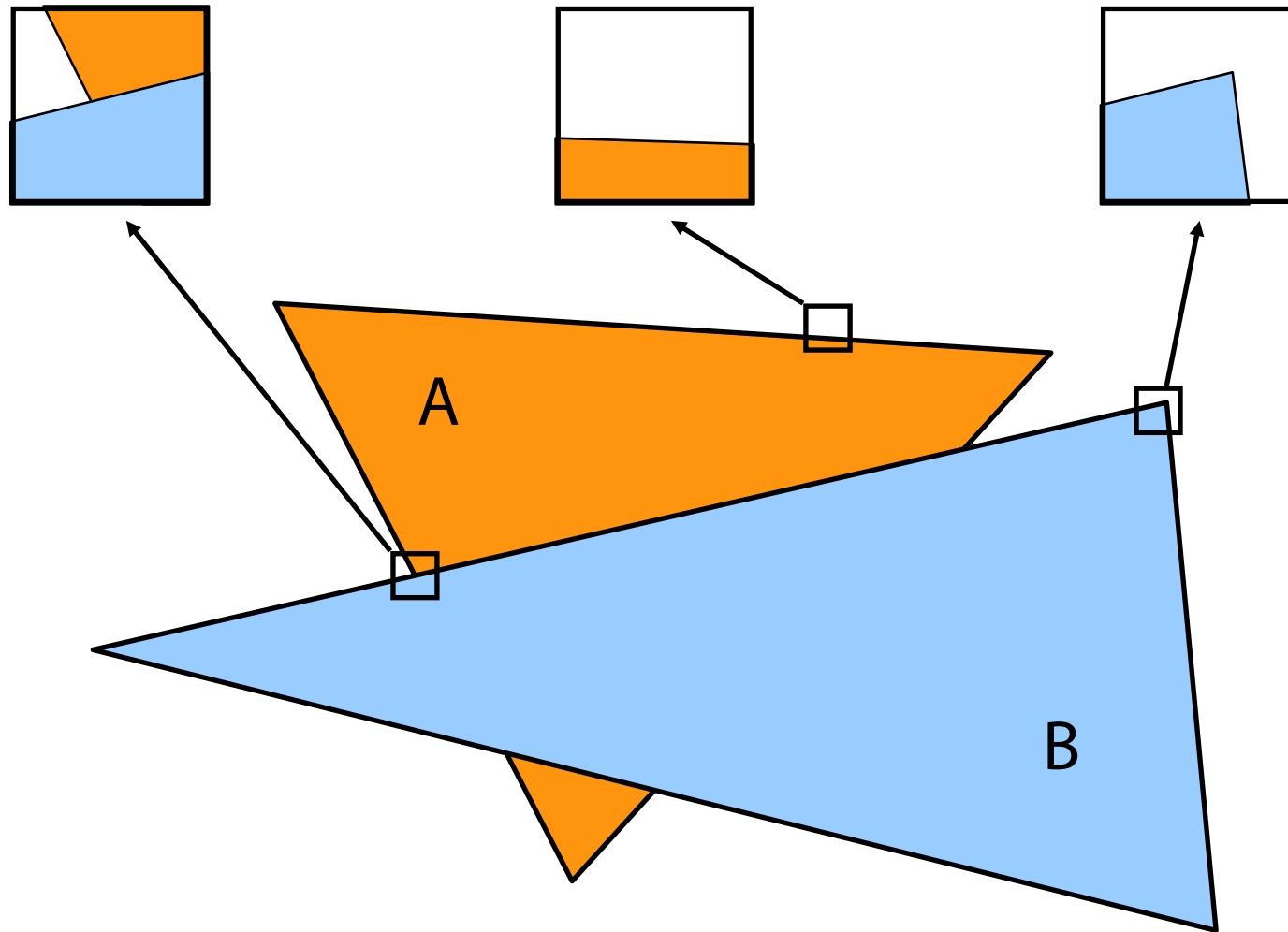
- animace, střih

Syntéza obrazu

- skládání umělého obrázku z několika samostatně vyrobených dílů (např. pozadí, popředí, plameny, mlha ...)



Pokrytí plochy pixelu





Kanál alfa

Procentuální **pokrytí pixelu** neprůsvitnou barvou

- doplněk **průhlednosti**
- $\alpha = 0$... zcela průhledný pixel (nemá vliv na výsledek)
- $\alpha = 1$... neprůhledný pixel („nic za ním neprosvítá“)

Ukládání hodnoty α v každém pixelu

- často celočíselná reprezentace ($0 \div 255$)
- čtveřice $[R, G, B, \alpha]$
- ještě častější reprezentace $[R\alpha, G\alpha, B\alpha, \alpha]$



Skládání dvou obrázků

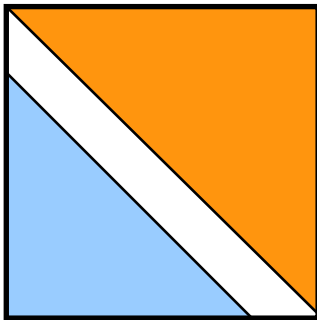
Dva skládané pixely [**A**, α_A] resp. [**B**, α_B]

– potřebuji určit výslednou hodnotu [**C**, α_C]

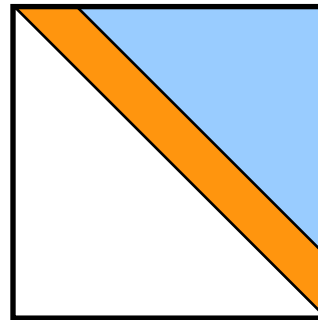
? model pro skládání pixelů ?

$$\alpha_A = 0.5$$

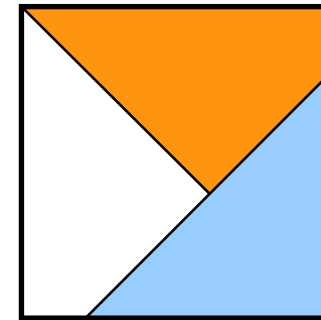
$$\alpha_B = 0.4$$



?



?



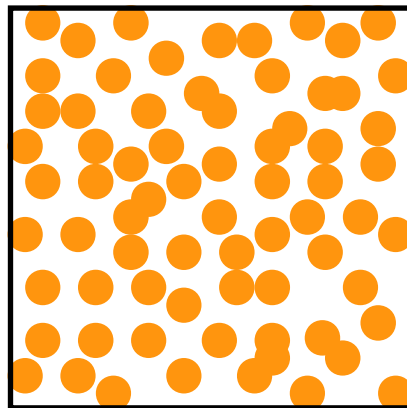


Model pokrytí pixelu

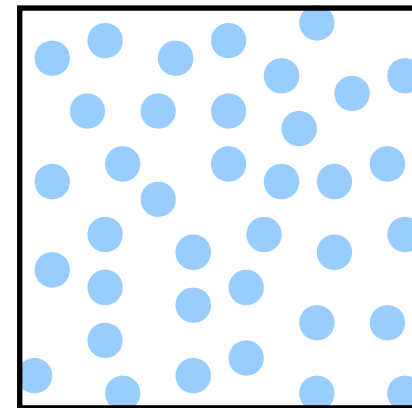
Pixel $[A, \alpha_A]$ je náhodně pokryt barvou A s rovnoměrně rozloženou pravděpodobností α_A

- skládání geometricky nezávislých tvarů
- vyhovuje ve většině případů

$\alpha = 0.5$



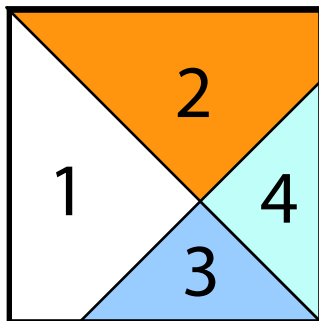
$\alpha = 0.2$





Překrytí dvou pixelů

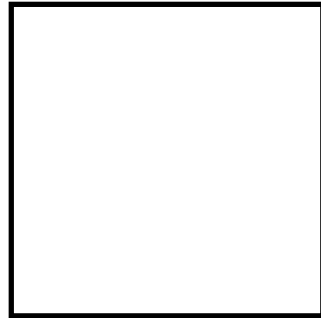
	oblast	plocha	vybarvení
1	nic	$(1 - \alpha_A)(1 - \alpha_B)$	0
2	A	$\alpha_A(1 - \alpha_B)$	0, A
3	B	$\alpha_B(1 - \alpha_A)$	0, B
4	A i B	$\alpha_A \alpha_B$	0, A, B



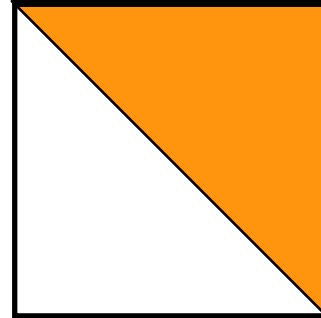
celkem 12 možností



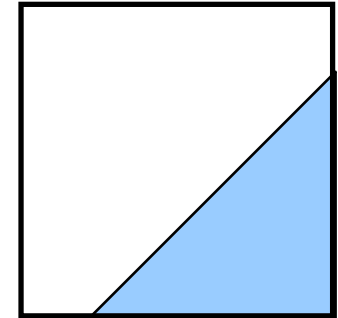
Operace skládání dvou pixelů



nic
clear



A



B

barvy

$(0,0,0,0)$

$(0,A,0,A)$

$(0,0,B,B)$

F_A

0

1

0

F_B

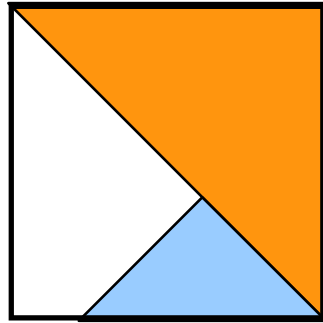
0

0

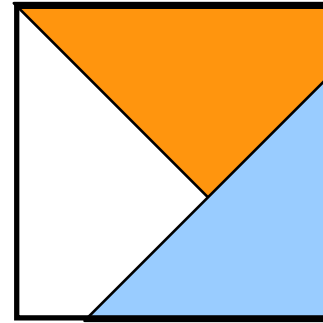
1



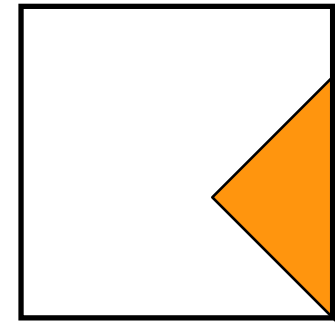
Operace skládání dvou pixelů



A přes B
A over B



B přes A
B over A



A v B
A in B

barvy

$(0, A, B, A)$

$(0, A, B, B)$

$(0, 0, 0, A)$

F_A

1

$(1 - \alpha_B)$

α_B

F_B

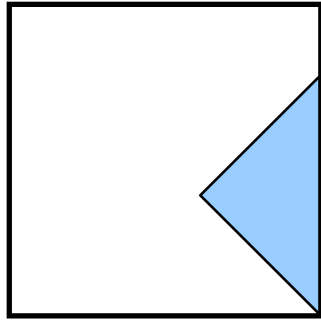
$(1 - \alpha_A)$

1

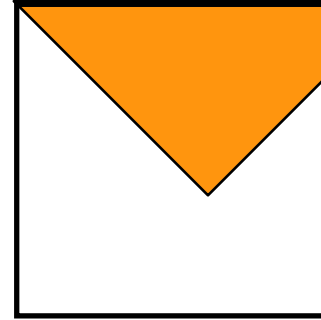
0



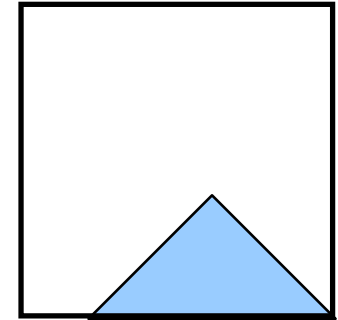
Operace skládání dvou pixelů



B v A
B in A



A mimo B
A out B



B mimo A
B out A

barvy

$(0,0,0,B)$

$(0,A,0,0)$

$(0,0,B,0)$

F_A

0

$(1 - \alpha_B)$

0

F_B

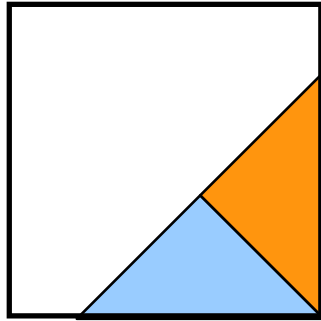
α_A

0

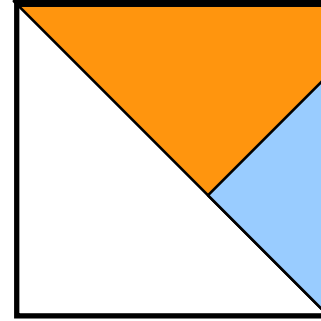
$(1 - \alpha_A)$



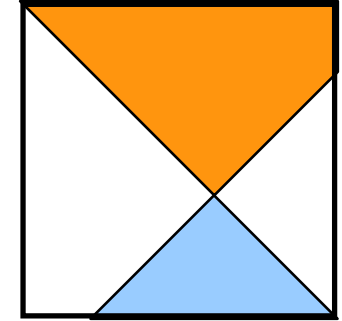
Operace skládání dvou pixelů



A na povrchu B
A atop B



B na povrchu A
B atop A



A xor B

barvy

$(0,0,B,A)$

$(0,A,0,B)$

$(0,A,B,0)$

F_A

α_B

$(1 - \alpha_B)$

$(1 - \alpha_B)$

F_B

$(1 - \alpha_A)$

α_A

$(1 - \alpha_A)$



Implementace

Čtveřice $RGB\alpha$ se ukládají jako $[R\alpha, G\alpha, B\alpha, \alpha]$

- při skládání se stejně vždy barva násobí alfa-kanálem

Při zpětném převodu do RGB by se barevné složky vydělily alfa-kanálem

- nedělá se to často
- pouhé odstranění čtvrté složky dává lepší výsledek

Při operaci skládání dvou pixelů se násobí všechny čtyři složky faktorem F_x

- operace lineární kombinace na čtveřicích (SSE, GPU)



Operátory – shrnutí

Binární operace $A \text{ op } B$ (F_A, F_B podle tabulky)

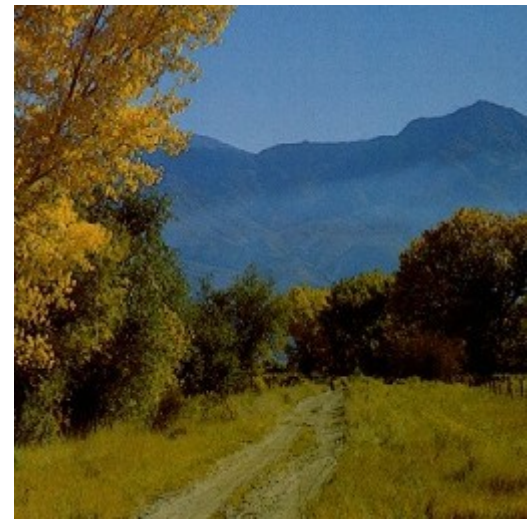
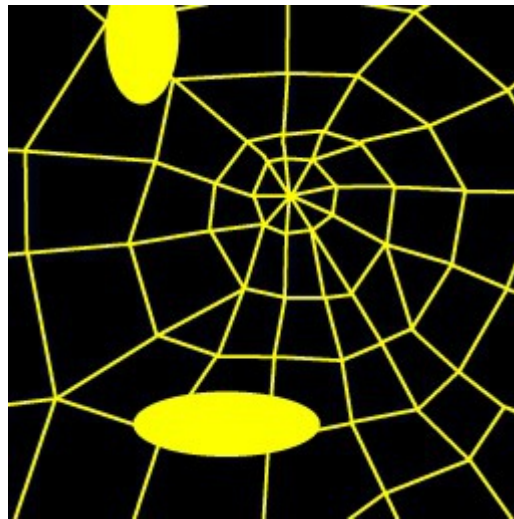
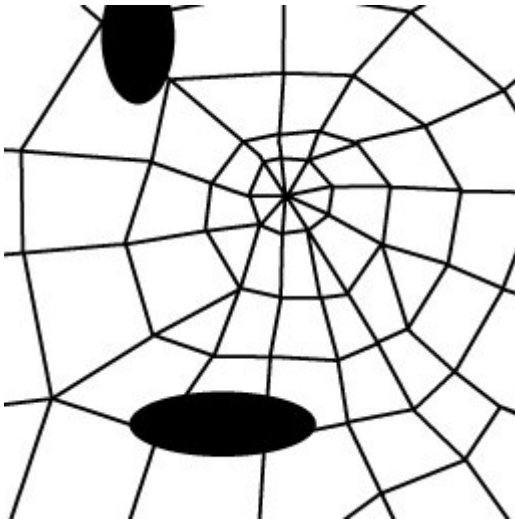
$$[F_A R_A + F_B R_B, F_A G_A + F_B G_B, F_A B_A + F_B B_B, F_A \alpha_A + F_B \alpha_B]$$

$$\text{darken} (A, \rho) = [\rho R_A, \rho G_A, \rho B_A, \alpha_A]$$

$$\text{fade} (A, \delta) = [\delta R_A, \delta G_A, \delta B_A, \delta \alpha_A]$$

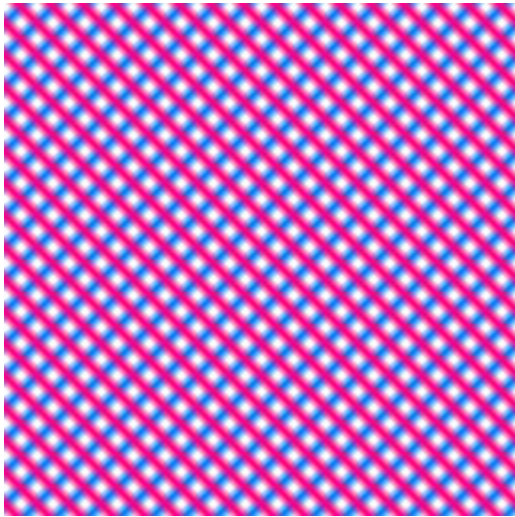
$$\text{opaque} (A, \omega) = [R_A, G_A, B_A, \omega \alpha_A]$$

Ukázka – vstupy

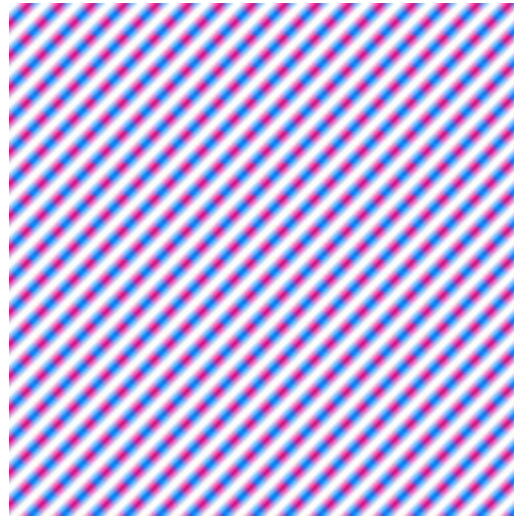




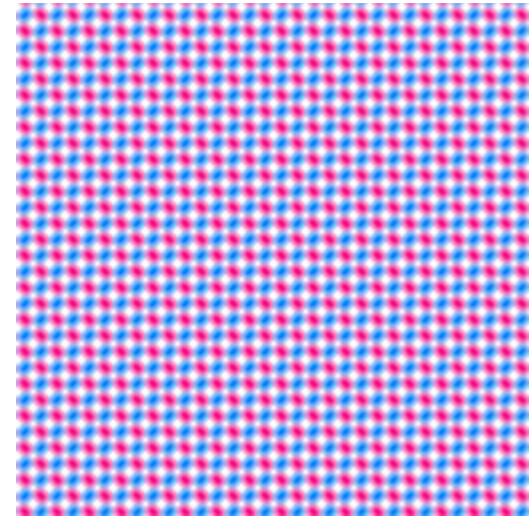
Ukázka – binární operace I



1 over 2



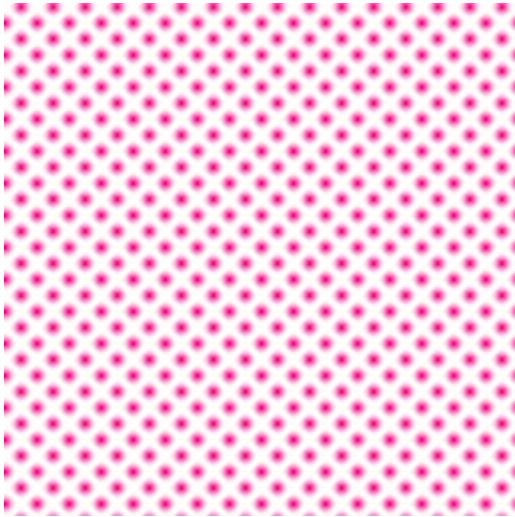
1 atop 2



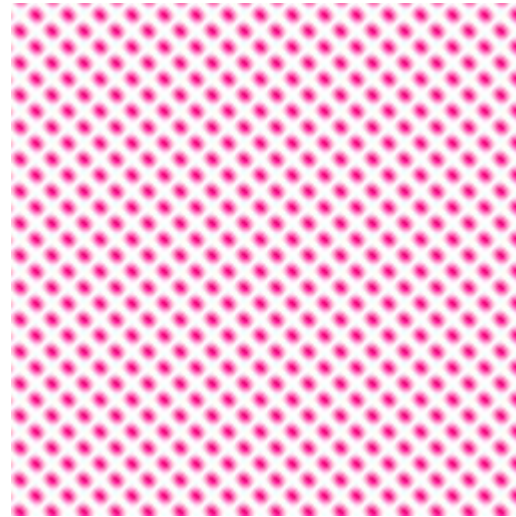
1 xor 2



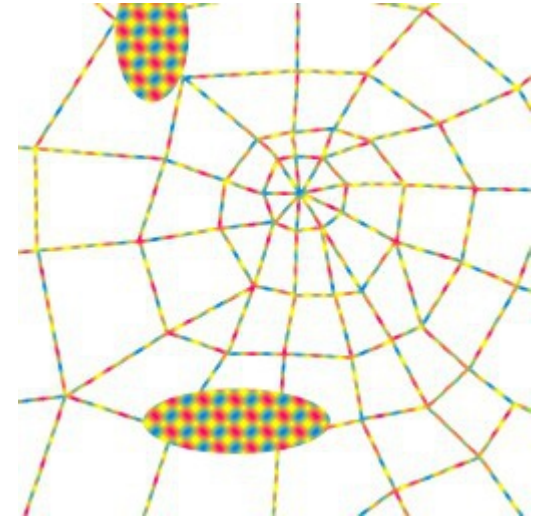
Ukázka – binární operace II



1 in 2



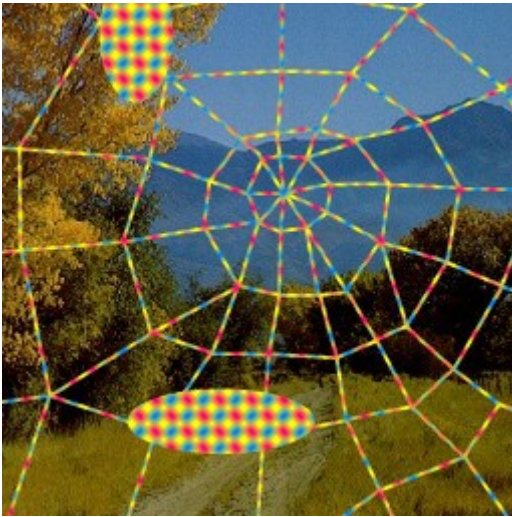
1 out 2



(1 xor 2) atop W



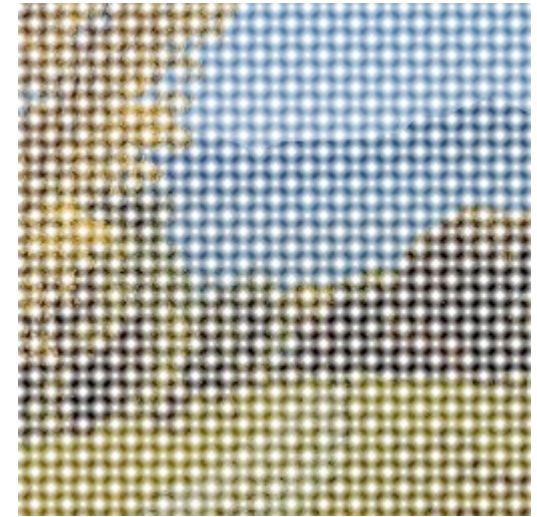
Ukázka – binární operace III



$((1 \text{ xor } 2) \text{ atop } W) \text{ over } V$

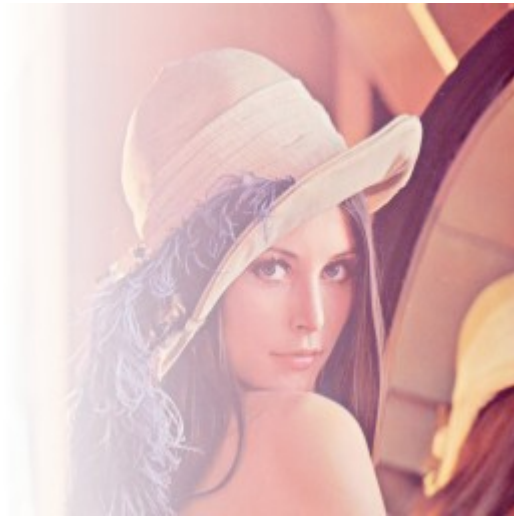


$(V \text{ atop } (1 \text{ xor } 2)) \text{ over } L$

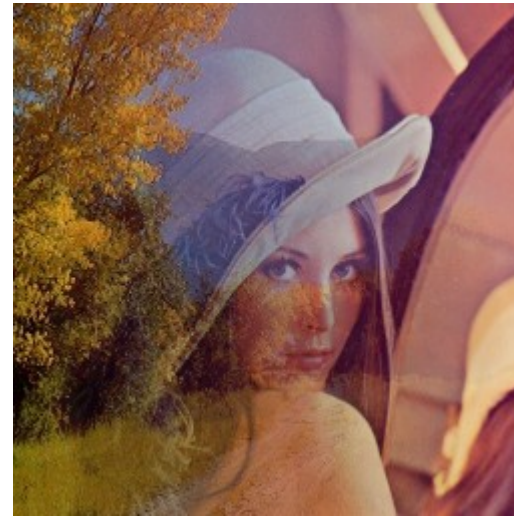


$V \text{ atop } (1 \text{ xor } 2)$

Ukázka – prolínání



fade(L, horiz)



fade(L, horiz) over V



Operace „plus“

Aditivní operátor **A plus B**

[$R_A + R_B$, $G_A + G_B$, $B_A + B_B$, $\alpha_A + \alpha_B$]

– pozor na přetečení!

Příklad 1: **prolínání dvou obrázků**

fade(A,t) plus fade(B,1 - t)

Příklad 2: **hořící strom**

(FFire plus (BFire out Tree)) over darken(Tree,0.8) over Background

Originál je z filmu Star Trek II (1982) – „Genesis Effect“

<https://www.youtube.com/watch?v=Qe9qSLYK5q4>



Literatura

J. Foley, A. van Dam, S. Feiner, J. Hughes: *Computer Graphics, Principles and Practice*, 835-843

**T. Porter, T. Duff (Lucasfilm): *Compositing Digital Images*,
Computer Graphics 18(3), 1984**

– <https://keithp.com/~keithp/porterduff/p253-porter.pdf>

Filtrace obrazu

© 2010-2019 Josef Pelikán
CGG MFF UK Praha

pepca@cgg.mff.cuni.cz
<https://cgg.mff.cuni.cz/~pepca/>

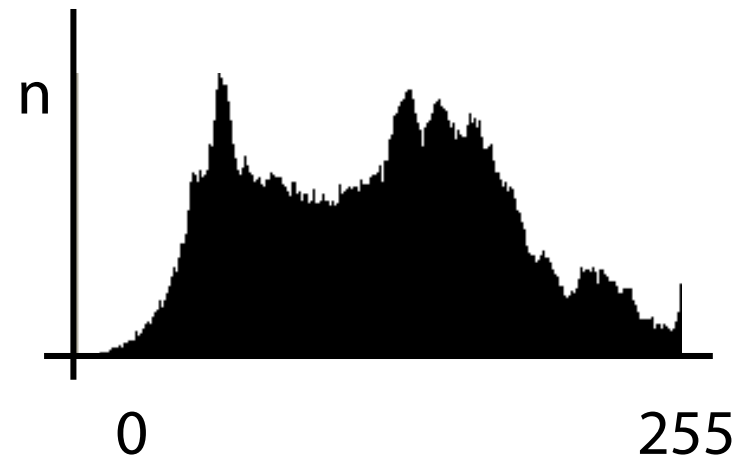
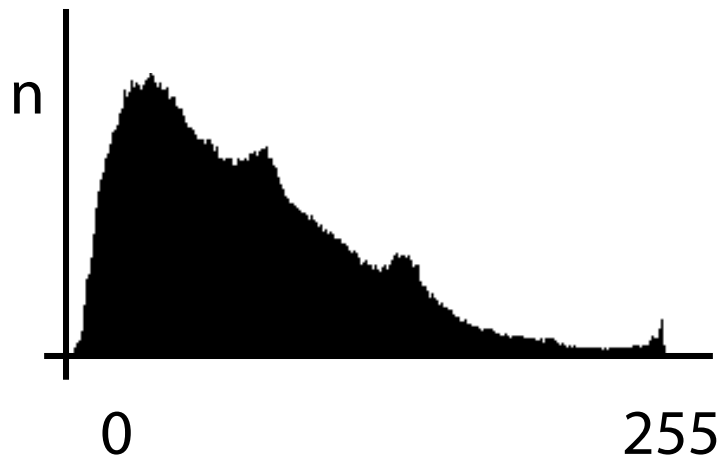


Histogram obrázku

Tabulka četností jednotlivých jasových (barevných) hodnot

– spojitý případ – hustota pravděpodobnosti

Přímé použití – fotografie





Jasové poměry obrázku

Histogram → první odhad **expozice obrazu**

Přeexponované nebo podexponované snímky

Nedostatečný nebo příliš velký **kontrast**

„Dobrý histogram“

- obraz má odstíny ve všech částech škály
- ~ detaily čitelné ve stínech i jasných partiích

Nedal by se špatný histogram „opravit“?



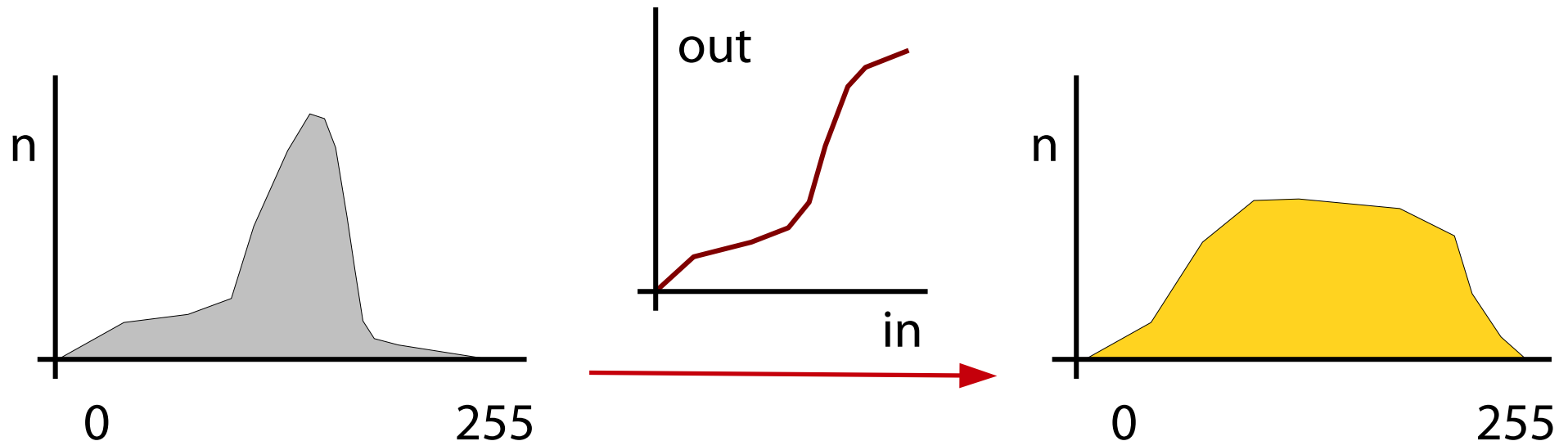
Jasová transformace

Převodní funkce („transfer function“) mezi jasy na vstupu a výstupu

– $t: \mathbb{R} \rightarrow \mathbb{R}$ (obyčejně $[0, 1] \rightarrow [0, 1]$)

Gamma-korekce

Zvětšování kontrastu





Ekvalizace histogramu

Umělá jasová transformace

- snaží se o vyrovnaný histogram

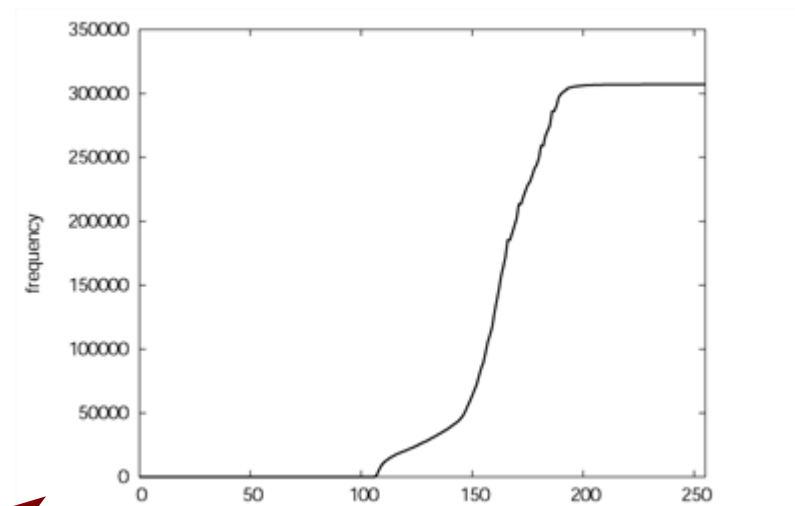
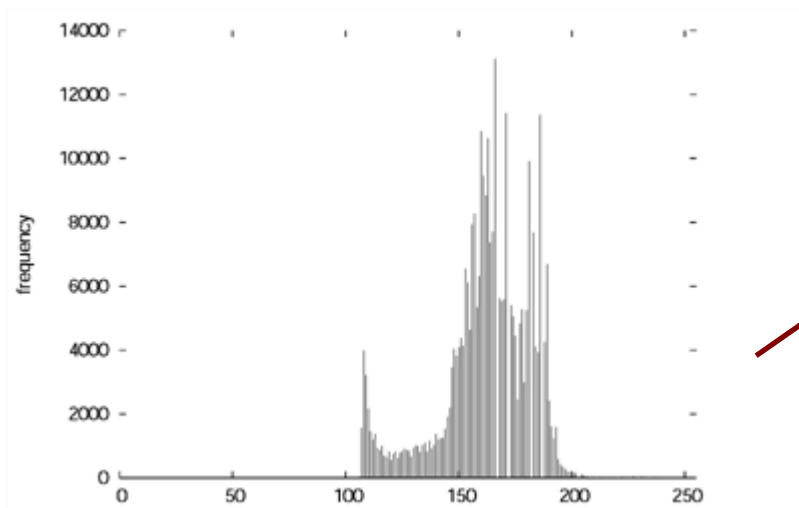
Manipuluje s celými jasovými „sloupečky“

- případně rozděljuje četnější odstíny stochasticky

Lokální ekvalizace histogramu

- analýzu dělá jen na (větším) okolí daného pixelu
- může zlepšit čitelnost na celé ploše obrázku
- nezachovává jednobarevné plochy!

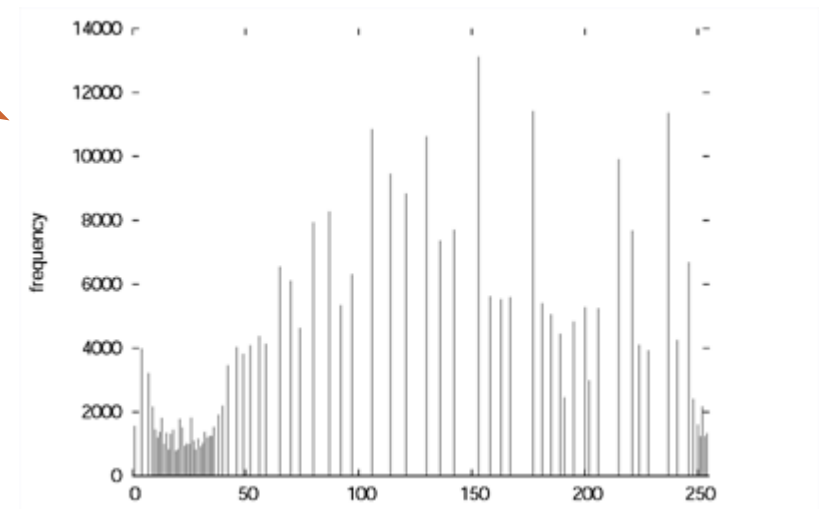
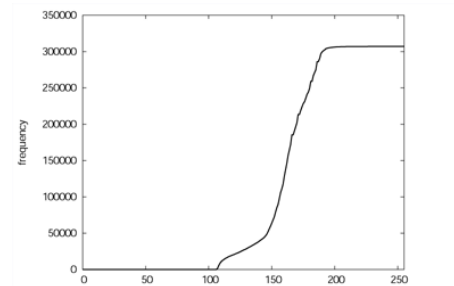
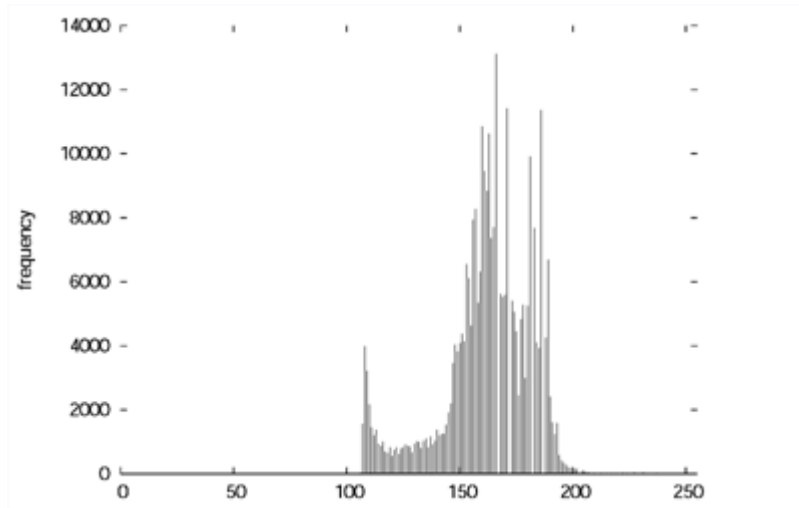
Příklad globální ekvalizace



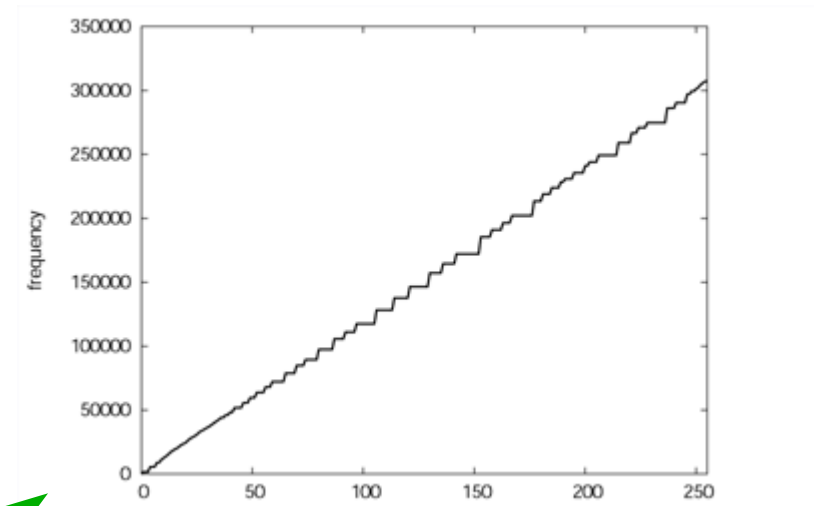
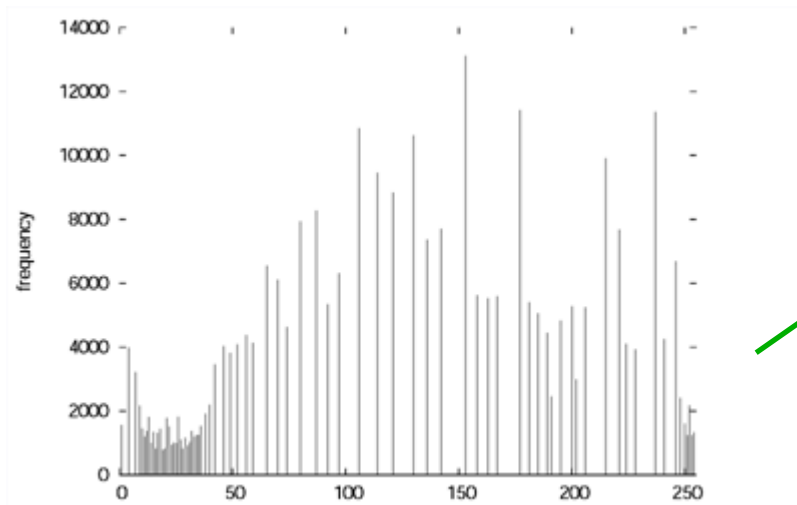
**Kumulovaný histogram
(jasová transformace)**



Jasová transformace



Výsledek po ekvalizaci



Kumulovaný histogram



Barevné operace

1. převod **RGB** → **HSV**
- 2a. manipulace se **sytostí S**
- 2b. manipulace s **odstínem H**
 - změna barvy objektu
 - selektivní přebarvování ...
3. převod zpět **H'S'V'** → **R'G'B'**

HSV operace



HSV operace





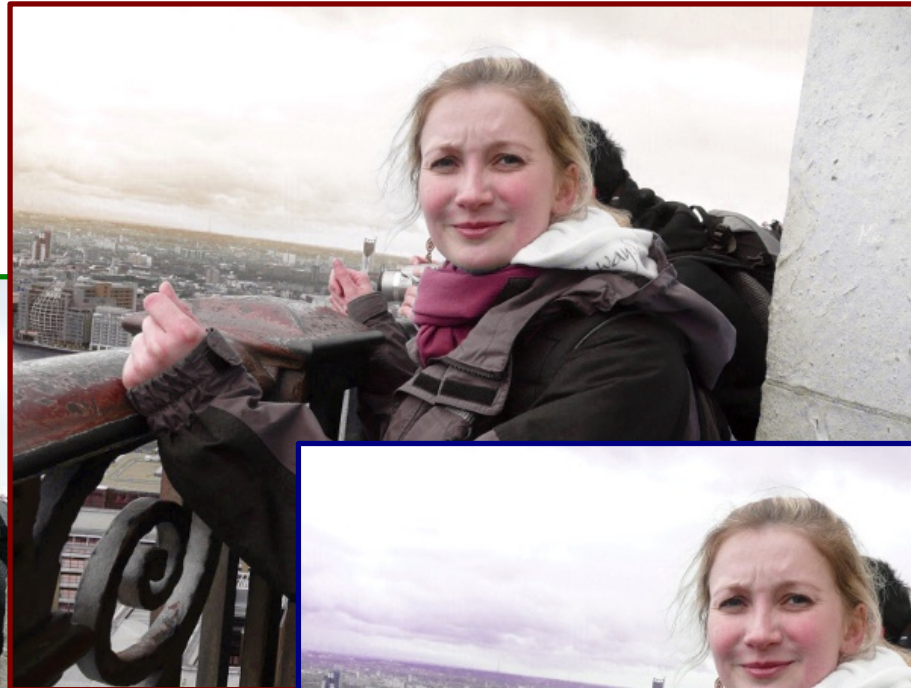
Příklady barevných operací



(algoritmus: Miroslav Hrivík)



Příklady barevných operací



(foto a algoritmus: David Marek)

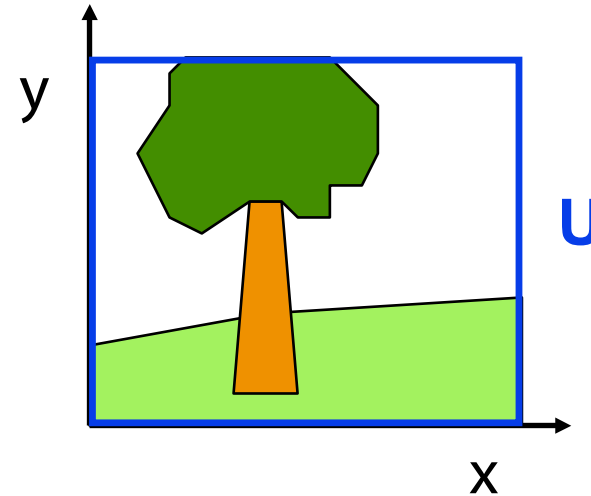


Matematická definice obrazu

„Obrazová funkce“

$$f: U \subset \mathbb{R}^2 \rightarrow \mathbb{R}^n$$

$$f: [x, y] \rightarrow [a_1, a_2, \dots, a_n]$$



poloha bodu
v rovině

atributy obrazu
(barva, průhlednost)



Konvoluce

Spojité varianta „váženého klouzavého průměru“

- váhová funkce (konvoluční jádro) ***g***

Úzká souvislost s **Fourierovou transformací**

- spektrální prostor
- filtry typu „dolní propust“ apod.

$$(f * g)(x) = \int_{-\infty}^{\infty} f(t) \cdot g(x - t) dt$$

(1D varianta)



Diskrétní konvoluce

„Vážený klouzavý průměr“ na posloupnosti (tabulce)

– váhová posloupnost (tabulka) g

Souvislost s **diskrétní Fourierovou transformací**

$$(f * g)[n] = \sum_{m=-\infty}^{\infty} f[m] \cdot g[n-m]$$

(1D varianta)



Účinky konvoluce

Dolní propust (jen kladné hodnoty g)

- rozmazání obrazu
- potlačení šumu

Horní propust (kladné i záporné hodnoty, součet 0)

- detekce hran v obraze
- po modifikaci: ostření obrazu

Složitější spektrální filtry

Další efekty („emboss“ ...)

Rozmazání obrazu



Originál



Gauss

1	2	1
2	4	2
1	2	1

/16



Detekce hran („high-pass filter“)



Originál



Sobel (2 směry)

1	2	1
0	0	0
-1	-2	-1

1	0	-1
2	0	-2
1	0	-1

Ostření obrazu



Laplacián

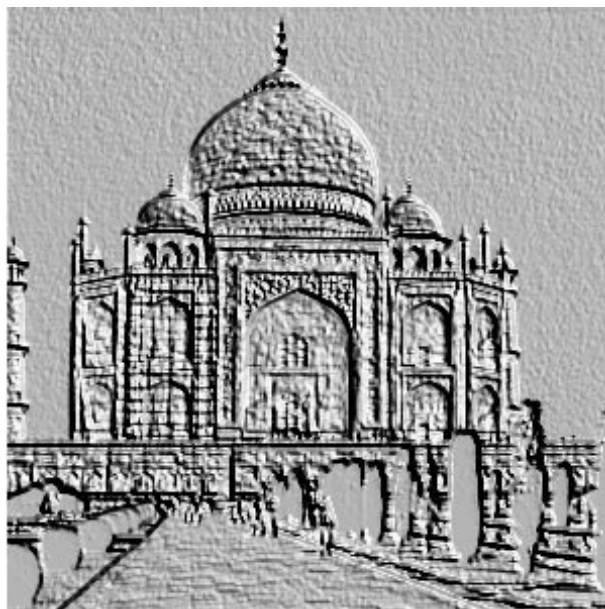
0	-1	0
-1	4	-1
0	-1	0



Zaostření

0	-1	0
-1	5	-1
0	-1	0

„Emboss“ efekt



Emboss

-1	0	0
0	1	0
0	0	0



Originál



Neuniformní rozmazání



Originál



Radiální rozmazání
(1D rozmazání)



Nelineární filtry („rank filtry“)

Okénková filtrace (podobně jako u konvoluce)

V okénku se hodnoty pixelů **seřadí podle velikosti**

- **medián:** potlačení šumu, umělecké efekty ...
- **minimum:** „eroze“
- **maximum:** „dilatace“

Různé tvary okna

- čtverec
- kruh
- křížek (zachová ostré rohy)



Medián na potlačení šumu



originál



pepř & sůl



medián 3×3

Dilatace a eroze



dilatace



eroze



Potlačování šumu

Pokročilejší metody se snaží o **zachování hran** obrazu

- nelze použít obyčejnou redukci vysokých frekvencí

Varianty **mediánového filtru**

Neizotropické filtrování

- rozmazávání se děje ve směru „vrstevnic“ obrazu (kolmo na gradient obrazové funkce)

Filtrace **rotující maskou**

- několik uvažovaných okolí daného pixelu
- průměruje („mediánuje“) se v okénku s minimálním rozptylem



Umělecké efekty

Napodobení malířských/kreslířských technik

Simulované tahy štětcem/perem/pastelem

Efekty typu „mozaika“, vitráž, ...

NPR (nefotorealistické) efekty

- zvýrazňování hran
- vyplňování vnitřních oblastí objektů
- narůstání oblastí (aplikace segmentačních metod)
- ...

Příklad – umělecký efekt

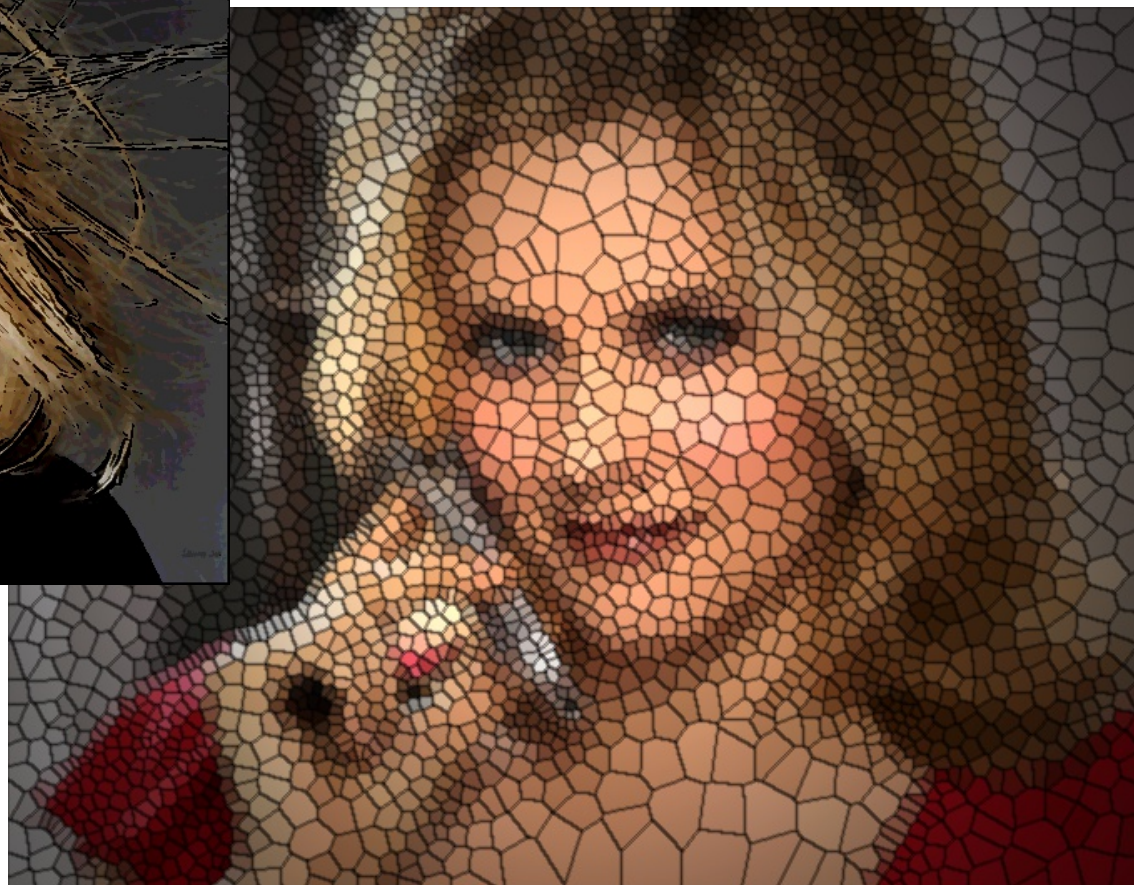


originál



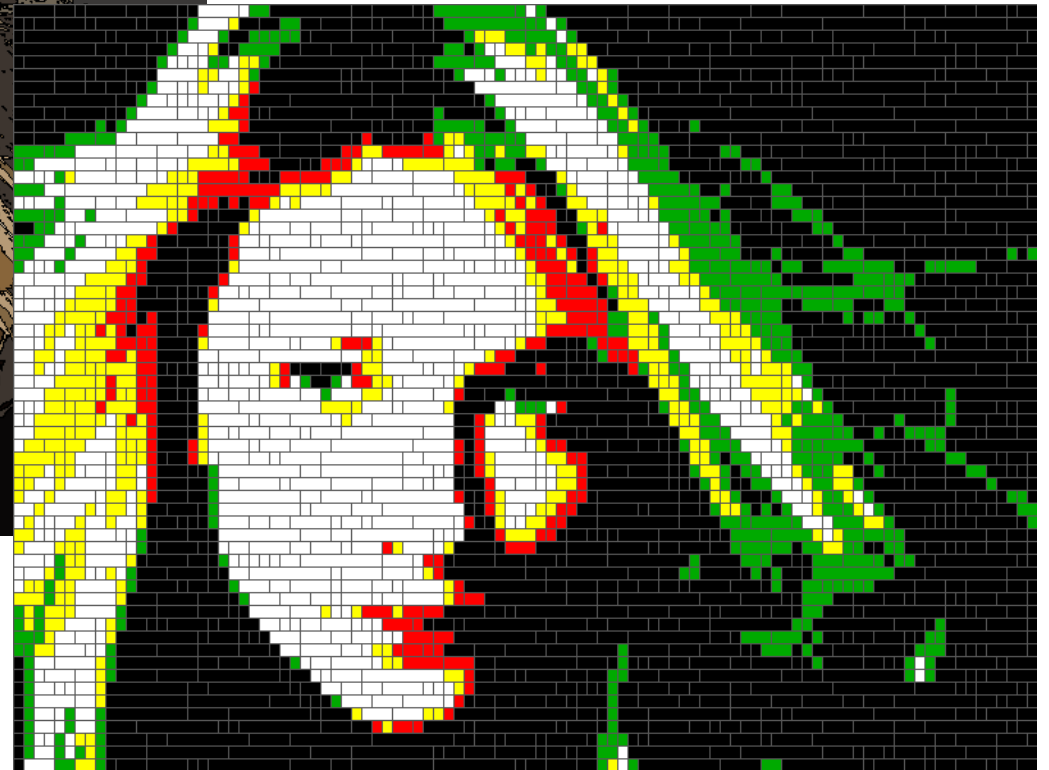
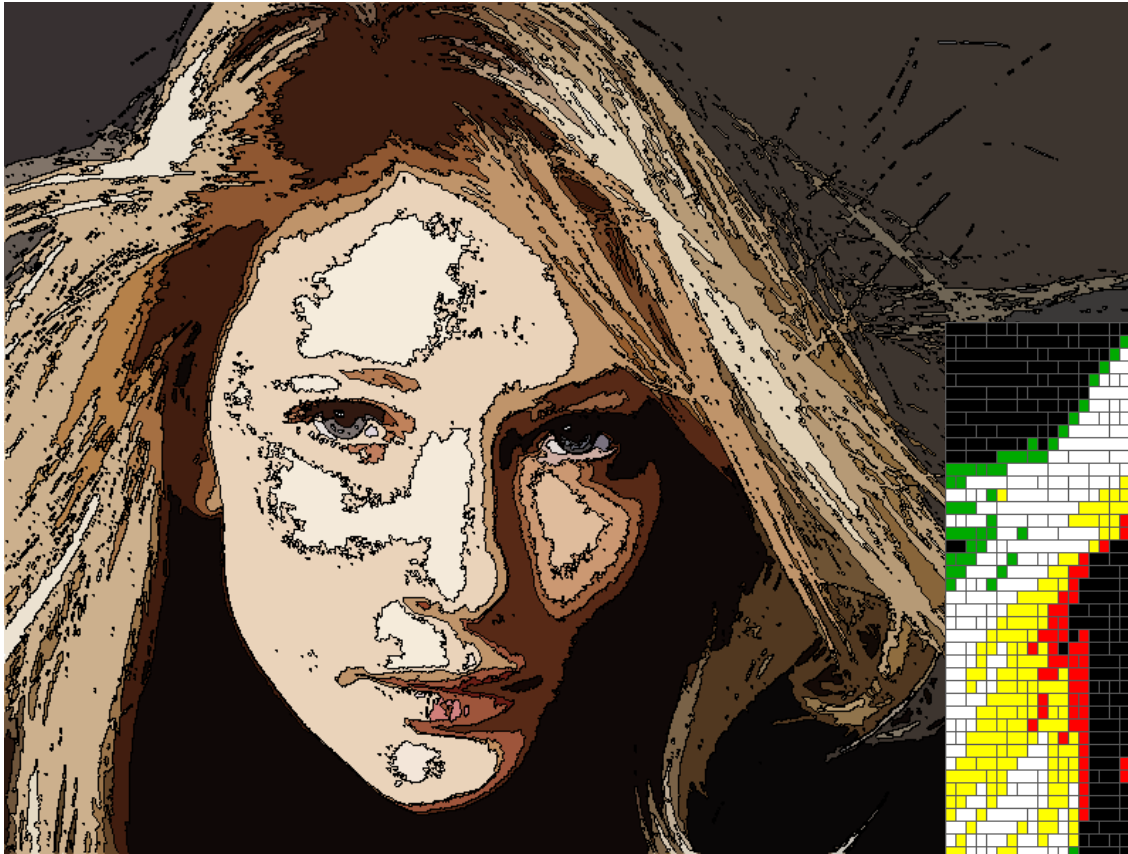
kresba

Příklad – NPR filtry

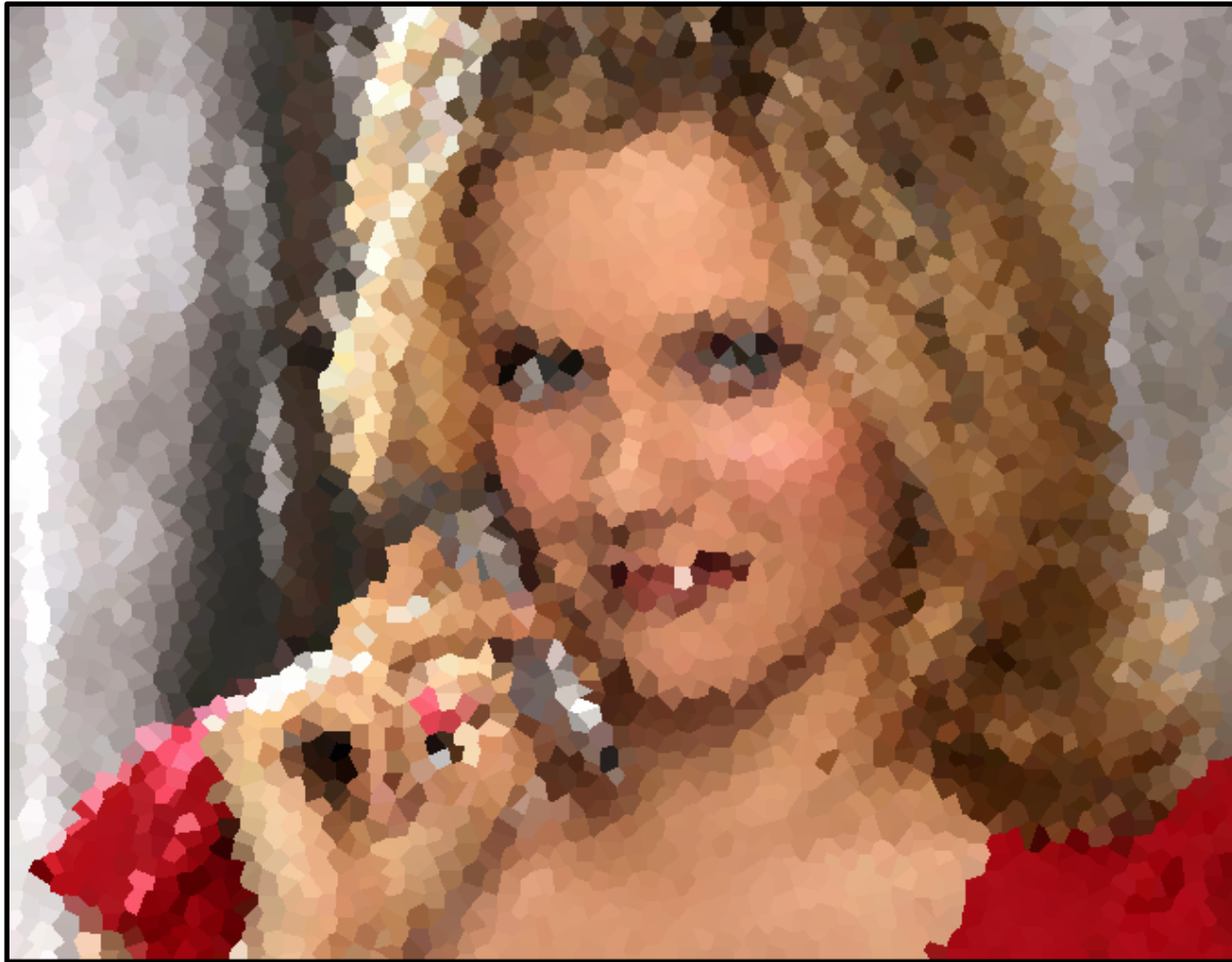




Příklad – NPR filtry



Příklad – mozaika





Literatura

Pratt W. K.: *Digital Image Processing: PIKS Inside*, 3rd Edition, Wiley-Interscience, 2001

Gonzales R. C, Woods R. E.: *Digital Image Processing*, 3rd Edition, Prentice Hall, 2007

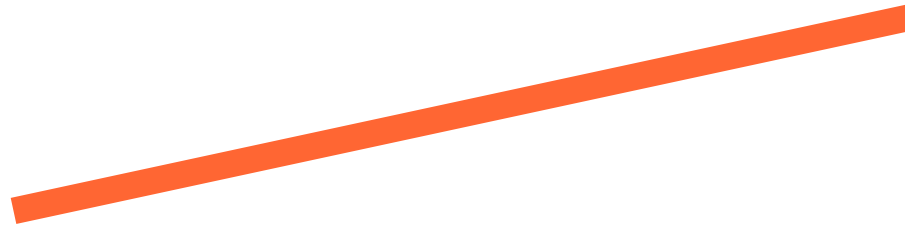
Kreslení čar

© 1995-2019 Josef Pelikán
CGG MFF UK Praha

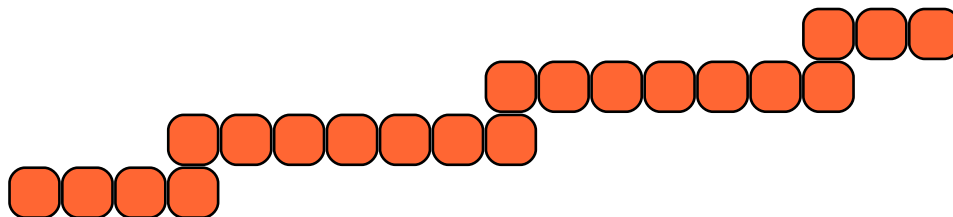
pepca@cgg.mff.cuni.cz
<https://cgg.mff.cuni.cz/~pepca/>



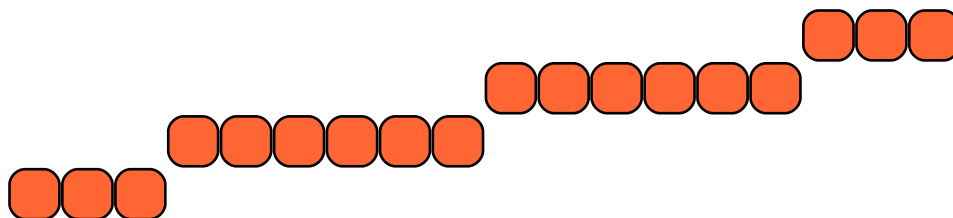
Kreslení úseček



vektorové zařízení



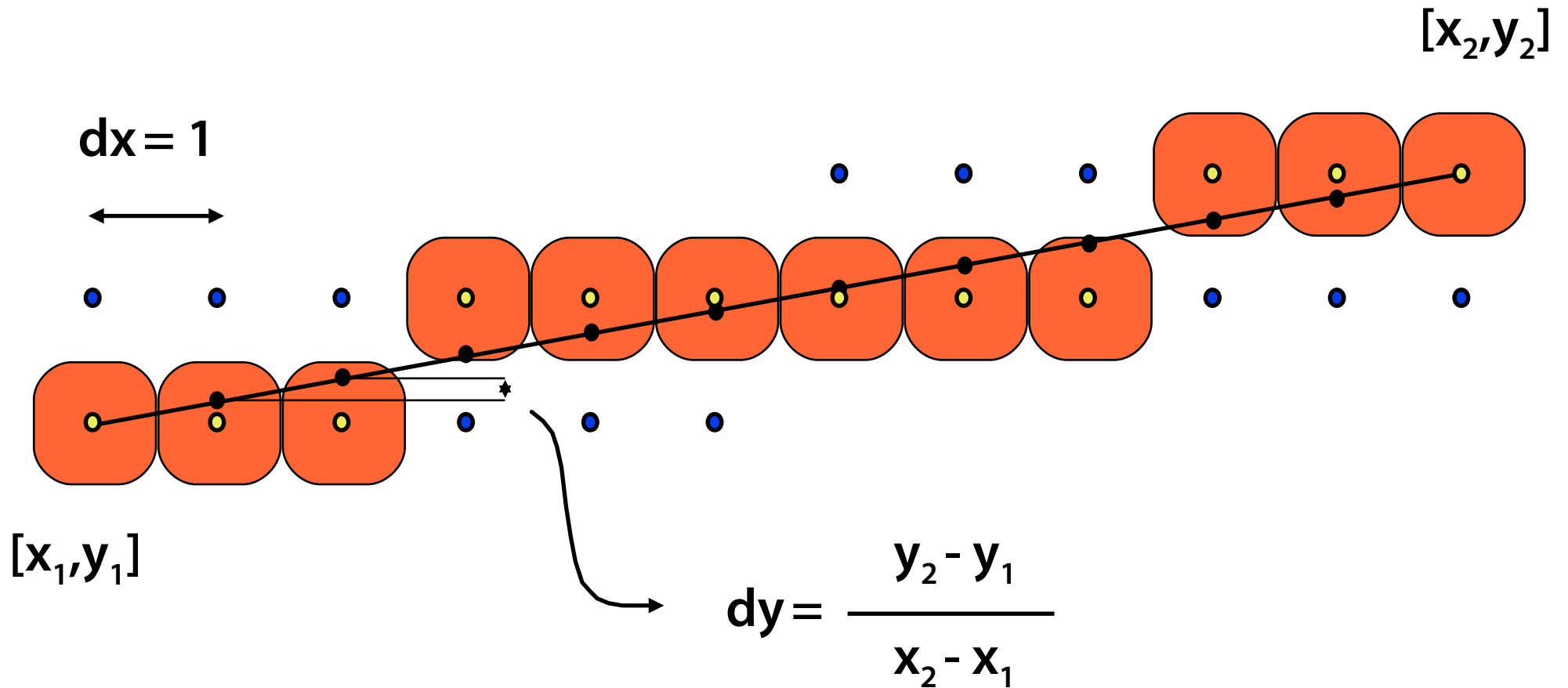
rastrové zařízení



OK



DDA algoritmus





DDA algoritmus

```
void LineDDA (int x1, int y1, int x2, int y2, color color)
    // předpoklady:  $x1 < x2$ ,  $|y2-y1| < |x2-x1|$ 
{
    float y = y1;
    float dy = (y2 - y1) / (x2 - x1);
    PutPixel(x1, y1, color);
    while (x1 < x2)
    {
        x1++;
        y += dy;
        PutPixel(x1, round(y), color);
    }
}
```



DDA algoritmus

Výhody

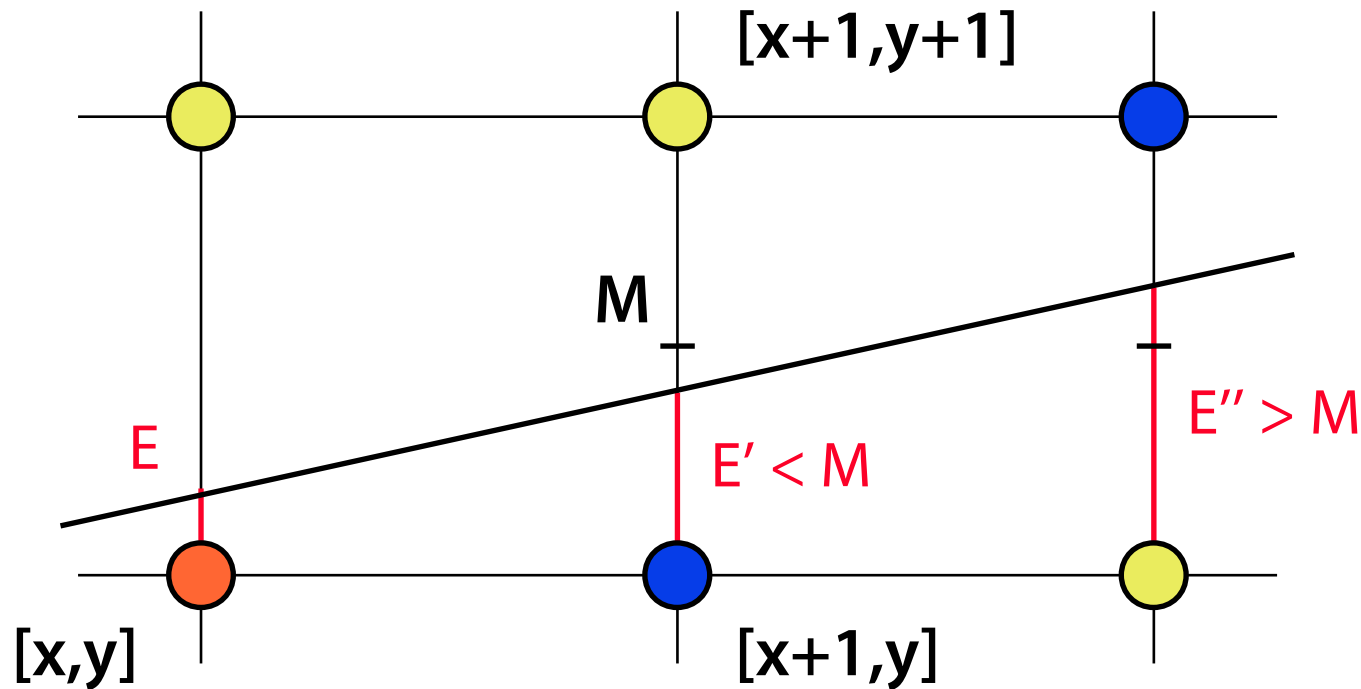
- snadná implementace (HW)
- bez větvení kódu

Nevýhody

- nutno počítat s vyšší **přesností** (float, double, fixed point)
- jedno **dělení** a v cyklu **zaokrouhlování**



Bresenhamův algoritmus



$$dx = x_2 - x_1$$

$$dy = y_2 - y_1$$

$$E' = E + \frac{dy}{dx} \leq M = \frac{1}{2}$$



Celočíselné odvození

$$E' = E + \frac{dy}{dx} \leq \frac{1}{2} \quad / \cdot 2dx$$

$$2dx \cdot E' = 2dx \cdot E + 2dy \leq dx \quad / - dx$$

$$dx(2E' - 1) = dx(2E - 1) + 2dy \leq 0$$



$$D' = D + 2dy \leq 0$$

$$D_0 = 2dy - dx$$

$$D \leq 0 \Rightarrow D' = D + 2dy, \quad y' = y$$

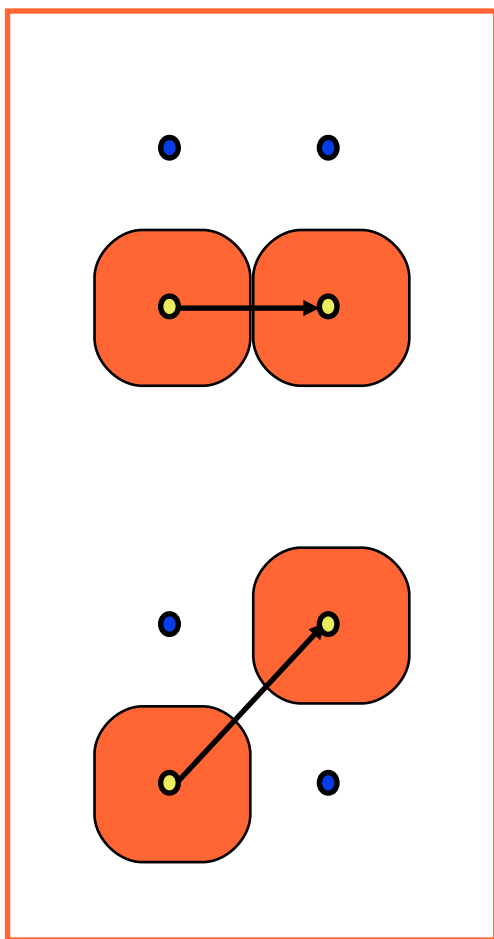
$$D > 0 \Rightarrow D' = D + 2dy - 2dx, \quad y' = y + 1$$



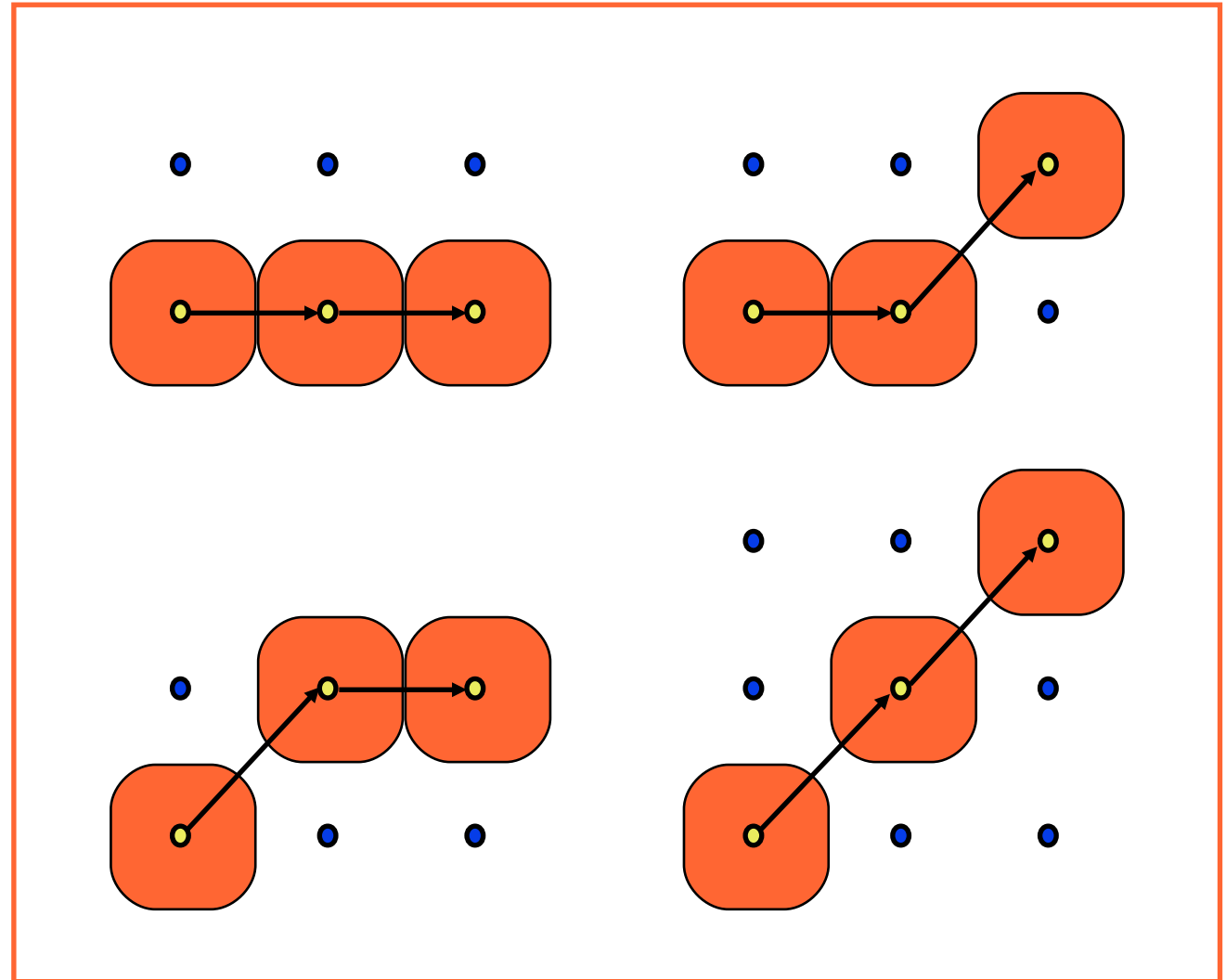
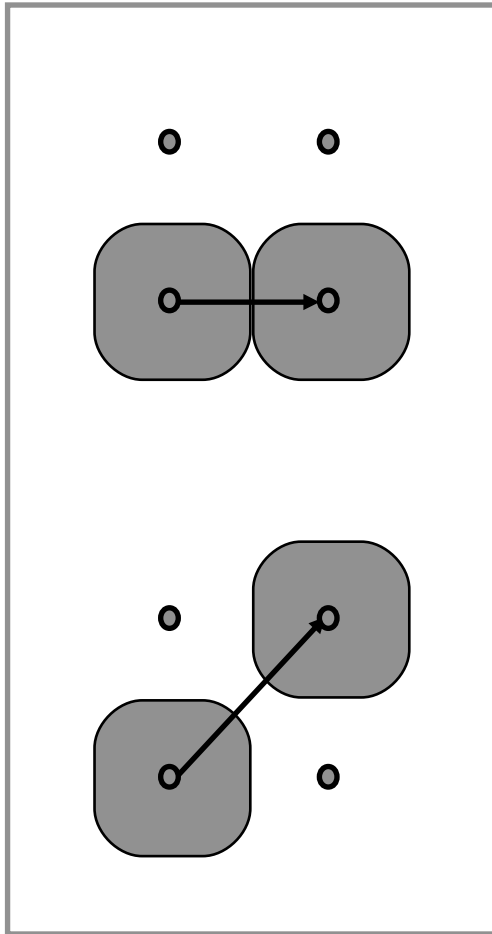
Bresenhamův algoritmus

```
void LineBres (int x1, int y1, int x2, int y2, Color color)
// předpoklady: x1 < x2, |y2-y1| < |x2-x1|
{
    int dx    = x2 - x1;
    int dy    = y2 - y1;
    int D     = 2 * dy - dx;
    int inc0  = 2 * dy;
    int inc1  = 2 * (dy - dx);
    PutPixel(x1, y1, color);
    while (x1 < x2)
    {
        if (D <= 0)
            D += inc0;
        else
        {
            D += inc1;
            y1++;
        }
        x1++;
        PutPixel(x1, y1, color);
    }
}
```

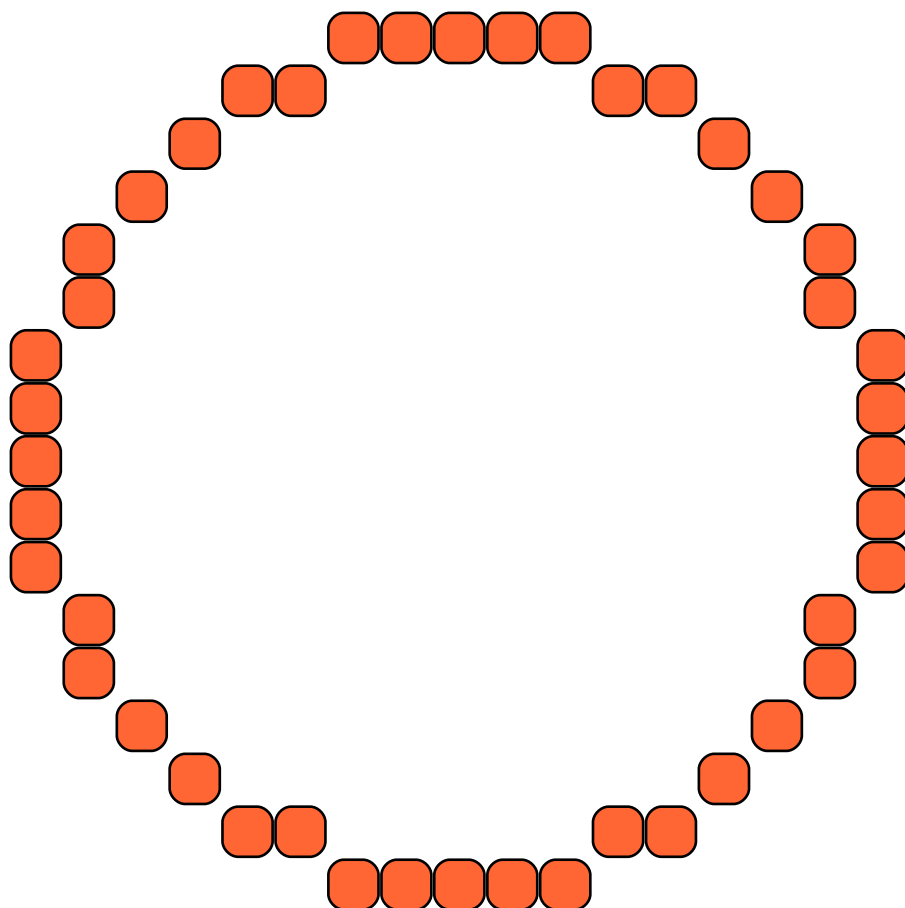
Jednokrokový algoritmus



Vícekrokové algoritmy

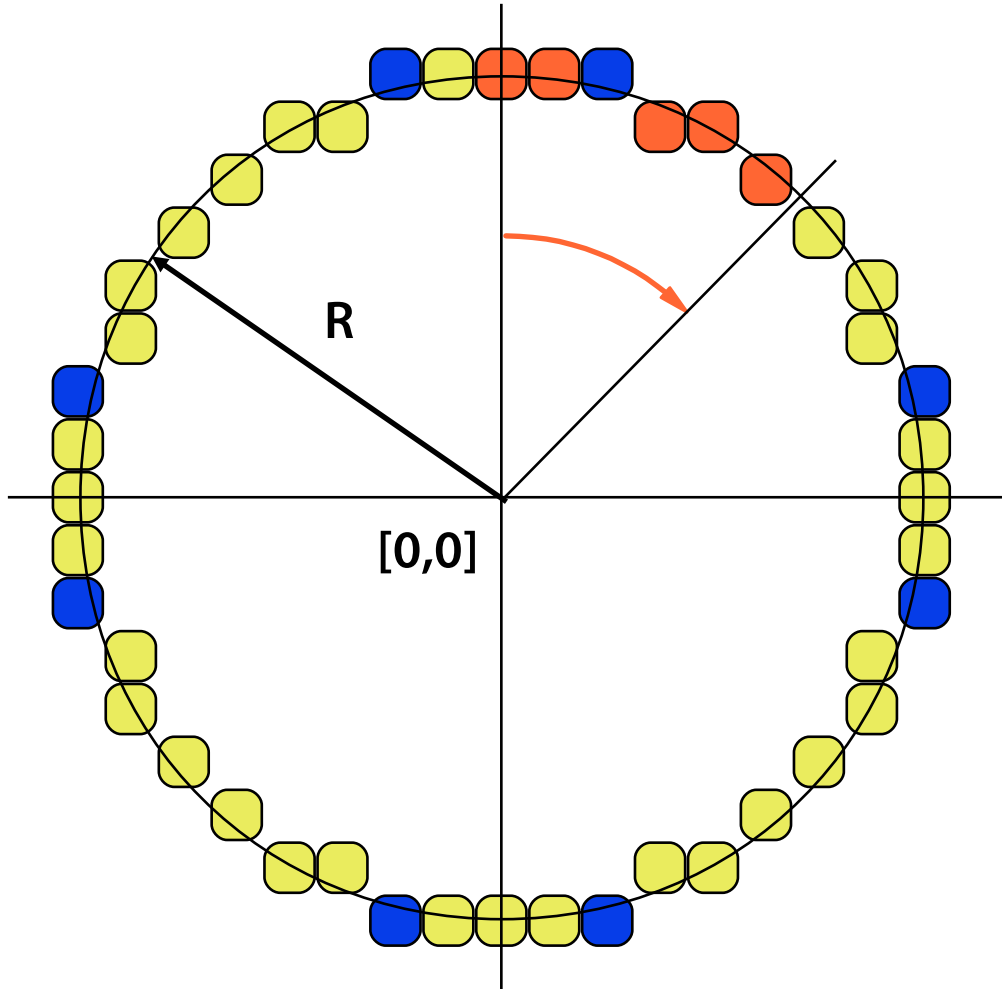


Kreslení kružnice





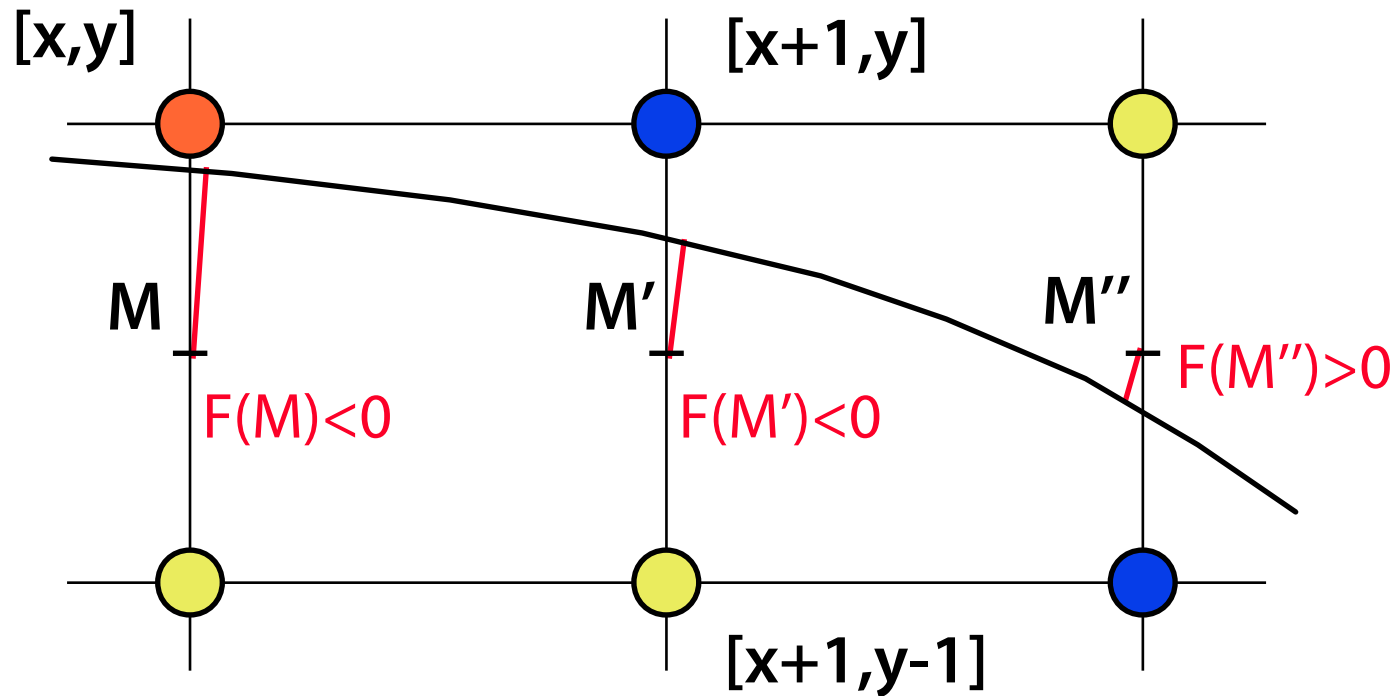
Kreslení kružnice



Kreslí se jen jedna **osmina** oblouku – zbytek se přenesse pomocí symetrií



Bresenhamův algoritmus



$$F(\mathbf{M}) = M_x^2 + M_y^2 - R^2$$



Inkrementální odvození

$$1) \quad F(M') = (x + 1)^2 + (y - \frac{1}{2})^2 - R^2 < 0$$

$$F(M'') = (x + 2)^2 + (y - \frac{1}{2})^2 - R^2 = F(M') + 2x + 3$$

$$2) \quad F(M') \geq 0$$

$$F(M'') = (x + 2)^2 + (y - \frac{3}{2})^2 - R^2 = F(M') + 2x - 2y + 5$$

$$D_0 = 1.25 - R \quad \{1 - R\}$$

$$D < 0 \Rightarrow D' = D + 2x + 3, \quad y' = y$$

$$D \geq 0 \Rightarrow D' = D + 2x - 2y + 5, \quad y' = y - 1$$



Kreslení kružnice – pomocná funkce

```
void CirclePoints (int x0, int y0, int x, int y, Color color)
{
    PutPixel(x0 + x, y0 + y, color);
    PutPixel(x0 + y, y0 + x, color);
    PutPixel(x0 + x, y0 - y, color);
    PutPixel(x0 + y, y0 - x, color);
    PutPixel(x0 - x, y0 + y, color);
    PutPixel(x0 - y, y0 + x, color);
    PutPixel(x0 - x, y0 - y, color);
    PutPixel(x0 - y, y0 - x, color);
}
```




Kreslení kružnice

```
void CircleBres (int x0, int y0, int R, color color)
{
    int x = 0;
    int y = R;
    int D = 1 - R;
    circlePoints(x0, y0, 0, R, color);
    while (y > x)
    {
        if (D < 0)
            D += 2 * x + 3;
        else
        {
            D += 2 * (x - y) + 5;
            y--;
        }
        x++;
        circlePoints(x0, y0, x, y, color);
    }
}
```



Literatura

J. Foley, A. van Dam, S. Feiner, J. Hughes: *Computer Graphics, Principles and Practice*, 72-87

Jiří Žára a kol.: *Počítačová grafika, principy a algoritmy*, 91-100, 106-112

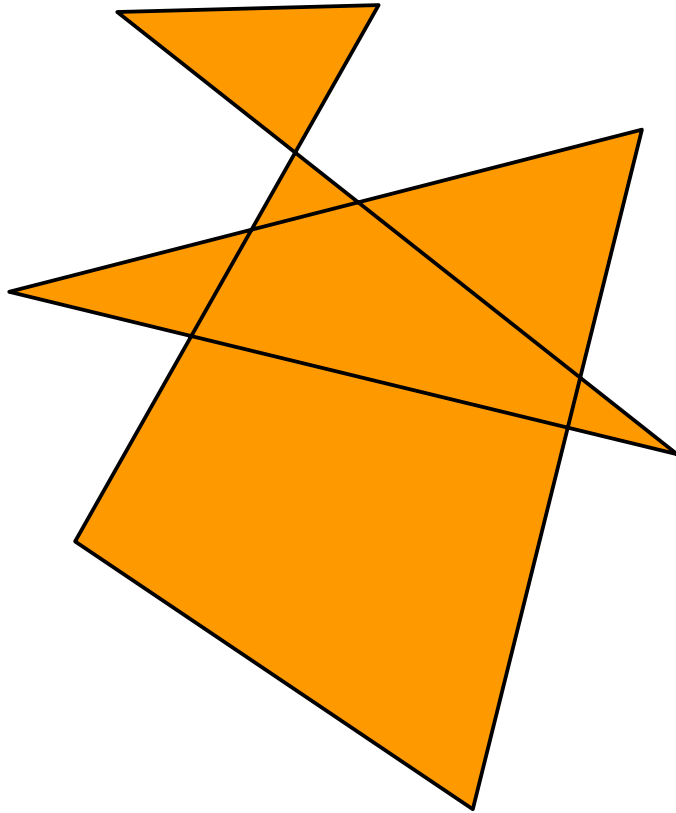
Vyplňování n-úhelníka

© 1995-2019 Josef Pelikán
CGG MFF UK Praha

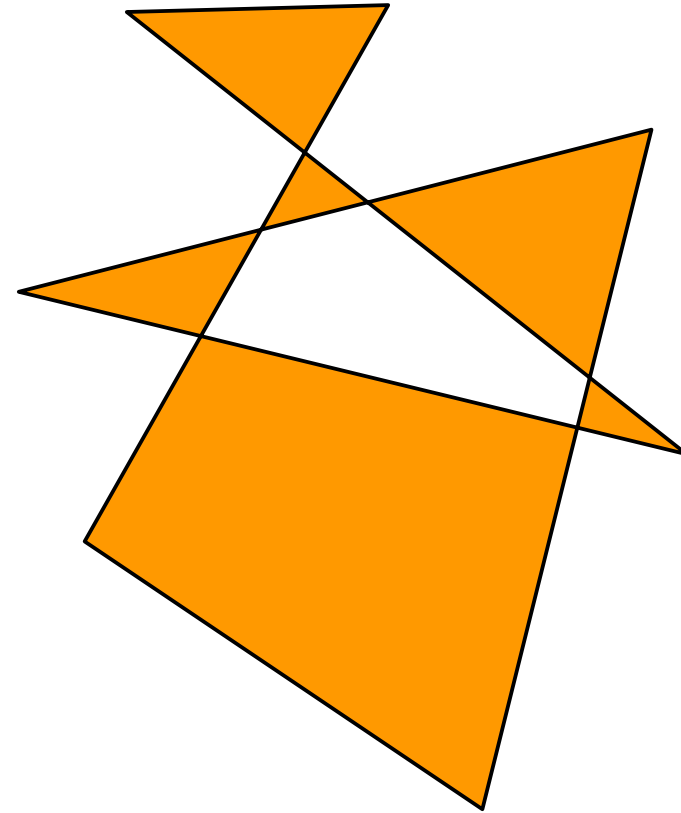
pepca@cgg.mff.cuni.cz
<https://cgg.mff.cuni.cz/~pepca/>



Pravidla vyplňování

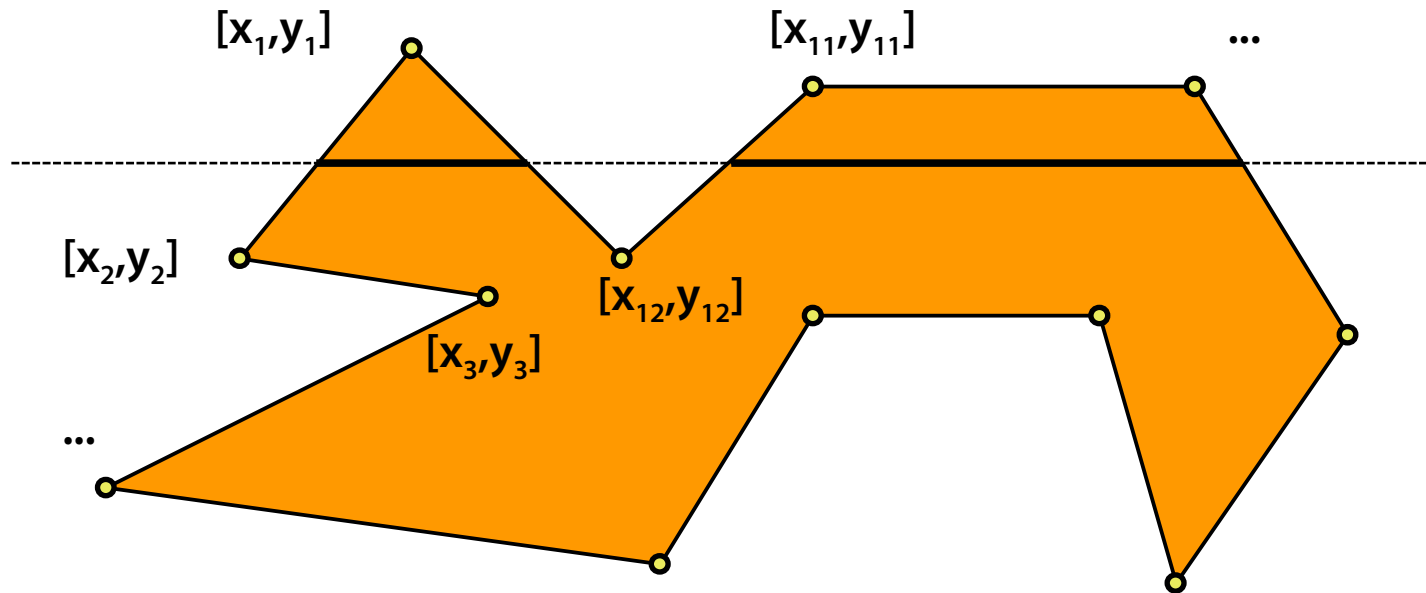


všechny vnitřní body



jen liché body
(„odd-even“ rule)

Řádkový algoritmus



N-úhelník je zadán posloupností svých vrcholů

Může být **nekonvexní**

Možné zjednodušení – vyplňují se jen **liché body**



1. předzpracování

N-úhelník rozložíme na **jednotlivé hrany**

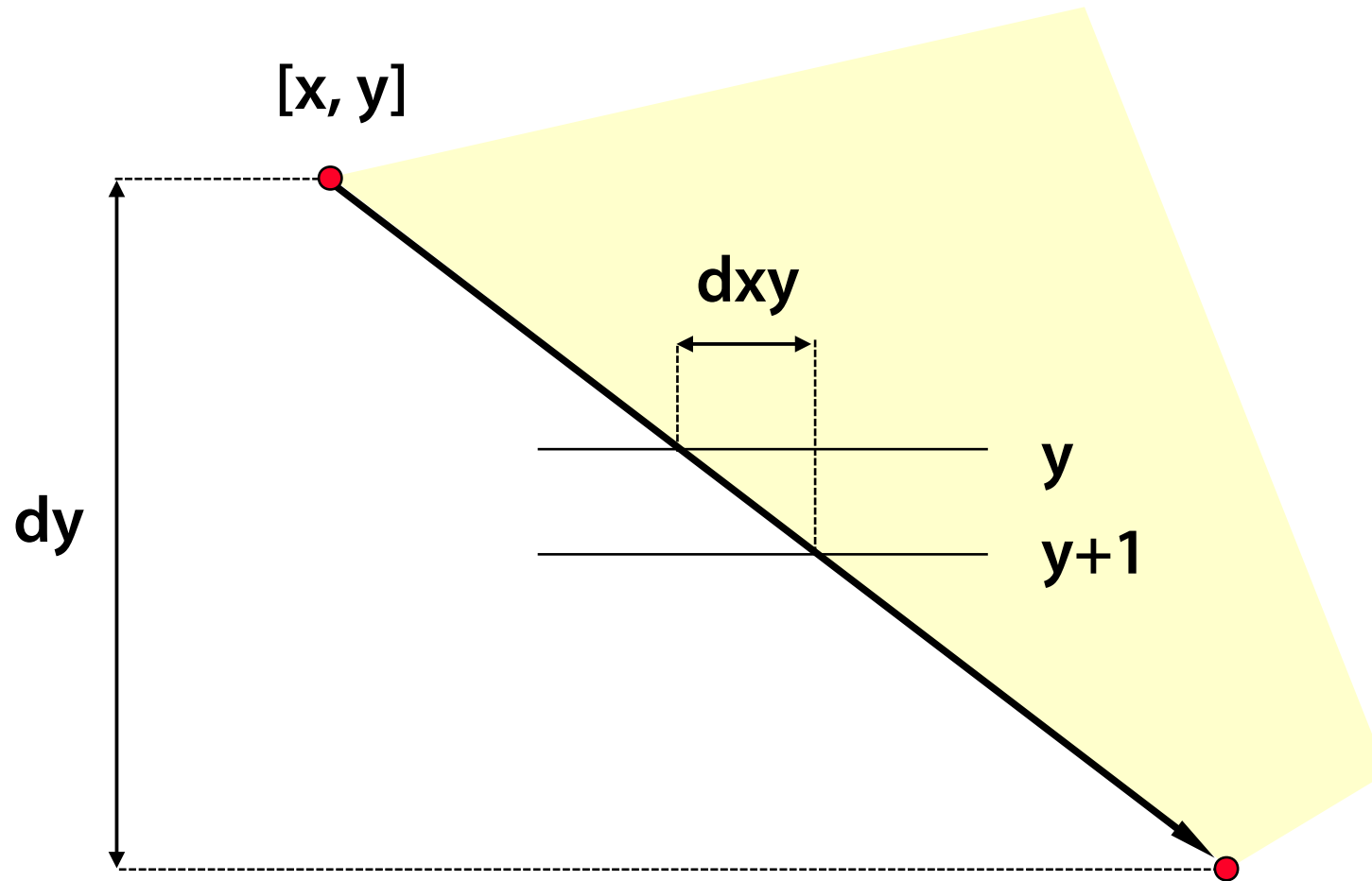
Vodorovné hrany odstraníme

Pro ostatní hrany vytvoříme **pracovní záznamy**

– hrany orientujeme směrem shora dolů



Pracovní záznam pro hranu





Pracovní záznam pro hranu

double x;

// souřadnice x horního koncového bodu,
// později souřadnice průsečíku s aktuální řádkou

int y;

// souřadnice y horního koncového bodu

int dy;

// výška hrany v pixelech: $|y_2 - y|$

double dxy;

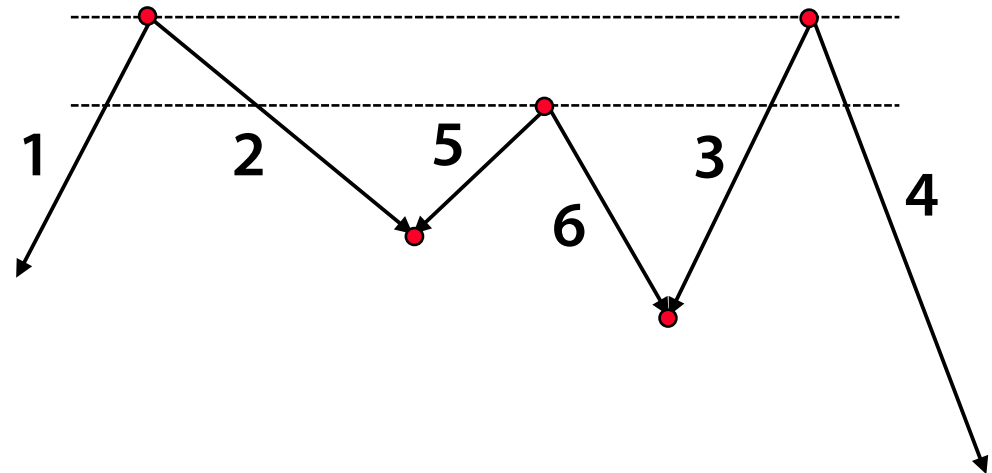
// změna x při posunutí na následující řádku (směrnice): $(x_2 - x) / dy$



2. inicializace seznamu S

Všechny předzpracované hrany setřídíme do **vstupního seznamu S** podle kritérií:

- 1 vzesupně podle y
- 2 vzesupně podle x
- 3 vzesupně podle dxy

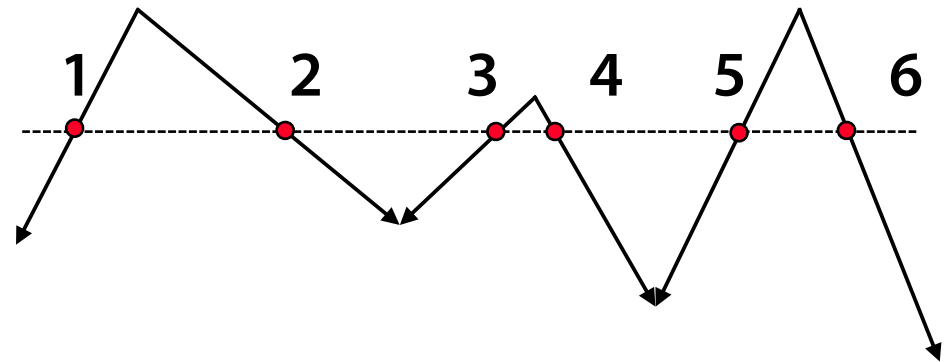




3. aktuální seznam A

Aktuální seznam A bude obsahovat všechny hrany, které protínají aktuální řádku. Seznam budeme udržovat setříděný:

- 2 vztupně podle x
- 3 vztupně podle dxy



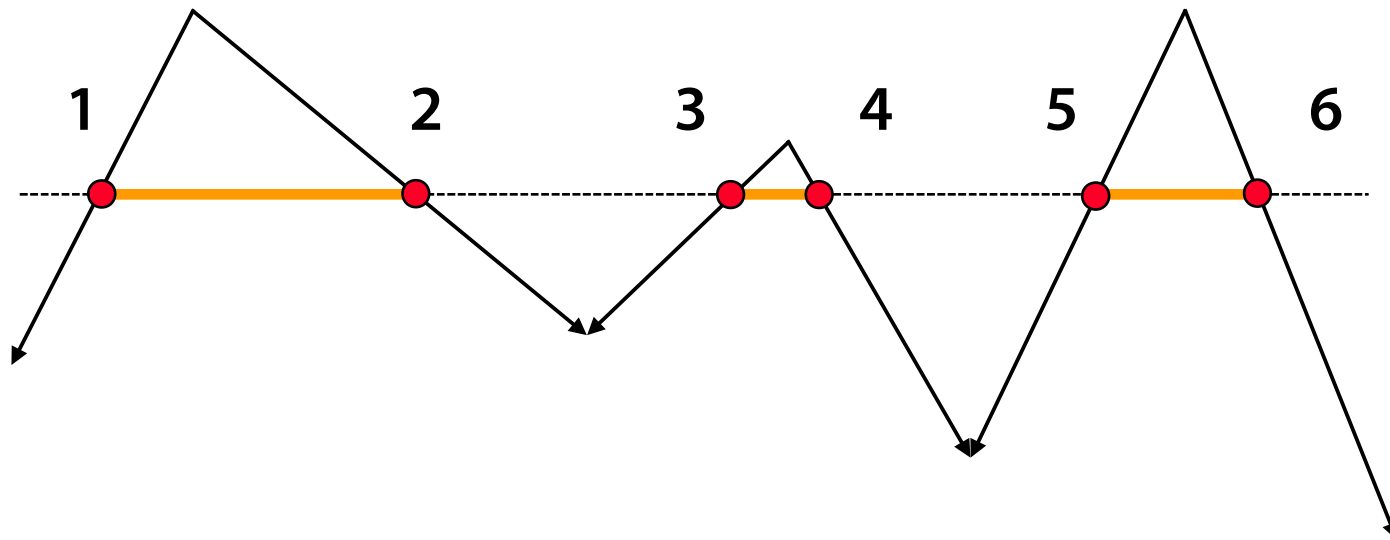
Při inicializaci zařadíme do A počáteční úsek seznamu S – hrany se shodným (tj. minimálním) y



4. vykreslení aktuální řádky

Je třeba projít **aktuální seznam A** a vykreslit úseky odpovídající vnitřku n-úhelníka

- kreslím každý úsek mezi lichým a sudým záznamem
- při jiném pravidle vyplňování by byly podmínky složitější...





5. přechod na další řádku

Aktualizace seznamu A

```
dy--;  
if (dy == 0)  
{ /* odstraň hranu ze seznamu A ... */  
}  
else  
    x += dxy;
```

Kontrola setřídění A

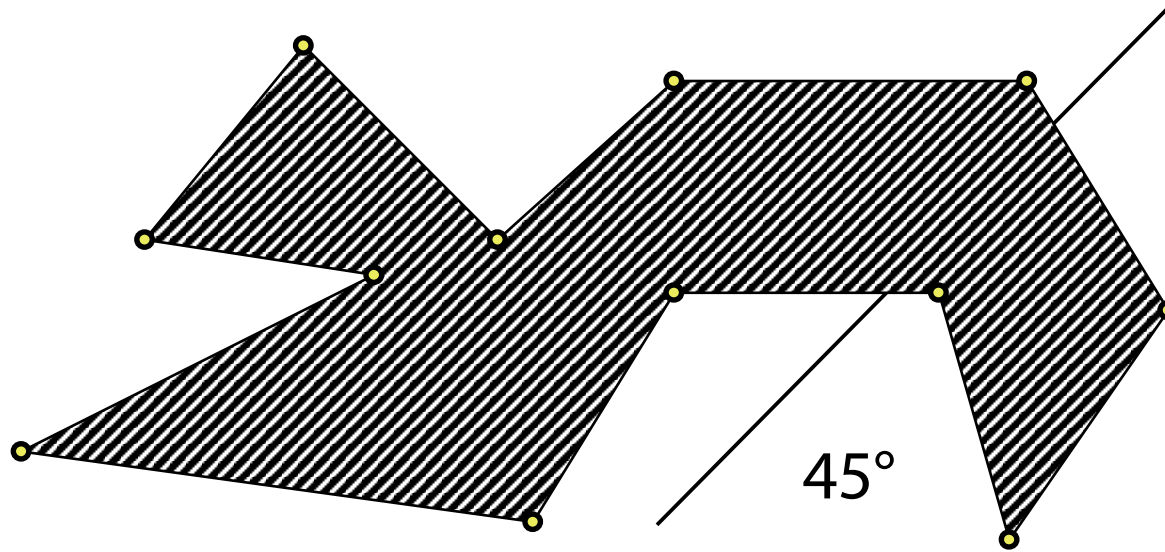
Zatřídění **nových** hran ze seznamu S do seznamu A
(počáteční úsek S)



6. podmínka ukončení cyklu

Jestliže je seznam A neprázdný, výpočet pokračuje
krokem 4

Jinak algoritmus **končí**

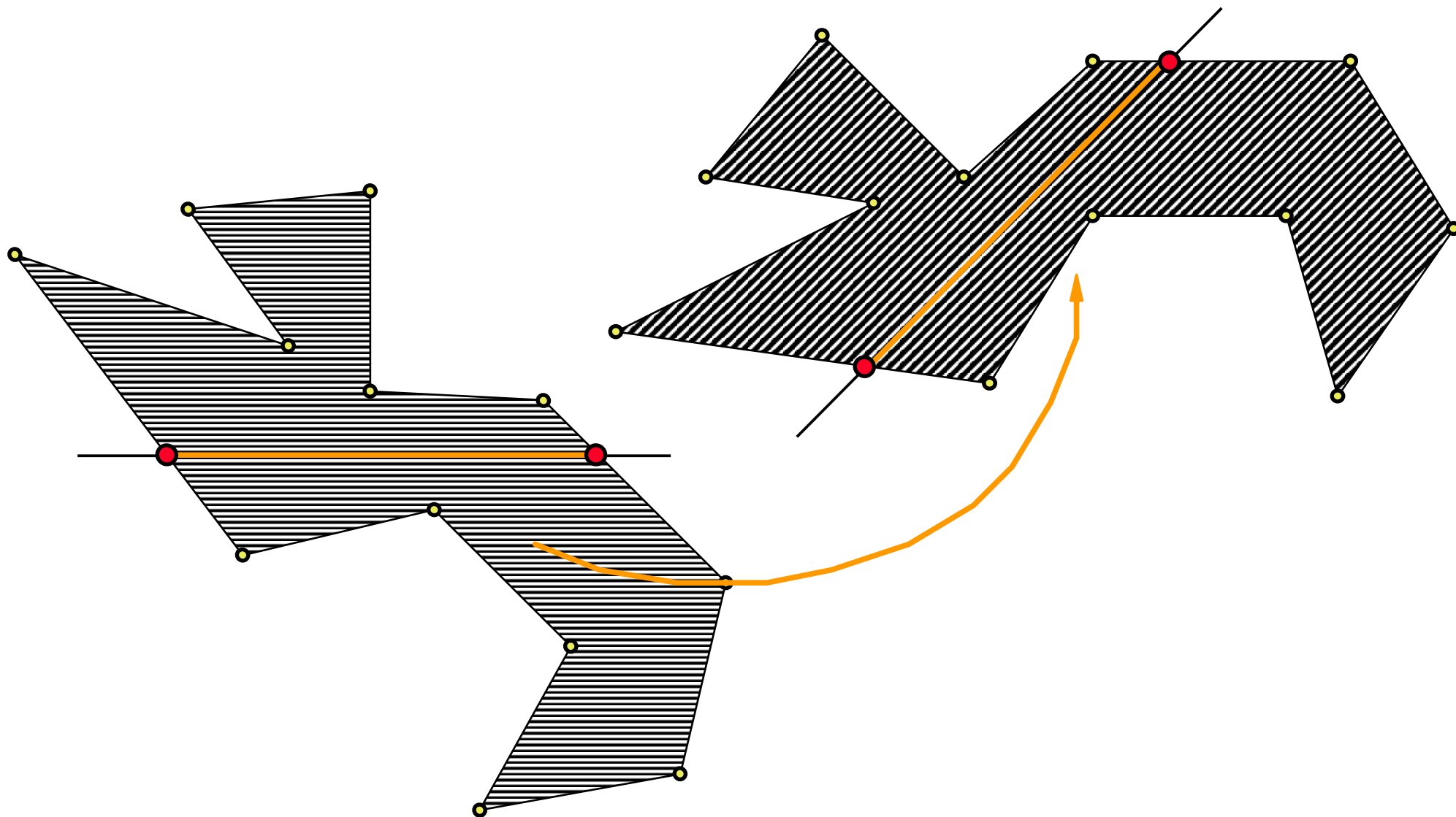


Otočím vrcholy n -úhelníka o opačný úhel

Kreslím každý **k-tý** řádek

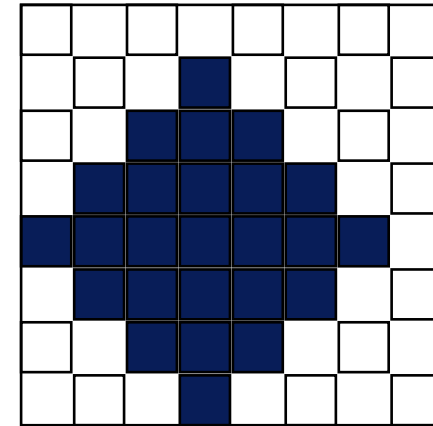
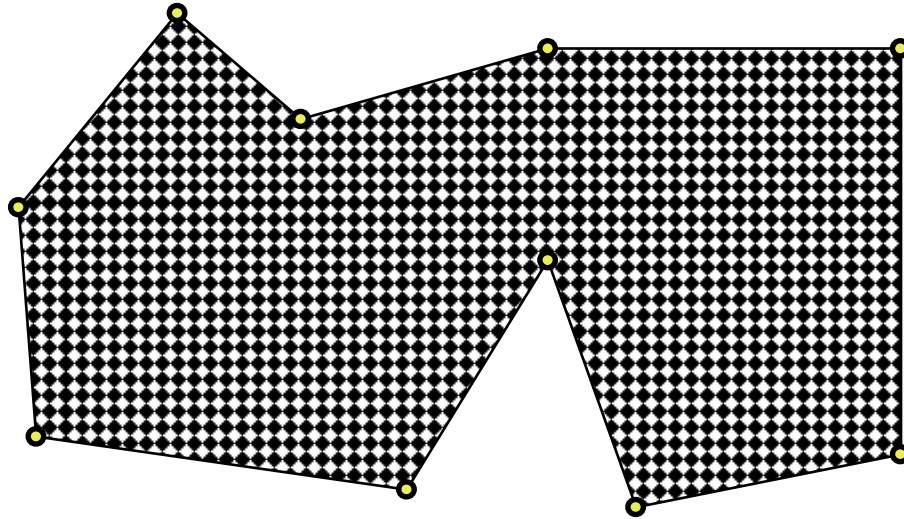
Před kreslením každou úsečku **otočím zpět**

Šrafovaní





Vyplňování vzorkem



matice $M[8,8]$

Vzorek je zadán **maticí pixelů** (např. 8×8)

Každý pixel se kreslí předpisem

– `PutPixel(x, y, M[y % 8, x % 8]);`



Literatura

J. Foley, A. van Dam, S. Feiner, J. Hughes: *Computer Graphics, Principles and Practice*, 92-99

Jiří Žára a kol.: *Počítačová grafika, principy a algoritmy*, 129-138

Vyhlazování – „anti-aliasing“

© 1995-2019 Josef Pelikán
CGG MFF UK Praha

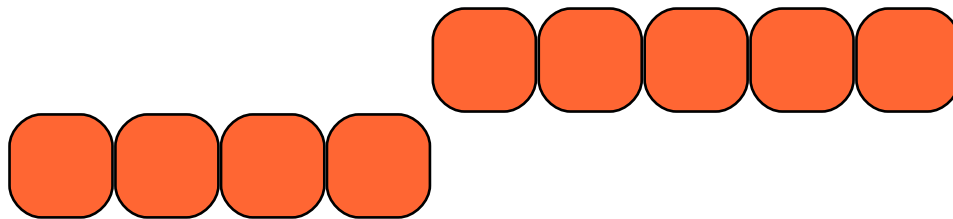
pepca@cgg.mff.cuni.cz
<https://cgg.mff.cuni.cz/~pepca/>



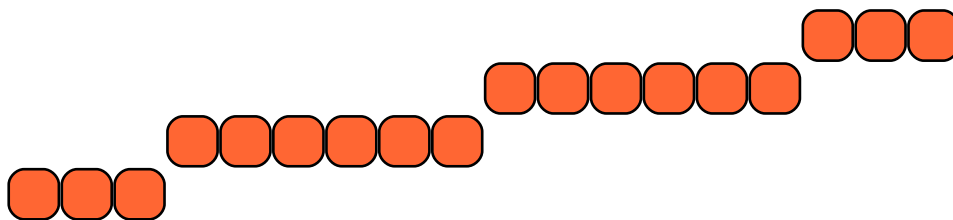
Úsečky na rastrovém zařízení



ideální úsečka

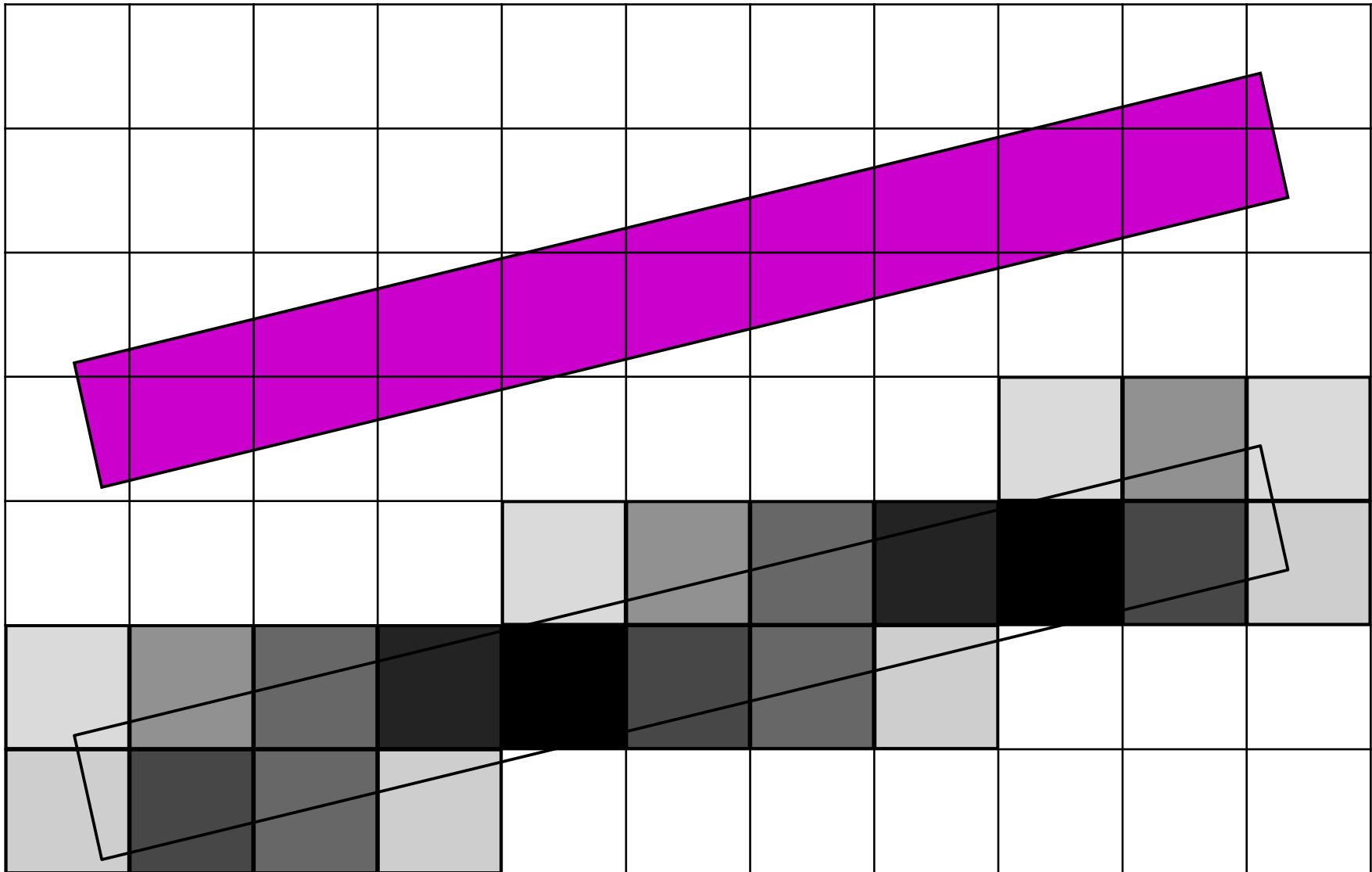


rastrová kresba



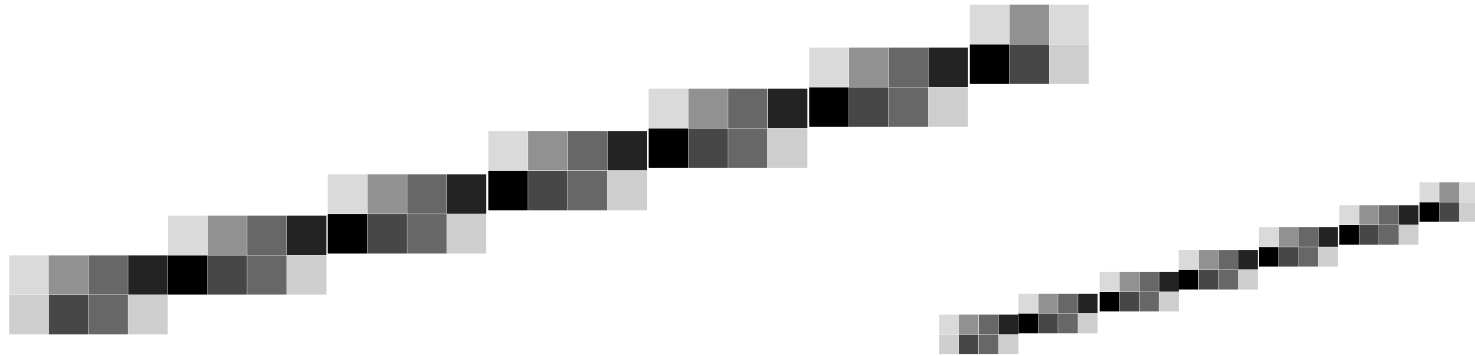
dvakrát větší rozlišení

Pokrytí plochy pixelu





Pokrytí plochy pixelu



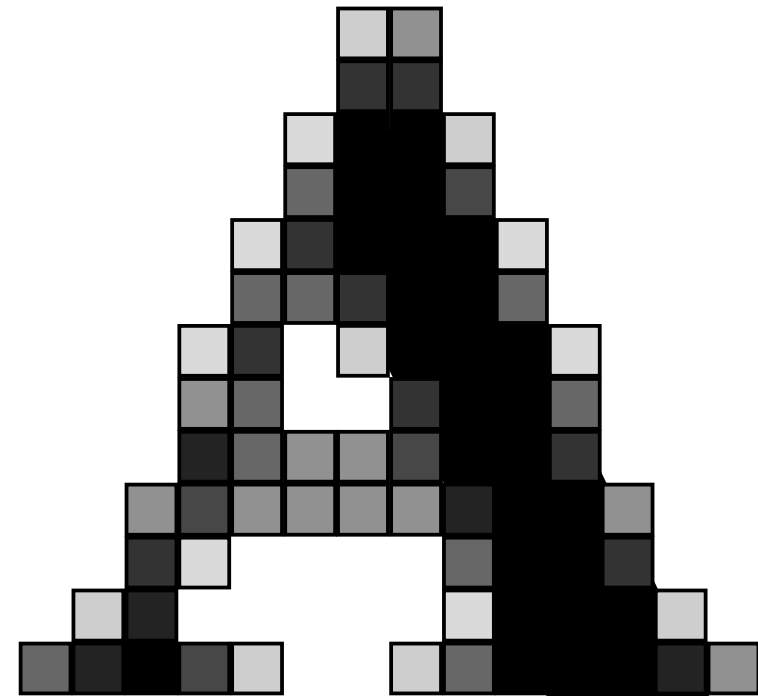
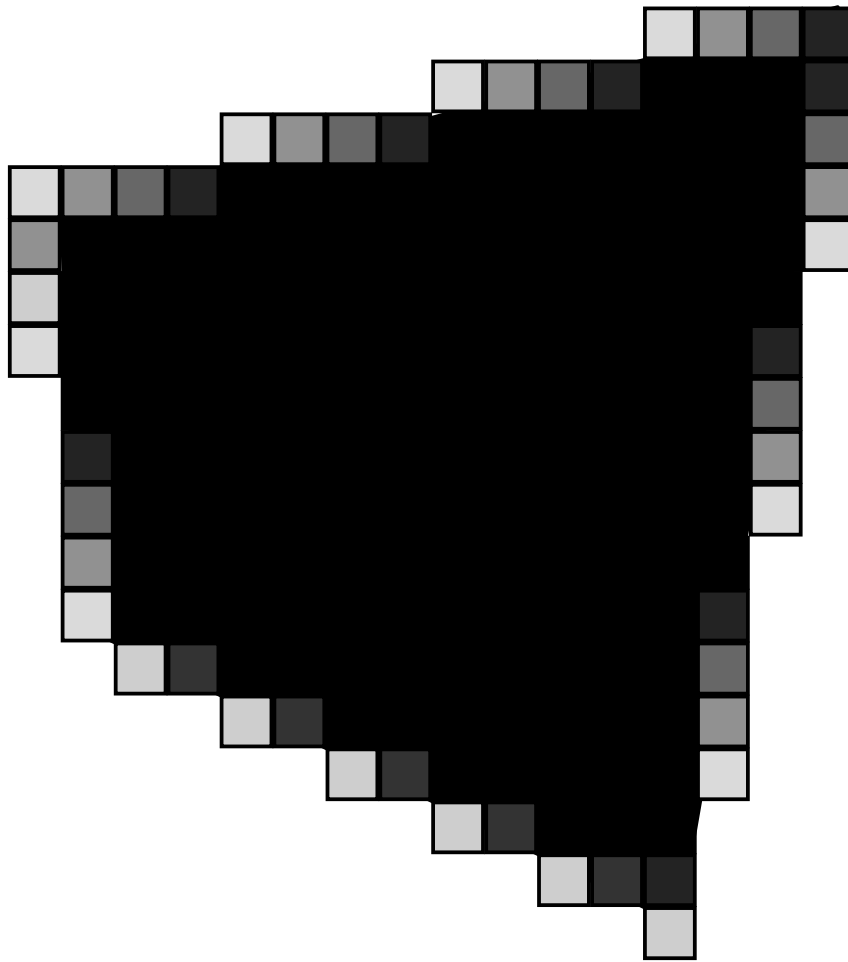
Ke kreslení se použije **více odstínů** dané barvy

– zvětšení prostorového rozlišení na úkor barevného

Pixely i kreslené objekty jsou **plošné útvary**

Každý pixel se rozsvítí intenzitou úměrnou **ploše jeho pokryté části**

N-úhelníky a text





Kreslení s vyhlazováním

Úsečka: kreslí se vždy oba pixely, mezi kterými úsečka prochází

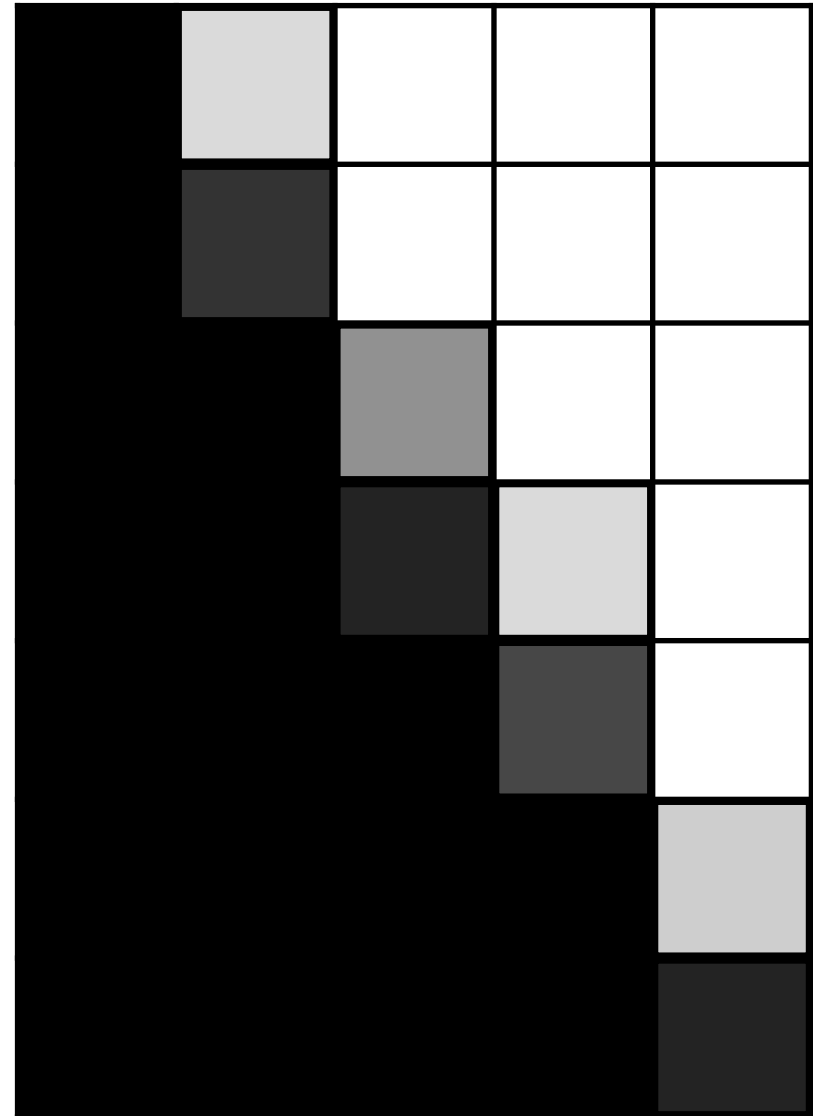
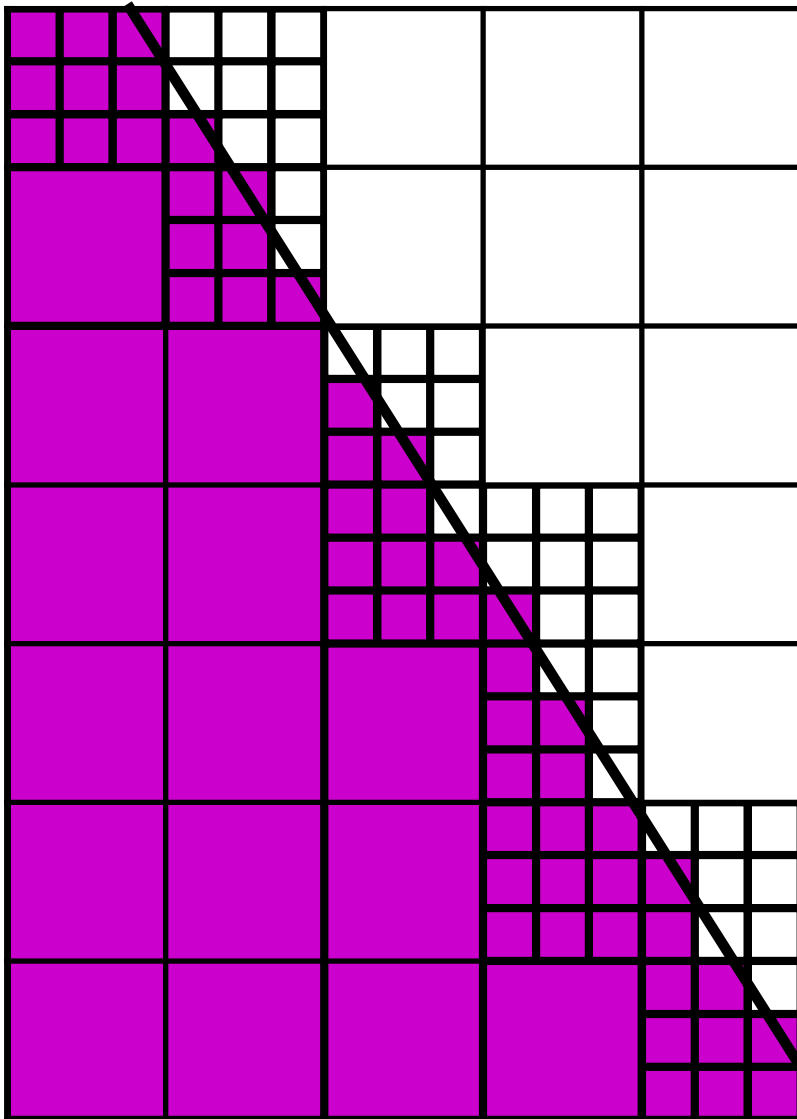
- intenzita se určí podle vzdálenosti středu pixelu od úsečky (desetinná část y v DDA, člen D v Bresenhamově algoritmu)

N-úhelník: kreslí se všechny pixely, do jejichž plochy n-úhelník zasahuje

- intenzita okrajových pixelů se spočítá opět podle vzdálenosti (desetinná část y , D)



Převzorkování – „super-sampling“



Vícenásobné vzorkování, super-sampling



Objekt se nakreslí do bufferu **ve větším rozlišení** (při zvětšení např. 2× až 4×)

- každý pixel se rozloží na „subpixely“

Barevný odstín skutečně kresleného pixelu se určí jako aritmetický průměr odstínů jeho subpixelů

- někdy se používá **vážený průměr** (subpixely ležící ve středu pixelu mají větší váhu)



Literatura

J. Foley, A. van Dam, S. Feiner, J. Hughes: *Computer Graphics, Principles and Practice*, 132-140

Jiří Žára a kol.: *Počítačová grafika, principy a algoritmy*, 100-101, 147-151

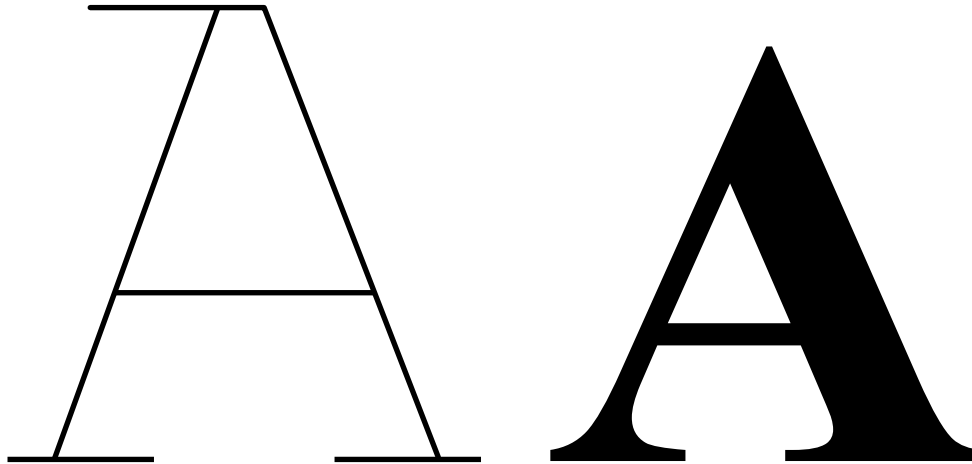
Kreslení písma

© 1995-2019 Josef Pelikán
CGG MFF UK Praha

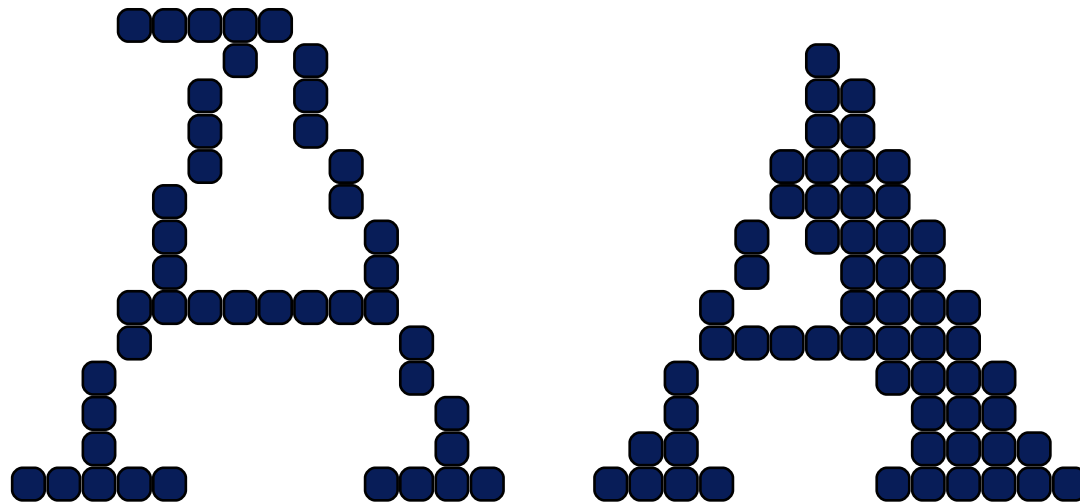
pepca@cgg.mff.cuni.cz
<https://cgg.mff.cuni.cz/~pepca/>



Definice písma



vektorové písmo
(čárové a vyplněné)



rastrové písmo



Definice písma

Vektorové písmo

- obrysy písmen jsou zadány pomocí úseček, oblouků kružnic a elips nebo spline křivek
- před kreselním se musí převést do **rastrové podoby**
- lze je snadno **škálovat** (neprofesionálně) a **otáčet**

Rastrové písmo

- písmena jsou zadána **bitovou maticí** („bitmapou“) pro každou velikost písma
- snadno se kreslí (HW „BitBlt“ operace)



Font cache

Převod **vektorového písma** do rastrové podoby je časově náročný

- jednotlivá písmena se v textu mnohokrát opakují
- rastrová podoba písmen se ukládá do „font cache“

Prvek „font cache“

- druh písma (font), velikost (v pt), orientace, kód písmene, velikost rastrového obrazu (v pixelech)
- „**bitmapa**“ nebo odkaz do společného bitového pole



Použití „font cache“

Je-li potřeba nakreslit konkrétní písmeno **X**, podívám se nejprve do cache

- pro rychlé vyhledávání mohu použít **hašování**
- jestliže jsem písmeno našel, nakreslím ho pomocí „BitBlt“

Neúspěch při hledání ve „font cache“

- písmeno musím převést do rastrové podoby, přidám ho do „cache“
- z „cache“ odstraňuji **nejdéle nepoužívané položky**

„Distance field“ reprezentace (C. Green)



Tvar písmene je předpočítán v podobě „distance field“

- vzdálenost od okraje objektu je zakódována odstínem v textuře

Fonty se dají dobře **škálovat** a kvalitně vykreslovat

- akcelerováno na GPU
- zvětšování (bilineární interpolace)
- v shaderu – porovnání s prahovou hodnotou
- možnost přidat obrysové efekty...





Literatura

J. Foley, A. van Dam, S. Feiner, J. Hughes: Computer Graphics, Principles and Practice, 127-131, 976-979

Jiří Žára a kol.: Počítačová grafika, principy a algoritmy, 119-126

Chris Green: *Improved alpha-tested magnification for vector textures and special effects*, SIGGRAPH 2007

Kódování rastrových obrázků

© 1996-2019 Josef Pelikán
CGG MFF UK Praha

pepca@cgg.mff.cuni.cz
<https://cgg.mff.cuni.cz/~pepca/>



Úsporné uložení rastrového obrázku

- proti běžným textovým algoritmům lze využít dvojrozměrné povahy dat

Efektivnější operace s jednoduchými obrázky a **bitovými maskami**

- množinové operace s bitovými maskami
- superpozice obrázků



RLE kódování („Run-Length Encoding“)

Využívá se **koherence** ve vodorovném směru

- sousední pixely mají často stejnou hodnotu
- nejvýhodnější u málo barevných obrázků

Speciální příznak pro uložení „běhu“

ESC {počet} {pixel} (PCX)

Dva typy paketů – „kopírovací“ a „opakovací“

COPY {počet} {data ...} (Targa, BMP...)

FILL {počet} {pixel}



Kvadrantový strom („quadtree“)

Využívá se **koherence** ve vodorovném i svislém směru

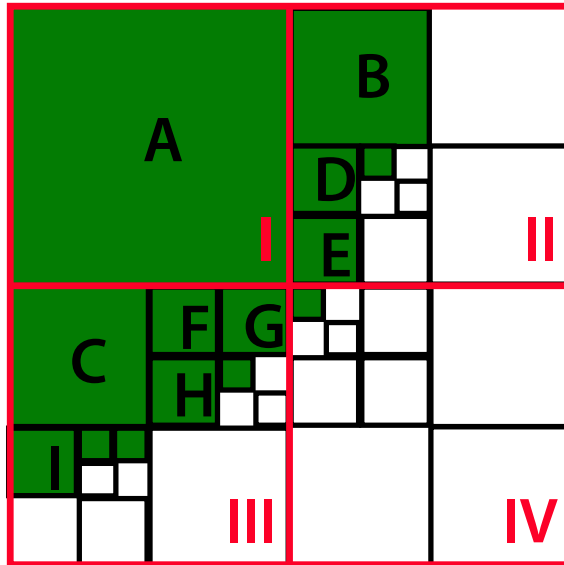
- úsporně se kódují větší souvislé plochy jedné barvy
- **adaptivní princip**
 - » postupné dělení „zajímavých“ (=členitých) oblastí

Aplikace kvadrantového stromu

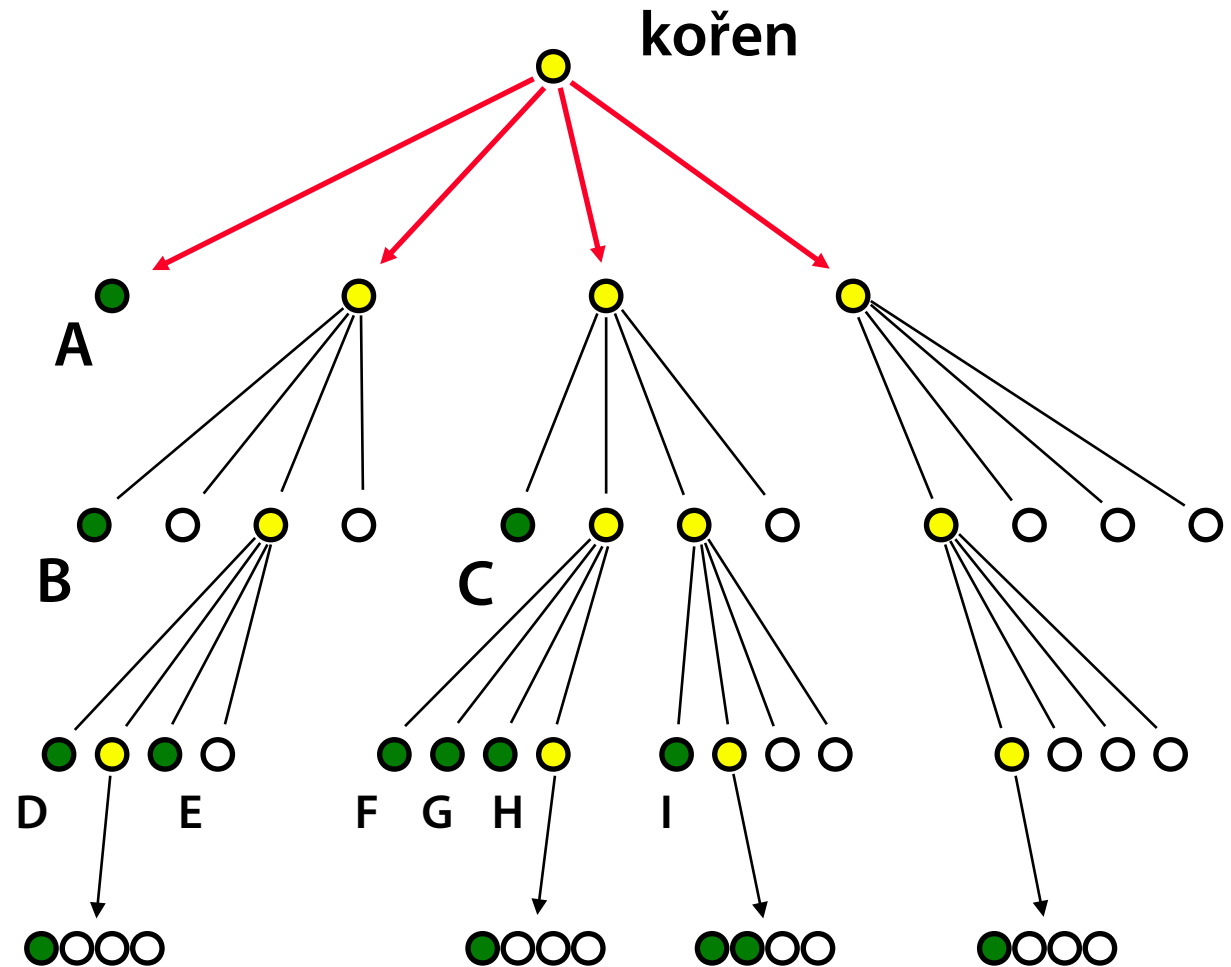
- kódování obrazu
- úsporné uložení **bitové masky** (množinové operace)
- pomocná datová struktura pro **rychlé vyhledávání**



Kvadrantový strom („quadtree“)



16 × 16
(256 bytů)



12 záznamů (96 bytů)



Kódování kvadrantového stromu

Podle definice (metoda „shora-dolů“)

- daný čtverec se zkontroluje \Rightarrow je-li vícebarevný, rozdělí se na čtyři části, atd. (rekurze, „pre-order“)
- hodnoty některých pixelů se čtou **několikanásobně**

Metoda „zdola-nahoru“

- začíná se od **čtverečků 2×2** , jednobarevné oblasti se spojují do větších uzlů grafu, atd. ... a nakonec se vytvoří **kořen stromu** (rekurze, „post-order“)
- každý pixel se čte pouze **jedenkrát**



Množinové operace

Kvadrantové stromy reprezentují **jednobitovou informaci** (množinu, masku)

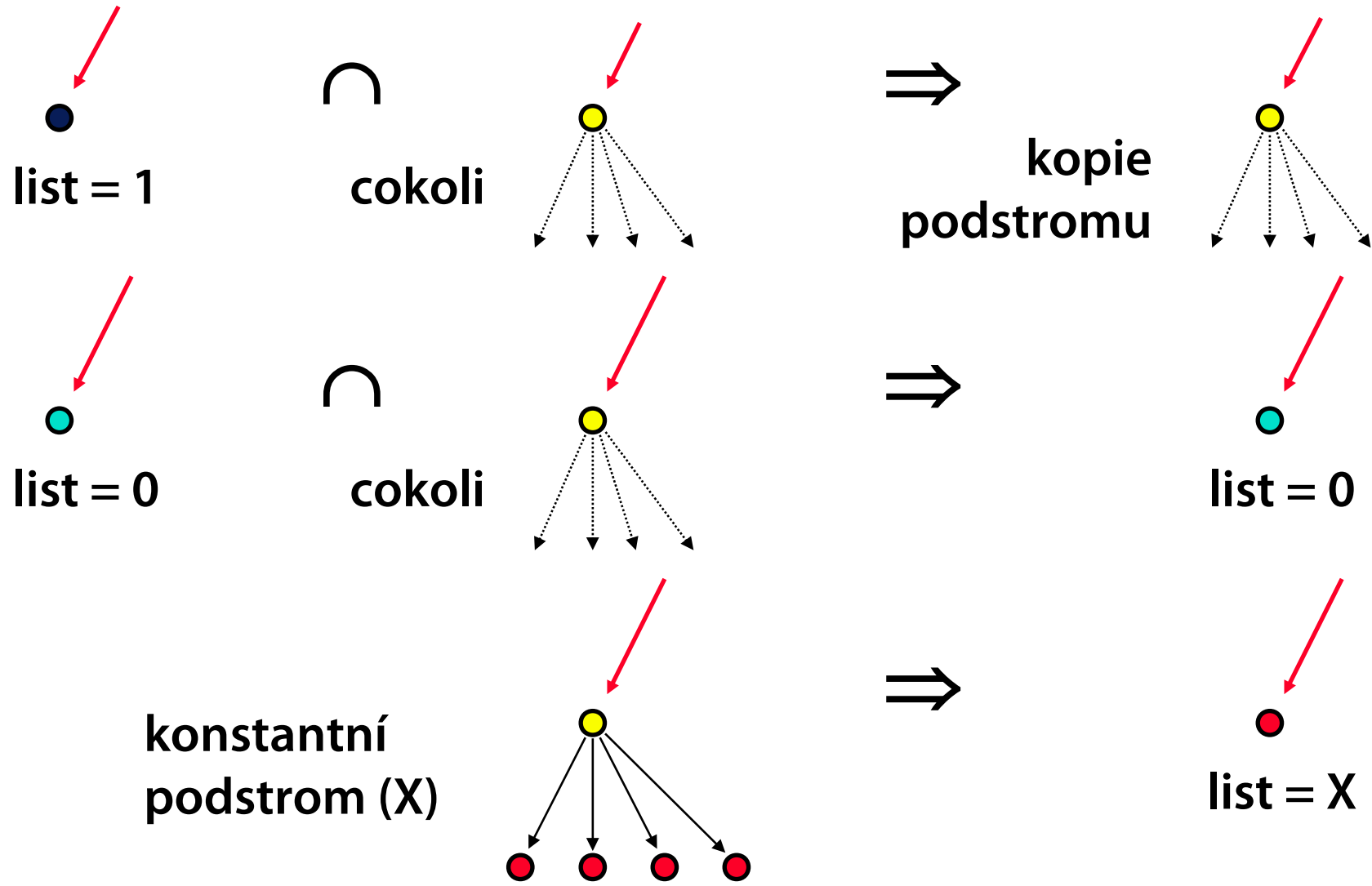
- množinové operace (sjednocení, průnik, rozdíl, ..)
- předpokládá se shodný definiční obor operandů

Prochází se paralelně všechny **vstupní stromy** a současně se konstruuje **výsledný strom**

- všechny vstupní uzly jsou vnitřní \Rightarrow „rozděl a panuj“
- jeden vstupní uzel je listem \Rightarrow podle typu množinové operace se zpracují ostatní vstupní podstromy



Příklad – pravidla pro operaci „průnik“





Implementační poznámky

Kódování **obecné oblasti**

- zakóduje se nejmenší čtverec rozměru $2^n \times 2^n$, který danou oblast obsahuje
- pixely ležící **mimo oblast** se zakódují speciální hodnotou („outside“)
- jiná varianta: vnějším pixelům se přiřadí hodnota **okrajových pixelů** („don't care“) – největší úspora

Úsporné **hybridní kódování** obrázku

- je-li podstrom větší než bitmapa, ukládám **bitmapu**



Implementační poznámky II

Společné větve kvadrantového stromu

- **opakuje-li** se ve stromu nějaká větev (podstrom) několikrát, uloží se pouze jednou a pak se na ně může odkazovat i odjinud
- ze stromu se stává hierarchický **graf** (ADG – acyklický orientovaný graf)
- společná větev může být použita v různých úrovních

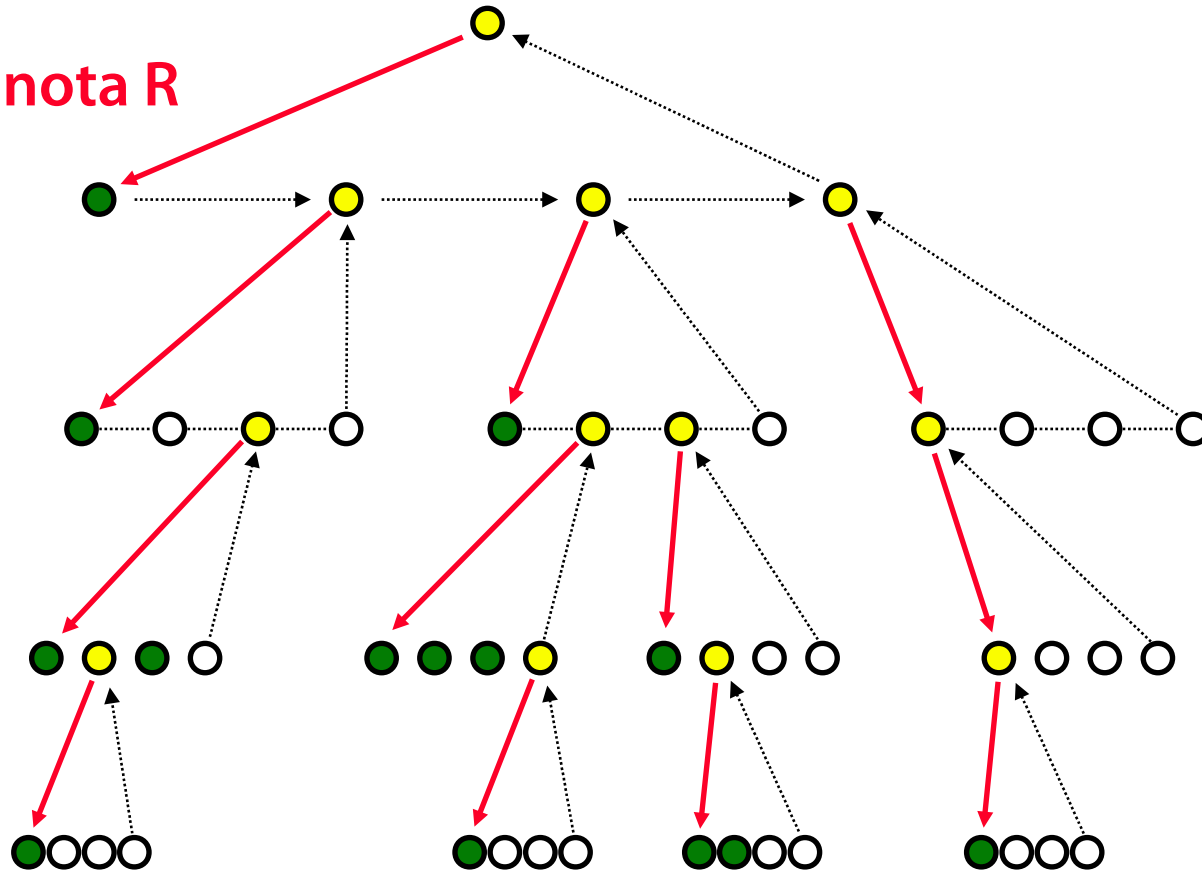
Lineární uložení kvadrantového stromu (serializace)

- **průchod stromem** zleva-doprava („pre-order“)



Lineární uložení

speciální hodnota R



R1R10R1R1000100R1R111R1000R1R1100000
RRR1000000000 ... 49 položek



Řádkový seznam („X-transition list“)

Rastrová reprezentace **množiny** (jednobitové masky) **v rovině**

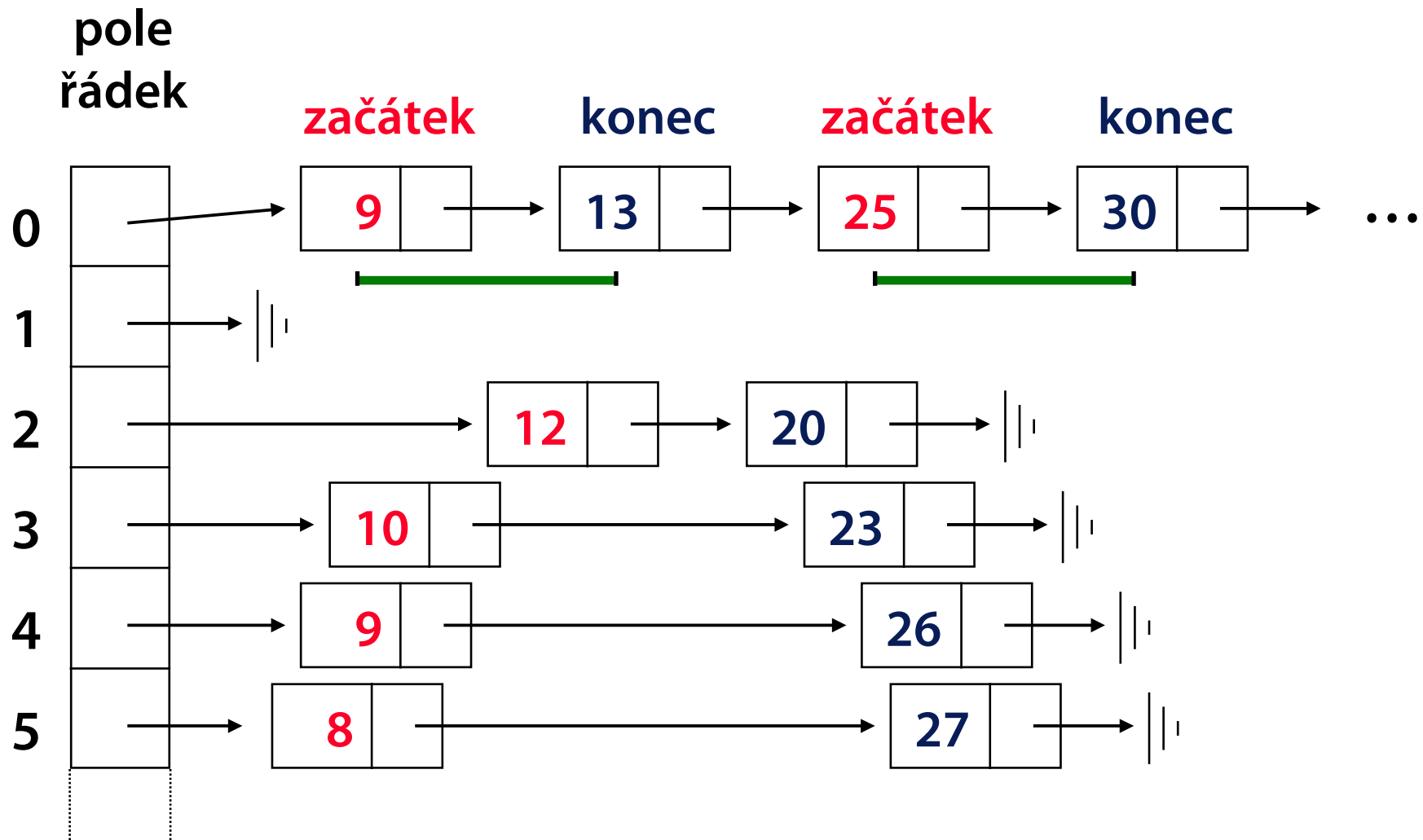
- efektivní implementace **množinových operací** (slévání uspořádaných seznamů)
- lze použít při **vyplňovacích algoritmech**

Výhodná pro **oblasti s jednoduchým okrajem**

Pro každou řádku se ukládá uspořádaný **seznam pixelů**, kterými prochází hranice oblasti

- v těchto pixelech se mění **0 → 1** nebo **1 → 0**

Řádkový seznam změn





Množinové operace

Doplňěk

- v každé řádce se přidá/odstraní prvek [0]

Binární operace – slévají se seznamy změn příslušných vstupních řádek

- nonekvivalence (**XOR**) je nejsnazší – jen se slévá (a odstraňují duplicitní záznamy)
- u jiných operací se zařazují na výstup jen některé záznamy (podle stavové pomocné proměnné)



Množinová operace na jedné řádce

```
void MergeLists (HList L1, HList L2, out HList Result)
{
    Result.Init();
    bool state = false;           // výstupní stav
    bool in1 = false, in2 = false; // vstupní stavy
    while (!L1.Empty && !L2.Empty)
    {
        int x = min(L1.First, L2.First);
        if (x == L1.First)         // odebírám z L1
        {
            in1 = !in1; L1.Get();
        }
        if (x == L2.First)         // odebírám z L2
        {
            in2 = !in2; L2.Get();
        }
        if (BooleanOperation(in1, in2) != state)
        {
            Result.Put(x);
            state = !state;
        }
    }
    // ...dočtení zbytku neprázdného vstupního seznamu
}
```




Literatura

J. Foley, A. van Dam, S. Feiner, J. Hughes: Computer Graphics, Principles and Practice, 844-846, 552-555, 992-996

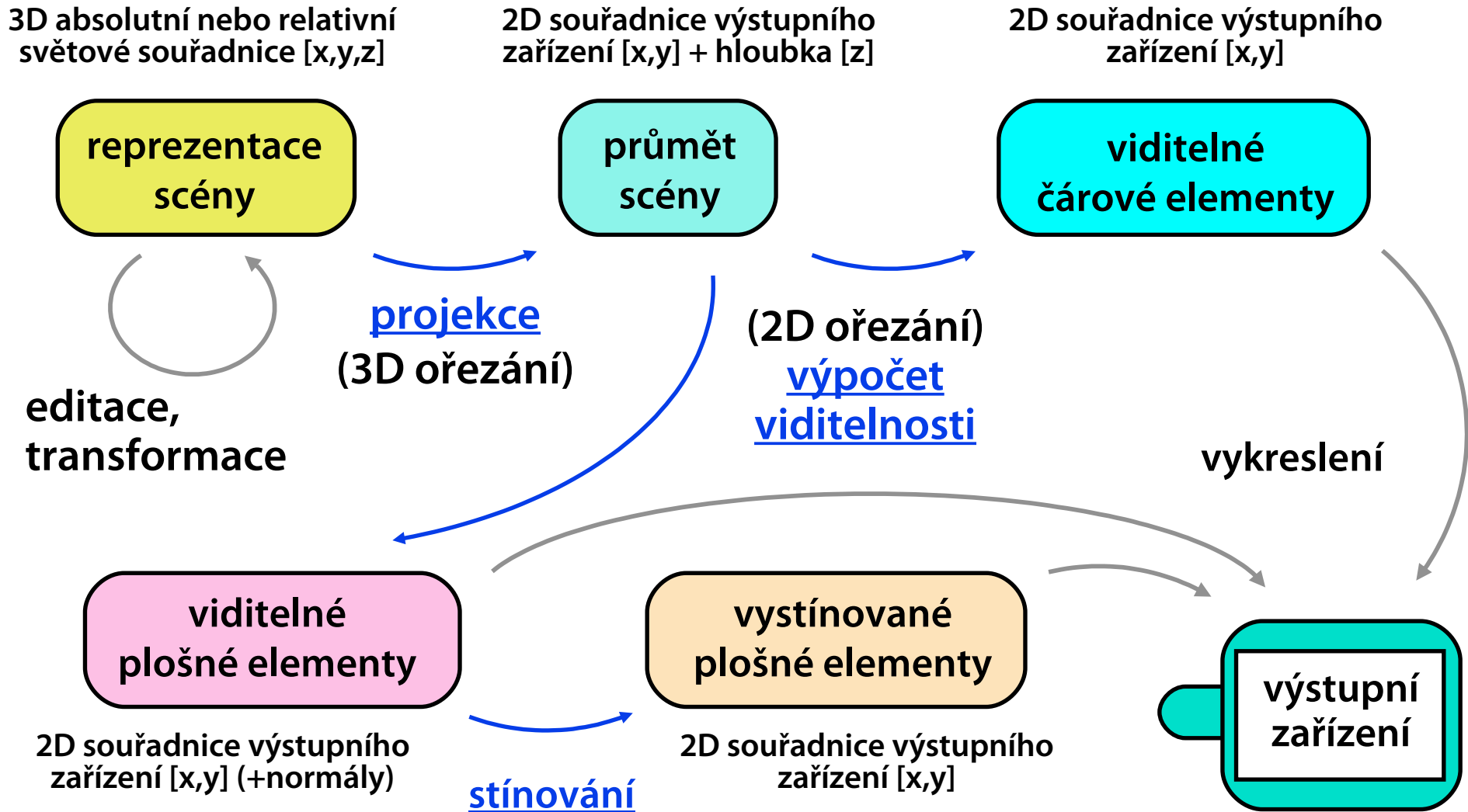
Úvod do 3D grafiky

© 1995-2019 Josef Pelikán
CGG MFF UK Praha

pepca@cgg.mff.cuni.cz
<https://cgg.mff.cuni.cz/~pepca/>

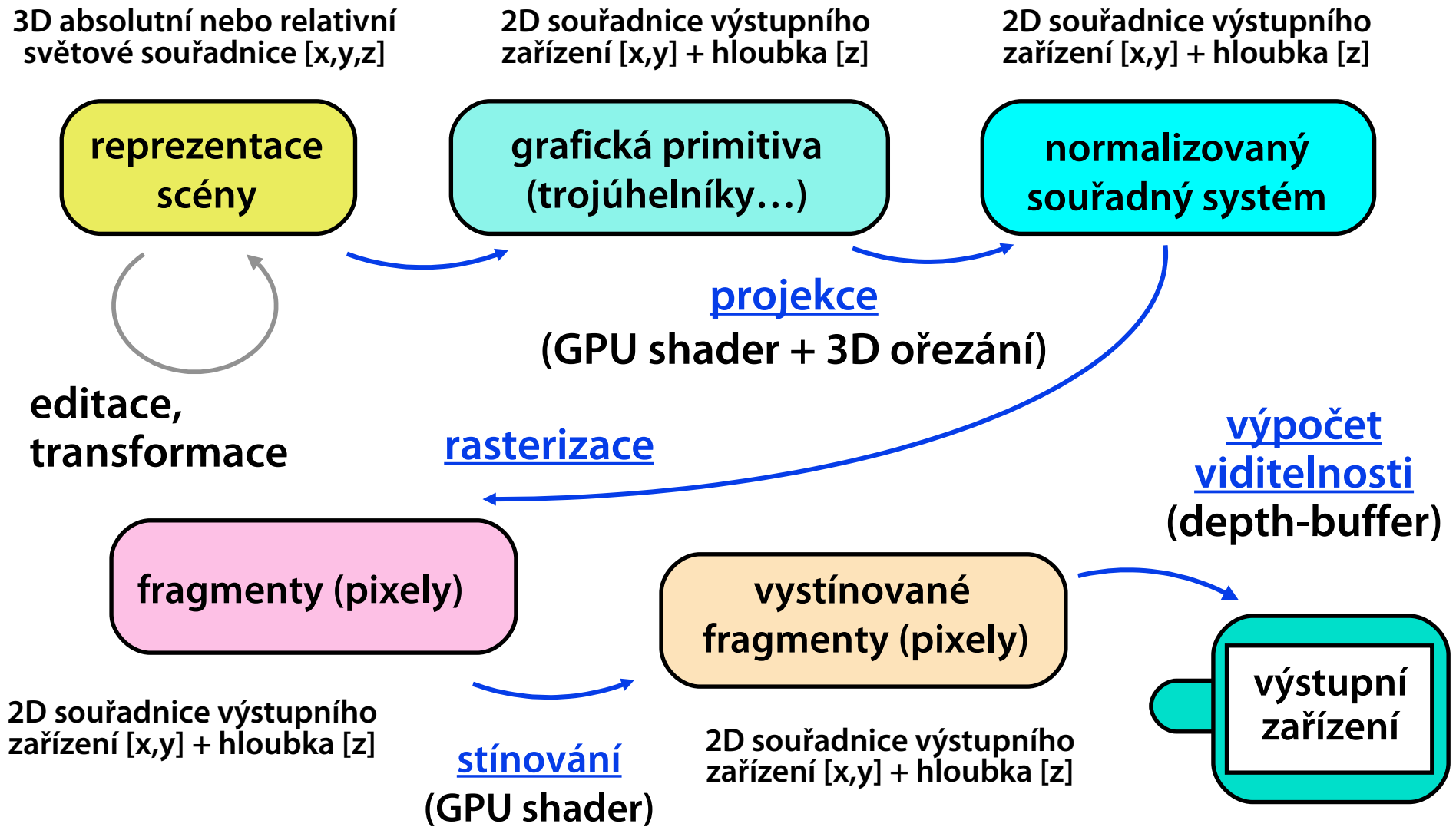


3D grafický systém – historie

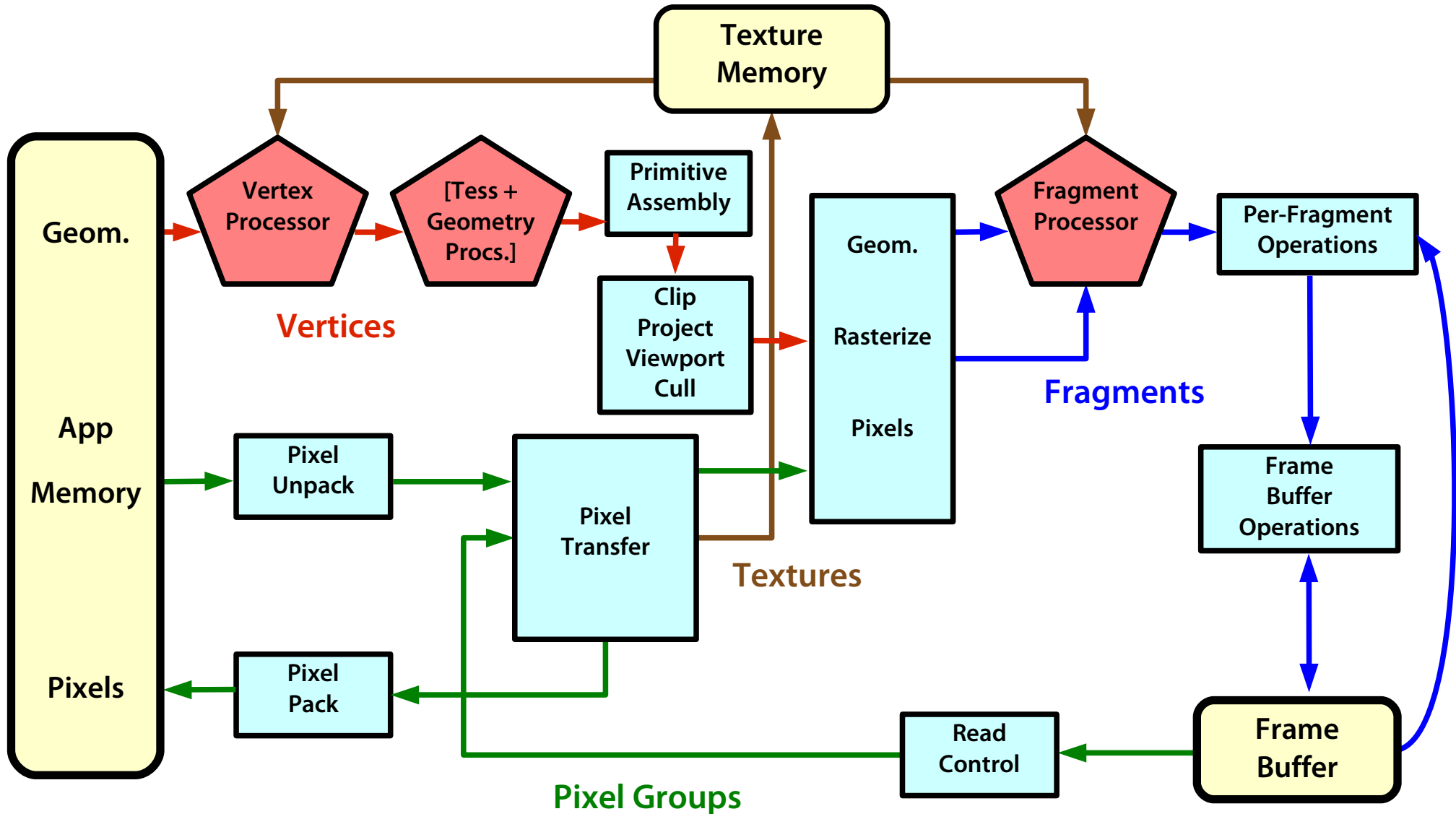




3D grafický systém – GPU



GPU (OpenGL)





Fáze zpracování scény

Editace, transformace (práce s 3D daty)

- funkce modelovacího programu (CAD, animační systém...)
- u čistě zobrazovacích systémů chybí (simulační programy, hry...)

Projekce (příp. i s 3D ořezáním)

- transformace prostorových souřadnic do roviny (se zachováním „hloubky Z“ pro výpočet viditelnosti)
- různé úhly pohledu, perspektiva



Fáze zpracování scény II

2D ořezání

- odstranění objektů ležících mimo kreslený výřez

Výpočet viditelnosti

- odstranění zakrytých objektů nebo jejich částí
- **čárová kresba** (kreslí se jen hrany)
- **plošná kresba** (vybarvují se vnitřky ploch)

Stínování

- zlepšení prostorového vjemu napodobením **osvětlení scény** (někdy i vržené stíny)

Lineární transformace

© 1995-2019 Josef Pelikán
CGG MFF UK Praha

pepca@cgg.mff.cuni.cz
<https://cgg.mff.cuni.cz/~pepca/>



Požadavky

Běžně používané transformace

- posunutí, otočení, zvětšení/zmenšení, zkosení...
- rovnoběžná i perspektivní projekce

Snadná a **efektivní implementace**

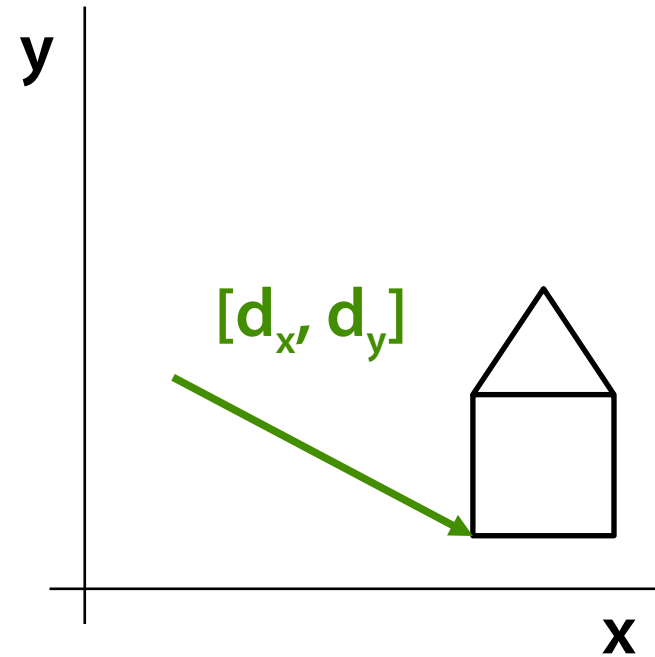
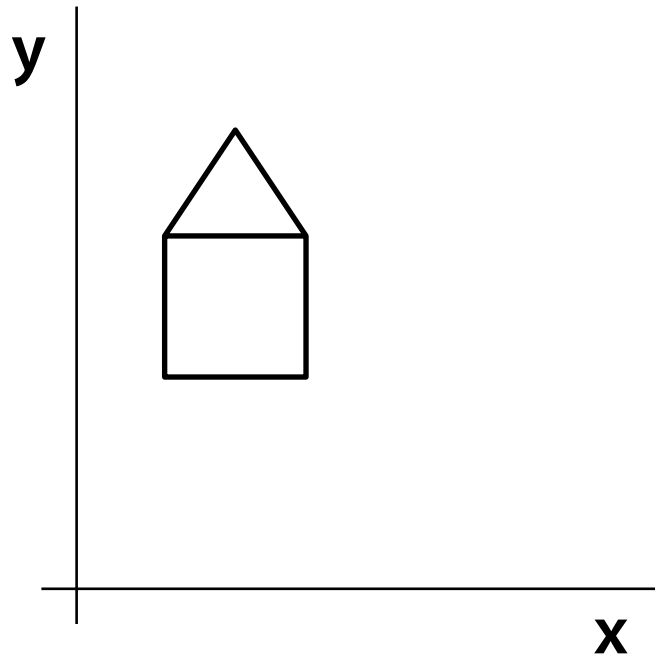
- výpočty se provádějí masově (běžně i 10^8 transformací najednou)

Zvláštní úkony

- zřetězení jednoduchých transformací, výpočet inverzní transformace...



Posunutí v rovině



$$\begin{bmatrix} x' & y' \end{bmatrix} = \begin{bmatrix} x & y \end{bmatrix} + \begin{bmatrix} d_x & d_y \end{bmatrix}$$



Maticové transformace

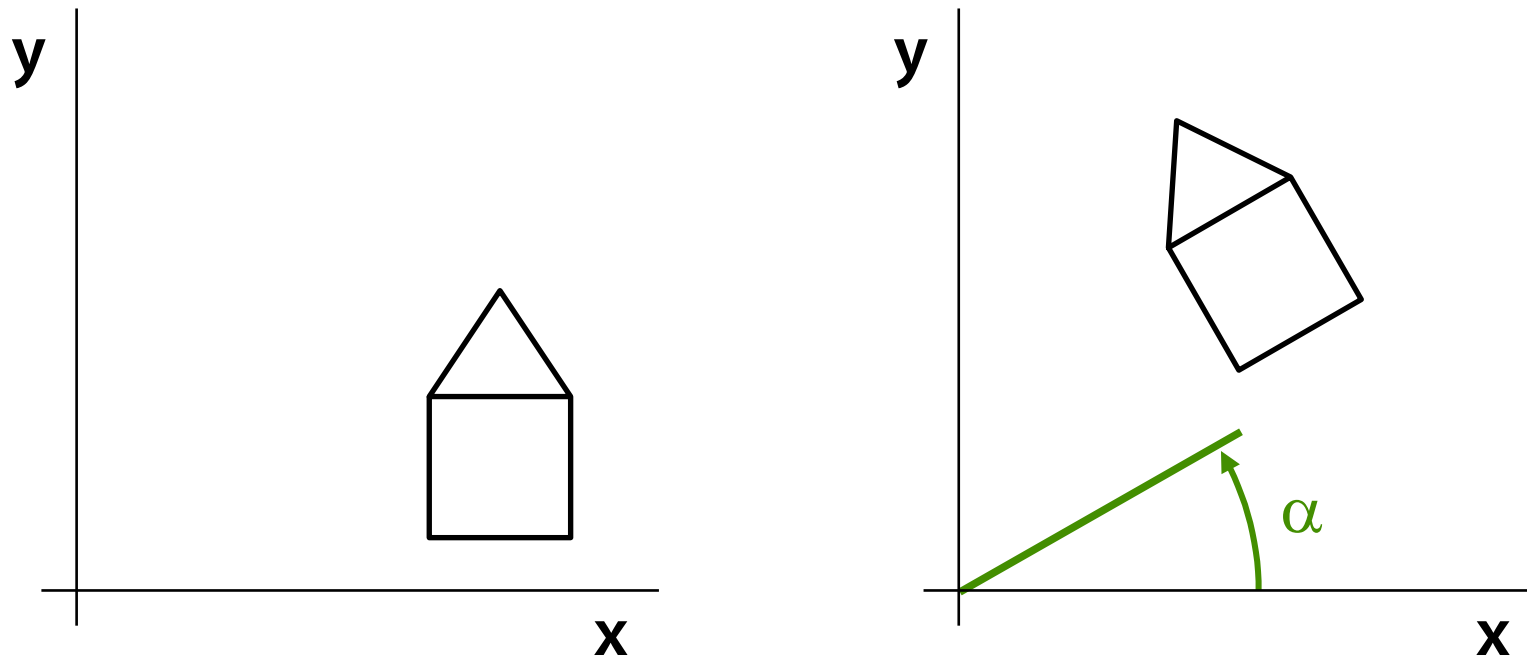
Násobení vektoru souřadnic **maticí zprava**

- à la **DirectX** (**OpenGL** to má obráceně)
- kartézské souřadnice bodu $[x, y]$ tvoří **řádkový vektor**
- **transformační matice** je čtvercová (v rovině má rozměr 2×2)

$$[x' \quad y'] = [x \quad y] \cdot \begin{bmatrix} t_{11} & t_{12} \\ t_{21} & t_{22} \end{bmatrix}$$



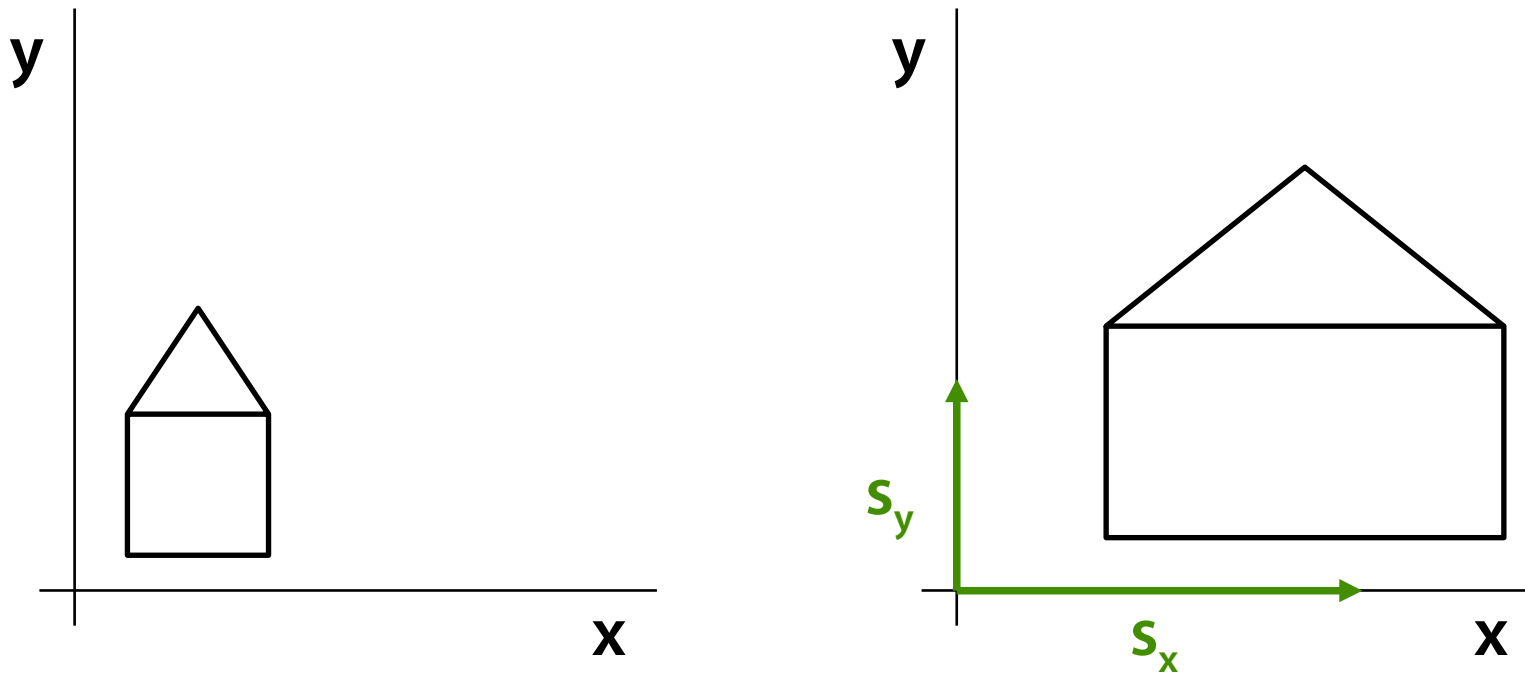
Otočení v rovině kolem počátku



$$R(\alpha) = \begin{bmatrix} \cos \alpha & \sin \alpha \\ -\sin \alpha & \cos \alpha \end{bmatrix}$$

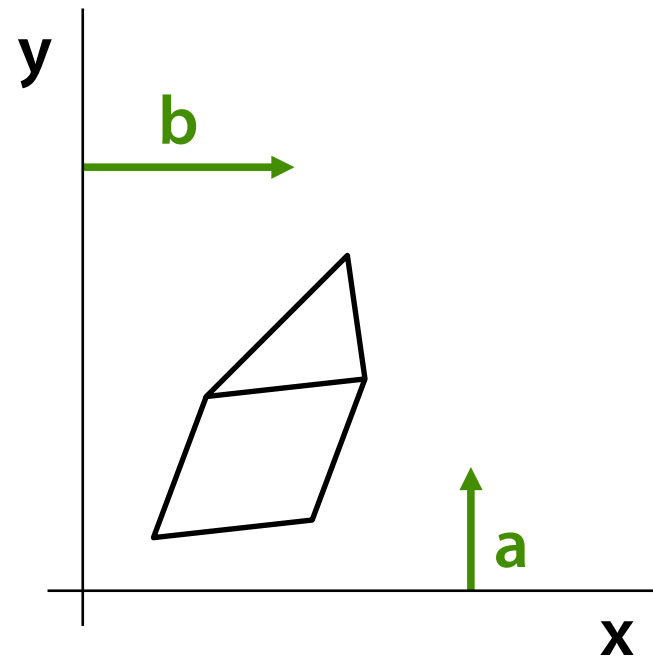
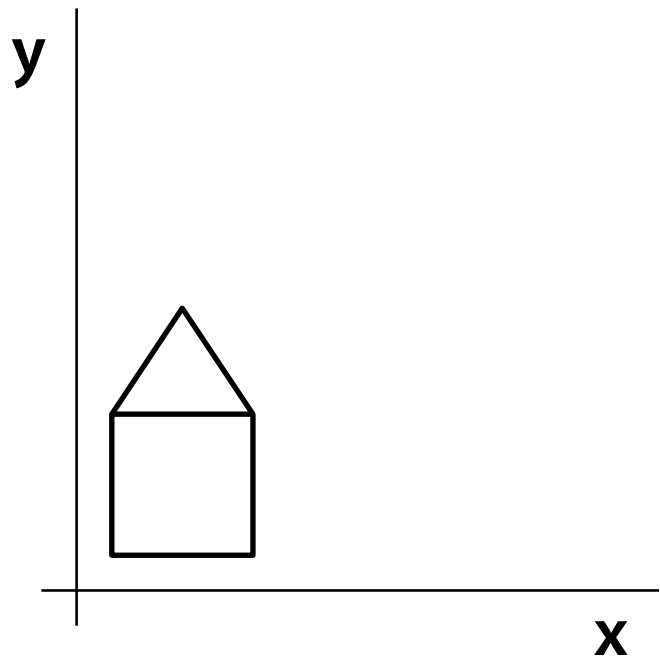


Zmenšení / zvětšení v rovině



$$S(s_x, s_y) = \begin{bmatrix} s_x & 0 \\ 0 & s_y \end{bmatrix}$$

Zkosení v rovině



$$\text{Sh}(a, b) = \begin{bmatrix} 1 & a \\ b & 1 \end{bmatrix}$$



Homogenní souřadnice

Jednotná reprezentace **afinních transformací**

- transformace zachovávající rovnoběžnost
- **posunutí** nelze v kartézských souřadnicích reprezentovat maticově

Nejpoužívanější **neafinní transformace**

- **perspektivní transformace** (projekce)

Reprezentace složených transformací

- násobení matic (asociativita)



Algebraická motivace

Přímka v rovině má souřadnice $[a, b, c]$
(mnohoznačné)

$$a \cdot x + b \cdot y + c = 0$$

Bod v rovině má souřadnice $[x, y]$ (jednoznačné)

Úloha 1: hledání přímky $[a, b, c]$ procházející dvěma danými body $[x_1, y_1]$ a $[x_2, y_2]$

$$a \cdot x_1 + b \cdot y_1 + c = 0$$

$$a \cdot x_2 + b \cdot y_2 + c = 0$$

soustava (1)



Algebraická motivace II

Úloha 2: hledání bodu $[x, y]$, ve kterém se protnou dvě dané přímky $[a_1, b_1, c_1]$ a $[a_2, b_2, c_2]$

$$a_1 \cdot x + b_1 \cdot y + c_1 = 0$$

$$a_2 \cdot x + b_2 \cdot y + c_2 = 0$$

soustava (2)

Soustava (1) má vždy (nekonečně mnoho) řešení

Soustava (2) má řešení jen pokud není $a_1 \cdot b_2 = a_2 \cdot b_1$



Algebraická motivace

Po rozšíření roviny o **nevlastní body** a zavedení **homogenních souřadnic** $[x, y, w]$ budou obě předchozí úlohy symetrické a soustava (2') bude vždy řešitelná

$$a \cdot x_1 + b \cdot y_1 + c \cdot w_1 = 0$$

soustava (1')

$$a \cdot x_2 + b \cdot y_2 + c \cdot w_2 = 0$$

$$a_1 \cdot x + b_1 \cdot y + c_1 \cdot w = 0$$

soustava (2')

$$a_2 \cdot x + b_2 \cdot y + c_2 \cdot w = 0$$



Převody souřadnic

Kartézské na homogenní

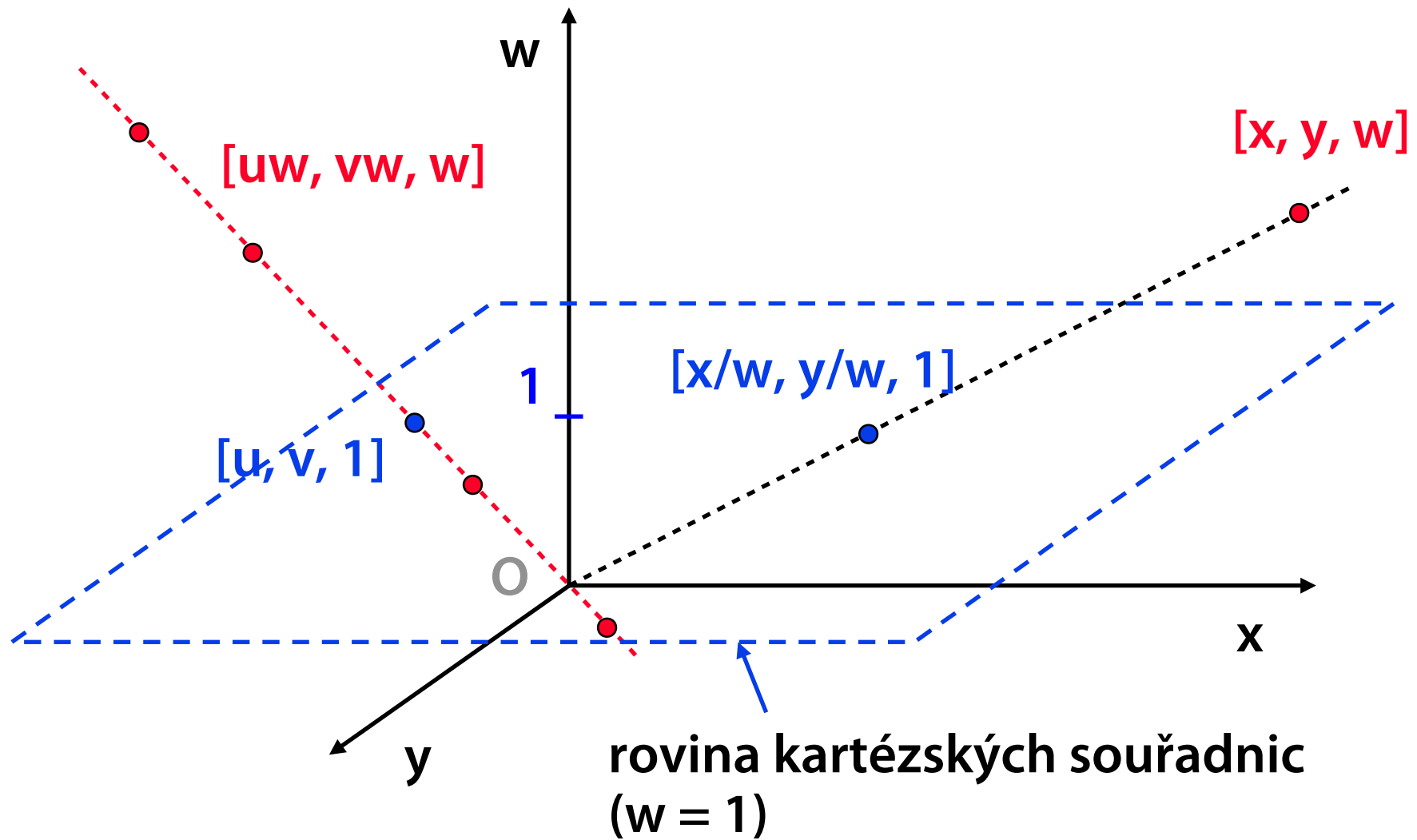
$$[\mathbf{x} \quad \mathbf{y}] \rightarrow [\mathbf{x} \quad \mathbf{y} \quad \mathbf{1}]$$

Homogenní na kartézské (jen vlastní body)

$$[\mathbf{x} \quad \mathbf{y} \quad \mathbf{w}] \rightarrow \begin{bmatrix} \mathbf{x} & \mathbf{y} \\ \mathbf{w} & \mathbf{w} \end{bmatrix}$$

$$\mathbf{w} \neq \mathbf{0}$$

Projektivní prostor





Homogenní transformační matice

Posunutí
(„translation“)

$$T(t_x, t_y) = \begin{bmatrix} 1 & 0 & 0 \\ 0 & 1 & 0 \\ t_x & t_y & 1 \end{bmatrix}$$

Otočení („rotation“)
kolem počátku

$$R(\alpha) = \begin{bmatrix} \cos \alpha & \sin \alpha & 0 \\ -\sin \alpha & \cos \alpha & 0 \\ 0 & 0 & 1 \end{bmatrix}$$

Zmenšení / zvětšení
(„scale“)

$$S(s_x, s_y) = \begin{bmatrix} s_x & 0 & 0 \\ 0 & s_y & 0 \\ 0 & 0 & 1 \end{bmatrix}$$



Homogenní transformační matice II

Zkosení
(„shear“)

$$\text{Sh}(a, b) = \begin{bmatrix} 1 & a & 0 \\ b & 1 & 0 \\ 0 & 0 & 1 \end{bmatrix}$$

Složené transformace

$$\left(\left(\left([\mathbf{x}, \mathbf{y}, \mathbf{w}] \cdot \mathbf{T}_1 \right) \cdot \mathbf{T}_2 \right) \cdot \mathbf{T}_3 \right) = [\mathbf{x}, \mathbf{y}, \mathbf{w}] \cdot \left(\mathbf{T}_1 \cdot \mathbf{T}_2 \cdot \mathbf{T}_3 \right)$$

Otočení o úhel α kolem bodu $[\mathbf{x}, \mathbf{y}]$

$$\mathbf{R}(\mathbf{x}, \mathbf{y}, \alpha) = \mathbf{T}(-\mathbf{x}, -\mathbf{y}) \cdot \mathbf{R}(\alpha) \cdot \mathbf{T}(\mathbf{x}, \mathbf{y})$$



Transformace v průmětně



souřadné systémy na výstupu

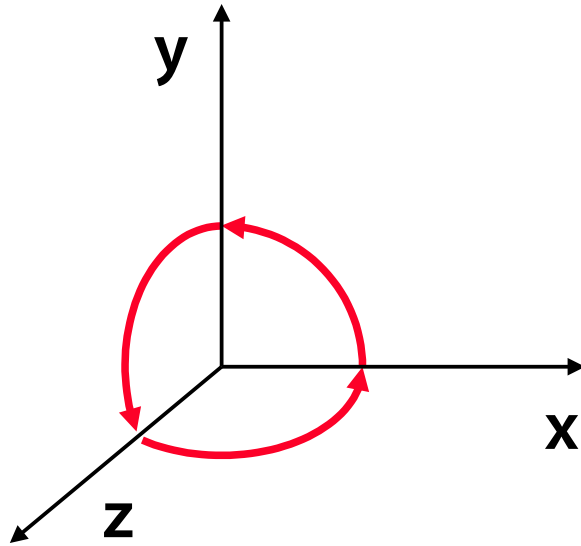
Převod reálných souřadnic do souřadnic
zobrazovaného okna

$$X_{\text{int}} = \text{round}(D_x + S_x * X_f)$$

$$Y_{\text{int}} = \text{round}(D_y + S_y * Y_f)$$

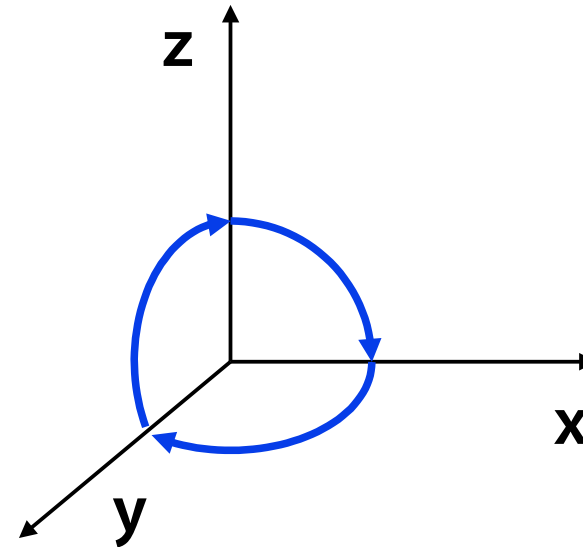


Prostorové souřadnice



levotočivý systém
(„right-handed“)

OpenGL (y), Vulkan (-y?), 3ds Max (z),
Blender (z), Wavefront=OBJ,
HoloLens1 (y)...



pravotočivý systém
(„left-handed“)

Glide, DirectX (y), RenderMan (y), Unity (y),
UE 4 (z), C4D (y), POV-ray (y), NDS (clipping)...

Jedinou jistotou je osa x mířící doprava



Homogenní souřadnice

$$[x \ y \ z] \rightarrow [x \ y \ z \ 1]$$

$$[x \ y \ z \ w] \rightarrow \left[\frac{x}{w} \ \frac{y}{w} \ \frac{z}{w} \right] \quad (w \neq 0)$$

Maticová transformace

$$[x' \ y' \ z' \ w'] = [x \ y \ z \ w] \cdot \begin{bmatrix} t_{11} & t_{12} & t_{13} & t_{14} \\ t_{21} & t_{22} & t_{23} & t_{24} \\ t_{31} & t_{32} & t_{33} & t_{34} \\ t_{41} & t_{42} & t_{43} & t_{44} \end{bmatrix}$$



Homogenní transformační matice

Posunutí

$$T(t_x, t_y, t_z) = \begin{bmatrix} 1 & 0 & 0 & 0 \\ 0 & 1 & 0 & 0 \\ 0 & 0 & 1 & 0 \\ t_x & t_y & t_z & 1 \end{bmatrix}$$



Zkosení

$$Sh(a, b, c, d, e, f) = \begin{bmatrix} 1 & a & b & 0 \\ c & 1 & d & 0 \\ e & f & 1 & 0 \\ 0 & 0 & 0 & 1 \end{bmatrix}$$





Homogenní transformační matice II

Otočení
kolem osy y

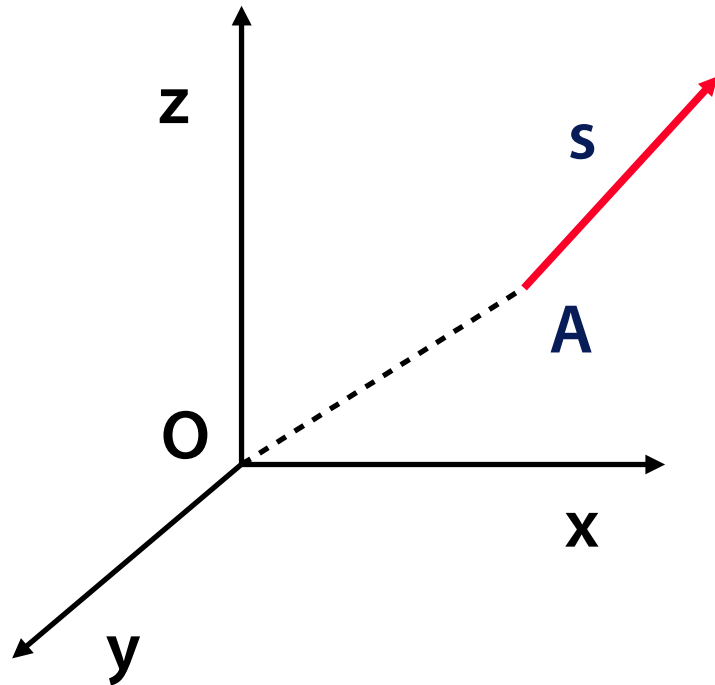
$$R_y(\alpha) = \begin{bmatrix} \cos \alpha & 0 & -\sin \alpha & 0 \\ 0 & 1 & 0 & 0 \\ \sin \alpha & 0 & \cos \alpha & 0 \\ 0 & 0 & 0 & 1 \end{bmatrix}$$


Otočení
kolem osy z

$$R_z(\alpha) = \begin{bmatrix} \cos \alpha & \sin \alpha & 0 & 0 \\ -\sin \alpha & \cos \alpha & 0 & 0 \\ 0 & 0 & 1 & 0 \\ 0 & 0 & 0 & 1 \end{bmatrix}$$




Přenos polopřímky do osy z



Polopřímka je zadána bodem A a směrovým vektorem s

$$M = T(-A)$$

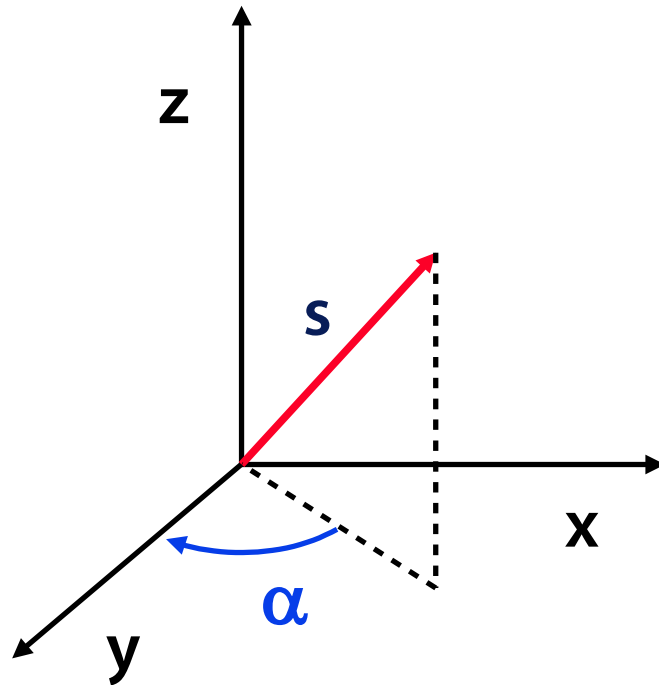
$$M^{-1} = T(A)$$

1. krok

přenesení bodu A do počátku



Přenos polopřímky do osy z



$$M = T(-A) \cdot R_z(\alpha)$$

$$M^{-1} = R_z(-\alpha) \cdot T(A)$$

$$\cos \alpha = \frac{s_y}{\sqrt{s_x^2 + s_y^2}}$$

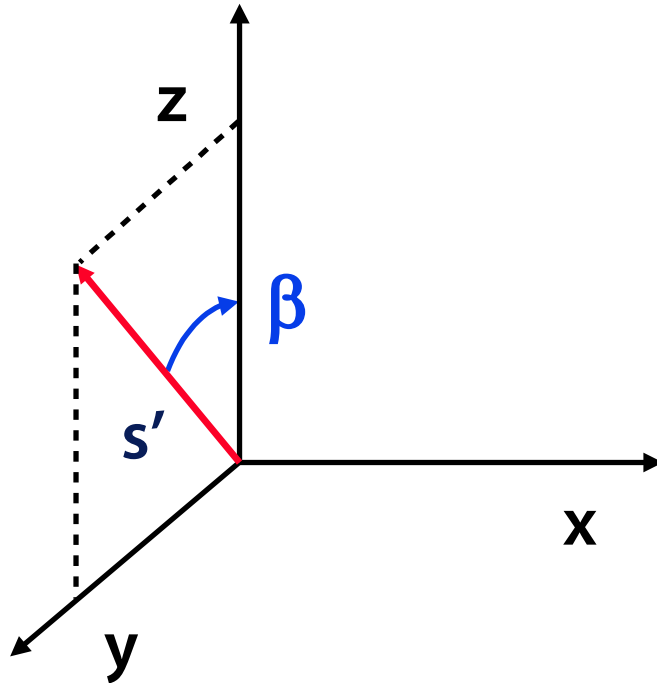
$$\sin \alpha = \frac{s_x}{\sqrt{s_x^2 + s_y^2}}$$

2. krok

otočení polopřímky do roviny yz (okolo osy z)



Přenos polopřímky do osy z



$$M = T(-A) \cdot R_z(\alpha) \cdot R_x(\beta)$$

$$M^{-1} = R_x(-\beta) \cdot R_z(-\alpha) \cdot T(A)$$

$$\cos \beta = \frac{s_z}{\sqrt{s_x^2 + s_y^2 + s_z^2}}$$

$$|\sin \beta| = \frac{\sqrt{s_x^2 + s_y^2}}{\sqrt{s_x^2 + s_y^2 + s_z^2}}$$

3. krok

otočení polopřímky do osy z (okolo osy x)



Aplikace transformace M

Shrnutí transformace M

$$M(\mathbf{A}, \mathbf{s}) = T(-\mathbf{A}) \cdot R_z(\alpha) \cdot R_x(\beta)$$

$$M(\mathbf{A}, \mathbf{s})^{-1} = R_x(-\beta) \cdot R_z(-\alpha) \cdot T(\mathbf{A})$$

Otočení kolem dané osy

$$R(\mathbf{A}, \mathbf{s}, \theta) = M(\mathbf{A}, \mathbf{s}) \cdot R_z(\theta) \cdot M(\mathbf{A}, \mathbf{s})^{-1}$$

Zrcadlové převrácení podle dané roviny

$$\text{Mirror}(\mathbf{A}, \mathbf{n}) = M(\mathbf{A}, \mathbf{n}) \cdot S(1, 1, -1) \cdot M(\mathbf{A}, \mathbf{n})^{-1}$$



Výpočet inverzní transformace

1. inverze matice

$$\mathbf{M}^{-1}$$

2. po krocích

$$\mathbf{M} = \mathbf{A} \cdot \mathbf{B} \cdot \mathbf{C}$$

$$\mathbf{M}^{-1} = \mathbf{C}^{-1} \cdot \mathbf{B}^{-1} \cdot \mathbf{A}^{-1}$$

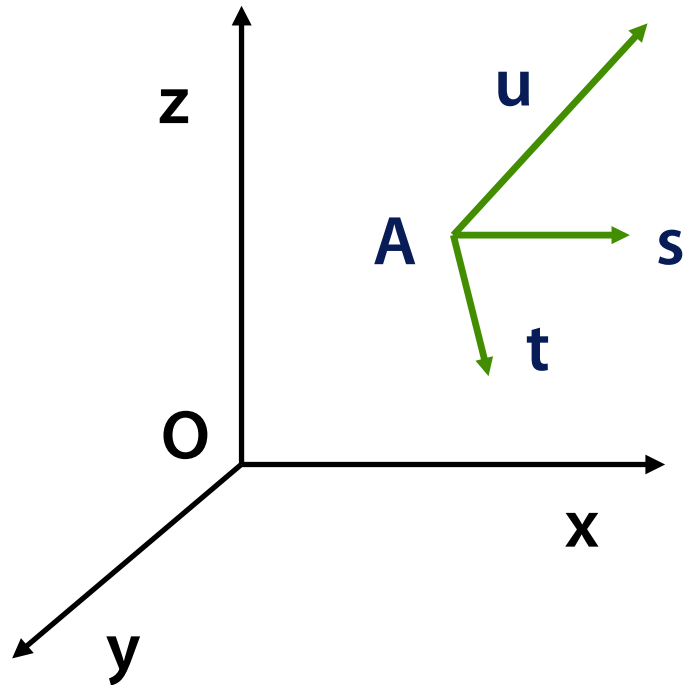
3. transpozice (ortonormální matice)

$$\mathbf{R}^{-1} = \mathbf{R}^T \quad \text{pro ortonormální matici } \mathbf{R}$$

(ortonormální jsou všechny
rotační matice)



Převod mezi souřadnými systémy



Souřadný systém je zadán svým počátkem A a trojicí vektorů s, t, u

$$Cs = M(A, u)$$

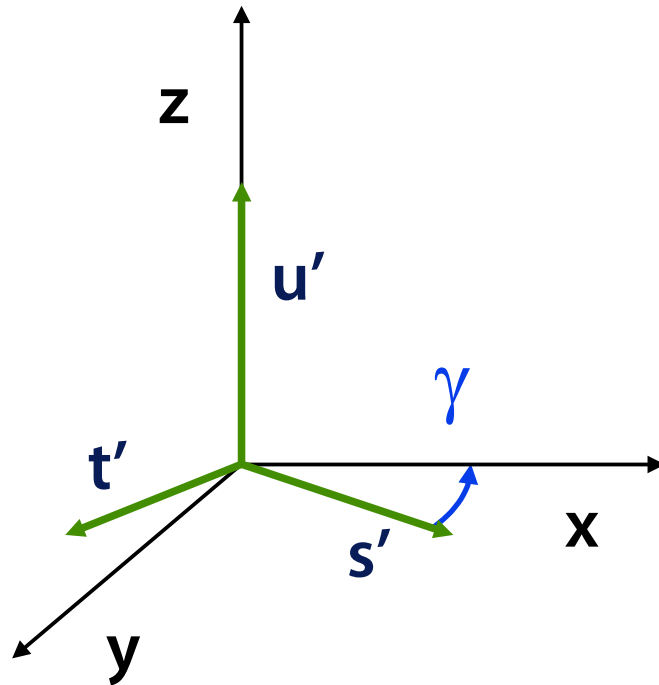
$$Cs^{-1} = M(A, u)^{-1}$$

1. krok

přenesení polopřímky (A, u) do osy z



Převod mezi souřadnými systémy



$$\mathbf{Cs}(\mathbf{A}, \mathbf{s}, \mathbf{t}, \mathbf{u}) = \mathbf{M}(\mathbf{A}, \mathbf{u}) \cdot \mathbf{R}_z(\gamma)$$

$$\mathbf{Cs}(\mathbf{A}, \mathbf{s}, \mathbf{t}, \mathbf{u})^{-1} = \mathbf{R}_z(-\gamma) \cdot \mathbf{M}(\mathbf{A}, \mathbf{u})^{-1}$$

$$\cos \gamma = \frac{|\mathbf{s} \cdot \mathbf{M}(\mathbf{A}, \mathbf{u})|_x}{|\mathbf{s} \cdot \mathbf{M}(\mathbf{A}, \mathbf{u})|}$$

$$\sin \gamma = \frac{|\mathbf{s} \cdot \mathbf{M}(\mathbf{A}, \mathbf{u})|_y}{|\mathbf{s} \cdot \mathbf{M}(\mathbf{A}, \mathbf{u})|}$$

2. krok

ztotožnění os $\mathbf{s}' \rightarrow \mathbf{x}$ a $\mathbf{t}' \rightarrow \mathbf{y}$ (otočením kolem $\mathbf{z}=\mathbf{u}'$)



Literatura

J. Foley, A. van Dam, S. Feiner, J. Hughes: *Computer Graphics, Principles and Practice*, 201-227

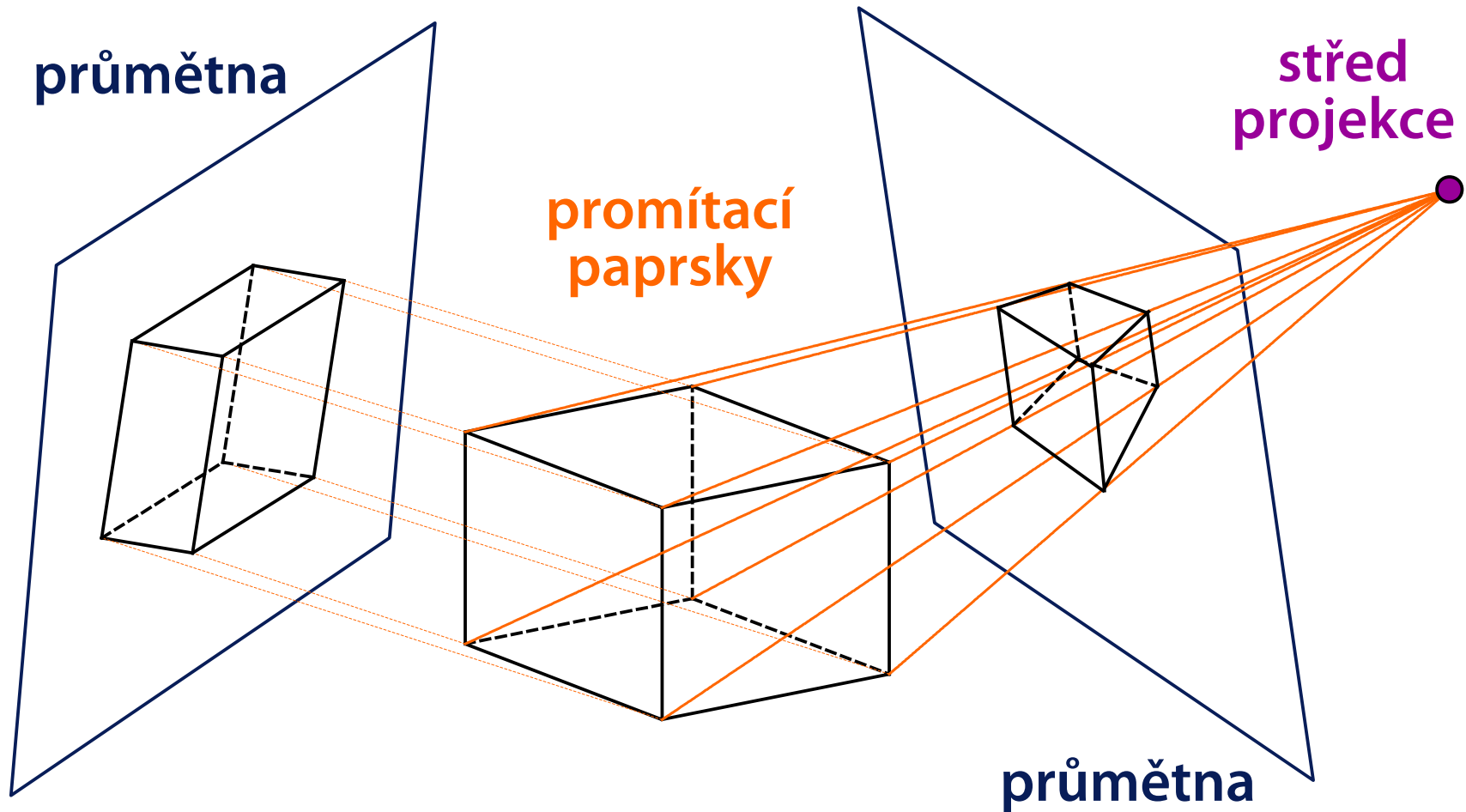
Jiří Žára a kol.: *Počítačová grafika, principy a algoritmy*, 73-84

Zobrazovací projekce

© 1995-2019 Josef Pelikán
CGG MFF UK Praha

pepca@cgg.mff.cuni.cz
<https://cgg.mff.cuni.cz/~pepca/>

Základní pojmy





Klasifikace lineárních projekcí

Rovnoběžné projekce

- promítací paprsky jsou navzájem rovnoběžné

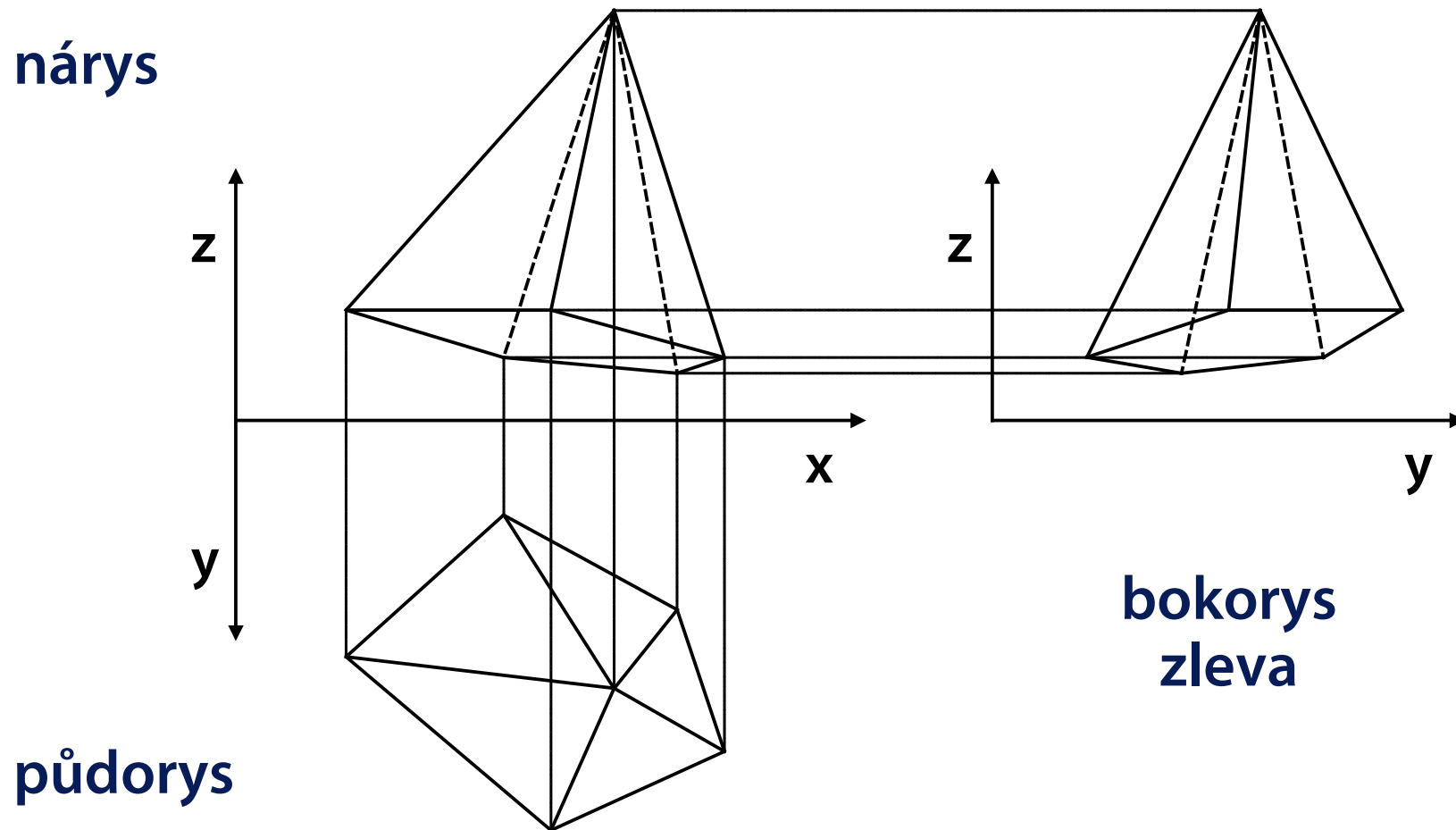
Kolmé projekce

- promítací paprsky jsou kolmé na průmětnu
- Mongeova projekce, půdorys, nárys, bokorys
- axonometrie (obecná kolmá projekce)

Kosoúhlé projekce

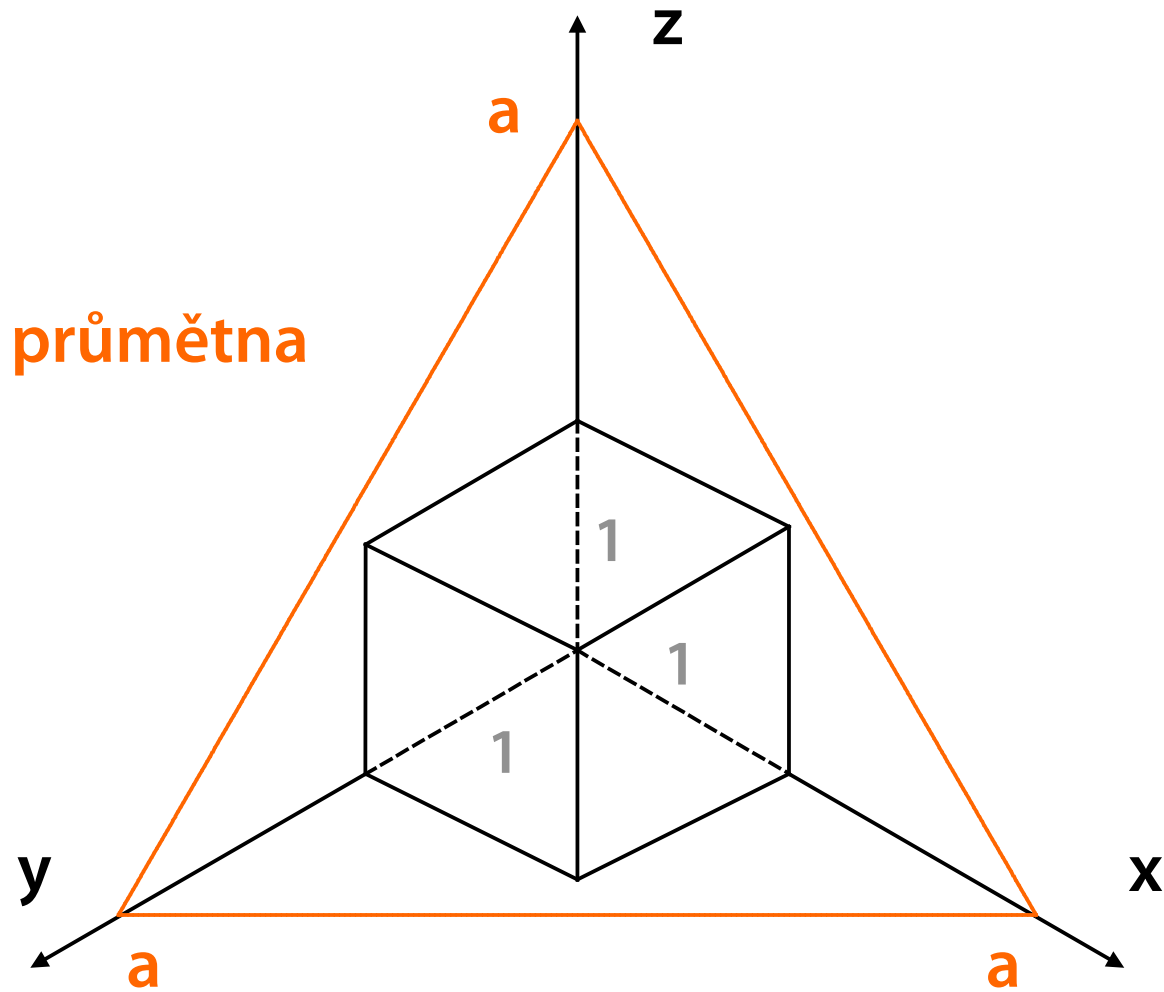
- kabinetní projekce (zkrácení měřítka osy z na $1/2$)
- kavalírní projekce (stejně měřítko na všech osách)

Mongeova projekce

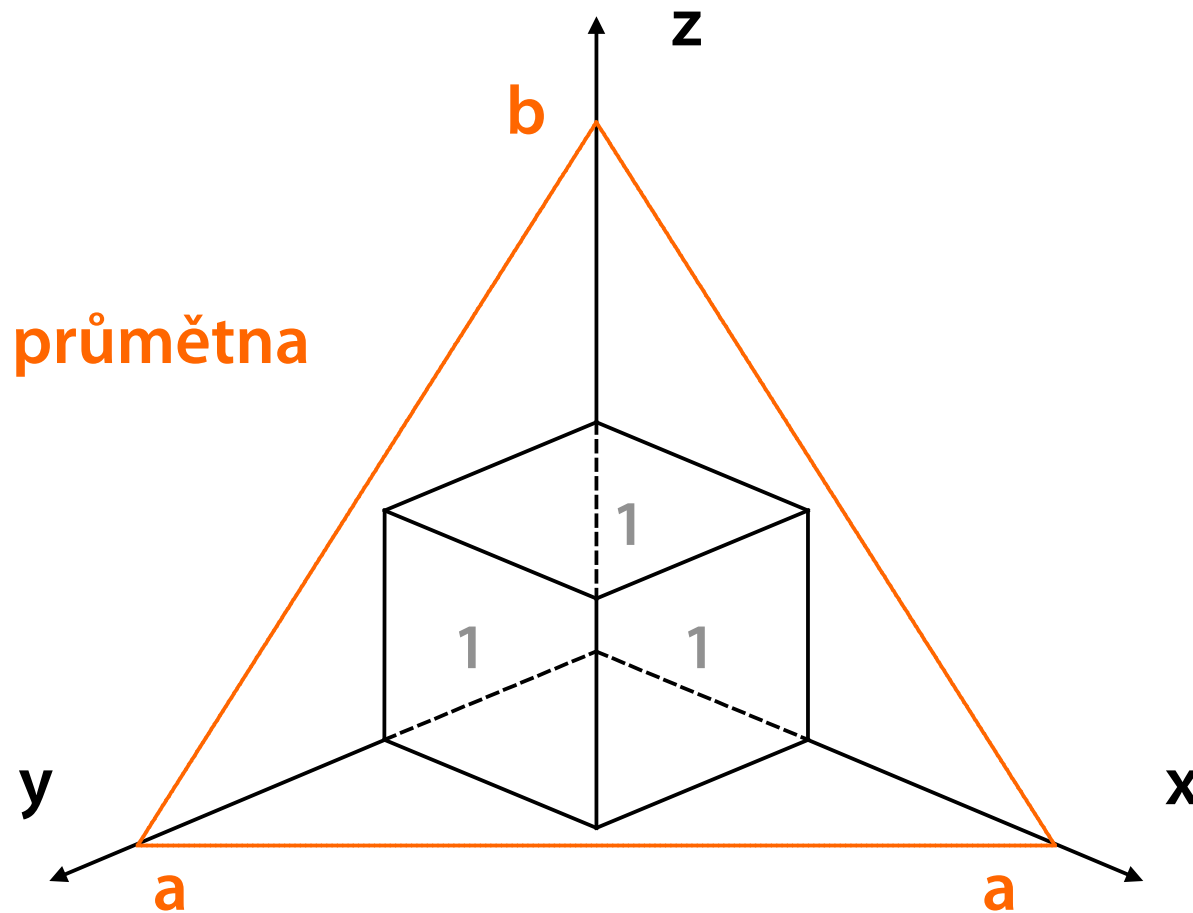




Axonometrie – isometrie

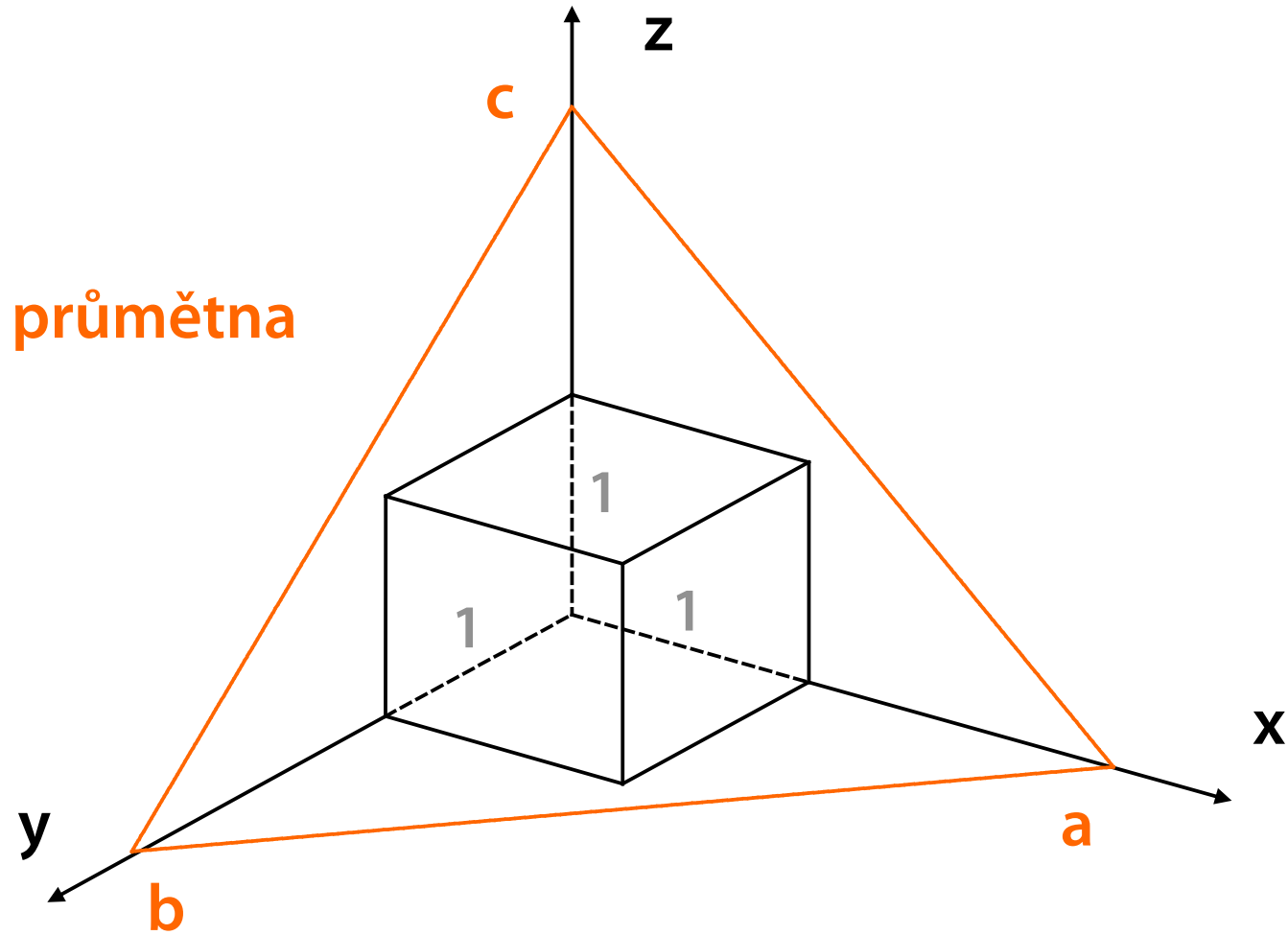


Axonometrie – dimetrie





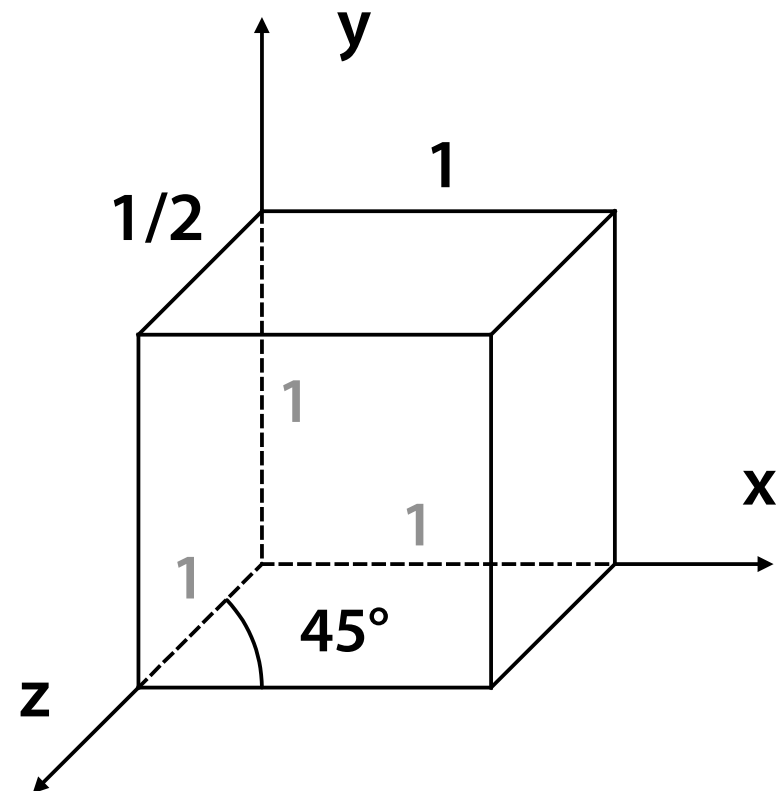
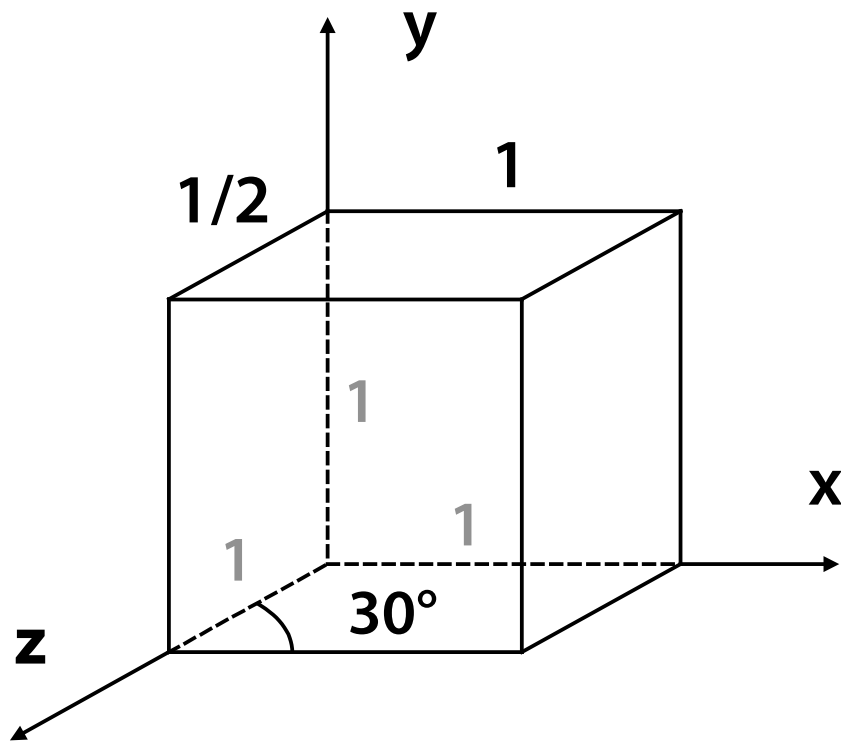
Axonometrie – trimetrie



Kabinetní projekce



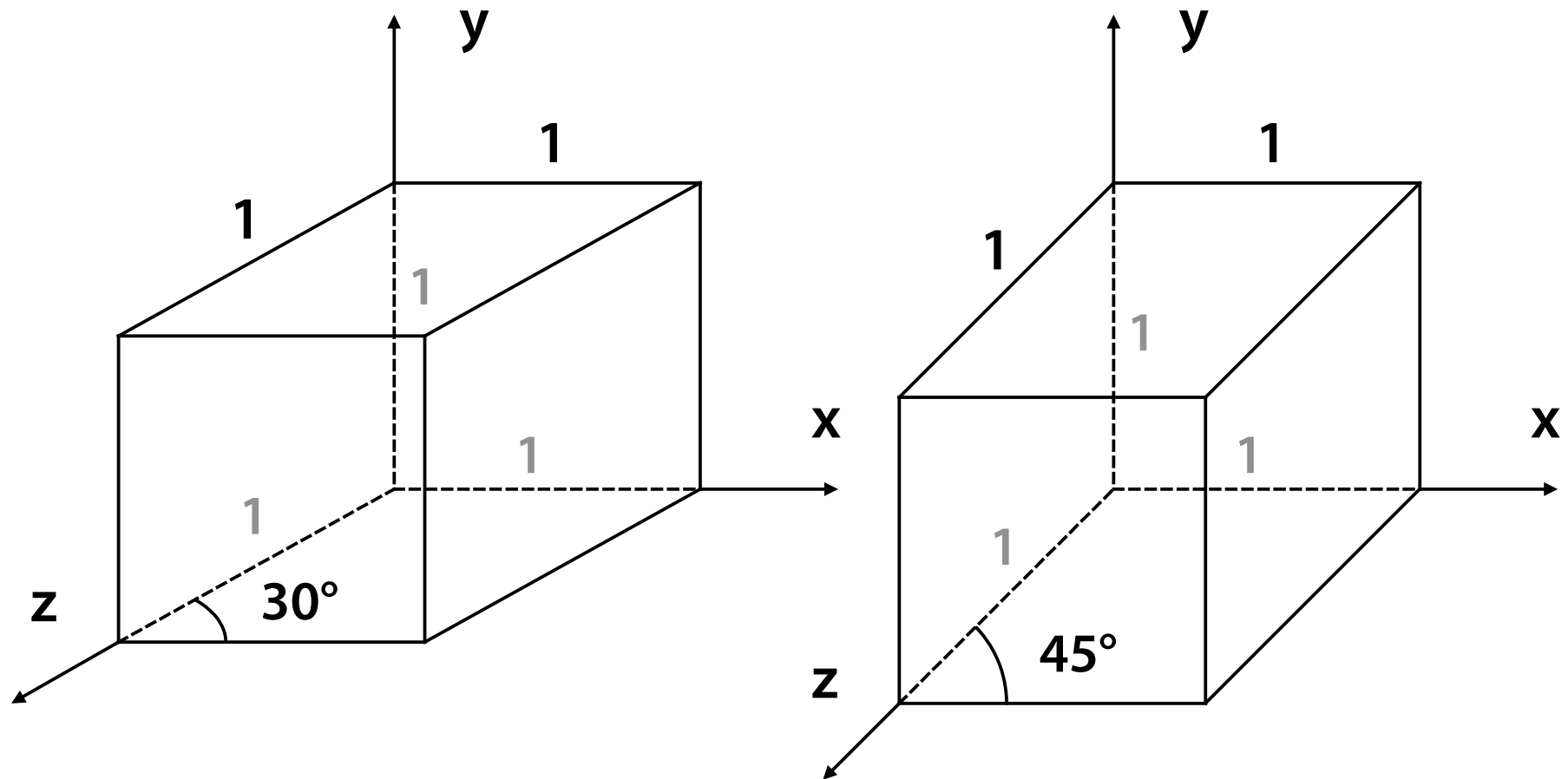
průmětna = xy



Kavalírní projekce



průmětna = xy





Klasifikace lineárních projekcí

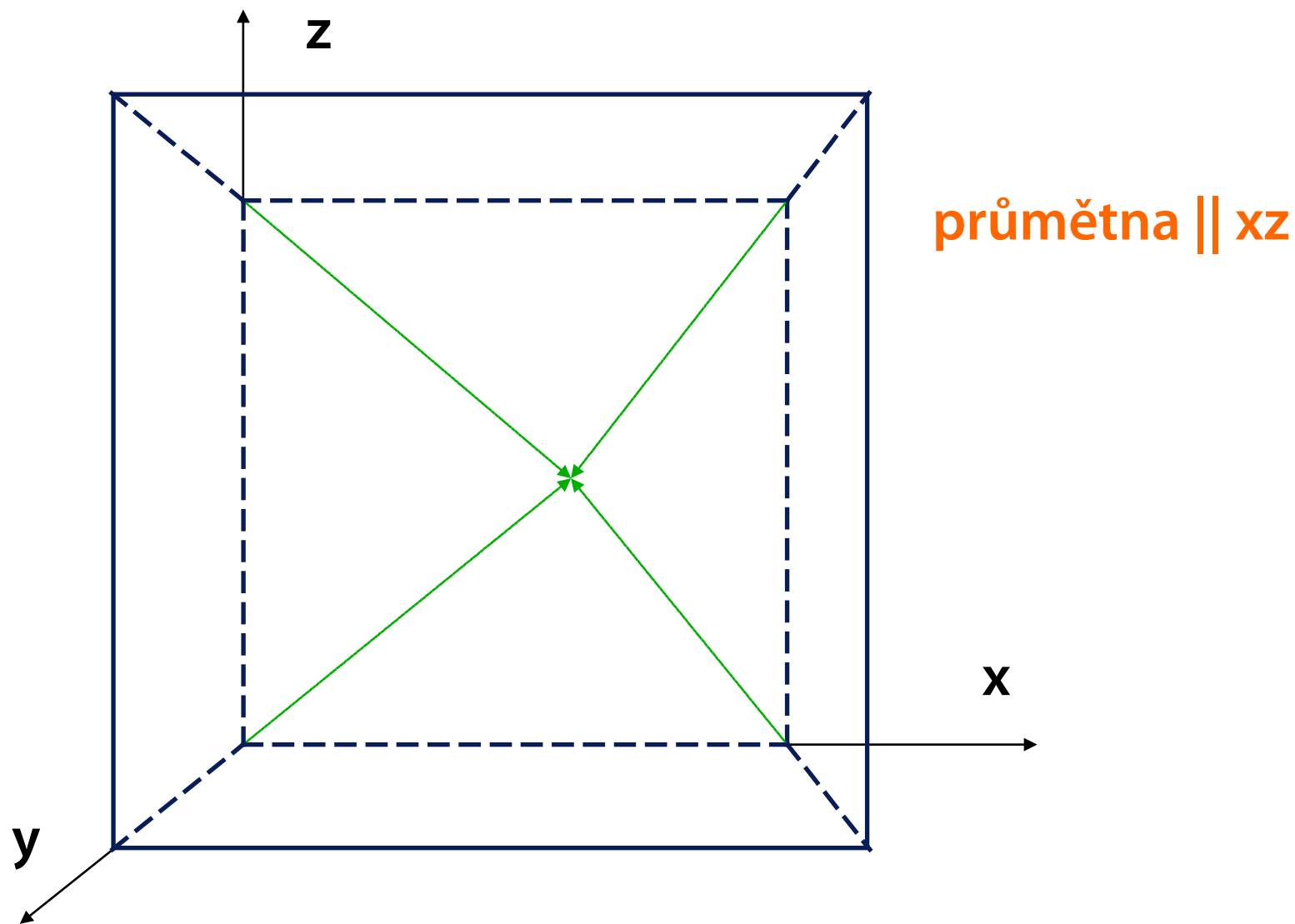
Středové projekce („perspective projections“)

- promítací paprsky tvoří svazek procházející jedním bodem, **středem projekce**
- nezachovává se rovnoběžnost (úběžníky)

Jednobodová perspektiva

- průmětna je rovnoběžná se dvěma souřadnými osami
- rovnoběžky se třetí osou se protínají v jednom hlavním úběžníku

Jednobodová perspektiva





Další středové projekce

Dvoubodová perspektiva

- průmětna je rovnoběžná s jednou souřadnou osou
- rovnoběžky s ostatními osami se protínají ve dvou hlavních úběžnících

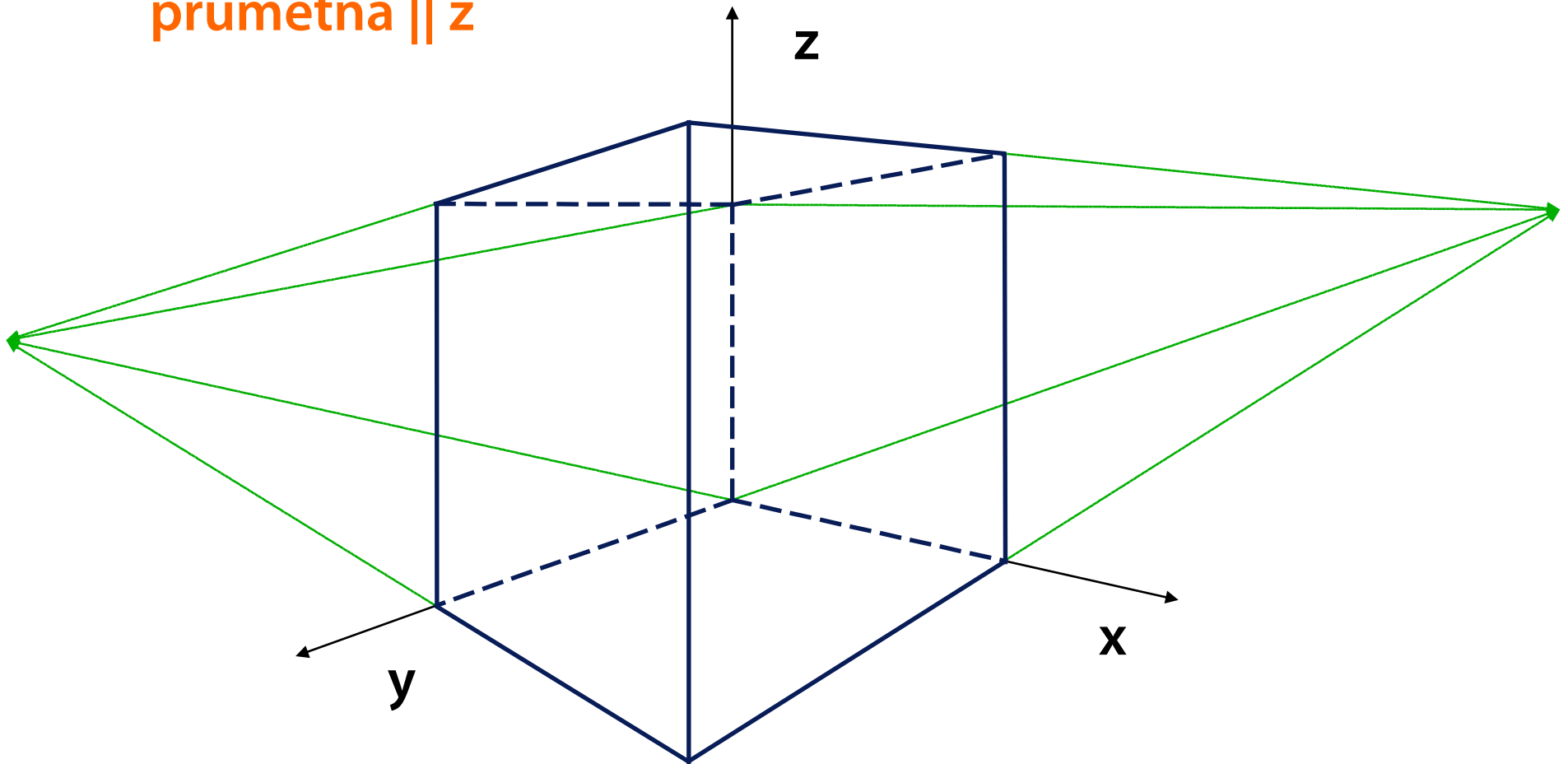
Tříbodová perspektiva

- průmětna má zcela obecnou polohu
- rovnoběžky se souřadnými osami se protínají ve třech hlavních úběžnících

Dvoubodová perspektiva



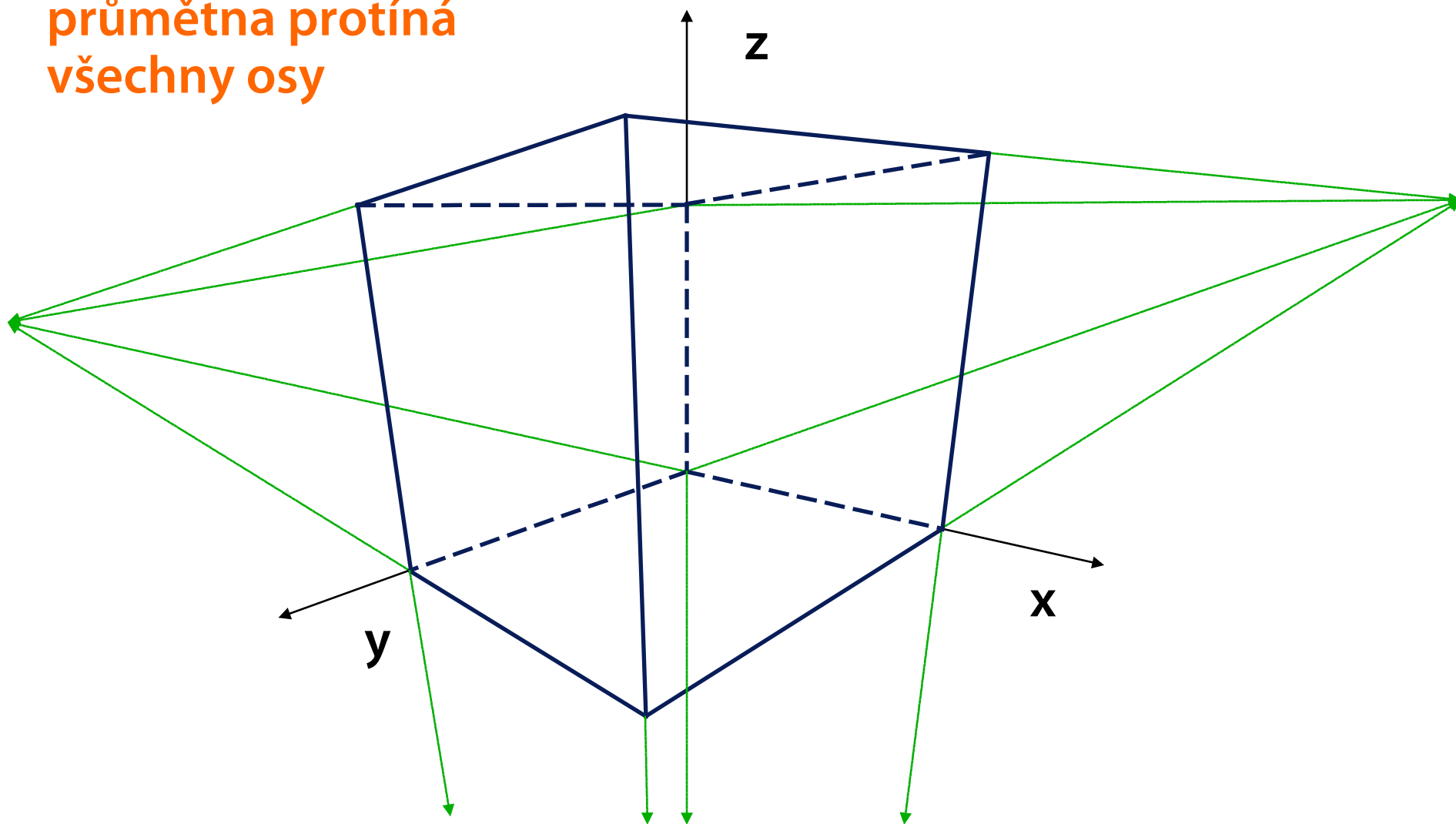
průmětna $\parallel z$



Tříbodová perspektiva



průmětna protíná
všechny osy





Implementace kolmé projekce

$[x, y]$ budou souřadnice bodu v průmětu, z jeho hloubka (vzdálenost od pozorovatele)

Základní pohledy (půdorys, nárys, bokorys)

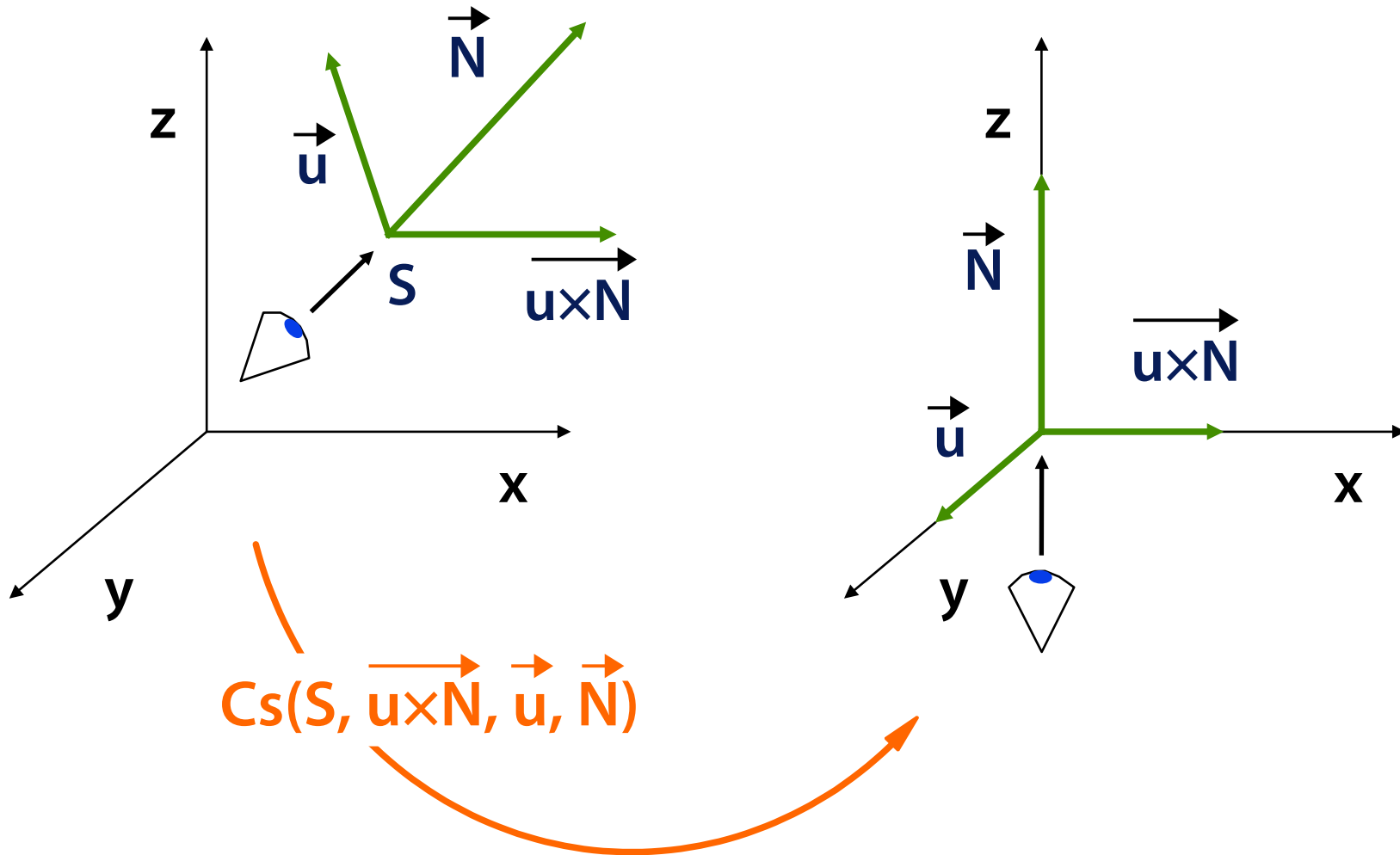
- pouze permutace složek x , y a z (s příp. změnou znaménka)

Obecná kolmá projekce (axonometrie)

- směr pohledu (normálový vektor průmětny): \vec{N}
- svislý vektor: \vec{u}
- převedení do základního pohledu: $Cs(S, \vec{u} \times \vec{N}, \vec{u}, \vec{N})$

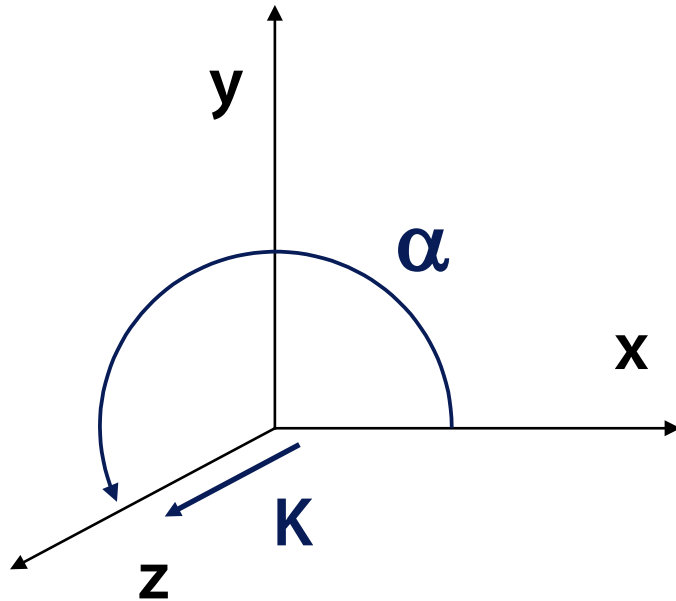


Obecná kolmá projekce





Implementace kosoúhlé projekce



průmětna: xy
koeficient zkrácení: K
úhel průmětu osy z : α

$$\begin{bmatrix} 1 & 0 & 0 & 0 \\ 0 & 1 & 0 & 0 \\ K \cdot \cos \alpha & K \cdot \sin \alpha & 1 & 0 \\ 0 & 0 & 0 & 1 \end{bmatrix}$$



Implementace středové projekce

Obecná středová projekce

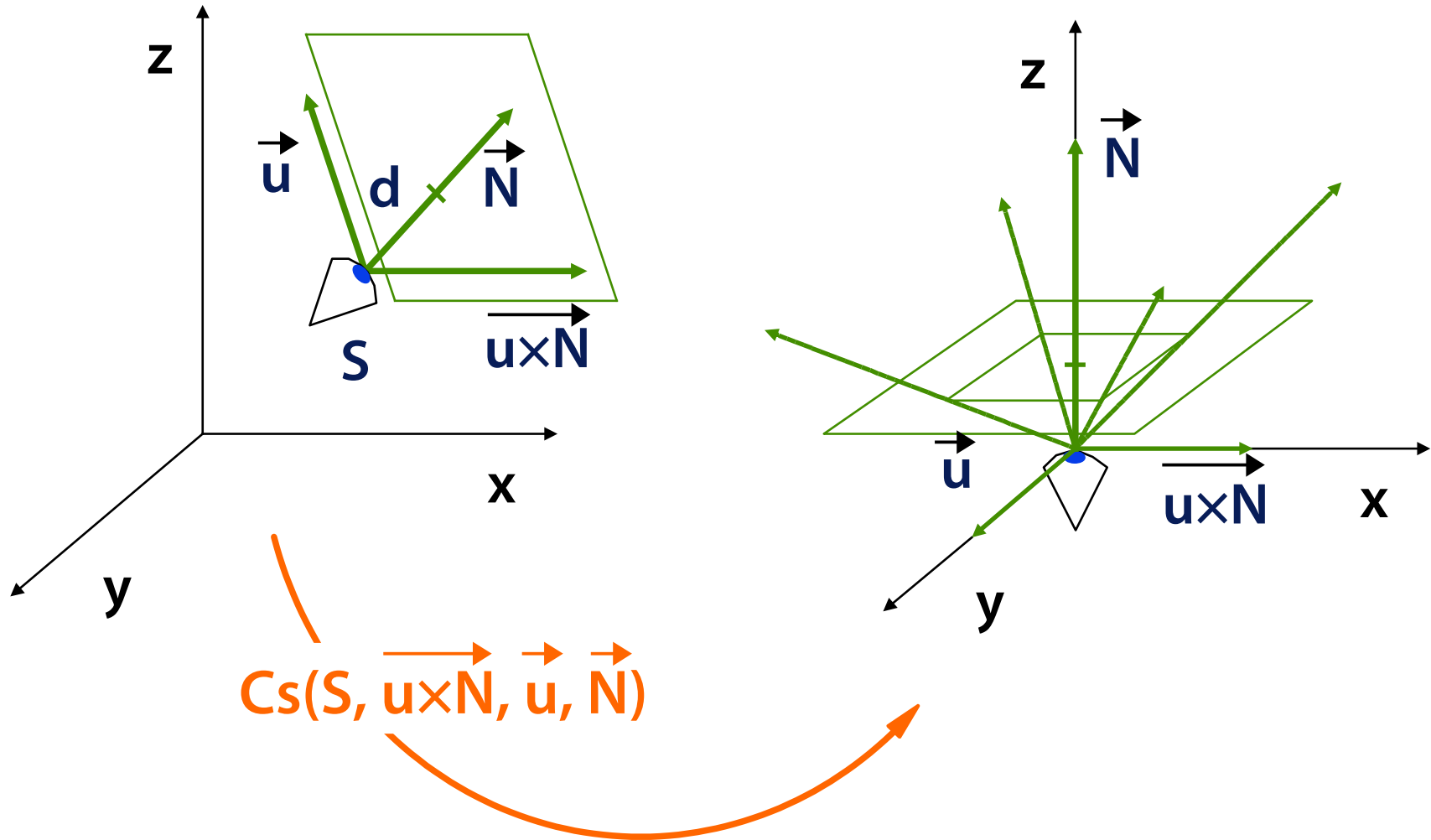
- střed projekce: S
- směr pohledu (normálový vektor průmětny): \vec{N}
- vzdálenost průmětny od středu projekce: d
- svislý vektor: \vec{u}

Promítací transformace

- převedení do **základní polohy** (střed projekce do počátku, směr pohledu do osy z): $C_s(S, \vec{u} \times \vec{N}, \vec{u}, \vec{N})$
- **perspektivní projekce**: např. $[x \cdot d/z, y \cdot d/z, z]$

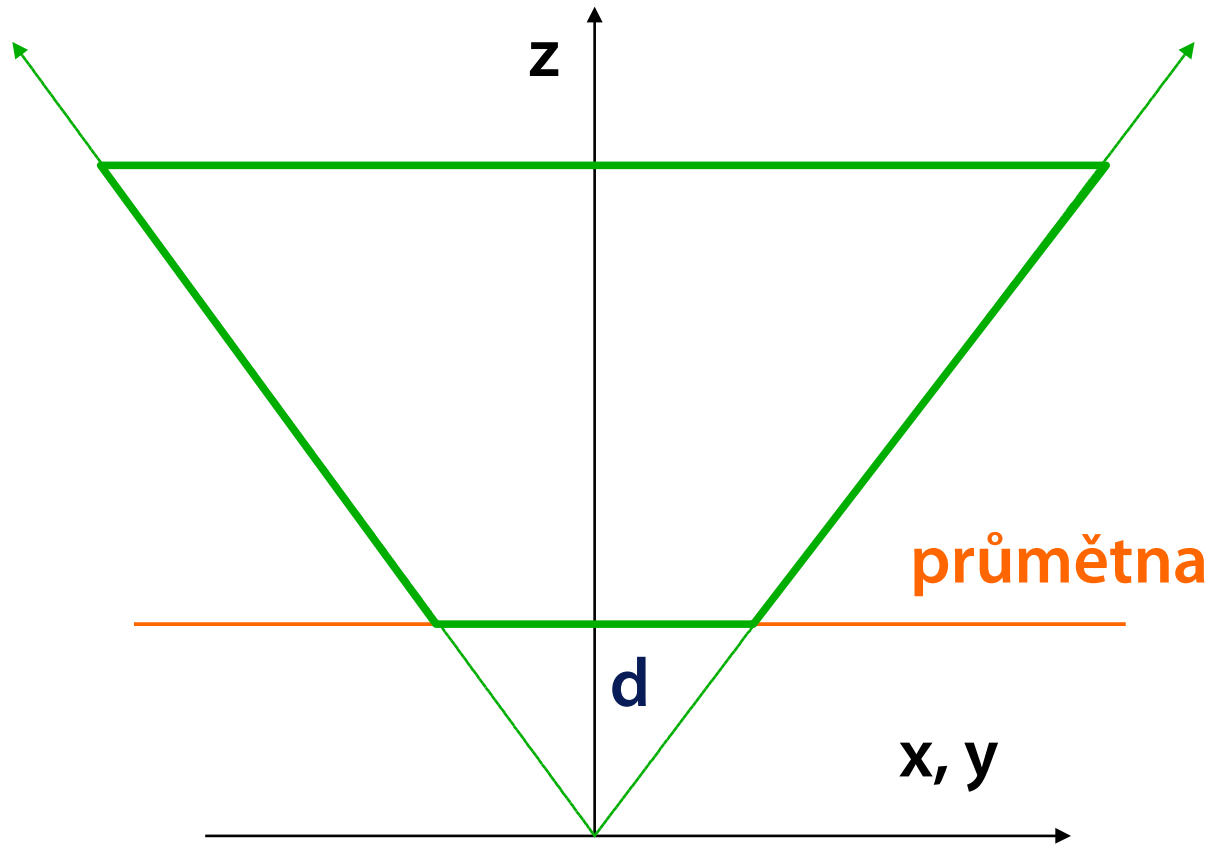


Převedení do základní polohy





Perspektivní transformace



Nezachovává
linearitu útvarů!

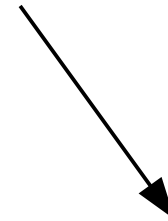
$$\begin{bmatrix} 1 & 0 & 0 & 0 \\ 0 & 1 & 0 & 0 \\ 0 & 0 & 1 & 1/d \\ 0 & 0 & 0 & 0 \end{bmatrix}$$



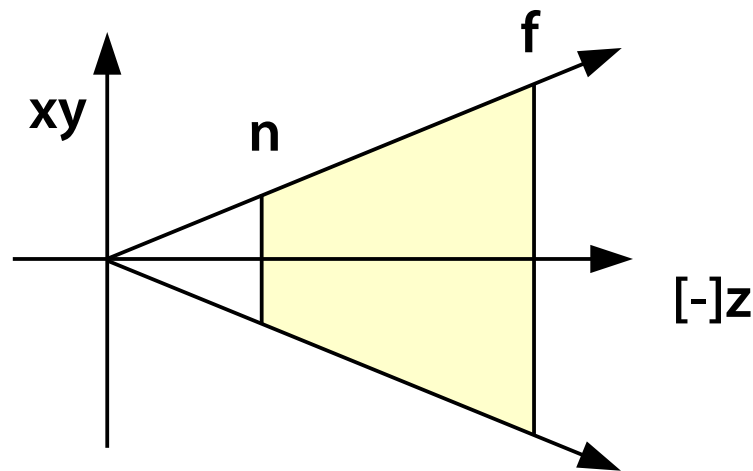
Perspektivní projekce na GPU

Vzdálený bod f může být i nekonečno

$$\begin{bmatrix} \frac{2n}{r-l} & 0 & 0 & 0 \\ 0 & \frac{2n}{t-b} & 0 & 0 \\ -\frac{r+l}{r-l} & -\frac{t+b}{t-b} & \frac{f+n}{f-n} & 1 \\ 0 & 0 & -\frac{2fn}{f-n} & 0 \end{bmatrix}$$



$$\begin{bmatrix} \frac{2n}{r-l} & 0 & 0 & 0 \\ 0 & \frac{2n}{t-b} & 0 & 0 \\ -\frac{r+l}{r-l} & -\frac{t+b}{t-b} & 1 & 1 \\ 0 & 0 & -2n & 0 \end{bmatrix}$$





Transformace lineárních útvarů

Perspektivní transformace úsečky Per

- je zřejmé, že **neplatí** rovnost

$$\text{Per}(A + t \cdot [B - A]) = \text{Per}(A) + t \cdot [\text{Per}(B) - \text{Per}(A)]$$

Použití **diferenčních algoritmů (DDA)** při výpočtu viditelnosti

- mějme bod $C(u)$ na úsečce $\text{Per}(A)\text{Per}(B)$

$$C(u)_{x,y} = \text{Per}(A)_{x,y} + u \cdot [\text{Per}(B)_{x,y} - \text{Per}(A)_{x,y}]$$

- potřebujeme, aby i pro hloubku z platilo

$$C(u)_z = \text{Per}(A)_z + u \cdot [\text{Per}(B)_z - \text{Per}(A)_z]$$



Interpolation in the screen space

Concerns **clip-space** and next spaces

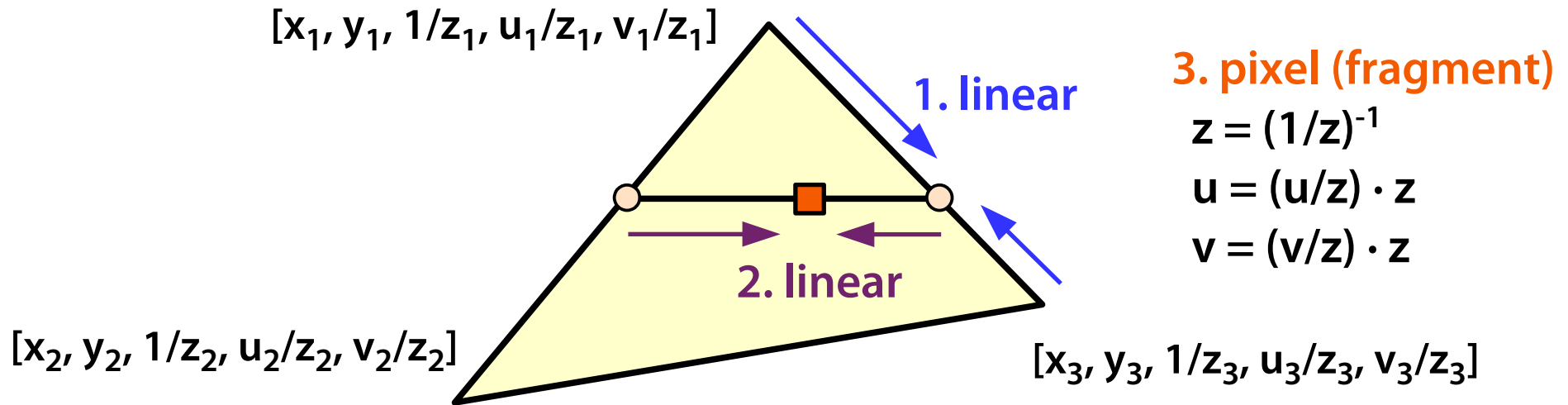
- clip space: $[x, y, z, w]$
- NDS: $[x/w, y/w, z/w, w]$ (“w” could be preserved)
- window space (fragments): $[x_i, y_i, z_i, w]$

Projective perspective transformation maps depth z to NDS **non-linearly!**

- **nonuniform accuracy** of z-buffer (distant parts could be less accurate: minimization of f/n ratio!)
 - + **interpolation of depth $1/z$** can be done in the screen space **linearly**
- „**W-buffer**“ instead of „z-buffer“ (not frequently used)



Perspective-correct interpolation

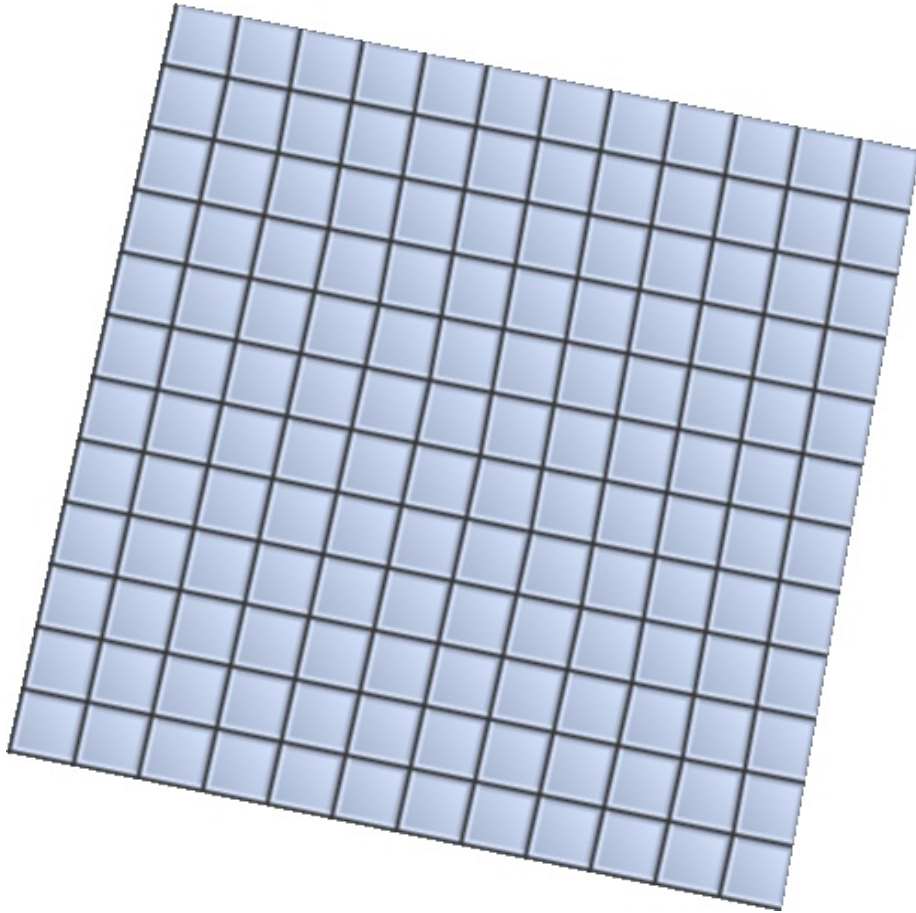


Linear interpolation + division (hyperbolic interpolation)

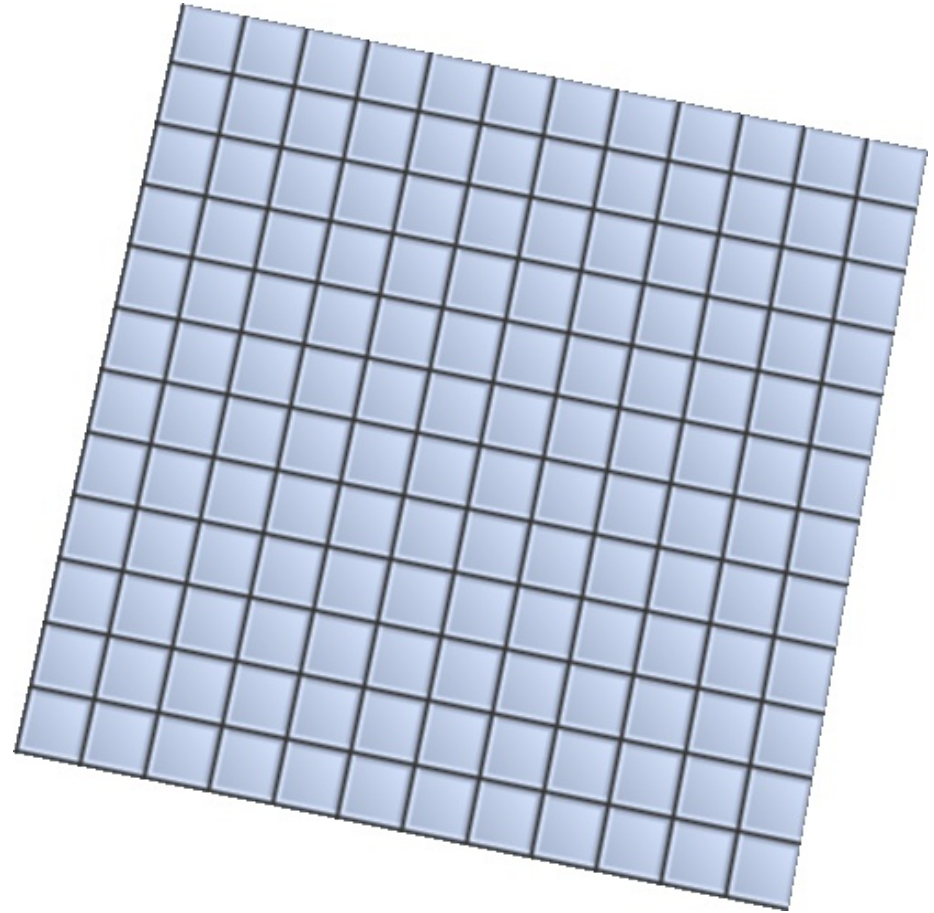
- reciprocal depth “ $1/z$ ” can be interpolated linearly
- for additional attributes (**texture coordinates**) perspective-correct adjustment must be used
- quantities “ $1/z$ ”, “ u/z ”, “ v/z ” ... are linearly interpolated, $[u, v]$ is then computed by division



Interpolation example I



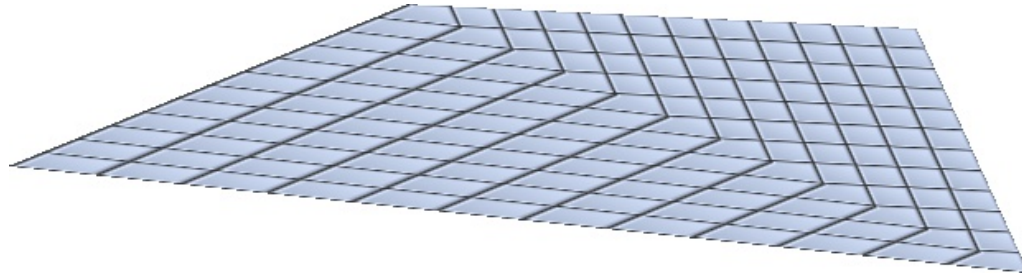
Affine



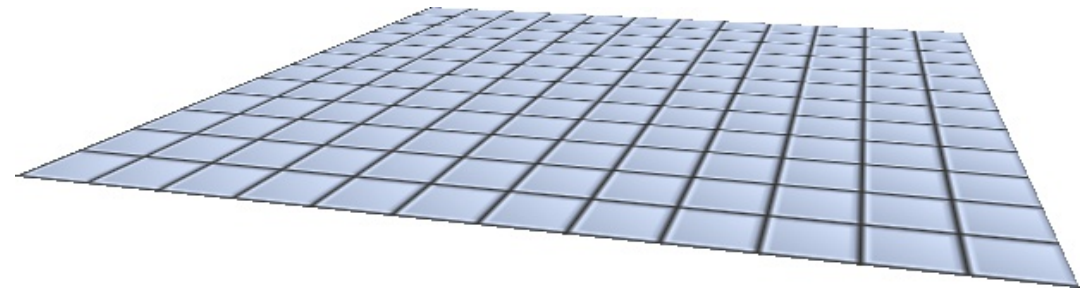
Correct



Interpolation example II



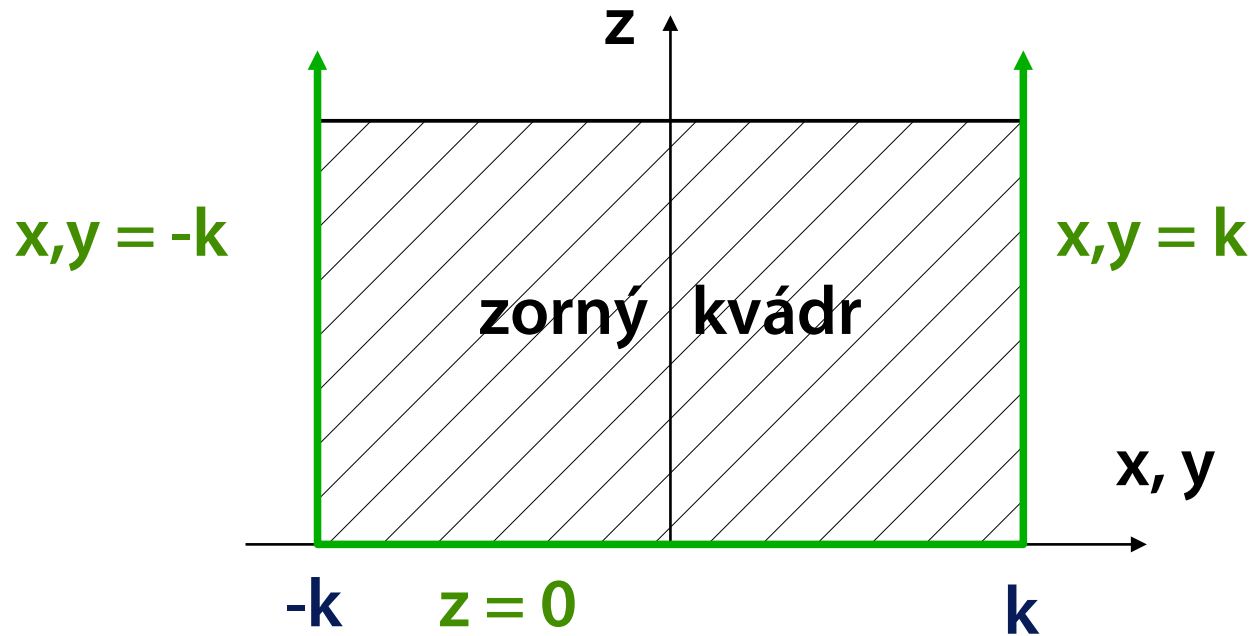
Affine



Correct



4D ořezávání



Hraniční nadroviny

$$x = -kw, x = kw, y = -kw, y = kw, z = 0$$

$$\text{pro } w > 0: -kw < x < kw, -kw < y < kw, 0 < z$$



Literatura

J. Foley, A. van Dam, S. Feiner, J. Hughes: *Computer Graphics, Principles and Practice*, 229-283

Jiří Žára a kol.: *Počítačová grafika, principy a algoritmy*, 277-291

Kok-Lim Low: *Perspective-Correct Interpolation* (report, proof), University of North Carolina at Chapel Hill, 2002

Reprezentace 3D scén

© 1995-2019 Josef Pelikán
CGG MFF UK Praha

pepca@cgg.mff.cuni.cz
<https://cgg.mff.cuni.cz/~pepca/>



Metody reprezentace 3D scén

Objemové reprezentace

- přímé informace o vnitřních objemech těles
- snadný test „**bod×těleso**“ (leží daný bod uvnitř tělesa?)
- **zobrazování** může být obtížnější
- používají se též jako **pomocné datové struktury** pro rychlé vyhledávání

Povrchové reprezentace

- přímé informace o povrchu těles (hrany, stěny)
- obtížnější test „**bod×těleso**“ (tělesa vůbec nemusí mít vnitřní objem)
- poměrně snadné **zobrazování**



Objemové reprezentace

Výčtové reprezentace

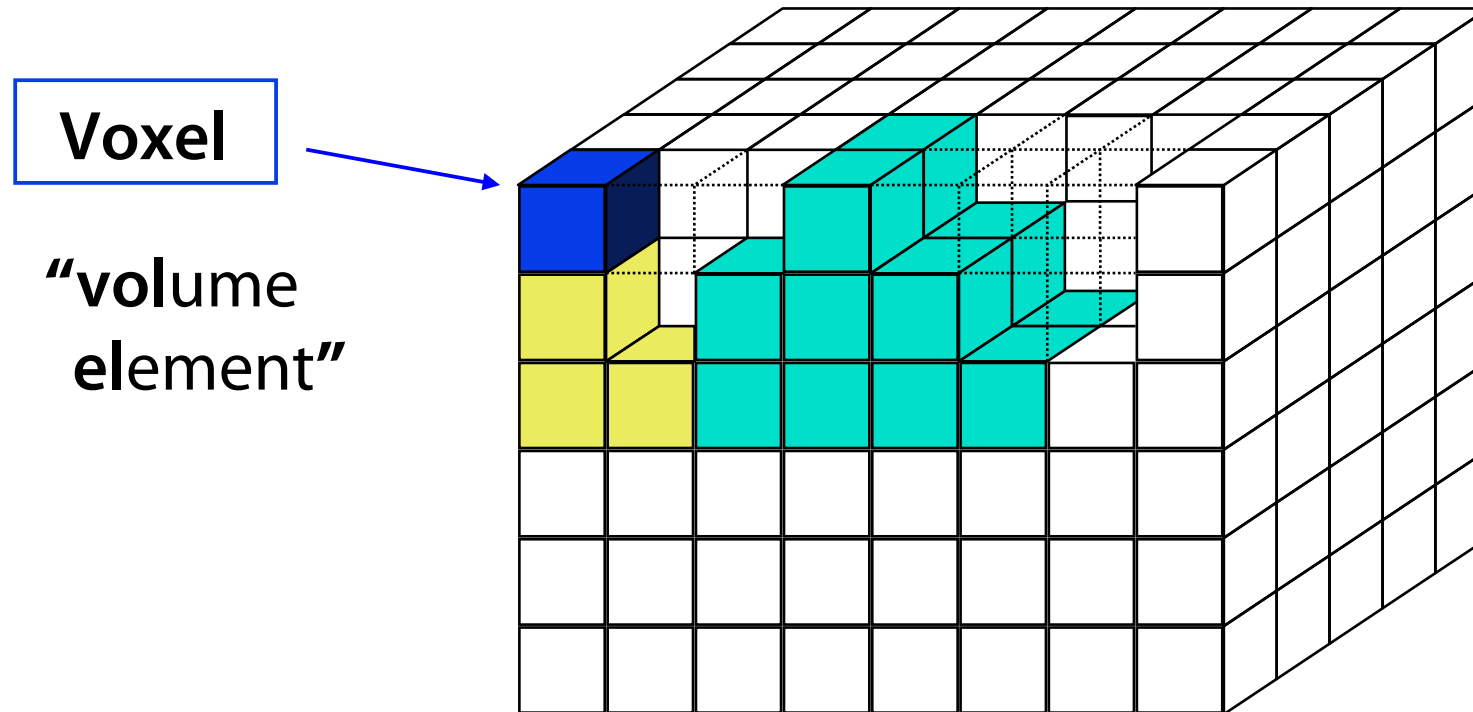
- přímé vyčíslení obsazeného prostoru (diskrétní reprezentace – omezená přesnost)
- používají se hlavně jako pomocné datové struktury pro rychlé vyhledávání
- **buněčný model, oktantový strom**

CSG (Constructive Solid Geometry)

- velice silná a přesná metoda (elementární tělesa, geometrické transformace, **množinové operace**)
- obtížnější **zobrazování** (vrhání paprsku)



Buněčný model



Pole $k \times l \times m$ voxelů

Jednabitová varianta: 0 – nic, 1 – těleso

Vícebitová varianta: 0 – nic, $n > 0$ – těleso číslo n



Zobrazování buněčného modelu

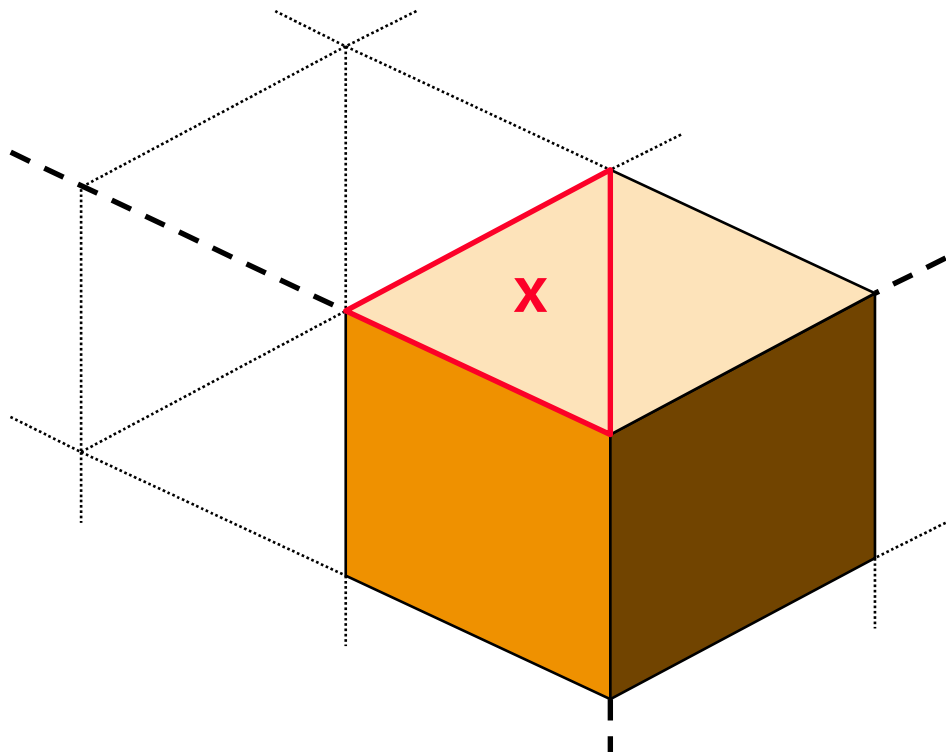
Kreslení odzadu-dopředu

- pouze přivrácené stěny voxelů
- pouze stěny na povrchu těles (stěny mezi 0 a >0)
- vícenásobné překreslování

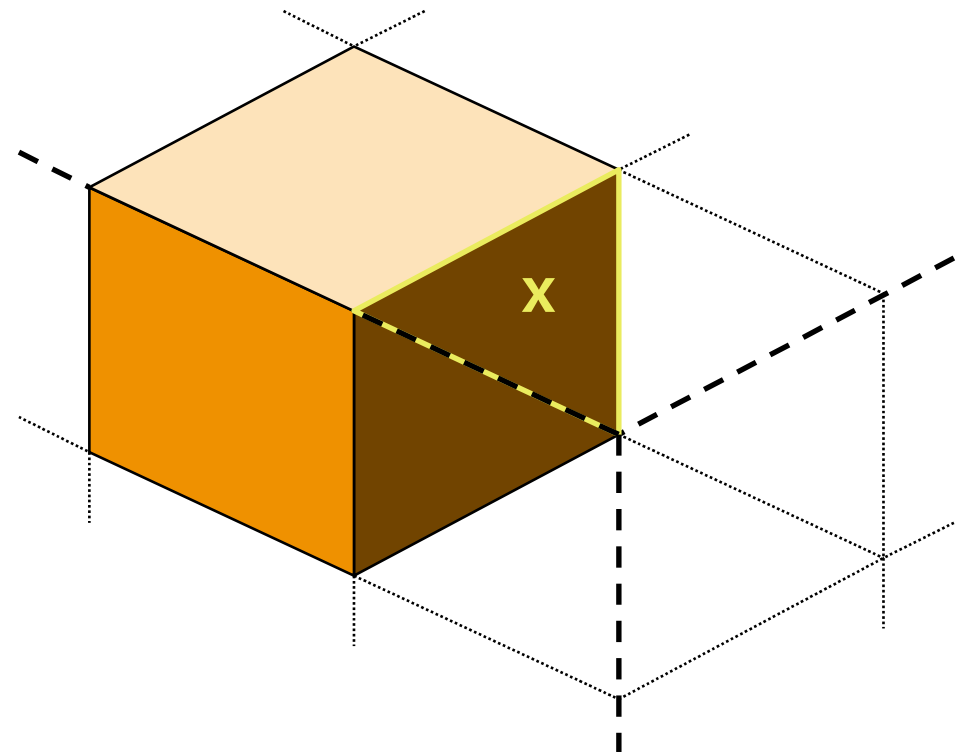
Speciální promítání

- velmi efektivní algoritmus bez zbytečného překreslování
- „**Ant-attack**“ na ZX-Spectru (128×128×8 voxelů)

Speciální promítání

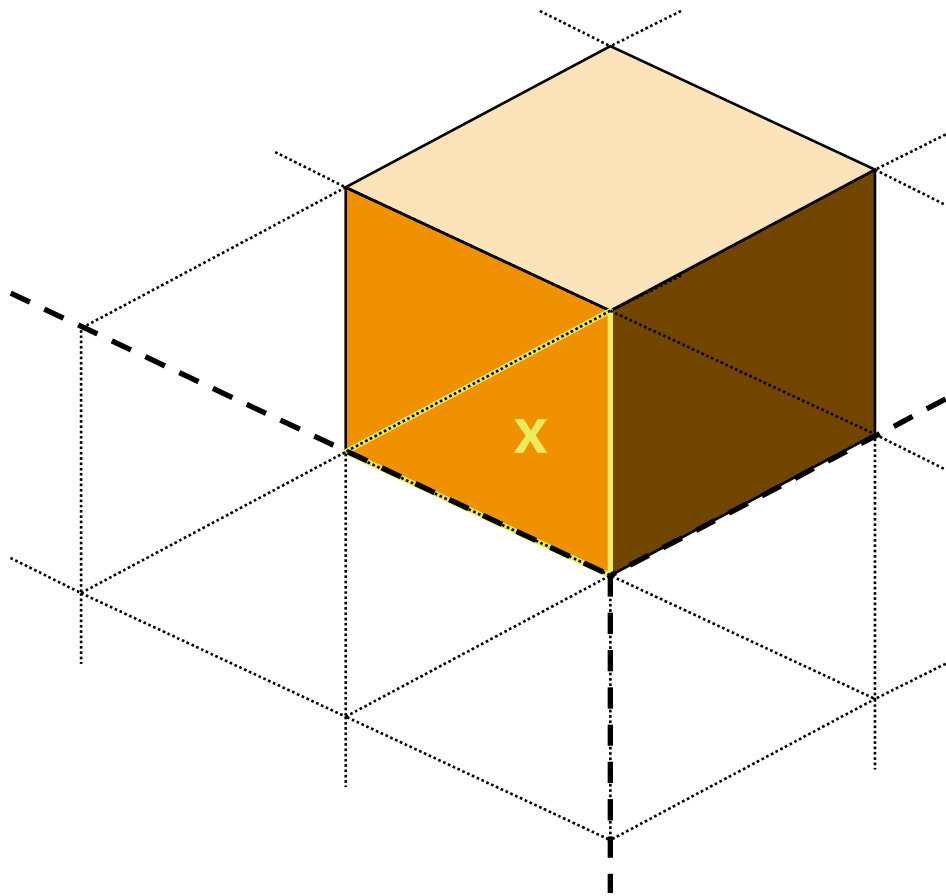


1. horní stěna
[0,0,0]

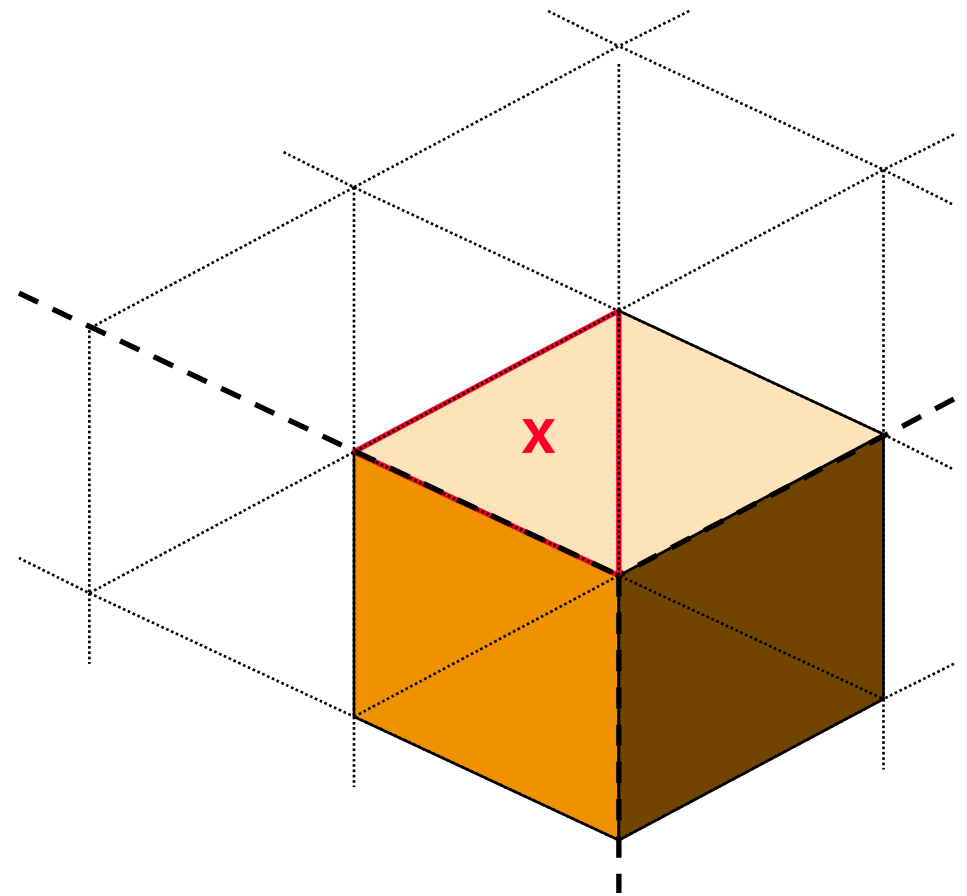


2. pravá stěna
[0,1,0]

Speciální promítání II

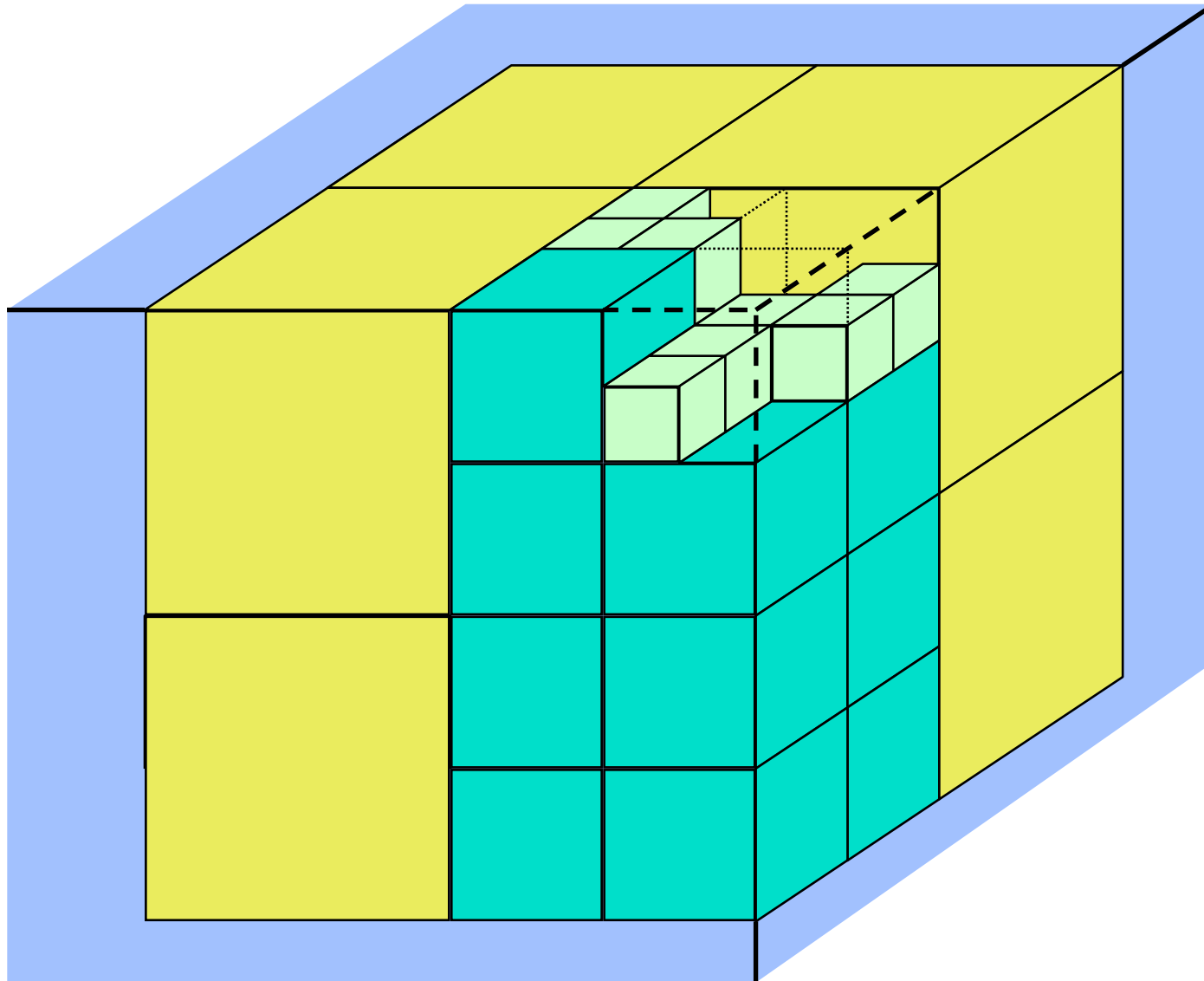


3. levá stěna
 $[1,1,0]$



4. horní stěna
 $[1,1,1]$

Oktantový strom („Octree“)





Oktantový strom

3D analogie kvadrantového stromu

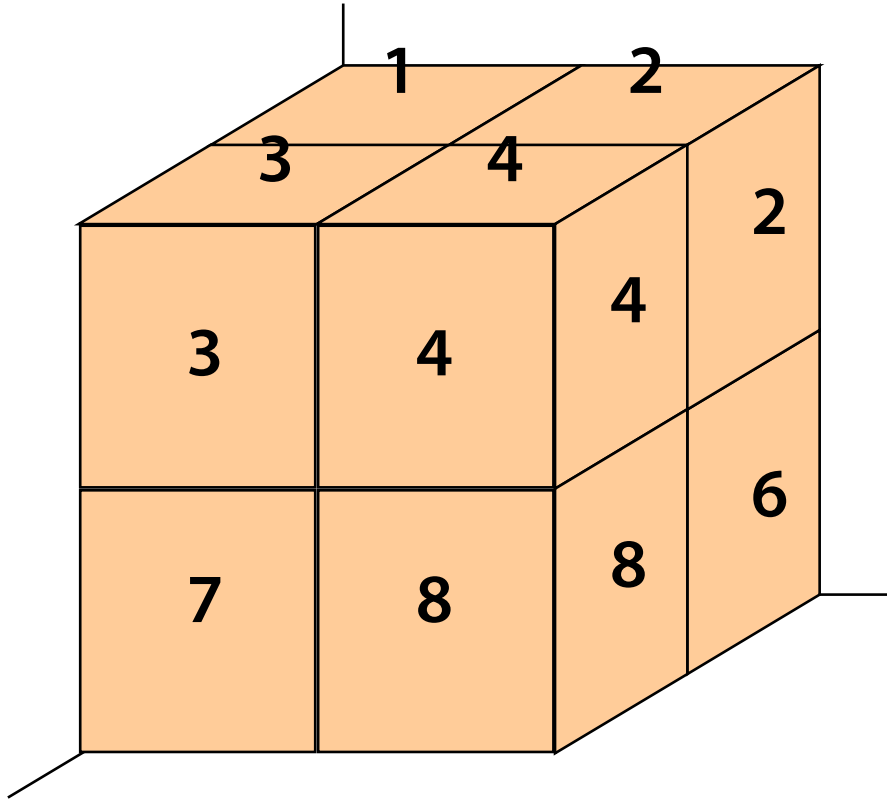
- je-li vnitřek krychle nehomogenní, rozdělí se na osm částí (dělí se až do úrovně voxelu)
- úspora paměti proti buněčnému modelu

Kreslení odzadu-dopředu

- pouze přivrácené stěny krychlí
- pouze stěny na povrchu těles (stěny mezi 0 a >0)
- několikanásobné překreslování některých pixelů

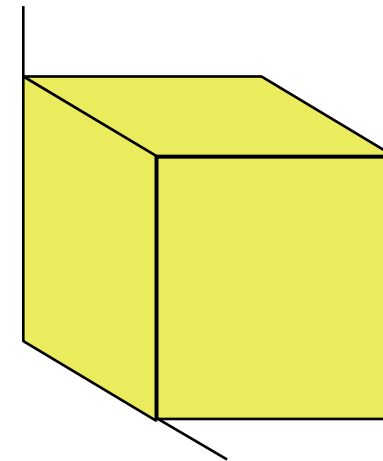


Kreslení odzadu-dopředu



Pořadí

5-6-1-2-7-8-3-4



Pořadí

6-5-2-1-8-7-4-3

CSG (Constructive Solid Geometry)



Elementární geometrická tělesa

- snadno definovatelná a vyčíslitelná
- kvádr, poloprostor, hranol, koule, válec, kužel...

Množinové operace

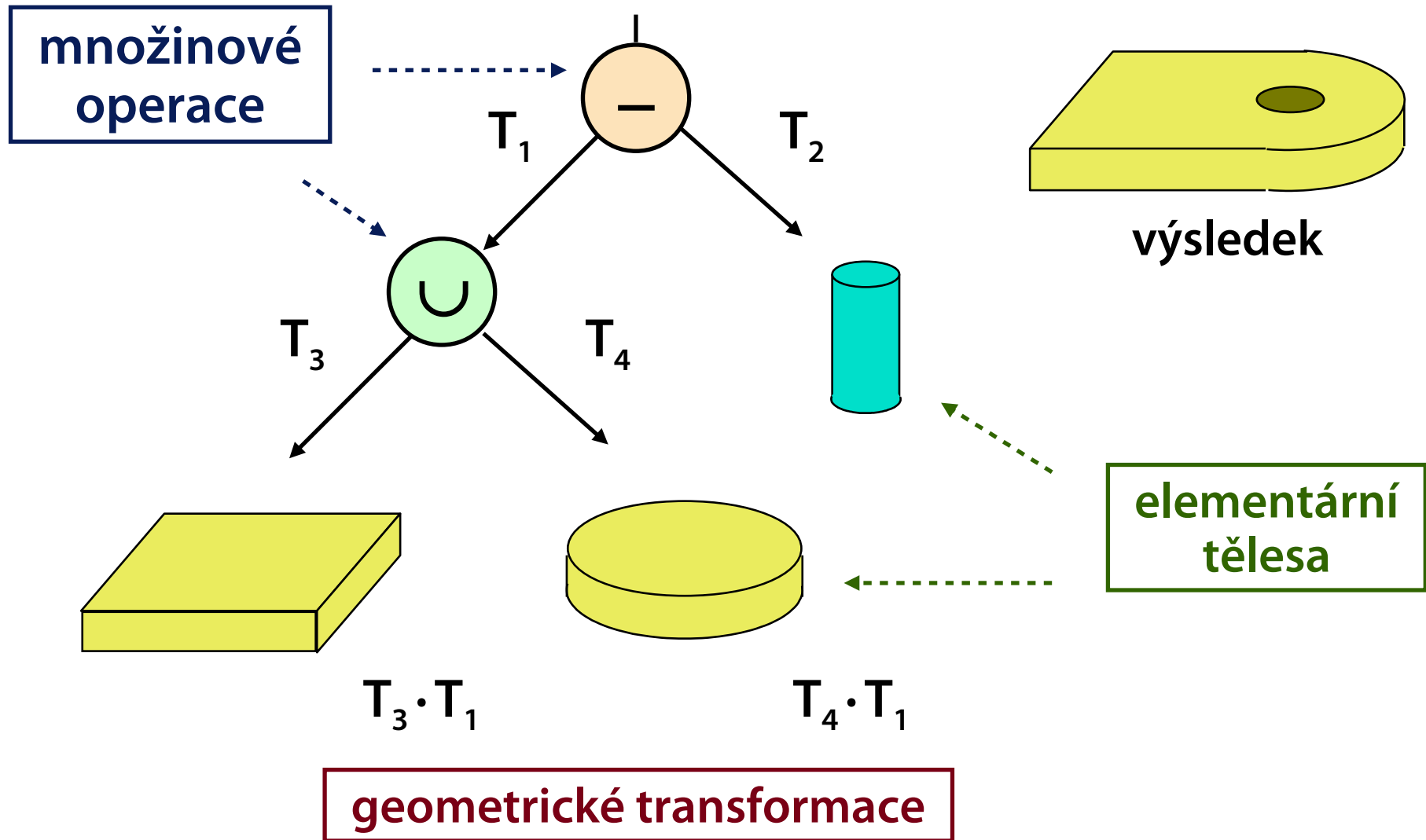
- kompozice složitějších těles z elementárních
- sjednocení, průnik, rozdíl...

Geometrické transformace

- modifikace elementárních i složitějších těles
- homogenní maticové transformace



CSG strom





Transformace v CSG stromu

Význam (sémantika) transformace T_i

- T_i mohou být uloženy v každé hraně CSG stromu
- převod souřadnic ze soustavy podtělesa (podstromu, elementárního tělesa) do soustavy nadtělesa
- „podtěleso transformuji pomocí T_i před tím, než ho přidám do nadtělesa“

Snadná transformace libovolného podstromu

- změním pouze jednu matici

Inverzní transformace T_i^{-1}

- pro vyčíslovací algoritmy (test „bod×CSG“, zobrazení)



Transformace v CSG stromu

Uložení transformací jen v listech

- kumulované součiny (např. $T_3 \cdot T_2 \cdot T_1$ nebo inverzní $T_1^{-1} \cdot T_2^{-1} \cdot T_3^{-1}$)
- urychlení vyčíslovacích algoritmů (pro editaci je výhodnější distribuované uložení transformací)

Úsporné uložení elementárních těles

- tělesa jsou uložena v **normovaném tvaru**, všechny změny se provádí geometrickými transformacemi
 - » krychle (jednotková, vrchol v počátku)
 - » koule (jednotková, střed v počátku)
 - » válec (vodorovná podstava – jednotkový kruh, svislá osa, výška 1)
 - » ...



Test „bod \times CSG strom“

Leží daný bod A uvnitř tělesa?

- někdy chceme zjistit i podtělesa obsahující bod A

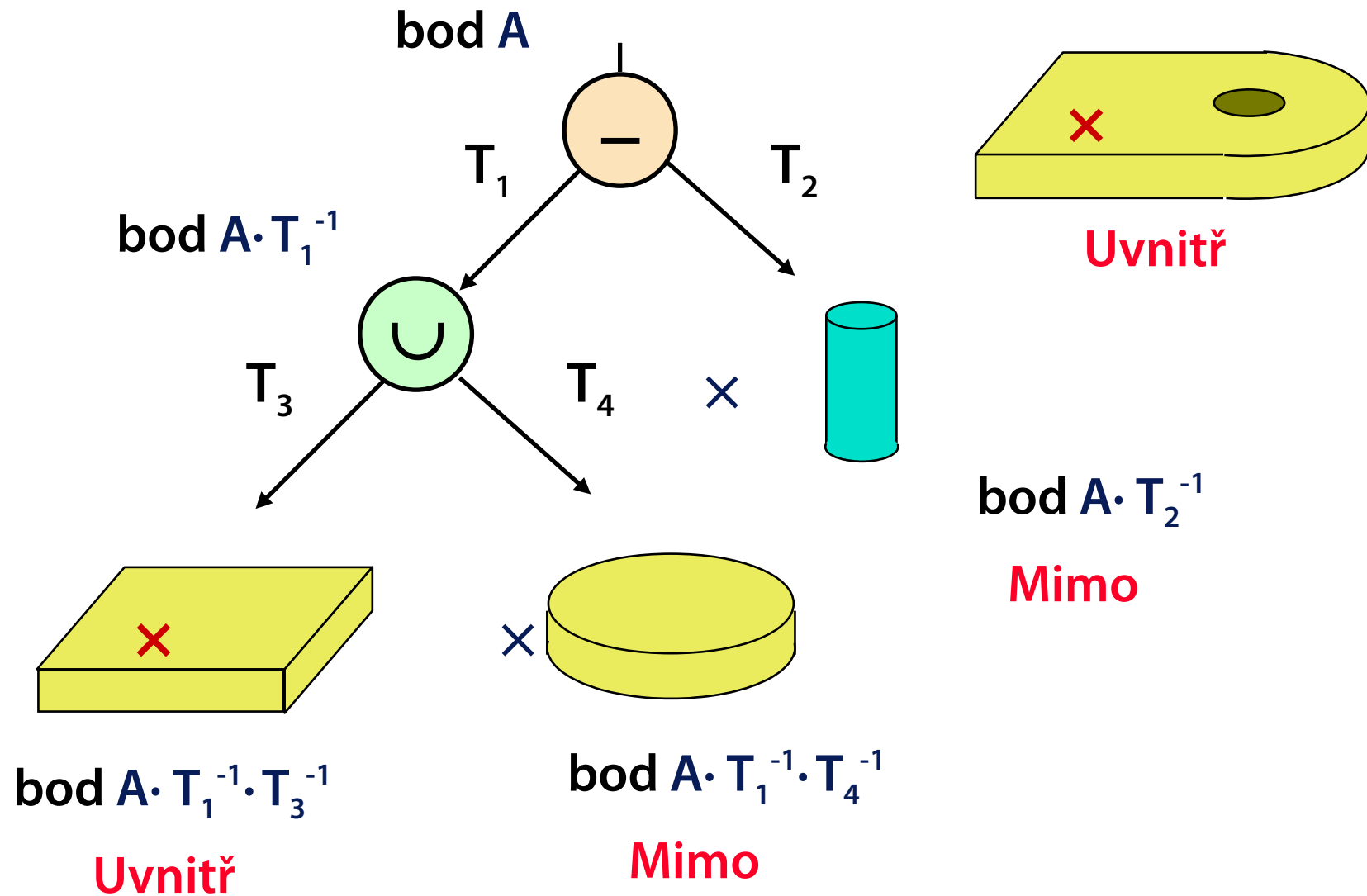
Testy „bod \times elementární těleso“ jsou snadné!
(především pro normované tvary těles)

Průchod CSG stromem

- souřadnice bodu A se převádějí do souřadných soustav elementárních těles (inverzní transformace)
- místo množinových operací se provádějí jejich **boolovské ekvivalenty** (\vee místo \cup , \wedge místo \cap ...)



Test „bod \times CSG strom“





Zobrazování CSG reprezentace

Převedení do povrchové reprezentace

- pro každý druh **elementárního tělesa**: rutina převádějící těleso na **mnohostěn**
- **množinové operace nad mnohostěny** (omezená přesnost – výsledek nemusí být správně ani v topologickém smyslu)

Vrhání paprsku („Ray-casting“)

- přesné zobrazování v **rastrovém prostředí** (pixelová přesnost)
- výpočetně **náročnější metoda**



Povrchové reprezentace

„Drátový model“

- pseudo-povrchová reprezentace
- pouze **vrcholy** a **hrany** těles (nelze použít pro výpočet viditelnosti)

VHS(T) reprezentace

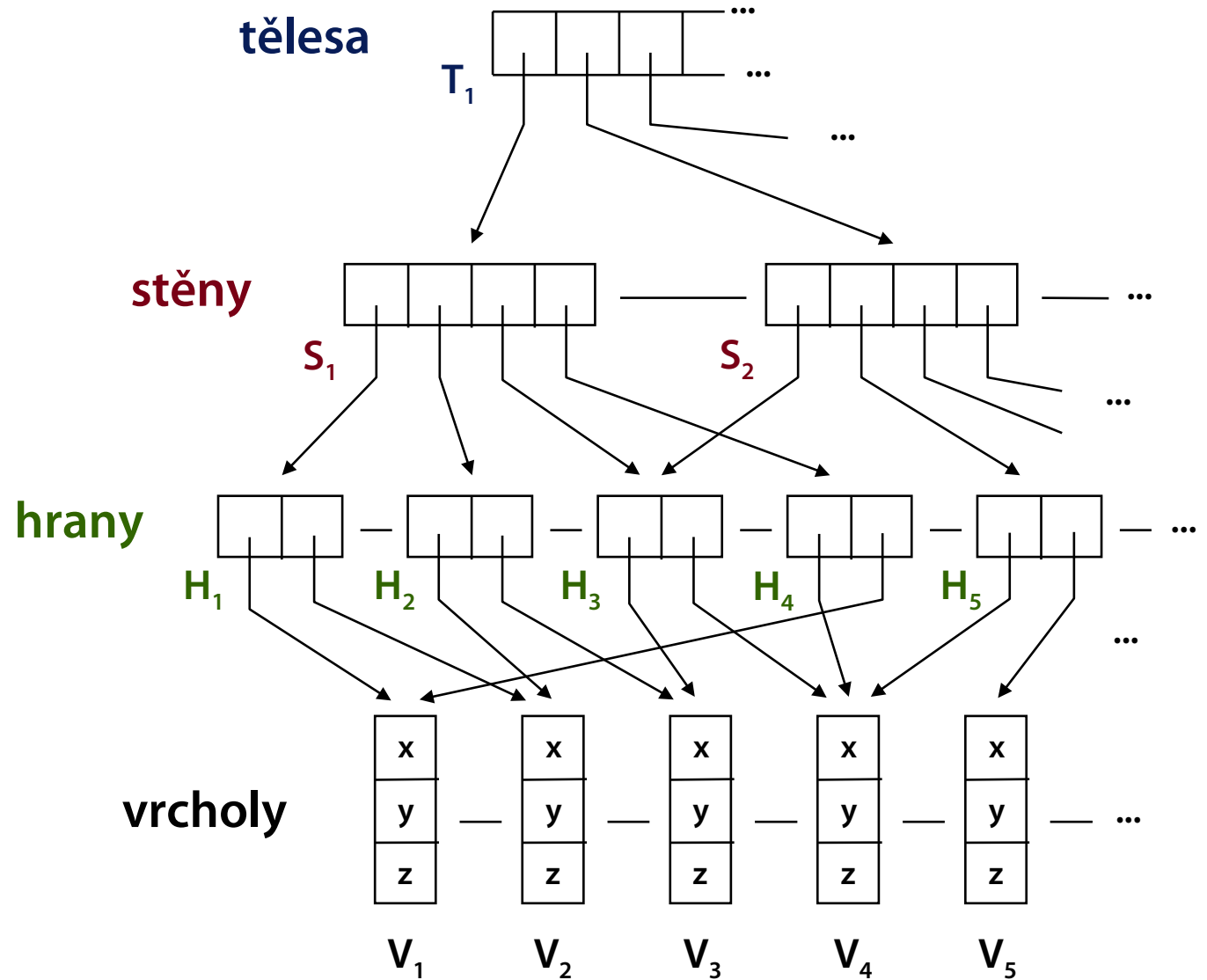
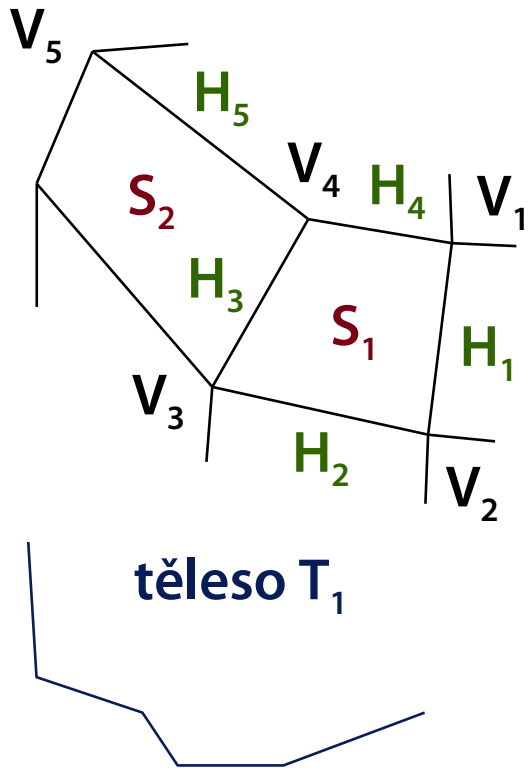
- kompletní topologická informace: seznamy **vrcholů**, **hran**, **stěn** (a **těles**)

„Okřídlená hrana“ („winged-edge“)

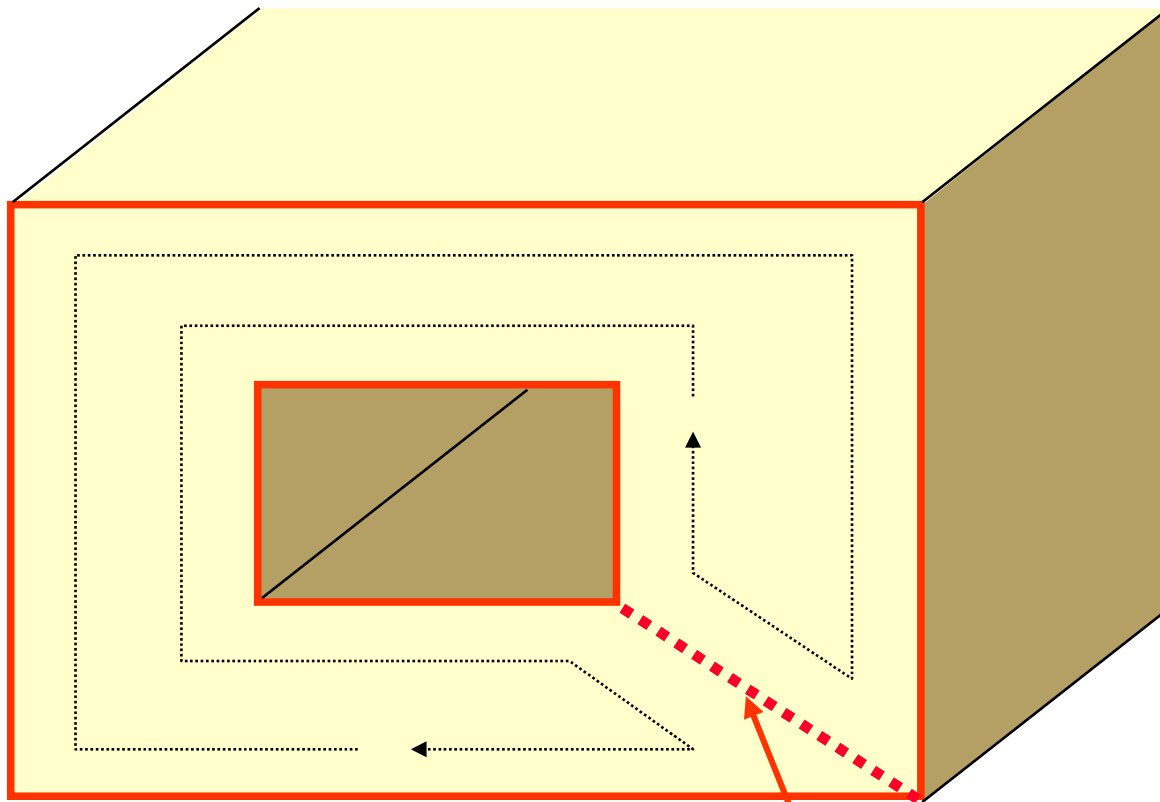
- redundantní informace pro **rychlé vyhledávání** sousedních objektů (hrany incidentní s vrcholem...)



Povrchová reprezentace VHST



„Děravá“ stěna

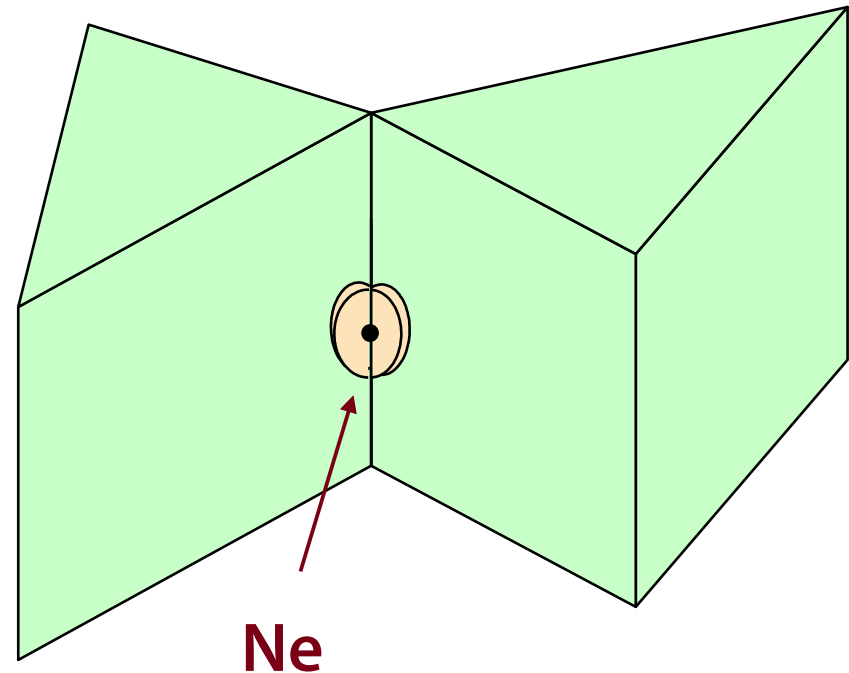
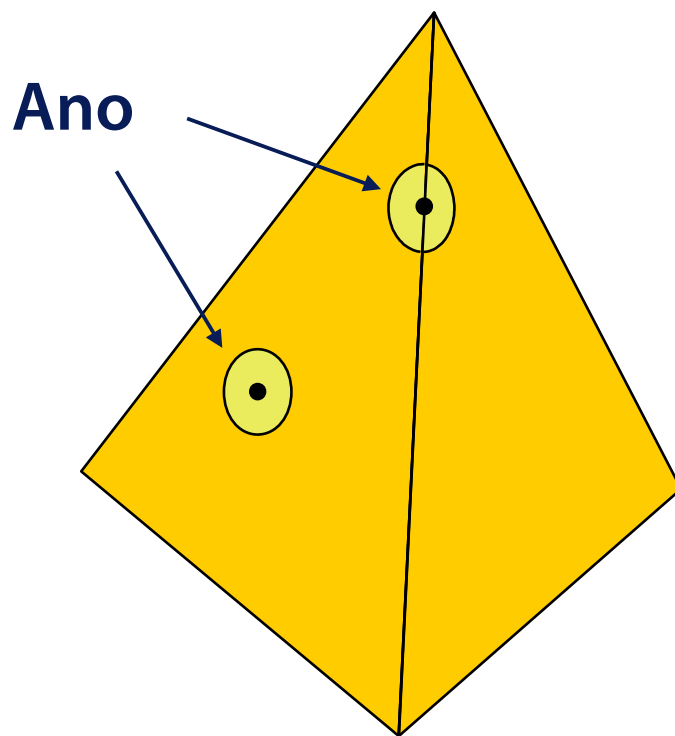


umělá hrana
(nevykresluje se)



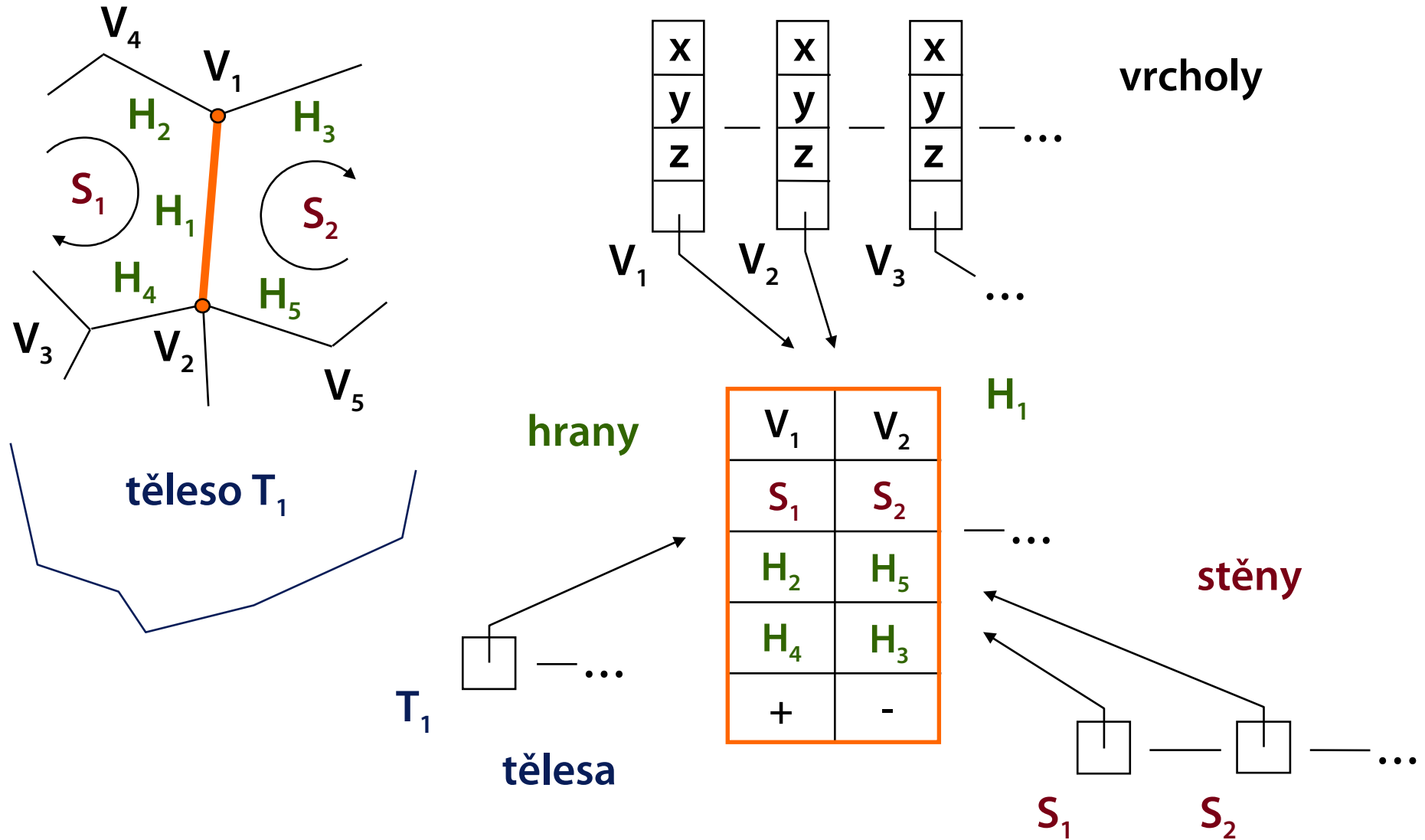
„2-manifold“ (manifold, varieta dim=2)

Def: Pro každý povrchový bod existuje okolí, které je topologicky ekvivalentní s rovinou





Okřídlená hrana („winged-edge“)





Další informace v databázi

Vrchol (vertex, V)

- barva, texturové souřadnice
- normálový vektor (stínování hladké plochy)

Hrana (edge, E)

- příznak umělé hrany (pro reprezentaci děravých stěn)

Stěna (face, F)

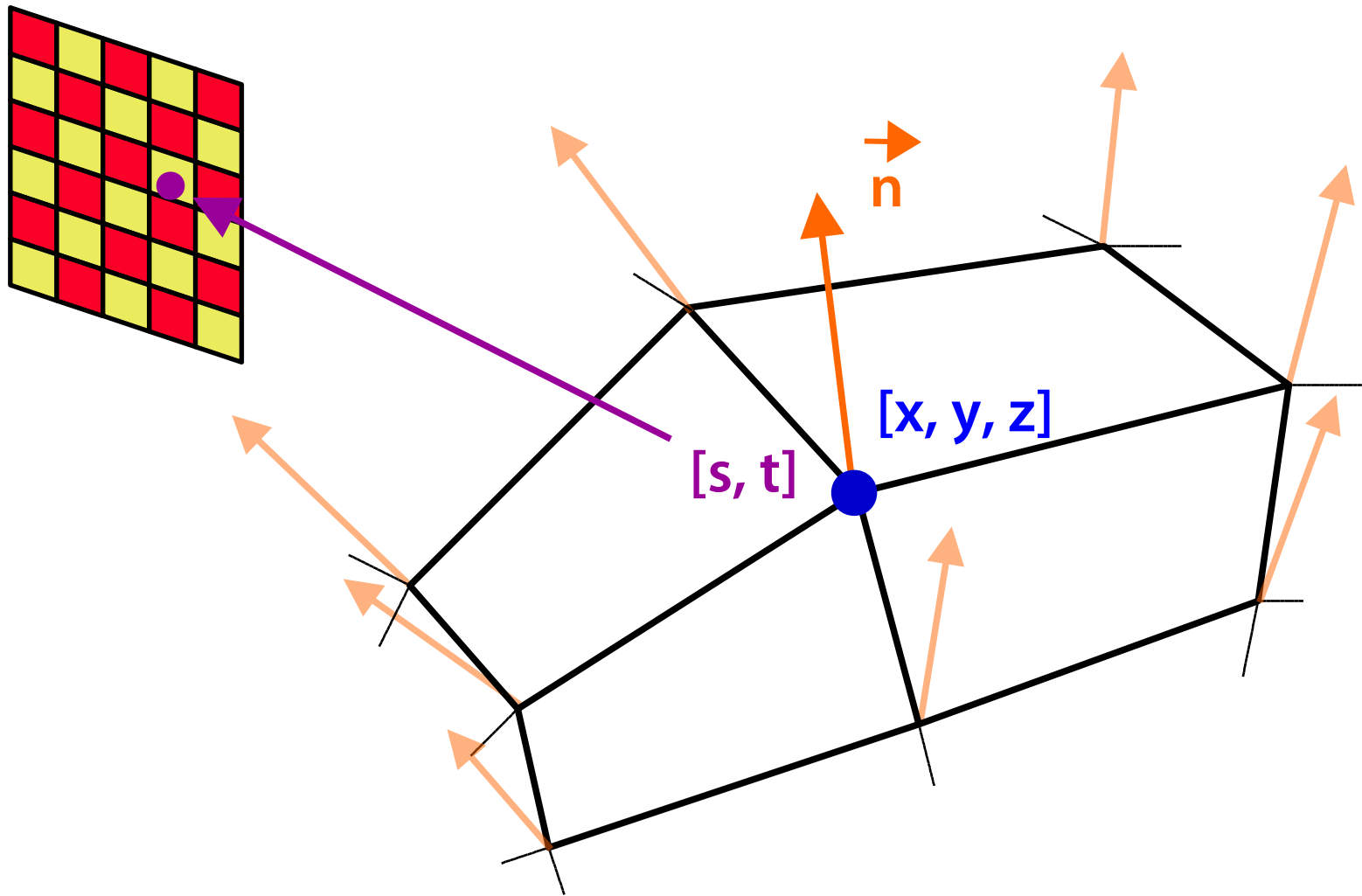
- barva, materiál, textura
- normálový vektor (stínování, přivrácená/odvrácená)

Těleso (solid, S)

- barva, materiál, textura



Data ve vrcholu





Data ve vrcholu

Souřadnice

- $[x, y, z]$ nebo $[x, y, z, w]$

Normálový vektor

- pro stínování (později), může být interpolován

Barva

- explicitní barva povrchu, může být interpolována

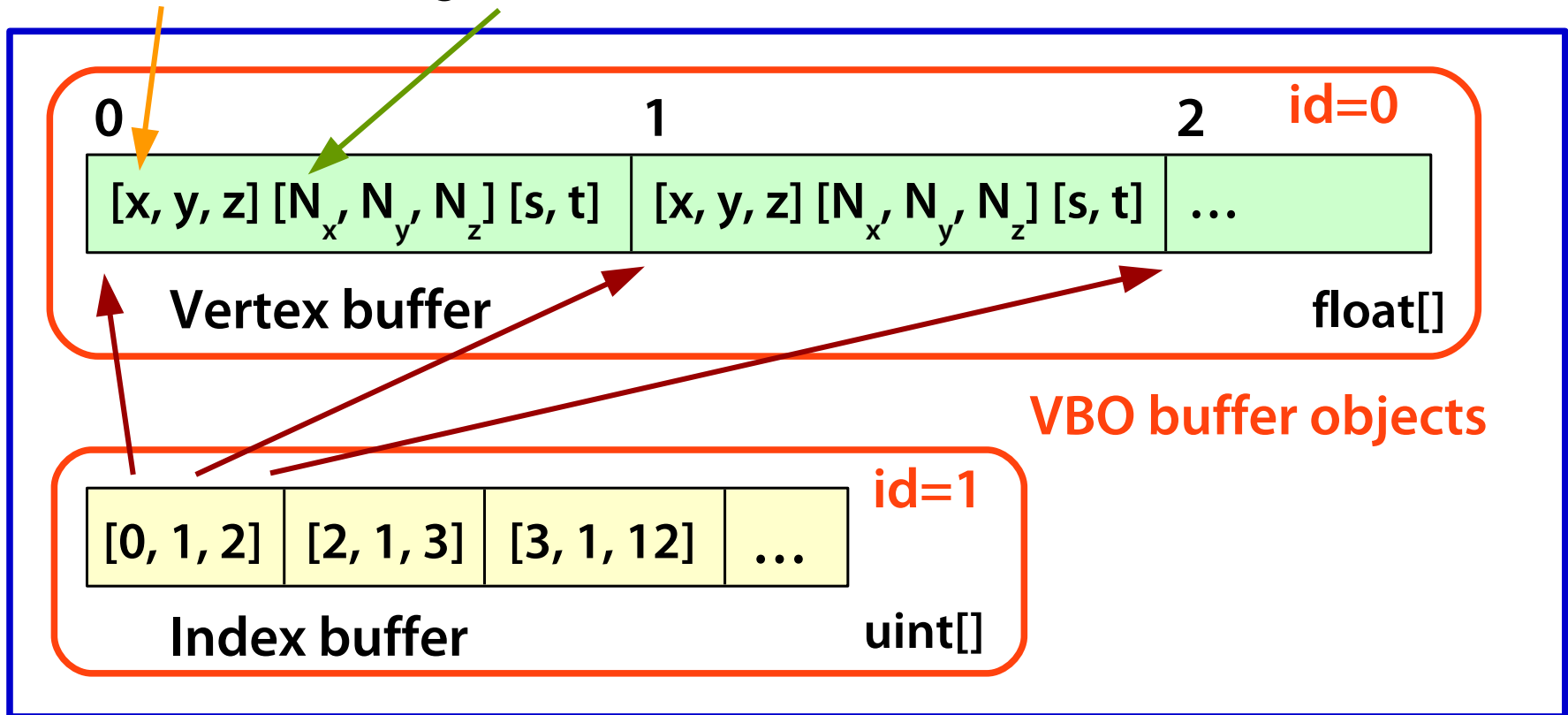
Texturové souřadnice

- nejčastěji 2D souřadnice – $[s, t]$ nebo $[u, v]$
 - » normalizovaný prostor textury $[0, 1]^2$
- automaticky se při kreslení interpolují do pixelů



Vertex Buffer Objects (Buffers)

```
glBindBuffer(GL_ARRAY_BUFFER, 0);  
glVertexPointer(...); glNormalPointer(...); ...
```



```
glBindBuffer(GL_ELEMENT_ARRAY_BUFFER, 1);  
glDrawElements(GL_TRIANGLES, ...);
```

GPU memory



„Corner Table“ (trojúhelníky)

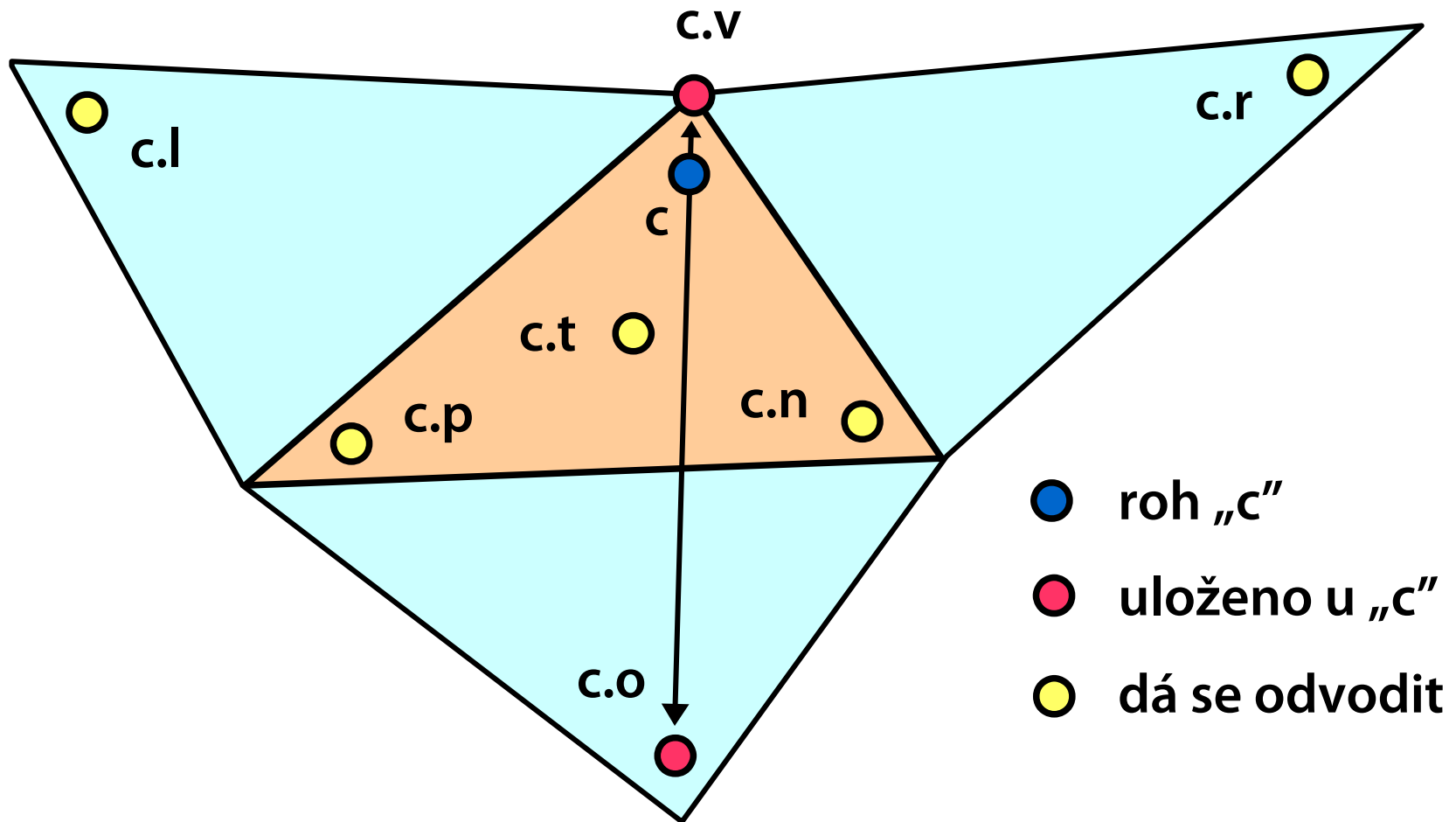
Tabulka vrcholů $G[v]$

- souřadnice, normála, barva, texturové souřadnice...

Tabulka rohů $V[c]$

- jeden vnitřní roh trojúhelníka
- index vrcholu („**c.v**“)
- rohy jsou uloženy za sebou v 1D poli, CW orientace stěn
- protější roh protějšího trojúhelníka („**c.o**“)
- implicitní údaje, navigace
 - » číslo trojúhelníka $t = c \text{ div } 3$
 - » ostatní rohy $c.n = (c \bmod 3 == 2) ? c-2 : c+1, c.p = c.n.n$
 - » další sousední trojúhelníky $c.l = c.n.o, c.r = c.p.o$

„Corner Table“





„Corner Table“ – kódování

Tabulka „o“ se nemusí přenášet

- lze ji jednoznačně rekonstruovat z „v“

Hodnoty indexů „v“ se mohou bitově ořezat

- index vrcholu obsahuje $31 - \log_2 v$ úvodních nul

Ořezání souřadnic

- obalový kvádr celého objektu, uvnitř se používají relativní souřadnice (10 až 16 bitů na složku)
- predikce polohy vrcholů – při inkrementálním průchodu daty (např. „Edgebreaker“) – další úspory



„Edgebreaker“ (Rossignac 1999)

Úsporné kódování tri-mesh pomocí inkrementálního průchodu sítí

- **pozice vrcholů** se komprimují za pomoci predikce (až 7 bpv)
- **topologie sítě** se ukládá velice úsporně na základě průchodu (1.0 až 1.8 bpv)

„CLERS“ kód

- **pět možností**, jak pokračovat z aktuálního trojúhelníka
- velký potenciál entropické komprese (některé kroky/posloupnosti jsou mnohem pravděpodobnější)



Eulerovy zákony

Pro jednoduchý polyedr (bez děr) platí vzorec

$$V - H + S = 2$$

V – počet vrcholů, H – počet hran, S – počet stěn

Zobecněný vzorec (dovoluje díry)

$$V - H + S - D = 2 (T - G)$$

D – počet děr ve stěnách, T – počet těles, G – počet děr procházejících celým tělesem (Genus)



Eulerovy operátory

Konstrukce 2-manifoldsu po krocích

- v každém kroku je zajištěna platnost Eulerových vzorců (těleso je topologicky korektní)
- ke každému operátoru existuje inverzní (snadná implementace příkazu „Undo“)

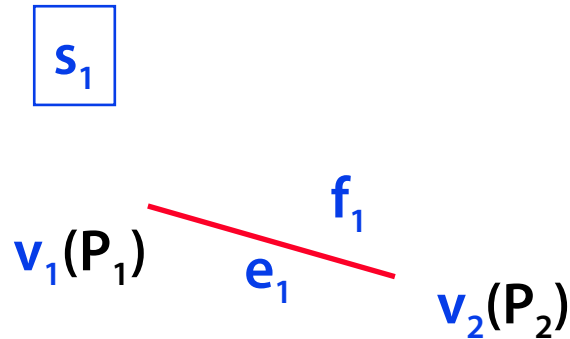
Příklady Eulerových operátorů

- **Msfevv**(P_1, P_2) „make solid, face, edge, vertex, vertex“
- **Mev**(f_1, v_1, P_2) „make edge, vertex“
- **Mef**(f_1, v_1, v_2) „make edge, face“
- **Kef**(e) „kill edge, face“

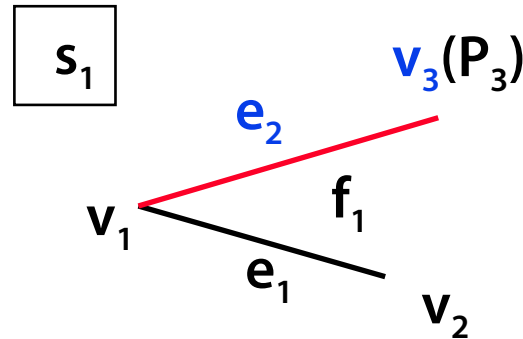


Konstrukce čtyřstěnu

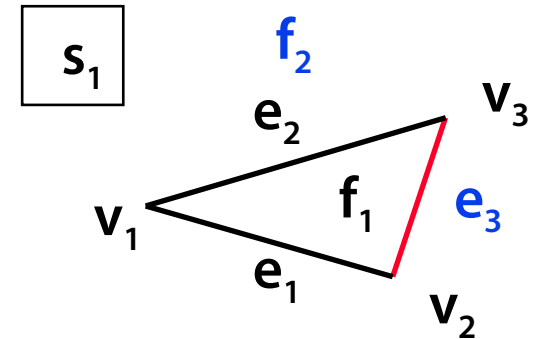
1. $Msfevv(P_1, P_2)$



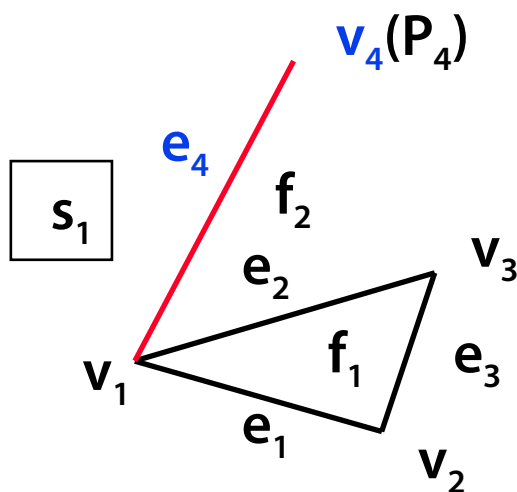
2. $Mev(f_1, v_1, P_3)$



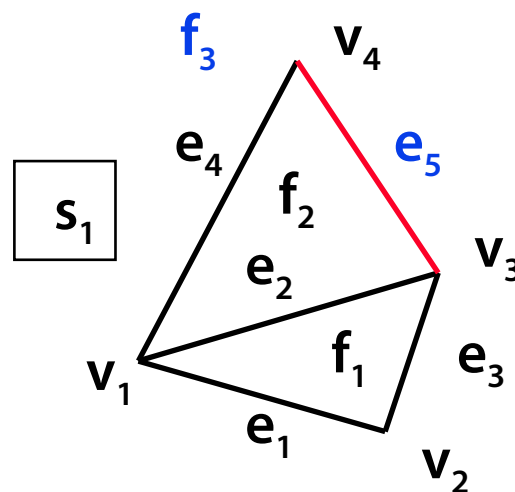
3. $Mef(f_1, v_2, v_3)$



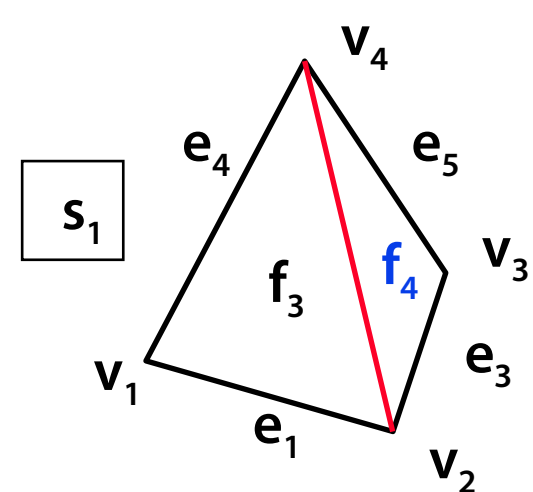
4. $Mev(f_2, v_1, P_4)$



5. $Mef(f_2, v_3, v_4)$

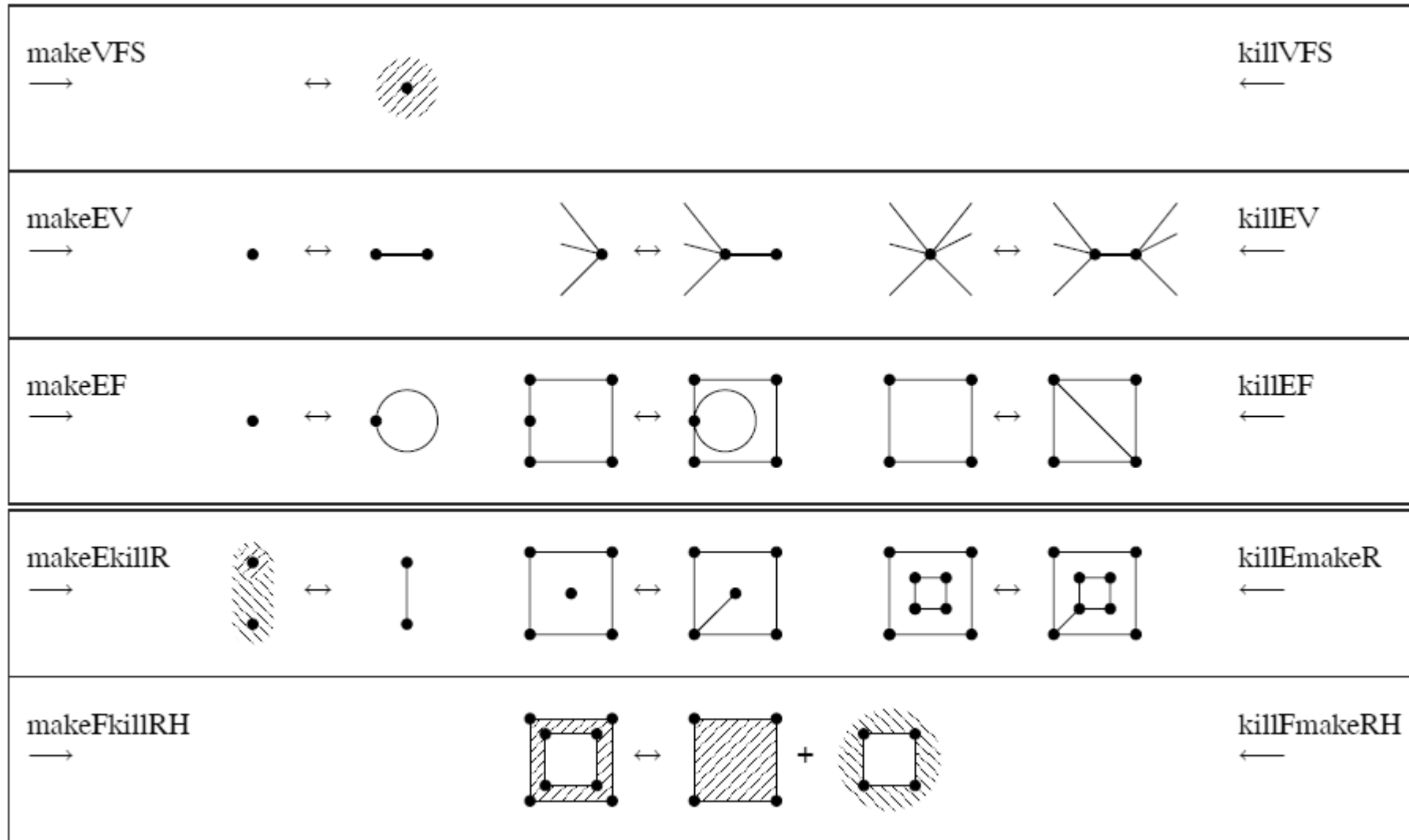


6. $Mef(f_3, v_2, v_4)$





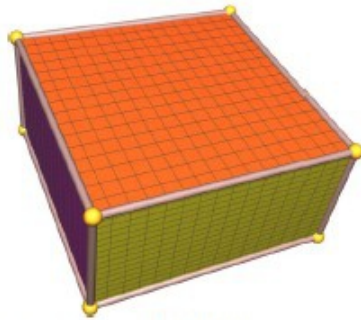
Rozšířená sada operací



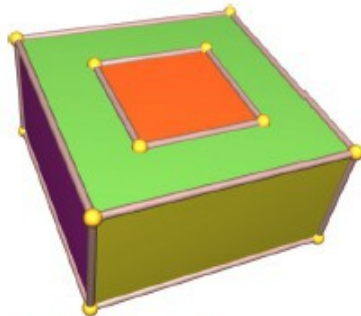
Krychle s otvorem



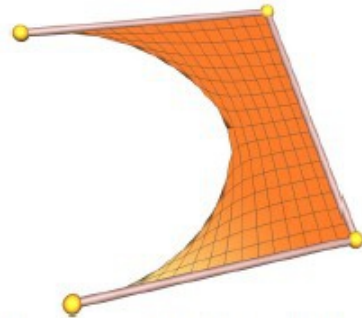
1: makeVFS



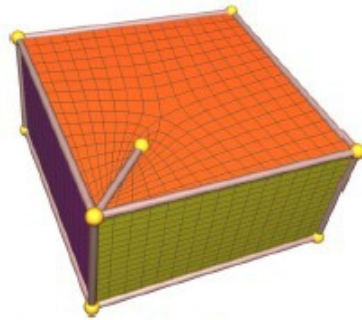
5: 4 × makeEF (c)



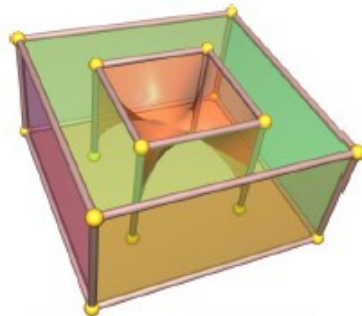
9: killEmakeR (c)



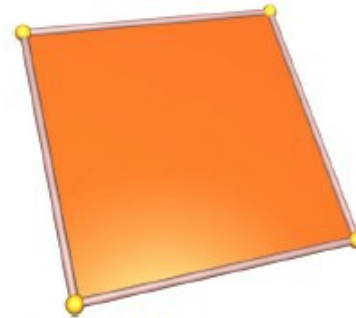
2: 3 × makeEV (a,b,b)



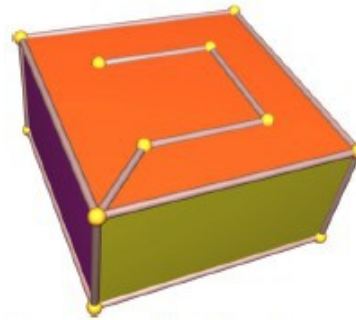
6: makeEV (b)



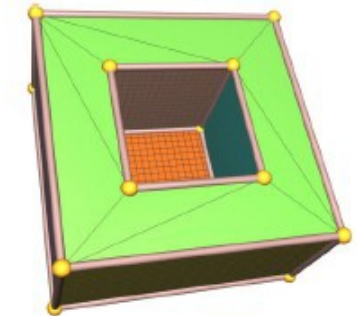
10: 4 × makeEV (b)



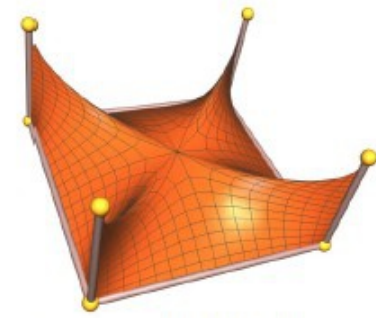
3: makeEF (c)



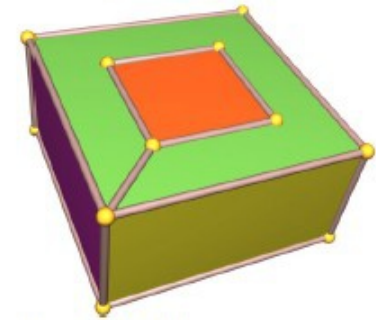
7: 3 × makeEV (b)



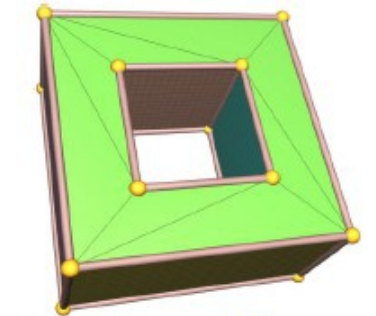
11: 4 × makeEF (c)



4: 4 × makeEV (b)



8: makeEF (c)



12: killFmakeRH



Literatura

J. Foley, A. van Dam, S. Feiner, J. Hughes: *Computer Graphics, Principles and Practice*, 534-562, 712-714

Jiří Žára a kol.: *Počítačová grafika, principy a algoritmy*, 234-238

J. Rossignac, A. Safanova, A. Szymczak: *3D compression made simple: Edgebreaker on a Corner Table*, 2001

H. Lopes, J. Rossignac, A. Safonova, A. Szymczak and G. Tavares: *Edgebreaker: A Simple Compression Algorithm for Surfaces with Handles*, C&G Intl. J, vol.27(4), 553-567, 2003

Sven Havemann: *Generative Mesh Modeling*, PhD thesis, 2005, TU Braunschweig, pp. 59-79

Hierarchický model

© 1995-2019 Josef Pelikán
CGG MFF UK Praha

pepca@cgg.mff.cuni.cz
<https://cgg.mff.cuni.cz/~pepca/>



Hierarchie v 3D modelování

Kompozice „zdola-nahoru“

- složitější objekty se sestavují z jednodušších
- při modelování se často několikanásobně opakují některé části objektů (stavební prvky, součástky)

Databáze 3D objektů

- (nejen) ve strojírenství a stavebnictví se často používají standardní – normalizované – prvky

Parametrická konstrukce

- jednotlivé instance objektu se mohou mírně lišit
- parametry/atributy, mechanismus dědičnosti...



Hierarchické modelování

Scéna se skládá z objektů

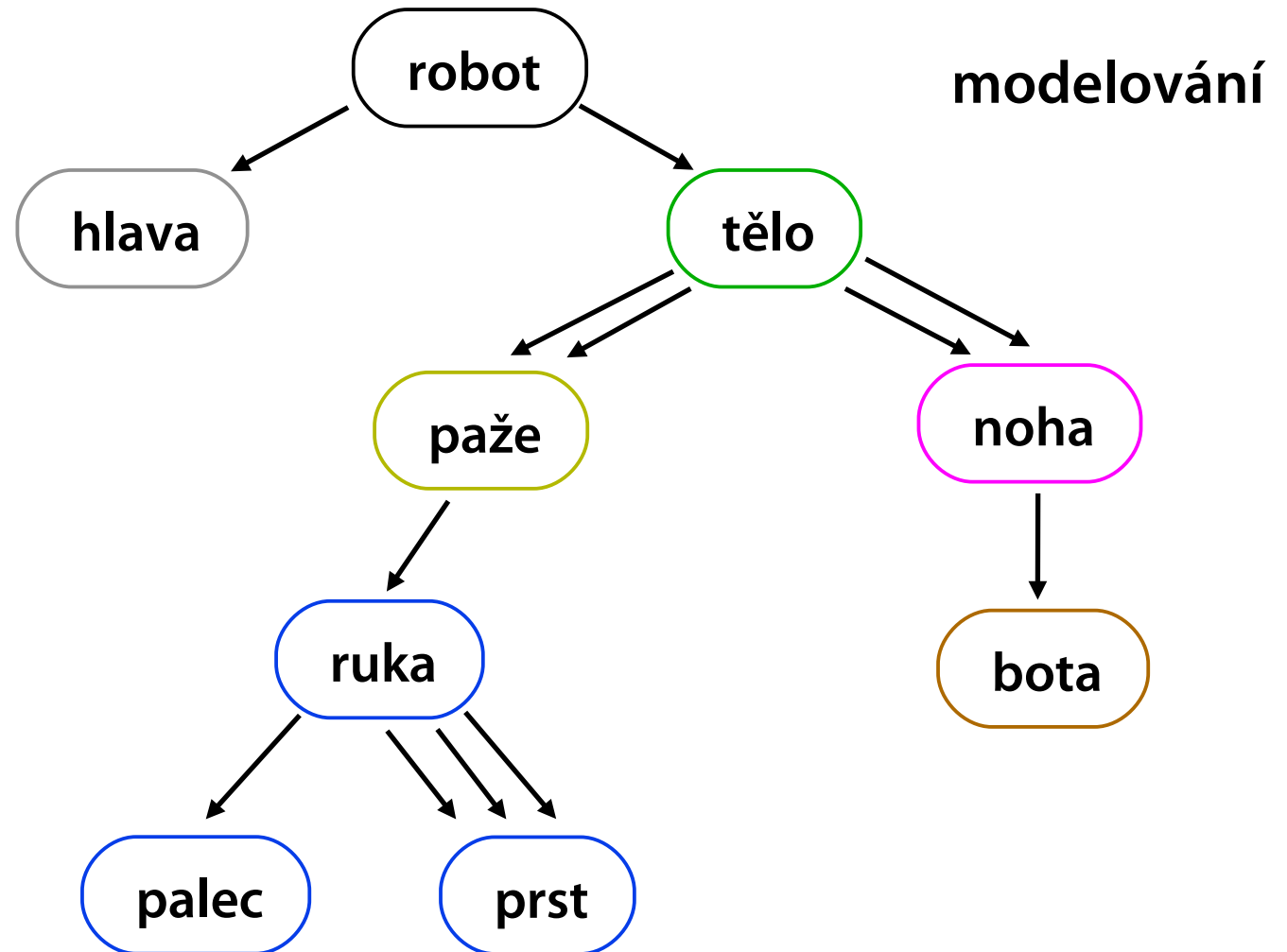
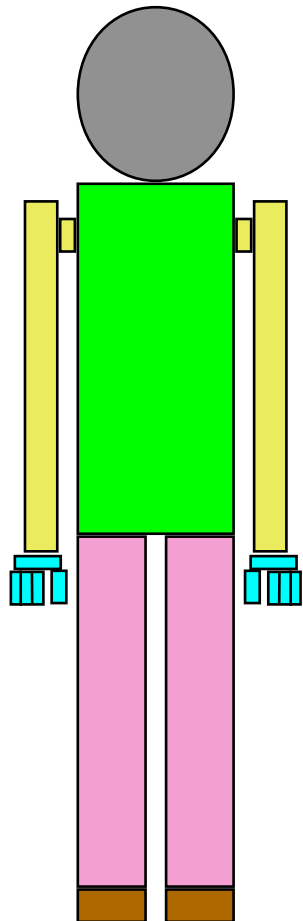
- objekty se skládají z komponent
 - » komponenty se skládají ze součástí
 - ♦ součástky se skládají z...

Hierarchické modelování je přirozené a efektivní

- v databázi mohou být uloženy celé knihovny děl, ze kterých si konstruktér/umělec vybírá
- další vlastnosti hierarchické metodiky
 - » **atributy** uzlů hierarchie (dědičnost, parametrizovatelnost)
 - » **relativní transformační matice** (poloha potomka je definována pouze vzhledem k rodičovskému uzlu)



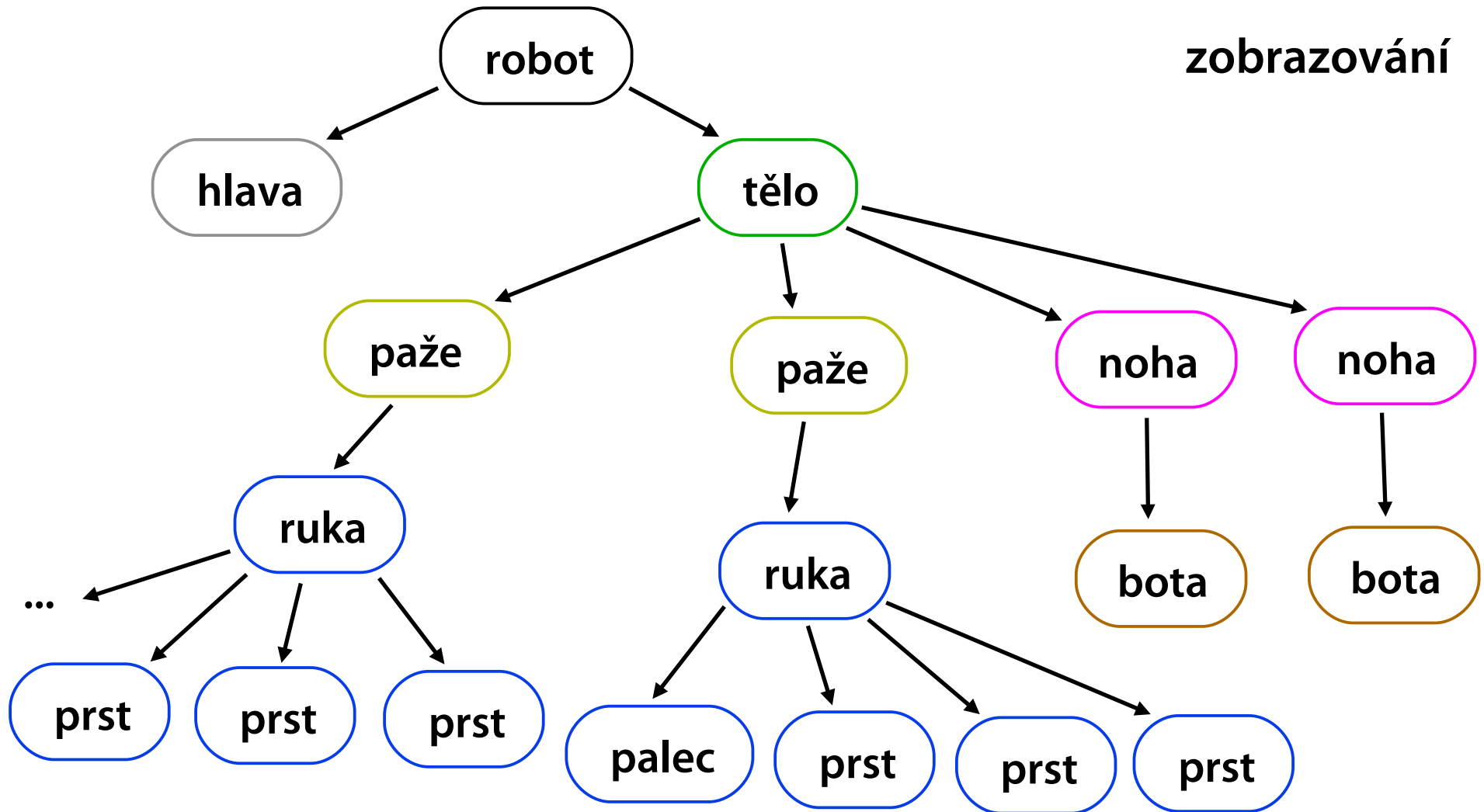
Hierarchický model robota





Strom modelu robota

zobrazování





Uložení objektu v databázi

Globální (implicitní) atributy a parametry

- vzhled (barva, materiál), přesnost aproximace křivek...

Vlastní 3D prvky

- tělesa, stěny, plochy, VB, IB... (podle typu modelu)
- souřadná soustava spojená s objektem
- lokální hodnoty atributů a parametrů

Odkazy na použité podobjekty

- transformační matice (relativní transformace)
- modifikace parametrů a atributů podobjektu



Reprezentace modelu v paměti

Převedení acyklického grafu do formy **stromu**

- uzel = **instance objektu**
- geometrická data se nesdílejí

Souřadnice **vrcholů těles, řídicích uzlů** ploch...
podléhají geometrickým transformacím a projekci

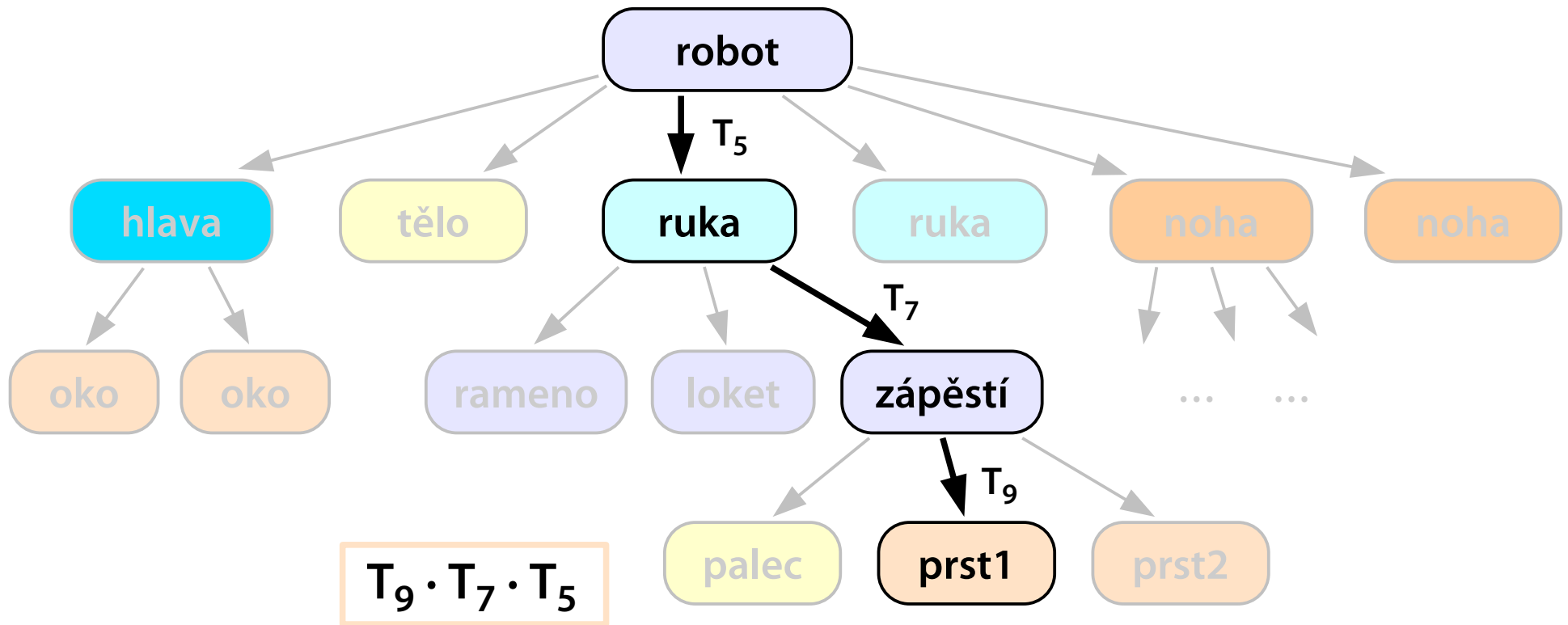
- ~ relativní souřadnice uvnitř objektu – 3D
- ~ absolutní (světové) souřadnice ve scéně – 3D
- ~ promítnuté souřadnice – 2D nebo 3D (z = hloubka)
- ~ souřadnice výstupního zařízení – 2D (celočíslné)



Relativní transformace

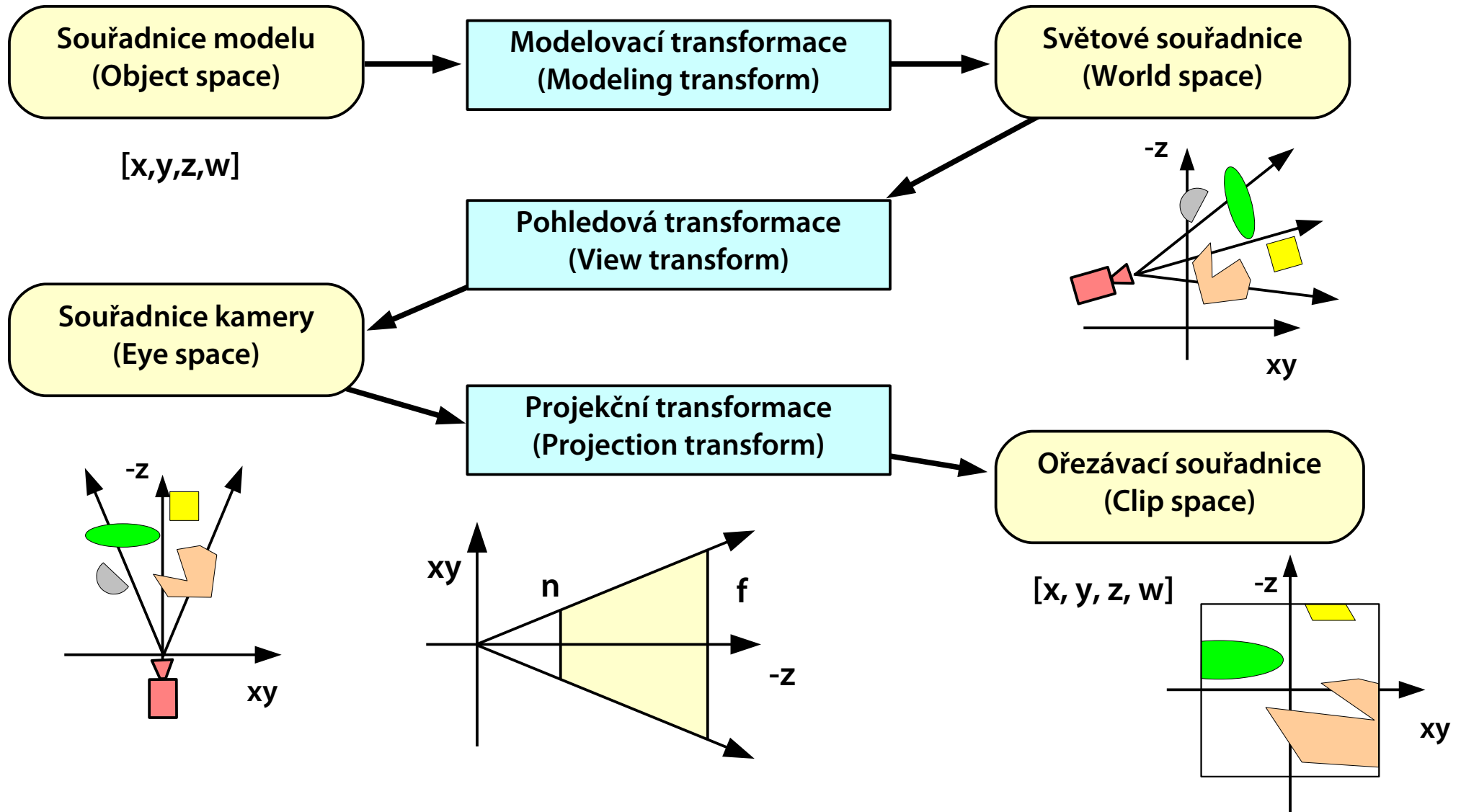
Transformace **listu scény** (sít trojúhelníků) do světových souřadnic se skládá z posloupnosti transformací

- součiny matic i modelové transformace může počítat **GPU**



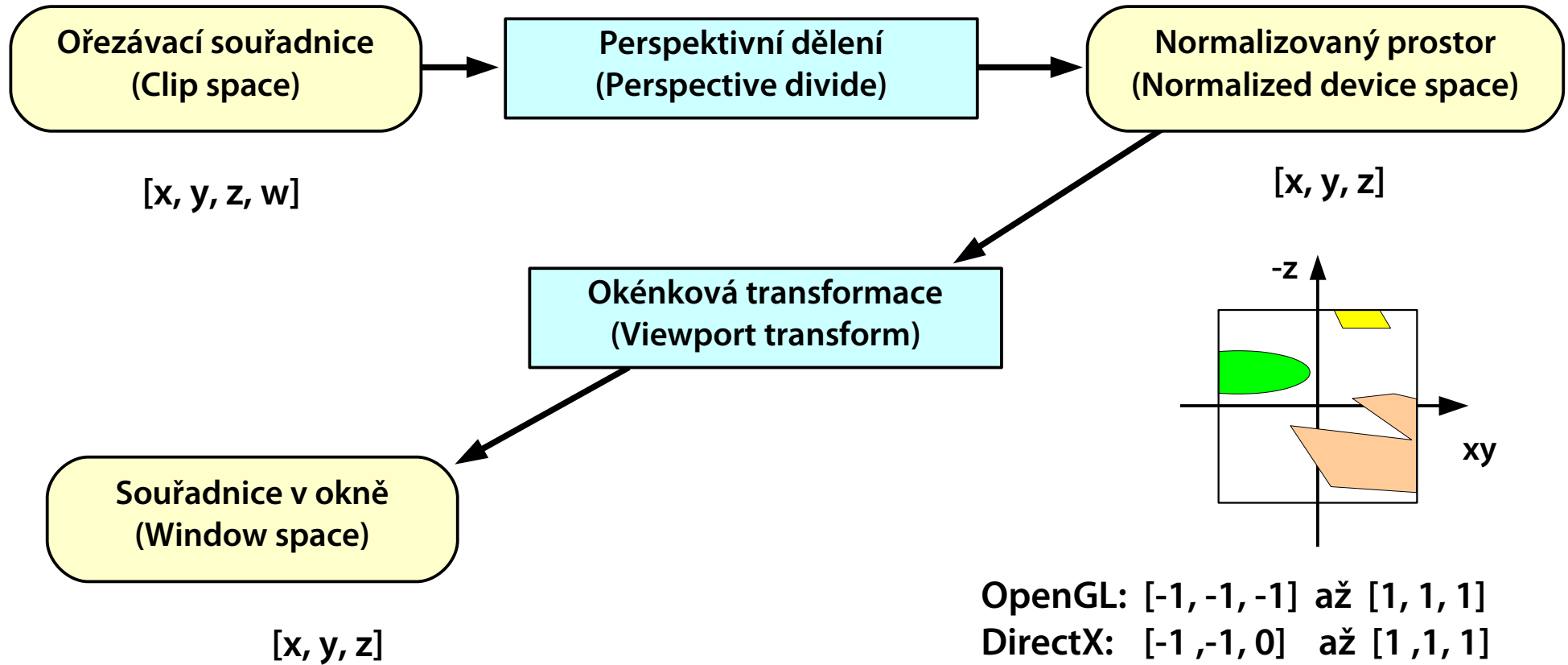


Souřadné soustavy





Souřadné soustavy II



$[x, y]$ skutečná velikost v pixelech na obrazovce (fragmenty)
 z hloubka kompatibilní s z-bufferem



Souřadné soustavy III

Souřadnice modelu

- databáze objektů, ze kterých se skládá scéna
- 3D modelovací programy (3DS Max, Maya, Blender, Rhino...)

Světové souřadnice

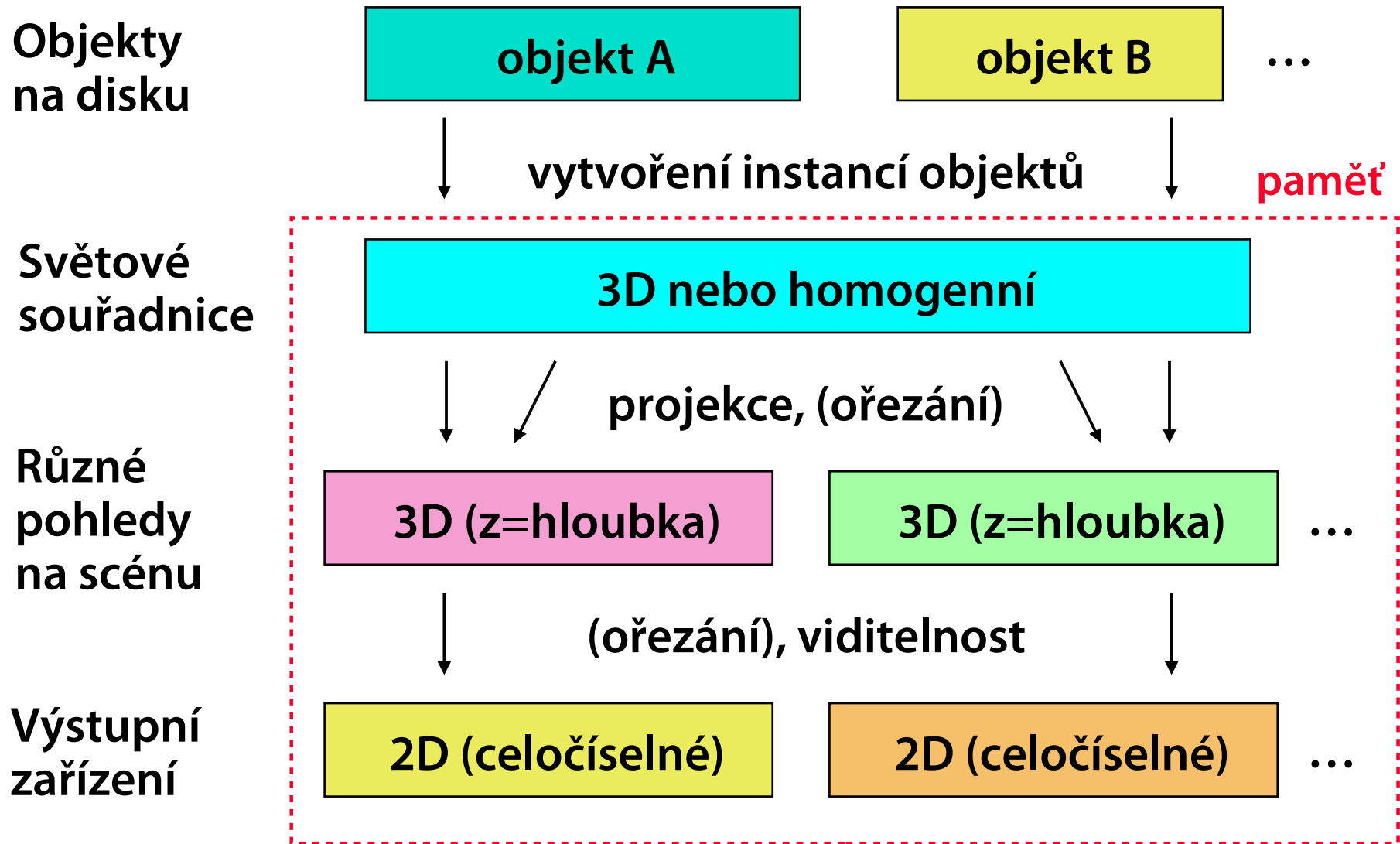
- absolutní souřadnice virtuálního 3D světa
- vzájemná poloha jednotlivých **instancí objektů**

Souřadnice kamery

- 3D svět se transformuje do relativních souřadnic kamery
- střed projekce: **počátek**, směr pohledu: **-z** (nebo **z**)



SW rendering – pole souřadnic





Hierarchické 3D formáty

PHIGS(+) (ANSI, ISO)

- „Programmer’s Hierarchical Interactive Graphics System”

OpenInventor, Performer (oba SGI)

- objektové nadstavby nad OpenGL

VRML („Virtual Reality Modeling Language”)

- WebSpace (World-Wide Web)

OpenSG, X3D (Web3D), **FataMorgana** (.FMO)...

Vstupní formáty zobrazovacích programů

- PoV Ray, RayShade, Radiance...



Graf scény („scene graph“)

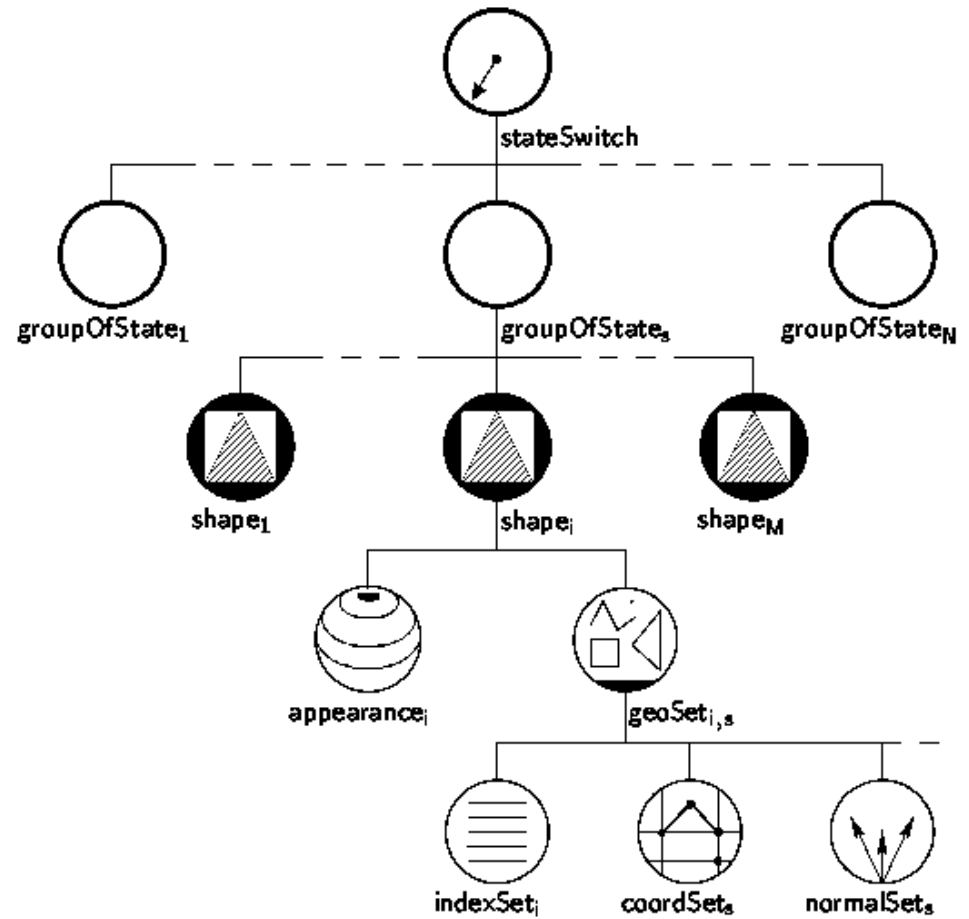
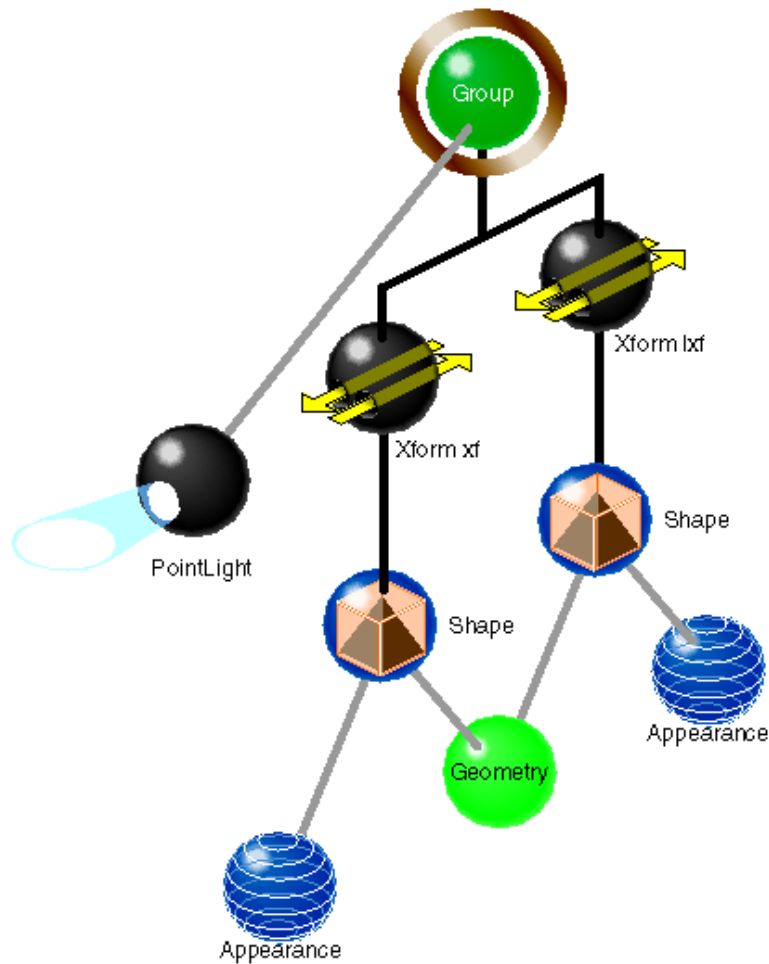
Scéna je reprezentována stromem (či DAG)

- *vnitřní uzly* – transformace, změny atributů, „skupiny“, přepínače... mohou být závislé na čase
- *listy* – geometrie (vrcholy, normály), světla, materiály...
- DAG – některé listy nebo i celé podgrafy mohou být sdíleny (např. společná geometrie, sady atributů)

Výsledek je definován **průchodem grafem** („in-order“)

- *vnitřní uzly* modifikují parametry, kontext, souřadnou soustavu
- *listy* přispívají k vlastnímu výsledku (primitiva scény)

Graf scény



Images © SGI



Literatura

J. Foley, A. van Dam, S. Feiner, J. Hughes: *Computer Graphics, Principles and Practice*, 285-346

Web3D konsorcium: <https://www.web3d.org/>

Mathematics for 3D graphics

© 2005-2019 Josef Pelikán
CGG MFF UK Praha

pepca@cgg.mff.cuni.cz
<https://cgg.mff.cuni.cz/~pepca/>



Content

Homogeneous coordinates, matrix transformations

- coordinate-system conversions

Coordinate systems, projections, frustum

Orientations

- Euler angles, quaternions
- orientation interpolation

Smooth interpolations and approximations

- spline functions, natural spline, B-spline
- Hermite-type interpolations
- KB spline, Catmull-Rom...



Geometric transformations in 3D

Cartesian 3D coordinate vector $[x, y, z]$

Multiplying by a 3×3 matrix

- **row** vector multiplied **from the right** (DirectX)

$$[x, y, z] \cdot \begin{bmatrix} a_{11} & a_{12} & a_{13} \\ a_{21} & a_{22} & a_{23} \\ a_{31} & a_{32} & a_{33} \end{bmatrix} = [x', y', z']$$

- **column** vector multiplied **from the left** (OpenGL)

Transform matrices 3×3 have serious drawback – **cannot do translations!**



Homogeneous coordinates

Homogeneous coordinate vector $[x, y, z, w]$

Transformation: multiplying by a 4×4 matrix

$$[x, y, z, w] \cdot \begin{bmatrix} a_{11} & a_{12} & a_{13} & a_{14} \\ a_{21} & a_{22} & a_{23} & a_{24} \\ a_{31} & a_{32} & a_{33} & a_{34} \\ a_{41} & a_{42} & a_{43} & a_{44} \end{bmatrix} = [x', y', z', w']$$

Homogeneous matrix is able to do **translations** and **perspective projections**



Coordinate conversions

From **homogeneous coordinates** $[x, y, z, w]$ into Cartesian coordinates: by division ($w \neq 0$) $[x/w, y/w, z/w]$

Coordinate vector $[x, y, z, 0]$ does not correspond to any real point in space

- can be interpreted as a **directional vector** (point in infinity)

From **Cartesian coordinates** to homogeneous: trivial extension $[x, y, z] \dots [x, y, z, 1]$



Elementary transformations

Affine transformation

$$\begin{bmatrix} a_{11} & a_{12} & a_{13} & 0 \\ a_{21} & a_{22} & a_{23} & 0 \\ a_{31} & a_{32} & a_{33} & 0 \\ t_1 & t_2 & t_3 & 1 \end{bmatrix}$$

Upper left submatrix [\mathbf{a}_{11} to \mathbf{a}_{33}] defines scaling, orientation and shear

Vector [$\mathbf{t}_1, \mathbf{t}_2, \mathbf{t}_3$] defines translation

- translation is performed as the last step



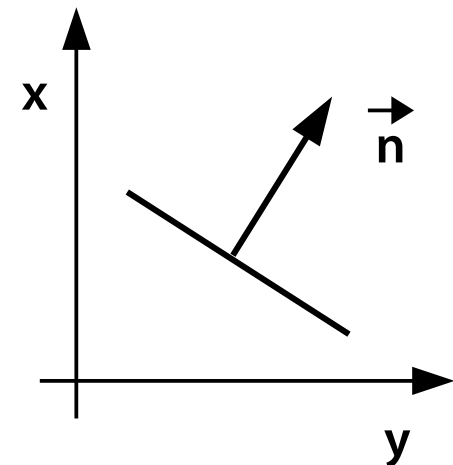
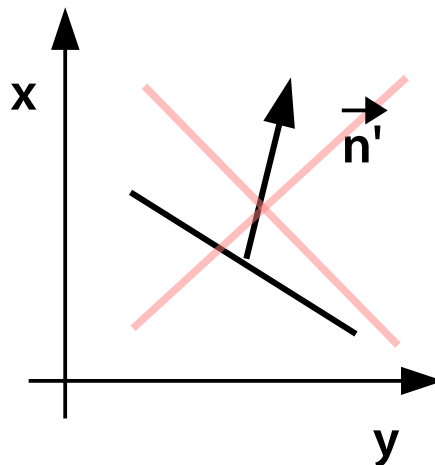
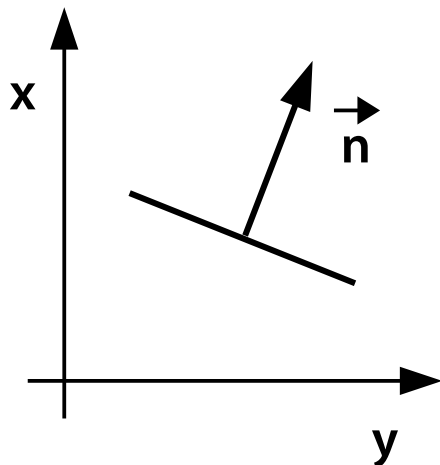
Normal vector transformation

Normal vectors must not be transformed by regular matrices (like point positions are)

- exception: M is rotational (orthonormal)

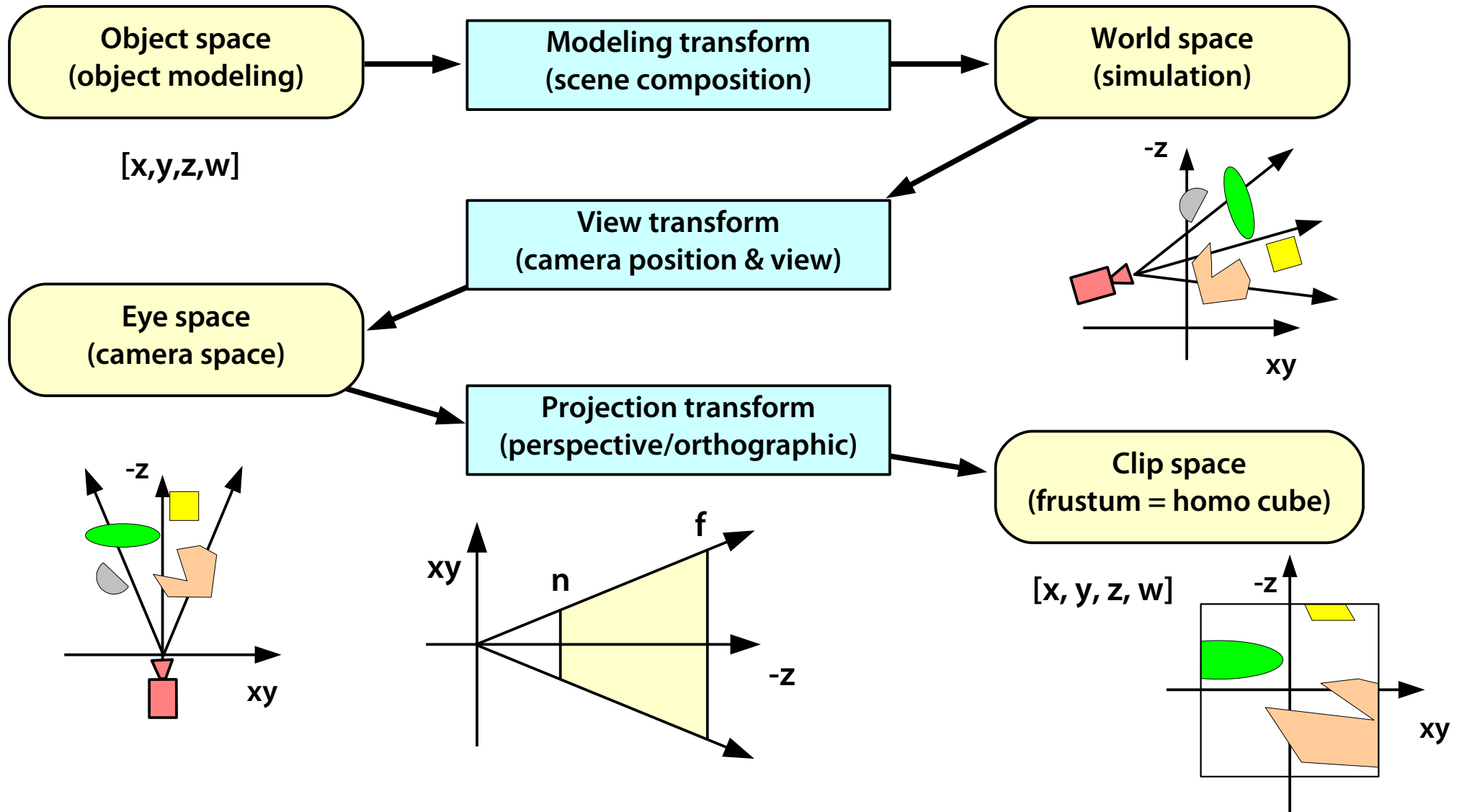
Normal-vector transformation matrix N :

$$N = (M^{-1})^T$$



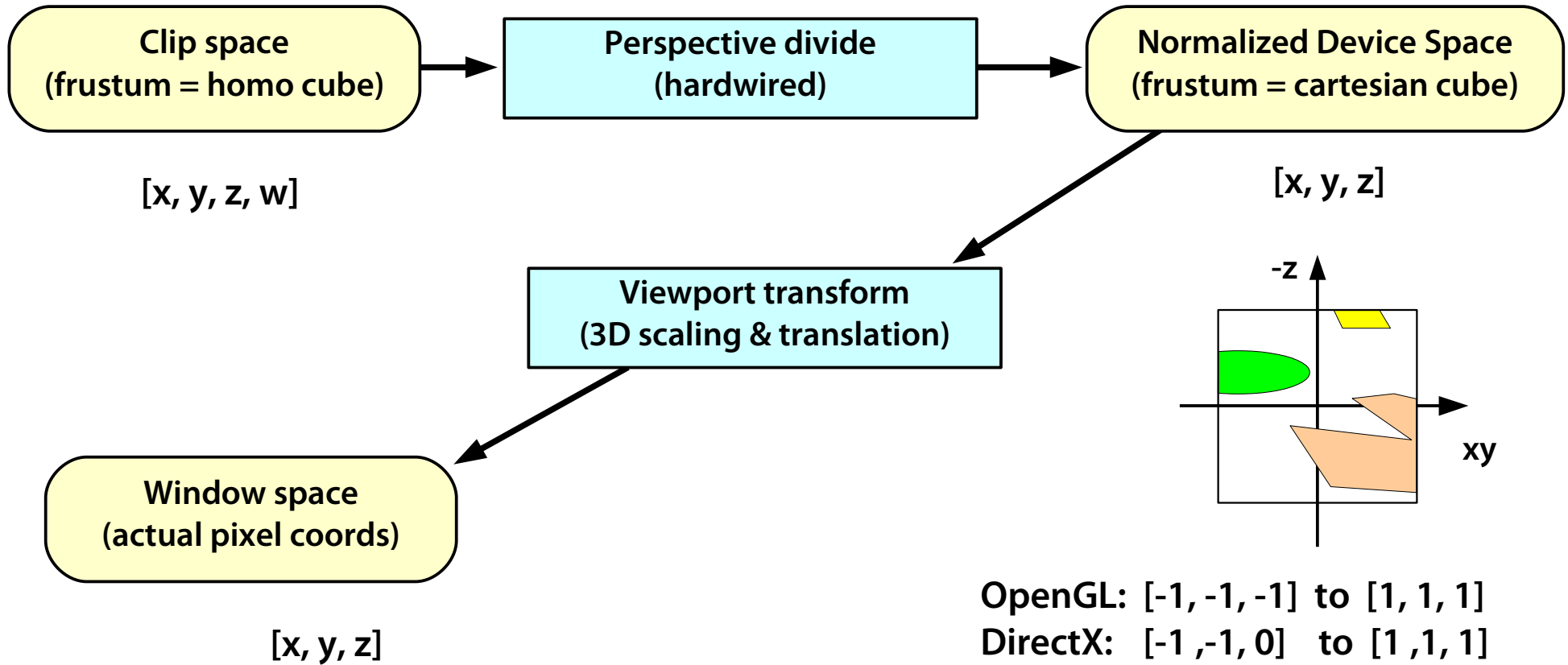


Coordinate systems in OpenGL





Coordinate systems in OpenGL



$[x, y]$ actual screen coordinates (fragments)
 z depth value compatible with actual depth-buffer



Coordinate systems in OpenGL

Object space

- modeling of individual objects, modularity
- 3D modeling software (3DS Max, Blender, Rhino...)

World space

- absolute (real) coordinates in simulated virtual world
- object instantiation, collision detection, AI planning...

Camera space

- the whole virtual world transforms into coordinates relative to a camera
- center of projection: **origin**, view direction: **-z** (or **z**)



Coordinate systems & transformations

Transformation “model → camera”

- altogether – “model-view” matrix
- world coordinates are not directly used in rendering pipeline

Projection transformation

- defines visible volume = **frustum** [**l**, **r**, **b**, **t**, **n**, **f**]
- front & back clip distances: **n**, **f**
- result: homogeneous coordinate (before clipping)

“Clip space”

- **mandatory output coordinate** of vertex shader!

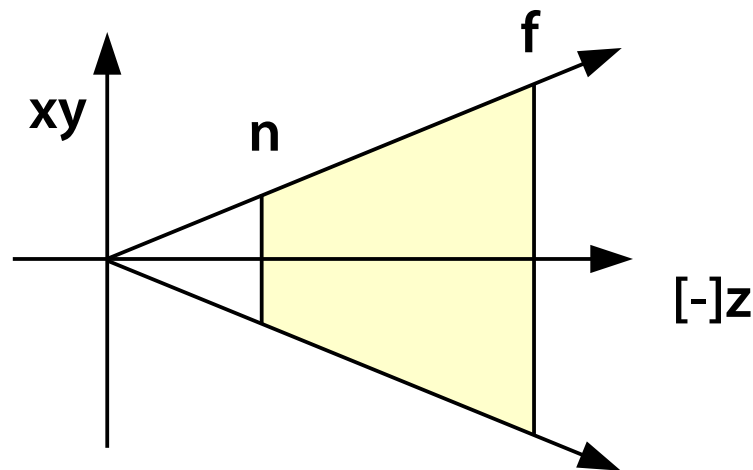


Projection transform (perspective)

Far point f can be in infinity

$$\begin{bmatrix} \frac{2n}{r-l} & 0 & 0 & 0 \\ 0 & \frac{2n}{t-b} & 0 & 0 \\ -\frac{r+l}{r-l} & -\frac{t+b}{t-b} & \frac{f+n}{f-n} & 1 \\ 0 & 0 & -\frac{2fn}{f-n} & 0 \end{bmatrix}$$

$$\begin{bmatrix} \frac{2n}{r-l} & 0 & 0 & 0 \\ 0 & \frac{2n}{t-b} & 0 & 0 \\ -\frac{r+l}{r-l} & -\frac{t+b}{t-b} & 1 & 1 \\ 0 & 0 & -2n & 0 \end{bmatrix}$$





Coordinate systems & transforms

Perspective division

- just converts **homogeneous** coordinates into **cartesian**

Normalized coordinates (“NDS”)

- standard-sized cube/cuboid
- OpenGL: $[-1, -1, -1]$ to $[1, 1, 1]$
- DirectX: $[-1, -1, 0]$ to $[1, 1, 1]$

Window coordinates (“window space”)

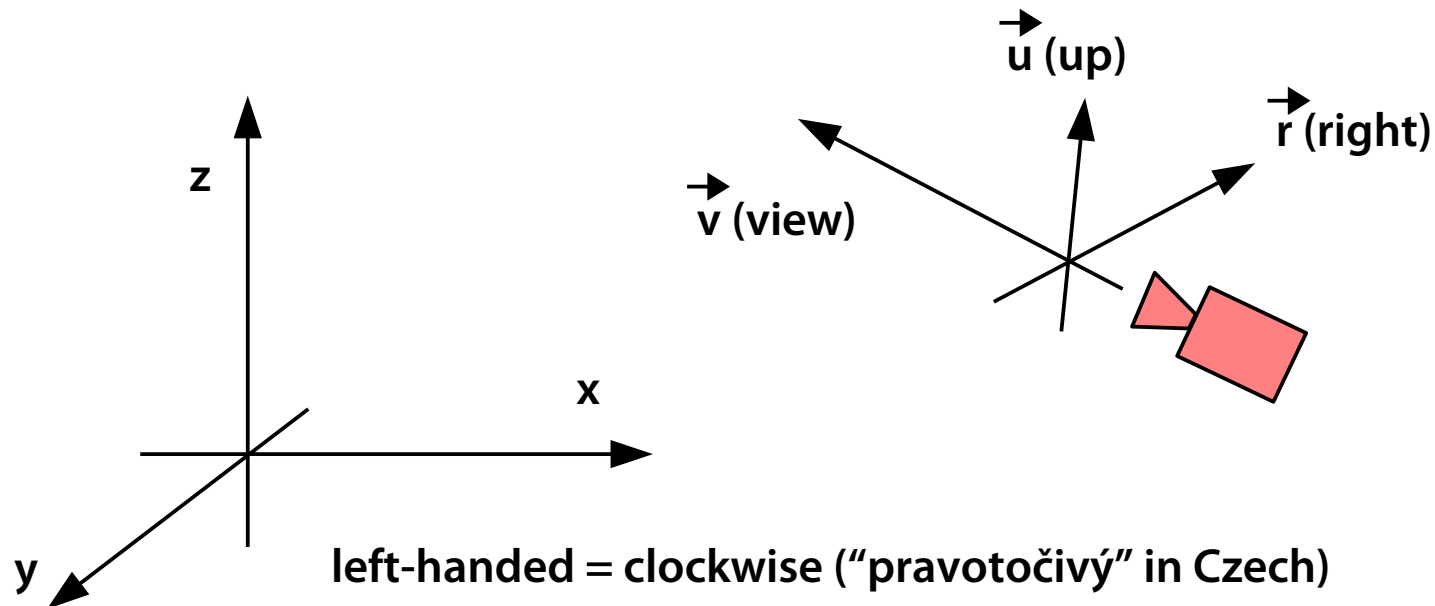
- result of **linear adjustment** to window size in pixels
- used in **rasterizer** and all **fragment processing**



Rigid body transformation

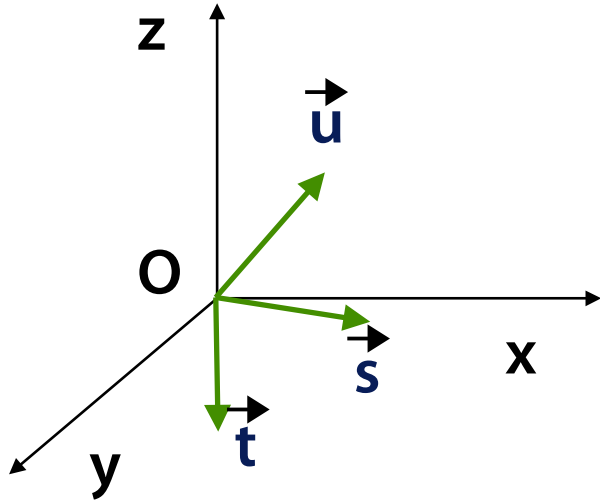
Preserves **shapes**, alters **orientation & position**

- **translation** and **rotation**
- **conversion between coordinate systems** (e.g. between world-space and camera-space)





Conversion between two orientations



Coordinate system has an origin **O** and is defined by three unit vectors **[s, t, u]**

$$[1, 0, 0] \cdot M_{stu \rightarrow xyz} = s$$

$$[0, 1, 0] \cdot M_{stu \rightarrow xyz} = t$$

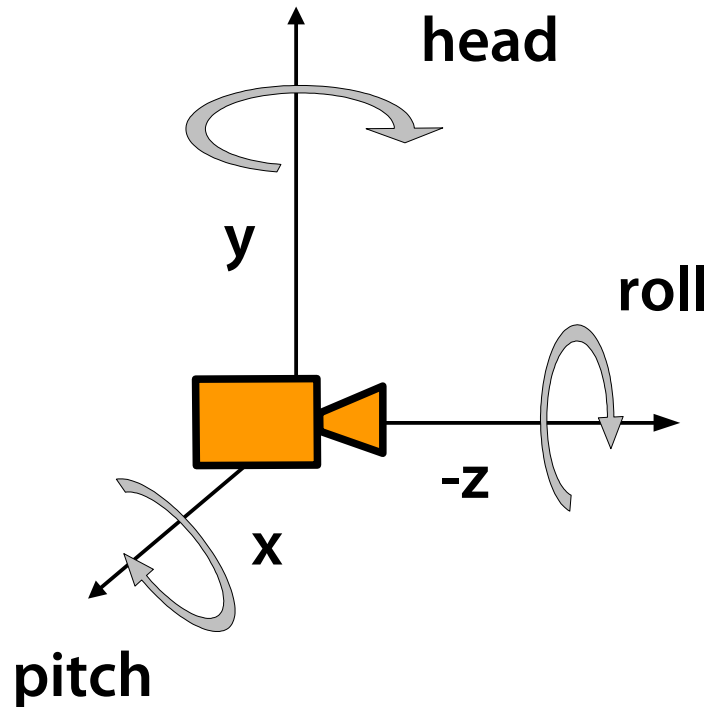
$$[0, 0, 1] \cdot M_{stu \rightarrow xyz} = u$$

$$M_{stu \rightarrow xyz} = \begin{bmatrix} s_x & s_y & s_z \\ t_x & t_y & t_z \\ u_x & u_y & u_z \end{bmatrix}$$

$$M_{xyz \rightarrow stu} = M_{stu \rightarrow xyz}^T$$



Euler transformation



Arbitrary rotation decomposed into **three components**

– Leonard Euler (1707-1783)

$$E(h, p, r) = R_y(h) \cdot R_x(p) \cdot R_z(r)$$

h (head, yaw): plan view direction

p (pitch): forward/backward pitching

r (roll): rolling around the view vector



Euler transformation II

Result matrix of rotation

$$E = \begin{pmatrix} c(r)c(h) - s(r)s(p)s(h) & s(r)c(h) + c(r)s(p)s(h) & -c(p)s(h) \\ -s(r)c(p) & c(r)c(p) & s(p) \\ c(r)s(h) + s(r)s(p)c(h) & s(r)s(h) - c(r)s(p)c(h) & c(p)c(h) \end{pmatrix}$$

$s(x) \dots \sin(x)$, $c(x) \dots \cos(x)$

Backward matrix \rightarrow angles computation h, p, r

- $p \dots e_{23}$
- $r \dots e_{21}/e_{22}$
- $h \dots e_{13}/e_{33}$



Rotations: different conventions

Main convention

- 1. rotation around \mathbf{z} by φ
- 2. rotation around \mathbf{x}' by θ
- 3. rotation around \mathbf{z}'' by ψ

X-convention

- 1. rotation around \mathbf{z}
- 2. rotation around original \mathbf{x}
- 3. rotation around original \mathbf{z}

More systems (24): aeronautics, gyroscopes, physics...



Quaternions

Sir William Rowan **Hamilton**, 16 Oct 1843 (Dublin)

- $i^2 = j^2 = k^2 = ijk = -1$
- usage in graphics since 1985 (Shoemake)
- **generalization of complex numbers** in 4D space

$$\mathbf{q} = (\mathbf{v}, w) = \underline{i} \underline{x} + \underline{j} \underline{y} + \underline{k} \underline{z} + \underline{w} = \mathbf{v} + w \quad \text{sometimes } (w, \mathbf{v})!$$

Imaginary part $\mathbf{v} = (x, y, z) = i x + j y + k z$

$$i^2 = j^2 = k^2 = -1, \quad jk = -kj = i, \quad ki = -ik = j, \quad ij = -ji = k$$



Quaternions: operations I

Addition

$$- (\mathbf{v}_1, w_1) + (\mathbf{v}_2, w_2) = (\mathbf{v}_1 + \mathbf{v}_2, w_1 + w_2)$$

Multiplication

$$- \mathbf{q} \mathbf{r} = (\mathbf{v}_q \times \mathbf{v}_r + w_r \mathbf{v}_q + w_q \mathbf{v}_r, w_q w_r - \mathbf{v}_q \cdot \mathbf{v}_r)$$

$$i(q_y r_z - q_z r_y + r_w q_x + q_w r_x),$$

$$j(q_z r_x - q_x r_z + r_w q_y + q_w r_y),$$

$$k(q_x r_y - q_y r_x + r_w q_z + q_w r_z),$$

$$q_w r_w - q_x r_x - q_y r_y - q_z r_z$$



Quaternions: operations II

Conjugation

- $(\mathbf{v}, w)^* = (-\mathbf{v}, w)$

Norm (squared absolute value)

- $\|\mathbf{q}\|^2 = n(\mathbf{q}) = \mathbf{q} \mathbf{q}^* = x^2 + y^2 + z^2 + w^2$

Unit

- $\mathbf{i} = (0, 1)$

Reciprocal

- $\mathbf{q}^{-1} = \mathbf{q}^* / n(\mathbf{q})$

Multiplication by a scalar

- $s \mathbf{q} = (0, s) (\mathbf{v}, w) = (s \mathbf{v}, s w)$



Unit quaternions

Every unit quaternion ($x^2 + y^2 + z^2 + w^2 = 1$) can be expressed as

- $\mathbf{q} = (\mathbf{u}_q \sin \phi, \cos \phi)$
- for some **unit 3D vector** \mathbf{u}_q

It represents a **rotation (orientation)** in 3D

- **ambiguity**: both \mathbf{q} and $-\mathbf{q}$ represent the same rotation! ($\phi + \pi$)
- **identity** (zero rotation): $(\mathbf{0}, 1)$

Power, exponential, logarithm

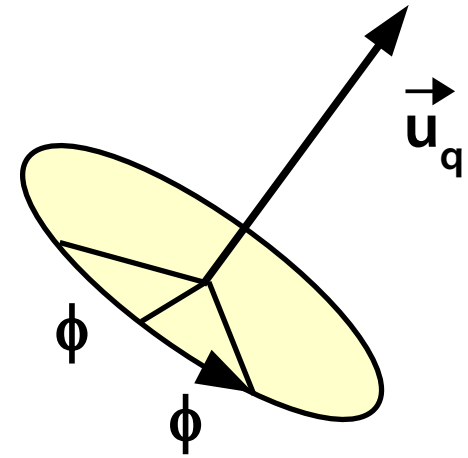
- $\mathbf{q} = \mathbf{u}_q \sin \phi + \cos \phi = \exp(\phi \mathbf{u}_q)$, $\log \mathbf{q} = \phi \mathbf{u}_q$
- $\mathbf{q}^t = (\mathbf{u}_q \sin \phi + \cos \phi)^t = \exp(t\phi \mathbf{u}_q) = \mathbf{u}_q \sin t\phi + \cos t\phi$



Rotation using a quaternion

Unit quaternion

- $\mathbf{q} = (\mathbf{u}_q \sin \phi, \cos \phi)$
- \mathbf{u}_q ... axis of rotation, ϕ ... angle



Vector (point) in 3D: $\mathbf{p} = [p_x, p_y, p_z, 0]$

Rotation of vector (point) \mathbf{p} around \mathbf{u}_q by angle 2ϕ

$$\mathbf{p}' = \mathbf{q} \mathbf{p} \mathbf{q}^{-1} = \mathbf{q} \mathbf{p} \mathbf{q}^*$$



Quaternion \leftrightarrow matrix conversions

Quaternion q converted to a matrix

$$M = \begin{pmatrix} 1 - 2(y^2 + z^2) & 2(xy + wz) & 2(xz - wy) \\ 2(xy - wz) & 1 - 2(x^2 + z^2) & 2(yz + wx) \\ 2(xz + wy) & 2(yz - wx) & 1 - 2(x^2 + y^2) \end{pmatrix}$$

Reverse conversion is based on equations

$$\begin{aligned} m_{23} - m_{32} &= 4wx \\ m_{31} - m_{13} &= 4wy \\ m_{12} - m_{21} &= 4wz \\ \text{tr } M + 1 &= 4w^2 \end{aligned} \quad (\$)$$



Matrix \rightarrow quaternion II

1. “matrix_trace+1” has large enough absolute value

$$w = \frac{1}{2} \sqrt{\text{tr } M + 1} \quad x = \frac{m_{23} - m_{32}}{4w}$$
$$y = \frac{m_{31} - m_{13}}{4w} \quad z = \frac{m_{12} - m_{21}}{4w}$$

2. ... otherwise compute a component with largest absolute value first and then apply \$

$$4x^2 = 1 + m_{11} - m_{22} - m_{33}$$

$$4y^2 = 1 - m_{11} + m_{22} - m_{33}$$

$$4z^2 = 1 - m_{11} - m_{22} + m_{33}$$

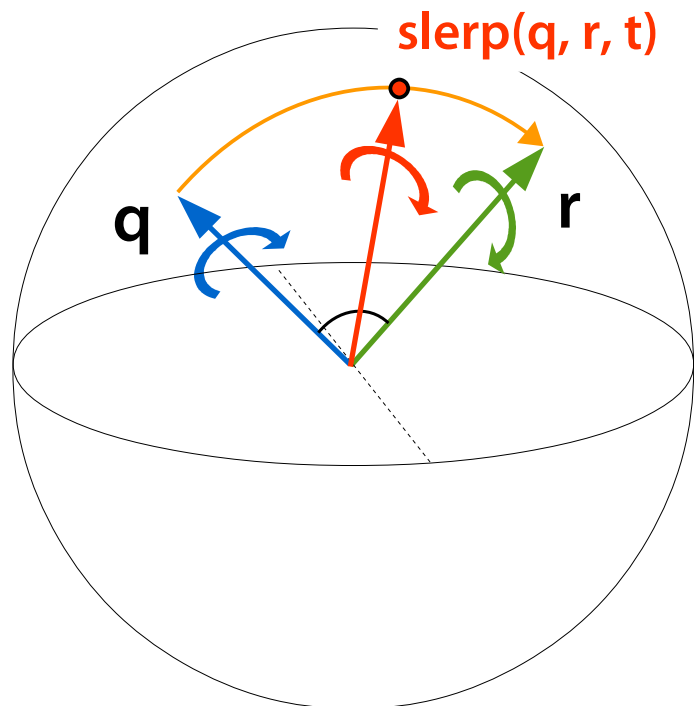


Spherical linear interpolation (slerp)

Two quaternions \mathbf{q} and \mathbf{r} ($\mathbf{q} \cdot \mathbf{r} \geq 0$, else take $-\mathbf{q}$)

Real parameter $0 \leq t \leq 1$

Interpolated quaternion $\text{slerp}(\mathbf{q}, \mathbf{r}, t) = \mathbf{q} (\mathbf{q}^* \mathbf{r})^t$



$$\text{slerp}(\mathbf{q}, \mathbf{r}, t) = \frac{\sin(\phi(1-t))}{\sin \phi} \cdot \mathbf{q} + \frac{\sin(\phi t)}{\sin \phi} \cdot \mathbf{r}$$

$$\cos \phi = q_x r_x + q_y r_y + q_z r_z + q_w r_w$$

The shortest spherical arc
between \mathbf{q} and \mathbf{r}
(quaternion splines will be explained later)



Rotation between two vectors

Two vectors \mathbf{s} and \mathbf{t}

1. normalization of \mathbf{s} , \mathbf{t}

2. unit rotation axis

$$\mathbf{u} = (\mathbf{s} \times \mathbf{t}) / \|\mathbf{s} \times \mathbf{t}\|$$

3. angle between \mathbf{s} and \mathbf{t}

$$e = \mathbf{s} \cdot \mathbf{t} = \cos 2\phi$$

$$\|\mathbf{s} \times \mathbf{t}\| = \sin 2\phi$$

4. final quaternion

$$\mathbf{q} = (\mathbf{u} \cdot \sin \phi, \cos \phi)$$

$$q = (q_v, q_w) = \left(\frac{1}{\sqrt{2(1+e)}} (\mathbf{s} \times \mathbf{t}), \frac{\sqrt{2(1+e)}}{2} \right)$$



Slerp of rotational matrices (theory)

Two rotational matrices Q and R

Real parameter $0 \leq t \leq 1$

Interpolated matrix $\text{slerp}(Q, R, t) = Q (Q^T R)^t$

Technical problem – how to do power operation on matrices?

Need to compute axis and angle $Q^T R$
(not very efficient)

See “RotationIssues.pdf” for details (D. Eberly)



Rotation representation – summary

Rotational matrix

- + HW support, efficient point/vector transformation
- memory (float[9]), other operations are not so efficient

Rotational axis and angle

- + memory (float[4] or float[6]), similar to quaternion
- inefficient composition and interpolation

Quaternion

- + memory (float[4]), composition, interpolation
- inefficient point/vector transformation

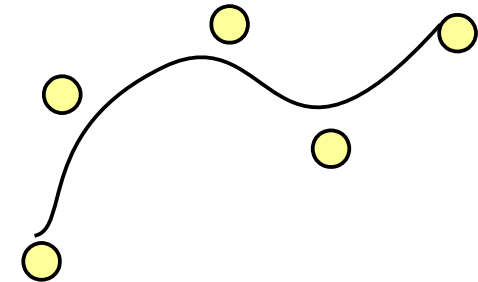
See “RotationIssues.pdf” for details (D. Eberly)



Approximation and interpolation

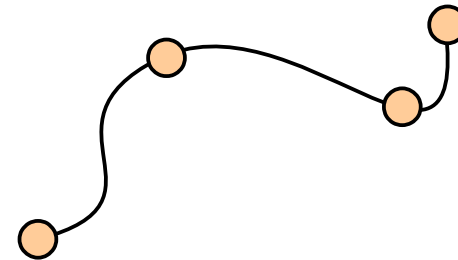
Approximation (e.g. B-spline)

- needs not to pass through control points



Interpolation (e.g. Catmull-Rom)

- curve passes through control points



Curve continuity

- \mathbf{G}^n – geometric continuity of the n^{th} order (\mathbf{G}^0 – simple continuity, \mathbf{G}^1 – tangent, \mathbf{G}^2 – curvature...)
- \mathbf{C}^n – analytical continuity of the n^{th} order, n^{th} derivative continuity (\mathbf{C}^1 – speed, \mathbf{C}^2 – acceleration), superior to geometric continuity



Curves in modeling industry

- Paul de Faget de **Casteljau**, Citroën (1959)
- Pierre **Bèzier** (Renault 1933-1975, UNISURF)
 - » late start, but his results were more popular
- application of spline function theory – mostly in USA (James **Ferguson**, 1964, Boeing, C^2 spline curves)

Spline function theory

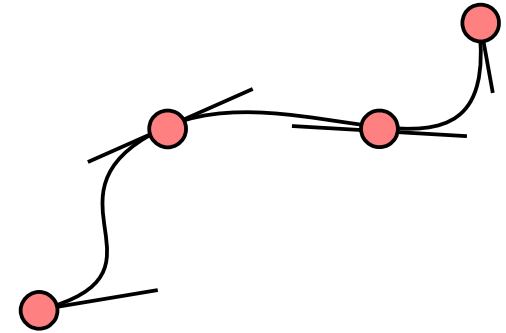
- B-spline: Isaac Jacob **Schoenberg**, (ballistics, Aberdeen, MD, 1946)
- theory: Carl **de Boor** (also worked for General Motors)
- Gordon, Riesenfeld **united** Bèzier and B-spline curves (1972)



“Free-form” curves I

Defined by a sequence of **control points**

- “control polygon”
- approximation or interpolation
- boundary conditions can be different



Controllability

- sometimes **tangent vectors** added in control points (Hermit)
- interpolation \Rightarrow closer control

Locality

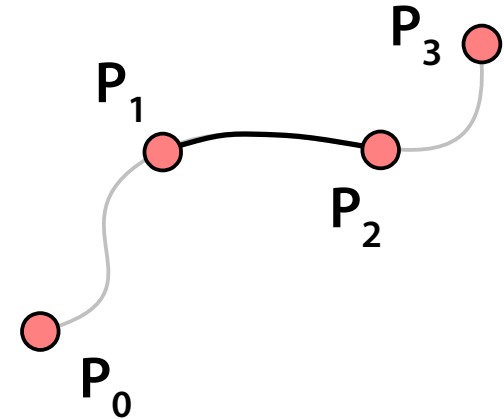
- change of single control point (one tangent vector) induces change in a **restricted neighborhood** only



“Free-form” curves II

Parametric expression ($0 \leq t \leq 1$)

$$P(t) = \sum_{i=0}^{N-1} w_i(t) P_i$$



Convex hull property

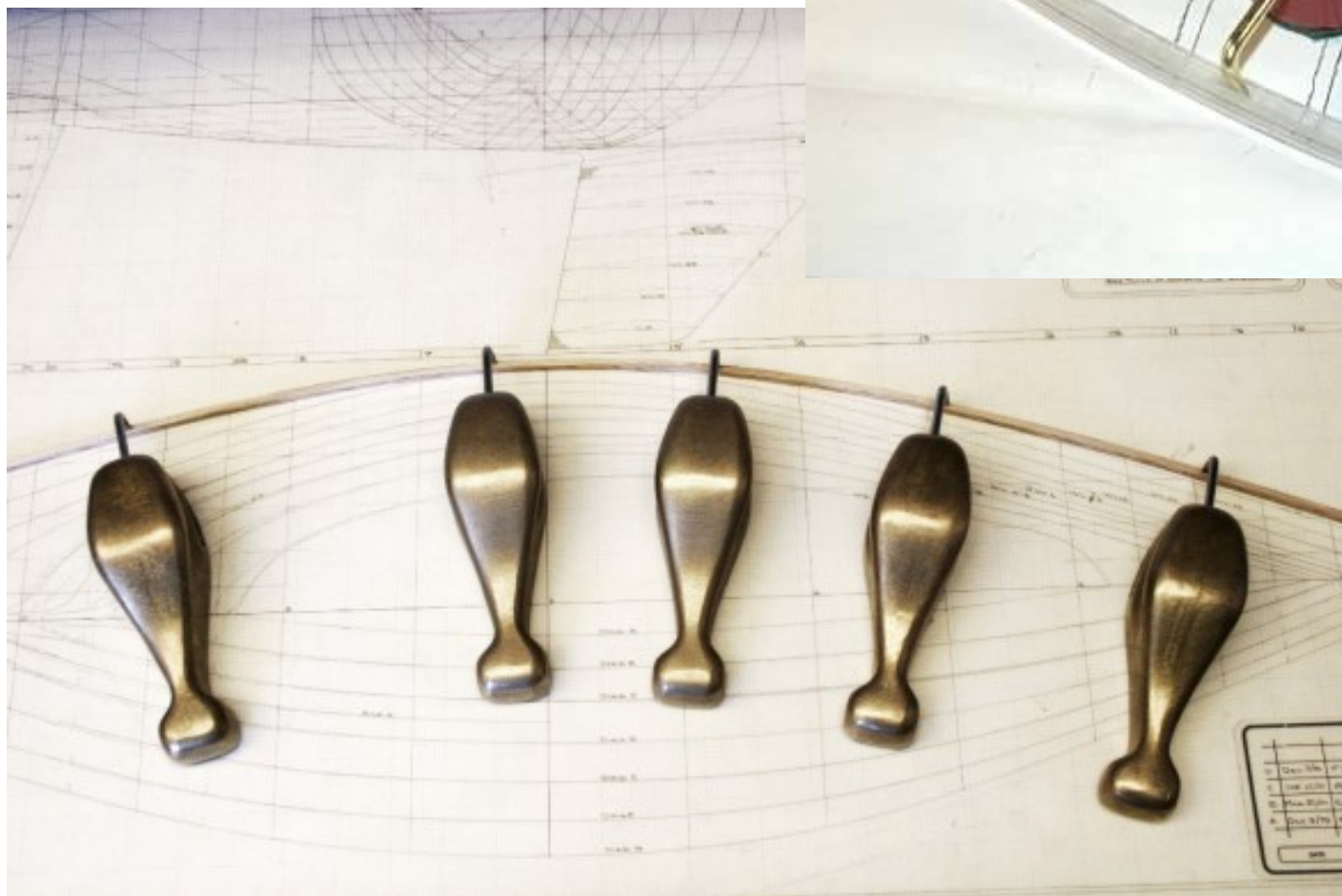
- curve lies in convex hull of its control polygon

Cauchy condition for blending functions

- sufficient for convex hull property
- ensures **affine transformation invariancy**

$$\sum_{i=0}^{N-1} w_i(t) = 1$$

Splines



© Jay Greer

© Edson International



Spline functions

Named after elastic ruler used in ship design (pinned in several points by “ducks”)

Definition: **spline function of degree n**

- piece-wise **polynomial** (of degree n)
- **maximum-smoothness connection:**

C^{n-1} – continuity of $n-1^{\text{th}}$ derivative (polynomial of degree n)

- **global parametrization** u , $u_0 \leq u \leq u_N$ [u_0, u_1, \dots, u_N]
- individual parts are often uniformly parametrized – **uniform spline** $t_i = (u - u_i) / (u_{i+1} - u_i)$, $0 \leq t_i \leq 1$



Polynomial curve

Matrix notation

$$P(t) = \mathbf{TC} = [t^n, t^{n-1}, \dots, t, 1] \cdot \begin{bmatrix} x_n & y_n & z_n \\ x_{n-1} & y_{n-1} & z_{n-1} \\ \dots & \dots & \dots \\ x_1 & y_1 & z_1 \\ x_0 & y_0 & z_0 \end{bmatrix}$$

Basis matrix \mathbf{M} and vector of geometric conditions \mathbf{G}

$$\mathbf{C} = \mathbf{MG} = [m_{ij}]_{i=n, j=1}^{0, k} \cdot \begin{bmatrix} G_1 \\ \dots \\ G_k \end{bmatrix} \quad P(t) = \mathbf{TMG}$$



Matrix notation of a curve

$$P(t) = T C = T M G$$

- separation of a parameter vector (**T**) from polynomial basis (**M**) and geometric control conditions/points (**G**)
- differentiation (tangent, curvature) restricted to **T**
- control polynomial **TM** times “geometry” **G**

Cubic: $n = 3, k = 4$

$$Q(t) = [t^3, t^2, t, 1] \cdot \begin{bmatrix} m_{11} & m_{12} & m_{13} & m_{14} \\ m_{21} & m_{22} & m_{23} & m_{24} \\ m_{31} & m_{32} & m_{33} & m_{34} \\ m_{41} & m_{42} & m_{43} & m_{44} \end{bmatrix} \cdot \begin{bmatrix} G_1 \\ G_2 \\ G_3 \\ G_4 \end{bmatrix}$$



Hermite cubic curve

Ferguson curve (cubic)

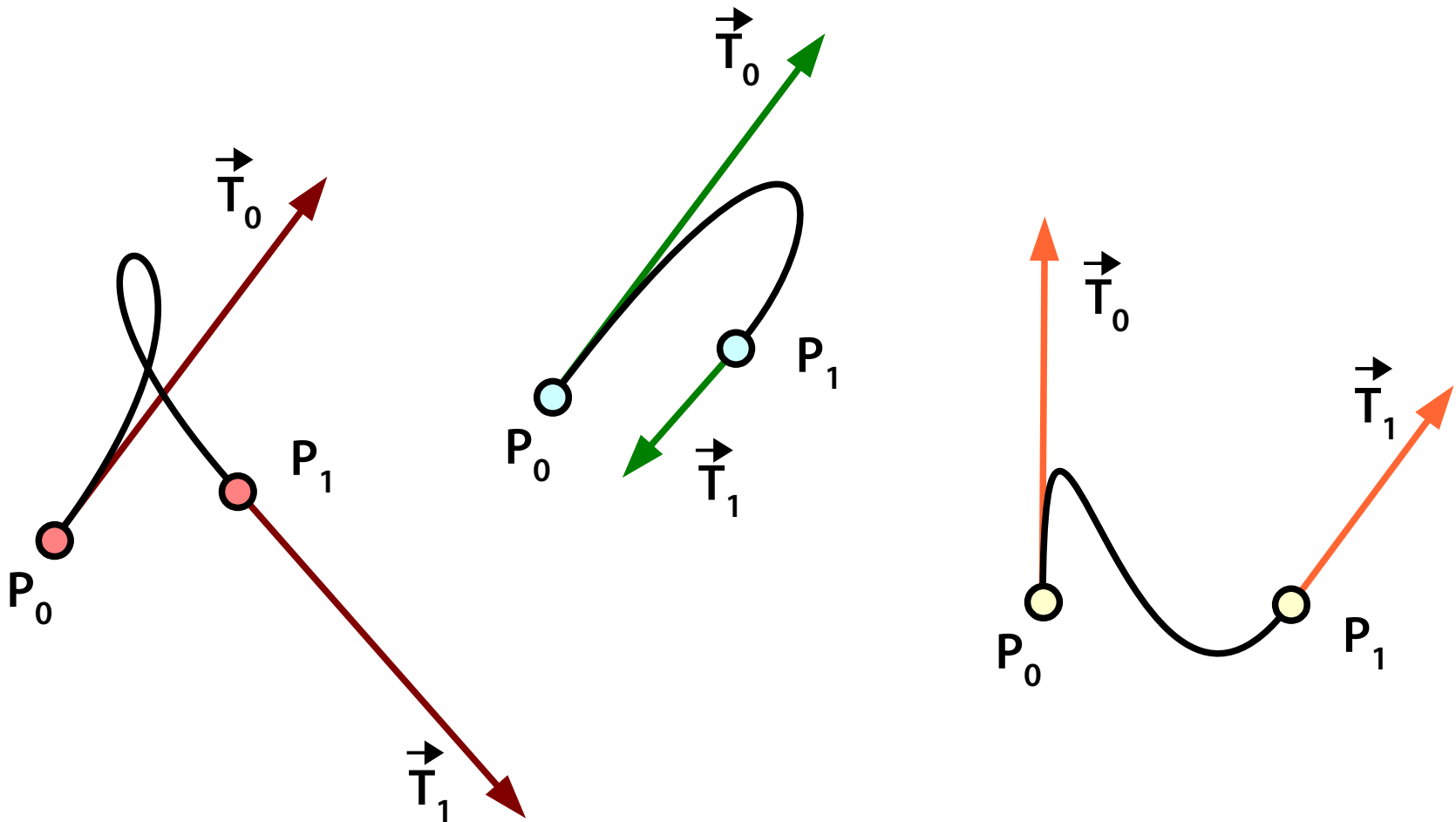
Geometry: endpoints and tangent vectors

- beginning (P_0) and end (P_1) of a curve
- tangents in beginning (T_0) and ending (T_1) points

$$F(t) = [t^3, t^2, t, 1] \cdot \begin{bmatrix} 2 & -2 & 1 & 1 \\ -3 & 3 & -2 & -1 \\ 0 & 0 & 1 & 0 \\ 1 & 0 & 0 & 0 \end{bmatrix} \cdot \begin{bmatrix} P_0 \\ P_1 \\ T_0 \\ T_1 \end{bmatrix}$$



Hermite cubic – examples





More curves

Interpolating cubics derived from Hermite

- general: **Kochanek-Bartels** (KB-spline, TCB cubic)
- special: **cardinal** spline, **Catmull-Rom** spline
- **Akima** interpolation (“Akima spline”, not C^2)
- **D-spline** cubic

Another popular curves

- **Bèzier** curves
- **B-spline** curve, **Coons** spline (approximation)
- **natural** spline (interpolation)



Kochanek-Bartels cubic (KB-spline, TCB)

Derived from **Hermite** cubic (3DS Max, Lightwave)

- **tangent vectors** are derived from **control points**
- three additional scalar parameters (**zero** by default)
 - » “**tension**” **t**: sharpness of a curve passing control point (absolute value of a tangent vector)
 - » “**continuity**” **c**: in control points
 - » “**bias**” **b**: tangent direction in control point

Left and right tangent (T_0 and T_1 in local sense):

$$L_i = \frac{(1-t)(1-c)(1+b)}{2} \cdot (P_i - P_{i-1}) + \frac{(1-t)(1+c)(1-b)}{2} \cdot (P_{i+1} - P_i)$$
$$R_i = \frac{(1-t)(1+c)(1+b)}{2} \cdot (P_i - P_{i-1}) + \frac{(1-t)(1-c)(1-b)}{2} \cdot (P_{i+1} - P_i)$$



Cardinal spline, Catmull-Rom spline

Special cases of KB-spline

cardinal spline

- parameter a only (in fact relates to “ t ”, $c = b = 0$)

$$T_i = a \cdot (P_{i+1} - P_{i-1}) \quad 0 \leq a \leq 1$$

Catmull-Rom spline

- $a = t = 1/2$

$$T_i = \frac{1}{2} \cdot (P_{i+1} - P_{i-1})$$

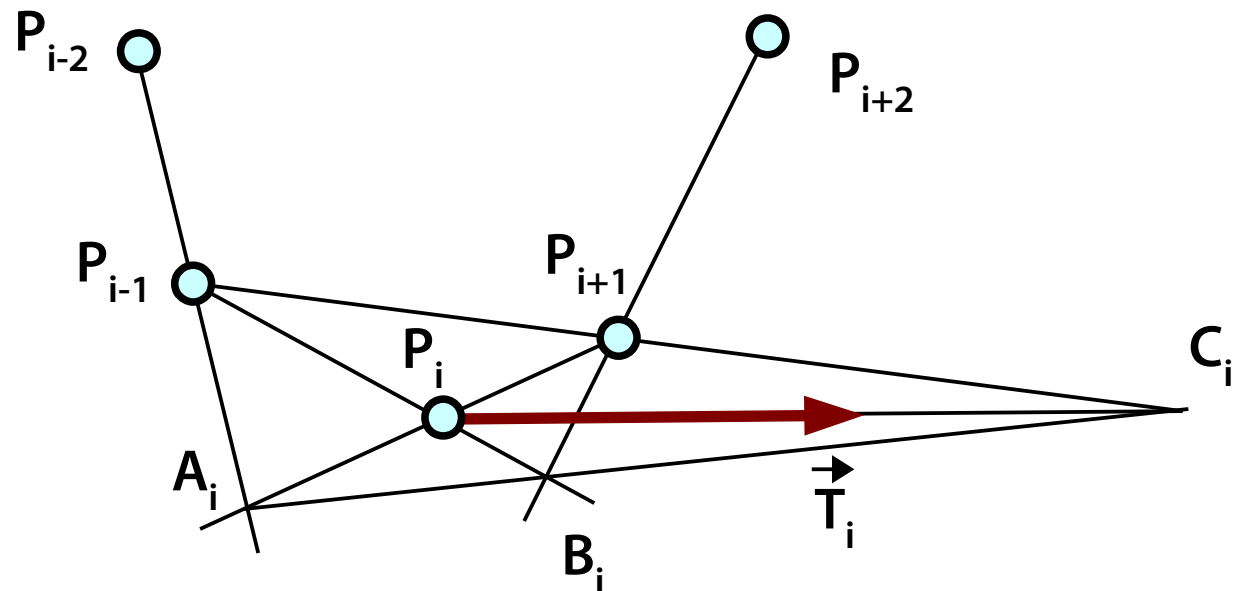
$$MG = \frac{1}{2} \begin{bmatrix} -1 & 3 & -3 & 1 \\ 2 & -5 & 4 & -1 \\ -1 & 0 & 1 & 0 \\ 0 & 2 & 0 & 0 \end{bmatrix} \cdot \begin{bmatrix} P_{i-1} \\ P_i \\ P_{i+1} \\ P_{i+2} \end{bmatrix}$$



Akima interpolation

Alternative definition of **tangent vectors** for Hermite cubic:

– non- C^2 !



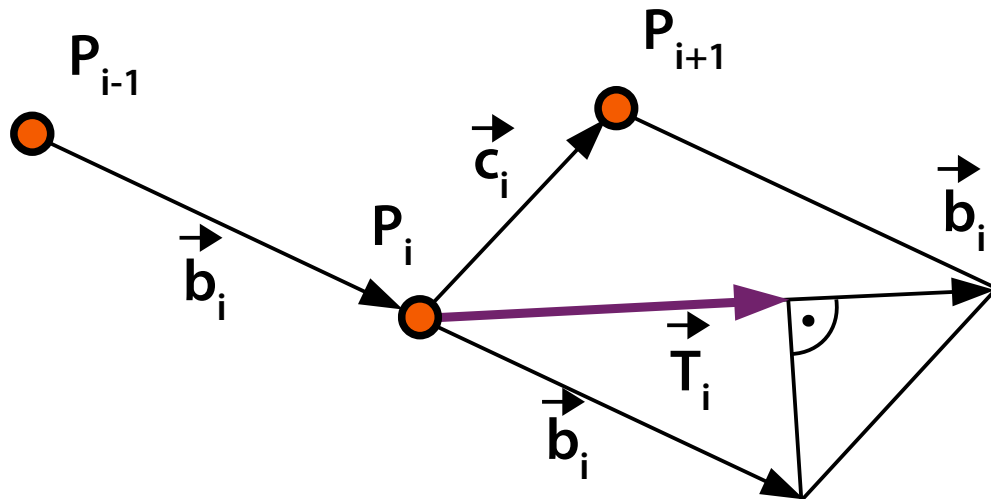
$$|\vec{T}_i| = |\overrightarrow{P_{i+1} - P_{i-1}}|$$



D-spline cubic

One more variant of Hermite cubic

- tangent vector computed by the “D-interpolation”



$$G = \begin{bmatrix} P_i \\ P_{i+1} \\ T_i \\ T_{i+1} \end{bmatrix}$$



Bézier curves I

Polynomial curve of degree N

- N+1 control points
 - » **boundary control points** define **endpoints** of a curve
 - » boundary control-point pairs define **tangent vectors**
- parametric expression using **Bernstein polynomials**
- easy **G¹** or **C¹** connection
- spline-join is also possible, but much more complicated

Bernstein polynomials:

$$B_i^n(t) = \binom{n}{i} t^i (1-t)^{n-i} \quad 0 \leq i \leq n, \quad 0 \leq t \leq 1$$



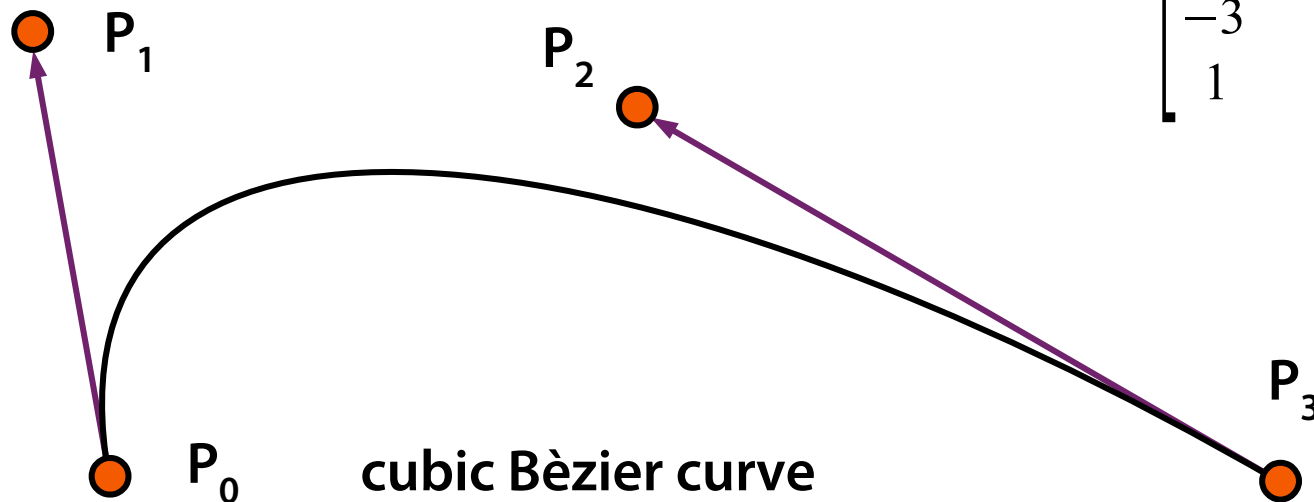
Bèzier curves II

Cauchy condition

⇒ convex combination of control points

$$\sum_{i=0}^n B_i^n(t) = 1 \quad \text{for } 0 \leq t \leq 1$$

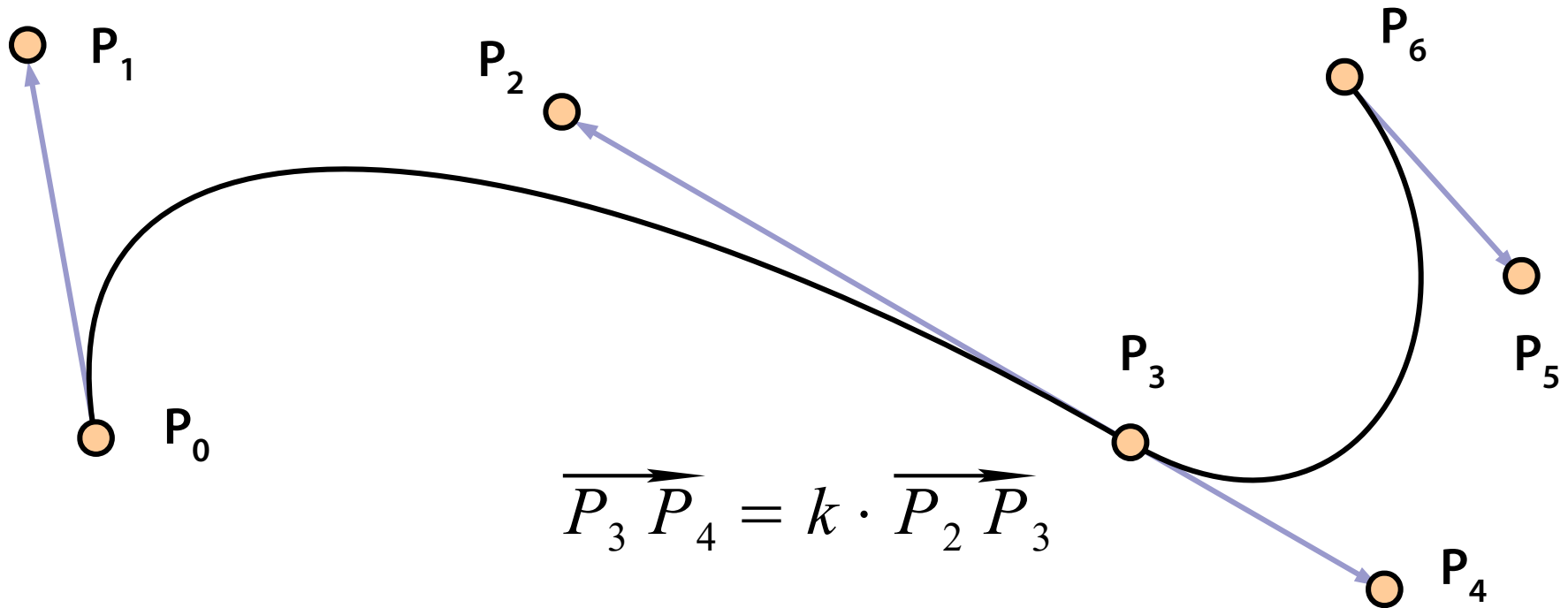
$$MG = \begin{bmatrix} -1 & 3 & -3 & 1 \\ 3 & -6 & 3 & 0 \\ -3 & 3 & 0 & 0 \\ 1 & 0 & 0 & 0 \end{bmatrix} \cdot \begin{bmatrix} P_0 \\ P_1 \\ P_2 \\ P_3 \end{bmatrix}$$





Joining Bézier curves I

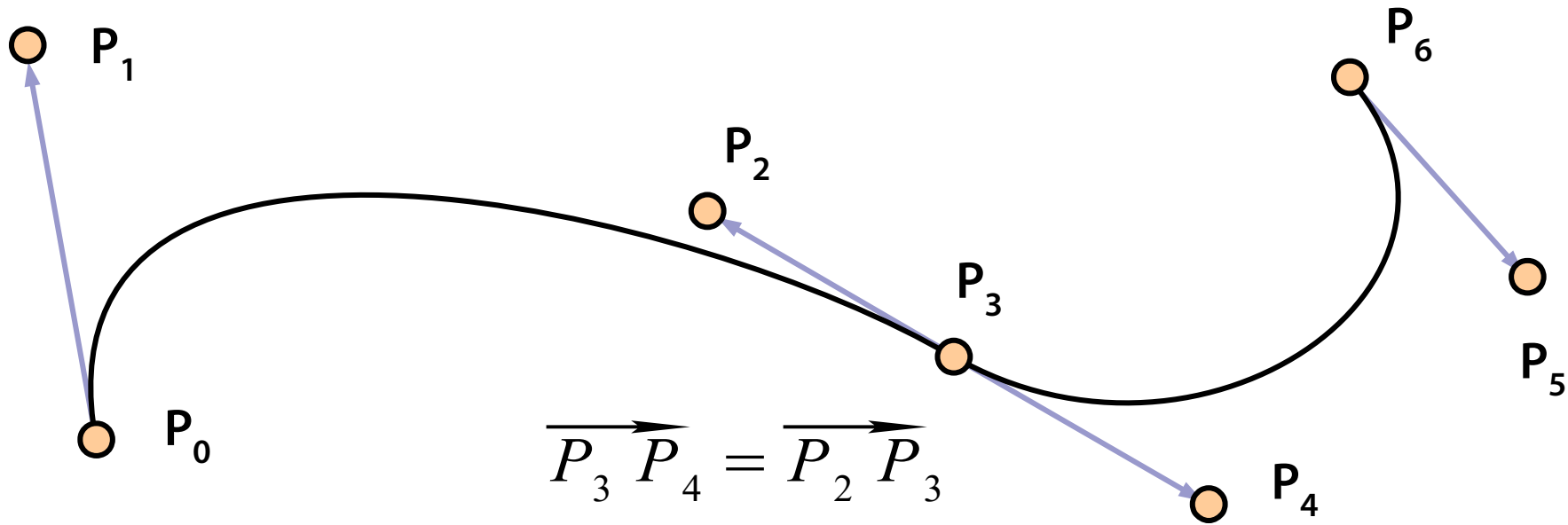
G^1 connection (co-linear tangents)





Joining Bèzier curves II

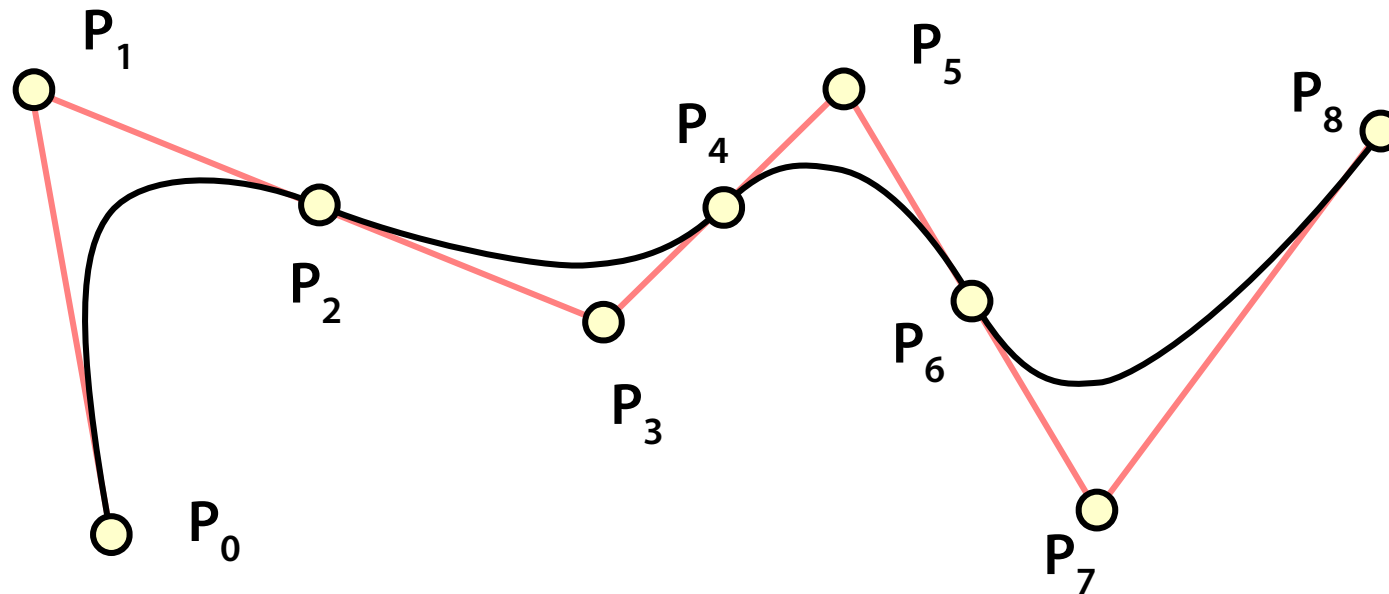
C^1 connection (equal tangent vectors)





Joining Bèzier curves III

Quadratic spline from Bèzier segments

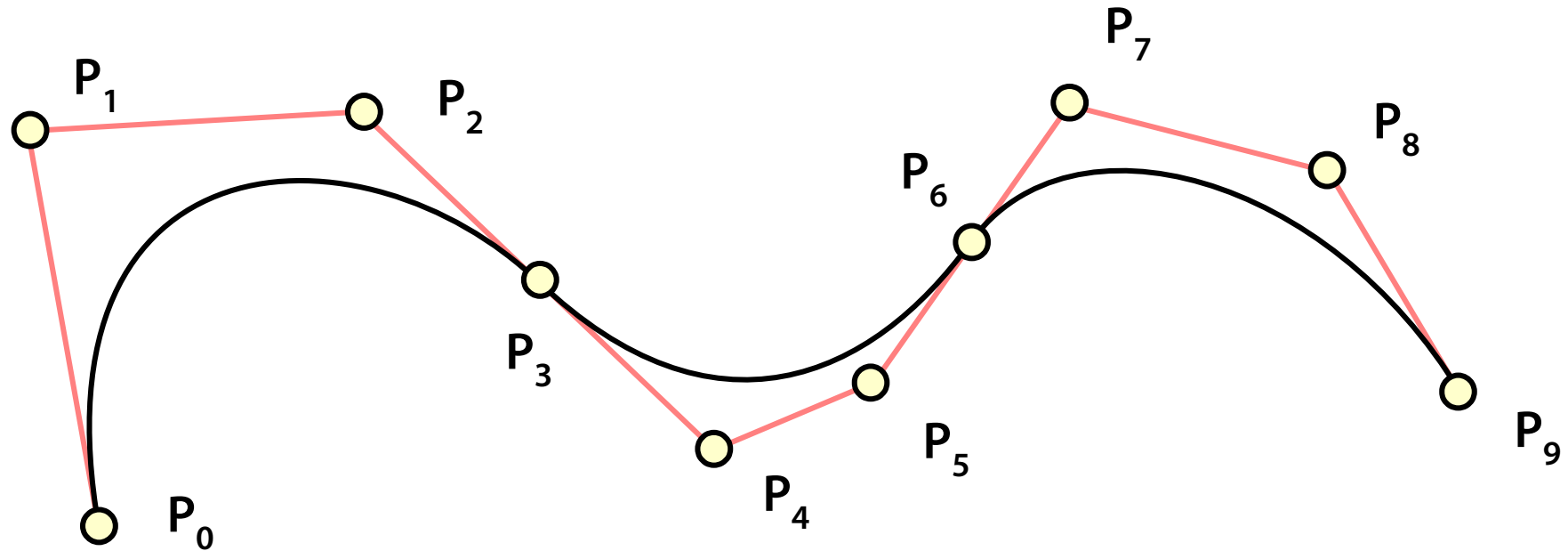


$$\overrightarrow{P_1 P_2} = \overrightarrow{P_2 P_3} \quad \overrightarrow{P_3 P_4} = \overrightarrow{P_4 P_5} \quad \dots \quad \overrightarrow{P_{2k-1} P_{2k}} = \overrightarrow{P_{2k} P_{2k+1}}$$



Joining Bèzier curves IV

Cubic spline from Bèzier segments



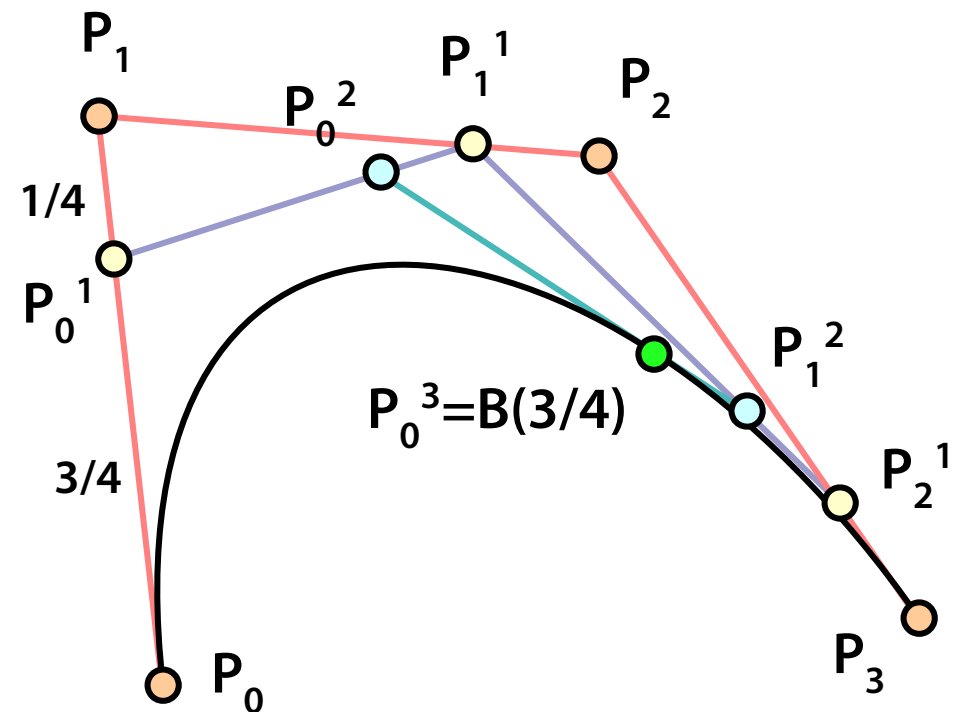
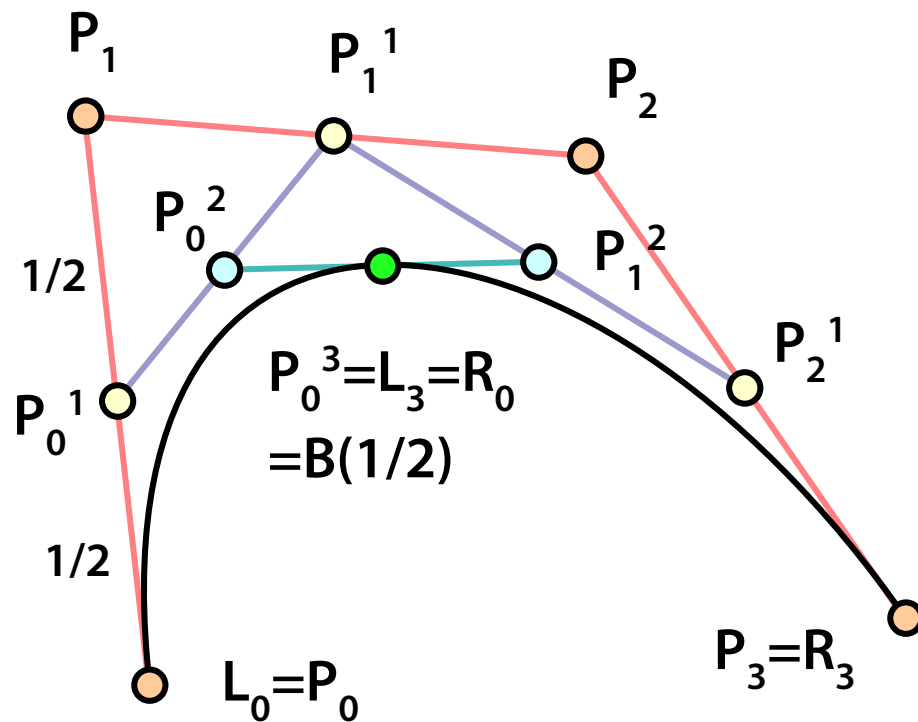
$$\overrightarrow{P_2 P_3} = \overrightarrow{P_3 P_4} \quad \overrightarrow{P_5 P_6} = \overrightarrow{P_6 P_7} \quad \dots \quad \overrightarrow{P_{3k-1} P_{3k}} = \overrightarrow{P_{3k} P_{3k+1}}$$



De Casteljau (de Boor) algorithm

Geometric construction of Bèzier curve

- used as “subdivision” scheme or for computation of a specific point...

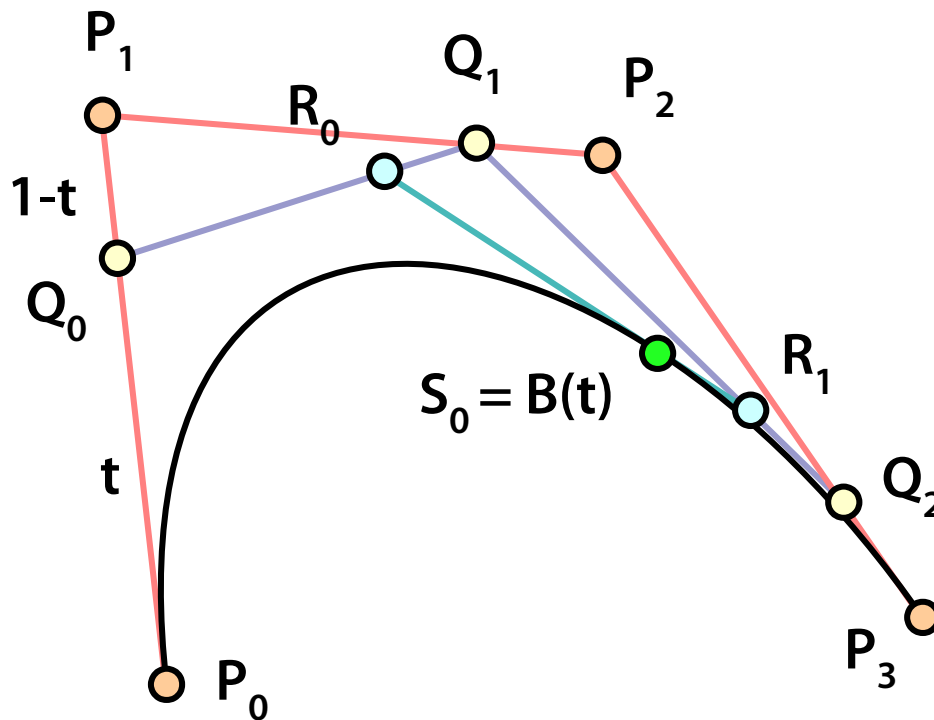




Using [S]LERP operation

Linear interpolation LERP (SLERP for quaternions)

$$\text{LERP}(A, B, t) = A \cdot (1 - t) + B \cdot t$$



Cubic Bézier

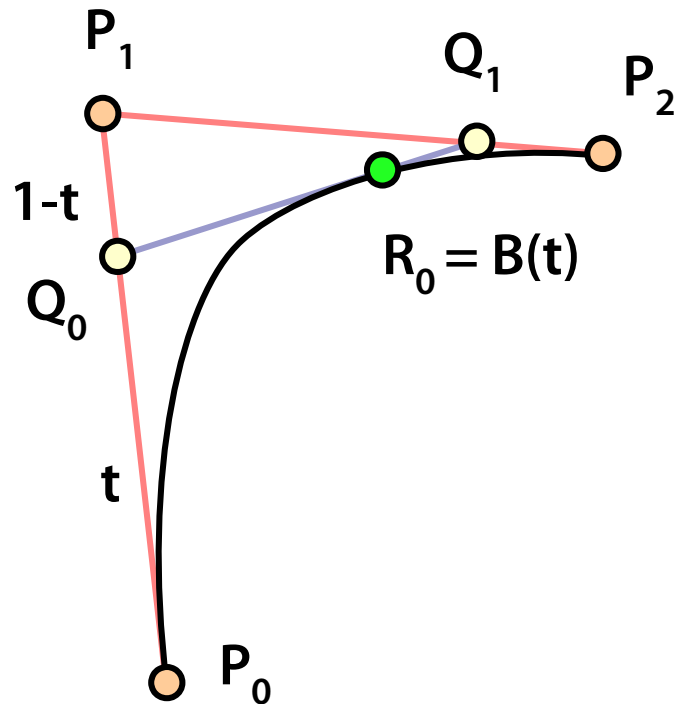
$$Q_i = \text{LERP}(P_i, P_{i+1}, t)$$

$$R_i = \text{LERP}(Q_i, Q_{i+1}, t)$$

$$S_i = \text{LERP}(R_i, R_{i+1}, t)$$



[S]LERP for quadratic interpolation



Quadratic Bèzier

$$Q_i = \text{LERP}(P_i, P_{i+1}, t)$$

$$R_i = \text{LERP}(Q_i, Q_{i+1}, t)$$



Cubic spline

Function assembled from **cubic polynomials**

- neighbor polynomials have C^2 joint
- elastic “spline-ruler” (see construction)

Interpolating cubic spline

- in knot points x_0, x_1, \dots, x_n function values y_0, y_1, \dots, y_n are prescribed

$$S(x) = S_k(x) = s_{k,0} + s_{k,1}(x - x_k) + s_{k,2}(x - x_k)^2 + s_{k,3}(x - x_k)^3$$
$$x \in [x_k, x_{k+1}], \quad k = 0, 1, \dots, n-1$$

Condition A: $S(x_k) = y_k \quad k = 0, 1, \dots, n$



Interpolating cubic spline

Condition **B** (C^0 continuity):

$$S_k(x_{k+1}) = S_{k+1}(x_{k+1}) \quad k=0, 1, \dots, n-2$$

Condition **C** (C^1 continuity):

$$S'_k(x_{k+1}) = S'_{k+1}(x_{k+1}) \quad k=0, 1, \dots, n-2$$

Condition **D** (C^2 continuity):

$$S''_k(x_{k+1}) = S''_{k+1}(x_{k+1}) \quad k=0, 1, \dots, n-2$$

Natural cubic spline has an additional condition **E**:

$$S''(x_0) = S''(x_n) = 0$$



Natural cubic spline

Interpolating spline

- **uniquely determined** by the conditions (solution of linear system of equations $s_{k,l}$)
- **has no local property** (the whole curve changes after altering one control point)

Open spline

- conditions **A, B, C, D** are not sufficient, two more DoF
- additional condition **E** (second derivatives at endpoints)

Closed (cyclic) spline: $\mathbf{x}_0 = \mathbf{x}_n$

- **C** and **D** give us missing conditions for \mathbf{x}_0



B-spline (basis spline)

“Free-form” curve

- shape is defined by a sequence of **control points**
- parametric form using **basis/blending functions** (dependency of a curve point on control polygon)
- **local property** (only local change after altering one CP)

Uniform cubic B-spline (Coons curve)

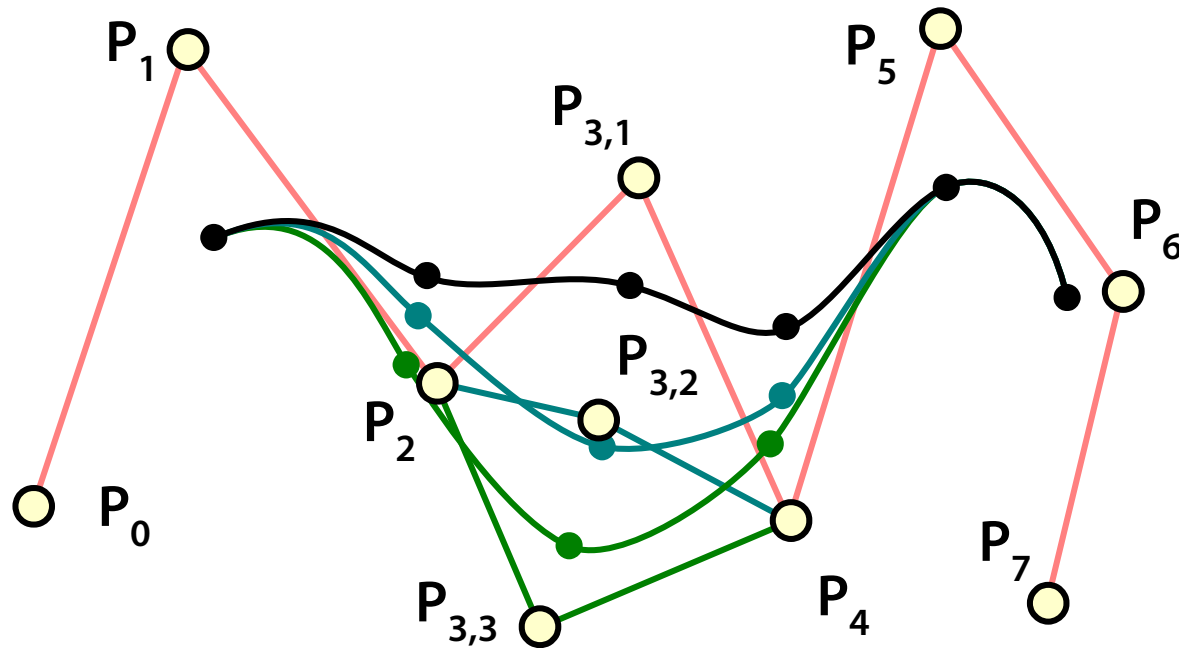
- unified set of basis functions (cubic polynomials)

Nonuniform B-spline

- more complicated definition using knot vector $[t_i]_i$, $0 \leq t_i \leq 1$



Coons B-spline



- continuity C^2
- **sharing** 3 CP between neighbours
- altering one CP induces change in closest 4 segments

$$MG = \frac{1}{6} \begin{bmatrix} -1 & 3 & -3 & 1 \\ 3 & -6 & 3 & 0 \\ -3 & 0 & 3 & 0 \\ 1 & 4 & 1 & 0 \end{bmatrix} \cdot \begin{bmatrix} P_{i-1} \\ P_i \\ P_{i+1} \\ P_{i+2} \end{bmatrix}$$

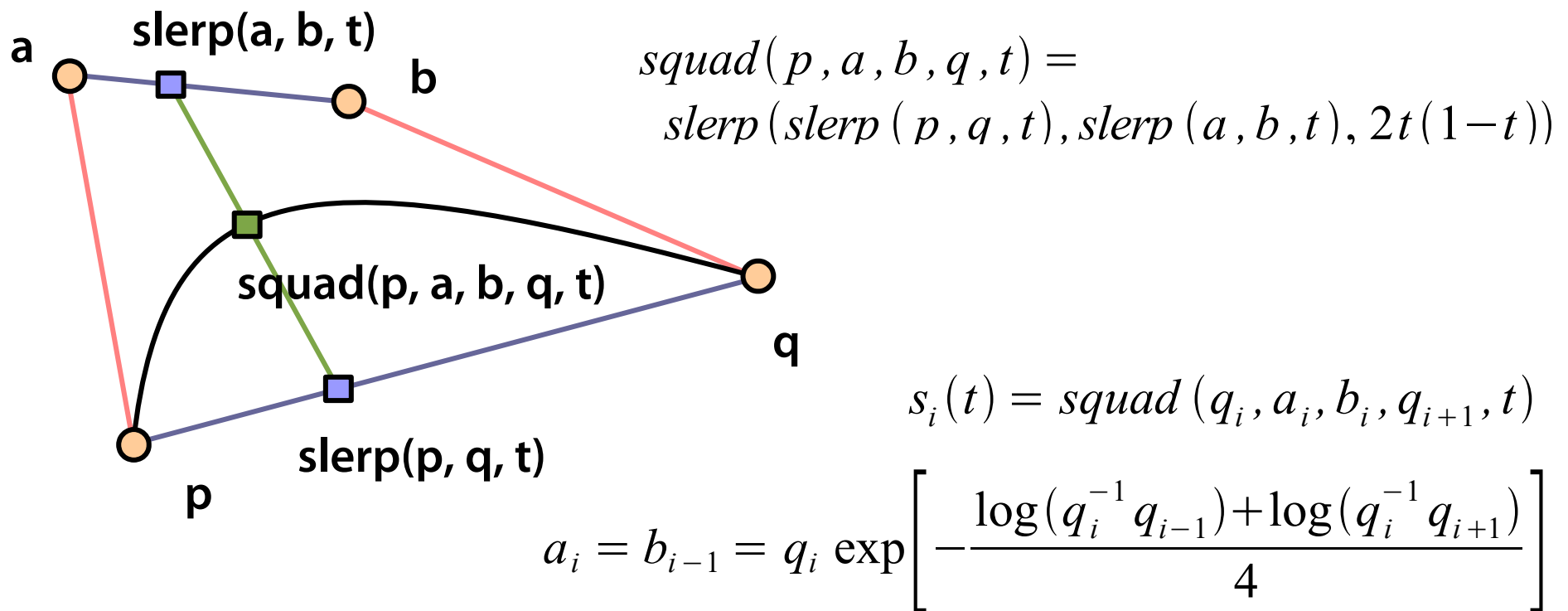


Spline interpolation of quaternions

Subsequent interpolation by a sequence of orientations

$$q_0, q_1, \dots, q_n$$

– $\text{slerp}(q_i, q_{i+1}, t)$ has not sufficient continuity (C^0 only)





Literature

Tomas Akenine-Möller, Eric Haines et al.: *Real-time rendering, 4th edition*, A K Peters, 2018, ISBN: 9781138627000

J. Žára, B. Beneš, J. Sochor, P. Felkel: *Moderní počítačová grafika*, 2. vydání, Computer Press, 2005, ISBN: 8025104540

<http://www.geometrictools.com/> (Dave Eberly)

Základy OpenGL

© 2003-2019 Josef Pelikán
CGG MFF UK Praha

pepca@cgg.mff.cuni.cz
<https://cgg.mff.cuni.cz/~pepca/>



Pokroky v hardware

3D akcelerace běžná i v konzumním sektoru

Hry, multimedia i mobilní app. (OpenGL ES)

Vzhled – kvalita prezentace

- velmi důmyslné techniky texturování
- kombinace mnoha textur, modularita zpracování

Vysoký výkon

- nejmodernější čipové technologie pro výrobu GPU (NVIDIA Volta, Turing: 12 nm), **masivní paralelismus**
- velmi rychlé **paměti** (vícecestný přístup, GDDR6, HBM2)
- výjimečné sběrnice mezi GPU a CPU (dnes PCI-E)



Pokroky v software

Dvě hlavní knihovny pro 3D grafiku

- **OpenGL/Vulkan** (SGI, open standard) a **Direct3D** (Microsoft)
- přístup je podobný, API je velmi ovlivněno hardwarem

Nastavení parametrů a **úsporný přenos dat** do GPU

- maximální sdílení společných datových polí

Programování grafického řetězce!

- revoluce v programování 3D grafiky
- „*vertex shader*“ – zpracování vrcholů
- „*geometry/tesselation/mesh sh.*“ – generování dalších elementů
- „*fragment shader*“ („*pixel shader*“) – zpracování jednotlivých fragmentů/pixelů před vykreslením



Vývojové nástroje

Příjemné pro programátory i „kreativce“

Vyšší jazyky pro programování GPU

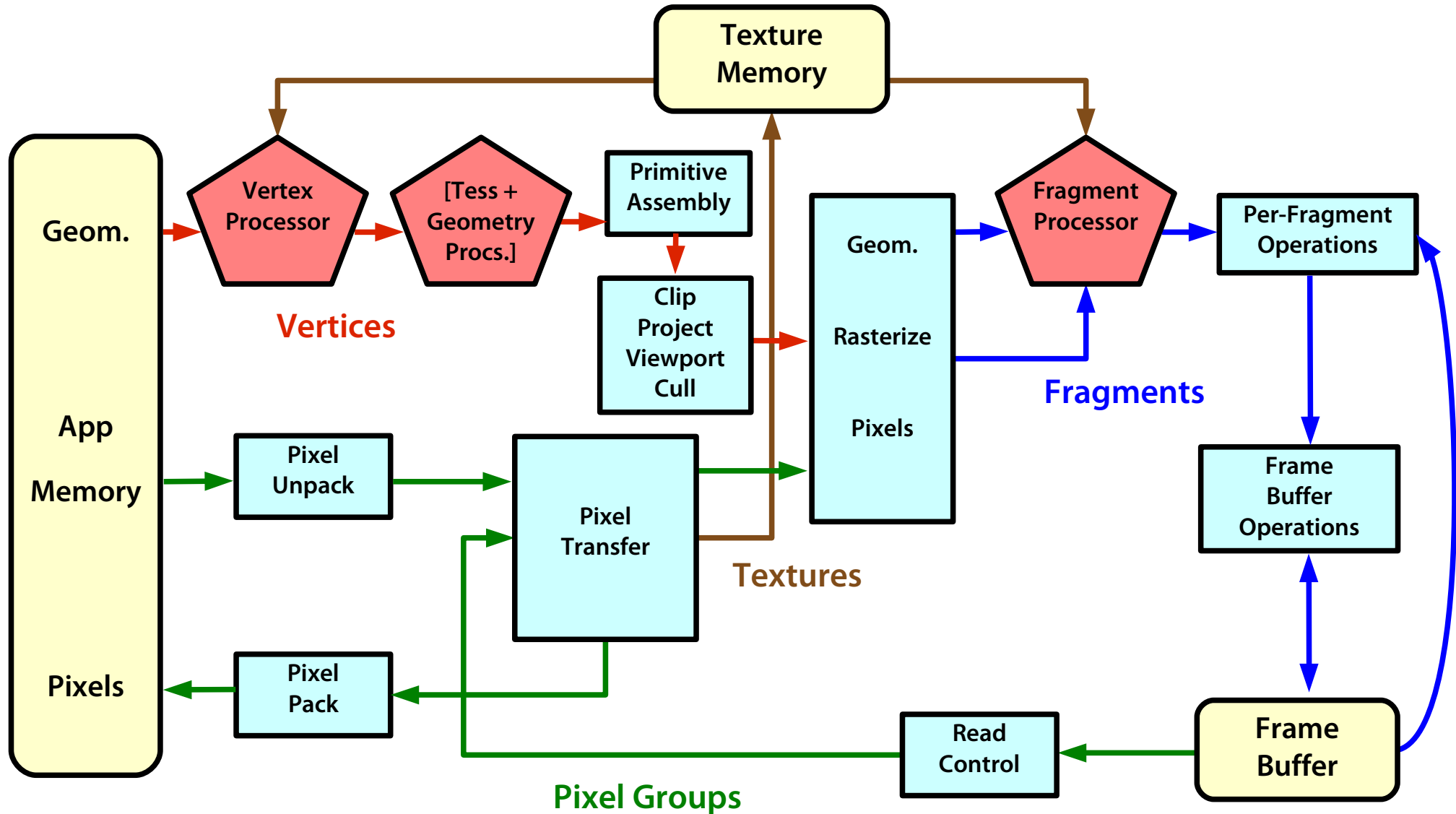
- GLSL (OpenGL), HLSL (DirectX), ~~Cg (NVIDIA)~~
- ~~Cg~~ a HLSL jsou téměř shodné

Kompozice grafických efektů

- kompaktní popis celého efektu (GPU programy, odkazy na data) v jednom souboru
- DirectX **.FX** formát, NVIDIA **CgFX** formát
- nástroje: Effect Browser (Microsoft), **FX Composer** (NVIDIA), **RenderMonkey** (ATI)



Schéma OpenGL GPU





OpenGL – geometrická primitiva

Typy geometrických primitiv

- bod, úsečka, lomená čára, smyčka
- polygon, **trojúhelník**, proužek trojúhelníků, vějíř trojúhelníků, čtyřúhelník, proužek čtyřúhelníků...

Zpracování jednotlivých vrcholů

- glVertex, glColor, glNormal, glTexCoord, ...
- neefektivní (mnoho volání gl* funkcí)

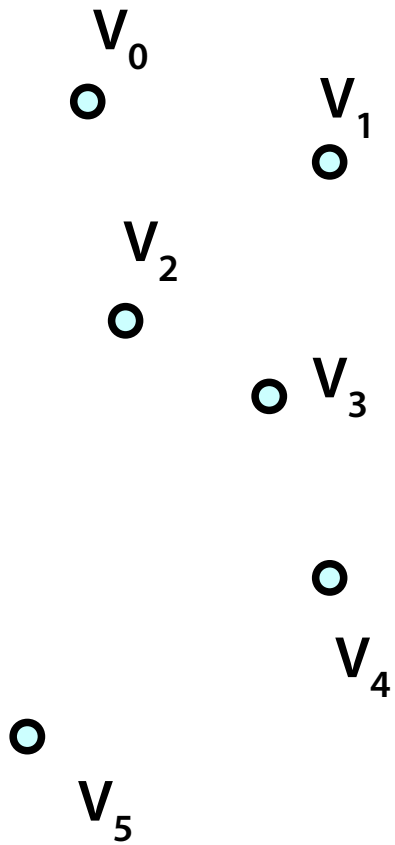
Pole vrcholů

- glDrawArrays, glMultiDrawArrays, glDrawElements ...
- glColorPointer, glVertexPointer... nebo **prokládání**

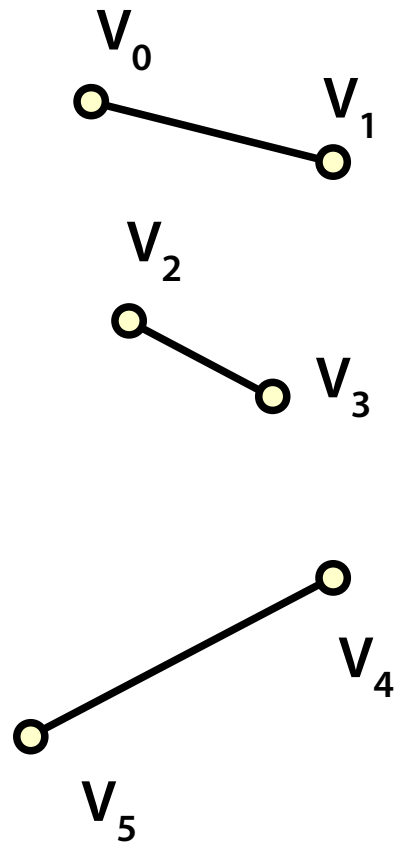


Geometrická primitiva I

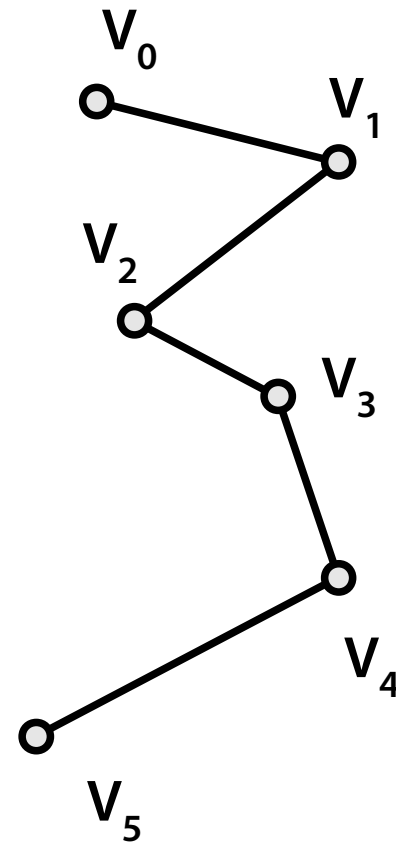
GL_POINTS



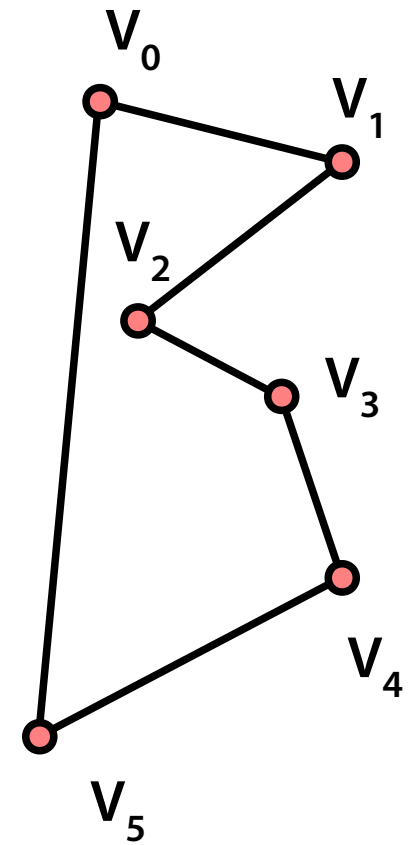
GL_LINES



GL_LINE_STRIP



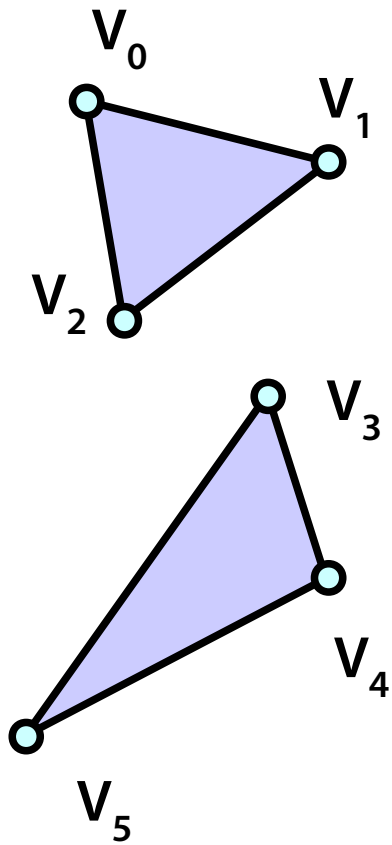
GL_LINE_LOOP



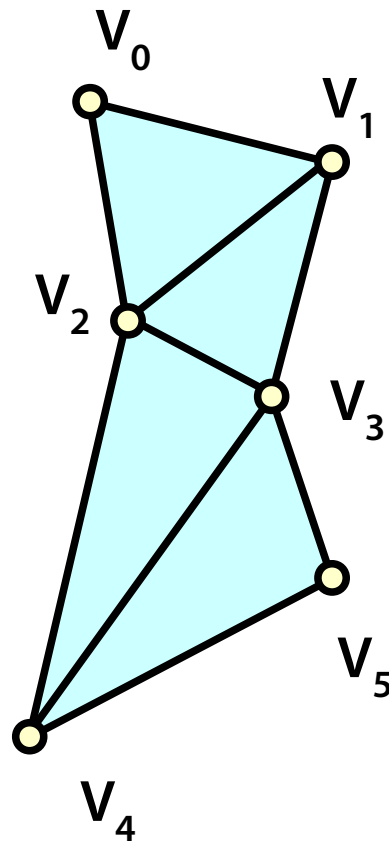


Geometrická primitiva II

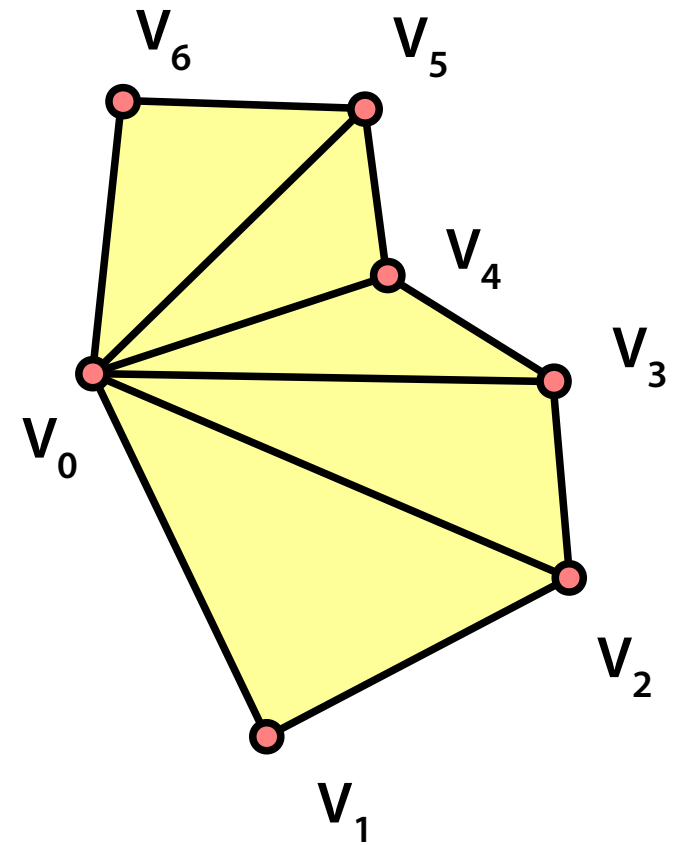
GL_TRIANGLES



GL_TRIANGLE_STRIP



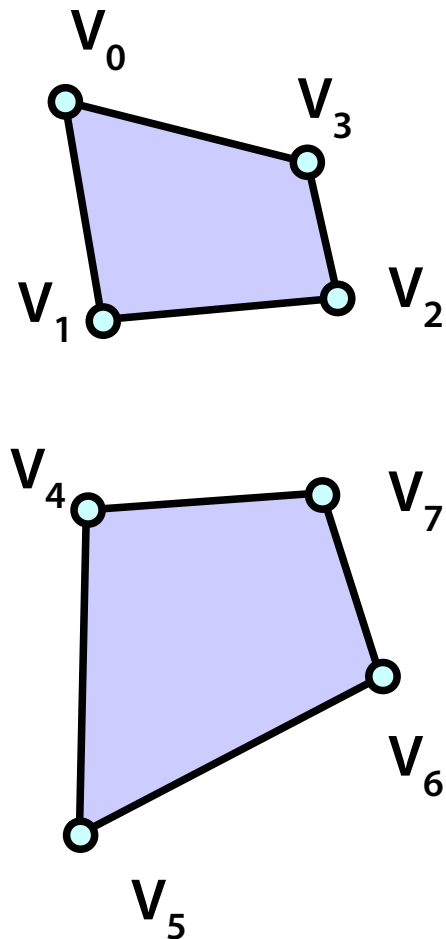
GL_TRIANGLE_FAN



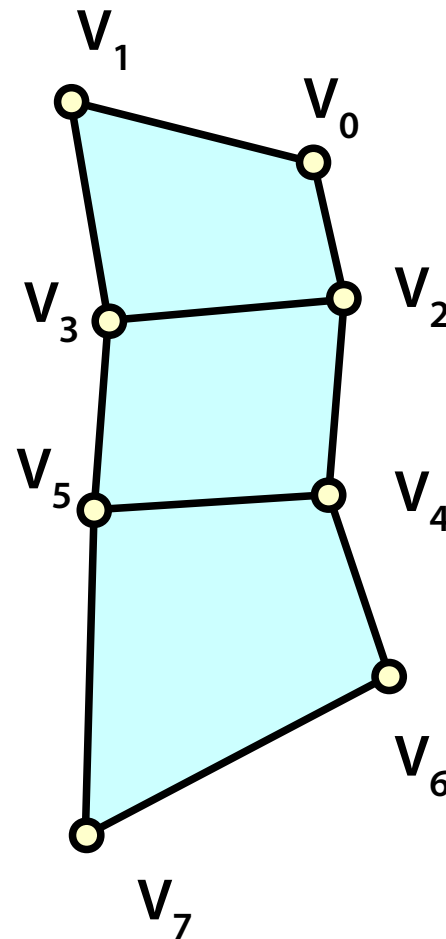


Geometrická primitiva III

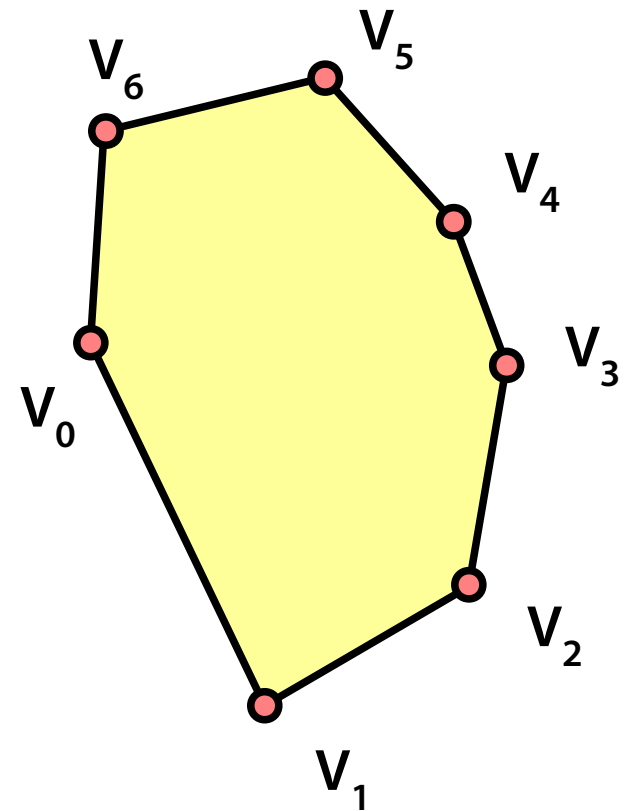
GL_QUADS



GL_QUAD_STRIP

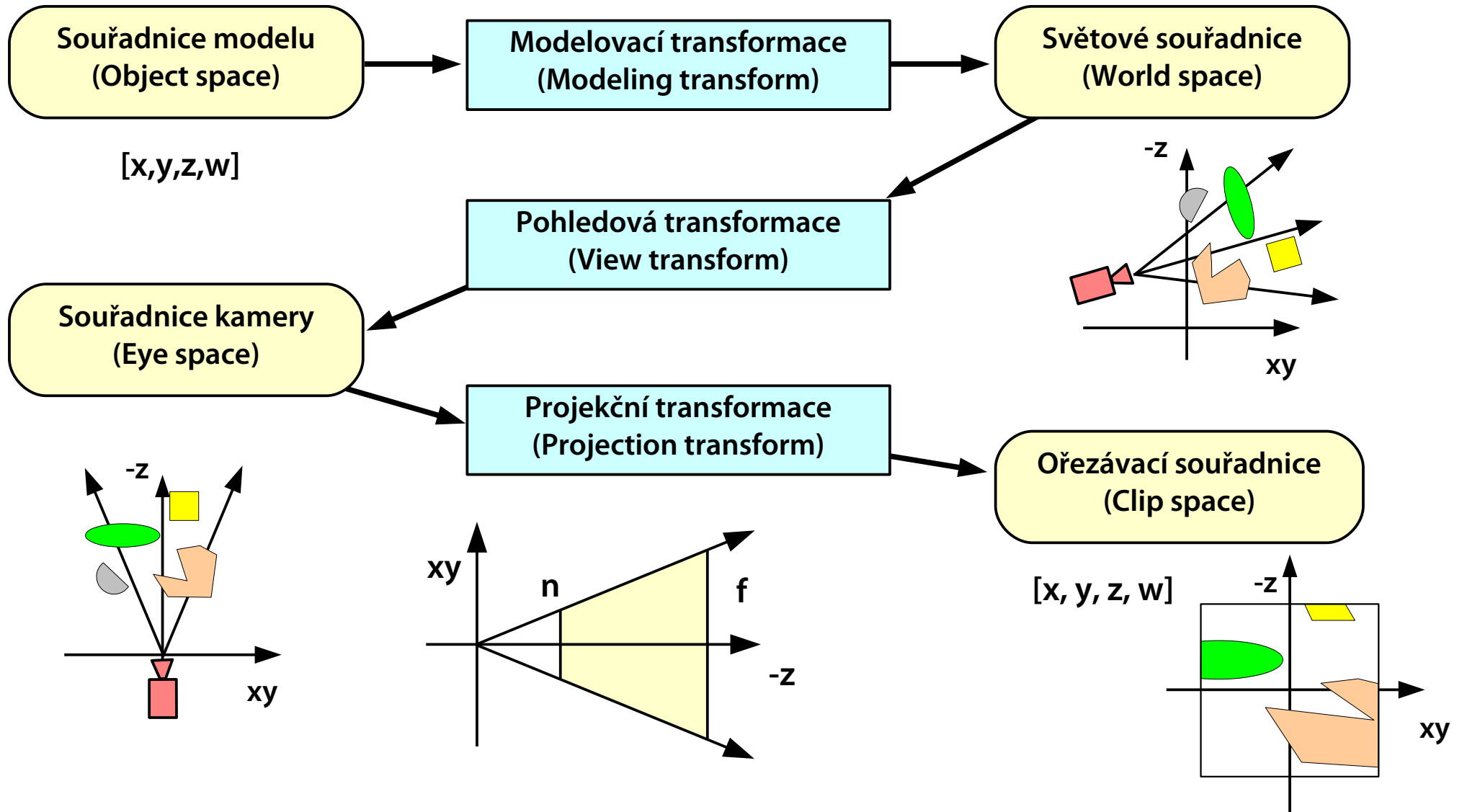


GL_POLYGON



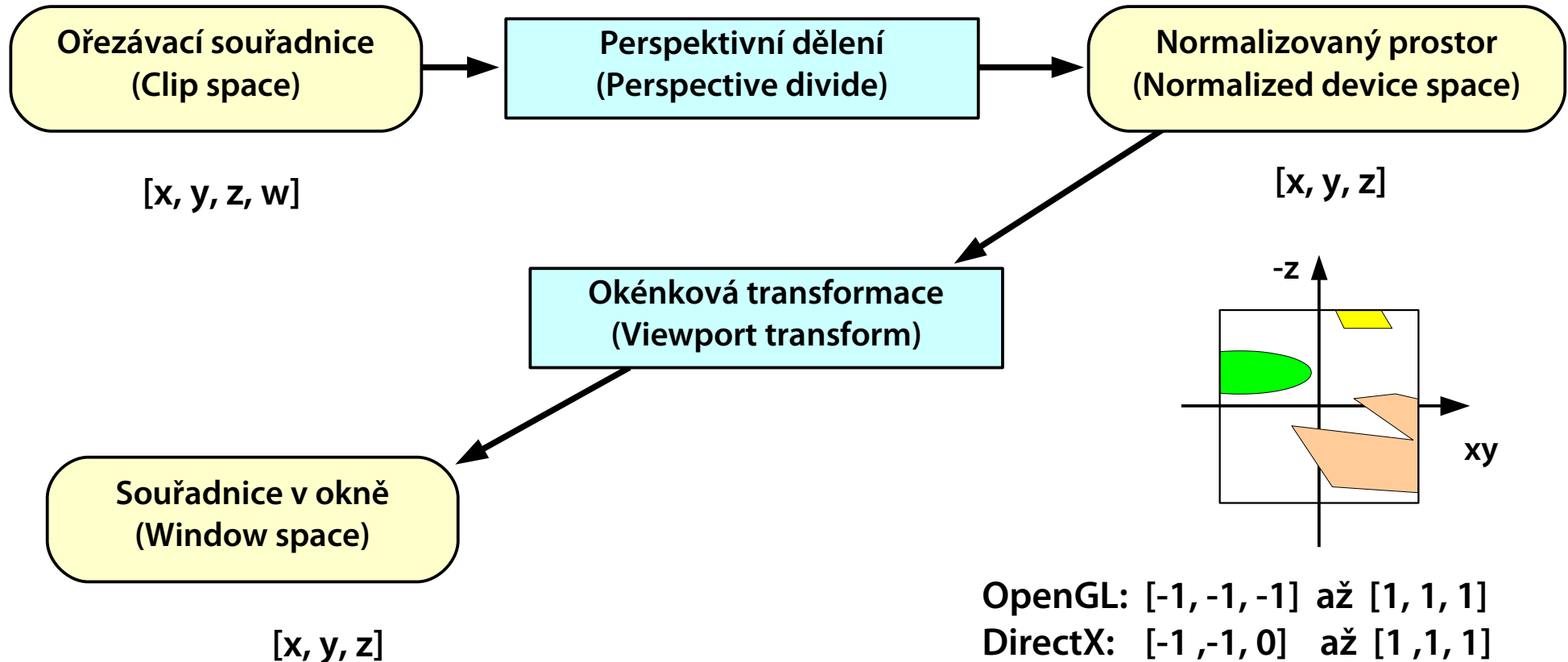


Souřadné soustavy





Souřadné soustavy II



$[x, y]$ skutečná velikost v pixelech na obrazovce (fragmenty)
 z hloubka kompatibilní s z-bufferem



Souřadné soustavy III

Souřadnice modelu

- databáze objektů, ze kterých se skládá scéna
- 3D modelovací programy (3DS Max, Blender, Maya...)

Světové souřadnice

- absolutní souřadnice virtuálního 3D světa
- vzájemná poloha jednotlivých **instancí objektů**

Souřadnice kamery

- 3D svět se transformuje do relativních souřadnic kamery
- střed projekce: **počátek**, směr pohledu: **-z** (nebo **z**)



Souřadné soustavy a transformace

Transformace model → kamera

- společná transformační matice „model-view“
- světové souřadnice nejsou moc důležité

Projekční transformace

- definuje zorný objem = „frustum“ [l, r, b, t, n, f]
- přední a zadní ořezávací vzdálenost: n, f
- výsledkem je homogenní souřadnice (před ořezáním)

Ořezávací souřadnice („clip space“)

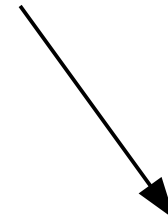
- výstupní souřadnice vertex shaderu!



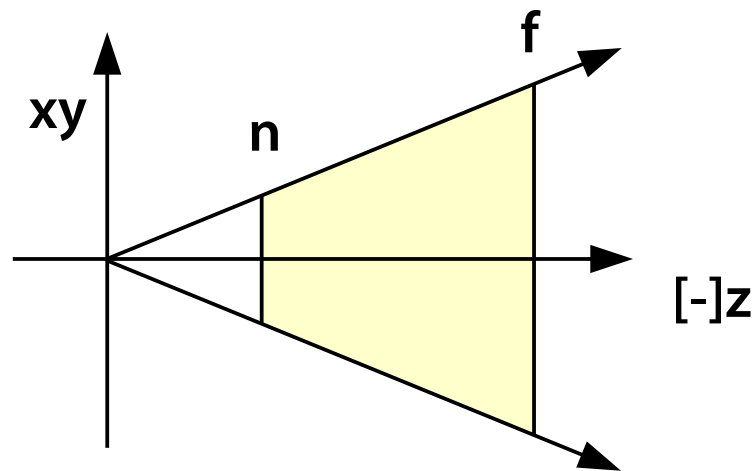
Projekční transformace (perspektiva)

Vzdálený bod f může být i nekonečno

$$\begin{bmatrix} \frac{2n}{r-l} & 0 & 0 & 0 \\ 0 & \frac{2n}{t-b} & 0 & 0 \\ -\frac{r+l}{r-l} & -\frac{t+b}{t-b} & \frac{f+n}{f-n} & 1 \\ 0 & 0 & -\frac{2fn}{f-n} & 0 \end{bmatrix}$$



$$\begin{bmatrix} \frac{2n}{r-l} & 0 & 0 & 0 \\ 0 & \frac{2n}{t-b} & 0 & 0 \\ -\frac{r+l}{r-l} & -\frac{t+b}{t-b} & 1 & 1 \\ 0 & 0 & -2n & 0 \end{bmatrix}$$





Souřadné soustavy a transformace

Perspektivní dělení

- pouze převádí **homogenní** souřadnice do **kartézských**

Normalizované souřadnice zařízení („NDC“)

- kvádr standardní velikosti
- OpenGL: $[-1, -1, -1]$ až $[1, 1, 1]$
- DirectX: $[-1, -1, 0]$ až $[1, 1, 1]$

Souřadnice v okně („window space“)

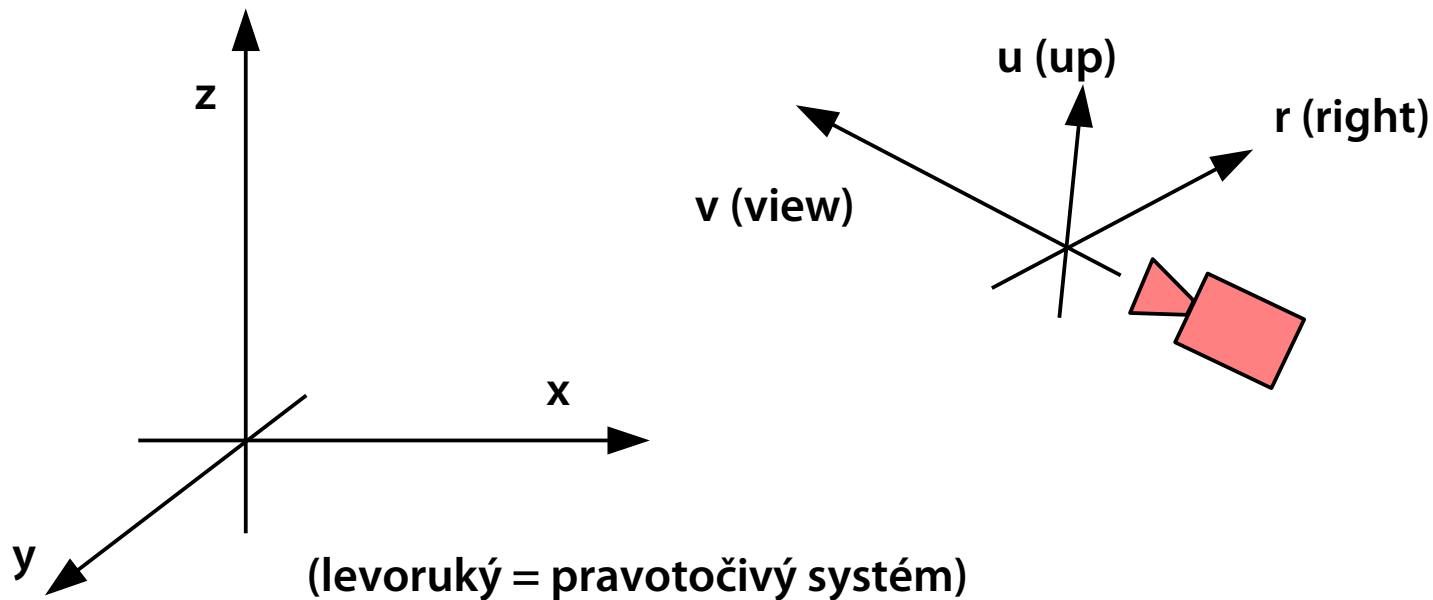
- výsledkem okénkové transformace a transformace hloubky
- používají se při **rasterizaci** a práci s **fragmenty**



Transformace tuhého tělesa

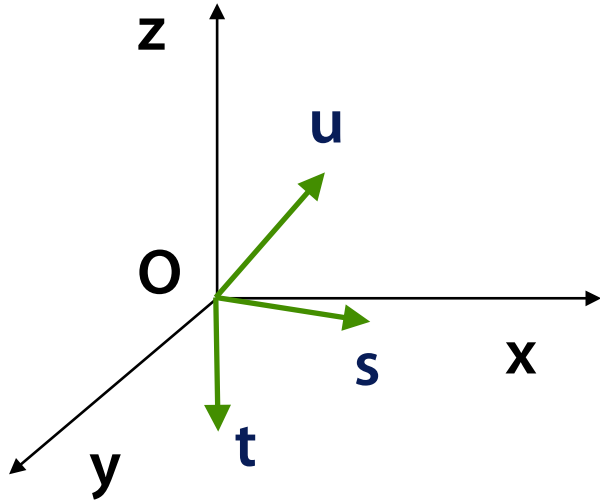
Zachovává **tvár těles**, mění pouze jejich umístění

- skládá se jenom z **posunutí** a **otočení**
- často se používá k **převodu mezi souřadnicovými systémy** (např. mezi světovými souřadnicemi a systémem spojeným s pozorovatelem)





Převod mezi dvěma orientacemi



Souřadný systém má počátek v **O**
a je zadán trojicí jednotkových
vektorů **[s, t, u]**

$$[1, 0, 0] \cdot M_{stu \rightarrow xyz} = s$$

$$[0, 1, 0] \cdot M_{stu \rightarrow xyz} = t$$

$$[0, 0, 1] \cdot M_{stu \rightarrow xyz} = u$$

$$M_{stu \rightarrow xyz} = \begin{bmatrix} s_x & s_y & s_z \\ t_x & t_y & t_z \\ u_x & u_y & u_z \end{bmatrix}$$

$$M_{xyz \rightarrow stu} = M_{stu \rightarrow xyz}^T$$



Geometrická data na GPU

VBO, VAO, počátky od OpenGL 1.5 (2003)

- pro .NET nutností (klientská paměť není fixována)

Buffer na straně GPU (grafického serveru) obsahující geometrická data

- založení bufferu: `glBindBuffer`
- zadání dat z pole: `glBufferData`, `glBufferSubData`
- mapování do paměti aplikace: `glMapBuffer`, `glUnmap...`

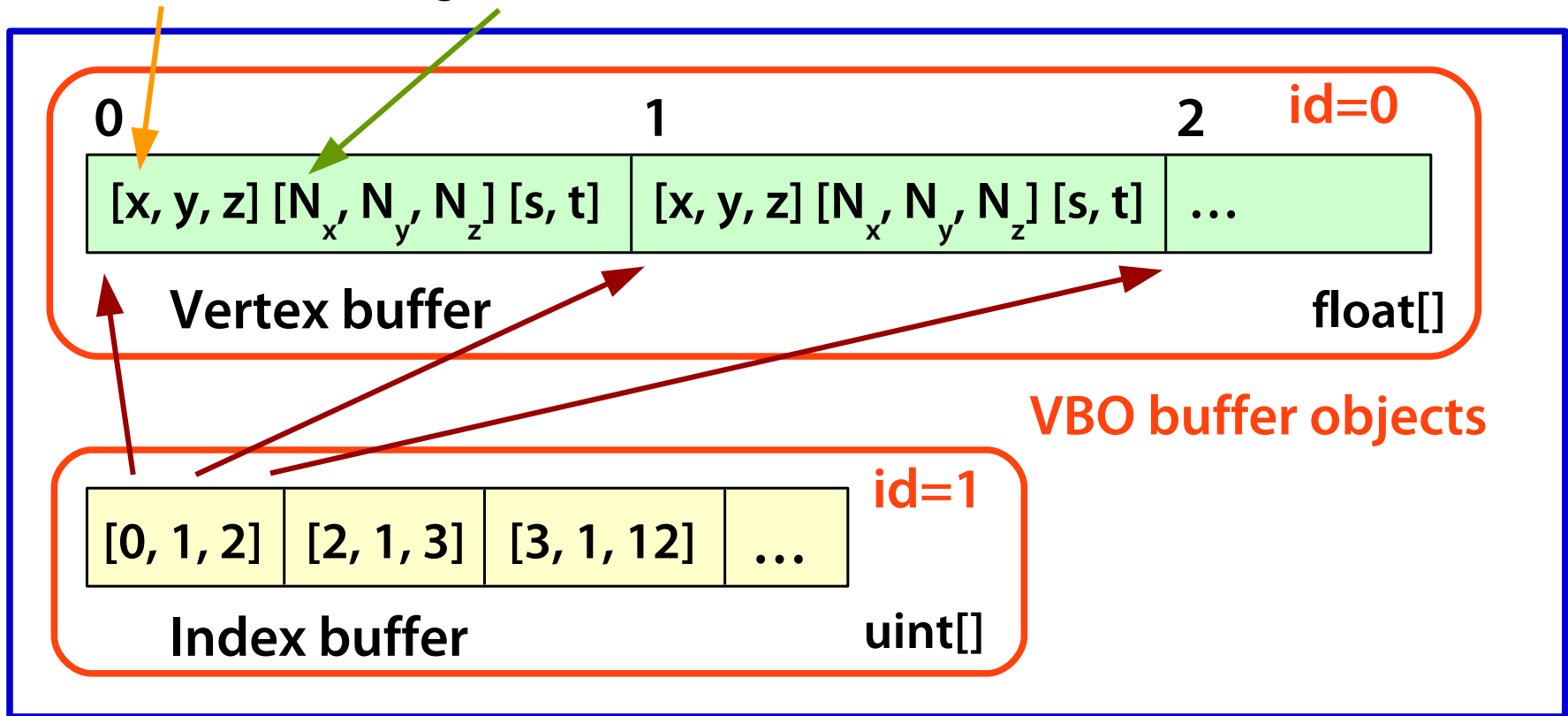
Práce s klientskou pamětí nebo s bufferem

- `glColorPointer`, `glNormalPointer`, `glVertexPointer...`



Vertex Buffer Objects (Buffers)

```
glBindBuffer(GL_ARRAY_BUFFER, 0);  
glVertexPointer(...); glNormalPointer(...); ...
```



```
glBindBuffer(GL_ELEMENT_ARRAY_BUFFER, 1);  
glDrawElements(GL_TRIANGLES, ...);
```

GPU memory



Zpracování vrcholu (shaders)

Povinný „Vertex shader“

Transformace vrcholů modelovacími a projekčními maticemi

- `glMatrixMode`
- `glLoadIdentity`, `glLoadMatrix`, [`glMultMatrix`]
- [`glRotate`, `glScale`, `glTranslate...`]



Sestavení a zpracování primitiv

Volitelné „Tesselation“ a/nebo „Geometry shader“

Sestavení (Assembly)

- určení, kolik vrcholů primitivum potřebuje
- shromáždění balíčku dat a odeslání dál

Zpracování primitiv

- ořezávání („clipping“)
- projekce do zorného objemu („frustum“) – dělení „w“
- projekce a ořezání do 2D okénka („viewport“)
- odstranění odvrácených stěn („culling“)
 - » jednostranná vs. oboustranná primitiva



Rasterizace, fragmenty

Rasterizace = vykreslení vektorových primitiv

- rozklad geometrických objektů na **fragmenty**
- geometrické objekty: body, úsečky, trojúhelníky, bitmapy

Fragment

- **rastrový element**, který **potenciálně** přispívá k barvě nějakého px.
- velikost: stejná nebo menší než u pixelu (anti-aliasing)
- „balíček dat“ procházející rasterizační jednotkou GPU
 - » vstup/výstup: x , y , z (pouze hloubku lze měnit!)
 - » texturovací souřadnice t_0 až t_n
 - » lesklá a difusní barva, koeficient mlhy, uživatelská data...
 - » výstupní barva **RGB** a neprůhlednost α (frame-buffer op.)



Interpolace ve fragmentech

Atributy fragmentů se automaticky **interpolují z hodnot ve vrcholech**

- hloubka (**z** nebo **w**)
- texturové souřadnice
- barvy (lesklá a difusní složka)
- uživatelské atributy...

Rychlé HW interpolátory

Perspektivně korektní interpolace

- jen **[x, y]** se mění lineárně
- ostatní veličiny vyžadují jedno dělení na každý fragment



Zpracování fragmentů (shader)

Povinný „Fragment shader“

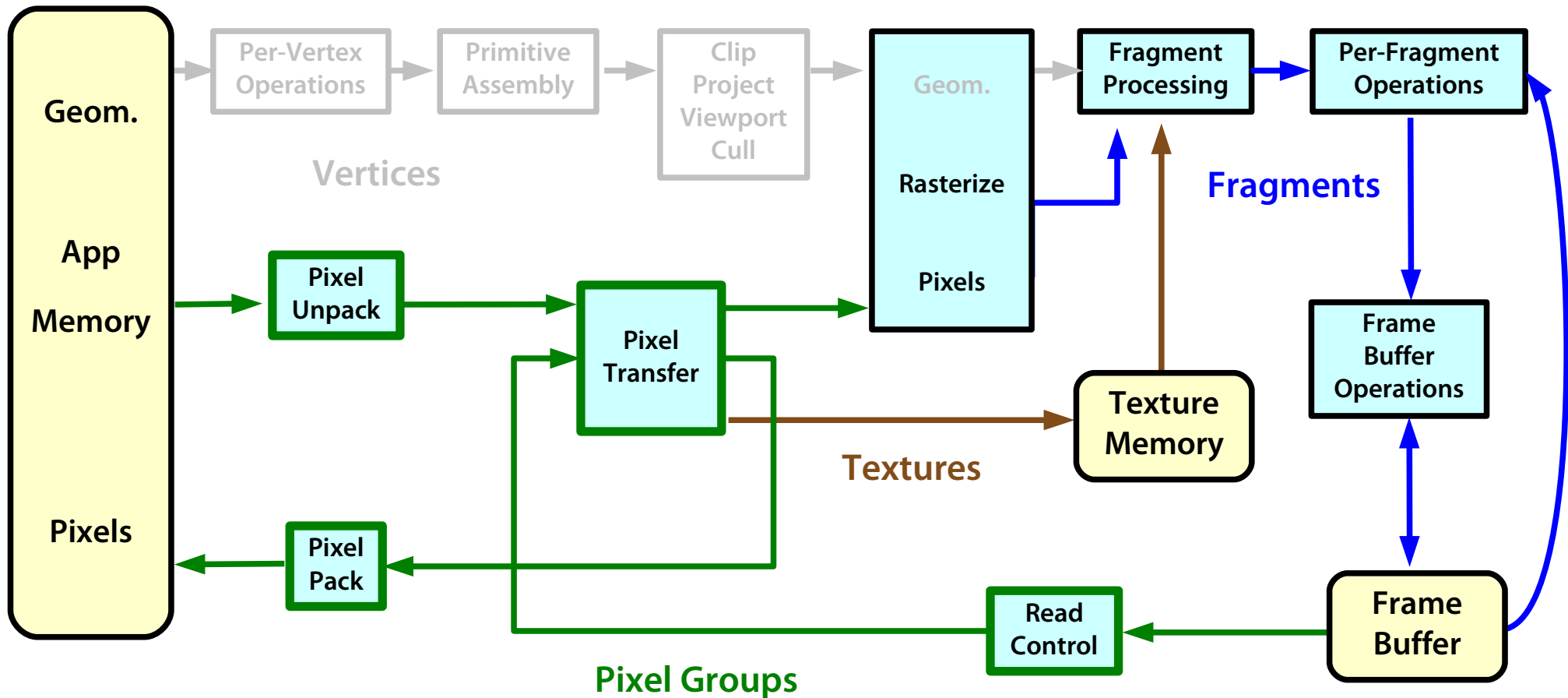
Texturovací operace

- maximálně **optimalizované** operace
- výběr barvy z texturovací paměti
- interpolace texelů
 - » mip-mapping, anisotropic filtering...
- kombinace několika textur (výběr z mnoha operací)
- zvláštní efekty (bump-mapping, environment mapping)

Kombinace primární a sekundární barvy (diffuse, specular)



Rastrové obrázky v OpenGL





Vertex shader

Modul zpracování vrcholů

- transformace vrcholů
- transformace a normalizace normálových vektorů
- výpočet/transformace texturovacích souřadnic
- výpočet osvětlovacích vektorů
- nastavení materiálových konstant do vrcholů

Nemůže ovlivnit

- **počet vrcholů!** (nelze přidat ani ubrat vrchol*)
 - » částečné řešení: degenerace primitivu
- typ / topologii geometrických primitiv
 - » řešení: geometry shader



Fragment shader

Modul zpracování fragmentů

- aritmetické operace s interpolovanými hodnotami
- čtení dat z textur
- aplikace textur
- výpočet mlhy
- závěrečná syntéza barvy fragmentu
- možnost modifikace hloubky fragmentu

Nemůže ovlivnit

- **počet fragmentů!** (nelze přidat fragment*)
 - » zrušení fragmentu: discard
- **polohu fragmentu** na obrazovce [x, y]



Shader uniforms (constants)

Hodnoty, které se nemění příliš často

- jsou **konstantní během jedné kreslicí dávky** (batch)
- aplikace je předává do GPU jednotlivě nebo přes buffery
- omezený objem dat (až 1024 vektorů)
 - » data většího rozsahu se už musí předávat přes textury/buffery

Typické uniforms/konstanty

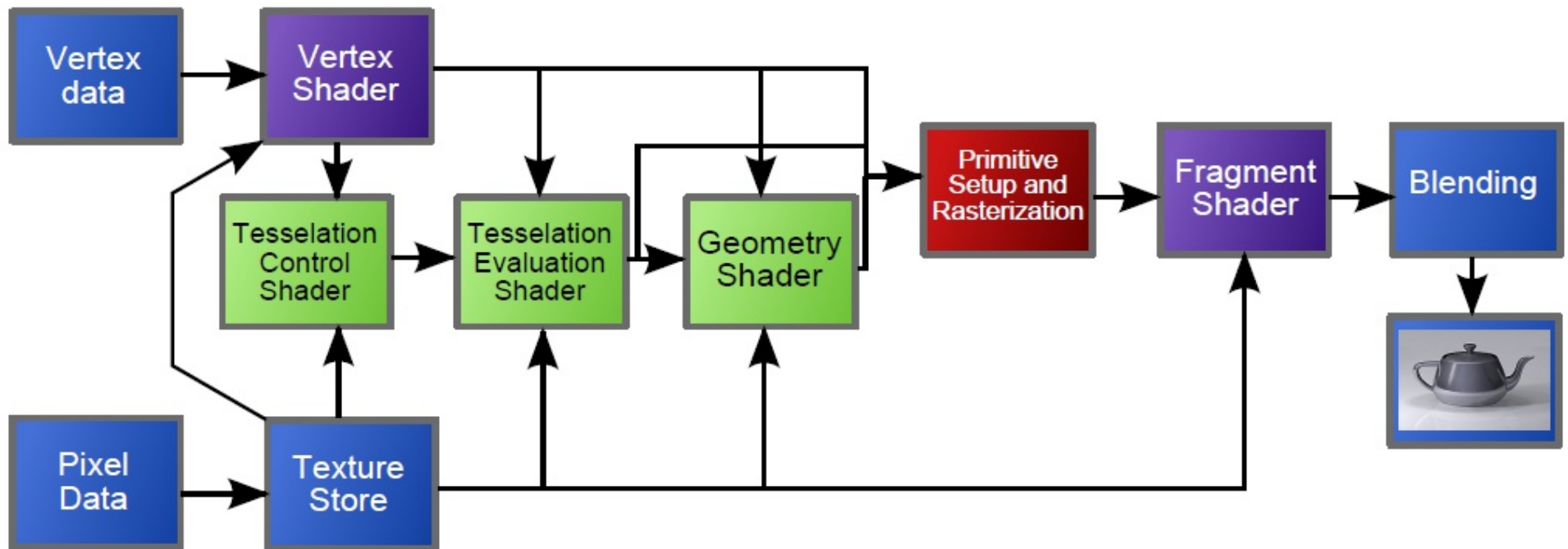
- **transformační matice** (matrix stack)
 - » **model matrix** (mění se s každou instancí objektu)
 - » **view-projection matrix** (mění se jednou za snímek)
- mody vykreslování
- poloha světel, kamery a další hodnoty pro stínování



„Novinky“ v OpenGL 3.x+ (2009-)

Dva další kroky zpracování geometrie na GPU

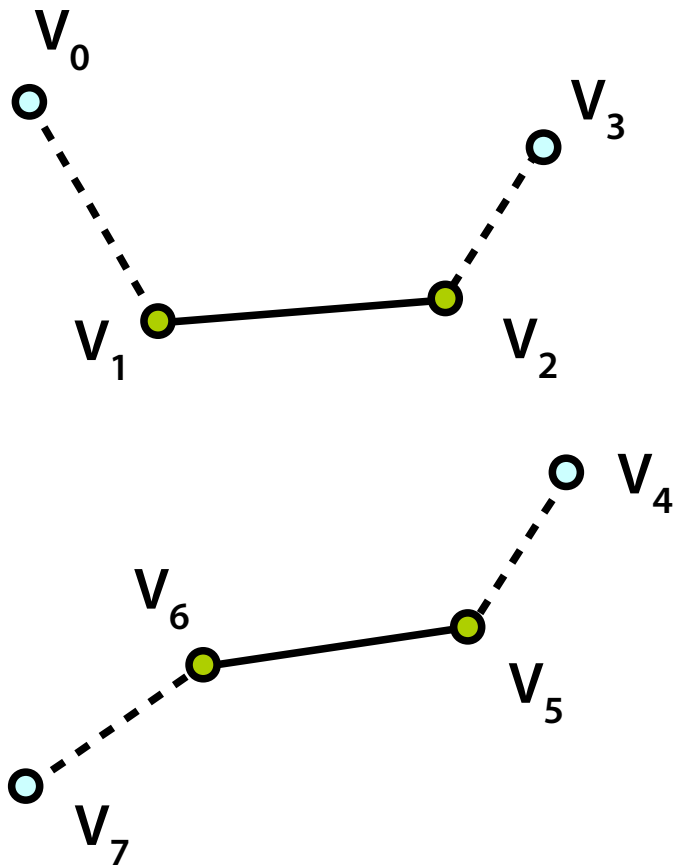
- Geometry shader (OpenGL 3.2+)
- Tessellation shaders (OpenGL 4.0+)



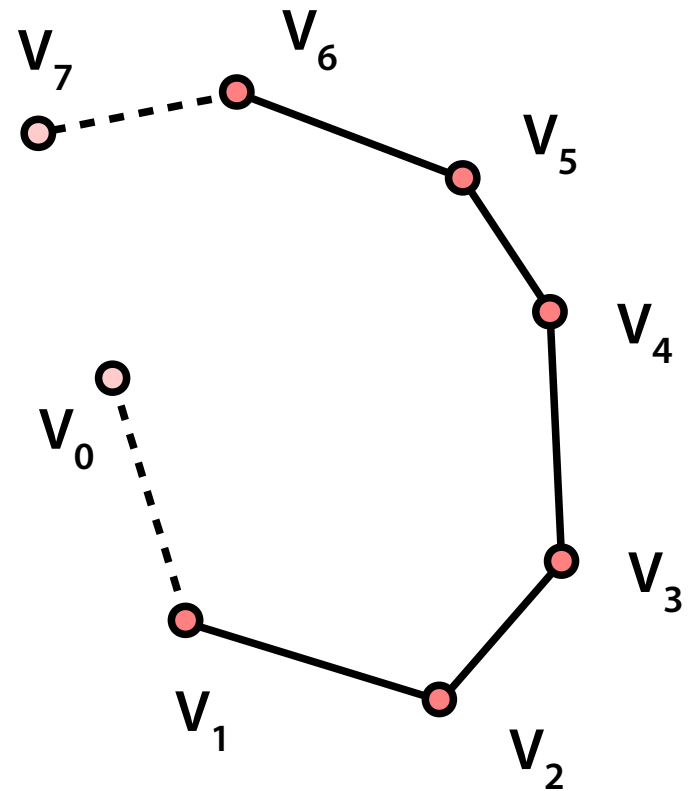


Geometrická primitiva IV

GL_LINES_ADJACENCY



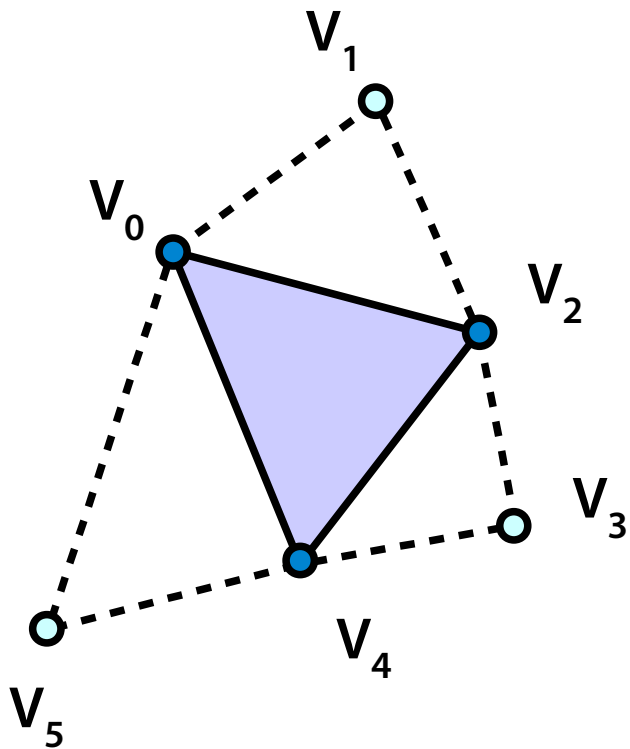
GL_LINE_STRIP_ADJACENCY



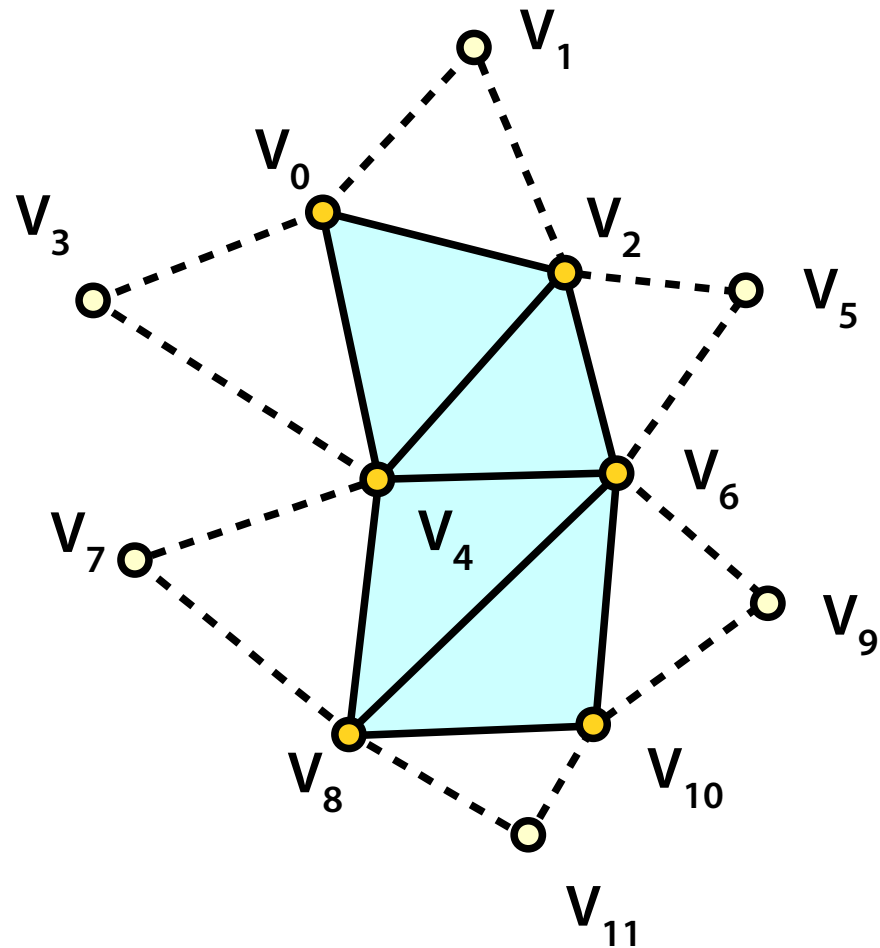


Geometrická primitiva V

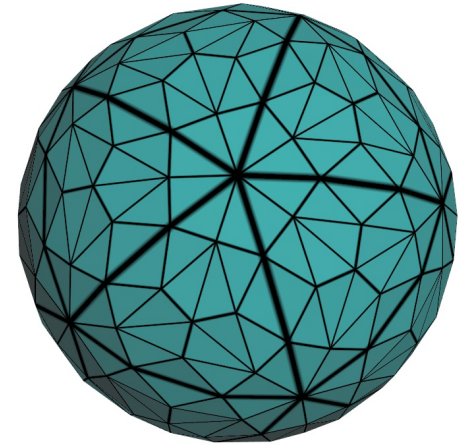
GL_TRIANGLES_ADJACENCY



GL_TRIANGLE_STRIP_ADJACENCY



Geometrické procesory



Tessellation shaders

- nově v OpenGL 4.0
- HW podporované dělení ploch, subdivision (spline pláty...)
- dva shadery: „tessellation control“ a „tessellation evaluation“
- první definuje topologii, druhý počítá geometrii (koeficienty)

Geometry shader

- od OpenGL 3.2
- těsně před rasterizační jednotkou
- možnost pracovat s celými primitivy
- obecnější než TS, avšak pomalejší (na jednoduchá schémata dělení se nehodí)






Programování procesorů v GPU

Vertex shader, Fragment shader...

- kód zavedený ve vrcholovém, fragmentovém... procesoru

Aplikační programátor může tyto kódy měnit!

- **HW nezávislé*** programovací jazyky
- **strojový kód pro GPU** se kompiluje až v době běhu aplikace (RT optimalizace, různé profily/verze)
- low-level instrukce (jazyk se podobá assembleru)
- nebo **vyšší jazyky** ~~Cg~~, HLSL, GLSL (podobné)

 ~~Cg~~  HLSL  GLSL
NVIDIA Microsoft OpenGL



GLSL example (vertex shader)

```
#version 130

in vec4 position;
in vec3 normal;
in vec2 texCoords;
in vec3 color;

out vec2 varTexCoords;
out vec3 varNormal;
out vec3 varWorld;
out vec3 varColor;
flat out vec3 flatColor;

uniform mat4 matrixModelView;
uniform mat4 matrixProjection;

void main ()
{
    gl_Position = matrixProjection * matrixModelView * position;
    // Propagated quantities.
    varTexCoords = texCoords;
    varNormal     = normal;
    varWorld      = position.xyz;
    varColor      = flatColor = color;
}
```



GLSL example (Phong shader + texture)

```
#version 130

in vec2  varTexCoords;           // [s, t]
in vec3  varNormal;             // world coordinate system
in vec3  varWorld;
in vec3  varColor;              // Gouraud color
flat in  vec3 flatColor;

uniform bool useShading;
uniform vec3 globalAmbient;
uniform vec3 lightColor;
uniform vec3 lightPosition; // world coordinate system
uniform vec3 eyePosition;   // world coordinate system
uniform vec3 Ks;
uniform float shininess;
uniform bool useTexture;
uniform sampler2D texSurface;

out vec3 fragColor;           // output = fragment color

...
```



GLSL example (Phong shader + texture)

```
void main ()
{
    if (useShading)
    {
        vec3 P = varWorld;
        vec3 N = normalize(varNormal);
        vec3 L = normalize(lightPosition - P);
        vec3 V = normalize(eyePosition - P);
        vec3 H = normalize(L + V);

        float cosb = 0.0;
        float cosa = dot(N, L);
        if ( cosa > 0.0 )
            cosb = pow(max(dot(N, H), 0.0), shininess);

        vec3 kkd;
        if (useTexture)
            kkd = vec3(texture2D(texSurface, varTexCoords));
        else
            kkd = varColor;

        fragColor = kkd * globalAmbient +
                    kkd * lightColor * cosa +
                    Ks * lightColor * cosb;
    }
    else
        fragColor = flatColor;
}
```



Typický main() v OpenGL

Real-time simulátor (videohra, 3D editor/prohlížeč, apod.)

- vykreslování 3D scény plnou rychlostí (maximální fps)

Nadstavba nad OpenGL (okno + „**swap-chain**“, interakce)

- SDL, OpenTK, freeglut, Qt, wxWidgets...

ColdStart – inicializace nadstavby i OpenGL

- globální start a nastavení OpenGL, mody grafiky (color, depth-buffer, swap-chain), kompilace shaderů, [načtení textur]...

WindowResize – reakce na změnu velikosti okna

- přenastavení **viewport** a **projekční matice**
- změna dalších souvisejících hodnot (např. pro UnProject())



Vnitřní smyčka (pozor na synchronizaci)

ProcessEvents – čtení a zpracování událostí

- interaktivní: **myš, klávesnice, pad**, ostatní: **síťová komunikace...**
- lze implementovat **asynchronně** (UWP, pozor na ochranu dat!)

Update (Simulate) – simulace scény

- logika simulátoru/hry, simulace fyziky, přehrávání animací...
- komponenta **masivně měnící aktuální stav** simulovaného světa
- lze implementovat **asynchronně** (i ve více vláknech), ale pozor...!

Render – vykreslení scény

- **nakreslení aktuálního stavu** 3D reprezentace a předání výsledku do swap-chainu
- zde je potřeba **OpenGL**



Typický main() v OpenGL I

```
world world(..);           // simulated world
Swapchain swapchain(..);   // object presenting result 2D graphics to the window
bool done = false;        // app-exit request

void main (int argc, char **argv)
{
    CommandLineArguments(argc, argv);

    Coldestart("Test app", swapchain, PIX_FORMAT_R8G8B8A8, DOUBLE_BUFFERING, ..);

    WindowResize();

    world.InitSimulation();

    while (!done)
    {
        // simulate & render one frame.

        ProcessEvent();

        Update(GetSystemTime());

        if (WindowVisible())
            Render();
    }
}
```



Typický main() v OpenGL II

```
void ProcessEvents ()           // process all available events
{
    Event ev;
    while (PollEvent(ev))
        switch (ev.type):
        {
            case WINDOW_RESIZE:
                WindowResize();
                break;
            case WINDOW_CLOSE:
                done = true;
                break;
            case KEY_DOWN:
                ...
            case MOUSE_BUTTON_DOWN:
                ...
            case MOUSE_MOVE:
                ...
        }
}

void Update (double time)      // simulate the world (to the given target time)
{
    world.UpdateForces(time);  // application-related code
    world.UpdatePositions(time);

    world.PlayAnimations(time); // scripted animations
}
```



Typický main() v OpenGL III

```
void Render () // Render current world's state using OpenGL.
{
    swapchain.FrameStart();

    // Clear frame-buffer & depth-buffer.
    glClear(GL_COLOR_BUFFER_BIT | GL_DEPTH_BUFFER_BIT);

    SetViewProjMatrices(); // camera is constant for the whole frame..

    for (const auto& section : world.GetSections()) // R/O copy of world's data (?)
    {
        section.SetModelMatrix(); // every section has its own model transform
        section.SetShaders(); // change shaders only if necessary
        section.SetTextures(); // change textures only if necessary
        section.SetUniforms(); // either here or before every batch

        // One scene section can have multiple rendering batches.
        for (const auto& batch : section.batches)
        {
            batch.SetBuffers(); // change VB/IB only if necessary (glBindBuffer..)
            batch.Render(); // actual rendering command[s] (glDrawElements,
            // glDrawArrays, glDrawElementsInstanced, ..)
        }
    }

    swapchain.Present(); // "SwapBuffers()" ..
}
```




Literatura

Tomas Akenine-Möller, Eric Haines et al.: *Real-time rendering*, 4th edition, A K Peters, 2018, ISBN: 9781138627000

OpenGL ARB: *OpenGL Programming Guide*, 8th edition, Addison-Wesley, 2013, ISBN: 0321773039

Malířův algoritmus

© 1995-2019 Josef Pelikán
CGG MFF UK Praha

pepca@cgg.mff.cuni.cz
<https://cgg.mff.cuni.cz/~pepca/>



Malířův algoritmus

Kreslení do bufferu

- video-RAM, GPU, rastrová tiskárna s bufferem

Vyplňování ploch

- lze i stínovat

Kreslení odzadu dopředu

- překreslování dříve nakreslených objektů
- kreslení **poloprůhledných objektů na GPU**

→ Určení správného pořadí ploch



Zjednodušené varianty

Explicitní pořadí kreslení

- např. u grafu funkce dvou proměnných: $z = f(x,y)$

Hlubkové třídění („depth-sort“)

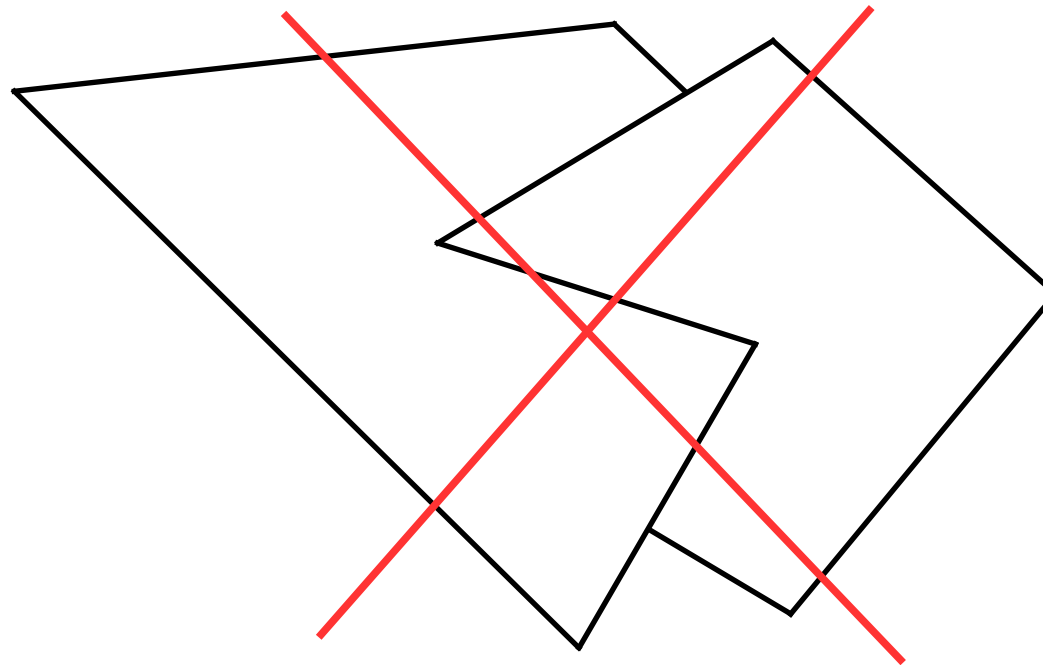
- **setřídění objektů podle souřadnice z** (střed, těžiště)
- dobře funguje při velkém množství malých objektů
- nesprávná kresba velkých ploch (velká stolní deska s malými předměty)



Korektní algoritmus

Scéna je složena z **rovinných plošek (stěn)**

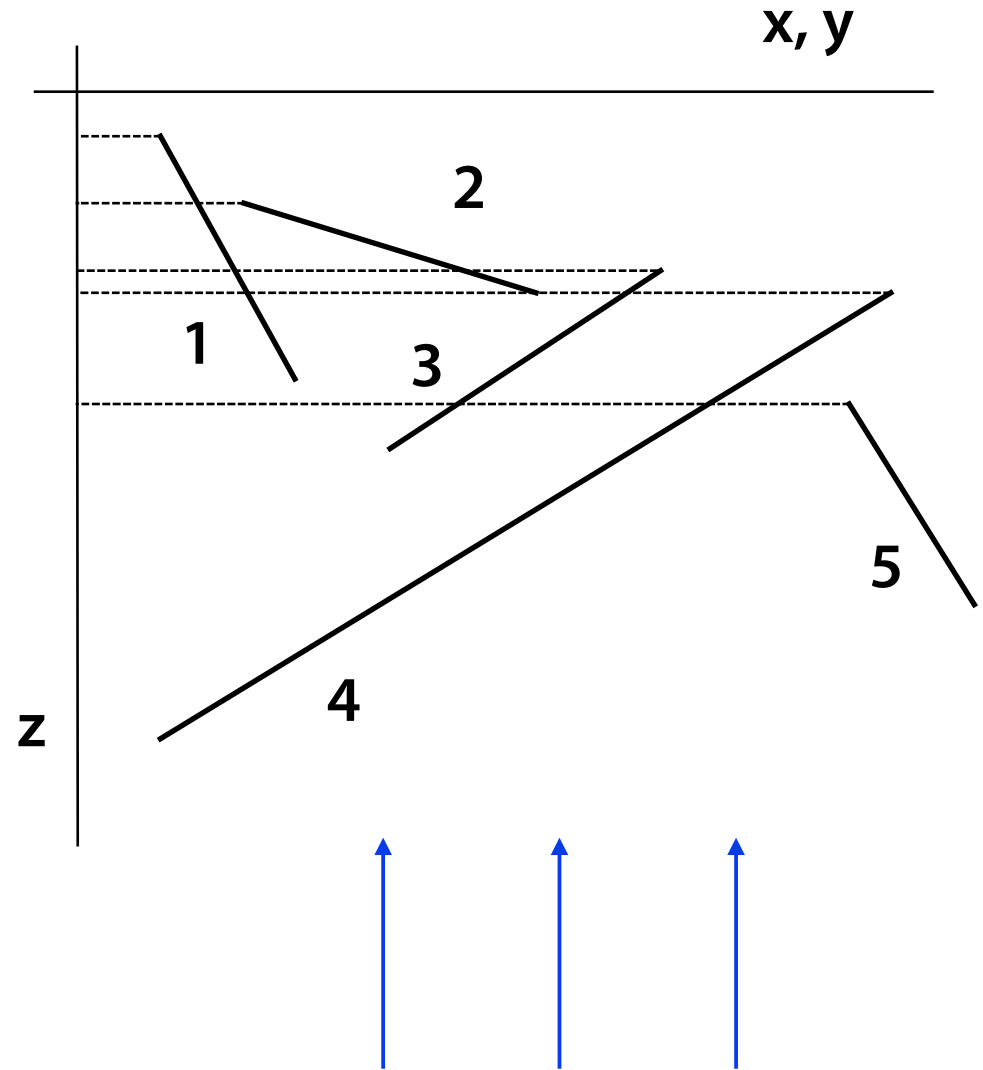
- stěny mohou mít společné body **pouze na obvodu** (**nesmějí se prosekávat**)





1. fáze: třídění

Stěny setřídíme podle **minimální souřadnice z** **vzestupně** – tj. odzadu dopředu – vytvoříme tak **vstupní seznam S**



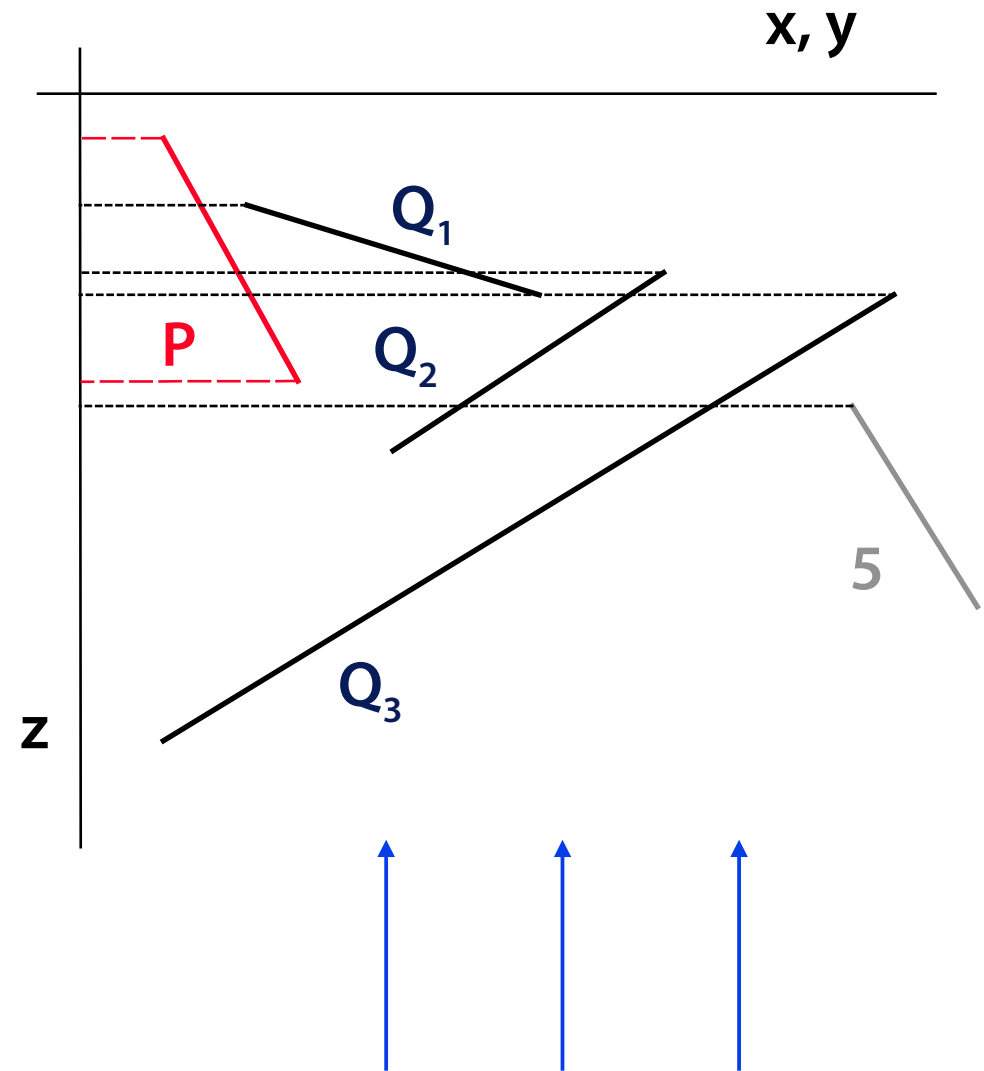


2. fáze: kontrola pořadí

Ze začátku seznamu S vezmeme stěnu P – **kandidáta** pro kresbu.

Proti P musíme otestovat ostatní stěny, které s ní mohou kolidovat.

- právě testovanou stěnu označíme $Q_{[i]}$

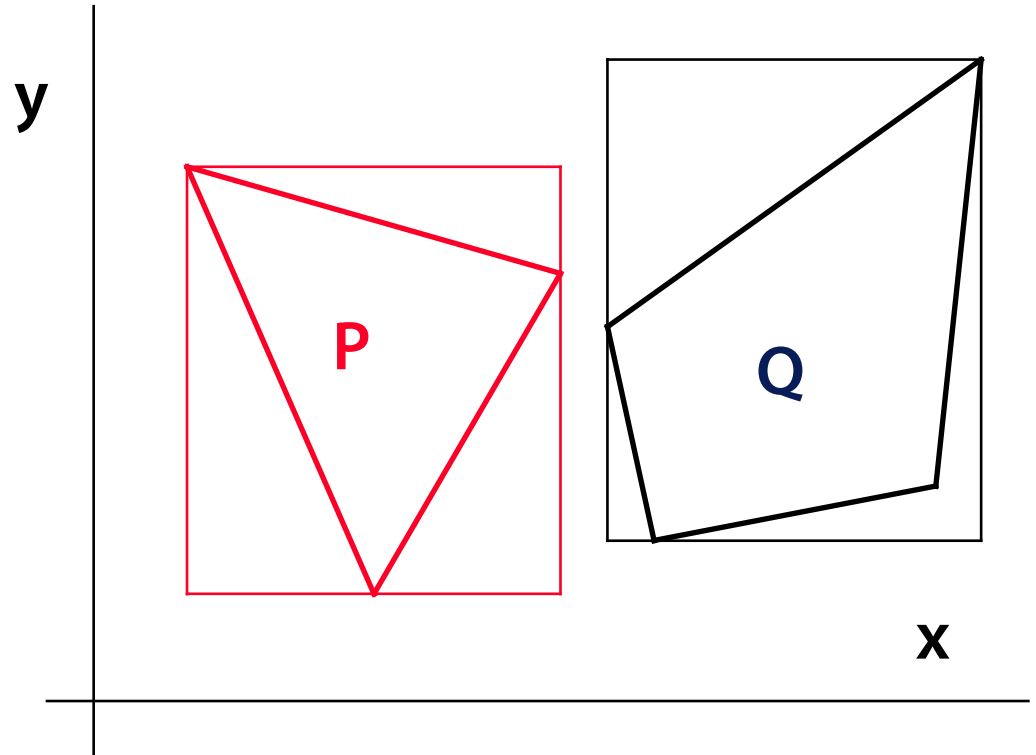




2.a fáze: „minimax test“

Nejprve provedeme
nejjednodušší test –
v **průmětu** porovnáme
obdélníky opsané oběma
stěnám

- jestliže nemají společný bod, testování **Q** končí (pass)
- jinak pokračujeme dalším testem **P** a **Q**

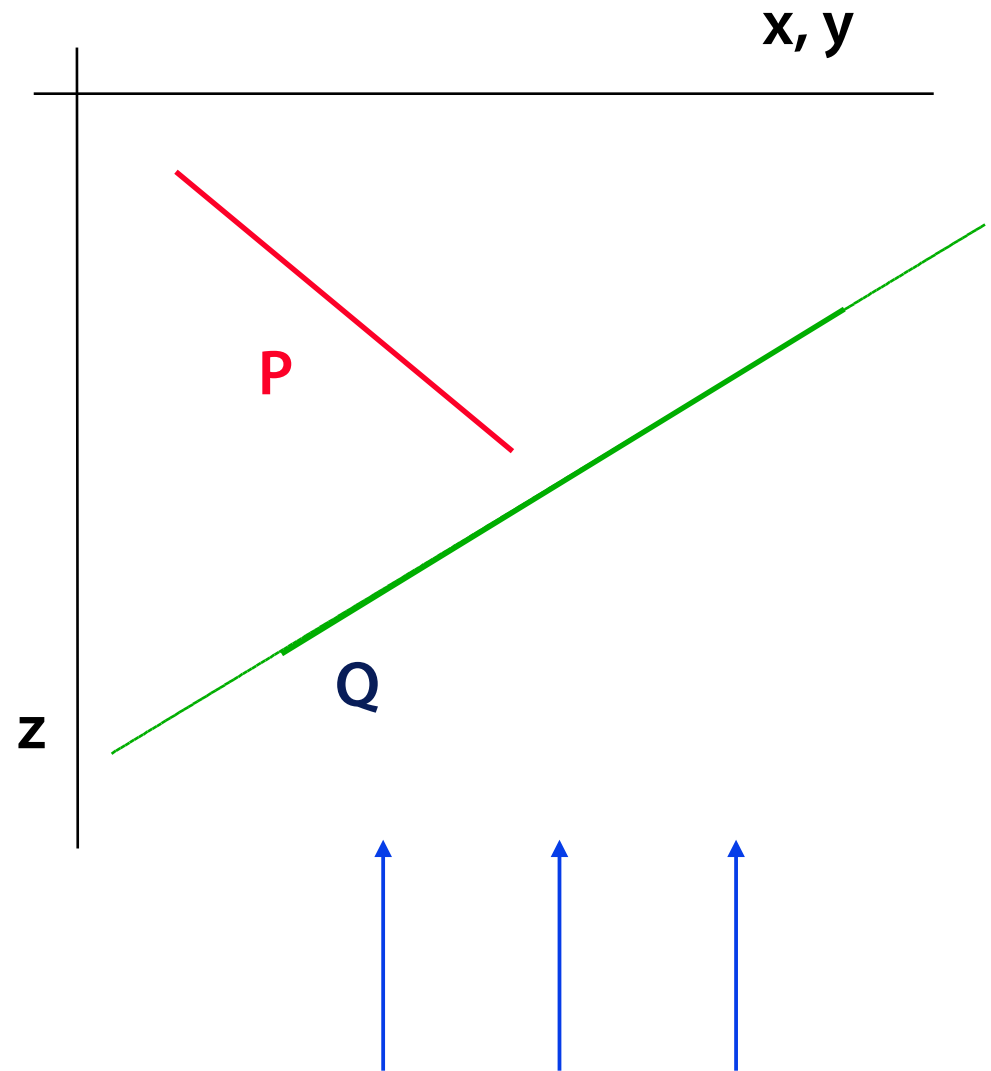




2.b fáze: P versus rovina Q

Testujeme, zda stěna **P** neleží celá za rovinou stěny **Q**

- v kladném případě testování **Q** končí (pass)
- jinak pokračujeme dalším testem **P** a **Q**



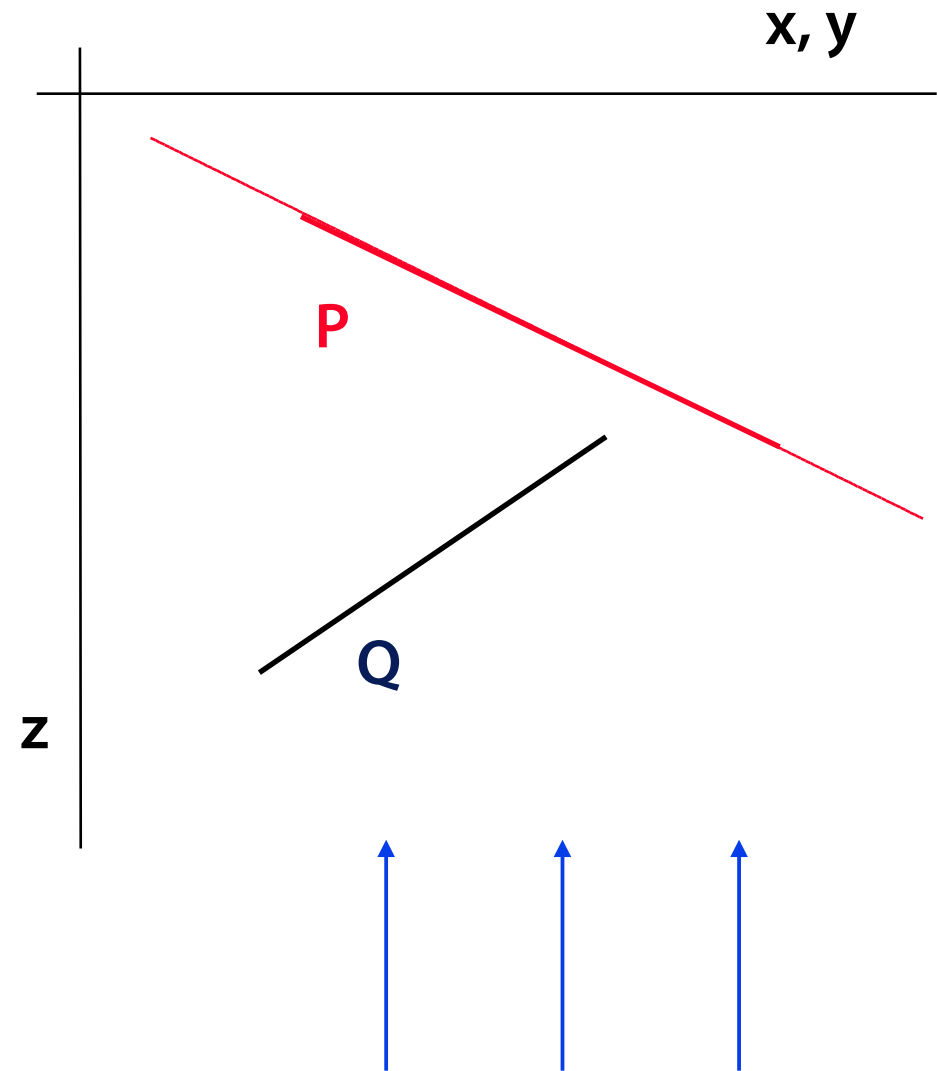
$$a \cdot x + b \cdot y + c \cdot z + d < 0$$



2.c fáze: Q versus rovina P

Test, zda stěna Q neleží celá před rovinou stěny P

- v kladném případě testování Q končí (pass)
- jinak pokračujeme dalším testem P a Q



$$a \cdot x + b \cdot y + c \cdot z + d > 0$$

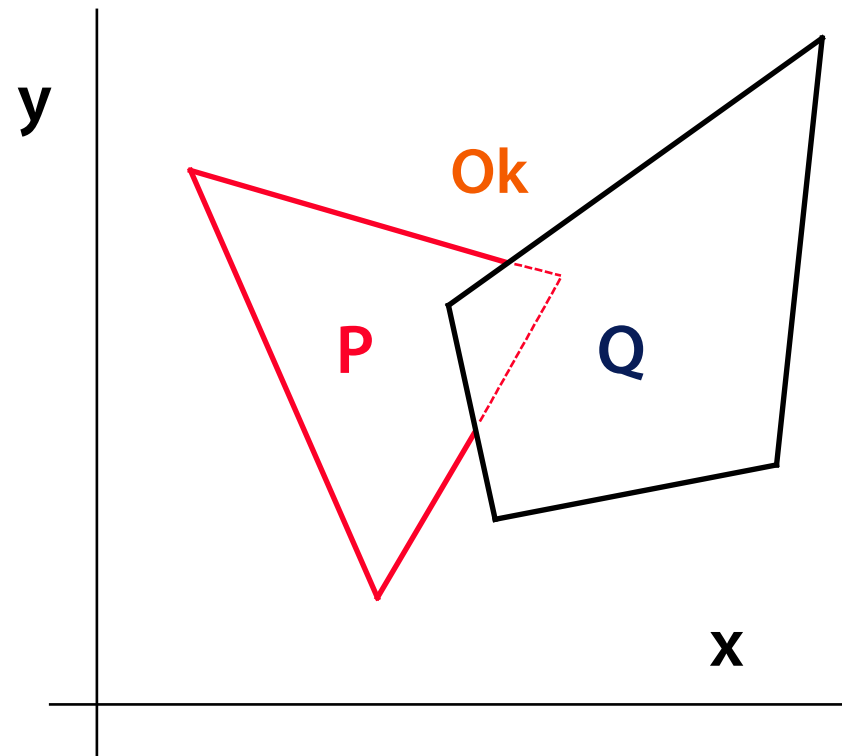


2.d fáze: úplný test v průmětu

Pokud předchozí testy neuspěly, musíme provést **úplný test stěn P a Q v průmětu**

Je potřeba zjistit, zda není některá část **Q** překrytá stěnou **P**

- v takovém případě by nešlo nakreslit **P** před **Q**!

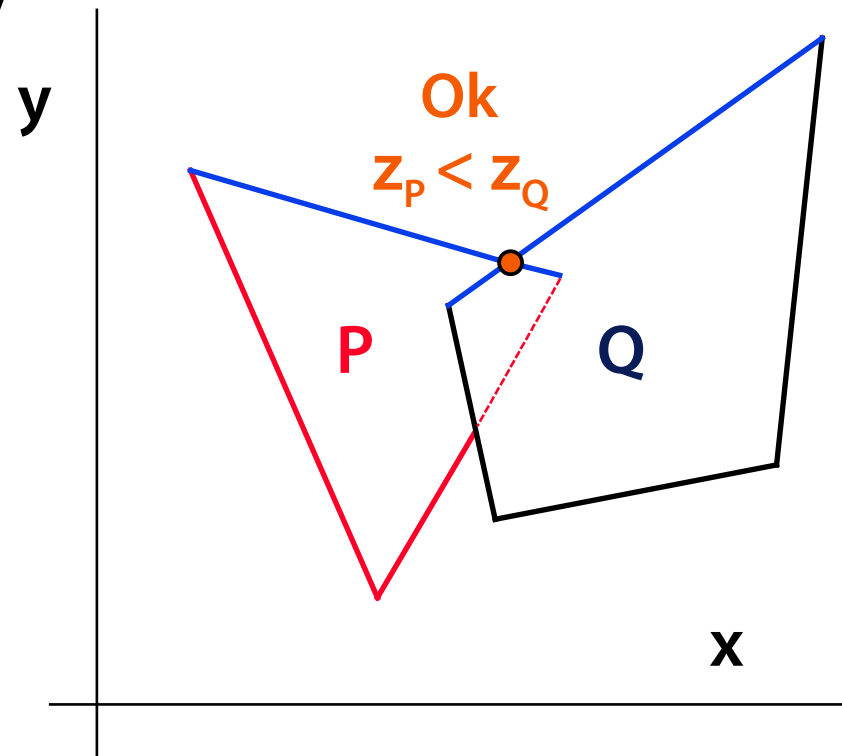




2.d fáze: úplný test v průmětu

Testujeme proti sobě **všechny** hrany P a Q

- najdeme-li průsečíky, porovnáme v nich souřadnice z
- je-li vždy P za Q, test Q končí úspěšně (pass)
- v opačném případě **nelze P nakreslit jako první!**

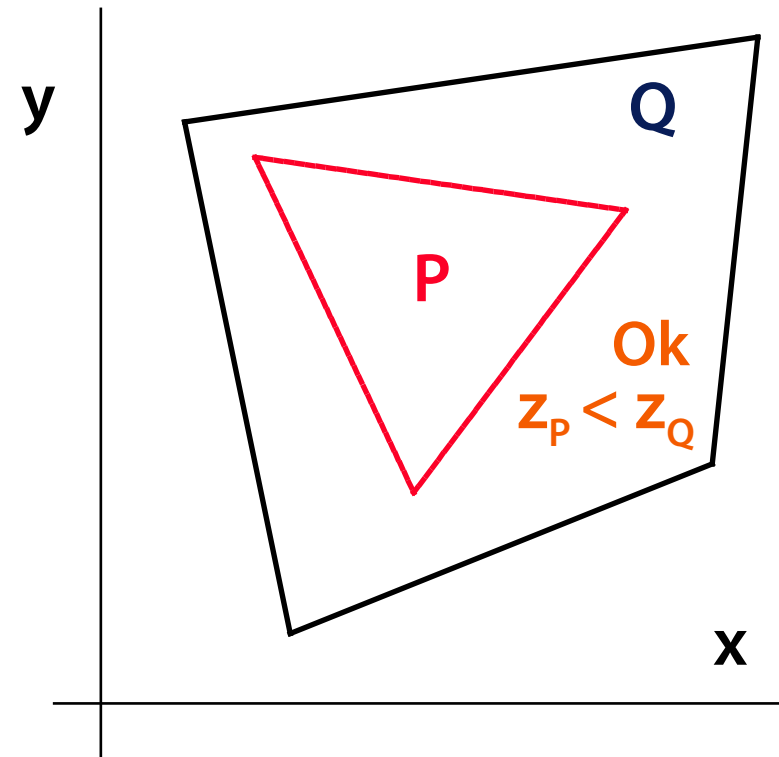




2.d fáze: úplný test v průmětu

Neexistuje-li průsečík hran **P** a **Q**, je třeba ještě zkontrolovat, zda neleží stěna **P** celá uvnitř **Q** nebo naopak

- to by se opět musely testovat souřadnice **z**

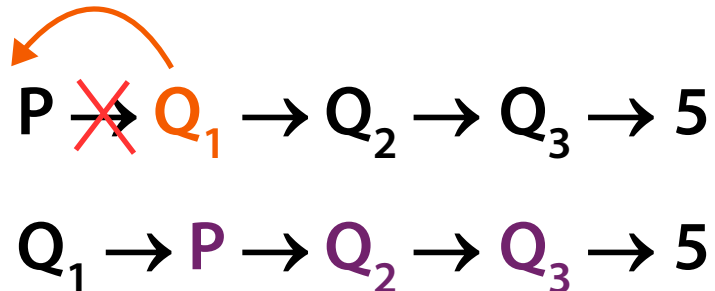




2. fáze: změna pořadí

Jestliže nelze z nějakého důvodu nakreslit P před Q , zkusíme přesunout stěnu Q na začátek seznamu S (ještě před P)

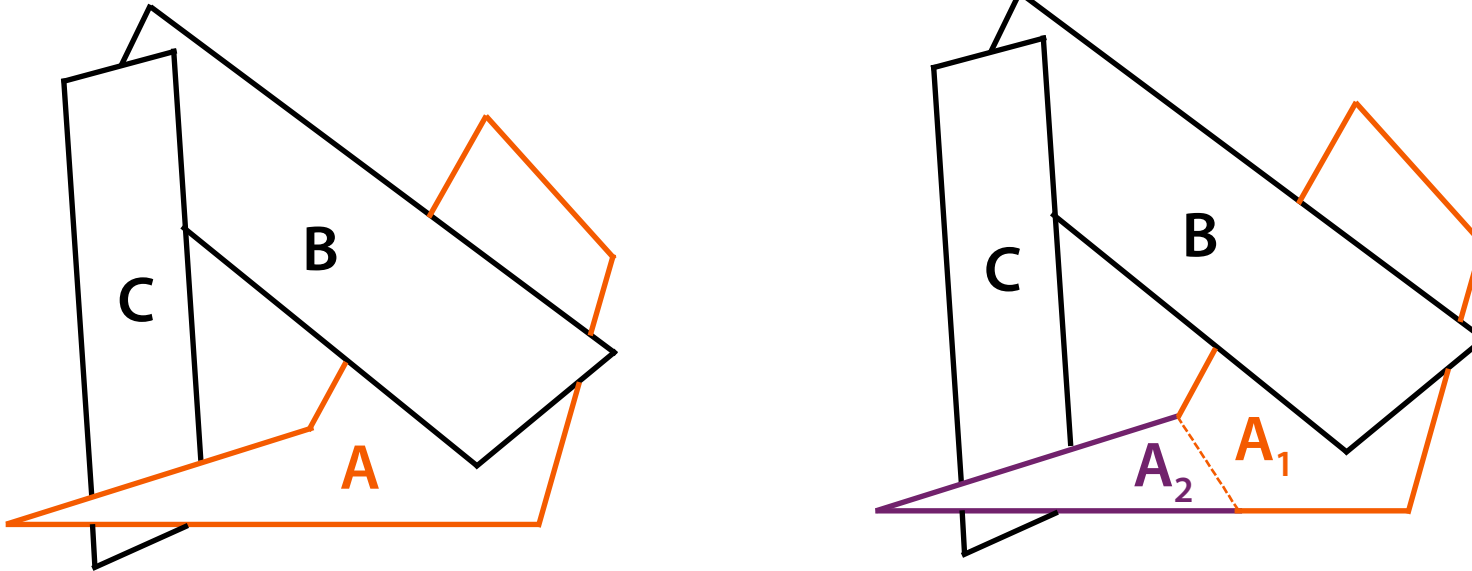
- pro Q budeme opět provádět všechny testy 2. fáze (jak jsme je popsali se stěnou P)
- testy nového kandidáta Q proti P už byly z velké části provedeny, stačí pouze doplnit obrácené testy **2.b** a **2.c**



Kvůli možnosti **zacyklení** se musí každý kandidát označit zvláštním příznakem



2. fáze: zacyklení



Jestliže je testován některý kandidát podruhé, došlo k **zacyklení**

Cyklus lze odstranit **rozdělením** některé stěny

– správné pořadí: A_1, B, C, A_2



Literatura

J. Foley, A. van Dam, S. Feiner, J. Hughes: *Computer Graphics, Principles and Practice*, 672-675

Jiří Žára a kol.: *Počítačová grafika, principy a algoritmy*, 302-304

Z-buffer, depth-buffer

© 1995-2019 Josef Pelikán
CGG MFF UK Praha

pepca@cgg.mff.cuni.cz
<https://cgg.mff.cuni.cz/~pepca/>



Z-buffer, depth-buffer (paměť hloubky)

Kreslení do bufferu

- video-RAM, GPU, rastrová tiskárna s bufferem

Vyplňování ploch

- lze i stínovat

Není třeba nic třídit!

Korektní vykreslení nestandardních situací

- prosekávání stěn, cyklické zákryty...



Paměť hloubky

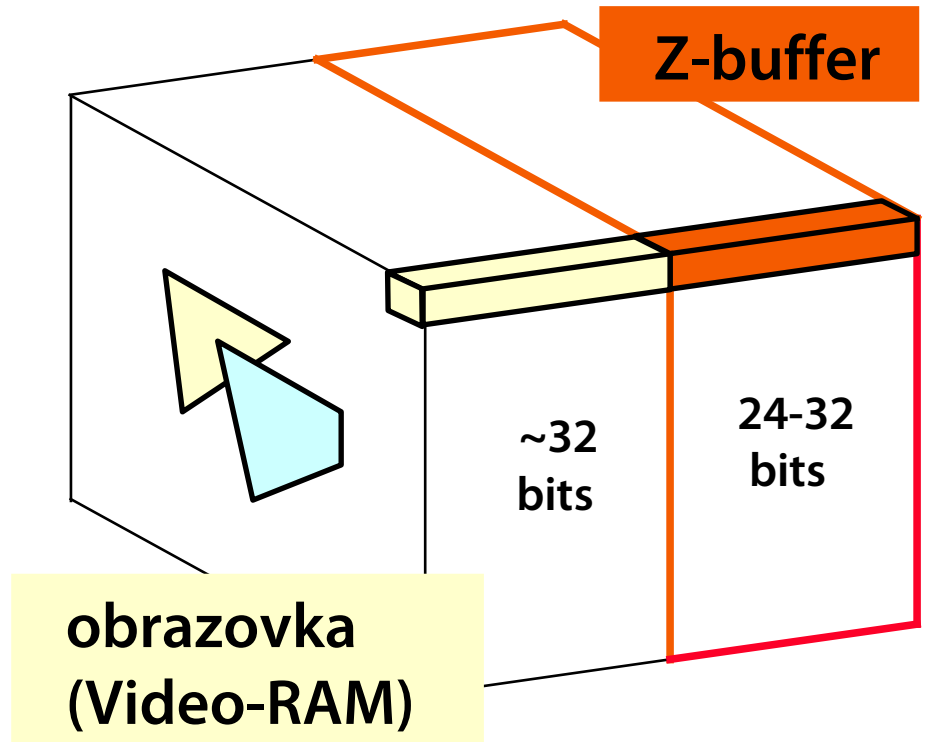
Pro každý pixel se ukládá

- **barva** (Video-RAM)
- **hloubka** = vzdálenost od pozorovatele (**Z-buffer**)

float – jednodušší (nové GPU)

Integer – rychlejší (24-32 bitů)

- pozor na přesnost!





Algoritmus

Inicializace

- fillBuffer(VideoRAM, „barva pozadí“);
- fillBuffer(Zbuf, „nekonečno“);

Zápis všech objektů do Z-bufferu

- rozložení na jednotlivé pixely (**rasterizace**, vyplňování)
- **test hloubky** jednoho pixelu:

```
void writePixel (int x, int y, float z, color color)
{
    if (z < zbuf[x, y])
    {
        zbuf[x, y] = z;
        videoRAM[x, y] = color;
    }
}
```



Výhody Z-bufferu

Jednoduchost výpočtů

- celočíselná/fixed-point aritmetika
- možnost masivní paralelizace (viz GPU)
- HW implementace 10M až 10G plošek/s

Není nutné třídění

Správné vykreslení všech obtížných situací

Nemusí se kreslit pouze rovinné plošky

- rutina pro rozklad objektu na pixely (s výpočtem hloubky z)



Nevýhody Z-bufferu

Mazání bufferu na začátku zpracování snímku

Některé pixely ve Video-RAM se **několikanásobně překreslují**

- zbytečné vyhodnocování jejich barvy (fragment shader)

„Z-fighting“

- nepříjemné artefakty při kreslení objektů ve stejné rovině
- velmi rušivé při animacích
- je to často chybou modelu nebo špatně nastavených parametrů projekce

Neřeší jednoduše **poloprůhledné 3D scény**

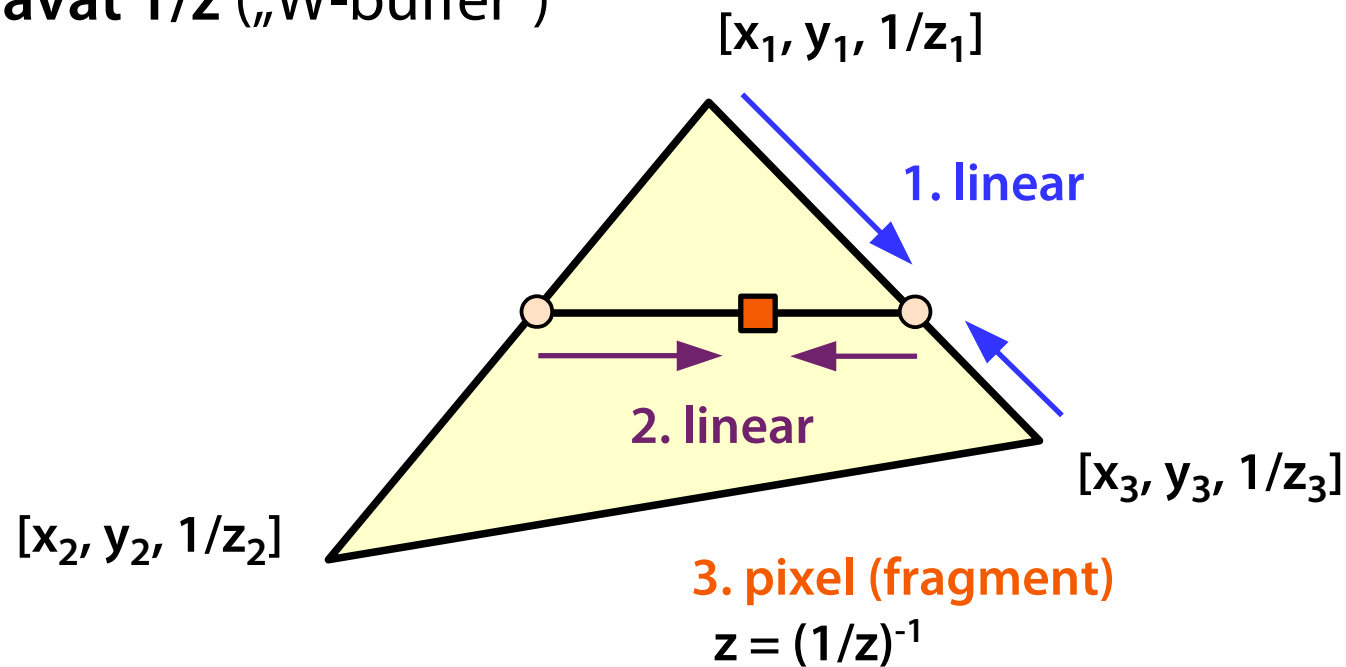
- nutnost předzpracování (3D třídění primitivů)

Perspektivně korektní interpolace hloubky



V perspektivě nemůže interpolátor (rasterizer) na ploše průmětny přímo lineárně interpolovat hloubku z

- místo toho lze interpolovat převrácené hodnoty $1/z$
- v každém pixelu můžeme z spočítat dělením nebo přímo porovnávat $1/z$ („W-buffer“)





Literatura

J. Foley, A. van Dam, S. Feiner, J. Hughes: *Computer Graphics, Principles and Practice*, 668-672

Jiří Žára a kol.: *Počítačová grafika, principy a algoritmy*, 298-300

Kok-Lim Low: *Perspective-Correct Interpolation* (report, proof), University of North Carolina at Chapel Hill, 2002

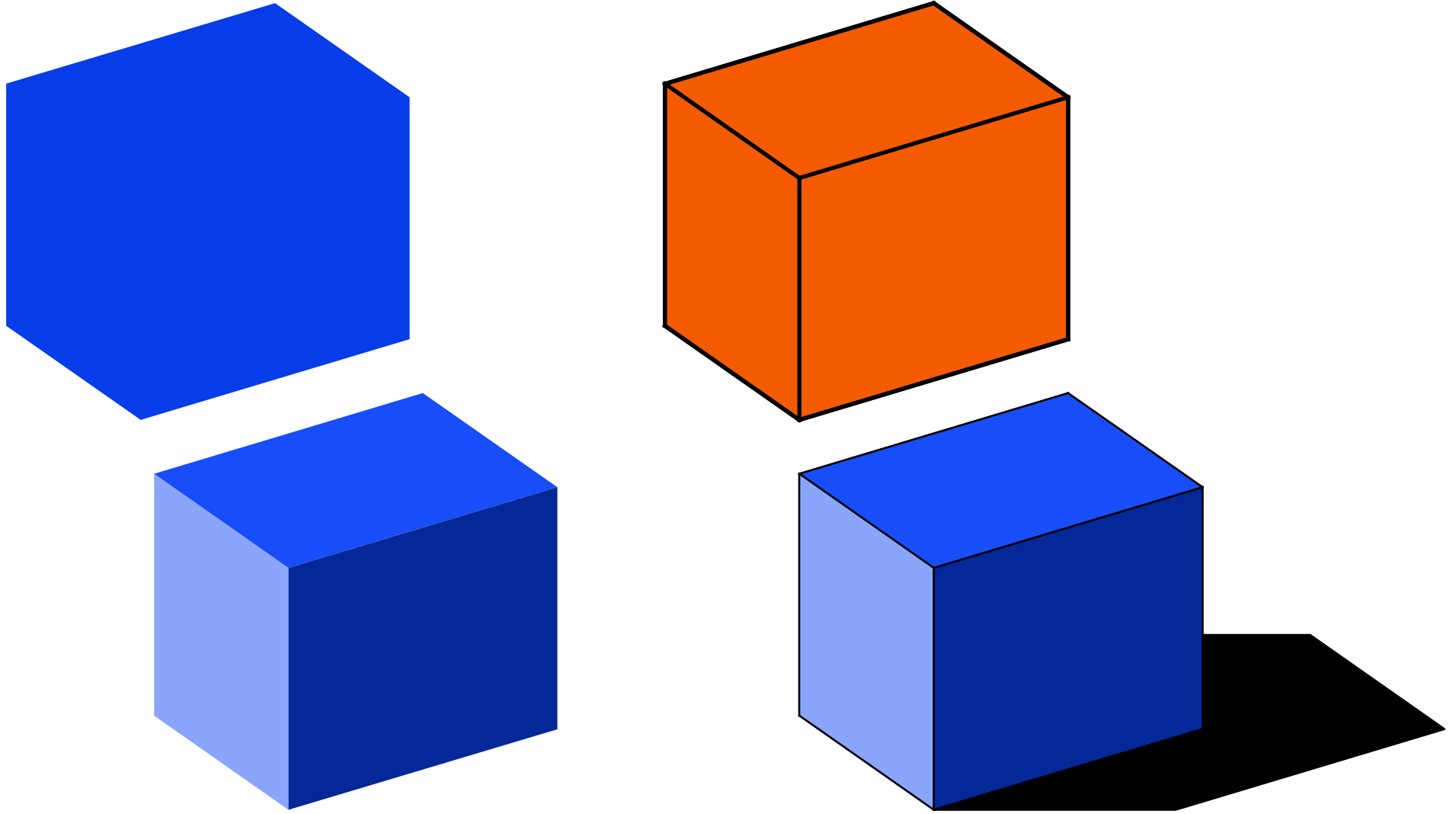
Phongův osvětlovací model

© 1996-2019 Josef Pelikán
CGG MFF UK Praha

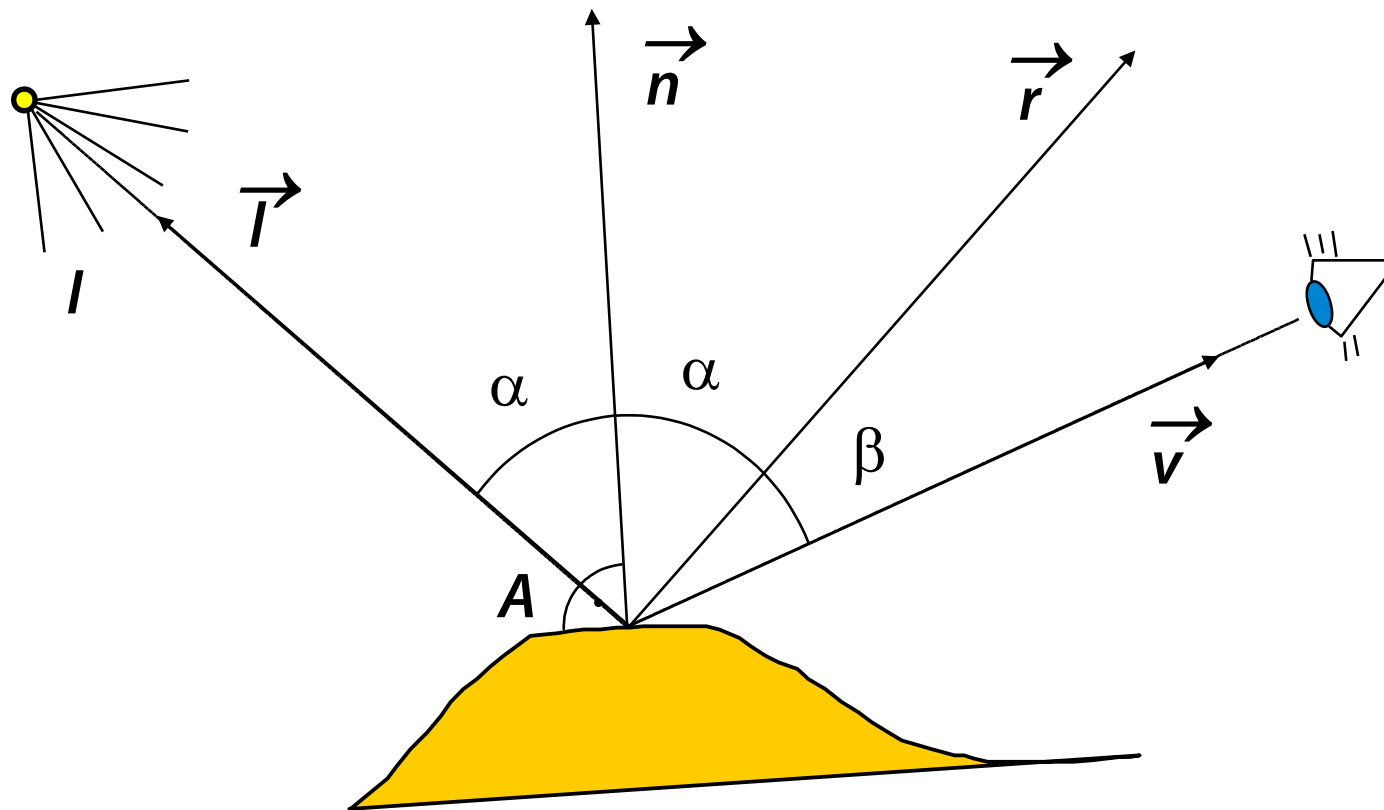
pepca@cgg.mff.cuni.cz
<https://cgg.mff.cuni.cz/~pepca/>



Stínování a vržené stíny



Světelný model





Difusní složka E_D

Odpovídá **ideálně matnému tělesu**

$$E_D = I_i \cdot C_D \cdot k_D \cdot \cos \alpha$$

I_i ... intenzita světelného zdroje

C_D ... barva difusní složky (RGB)

k_D ... koeficient difusního světla (0.0 až 1.0)

$\cos \alpha = \mathbf{l} \cdot \mathbf{n}$... skalární součin normovaných vektorů



Okolní světlo E_A

Všesměrové konstantní osvětlení

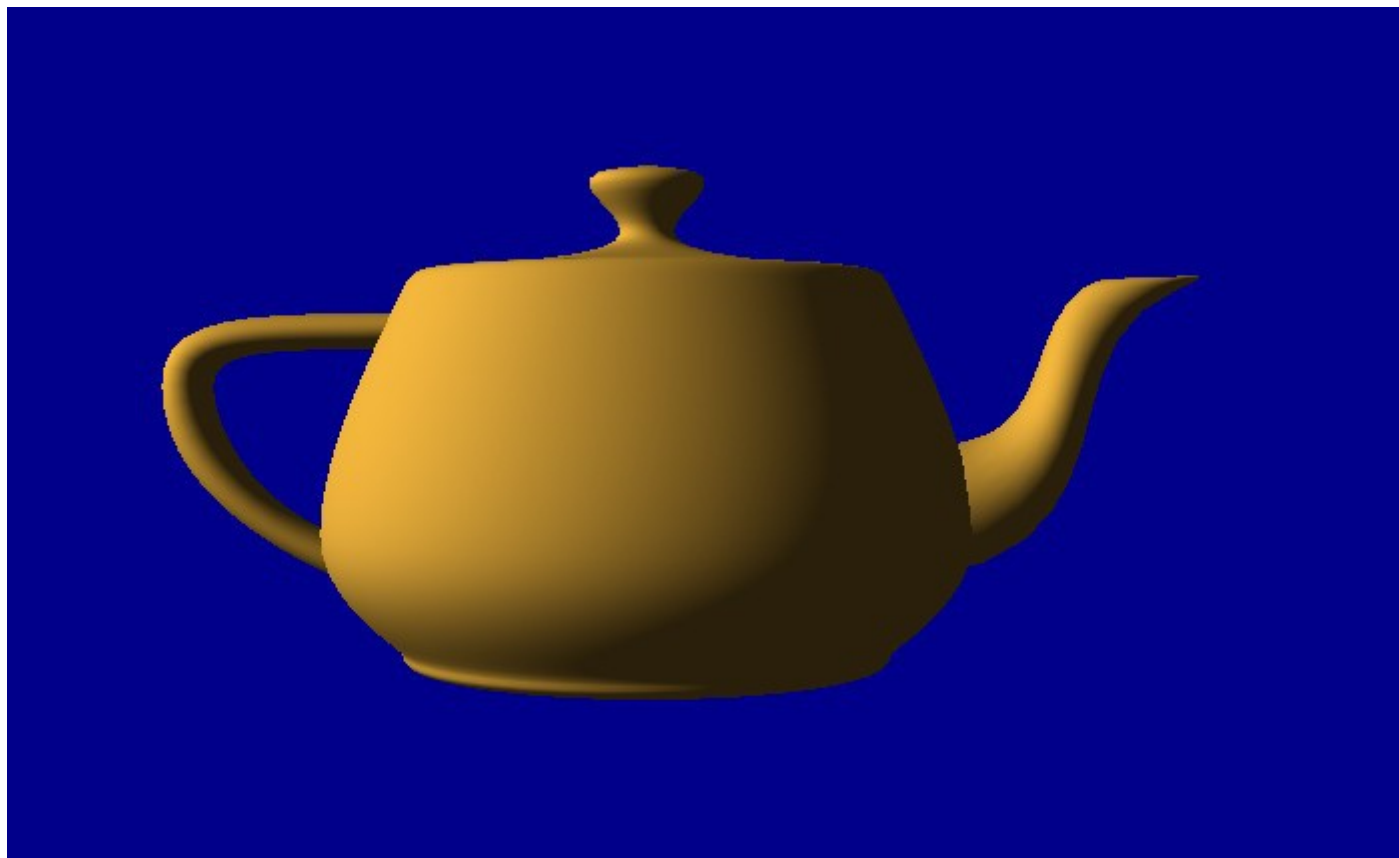
Napodobuje **sekundární odražené světlo**

$$E_A = C_D \cdot k_A$$

C_D ... barva stejná jako u difusní složky (RGB)

k_A ... koeficient okolního světla (0.0 až 1.0)

Difusní a okolní světlo





Lesklý odraz E_s

Simuluje odlesk na povrchu lesklých těles

$$E_s = I_i \cdot C_s \cdot k_s \cdot \cos^h \beta$$

C_s ... barva lesklého odrazu (RGB)

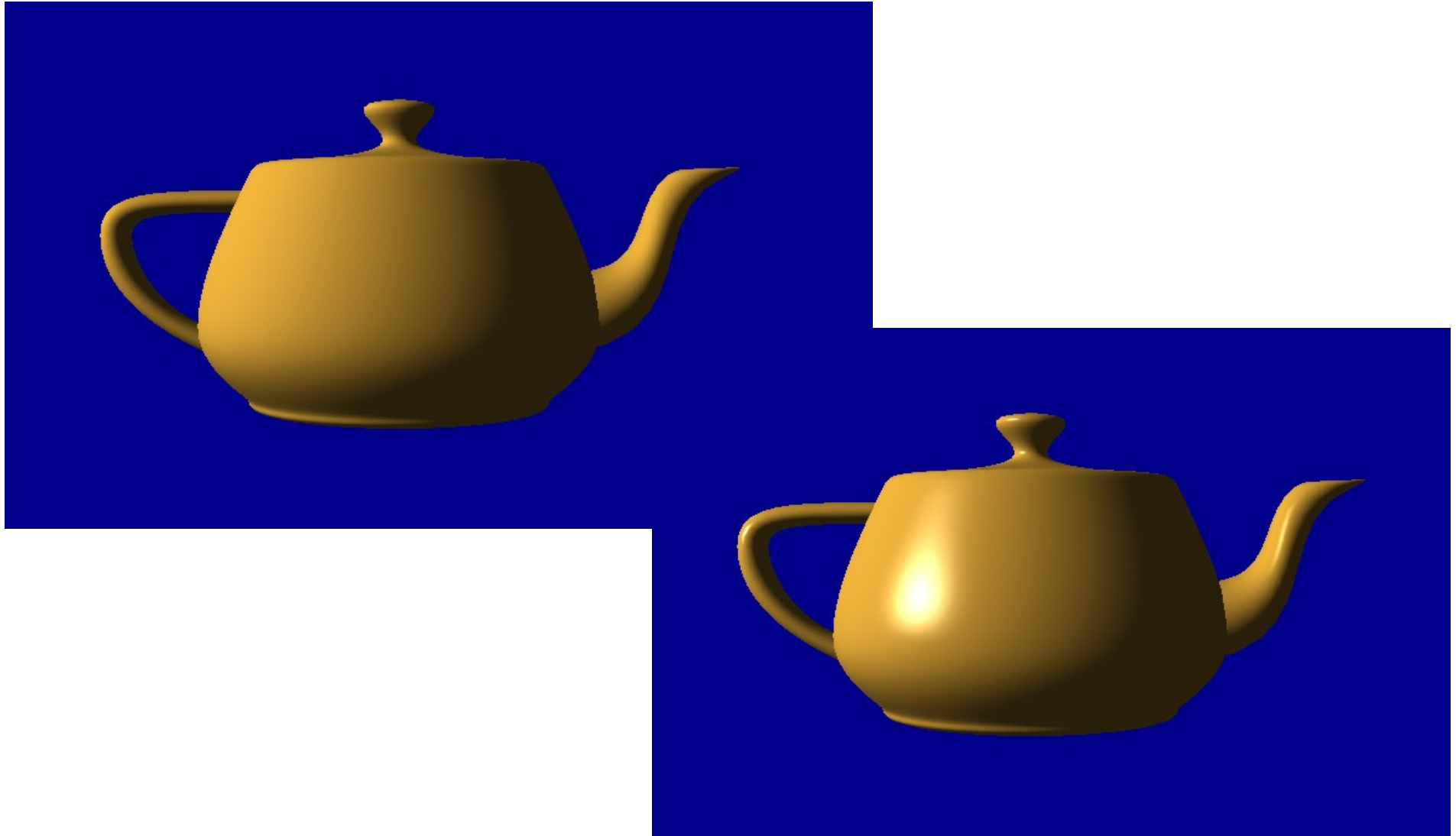
k_s ... koeficient lesklého odrazu (0.0 až 1.0)

$\cos \beta = \vec{r} \cdot \vec{v}$... skalární součin normovaných vektorů

h ... ovlivňuje velikost odlesku (5 ... 500)

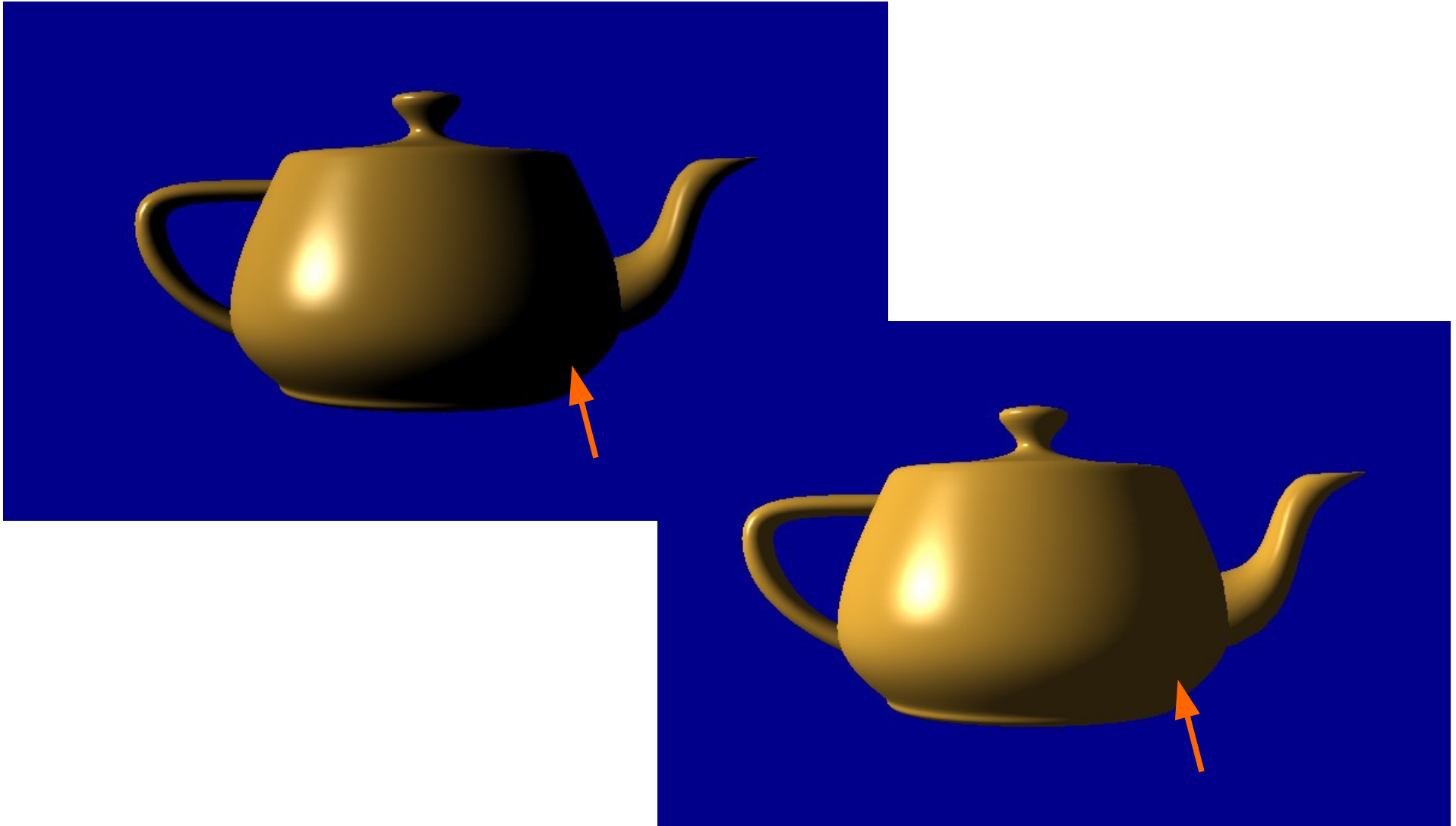


Vliv lesklé složky odrazu





Vliv okolního světla





Osvětlení od jednoho zdroje

$$E = E_A + E_D + E_S$$

Barvy

$$C_D = C \quad \dots \text{ barva materiálu (RGB)}$$

$$C_S = C_L \quad \dots \text{ barva světelného zdroje (RGB)}$$

Konzistence

$$k_A + k_D + k_S = 1 \quad (\text{proti přetečení})$$



Více světelných zdrojů

$$\mathbf{E} = \mathbf{E}_A + \sum_i (\mathbf{E}_D + \mathbf{E}_S)$$

Výpočet vektoru odrazu

$$\mathbf{R} = 2\vec{n} (\vec{n} \cdot \vec{I}) - \vec{I}$$

Původní Phongův vzorec pro lesklý odraz

- místo konstantního členu $\mathbf{C}_S \cdot \mathbf{k}_S$ obsahuje funkci $\mathbf{W}(\alpha)$ (silnější odraz pro velké úhly)



Oprava na vzdálenost zdroje

Měla by být ... $1/d^2$

- příliš velký rozsah hodnot (monitor počítače není schopen zobrazit)

Používá se ... $1/(c_0 + c_1 d + c_2 d^2)$

$$E = E_A + \sum_i (E_D + E_S) / (c_0 + c_1 d_i + c_2 d_i^2)$$



Zjednodušení výpočtů (Blinn)

Světelné zdroje v nekonečnu (směrové světelné zdroje)

- v celé scéně budou konstantní vektory \vec{l}_i

Rovnoběžná projekce (pozorovatel v nekonečnu)

- v celé scéně bude konstantní vektor \vec{v}



Zjednodušení (Blinn)

Pokud platí obě předchozí podmínky, lze místo $(\vec{r}_i \cdot \vec{v})^h$ použít $(\vec{h}_i \cdot \vec{n})^{4h}$

Půlící vektor $\vec{h}_i = (\vec{l}_i + \vec{v}) / \|\vec{l}_i + \vec{v}\|$

– \vec{h}_i je konstantní v celé scéně

Někdy se nazývá „**Blinn-Phong model**“



Literatura

J. Foley, A. van Dam, S. Feiner, J. Hughes: *Computer Graphics, Principles and Practice*, 721-734

Jiří Žára a kol.: *Počítačová grafika, principy a algoritmy*, 343-346

Spojité stínování

© 1996-2019 Josef Pelikán
CGG MFF UK Praha

pepca@cgg.mff.cuni.cz
<https://cgg.mff.cuni.cz/~pepca/>



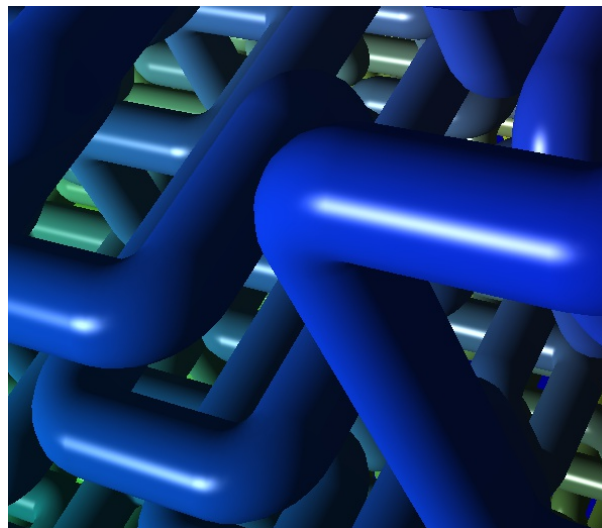
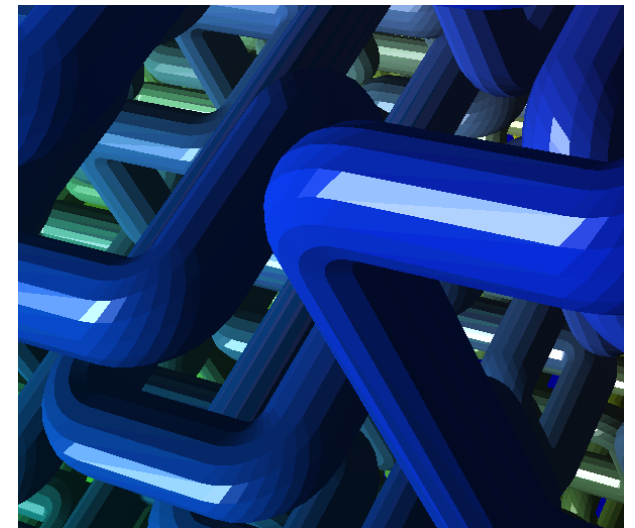
Stínovací algoritmy

Metody aplikace osvětlovacího modelu při zobrazování plošek (B-rep)

Konstantní stínování

Spojité stínování

- Gouraudova interpolace barvy
- Phongova interpolace normály





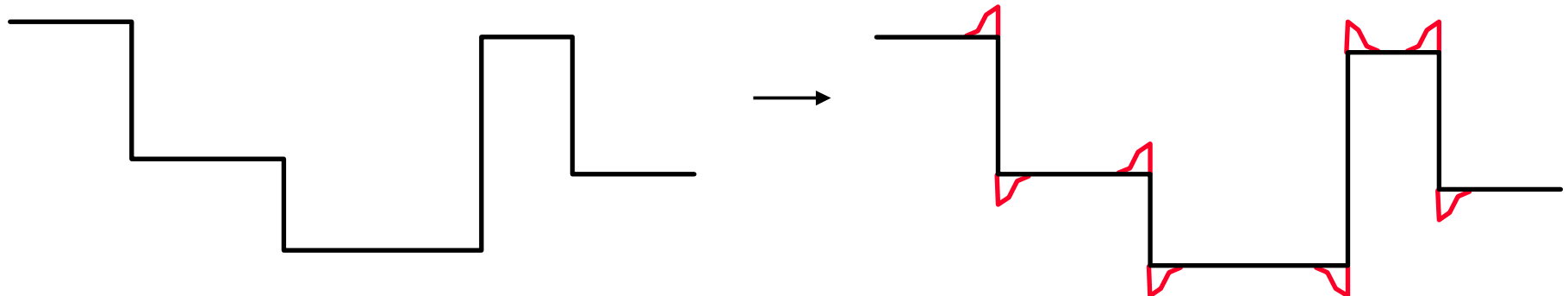
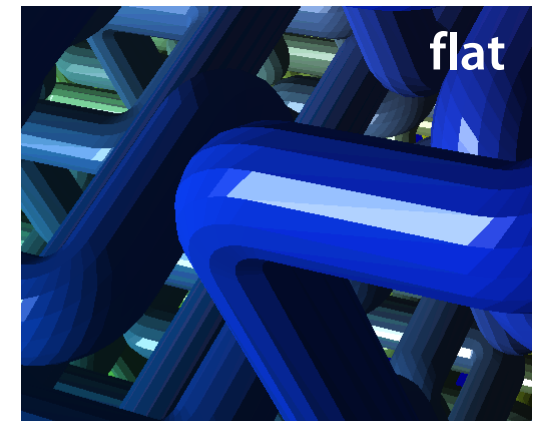
Konstantní stínování („flat shading“)

Spočítá se **osvětlení** jednou na každé stěně (např. v těžišti)
a celá stěna se vyplní **touto barvou**

Funguje dobře u **hranatých těles**

Oblé plochy aproximované trojúhelníky

- příliš se zvýrazní umělé hrany tělesa
- tzv. **Machův efekt** (zrakový systém člověka)





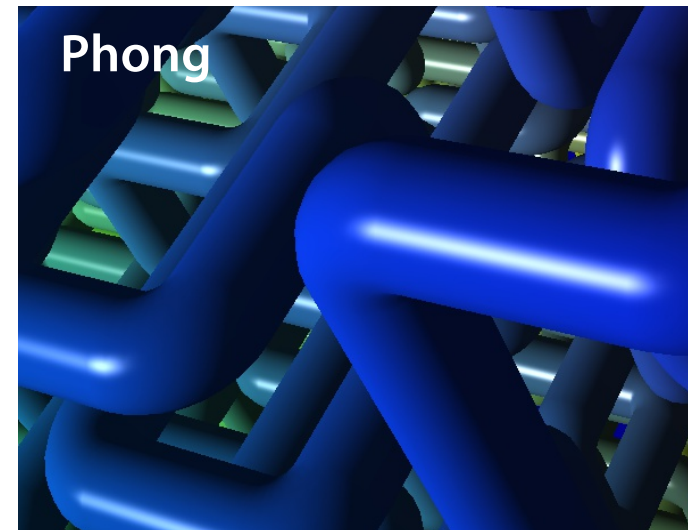
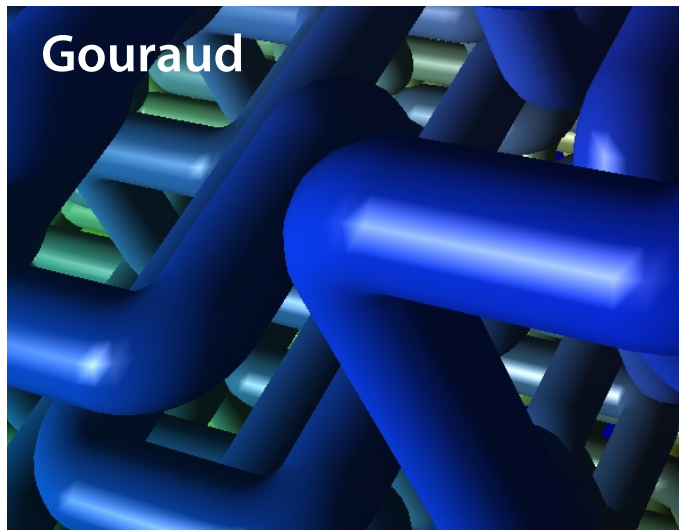
Spojité stínování

Interpolace barvy – Gouraudovo stínování

- rychlejší, vhodné jen pro matné povrchy
- HW implementace (byla součástí „fixed pipeline“ na GPU)

Interpolace normály – Phongovo stínování

- pomalejší, realističtější, vhodné i pro lesklá tělesa
- na GPU se implementuje ve fragment/pixel shaderu





Gouraudovo stínování

V umělých vrcholech tělesa se spočítá **normálový vektor** a z něj **osvětlení** (barva)

- aplikace zvoleného modelu osvětlení

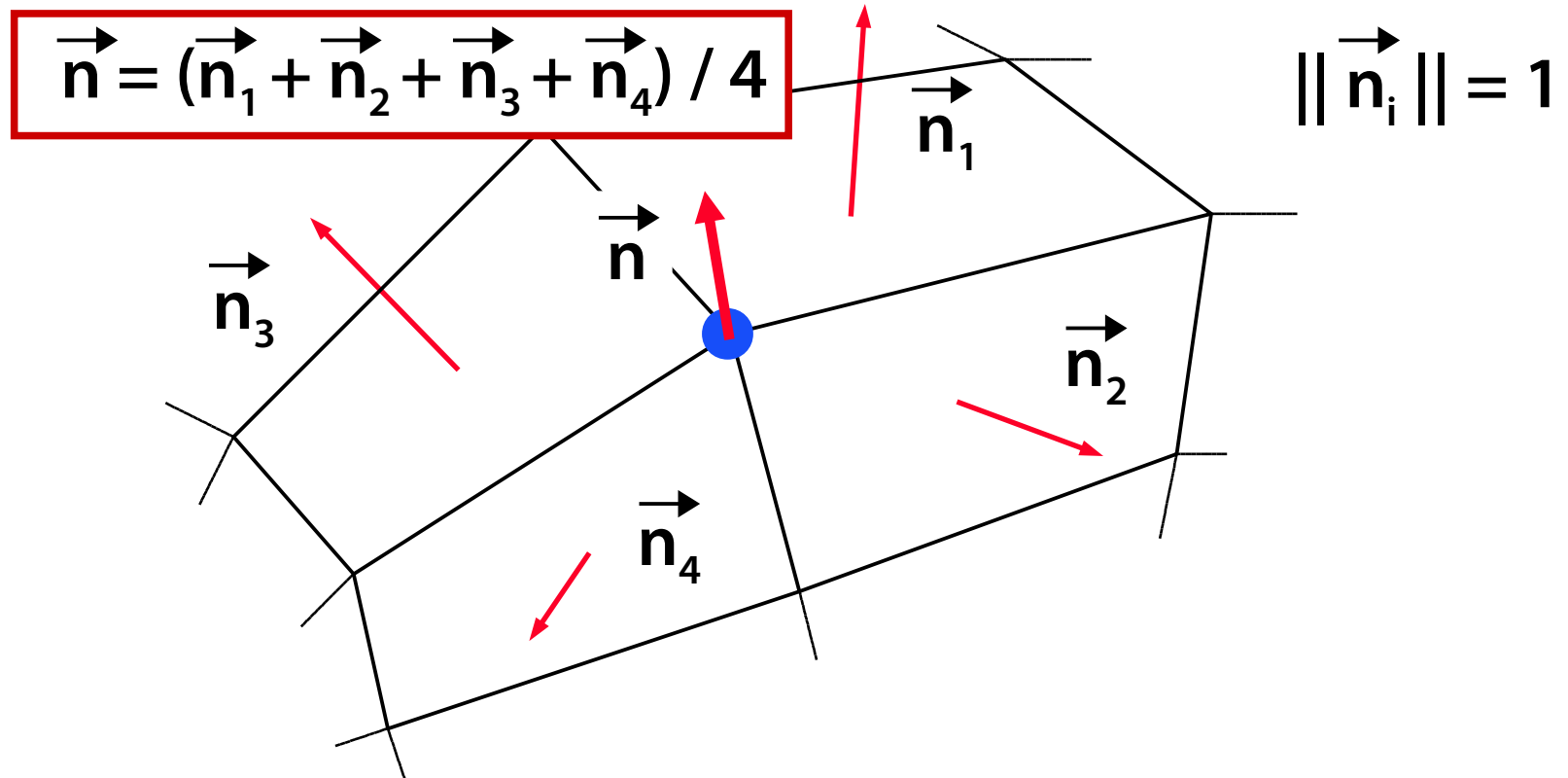
Uvnitř stěn se počítá barva **bilineární interpolací**

- vyplňování řádkovým rozkladem
- GPU rasterizer



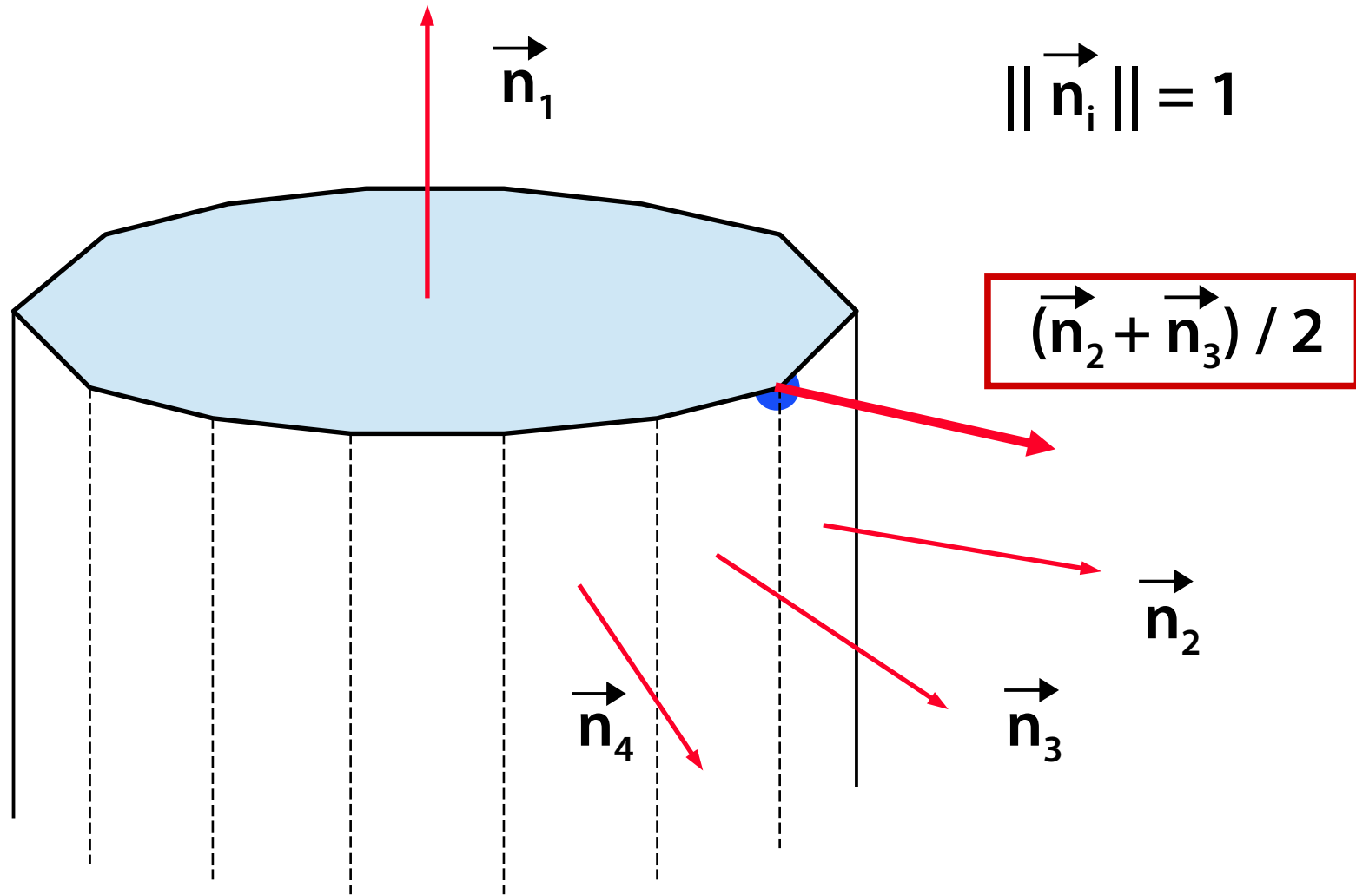
Výpočet normál ve vrcholech

- 1 Analyticky – podle přesných vzorců původní plochy
- 2 Aproximací normál sousedních stěn



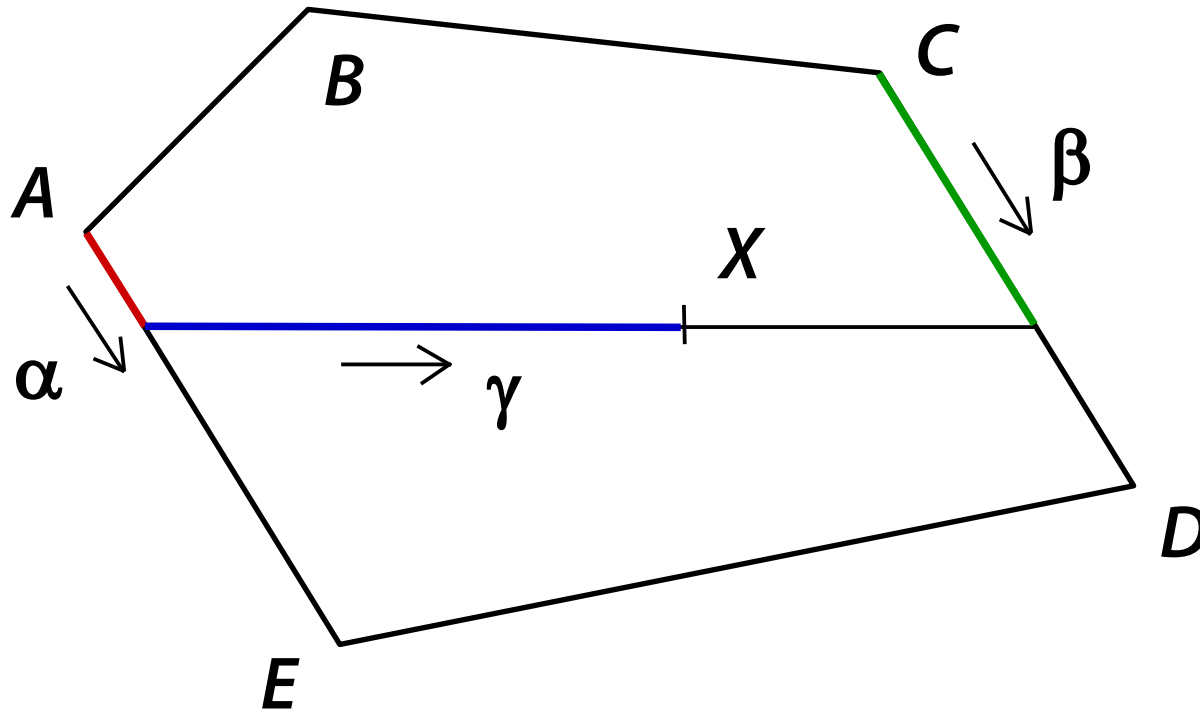


Skutečné a pomocné hrany





Bilineární interpolace



$$\mathbf{f}_X = (1 - \gamma) \cdot [(1 - \alpha) \cdot \mathbf{f}_A + \alpha \cdot \mathbf{f}_E] + \gamma \cdot [(1 - \beta) \cdot \mathbf{f}_C + \beta \cdot \mathbf{f}_D]$$

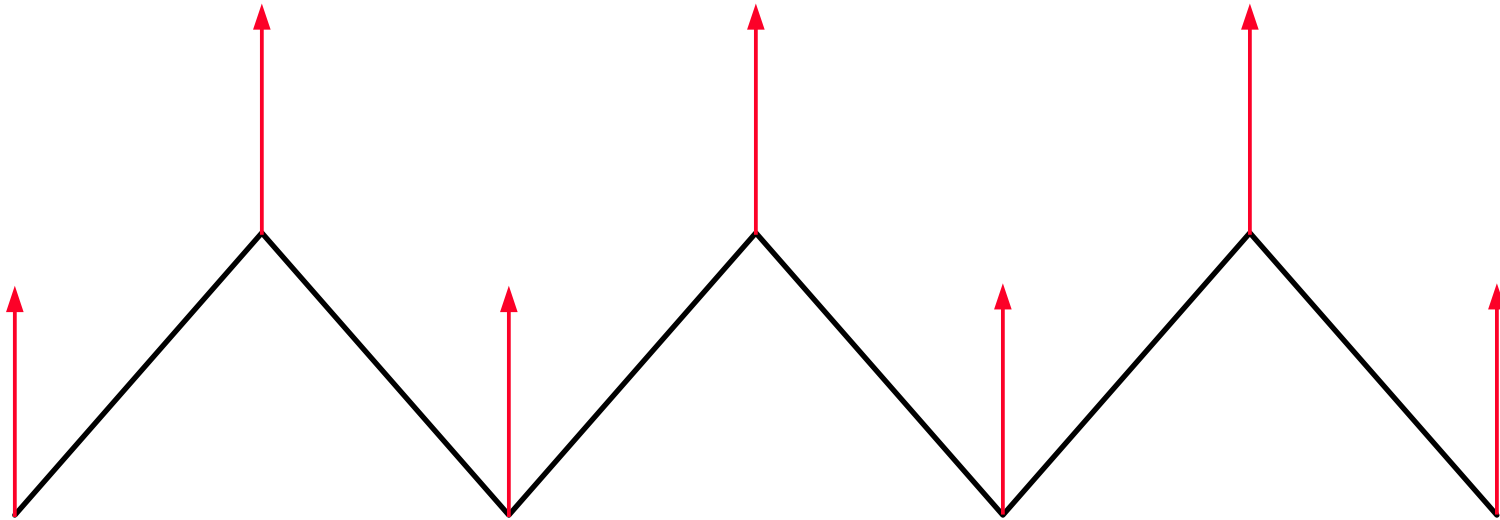


Problémy interpolace (barvy)

Špatně vystihuje **maximum odrazu** (zejména zrcadlového odlesku)

Není invariantní k **otočení!**

Pozor na špatný výpočet **normál!**



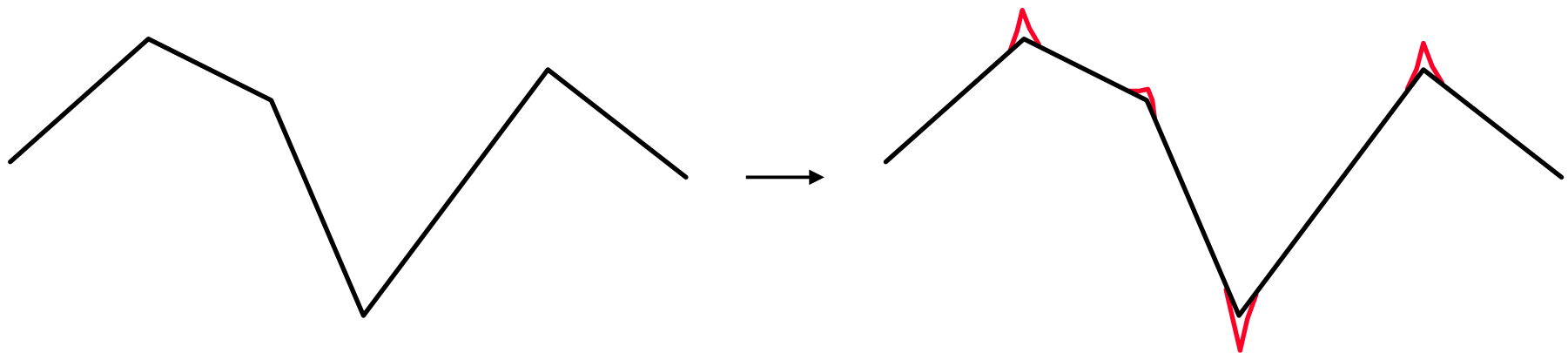


Machův efekt (1865)

Zvýraznění **nespojností intenzity** nebo její **derivace!**

Je způsoben **laterální inhibicí** fotoreceptorů
(sousedních neuronů) na sítnici

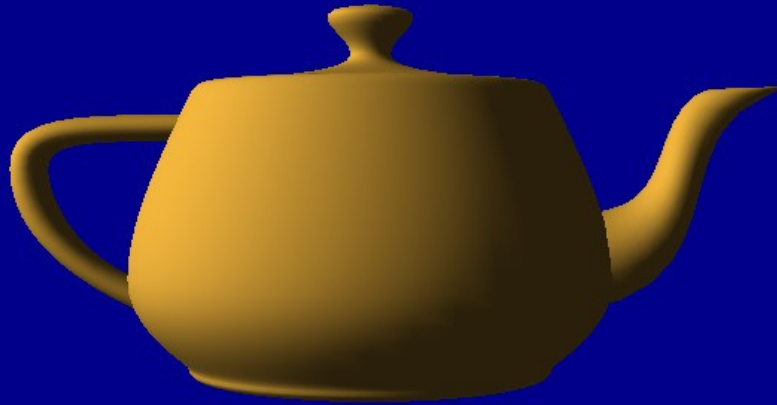
- aktivovaná buňka potlačuje citlivost sousedních buněk





Interpolace barvy – mat a lesk

Gouraud

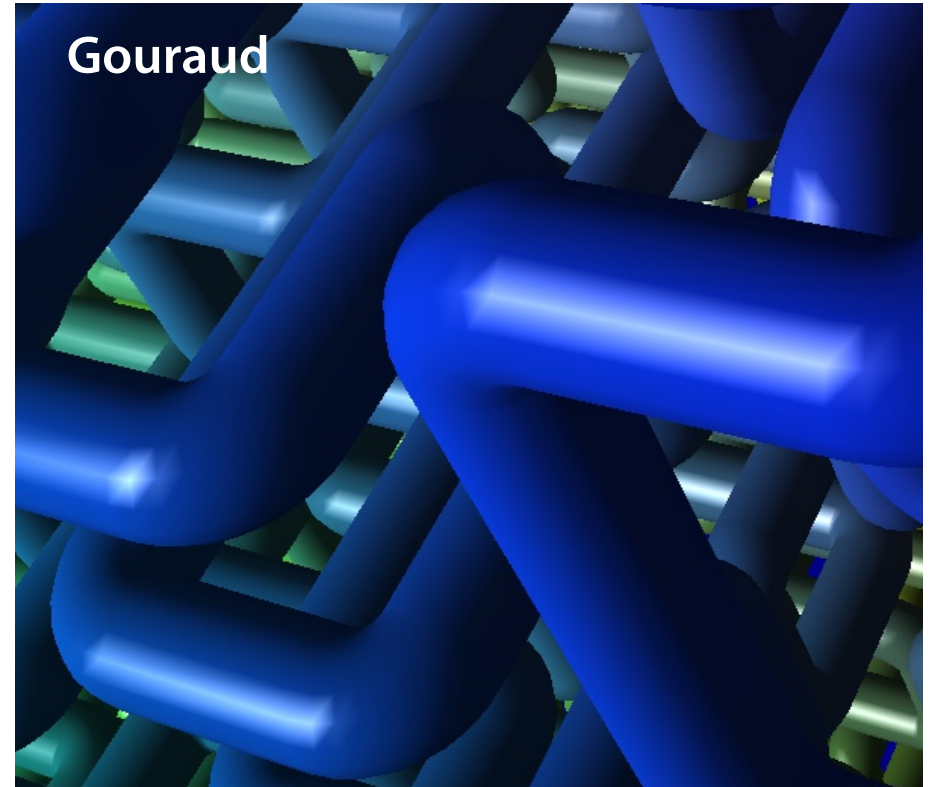
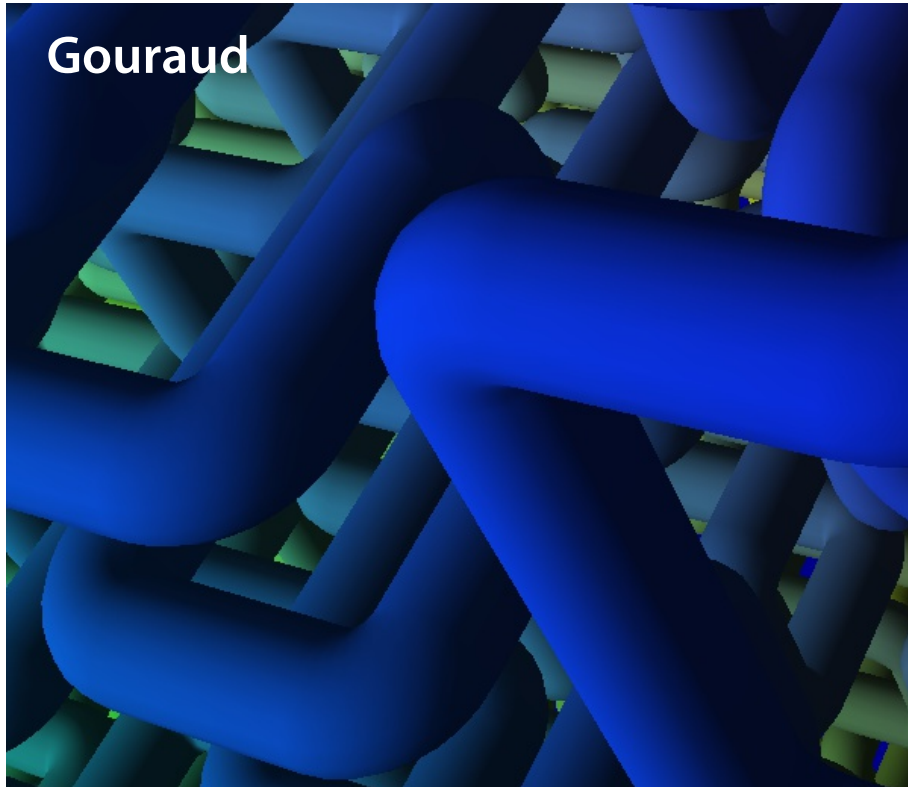


Gouraud





Interpolace barvy – mat a lesk





Phongovo stínování

V **umělých vrcholech** tělesa spočítám **normálové vektory**

Uvnitř stěn dopočítávám normálu v každém pixelu
bilineární interpolací

- vyplňování řádkovým rozkladem

V **každém vnitřním pixelu** plochy počítám **osvětlení** (barvu)

- aplikace zvoleného modelu osvětlení



Interpolace barvy vs. normály

Gouraud

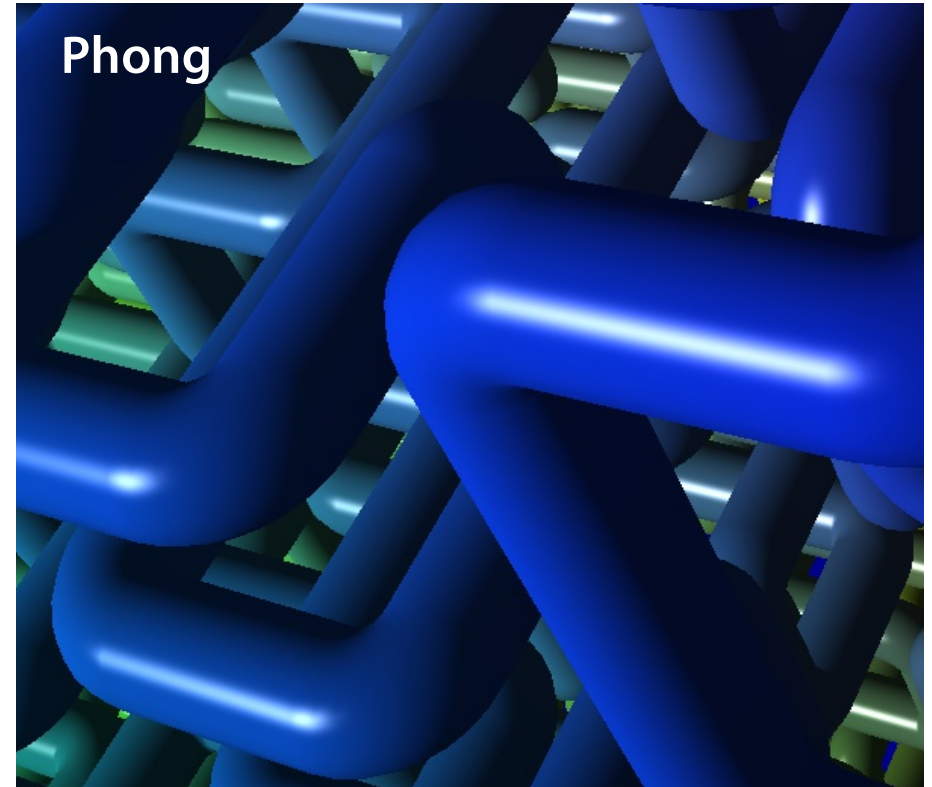
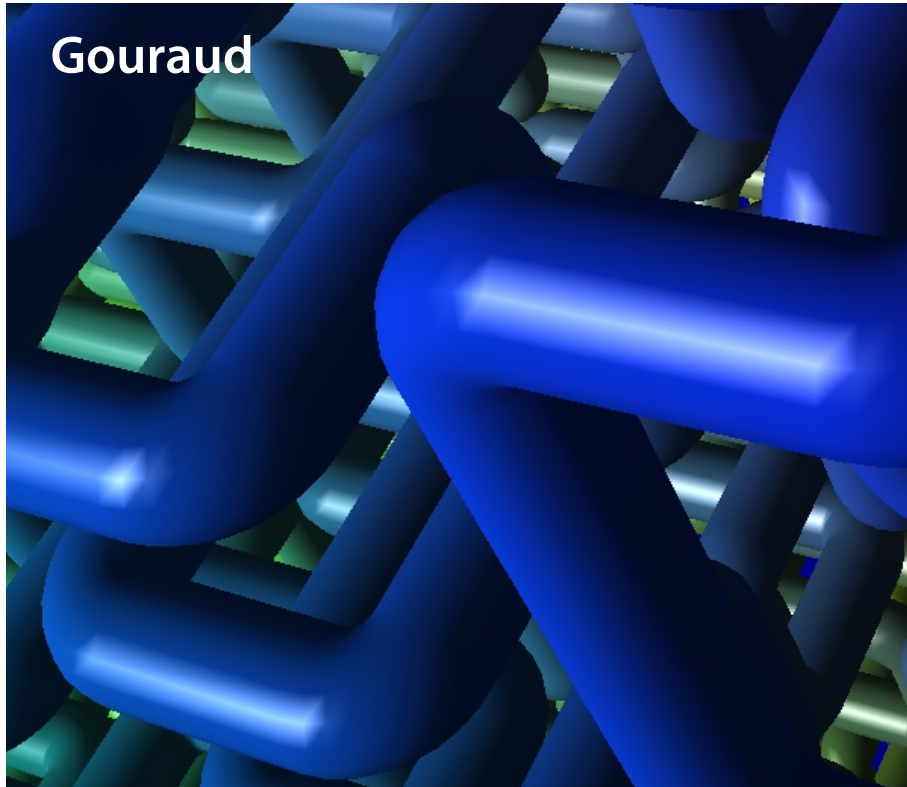


Phong





Interpolace barvy vs. normály





Větší výpočetní náročnost (Phong)

Normála se dopočítává v každém pixelu

- bilineární interpolace a normalizace vektoru – výpočet **odmocniny**
- existují přibližné metody interpolace bez odmocňování

V každém pixelu se počítá **model osvětlení**

- skalární součiny, umocňování, dělení



Literatura

J. Foley, A. van Dam, S. Feiner, J. Hughes: *Computer Graphics, Principles and Practice*, 734-741

Jiří Žára a kol.: *Počítačová grafika, principy a algoritmy*, 355-361

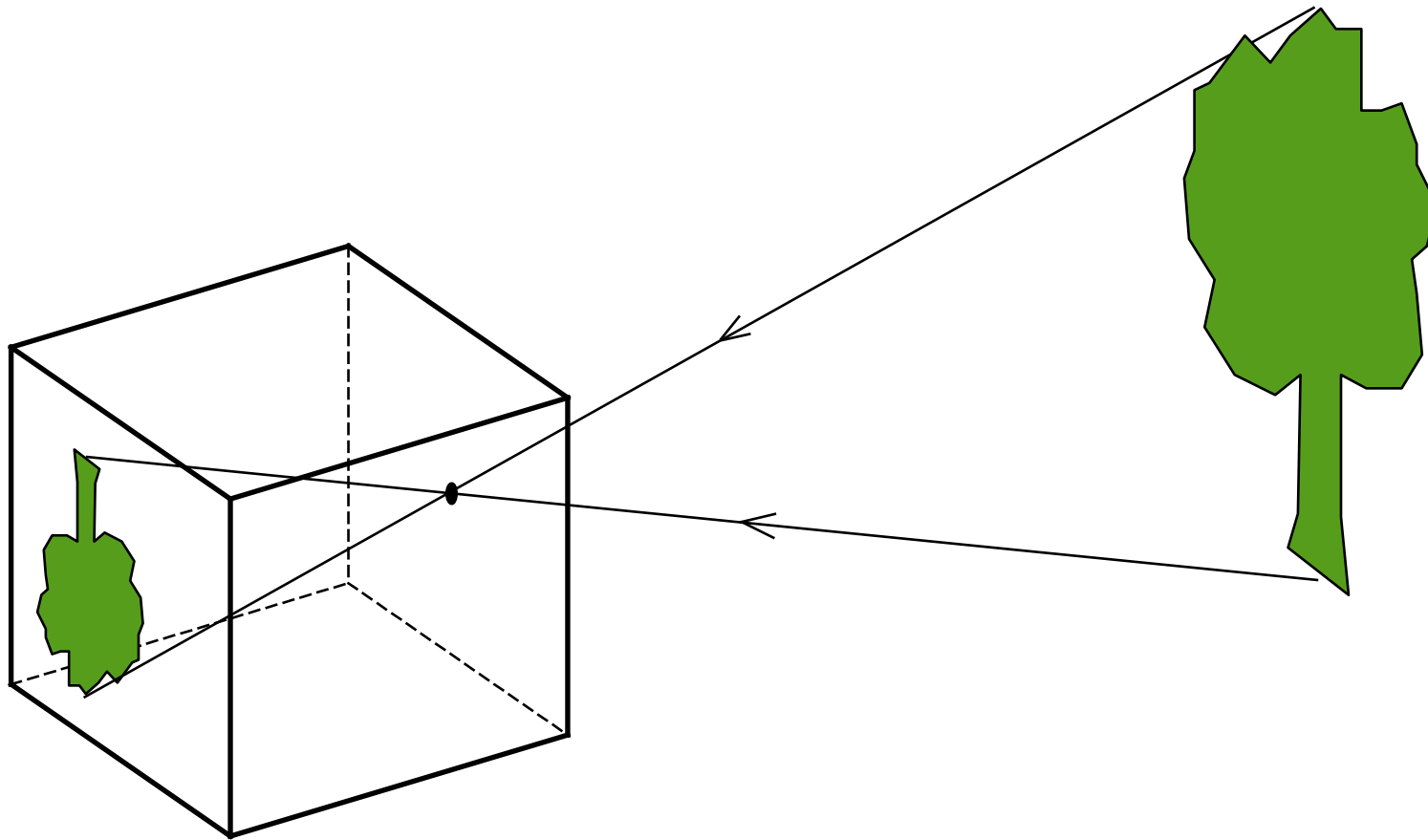
Vrhání paprsku (CSG)

© 1996-2019 Josef Pelikán
CGG MFF UK Praha

pepca@cgg.mff.cuni.cz
<https://cgg.mff.cuni.cz/~pepca/>

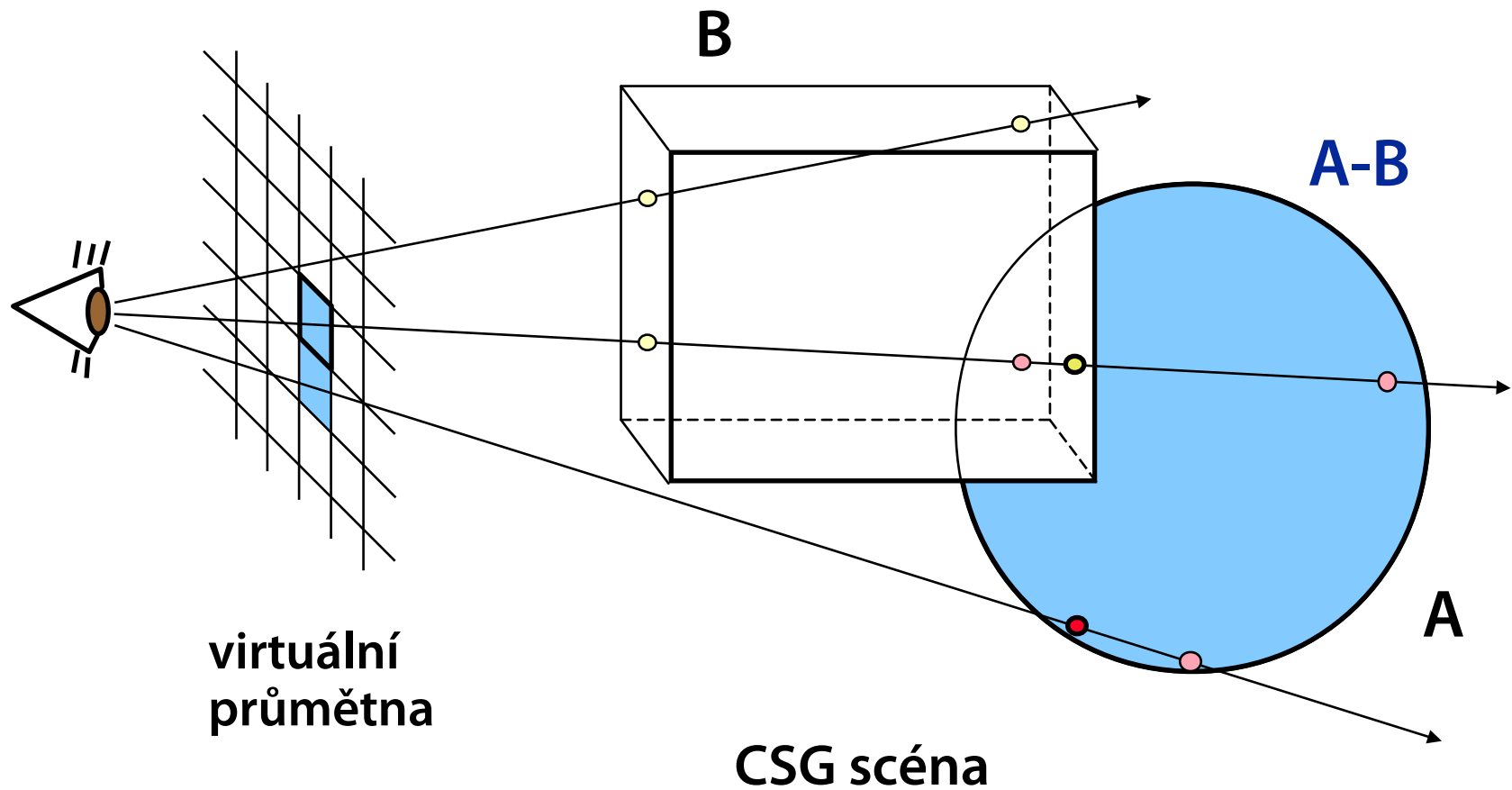


Model dírkové kamery



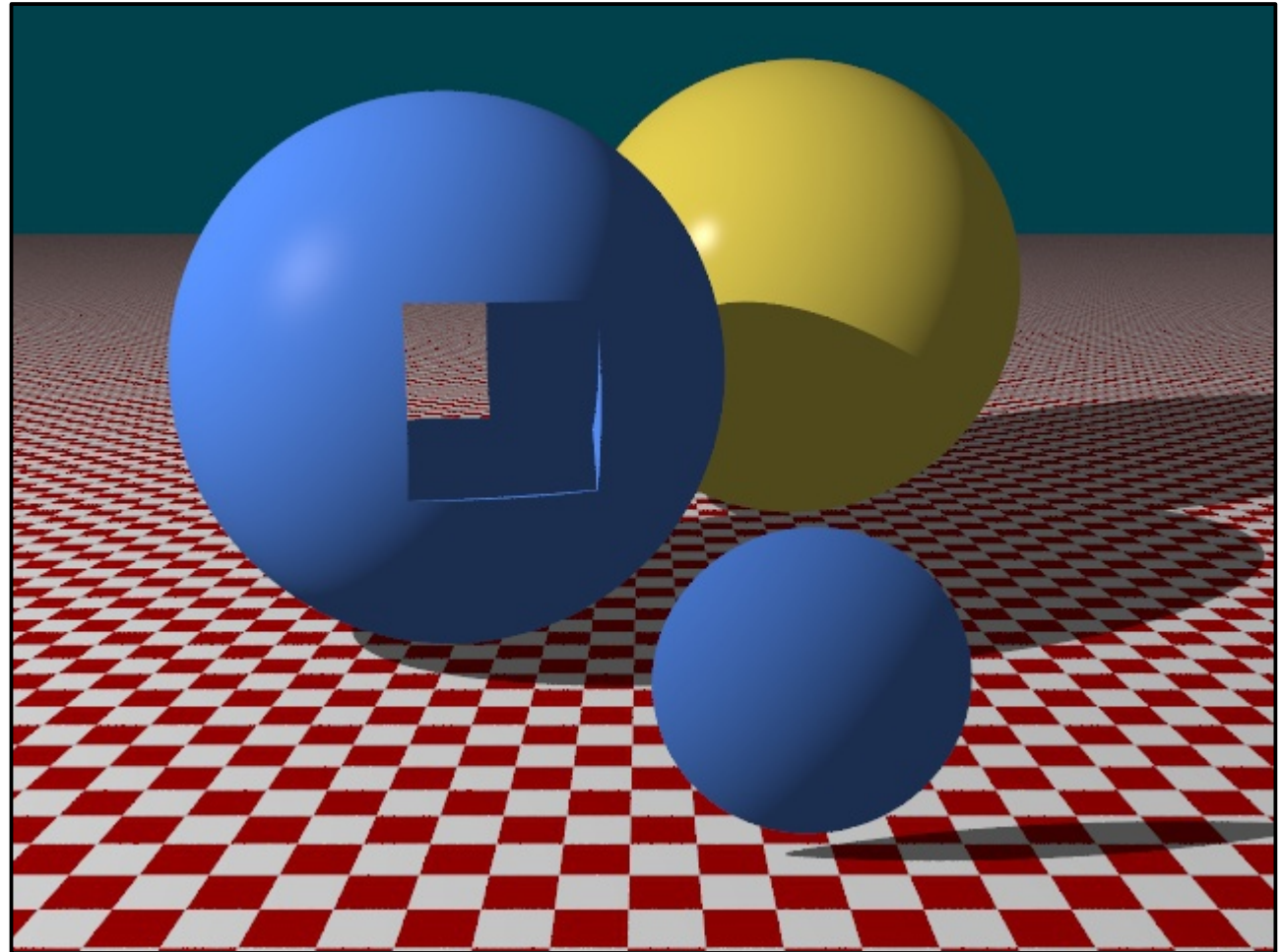
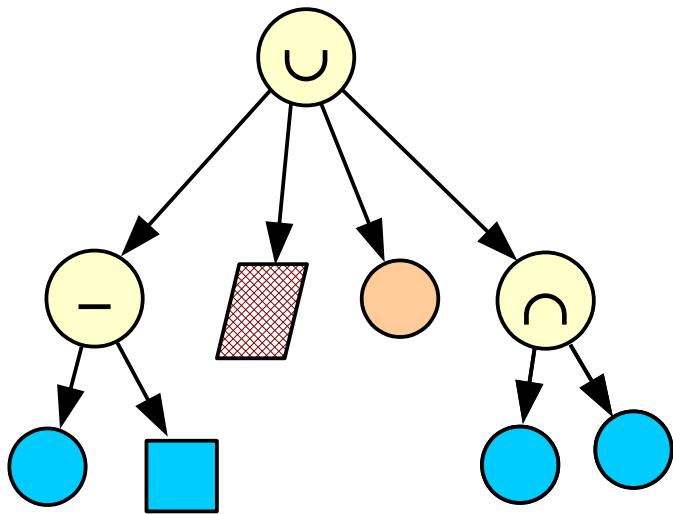


Zobrazování vrháním paprsku





Příklad CSG scény (i rozdíl a průnik)





Průsečík paprsku s CSG

Pro **elementární tělesa** umím průsečíky spočítat

- začátek a konec průniku paprsku s tělesem pro konvexní tělesa

Množinové operace provádím na polopřímce paprsku

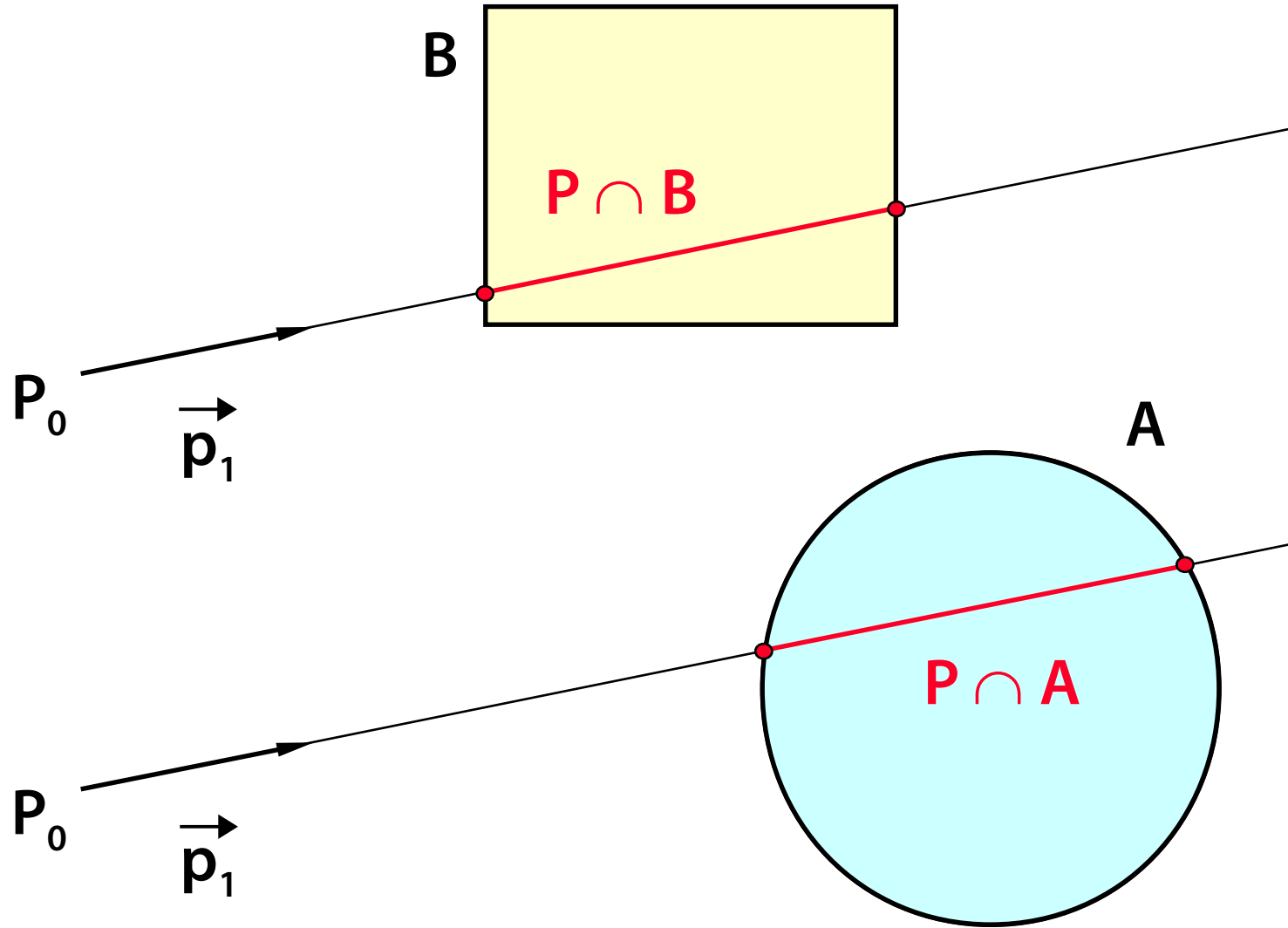
- distributivita: $\mathbf{P} \cap (\mathbf{A} - \mathbf{B}) = (\mathbf{P} \cap \mathbf{A}) - (\mathbf{P} \cap \mathbf{B})$
- obecný průnik paprsku se scénou je množina intervalů

Geometrické transformace

- na paprsek aplikuji inverzní transformace

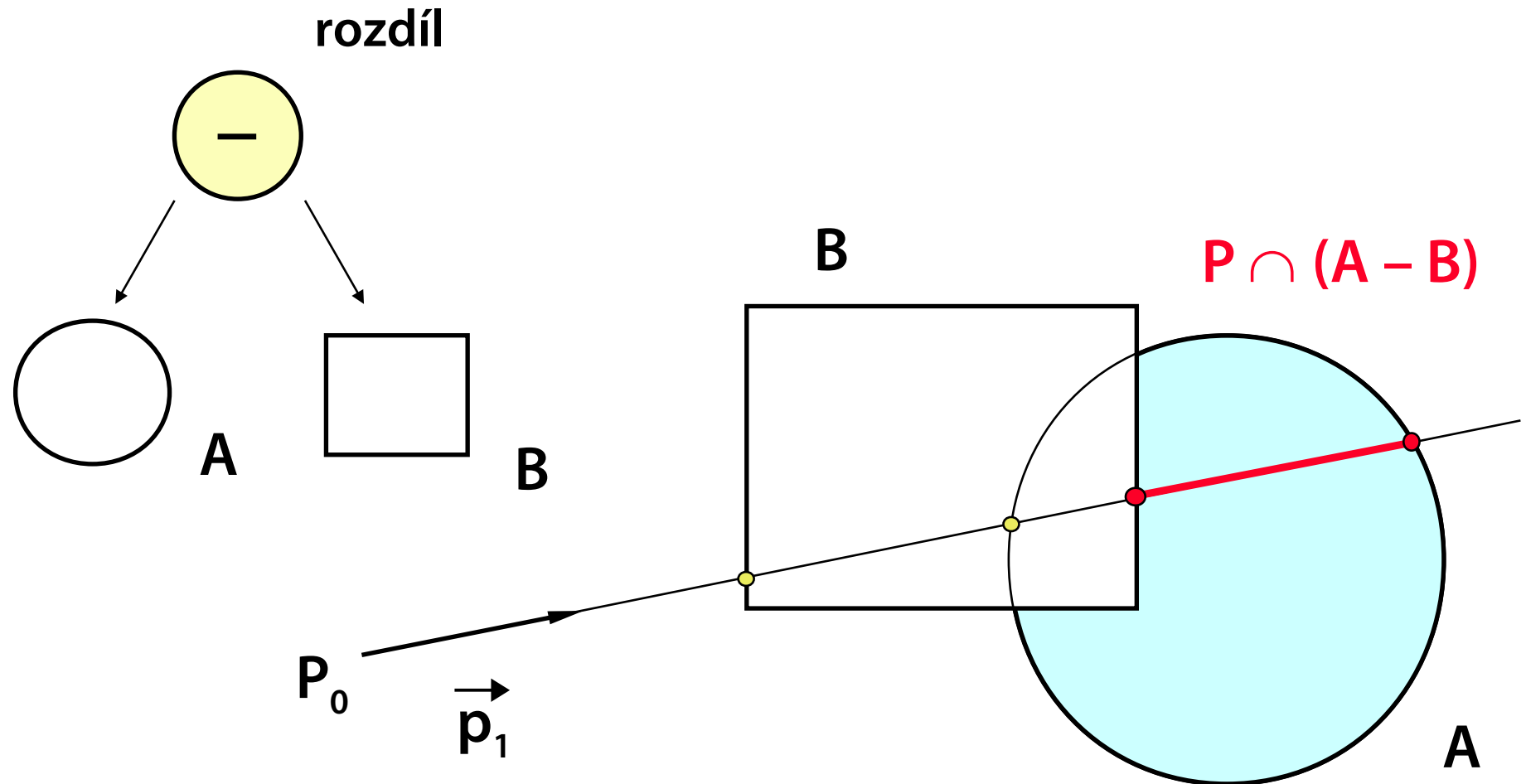


Průsečíky $P \cap A$, $P \cap B$





Průsečík $P \cap (A - B)$





Implementace

Paprsek

- počáteční bod P_0 a směrový vektor \vec{p}_1
- transformuje se inverzními maticemi T_i^{-1}

Průnik paprsku se scénou (částí scény)

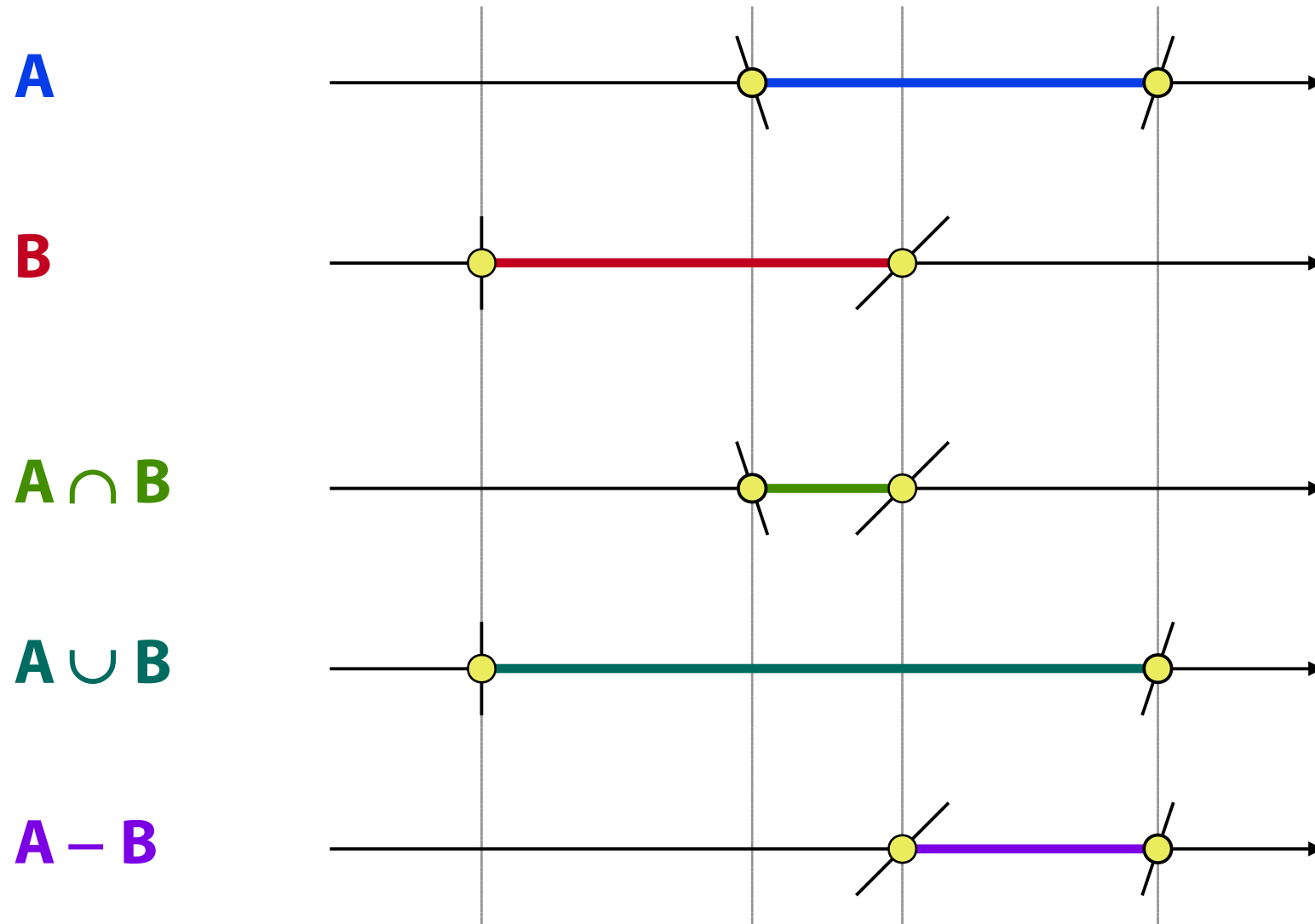
- uspořádaný seznam hodnot parametru t : $[t_1, t_2, t_3 \dots]$

Množinové operace

- zobecněné slévání vstupních seznamů – např. $[t_1, t_2, t_3 \dots]$
a $[u_1, u_2, u_3 \dots]$
- viz seznam řádkových změn („X-transition list“)



Množinové operace na paprsku





Určení barvy pixelu

Průnik paprsku s CSG scénou je prázdný

- barva pozadí

Průnik je neprázdný

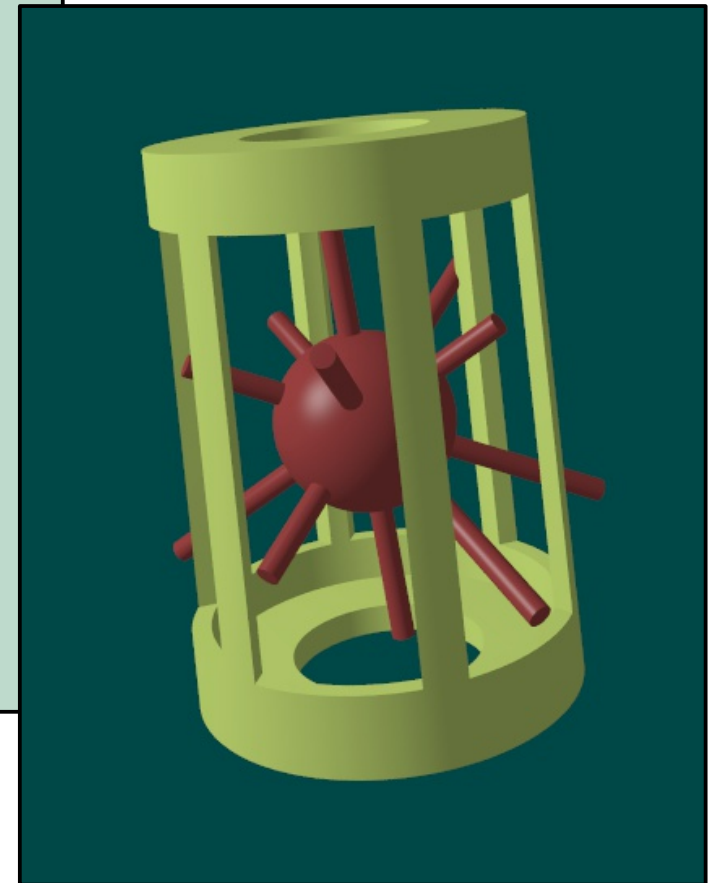
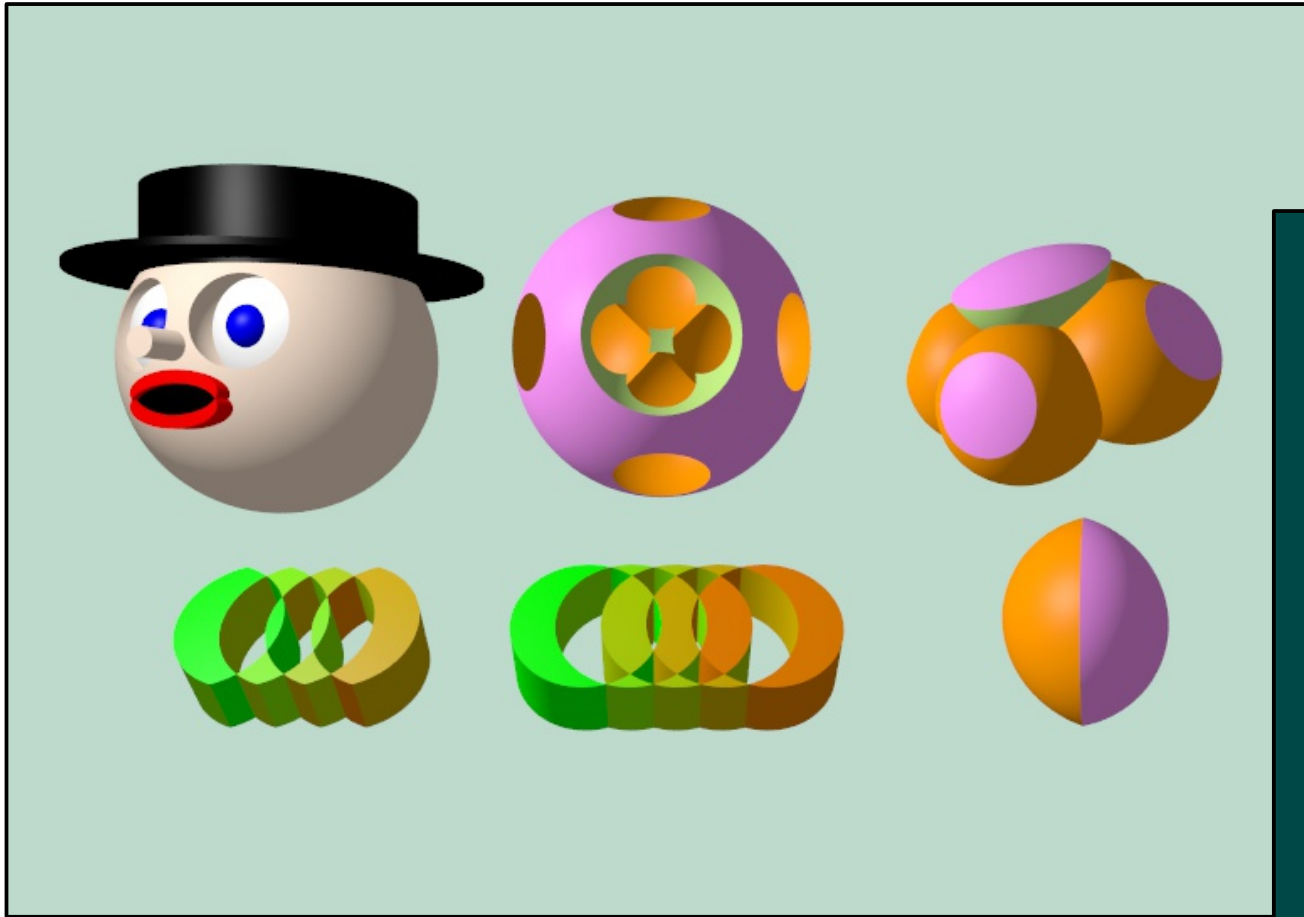
- barva tělesa (podle prvního záznamu – \mathbf{t}_1)
- možnost stínování (normálový vektor v místě průsečíku)

Obarvení podle **typu množinové operace**

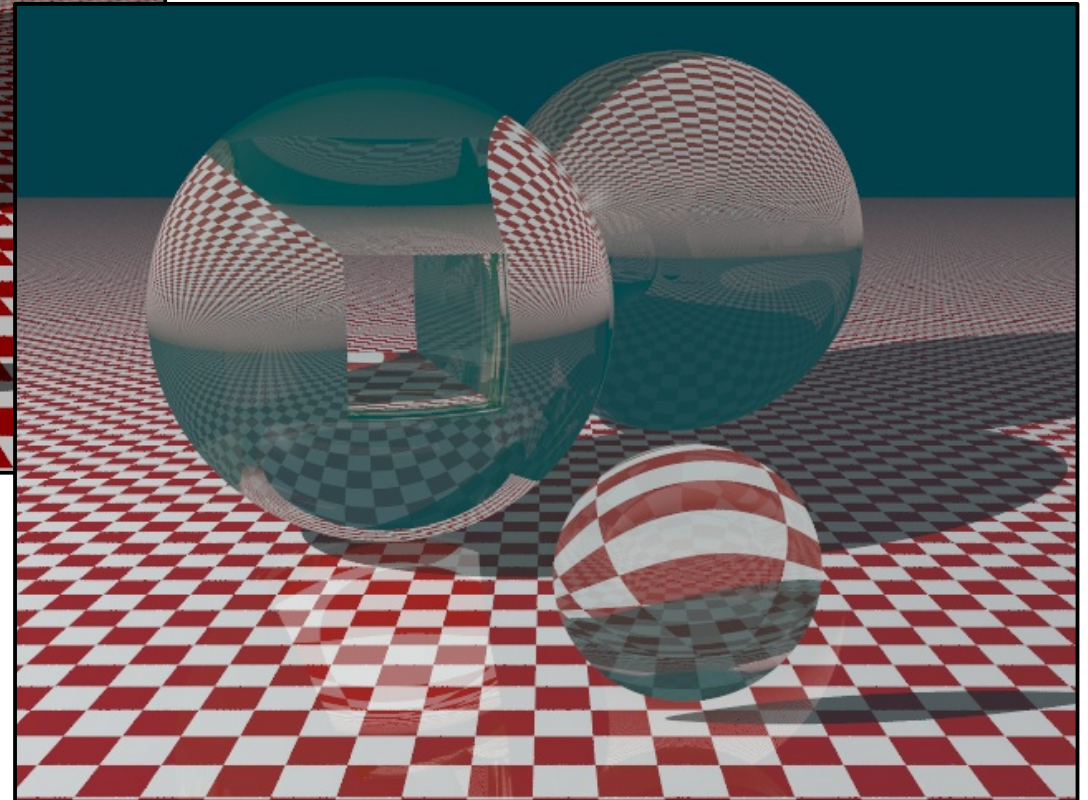
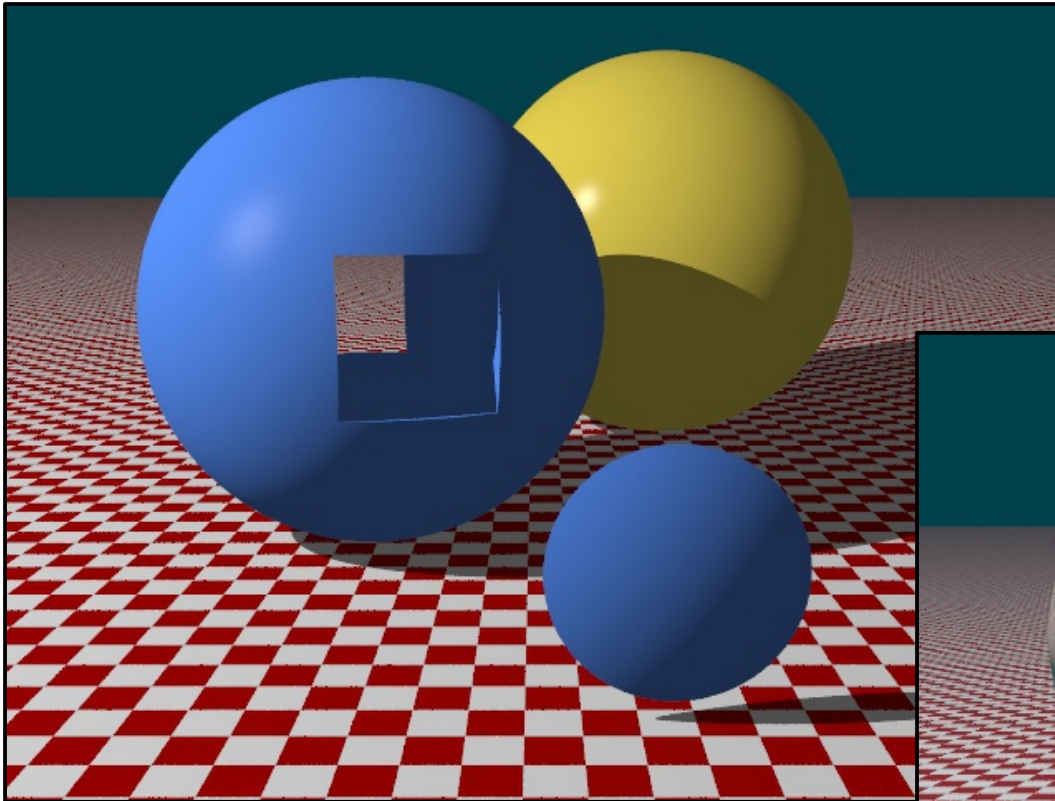
- složitější pravidla přenášení barev při výpočtu množinových operací
- např. speciální barva pro odečtenou část tělesa



Další ukázky



Ray tracing: více paprsků, odrazy, lomy...





Literatura

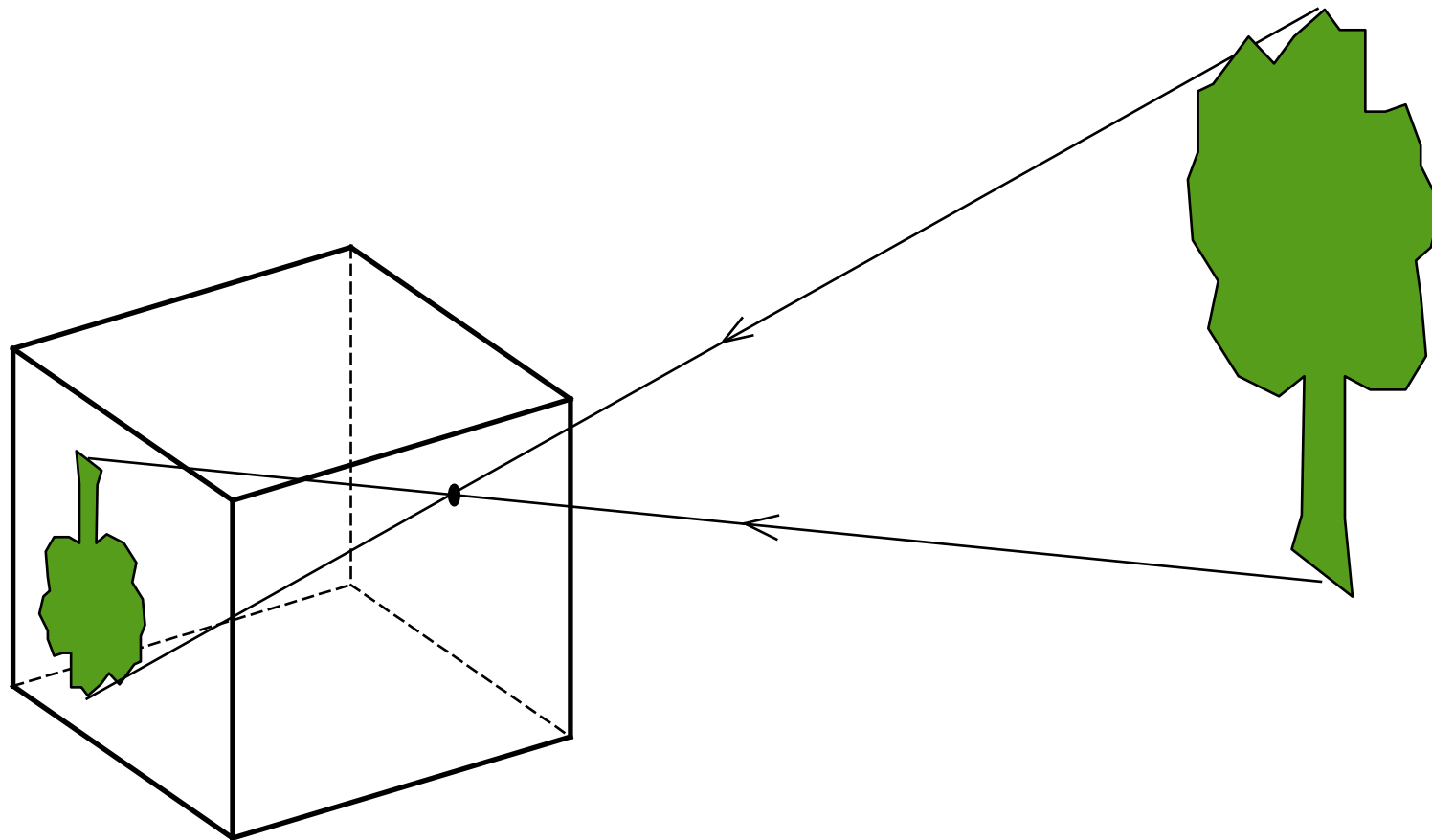
J. Foley, A. van Dam, S. Feiner, J. Hughes: *Computer Graphics, Principles and Practice*, 712-714

Rekurzivní sledování paprsku (Ray-tracing)

© 1996-2019 Josef Pelikán
CGG MFF UK Praha

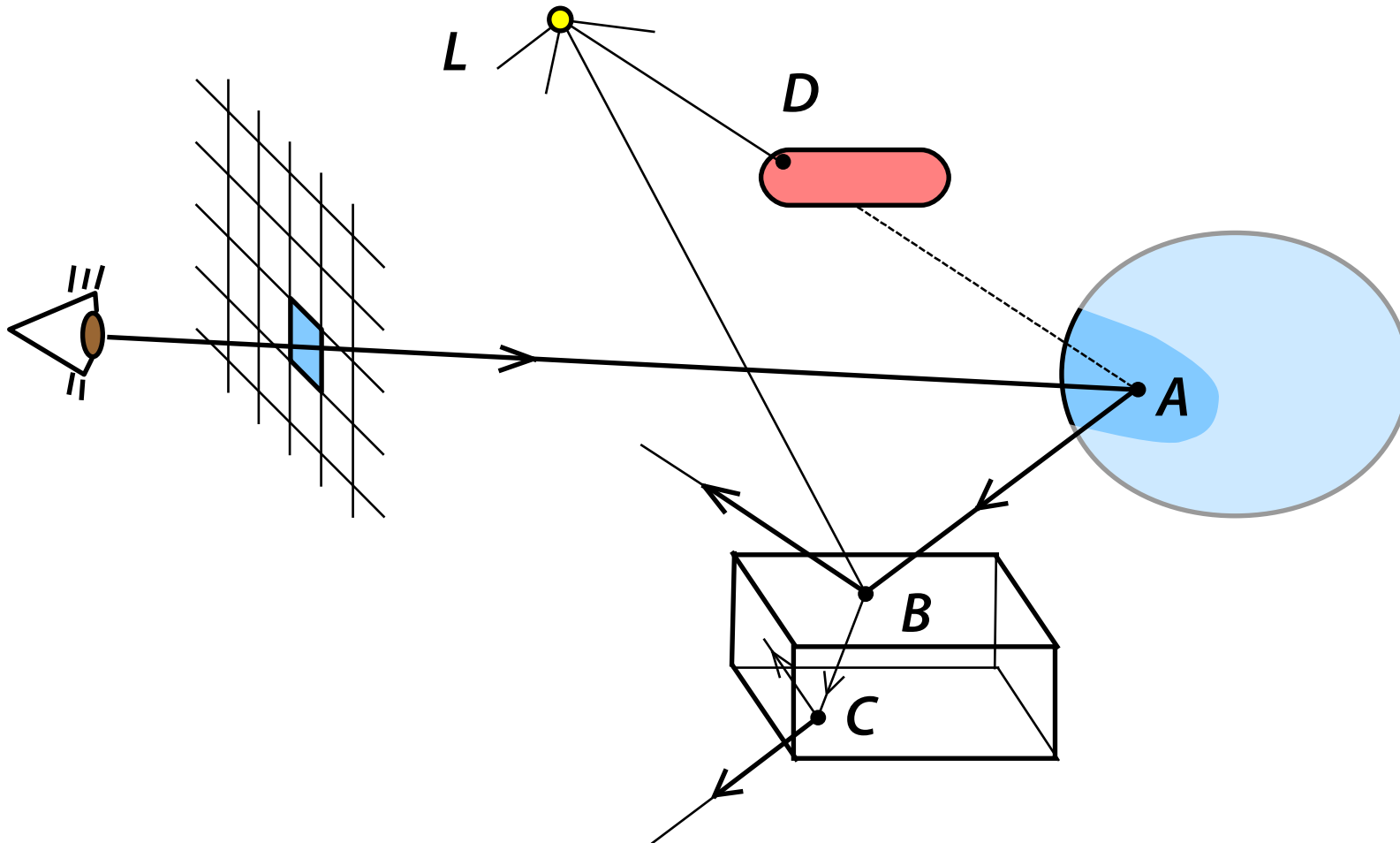
pepca@cgg.mff.cuni.cz
<https://cgg.mff.cuni.cz/~pepca/>

Model dírkové kamery

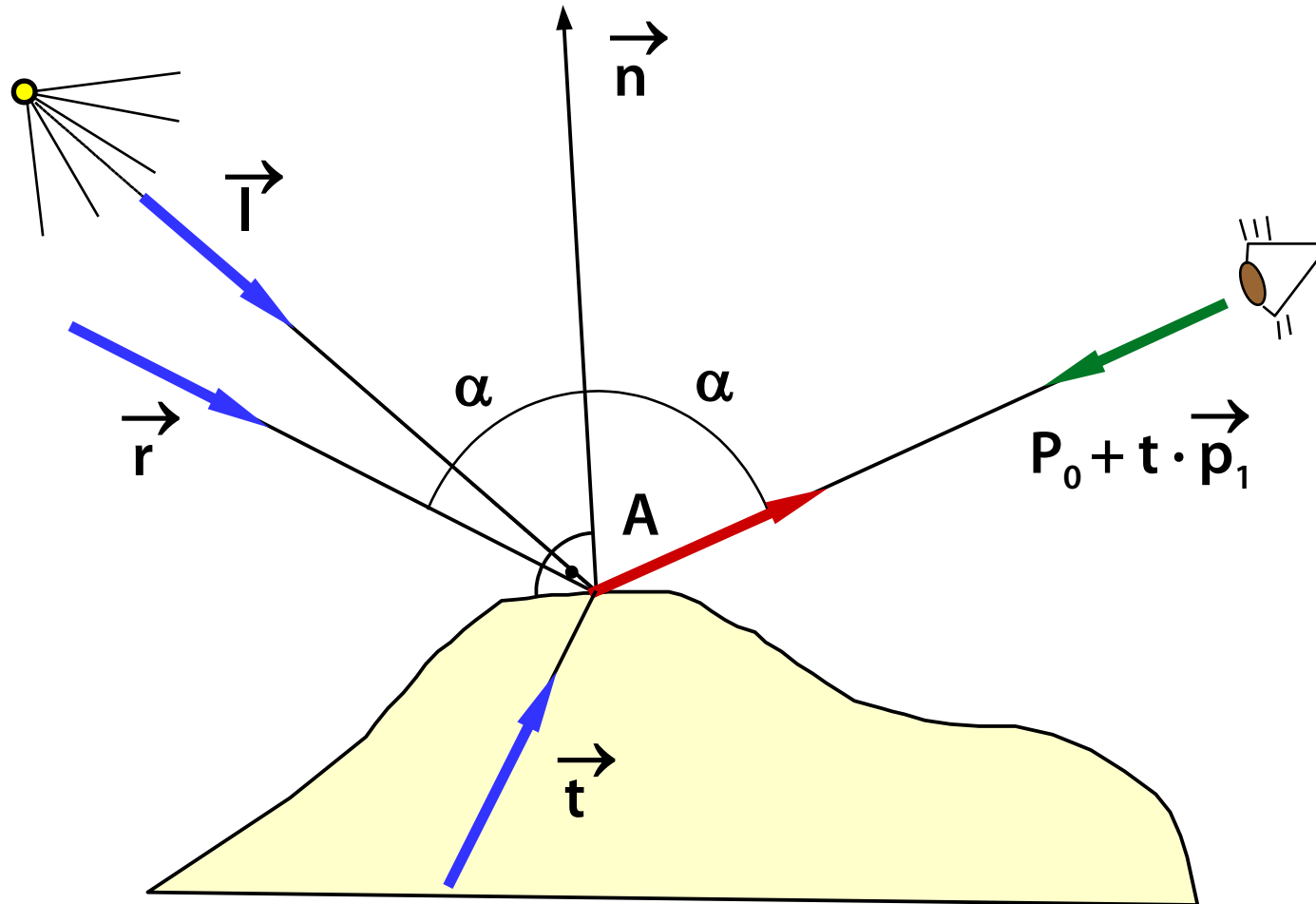




Zpětné sledování paprsku



Skládání světla





Rekurzivní implementace

```
int maxDepth = 10;           // Maximum recursion level.
RayScene scene;             // Global scene object (geometry, materials, light sources...)
RGB shade (Vector3d P0, Vector3d p1, int depth)
// P0 - ray origin, p1 - ray direction, depth - interactions so far
{
    Vector3d A = intersection(scene, P0, p1);
    if (!isValid(A)) return scene.background; // No intersection at all.

    RGB color{0};           // Result color.
    for (const auto& light : scene.lightSources)
        if (!isValid(intersection(scene, A, light.point - A)))
            color += scene.kL(A) * light.contribution(A, -p1, scene.material(A), scene.normal(A));

    if (++depth >= maxDepth) return color;

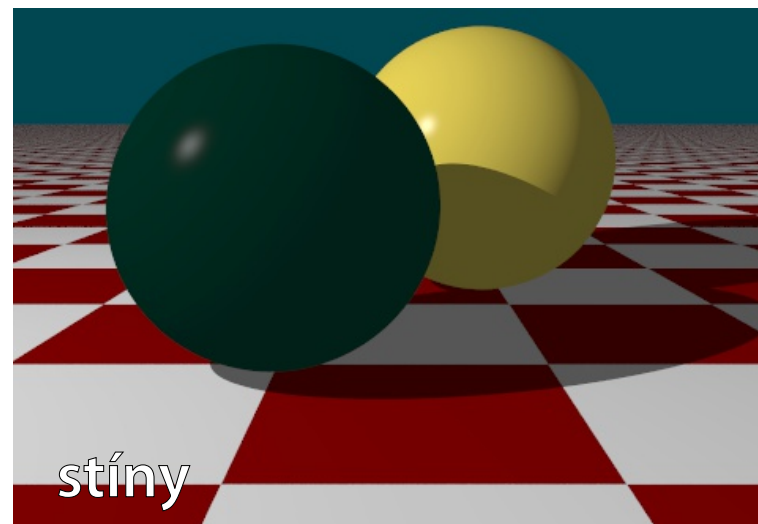
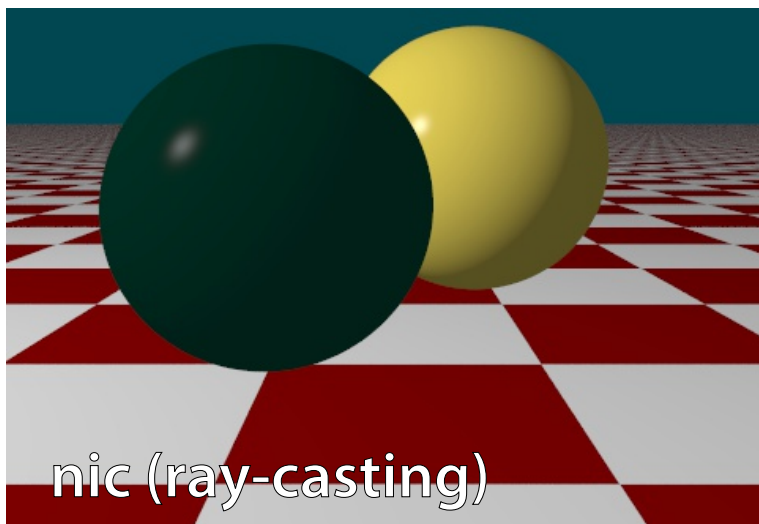
    if (scene.isGlossy(A)) // Recursion - reflection.
    {
        Point3d r = reflection(p1, scene.normal(A));
        color += scene.kR(A) * shade(A, r, depth);
    }

    if (scene.isTransparent(A)) // Recursion - refraction.
    {
        Point3d t = refraction(p1, scene.normal(A), scene.index(A));
        color += scene.kT(A) * shade(A, t, depth);
    }

    return color;
}
```



Jednotlivé složky





Řízení hloubky rekurze

Statické – omezení konstantou (nehodí se pro scény obsahující zrcadla i méně odrazivé lesklé povrchy)

Dynamické – podle „významu“ (importance, performance) paprsku

- „význam“ je procentuální podíl právě sledovaného paprsku na výsledné barvě pixelu (pro primární paprsky: 100%)
- omezení „významu“ konstantou (např. 1-2%)

Kombinované – omezení hloubky i „významu“ paprsku



Výpočet průsečíku

Geometrický výpočet, jehož výsledkem jsou

- souřadnice průsečíku (stačí 1D, speciální hodnota: „nekonečno“)
- normálový vektor povrchu tělesa
- 2D texturové souřadnice
- číslo tělesa (plochy), odkaz na těleso (barva, materiál...)

Časově nejnáročnější operace (90-95% času)

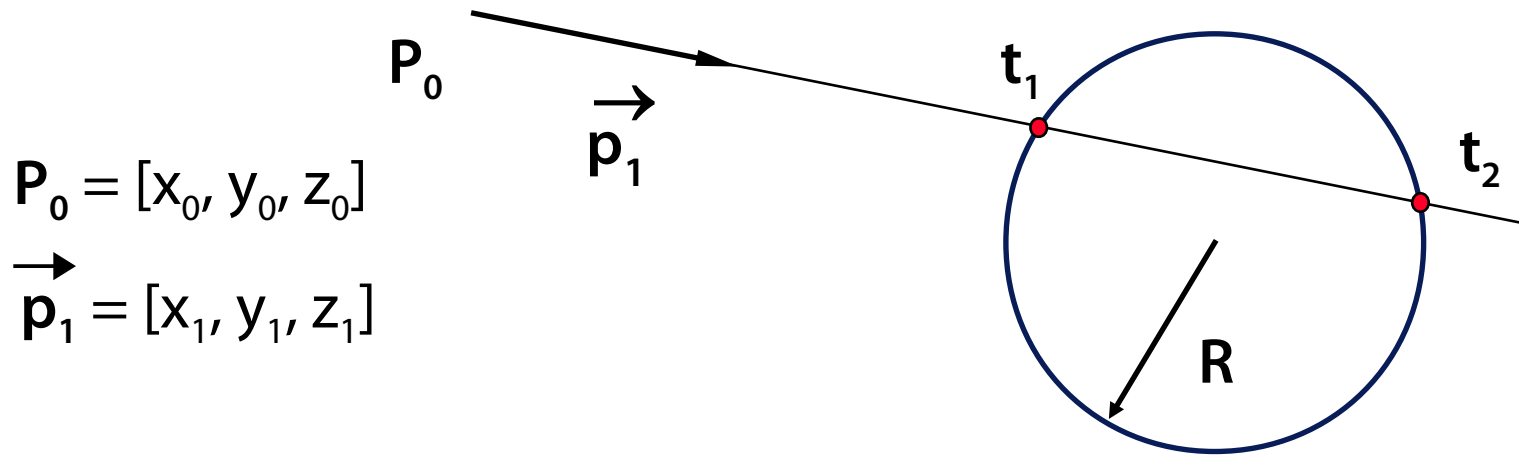
- urychlovací metody

Analytický výpočet (koule, válec, kvádr...)

Numerický výpočet (aproximační plochy, rotační tělesa, implicitní povrchy...)



Průsečík paprsku s koulí



Paprsek:
$$P(t) = P_0 + t \vec{p}_1, \quad t > 0 \quad (1)$$

Koule (střed v počátku):
$$x^2 + y^2 + z^2 - R^2 = 0 \quad (2)$$

Po dosazení (1) do (2) vyjde kvadratická rovnice (t)

$$t^2 (x_1^2 + y_1^2 + z_1^2) + 2t (x_0 x_1 + y_0 y_1 + z_0 z_1) + x_0^2 + y_0^2 + z_0^2 - R^2 = 0$$



Průsečík s CSG scénou

Pro **elementární tělesa** lze snadno průsečíky spočítat

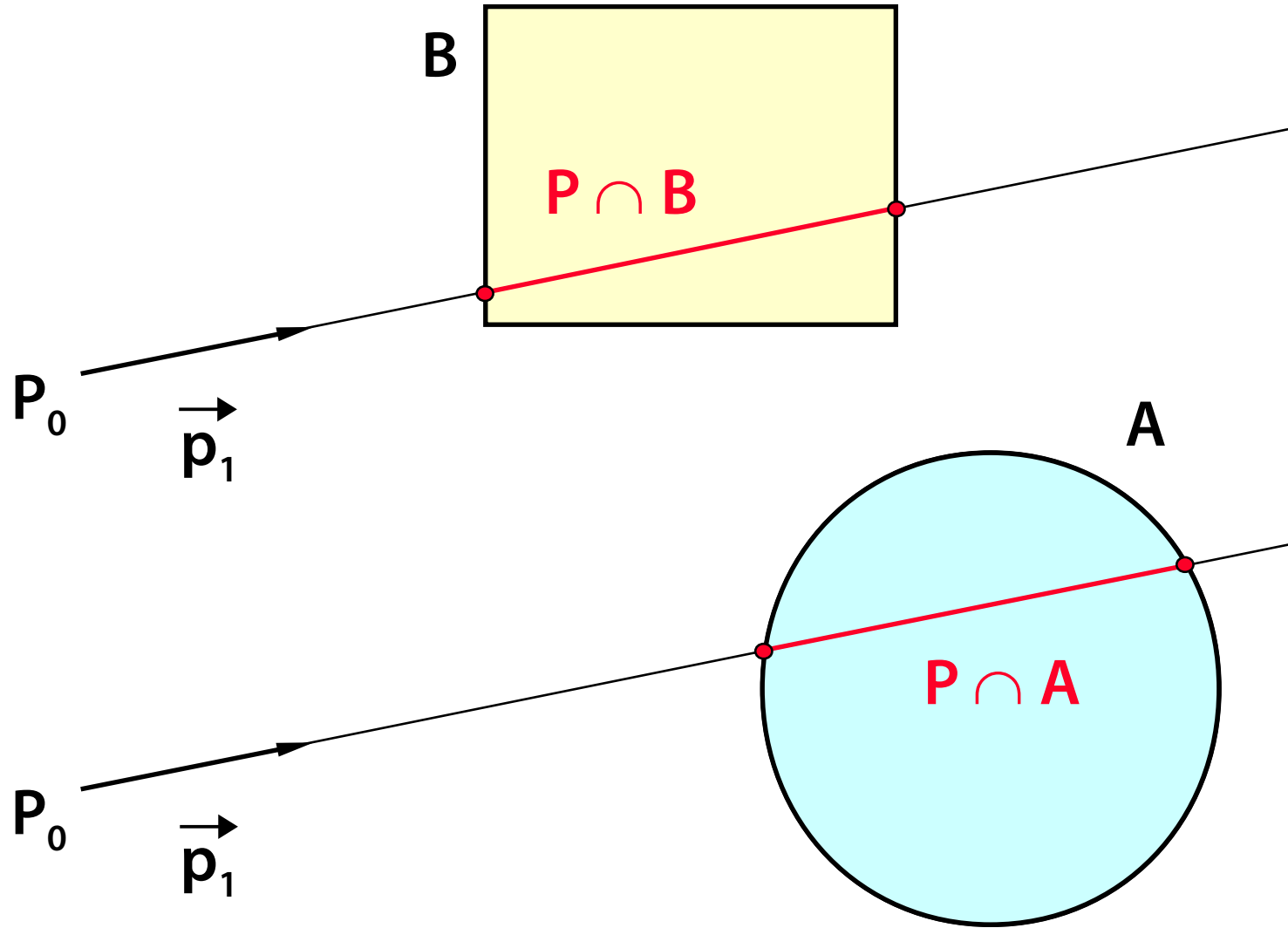
- začátek a konec průniku paprsku s tělesem pro konvexní tělesa

Množinové operace se provádí na polopřímce paprsku

- díky distributivitě: $\mathbf{P} \cap (\mathbf{A} - \mathbf{B}) = (\mathbf{P} \cap \mathbf{A}) - (\mathbf{P} \cap \mathbf{B})$
- obecný průnik paprsku se scénou je množina intervalů

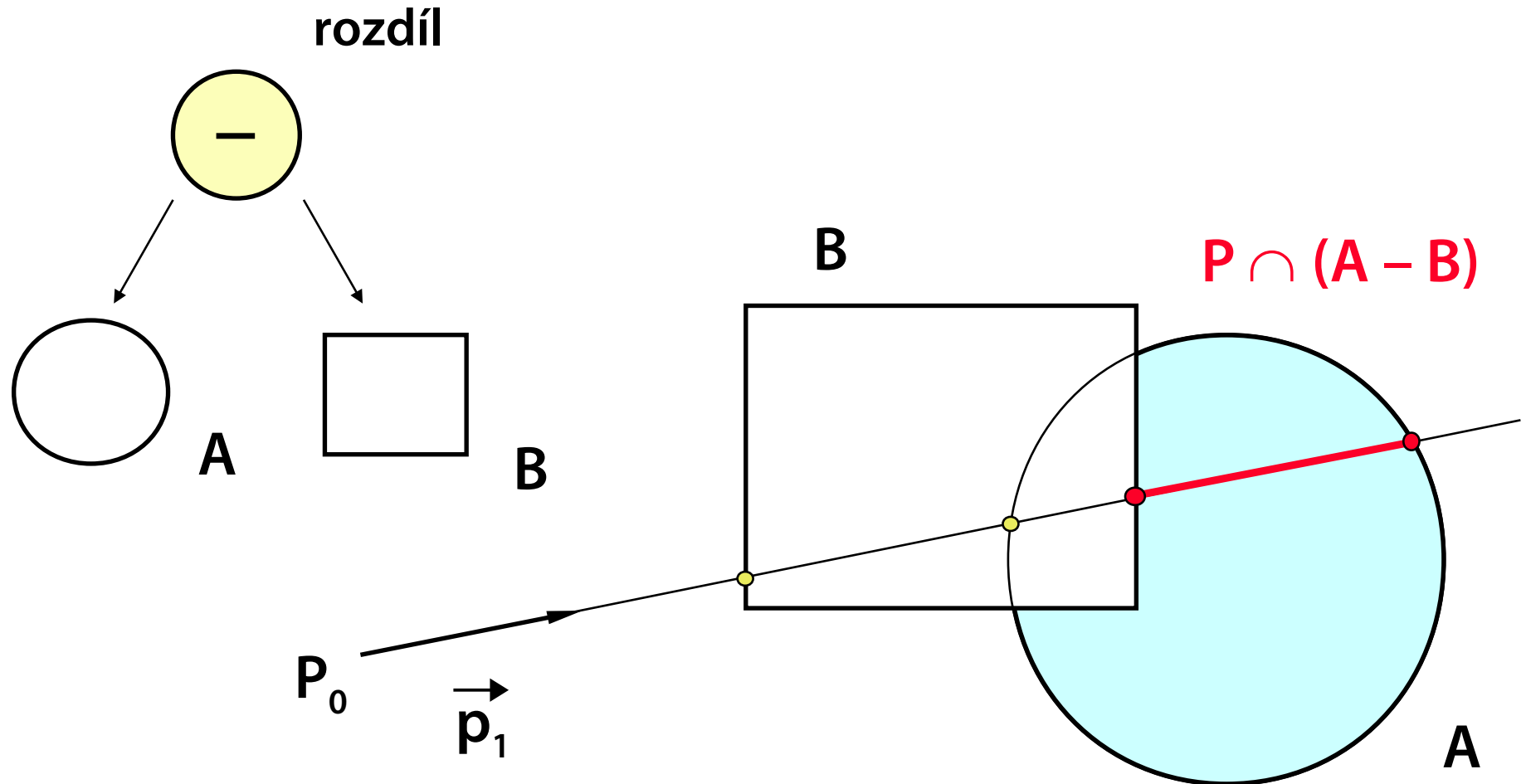


Průsečíky $P \cap A$, $P \cap B$





Průsečík $P \cap (A - B)$





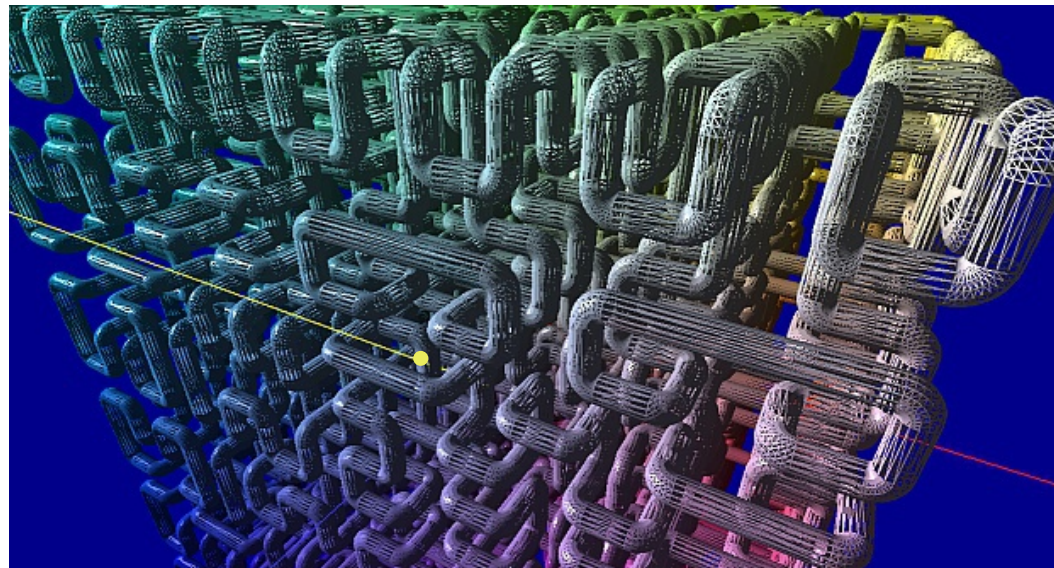
Průsečík s trojúhelníkovou sítí

Scéna reprezentována **sítí trojúhelníků**

- jednoduchý koncept (jednoduché API)
- jakoukoli geometrii lze pomocí trojúhelníků aproximovat

Jednoduchý test **paprsek – trojúhelník**

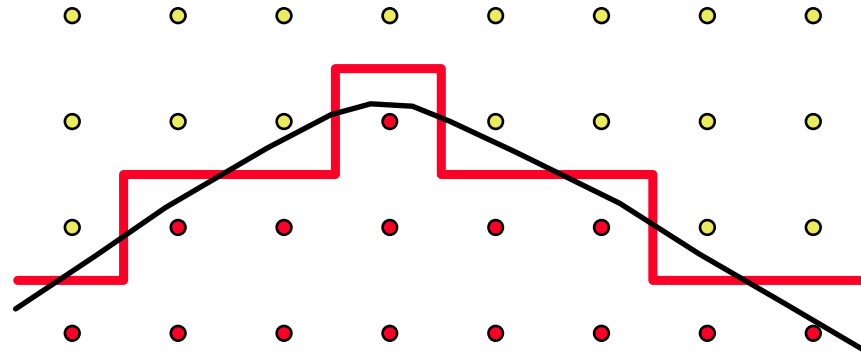
- velké množství trojúhelníků (10^6 až 10^{10}), $O(N)$ je moc pomalé
- urychlovací techniky se snaží o lepší složitost, např. $O(\log N)$



$N \approx 10^6$



Vyhlazování (anti-aliasing)



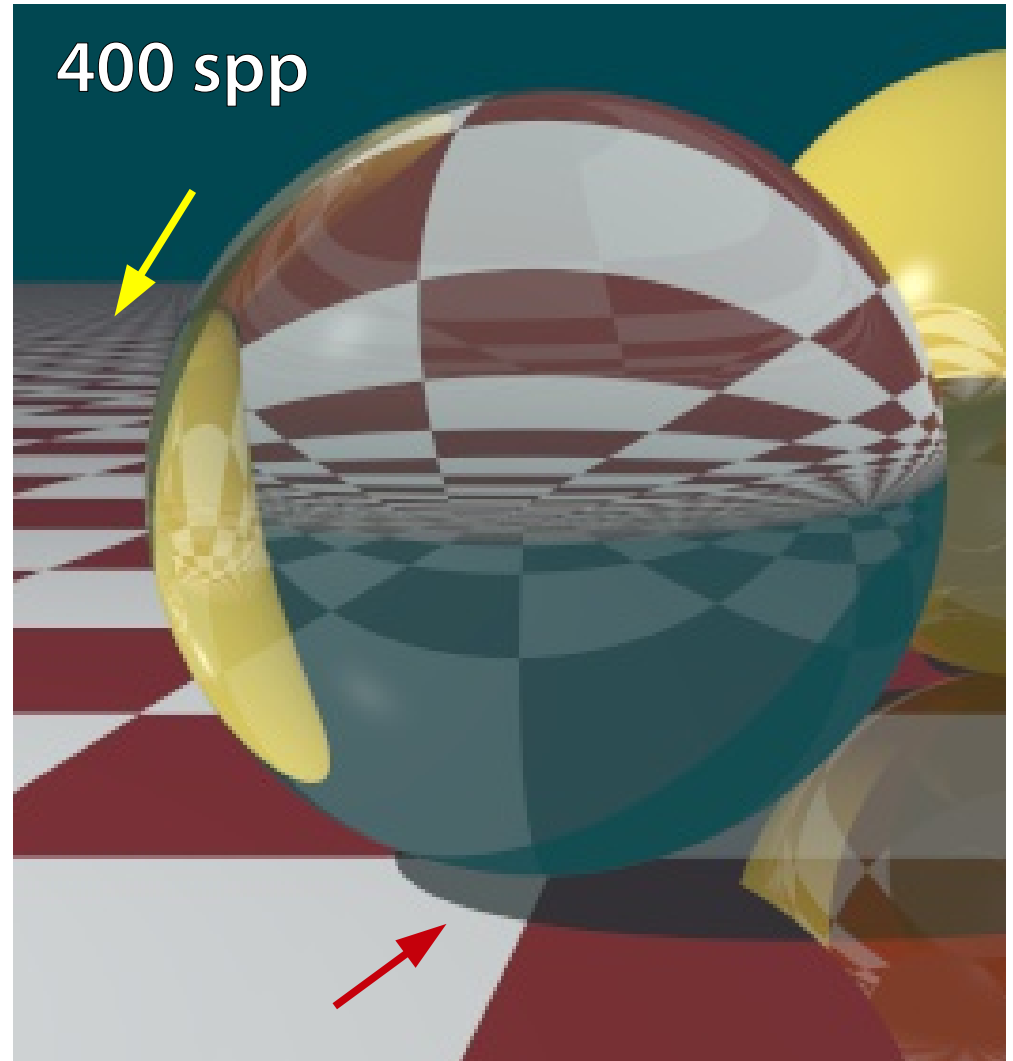
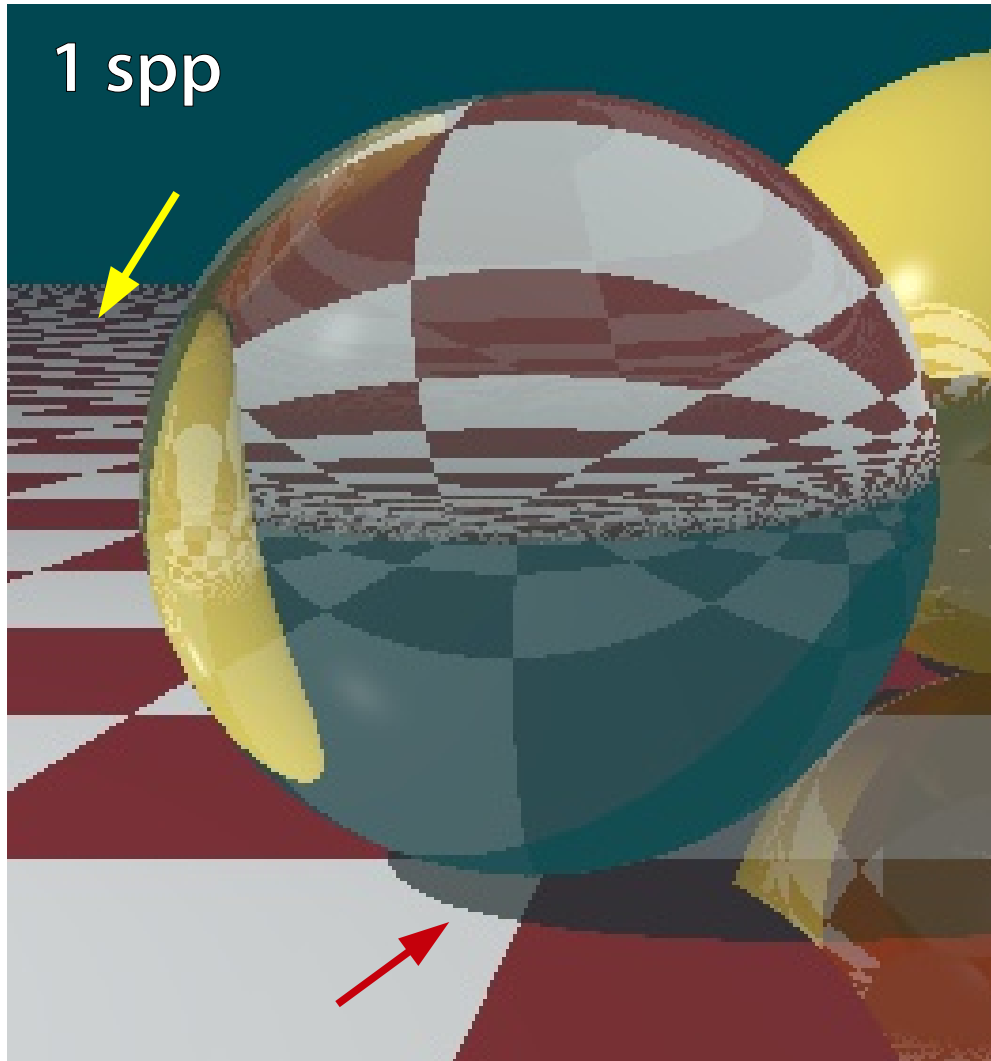
Pouze jeden paprsek na jeden pixel – vzniká tzv. „alias“

- zubaté okraje
- interference

Zvětšením rozlišení se problém nevyřeší

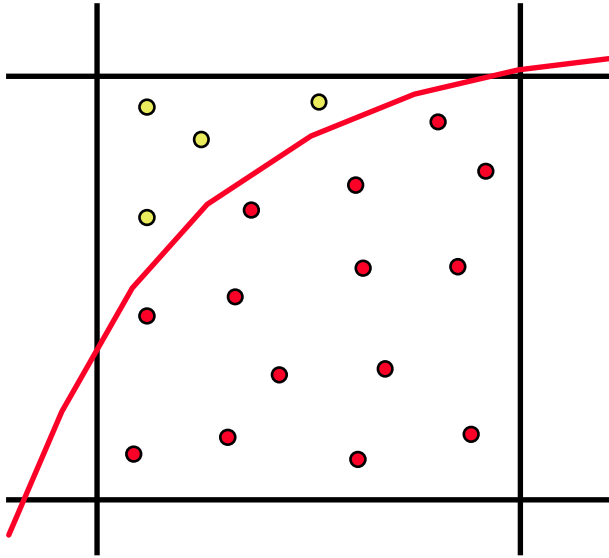


Ukázka vyhlazování (super-sampling)





Převzorkování (super-sampling)

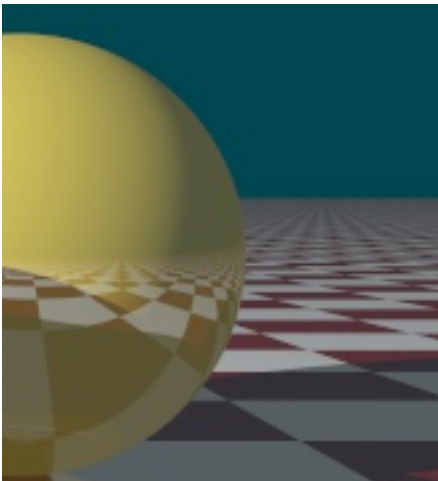


Posílá se **více paprsků** jedním pixelem

Výsledná barva se spočte jako **aritmetický průměr**

Přechody budou **jemnější** (bez zubů)

Paprsky by měly pokrývat plochu pixelu **rovnoměrně**, ale ne úplně pravidelně!





Změna **barvy** na povrchu předmětů

Mohou ovlivňovat též **odrazivost** (k_D a k_S), **normálový vektor** („normal map“)...

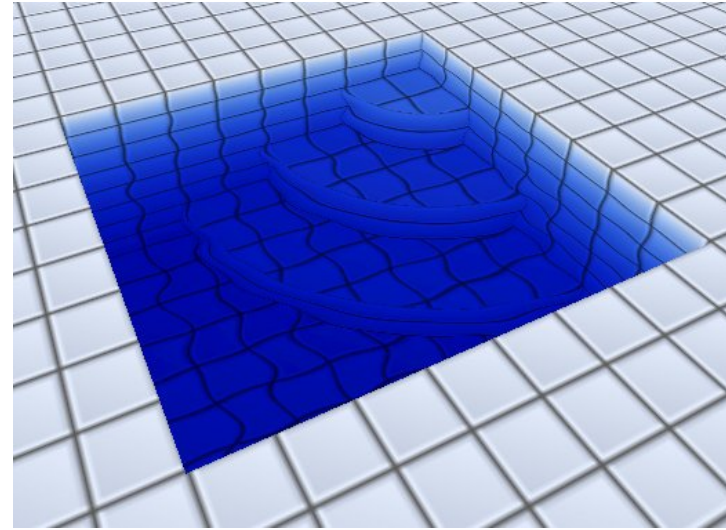
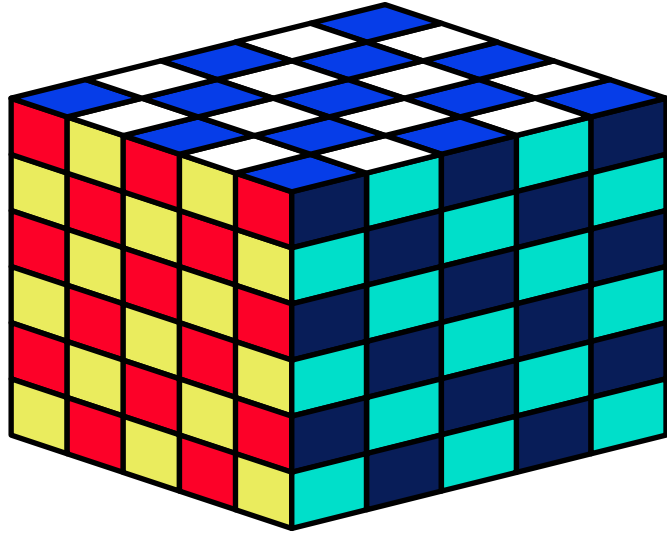
Realistické napodobení **fyzikálních vlastností materiálu** (barevný vzorek, mikro- i makro-struktura povrchu)

– dřevo, kůra pomeranče, omítka, leštěný kov...

Nahrazení složité **geometrie** (vlny na vodě...)



2D textura



Pokrývá **povrch** tělesa (jako tapeta, samolepka)

Mapování textury: $[x, y, z] \rightarrow [u, v]$

Vlastní textura: $[u, v] \rightarrow$ **barva** (normála, materiál...)



3D texture

Reprezentují změny veličin **uvnitř tělesa**

Napodobují **vnitřní strukturu materiálu**

- dřevo, mramor...

Není třeba **mapování**

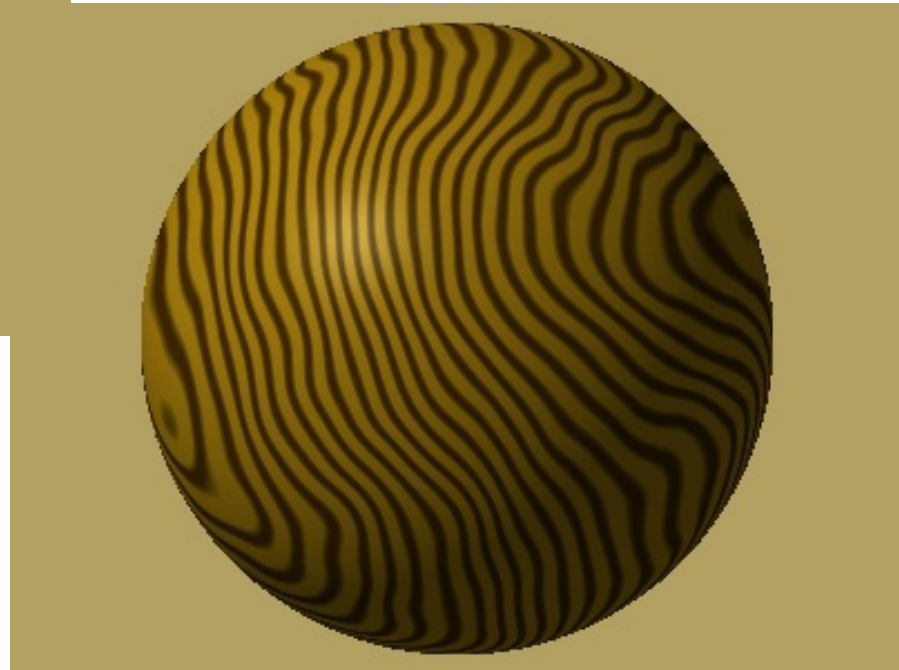
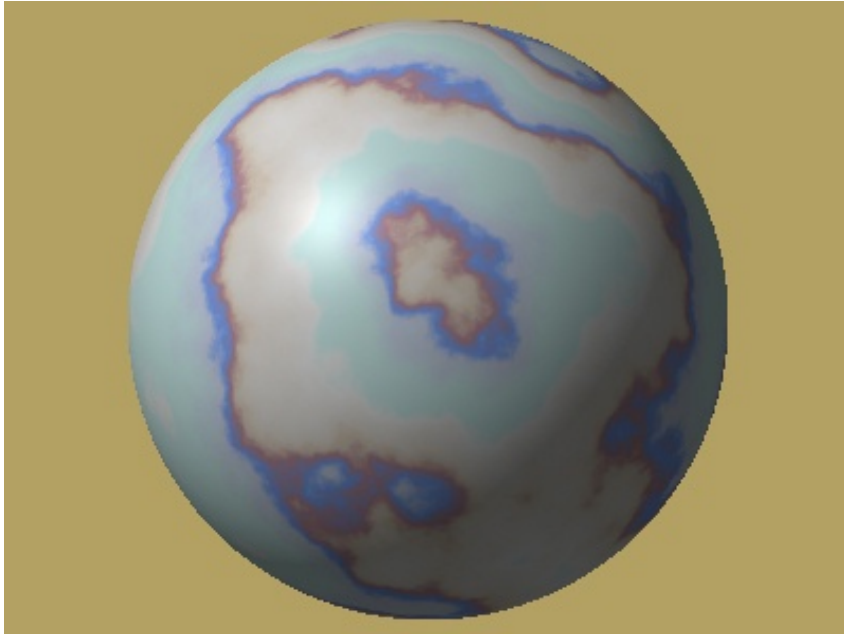
3D textura: $[x, y, z] \rightarrow$ **barva** (materiál...)

Často se využívají **3D šumové funkce**

- napodobení náhodné turbulence/vrásnění



Příklady 3D textur





Literatura

A. Glassner: *An Introduction to Ray Tracing*, Academic Press, London 1989, 1-31

Jiří Žára a kol.: *Počítačová grafika, principy a algoritmy*, 374-378